Second Projet de Renforcement Institutionnel du Secteur Minier de la République Islamique de Mauritanie (PRISM-II), Phase V

Livrable 53

Synthèse des données géologiques, structurales, et géochronologiques

Par Dwight C. Bradley[1], Paul O'Sullivan[2], Michael Cosca[3], Holly Motts[4], John Horton[5], Cliff Taylor[6], Georges Beaudoin[7], Gregory Lee[8], Jahan Ramezani[9], Dan Bradley[10], Jamey Jones[11], et Samuel Bowring[12]

Préparé pour le compte du gouvernement mauritanien par l'U.S. Geological Survey

2013

Ce rapport est un rapport administrative, dont la conformité avec les normes éditoriales de l'U.S. Geological Survey ou le code stratigraphique nord-américain n'a pas été examiné. Tout nom commercial, d'entreprise ou de produit est utilisé à des fins descriptives et n'implique pas l'approbation du gouvernement des Etats-Unis.

U.S. Department of the Interior
U.S. Geological Survey

[1] U.S. Geological Survey, 4210 University Drive, Anchorage, Alaska 99508, États-Unis, email *dbradley@usgs.gov*. Responsable de la cartographie géologique ; Préparation des documents et des illustrations ; Géochronologie SIMS du zircon.
[2] Apatite to Zircon, Inc., 1075 Matson Rd., Viola, ID 83872 États-Unis. Géochronologie LAICPMS du zircon ; Thermochronologie des traces de fission de l'apatite.
[3] U.S. Geological Survey, Denver, Colorado 80255, États-Unis. Géochronologie $^{40}Ar/^{39}Ar$.
[4] U.S. Geological Survey, 4210 University Drive, Anchorage, Alaska 99508, États-Unis. Compilation des cartes SIG.
[5] U.S. Geological Survey, Denver, Colorado 80255, États-Unis. Compilation des cartes SIG.
[6] U.S. Geological Survey, Denver, Colorado 80255, États-Unis. Direction générale du projet ; Géologie économique ; prélèvement d'échantillons de géochronologie.
[7] Département de Géologie et de Génie Géologique, 1065 avenue de la Médecine, Québec (Québec) Canada G1V 0A6. Géologie économique ; Prélèvement d'échantillons de géochronologie.
[8] U.S. Geological Survey, Denver, Colorado 80255, États-Unis. Compilation des cartes SIG.
[9] Dept. of Earth and Planetary Sciences, Massachusetts Institute of Technology, 77 Massachusetts Avenue, Cambridge, MA 02139-4307, États-Unis. Géochronologie TIMS du zircon.
[10] U.S. Geological Survey volunteer ; maintenant à l'Université de Harvard, États-Unis. Géochronologie SIMS du zircon.
[11] U.S. Geological Survey, 4210 University Drive, Anchorage, Alaska 99508, États-Unis. Géochronologie SIMS du zircon.
[12] Dept. of Earth and Planetary Sciences, Massachusetts Institute of Technology, 77 Massachusetts Avenue, Cambridge, MA 02139-4307, États-Unis. Géochronologie TIMS du zircon.

Synthèse

Le présent rapport va de pair avec la nouvelle carte géologique de Mauritanie (Bradley et al., 2013a ; citée en référence comme le « *Livrable 51 »*), ainsi que la nouvelle carte structurale de Mauritanie (Bradley et al., 2013a ; citée en référence comme le « *Livrable 51 »*). La première partie comprend des informations explicatives sur ces deux cartes numériques. La seconde partie traite des méthodes analytiques utilisées dans l'obtention des nouvelles datations U-Pb à partir de neuf échantillons de roches magmatiques, de nouvelles datations de zircon détritique à partir de quarante échantillons sédimentaires ou métasédimentaires, et de nouvelles datations 40Ar/39Ar à partir de douze échantillons de roches métamorphiques et de veines. Les parties 3 à 6 présentent les nouveaux résultats géochronologiques, classés par région. Dans la septième partie, nous examinons les implications de ces nouvelles datations pour la géologie régionale, et nous évoquons les résultats problématiques. Enfin, dans la huitième partie, nous synthétisons sous forme narrative l'évolution géologique et tectonique de la Mauritanie, en nous appuyant sur les informations nouvelles ou disponibles, et en nous replaçant dans un contexte tectonique à l'échelle de la Terre.

Le présent rapport a été publié à la fois en anglais et en français. Dans les deux versions, nous utilisons les noms en français des unités stratigraphiques formalisées.

Table des matières

Synthèse 3
Table des matières 3
Liste des Figures 5
Liste des Tableaux 8
1.0. Carte géologique et carte géologique structurale 9
  1.1. Sources d'information 9
  1.2. Incohérences cartographiques 11
  1.3 Unités cartographiques 11
  1.4 Code couleur 11
  1.5 Unités cartographiques et abréviations 11
  1.6 Carte structurale (livrable 52) 12
  1.7 Remerciements 12
2.0 Géochronologie 14
  2.1. Méthodes analytiques 23
  2.2. Information sur les échantillons 25
3.0. Résultats de la géochronologie pour le Bassin de Taoudéni 26
  3.1. Groupe de Char 27
  3.2. Groupe d'Atar 28
  3.3. Groupe d'Assabet El Hassiane 32
  3.4. Groupe d'Aioun 37
  3.5. Groupe de Khang Naam 40
  3.6. Groupe de Jbéliat 42
  3.7. Groupe de Téniagouri 48
  3.8. Groupe de Nouatil, Formation de Serize 53
  3.9. Groupe d'Oujeft 56
  3.10. Groupe de Tichit (Ordovicien) 65
  3.11. Groupe de Néma, Formation de Saïlé (Crétacé) 67

4.0. Résultats géochronologiques provenant de l'orogène central des Mauritanides 69
4.1. Groupe de Djonaba 69
4.2. Groupe de Gadel 71
4.3. Groupe de Gueneiba 75
4.4. Groupe d'El Mseigguem 77
4.5. Groupe d'El Ghabra 79
4.6. Groupe d'El Fadra 83
4.7. Cortège de Kelbé 85
4.8. Veines de quartz au sein des Mauritanides Centrales 87
5.0. Orogène du Nord des Mauritanides 90
5.1. Groupe de Oumachoueïma, Formation de Sainte Barbe 90
5.2. Groupe de Oumachoueïma, non-divisé 95
5.3. Groupe de Oumachoueïma, membre de la quartzite d'Atilis 97
5.4. Groupe d'Eizzene, Formation de Raoui 99
5.5. Complexe d'Inchiri, Groupe de Hajar Dekhen – Kleouat 101
6.0. Bouclier de Rgueïbat 104
6.1. Groupe de Lebzenia, Formation d'Aouéoua 104
6.2. Complexe d'Amsaga, à proximité de la présence de Tungstène de Mennerat Iguilid 106
6.3. Anorthosite au sein du Complexe d'Amsaga 110
6.4. Complexe de Tiris 112
6.5. Complexe d'Idjil, Formation de Tazadit 113
6.6. Formation de Seyala 116
6.7. Groupe de Blekhzaymat 118
6.8. Veines de quartz recoupant le Groupe de Blekhzaymat 125
6.9. Complexe de Ghallamane 127
6.10. Complexe de Tsalabia el Khadra 130
6.11. Cortège de Gleibat Tenebdar 133
7.0 Discussion 134
7.1. Codes-barres des zircons détritiques 134
7.2. Code-barres de Char et signature des zircons détritiques Mésoprotérozoïques du Craton Ouest Africain 136
7.3. Le code-barres d'Assabet et les implications pour les reconstitutions du supercontinent Rodinia 136
7.4. Le code-barres d'Oujeft et le lien avec l'orogénie Panafricaine 142
7.5. Le code-barres de Téniagouri et le lien avec l'orogénie Panafricaine 144
7.5. Orogénèse Paléozoïque tardive au sein des Mauritanides 144
7.6. Examen du résultat concernant les zircons détritiques posant problème 145
7.7. Implications pour la corrélation et la cartographie 147
8.0 Cadre géologique et tectonique de la Mauritanie 149
8.1. Géologie et tectonique Archéenne 149
8.2. Géologie et tectonique Paléoprotérozoïque 151
8.3. Enregistrement tectonique Mésoprotérozoïque à Paléozoïque dans le Bassin de Taoudéni 153
8.4. Enregistrement tectonique Mésoprotérozoïque à Paléozoïque au sein de l'orogène des Mauritanides 154
8.5. Bassin de Tindouf 156
8.6. Géologie et tectonique Mésozoïque à Cénozoïque 157
8.7. Évolution tectonique de la Mauritanie dans le contexte des supercontinents Nuna, Rodinia, Gondwana, et Pangée 158
9.0 Références citées 161
Tableaux 167

ANNEXE 323
A1. Méthodes analytiques de datation $^{40}Ar/^{39}Ar$ 323
A2. Méthodes analytiques de la datation U-Pb CA-TIMS effectuée à l'Institut de Technologie du Massachusetts. 323
A3. Techniques SHRIMP-RG de datation U-Pb des zircons (U.S. Geological Survey-Université de Stanford) 324
A4. Méthodes analytiques LAICPMS de datation U-Pb par la société Apatite to Zircon, Inc., à l'Université de Washington State 325
A5. Méthodes analytiques de datation des traces de fission de l'Apatite par la société Apatite to Zircon, Inc. 328

Liste des Figures

Figure 1. Sources d'information cartographique. 10
Figure 2. Carte généralisée de Mauritanie présentant la localisation des échantillons des nouvelles datations magmatiques U-Pb. 15
Figure 3. Carte généralisée de Mauritanie présentant la localisation des échantillons des nouvelles datations U-Pb de zircon détritique. 16
Figure 4. Carte généralisée de Mauritanie présentant la localisation des échantillons des nouvelles datations 40Ar/39Ar provenant de roches métamorphiques et de veines hydrothermales. 17
Figure 5. Carte généralisée de Mauritanie présentant des localisations d'échantillons de nouvelles datations U-Pb provenant des publications antérieures. 19
Figure 6. (A) Carte généralisée de Mauritanie présentant des localisations d'échantillons de nouvelles datations $^{40}Ar/^{39}Ar$, K/Ar, et Re/Os provenant des publications antérieures. (B) Détail concernant les Mauritanides Centrales. . 21
Figure 7. La carte tectonique généralisée de la Mauritanie, adaptée en partie à partir de cartographies de Pitfield et al. (2004) et Lahondère et al. (2003, 2005). 22
Figure 8. La colonne stratigraphique de la région d'Adrar appartient au Bassin de Taoudéni. 26
Figure 9. Données et les photographies concernant les zircons détritiques de l'échantillon CT22, provenant du Groupe de Char. 28
Figure 10. Les données et les photographies des zircons détritiques provenant de l'échantillon DB07RIM23a du Groupe d'Atar. 30
Figure 11. Données et les photographies de zircon détritique de l'échantillon DB07RIM31a provenant du Groupe d'Assabet El Hassiane. 33
Figure 12. Données et photographies pour l'échantillon DB07RIM59a provenant du Groupe d'Assabet El Hassiane. 35
Figure 13. Données et photographies du zircon détritique de l'échantillon CT07RIM70-1 provenant du Groupe d'Aioun, et de la Formation de Freidi. 38
Figure 14. Données et photographies du zircon détritique de l'échantillon CT07RIM71-1, provenant du Groupe d'Aioun, et de la Formation de Seyal. 39
Figure 15. Données et photographies du zircon détritique de l'échantillon CT07RIM72-1, provenant du Groupe de Khang Naam, et de la Formation de Lehbilé. 41
Figure 16. Données et photographies du zircon détritique de l'échantillon DB07RIM29c, provenant du Groupe de Jbéliat, à proximité d'Atar. 43
Figure 17. Données et photographies du zircon détritique de l'échantillon CT07RIM73-1, provenant du Groupe de Jbéliat, dans la région de Kiffa. 45
Figure 18. Données et photographies du zircon détritique de l'échantillon DB07RIM80a, provenant d'une diamictite ayant été auparavant cartographiée comme formant le Groupe de Jbéliat, à proximité du fleuve Sénégal. 47
Figure 19. Distribution des âges du zircon détritique (données SIMS) provenant de la Formation de Bouly, appartenant au Groupe de Téniagouri, à proximité d'Atar. 50

Figure 20. Données et photographies concernant les zircons détritiques provenant de l'échantillon DB07RIM77a, prélevé dans le Sous-Groupe de Tichilit el Beïda, appartenant au Groupe de Téniagouri. 52
Figure 21. Données et photographie des zircons détritiques correspondant aux échantillons DB07RIM28a provenant du Groupe de Nouatil..... 55
Figure 22. Données et photographies des zircons détritiques de l'échantillon DB07RIM26a provenant du Groupe d'Oujeft, et appartenant à la Formation de Chinguetti, à proximité d'Atar..... 57
Figure 23. Données et photographies des zircons détritiques de l'échantillon DB07RIM61a provenant du Groupe d'Oujeft, de la Formation de Chinguetti, à proximité d'Ouadane..... 59
Figure 24. Données et photographies des zircons détritiques de l'échantillon DB07RIM75a provenant du Groupe d'Oujeft, et du Sous-Groupe d'Aghaoujeft. 60
Figure 25. Données et photographies des zircons détritiques de l'échantillon CT07RIM60-1, provenant de la Formation de Moudjeria du Groupe d'Oujeft..... 62
Figure 26. Données et photographies de zircons détritiques correspondant à l'échantillon DB07RIM74a, provenant de roches cartographiées de façon erronée comme appartenant au Groupe d'Oujeft, et à la Formation de Moudjeria 64
Figure 27. Données et photographies des zircons détritiques de l'échantillon CT07RIM59-1, provenant du Groupe de Tichit, et de la Formation de Tabarit El Kbir..... 66
Figure 28. Données et photographies des zircons détritiques correspondant à l'échantillon CT07RIM62-1, provenant du Groupe de Néma, et de la Formation de Saïlé. 68
Figure 29. Données et photographies des zircons détritiques correspondant à l'échantillon DB07RIM76a, provenant du Groupe de Djonaba. 70
Figure 30. Données et photographies des zircons détritiques correspondant à l'échantillon DB07RIM65a, provenant du Groupe de Gadel. 73
Figure 31. (*A*) Photographie de l'affleurement de prélèvement de l'échantillon DB07RIM66a, appartenant au Groupe de Gadel. (*B et C*) Spectres d'âges d'émission de l'Argon, correspondant aux deux fractions de mica blanc..... 74
Figure 32. Données et photographies des zircons détritiques correspondant à l'échantillon DB07RIM69a, appartenant au Groupe de Gueneiba.. 76
Figure 33. Données et photographies des zircons détritiques correspondant à l'échantillon CT07RIM55-1, provenant de la Formation d'Ouechkech appartenant au Groupe d'El Mseigguem..... 78
Figure 34. Données et photographies des zircons détritiques correspondant à l'échantillon GB07RIM63a, provenant de la Formation d'Oued Erdi, et appartenant au Groupe d'El Ghabra. 80
Figure 35. Les données et les photographies de zircons détritiques, correspondant à l'échantillon DB07RIM73a, proviennent de la Formation d'Ould Moïlîd, appartenant au Groupe d'El Ghabra. 82
Figure 36. Données et photographies des zircons détritiques correspondant à l'échantillon DB07RIM62a, provenant du Groupe d'El Fadra. 84
Figure 37. Données et photographies des zircons correspondant à l'échantillon DB07RIM64a, provenant du Cortège de Kelbé. 86
Figure 38. Photographies de l'affleurement, et spectres correspondant des émissions d'Argon, des fractions de mica blanc des veines de quartz des Mauritanides Centrales..... 87
Figure 39. Données et photographies des zircons correspondant à l'échantillon CT07RIM10-1 provenant de la Formation de Sainte Barbe..... 91
Figure 40. Données et photographies des zircons détritiques correspondant à l'échantillon DB07RIM01a provenant de la Formation de Sainte Barbe. 92
Figure 41. Données et photographies des zircons détritiques, correspondant à l'échantillon CT07RIM02-1, provenant de la Formation de Sainte Barbe. 94
Figure 42. Données et photographies des zircons détritiques correspondant à l'échantillon CT21, provenant d'une partie non-divisée du Groupe d'Oumachoueïma. 96

Figure 43. Données et photographies des zircons détritiques correspondant à l'échantillon DB07RIM02a, provenant du membre de la quartzite d'Atilis, appartenant à la Formation d'Irarchene El Hamra, et au Groupe d'Oumachoueïma. 98
Figure 44. Données et photographies des zircons détritiques, correspondant à l'échantillon DB07RIM03a, provenant de la Formation de Raoui, appartenant au Groupe de Eizzene. 100
Figure 45. Données et photographies des zircons détritiques, correspondant à l'échantillon DB07RIM17a, provenant du Groupe de Hajar Dekhen – Kleouat, appartenant au Complexe d'Inchiri. 102
Figure 46. Données et photographies des zircons détritiques correspondant à l'échantillon GB07RIM80a, provenant de la Formation d'Aouéoua, appartenant au Groupe de Lebzenia. 105
Figure 47. (*A*) Photographie de l'affleurement de prélèvement, correspondant à l'échantillon GB07RIM82D, provenant d'une veine de quartz qui recoupe la Formation d'Aouéoua, dans la région de Tasiast. (*B*) Spectre des datations des émissions d'Argon du mica blanc. 106
Figure 48. Données géochronologiques et photographies de l'échantillon de granitoïde DB07RIM25a provenant du Complexe d'Amsaga. 107
Figure 49. Données et photographies des zircons détritiques, correspondant à l'échantillon DB07RIM25C, provenant de la quartzite du Complexe d'Amsaga. 109
Figure 50. Diagramme Concordia, correspondant à l'échantillon CT07RIM25-1, anorthosite provenant du Complexe d'Amsaga. 110
Figure 51. Données et photographies des zircons détritiques correspondant aux échantillons DB07RIM32-1a et CT07RIM22-1, différentes phases d'un ensemble d'anorthosite du Complexe d'Amsaga. 111
Figure 52. (*A*) Photographie de l'affleurement de prélèvement de l'échantillon DB07RIM45b, Complexe de Tiris. (*B*) Spectre des âges d'émission de l'Argon du mica blanc. 112
Figure 53. (*A*) Photographie d'affleurement de brèche de calcrète, correspondant à l'échantillon CT07RIM27, provenant de la carapace de la mine de Fer N°4 de Mhaoudât. (*B*) Histogramme de la datation des traces de fission de l'apatite. Nous interprétons la population d'apatite comme détritique, érodée à partir des roches ayant refroidi en-dessous 100 °C pendant le Jurassique. 113
Figure 54. Données géochronologiques et photographies correspondant à l'échantillon DB07RIM46a et b, provenant de la quartzite de la Formation de Tazadit du Complexe d'Idjil. 115
Figure 55. Données et photographies des zircons détritiques correspondant à l'échantillon DB07RIM36a, provenant de la Formation de Seyala. 117
Figure 56. Données et photographies des zircons détritiques, correspondant à l'échantillon DB07RIM55a, provenant du Sud du Groupe de Blekhzaymat. 120
Figure 57. Données et photographies des zircons détritiques, correspondant à l'échantillon DB07RIM54a provenant du Nord du Groupe de Blekhzaymat. 122
Figure 58. Données géochronologiques concernant les zircons, et photographies, correspondant à l'échantillon CT07RIM37-1 provenant du Nord du Groupe de Blekhzaymat. 124
~~**Figure 59.**~~ Photographies de l'affleurement, ainsi que le spectre d'émission d'Argon correspondant aux extraits de mica blanc provenant des veines de quartz recoupant le Groupe de Blekhzaymat. 126
Figure 60. Données géochronologiques et photographies correspondant à l'échantillon DB07RIM53a provenant du Complexe de Ghallamane. 128
Figure 61. Données géochronologiques et photographies correspondant à l'échantillon DB07RIM52a provenant du Complexe de Tsalabia el Khadra. 131
Figure 62. (A) Photographie de l'affleurement de prélèvement, correspondant à l'échantillon DB07RIM51a, Cortège de Gleibat Tenebdar. (B) Diagramme Concordia montrant les données SIMS. 133
Figure 63. Tracé de la distribution des âges composites de quatre codes-barres de zircons détritiques, présentés du plus jeune au plus ancien. 135

Figure 64. La carte du Craton Ouest Africain et des orogènes qui le bordent montre des directions de paléocourants généralisées (flèches vertes), ainsi que des localisations d'échantillons de zircons détritiques qui présentent le code-barres d'Assabet (étoiles bleues)..... 138
Figure 65. Quatre reconstitutions alternatives du supercontinent supposé de Rodinia, telles que retracées par Evans (2009) à partir des sources d'origine citées. 140
Figure 66. Reconstitution proposée d'une partie du supercontinent supposé de Rodinia, tirée de Johannson (2009). 141
Figure 67. Schéma de corrélation provisoire, basé sur les résultats des zircons détritiques, faisant le lien entre les strates non-fossilifères et tectonisées au sein de l'orogène des Mauritanides, et la succession reposant essentiellement à plat du Bassin de Taoudéni. 143
Figure 68. (*A*) Histogramme des âges U-Pb de la Mauritanie, provenant des données des Tableaux 1 et 9. (*B*) Histogramme des âges 40Ar/39Ar de la Mauritanie, provenant des données des Tableaux 3 et 9.. 159

Liste des Tableaux

Table 1. Synthèse du résultat des datations par l'USGS du zircon magmatique. 167
Table 2. Synthèse du résultat des datations par l'USGS du zircon détritique. 168
Table 3. Synthèse du résultat des datations $^{40}Ar/^{39}Ar$ par l'USGS. 172
Table 4. Données analitiques des traces de fission de l'Apatite. 173
Table 5. Données analytiques $^{40}Ar/^{39}$ 175
Table 6. Données analytiques CA-TIMS. 180
Table 7. Données analytiques LAICPMS. 181
Table 8. Données analytiques SIMS. 299
Table 9. Compilation des âges isotopiques publiés concernant la Mauritanie. 309

1.0. Carte géologique et carte géologique structurale

La carte géologique de Mauritanie (livrable 51), ainsi que la carte géologique structurale de Mauritanie (livrable 52), ont été réalisées avec ARC-GIS v. 10.0. Bien que les couches de SIG soient indépendantes de l'échelle, l'échelle prévue pour les versions imprimées est 1/1 000 000ème. Par ailleurs, la base de données géoréférencée Arc-GIS (v.10), ainsi que les fichiers de formes associés, sont en partie issus du livrable 92.

1.1. Sources d'information

Les cartes ont été compilées en raccordant ensemble un certain nombre de couvertures de SIG (Fig. 1) provenant du travail de PRISM1. Les informations suivantes ont été fournies à l'U.S. Geological Survey par le Ministère des Mines et de l'Industrie :

- Phase 1, Nord : cartographie géologique du Sud de la Mauritanie, par le British Geological Survey (BGS), avec les légendes d'accompagnement aux échelles 1/200 000ème et 1/ 500 000ème (Pitfield et al., 2004).
- Phase 1, Sud : cartographie géologique du Nord de la Mauritanie, par le Bureau de Recherches Géologiques et Minières (BRGM), avec les légendes d'accompagnement aux échelles 1/200 000ème et 1/ 500 000ème (Lahondère et al., 2003).
- Phase 1a, Nord-Ouest : nouvelle cartographie, par le BGS, d'une partie de la Phase 1 du BRGM du Nord de la Mauritanie, avec les légendes d'accompagnement aux échelles 1/200 000ème et 1/500 000ème (O'Connor et al., 2005).
- Phase 1a, extrême Sud : nouvelle cartographie, par le BRGM, d'une partie de la zone de phase 1 du BGS dans l'extrême Sud de la Mauritanie, avec les légendes d'accompagnement aux échelles 1/200 000ème et 1/500 000ème (Lahondère et al., 2005).
- Nouvelle cartographie, inédite, par le BRGM, de huit feuilles de cartes à l'échelle 1/200 000ème dans la région de Tagant, avec les descriptions d'unités pétrographiques au sein du SIG, mais sans légende.

Le projet mauritanien de l'USGS a reçu trente-deux fichiers de formes distincts de la cartographie géologique du BGS à l'échelle 1/200 000ème (« 200K »), et trois fichiers de formes de la cartographie du BGS à l'échelle 1/500 000ème (« 500K ») (Nord1, Nord2, et Sud). Les fichiers 500K intégraient déjà les fichiers 200K files. Ces cartes 500K fusionnées avaient fait l'objet d'un lissage automatisé par SIG. De nombreux points avaient été effacés au cours de cette procédure, modifiant les contacts géologiques. Les cartes 500K fusionnées avaient également été simplifiées, avec la suppression de certains polygones géologiques que nous avons considérés trop importants pour ne pas figurer. Nous avons en conséquence opté pour revenir à l'ensemble des fichiers de formes 200K d'origine, et nous n'avons utilisé les cartes 500K que là où cela constituait la seule option possible. Le problème que nous venons de décrire a provoqué un certain nombre de différences entre les cartes 200K et 500K. Des différences mineures produites par le SIG ont été corrigées par l'utilisation de l'imagerie Google Earth.

Une autre source que nous avons consultée est une nouvelle carte de la géologie des roches mères de Mauritanie à l'échelle 1/1 000 000ème, ayant été compilée par le BRGM (Lahondère et al., 2010), pendant que la présente étude était en cours. La base de données du SIG utilisée pour créer cette carte n'a pas été communiquée à l'USGS, qui a toutefois eu accès à un fichier pdf rastérisé.

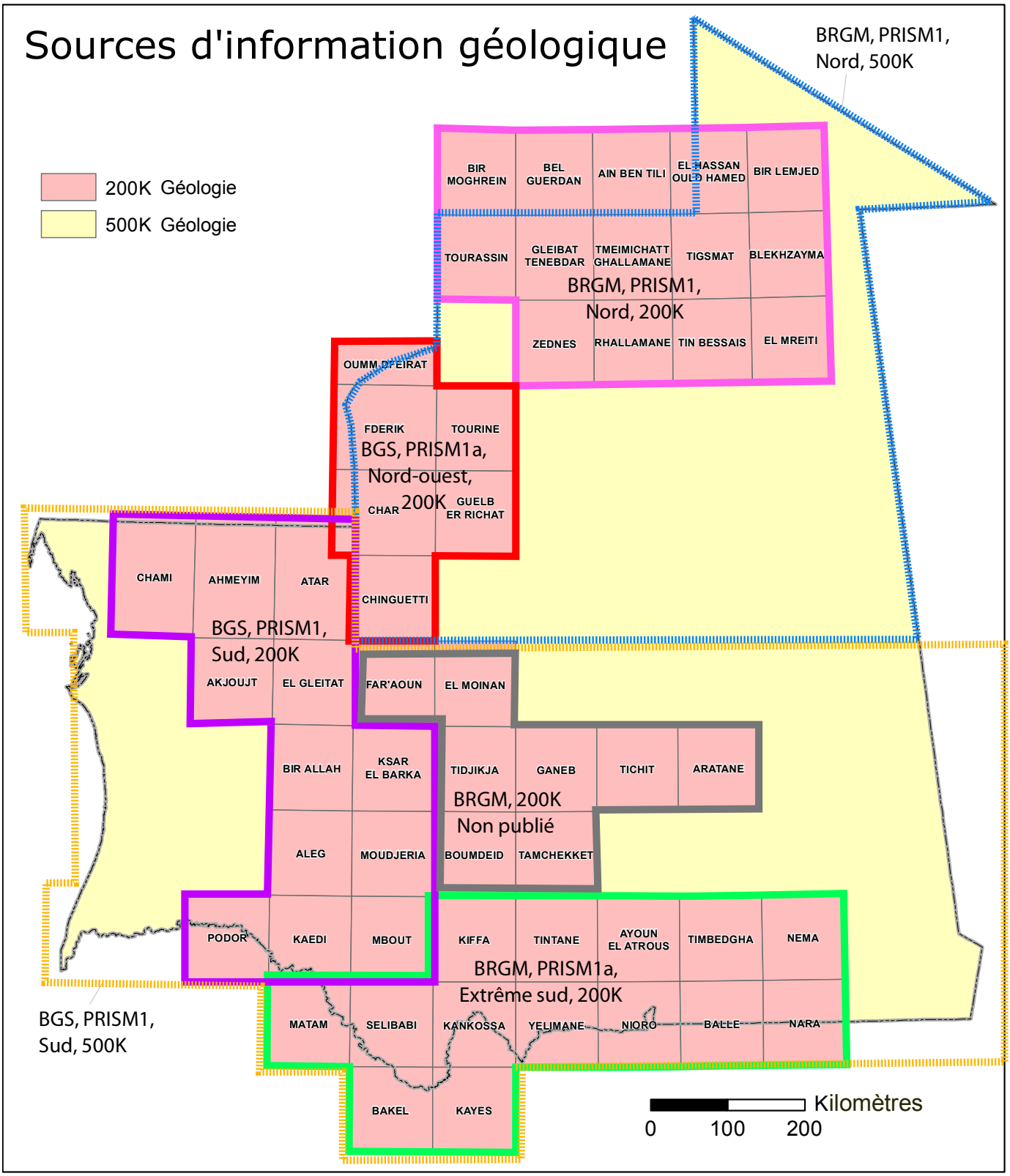

Figure 1. Sources d'information cartographique. Les rectangles à l'échelle 1/200 000ème sont numérotés en utilisant les coordonnées de l'angle Sud-Est de chaque feuille – Ainsi, la feuille d'Atar, portant le numéro 2014, correspond au point de coordonnées 20°N, 14°O.

1.2. Incohérences cartographiques

Un autre type d'incohérence a été trouvé le long des frontières entre les zones ayant été cartographies par deux équipes différentes. En raison du fait que toute carte géologique est une combinaison d'observation et d'hypothèses, deux intervenants différents ont peu de chance de produire des cartes identiques de roches complexes. Dans de tels cas, nous avons choisi la cartographie la plus récente, sur la base du fait que la cartographie la plus récente avait été réalisée en connaissance des travaux plus anciens, sur lesquels elle s'est appuyée. Nous avons donc retenu les cartes de la phase 1a : la cartographie « Nord-Ouest » du BGS, et celle de l'« extrême Sud » du BRGM. Il n'y a pas de doute que des cartes sans raccords ont meilleure allure, mais retirer des éléments de la géologie pour des raisons seulement cosmétique n'est qu'une démarche scientifique de mauvaise qualité. Par conséquent, lors de la préparation de la carte géologique et de la carte structural à l'échelle 1/1 000 000ème, nous avons délibérément conservé les incohérences de bordure, là où les régions cartographiques de la phase 1a Nord-Ouest, de la phase 1a de l'extrême Sud, et de Tagant, rencontrent les anciennes cartes.

1.3 Unités cartographiques

Certains des détails géologiques présentés sur les feuilles de cartes d'origine sont impossibles à faire figurer sur une carte à l'échelle 1/1 000 000ème. De plus, certains détails ne sont pas importants à une échelle nationale, et ne pourraient qu'obscurcir une vue d'ensemble. Nous avons regroupé les unités pétrographiques, nous concentrant respectivement sur le niveau du groupe, de la suite, et du complexe (Commission Nord-Américaine de nomenclature stratigraphique, 1983). De cette manière, le Groupe d'Atar est passé de dix formations cartographiées sur la feuille de la carte à l'échelle 1/200 000 de Chinguetti à deux divisions sur la carte à l'échelle nationale. Pour les suites plutoniques simples (cortèges), nous avons combiné des types de roches semblables, regroupant par exemple l'ensemble des six unités cartographiées au sein du Cortège des Sfariat au sein d'une seule unité. Pour ce qui est des complexes, nous avons regroupé au cas par cas. Dans le Groupe d'Imourène, par exemple, nous avons réduit le nombre d'unités de six à deux, en combinant les composantes magmatiques au sein d'une seule unité, et les unités sédimentaires dans une autre.

Certaines unités stratigraphiques sont trop minces pour apparaître sur la carte à l'échelle nationale, et ont donc été combinées avec les unités adjacentes. De petits polygones, par exemple de sédiments Quaternaires au-dessus d'une roche mère unique, ne sont pas représentés.

1.4 Code couleur

Le code couleur est choisi pour faire ressortir la géologie au niveau du groupe, du cortège, et du complexe. Chacun de ceux-ci est associé à une couleur particulière de fond. Les subdivisions sont distinguées par des motifs en surimpression de différentes couleurs. Certaines unités, telles que les Formations de Fer Rubanés—trop importantes pour les omettre, mais suffisamment petites pour être difficiles à distinguer—sont représentées comme des polygones, avec des limites plus épaisses que la normale, les rendant visibles à l'échelle 1/1 000 000ème.

1.5 Unités cartographiques et abréviations

Concernant la version française de la carte, les abréviations des unités géologiques suivent le schéma adopté pendant la phase 1 de PRISM. Comme noté ci-dessus, les unités pétrographiques sont organisées à

l'échelle du groupe, du cortège, et du complexe. Celles-ci sont identifiées sur notre carte par deux lettres majuscules, ou une majuscule et une minuscule. Ces légendes sont semblables à celles utilisées sur les cartes au 1/200 000ème des cartes de la phase 1 et de la phase 1a de PRISM (Lahondère et al., 2003, 2005 ; Pitfield et al., 2004 ; O'Connor et al., 2005). Les subdivisions en-dessous du niveau du groupe, du cortège, et du complexe sont indiquées par une, ou plusieurs, lettres supplémentaires, ou encore, dans quelques cas, par des nombres. À chaque fois que cela est possible, ces légendes sont les mêmes que celles utilisées lors des phases 1 et 1a de PRISM. Mais certaines de nos unités cartographiques sont de nouvelles combinaisons, ayant nécessité de nouvelles abréviations.

1.6 Carte structurale (livrable 52)

La carte de la géologie structurale de la Mauritanie à l'échelle 1/1 000 000ème a été compilée à partir des mêmes sources numériques que la carte géologique (livrable 51). Une carte géologique simplifiée, avec un code couleur peu complexe, sert de base. L'objectif est de montrer des contraintes d'âge de premier niveau pour les différentes structures. Les roches sur le fond de carte sont divisées environ en quinze unités. Nous distinguons des roches supracrustales (sédimentaires, volcaniques, et des équivalents métamorphiques) par rapport à des roches intrusives, ainsi que des roches du milieu ou de la base de la croûte pour chaque division d'âge (Archéen, Paléoprotérozoïque, Mésoprotérozoïque, Néoprotérozoïque, Phanérozoïque, et Quaternaire).

La base de données SIG des structures consiste essentiellement en des éléments linéaires, plus quelques éléments ponctuels. Les failles et les dykes de la carte géologique structurale sont les mêmes que sur la carte géologique. Comme indiqué au niveau de la légende de la carte structurale, les failles sont subdivisées en des failles en décrochement senestres ou dextres, des failles normales, des failles compressives (y compris inverses), des failles non-interprétées, ainsi que des zones de cisaillement. Les dykes sont subdivisés en combinant l'âge et la composition pour former cinq catégories. Les dykes d'anorthosite ne sont pas datés, mais sont probablement d'âge Archéen, si l'on en juge à partir des nouveaux âges de zircons Archéens provenant des anorthosites, tels que signalés ci-dessous. Les dykes classés comme « Néobirimiens » sont considérés comme Paléoprotérozoïques et orogéniques tardifs par rapports aux évènements orogéniques se situant aux environs de 2 Ga. Les dykes felsiques de cette classe d'âge se différentient des dykes mafiques sur les différentes feuilles rectangulaires des cartes géologiques à l'échelle 1/200 000ème, mais sont regroupés sur la carte géologique nationale. Les dykes classés comme « Post-Birimiens » sont principalement, sinon totalement liés à la CAMP, la région magmatique de l'Atlantique central, datée à environ 200 Ma. Le BRGM et le BGS ont utilisé des classifications quelque peu différentes des dykes. Notre approche a adopté les éléments des deux classifications pouvant être adaptées uniformément à travers l'ensemble du pays. Pour limiter un manque de clarté à l'échelle 1/1 000 000ème, certaines failles et certains dykes de la base de données SIG ont été rendus invisibles.

1.7 Remerciements

Le travail géologique de l'USGS en Mauritanie s'est appuyé sur l'excellent travail mené auparavant par le Bureau de Recherches Géologiques et Minières et le British Geological Survey, au cours des Phases 1, 1a, Extrême Sud, et Zone Centrale du projet PRISM (Lahondère et al., 2003, 2005, 2010 ; Marot et al., 2003 ; Salpeteur, 2005 ; Pitfield et al., 2004 ; Gunn et al., 2004 ; O'Connor et al., 2005). L'équipe du BRGM a compris Didier Lahondère, D. Artignan, A. Cocherie, M. Donzeau, J.-C. Goujou, A.C. Guerrot, F. Guillocheau, C. Helm, A. Marot, J. Le Métour, J.-P. Milesi, Alexis Moussine-Pouchkine, G. Recoche, J. Roger, Ignace Salpeteur, G. Stein, et Denis Thiéblemont. L'équipe du BGS a compris Peter E.J. Pitfield,

A.G. Gunn, Eugene A. O'Connor, R.P. Barnes, S. Clarke, S. Coats, John Ford, M. Gillespie, M.P.H. Hawkins, M.S.A. Horstwood, Roger M. Key, S. Loughlin, J.A. McKervey, J. Powell, David I. Schofield, et C.N. Waters. La Mauritanie figure maintenant, à la suite de ces travaux géologiques, parmi les pays les mieux cartographies au monde.

Le programme de recherche de l'USGS, en Mauritanie, a été facilité par Monsieur Samory Ould Soueidatt, le Dr. Mohamed Yeslem Ould El Joud, et Monsieur Abdarrahmane Ould Daddah, de PRISM ; par Monsieur Wane Ibrahima Lamine, Directeur, ainsi que par le Dr. Ely El Mahjoub, Monsieur Abdallahi Brahim Khlil, et Monsieur Alassane Konate, géologues, du DMG, de même que par l'ancien Ministre Mohamed El Moctar Ould Mohamed El Hacen, par Monsieur le Ministre Taleb Abdival, ainsi que par le Ministère du Pétrole et des Mines. Les équipes de terrain de l'USGS ont été accompagnées en 2007 par les géologues mauritaniens Ahmed Taleb Mohamed, Baydi Thiam, Sid-Ahmed Bouderballa, Abdoullah Samoury, et Mohamed Abdellahi Ould Jeddar. Mike Blackwell et Merlin Thomas, de 1st Quantum Minerals Ltd. nous ont aidés pour les questions pratiques, ainsi que pour accéder à Guelb Moghrein. Au sein du secteur de Zouerate, Monsieur Mohamed Ould Woyssatt, Monsieur Szymon Oksengorn, ainsi que Monsieur Ghali Amar, de la SNIM, et le Dr. Ahmed Salem Ben Mohamedou, de PRISM, nous ont permis un accès et organisé des visites de terrain.

La logistique des cinq semaines de travail de terrain a été prise en charge par Monsieur Cheikh Mohamed Abdallahi Atigh, de SOMACOGIR. Le Colonel Sidi Ould Ely Sari, le Capitaine Med-Mahd Ould Ethmane, ainsi qu'un détachement de militaires ont assuré la sécurité lors du travail de terrain dans le Nord-Est de la Mauritanie. Enfin, Monsieur Tihiya a été notre guide dans le désert.

Par ailleurs, nous remercions particulièrement Andrew Killick et Arthur Merschat de leur relecture attentive, qui a substantiellement amélioré le présent rapport. Ces mêmes géologues ont également relu la carte géologique de Mauritanie (livrable 51), ainsi que la carte structurale de la Mauritanie (livrable 52). Keith Labay et Nora Shew nous ont apporté leur aide concernant le SIG.

2.0 Géochronologie

La plus grande partie de ce rapport est constituée d'une nouvelle géochronologie. Les échantillons ont été prélevés en 2007, à l'occasion de deux déplacements conjoints sur le terrain, entre l'USGS et l'Office Mauritanien des Recherches Géologiques, concernant des cibles d'exploration minérales. Le travail de l'USGS poursuivait la cartographie géologique effectuée en 2001-2005 par le BGS et le BRGM, en coopération avec l'Office Mauritanien des Recherches Géologiques, dans le cadre du projet connu sous le nom de « PRISM » (Pitfield et al., 2004 ; Lahondère et al., 2003 ; Lahondère et al., 2005 ; O'Connor et al., 2005). Les nouveaux résultats sont synthétisés au niveau des Tableaux 1, 2, et 3. Des versions de ces tableaux compatibles avec ARC-GIS sont fournies au sein du livrable 92. Les données analytiques sont fournies au niveau des Tableaux 4 à 8. Les localisations des échantillons de datation de l'USGS sont présentés au niveau des Figures 2, 3, et 4.

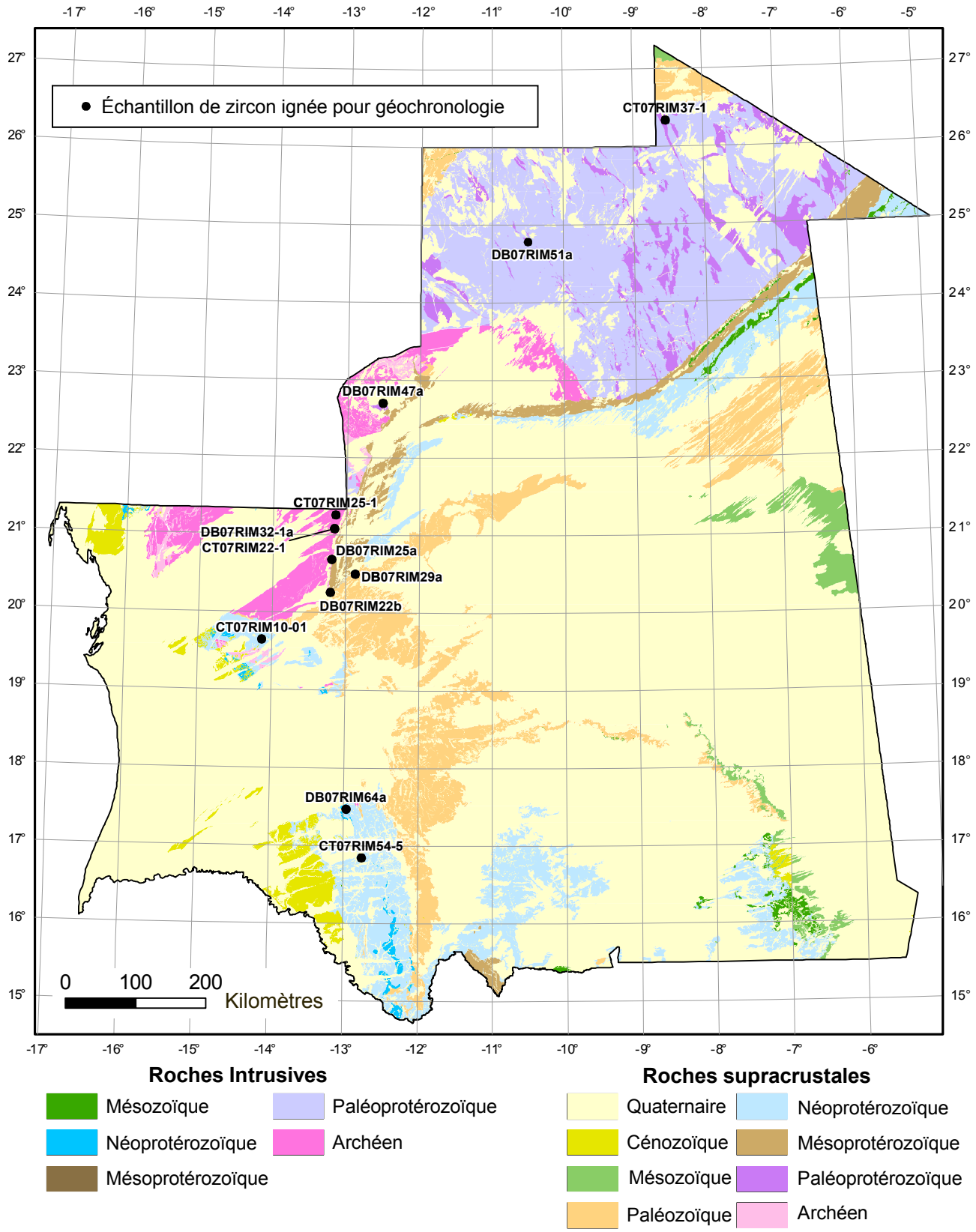

Figure 2. Carte généralisée de Mauritanie présentant la localisation des échantillons des nouvelles datations magmatiques U-Pb.

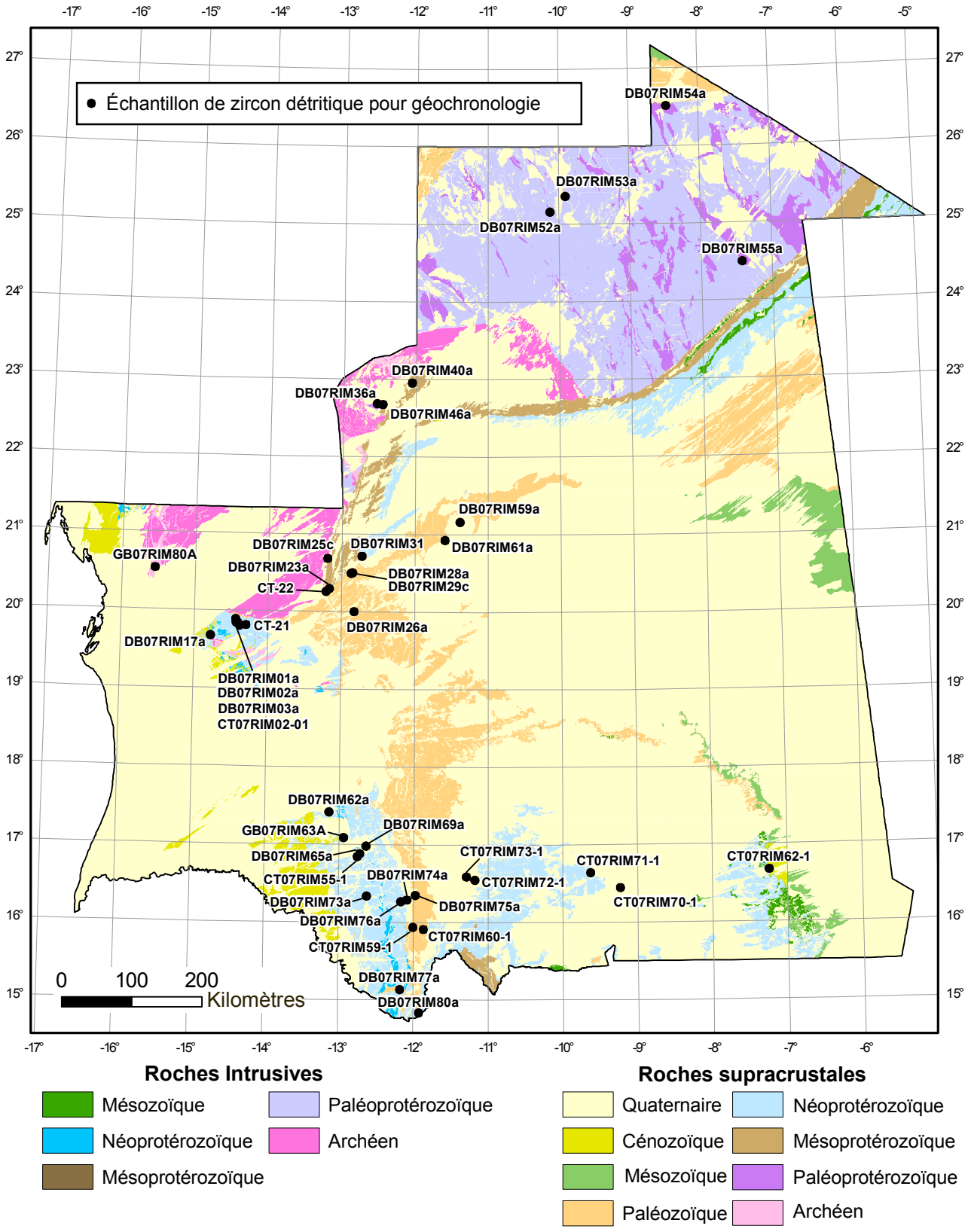

Figure 3. Carte généralisée de Mauritanie présentant la localisation des échantillons des nouvelles datations U-Pb de zircon détritique.

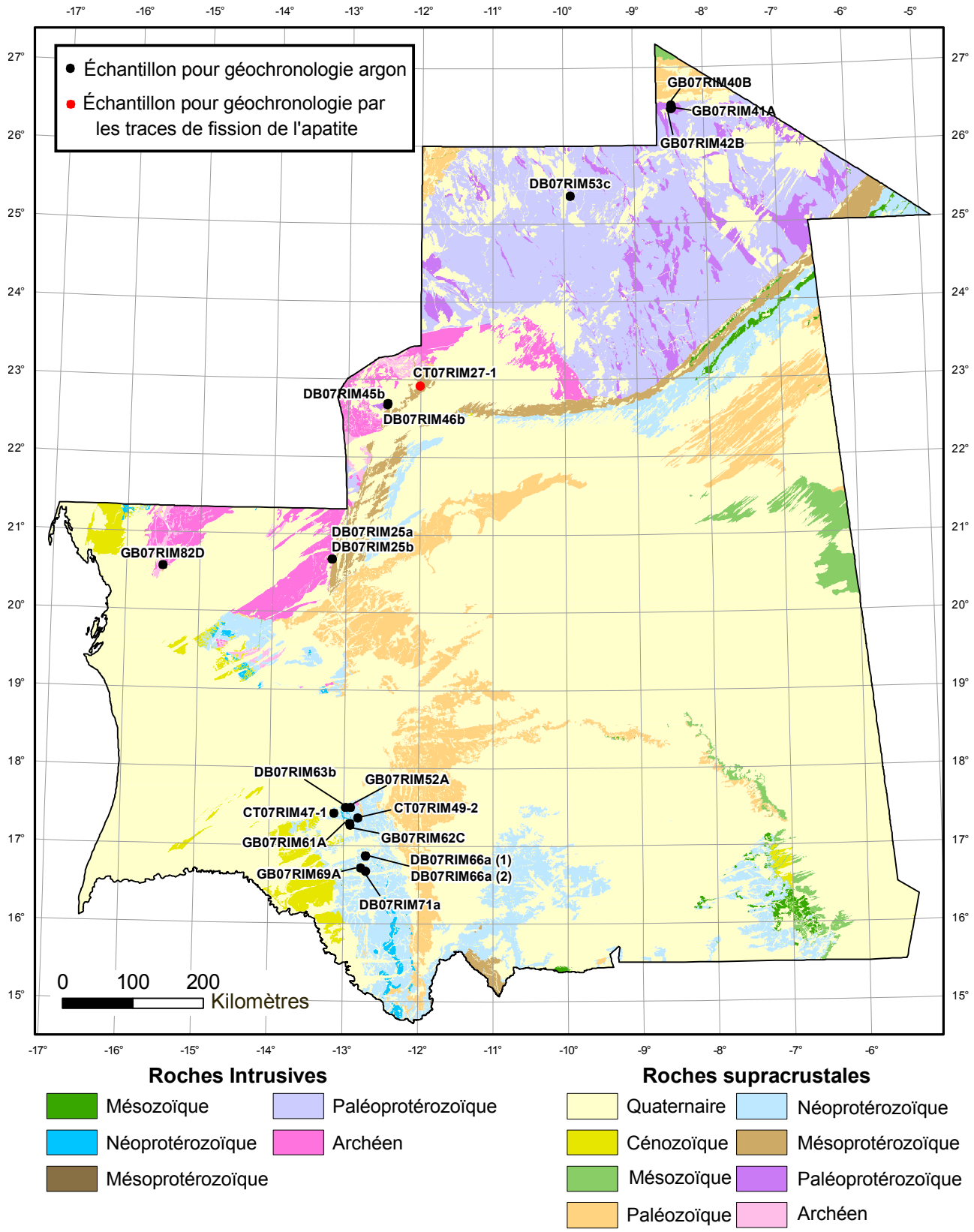

Figure 4. Carte généralisée de Mauritanie présentant la localisation des échantillons des nouvelles datations 40Ar/39Ar provenant de roches métamorphiques et de veines hydrothermales.

Ce rapport comprend également une compilation de la géochronologie disponible antérieurement. Les âges établis de la manière la plus fiable présents dans les publications antérieurs sont énumérés au sein du Tableau 9. Une version de ce Tableau compatible avec ARC-GIS est fournie dans le cadre du livrable 92. Les localisations d'échantillons correspondantes sont présentées sur les Figures 5 et 6.

Les nouveaux résultats que nous avons apportés éclairent la géologie et l'évolution de quatre régions de roches mères de Mauritanie. Les roches les plus anciennes sont situées au sein du Bouclier de Rgueïbat, au Nord de la Mauritanie (Fig. 7). La partie Ouest du Bouclier est d'âge Mésoarchéen. Elle est bordée au Nord-Ouest d'un orogène Paléoprotérozoïque, qui est régulièrement qualifié d'« Eburnéen » ou « Birimien », en analogie à des roches grossièrement comparables et dans une position grossièrement équivalente, bien que situées à 1 100-1 200 km de distance, dans la partie Sud du Craton Ouest. L'orogène des Mauritanides est une chaîne de montagnes Néoprotérozoïques à Permiennes, profondément érodées le long de la bordure Ouest du Craton Ouest Africain. Le bassin d'avant-pays des Mauritanides se fond dans un large bassin intracratonique, le Bassin de Taoudéni, qui contient des strates reposant à plat s'échelonnant entre le Mésoprotérozoïque et le Crétacé. La partie Ouest de l'orogène des Mauritanides est enfouie sous les dépôts de la plaine côtière de la marge passive actuelle, qui s'est mise en place pendant le Jurassique, et a, depuis lors, présenté épisodiquement une subsidence.

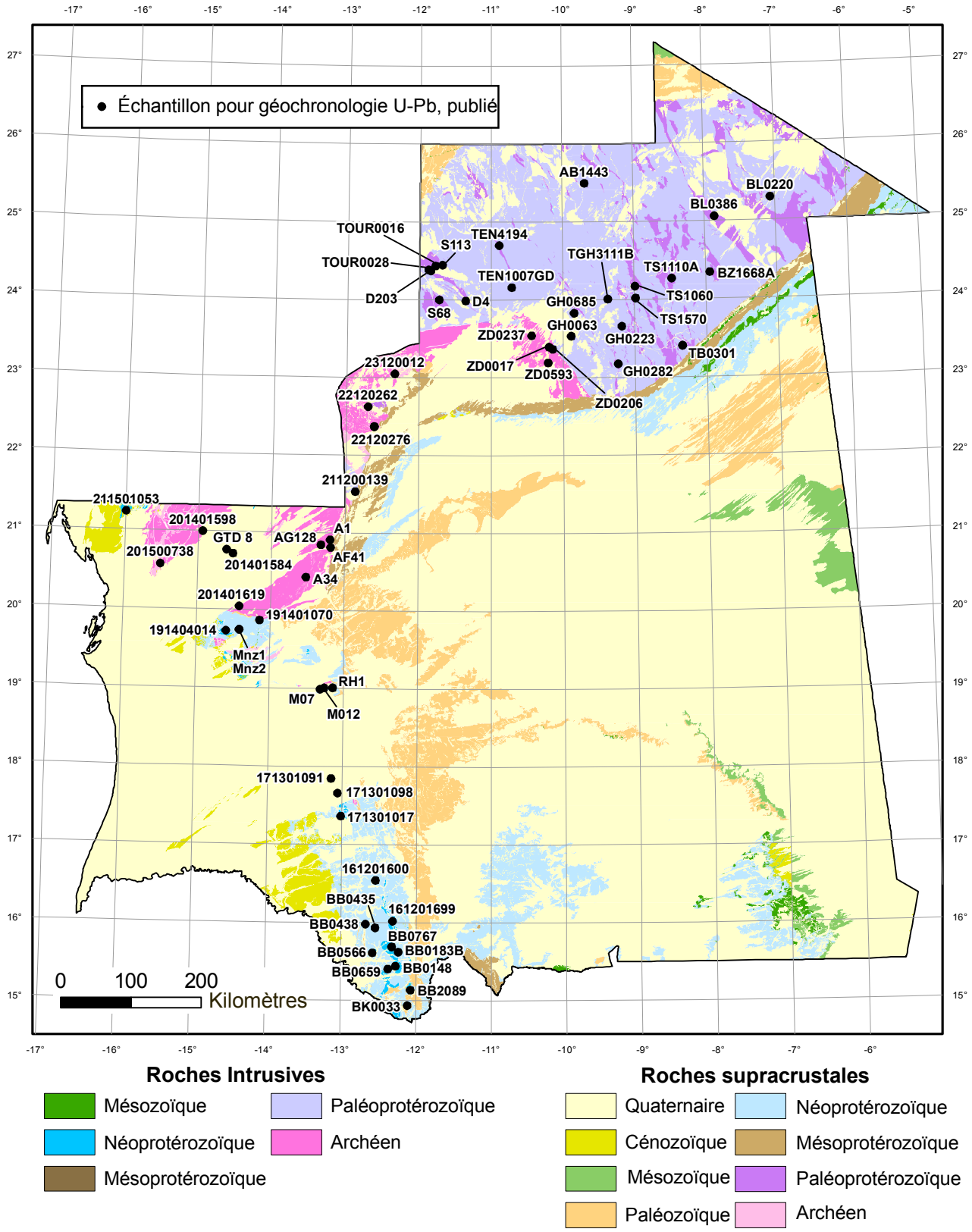

Figure 5. Carte généralisée de Mauritanie présentant des localisations d'échantillons de nouvelles datations U-Pb provenant des publications antérieures. Les âges sont synthétisés au niveau du Tableau 9.

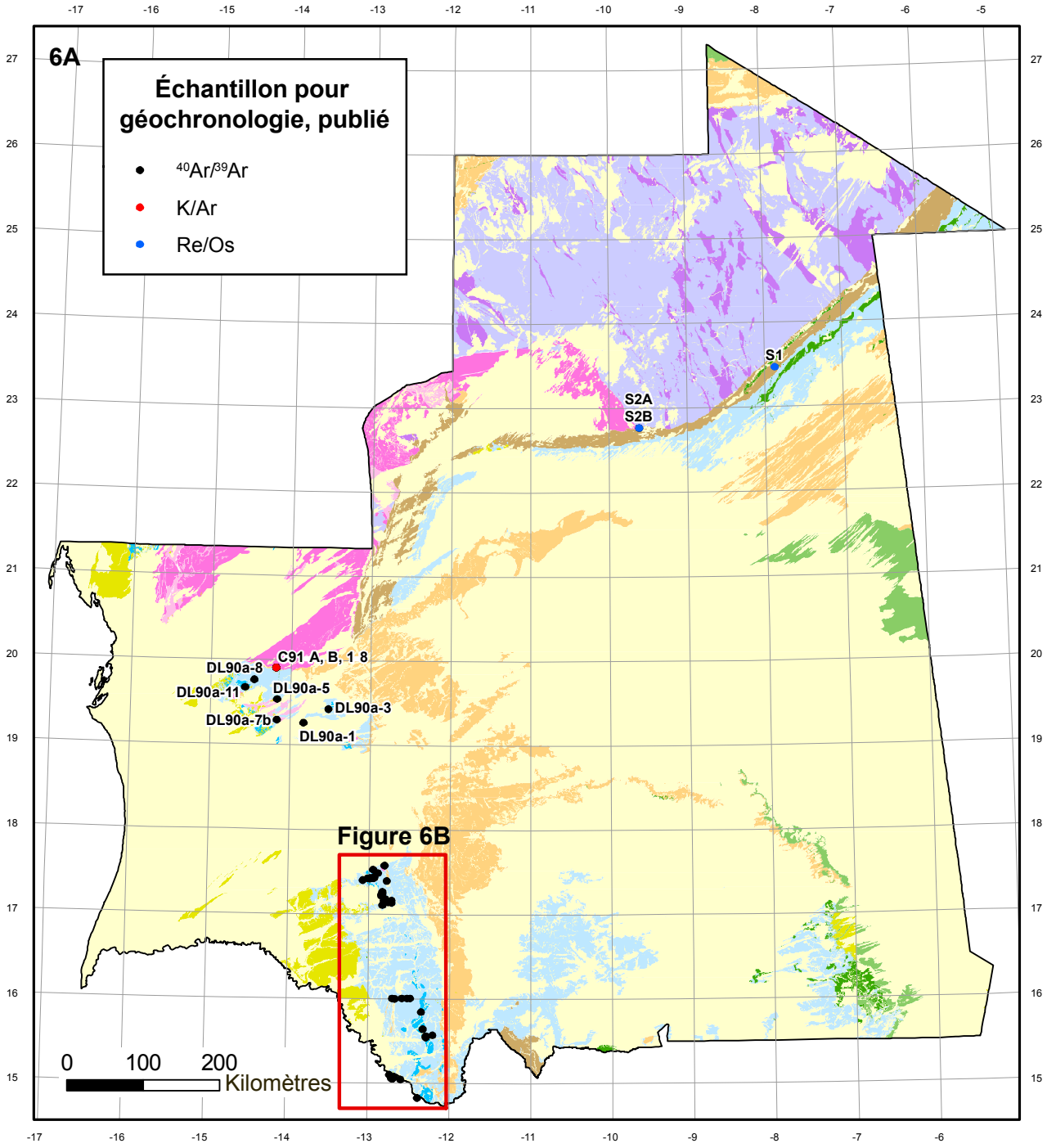

Roches Intrusives

- Mésozoïque
- Paléoprotérozoïque
- Néoprotérozoïque
- Archéen
- Mésoprotérozoïque

Roches supracrustales

- Quaternaire
- Néoprotérozoïque
- Cénozoïque
- Mésoprotérozoïque
- Mésozoïque
- Paléoprotérozoïque
- Paléozoïque
- Archéen

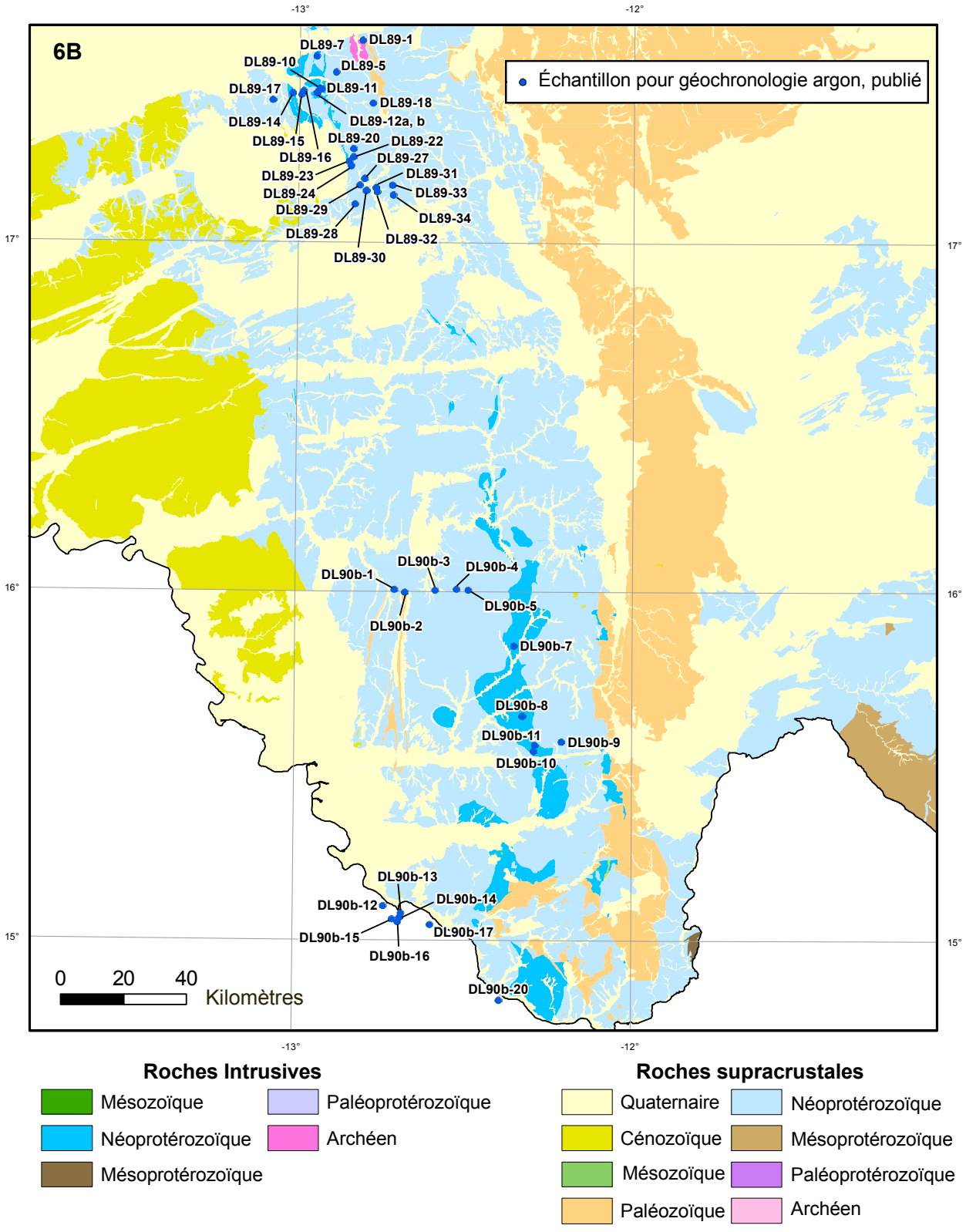

Figure 6. (A) Carte généralisée de Mauritanie présentant des localisations d'échantillons de nouvelles datations $^{40}Ar/^{39}Ar$, K/Ar, et Re/Os provenant des publications antérieures. (B) Détail concernant les Mauritanides Centrales.

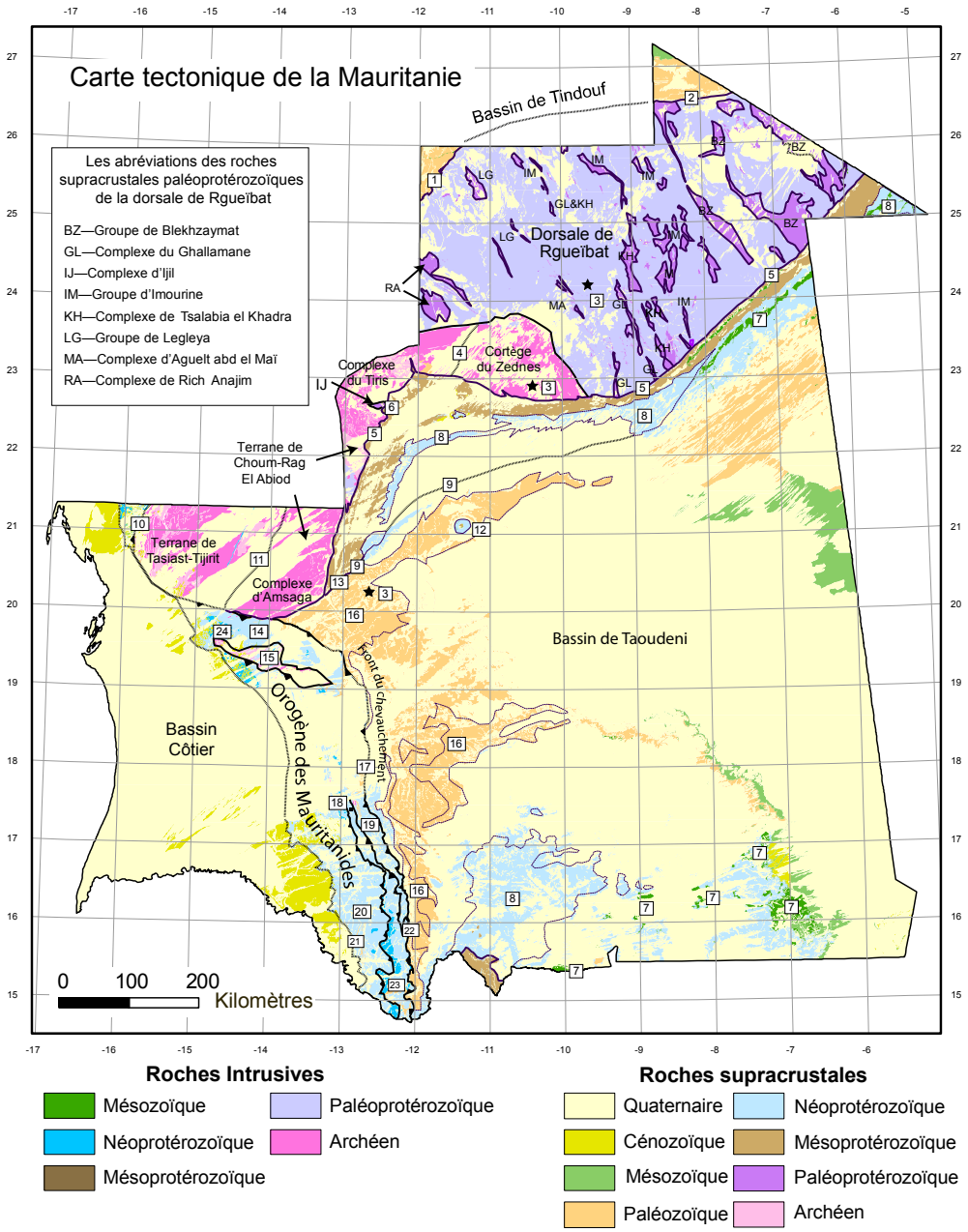

Figure 7. La carte tectonique généralisée de la Mauritanie, adaptée en partie à partir de cartographies de Pitfield et al. (2004) et Lahondère et al. (2003, 2005). La légende des points repérés par un chiffre 1—Discordance en-dessous du Cambrien-Ordovicien, dans l'Ouest du Bassin de Tindouf ; 2—Discordance en-dessous de l'Ordovicien, dans l'Est du Bassin de Tindouf ; 3—Astroblème ; 4—Frontière approximative entre les domaines Archéens de Zednes et de Tiris ; 5—Discordance en-dessous du Groupe Mésoprotérozoïque de Char ; 6—Klippe de Taziast ; 7—Sills mafiques de la région magmatique centrale Atlantique (CAMP) ; 8—Dépôts du bassin d'avant-pays d'Assabet ; 9— Discordance en-dessous des dépôts glaciaires du Groupe de Jbéliat ; 10—Charriage avant, au sein des Mauritanides du Nord ; 11—Zone de cisaillement de Tacarat-Inemmaudene ; 12—Laccolithe souterrain de Guelb er Richat ; 13—Coupe stratigraphique sur la Figure 8 ; 14—Secteur d'Akjoujt de la ceinture de charriage des Mauritanides ; 15—Fenêtre tectonique Archéenne, au-dessous de la ceinture de charriage des Mauritanides ; 16—Dépôts de bassin d'avant-pays d'Oujeft ; 17—Charriage avant des Mauritanides Centrales ; 18—Socle du Néoprotérozoïque précoce, au sein des Mauritanides Centrales ; 19—Ensemble parautochtone au sein des Mauritanides Centrales ; 20—Ensemble allochthone au sein des Mauritanides Centrales ; 21— Discordance en-dessous des dépôts du bassin côtier Mésozoïque-Cénozoïque ; 22—Formation de Kandou, bassin Hercynien d'avant-pays ; 23—Zone de suture de Gorgol Noir dans les Mauritanides Centrales ; 24—Secteur d'Inchiri.

Pendant le programme de prélèvement d'échantillons, l'équipe de terrain de l'USGS a couvert plus de 5 000 km, sur une durée d'environ cinq semaines. Un calendrier serré (et par moment les précautions exigées par notre escorte militaire) n'a laissé qu'un temps insuffisant pour relever complètement les relations de terrain. Dans ces conditions, nous nous sommes contentés de rouler à travers une ceinture de l'une ou l'autre des unités, médiocrement datées, jusqu'à ce que nous rencontrions un affleurement de la roche mère, en nous fiant à un ordinateur portable avec GPS, qui faisait le lien avec les couvertures géologiques du SIG de la cartographie de PRISM1.

2.1. Méthodes analytiques

Les nouvelles datations ont été obtenues pour un certain nombre d'objectifs, et par l'utilisation de cinq techniques. Les détails techniques sont fournis en Annexe.

La méthode des traces de fission de l'apatite (AFT) a été utilisée sur un échantillon pour tenter de dater un enrichissement supergène. L'analyse AFT a été effectuée par le Dr. Paul O'Sullivan, de la société *Apatite to Zircon Inc*. Les données analytiques sont présentées dans le Tableau 4.

Les datations $^{40}Ar/^{39}Ar$ ont été obtenues sur du mica blanc, provenant de roches métamorphiques (cinq échantillons), et des veines hydrothermales (sept échantillons). Des analyses ont été réalisées par le Dr. Michael Cosca au laboratoire de géochronologie de l'Argon de l'U.S. Geological Survey, à Denver. Ces mesures indiquent un refroidissement en dessous d'environ 350 °C, et contraignent respectivement les âges du métamorphisme, et de la minéralisation hydrothermale. Les données analytiques de l'Argon sont présentées dans le Tableau 5.

Les zircons ont été datés par la méthode U-Pb, utilisant trois différentes techniques analytiques. Ils ont été obtenus par la méthode CA-TIMS (abrasion chimique – spectrométrie de masse par ionisation thermique) sur des cristaux uniques. Dans l'analyse TIMS conventionnelle, les grains de zircon ou fragments de grains sont dissous dans l'acide, Pb et U sont purifiés chimiquement, et les différents isotopes de Pb et U sont alors analysés. L'« abrasion chimique » fait référence à une nouvelle étape innovante qui est effectuée avant tout autre traitement, pendant laquelle les grains sont chauffés à nouveau à haute température, et partiellement digérés à l'acide pour retirer les parties endommagées de chaque zircon très certainement à l'origine de problèmes lors de la datation (Mattinson, 2005). Nous avons utilisé la méthode CA-TIMS sur un échantillon, une couche de cendres de quelques mètres au-dessus de la tillite de Jbéliat, pour la situer précisément dans la succession des évènements glaciaires Néoprotérozoïques. L'analyse CA-TIMS a été effectuée au *Massachusetts Institute of Technology* par les Drs. Jahan Ramezani et Samuel Bowring. Les données analytiques CA-TIMS sont présentées dans le Tableau 6.

La plupart de nos échantillons de zircon ont été datés par Paul O'Sullivan (de la société *Apatite to Zircon Inc.*), en utilisant la spectrométrie de masse à ablation laser couplée par induction (LAICPMS), dans les locaux de l'Université de Washington State. Cette méthode utilise un faisceau laser pour libérer l'U et le Pb du zircon cible, détruisant la plus grande partie du grain. Alors qu'elle fournit généralement une datation moins précise que CA-TIMS, cette technique est beaucoup moins onéreuse, et permet l'analyse de nombreux zircons distincts à partir d'un échantillon donné. L'ensemble des analyses de zircon, à l'exception de l'une d'entre elles, ont été réalisées en utilisant la méthode LAICPMS. Sauf mention contraire, nous avons analysé 120 grains distincts par échantillon. Ceci est suffisant pour être efficace dans l'élimination des résultats discordants. Lors du tracé de l'histogramme et de la courbe de densité, nous avons écarté (1) les résultats ayant une erreur/âge supérieur(e) à 4 % (c'est-à-dire les grandes ellipses d'erreur), (2) les résultats ayant une probabilité de concordance inférieure à 0,15 suivant Ludwig (1998), (3) les résultats ayant moins de 5 à 47 spectres concordants, et (4) les analyses ratées. Les effets du filtrage peuvent être observés en comparant les diagrammes de Concordia filtrés et non-filtrés des différents échantillons. Nous

avons également utilisé la méthode LAICPMS sur quelques échantillons plutoniques et volcaniques. Cela est utile dans le cas de roches volcaniques contenant un mélange de zircons magmatiques et détritiques, ou des roches magmatiques possédant de nombreux, mais pas tous les grains, ayant subi une perte ou un enrichissement en Plomb. Les âges de Concordia qui ont été calculés en utilisant le module d'extension Isoplot Excel (*http://www.bgc.org/isoplot_etc/isoplot.html*) sont donnés avec les analyses du zircon par LAICPMS. Les données analytiques par LAICPMS sont présentées dans le Tableau 7.

Quelques échantillons de zircon magmatique et détritique ont été utilisés pour une spectrométrie de masse à ionisation secondaire (SIMS), dans les locaux SHRIMP-RG de l'USGS-Stanford, à l'Université de Stanford. Les analyses ont été effectuées lors de quatre séances, entre 2007 et 2012, par Dwight Bradley, Cliff Taylor, Jamey Jones, et Dan Bradley, avec différents formats de collaboration. La méthode SIMS utilise un étroit faisceau d'ions pour libérer U et Pb d'un point superficiel, qui est typiquement beaucoup plus petit que le zircon cible. Cela est particulièrement intéressant pour découvrir des âges de zircons présentant un zonage complexe, tels que les centres vestiges ou les bordures métamorphiques. Concernant les âges magmatiques, dix à vingt zircons sont habituellement analysés. Concernant les âges détritiques, soixante zircons sont habituellement analysés. Pour les analyses SIMS, nous présentons la datation $^{206}Pb/^{238}U$ pour les âges inférieurs à 1 000 Ma, et la datation $^{207}Pb/^{206}Pb$ pour tous les éléments plus vieux. Suivant en cela les protocoles du laboratoire, nous avons écarté les résultats ayant un rapport erreur/âge supérieur à 4 % (c'est-à-dire les grandes ellipses d'erreur), et nous avons écarté les résultats ayant une discordance calculée supérieure à 10-20 %, comme indiqué sur les diagrammes des échantillons particuliers. Les données analytiques SIMS sont présentées dans le Tableau 8.

Un certain nombre de commentaires concernant le domaine en plein essor de la datation des zircons détritiques sont apportés à titre d'information générale. La plupart des zircons cristallisent à partir de liquides magmatiques, ou sont d'origine métamorphique. Les grains de zircon sont difficiles à altérer, et résistent fréquemment aux processus d'altération, pour former des grains détritiques au sein des roches sédimentaires. Les datations du zircon par la méthode U-Pb, provenant d'un grès ou d'un métagrès, inclut typiquement des concordances (généralement interprétées comme les âges magmatiques d'origine), et quelques discordances (généralement dues à une perte partielle ou un enrichissement en Plomb, ou peut-être un combinaison des deux). La pratique habituelle est de filtrer les résultats pour conserver les résultats concordants, et donc d'éliminer les grains dont la détermination de l'âge est la moins fiable, et pouvant être source d'erreur. Les données de zircon détritique peuvent apporter plusieurs types d'information touchant à la géologie régionale et à l'évolution tectonique. Au moins dans des contextes tectoniques actifs, les zircons détritiques apportent fréquemment des contraintes sur l'âge de dépôt du grès ou du métagrès hôte, ne pouvant pas être plus vieux que l'âge concordant le plus récent de zircon magmatique. Les protocoles destinés à affecter un âge maximum de dépôt à une unité pétrographique, sur la base des zircons détritiques, ont été examinés par Dickinson et Gehrels (2009). Au sein de la présente étude, nous utilisons leur critère « YPP », c'est-à-dire le pic graphique le plus récent dans le tracé de densité de probabilité des âges de zircon filtrés. Les contraintes d'âge du zircon sont particulièrement intéressantes pour des strates dépourvues de fossiles—une situation liée à l'âge de la strate, l'environnement de dépôt, le niveau de déformation, le niveau de métamorphisme, un manque de cartographie, ou une combinaison de ces facteurs. La distribution des âges du zircon détritique peut être utilisée pour évaluer de possibles corrélations entre unités stratigraphiques renfermant du grès. Cette information a des applications en cartographie géologique à une échelle locale, par exemple en rapprochant des roches présentant des difficultés, et appartenant à l'une ou l'autre des unités de la carte, ou à une échelle régionale, en faisant correspondre des parties déplacées d'une succession sédimentaire ou métasédimentaire, à l'origine continue. De plus, les zircons détritiques peuvent être liés par leur âge à des régions de roches mères source possibles. C'est le premier facteur qui conduit actuellement à une explosion mondiale de la recherche sur le zircon détritique. Une information de

ce dernier type peut à son tour influer sur la détermination du moment de juxtaposition des ensembles pétrographiques—que ce soit à l'échelle des blocs faillés, des terrains, ou des continents— et sur la compréhension de l'évolution du bassin, à un niveau de détails qui serait sans cela totalement hors de portée.

2.2. Information sur les échantillons

Les références des échantillons de l'USGS provenant de notre travail de terrain, effectué en octobre et novembre 2007, identifient le géologue, l'année, la zone du projet, et la référence de l'emplacement. De ce fait, l'échantillon DB07RIM29a a été prélevé par DB (Dwight Bradley)[1], en 2007, en République Islamique de Mauritanie (RIM). L'emplacement était le 29ème de Bradley, et toutes lettres de terminaison, à savoir a, b, c, etc…, correspondent aux différents types de roches de cette localisation. Deux références d'échantillon ne suivent pas ce schéma—CT21 et CT22—. Ils proviennent d'un travail de terrain distinct, effectué par Cliff Taylor au printemps 2007. Les coordonnées GPS sont basées sur le référentiel WGS 84.

[1] Les initiales CT désignent Cliff Taylor, et GB désigne Georges Beaudoin.

3.0. Résultats de la géochronologie pour le Bassin de Taoudéni

Le Bassin de Taoudéni (Fig. 7) est un vaste bassin intracratonique couvrant une grande partie du craton d'Afrique de l'Ouest. Son remplissage sédimentaire est essentiellement non-déformé, sauf le long du front orogénique des Mauritanides, et aux endroits où il est localement faillé, le long de sa marge Nord. Les rapports de PRISM 1, de Pitfield et al. (2004) et Lahondère et al. (2003, 2005), ont présenté une synthèse de la stratigraphie. La plupart de nos échantillons proviennent de la section classique de la région d'Adrar (Fig. 8).

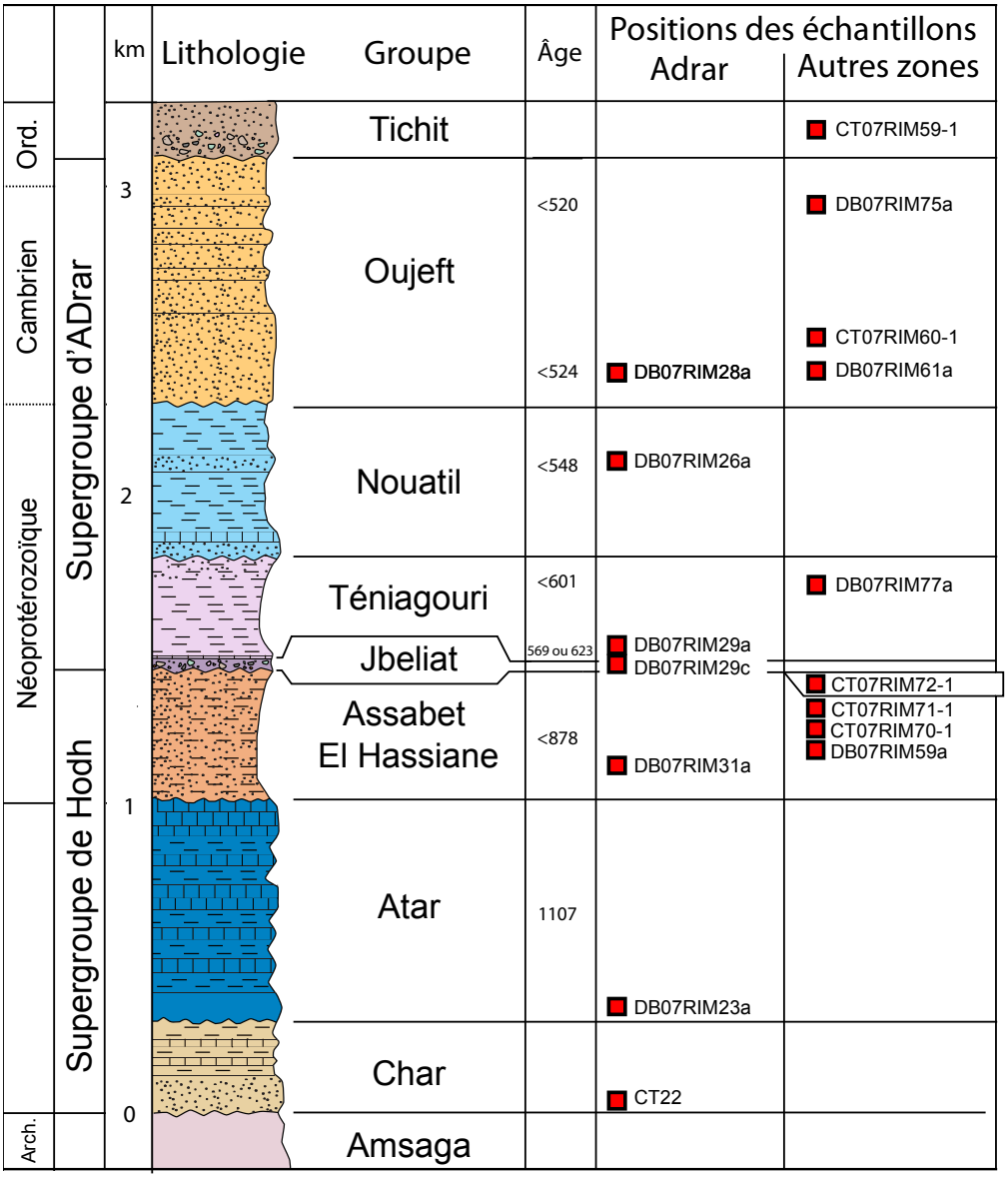

Figure 8. La colonne stratigraphique de la région d'Adrar appartient au Bassin de Taoudéni. La colonne lithologique est adaptée de Deynoux et al. (2006). La nomenclature provient de Pitfield et al. (2004), et le contrôle de l'âge provient de la présente étude, ainsi que de Rooney et al. (2010).

3.1. Groupe de Char

Le Groupe de Char, le Groupe d'Atar, et le Groupe d'Assabet El Hassiane constituent ensemble le Supergroupe de Hodh, qui est le plus ancien de trois subdivisions majeures de la stratigraphie du Groupe de Taoudéni (Fig. 8). Le Groupe de Char repose en discordance sur les roches du socle Archéen et Paléoprotérozoïque, le long du bord Nord-Ouest et Nord du bassin. Il est composé principalement de grès et de conglomérats, et est d'environ 300 m d'épaisseur (Benan et Deynoux, 1998). On lui a longtemps attribué un âge proche de la limite Mésoprotérozoïque-Néoprotérozoïque, sur la base d'une datation par la méthode Rb-Sr de 998±34 Ma, provenant des argiles de matrice (Clauer et al., 1982). À la lumière de la nouvelle contrainte d'âge provenant du Groupe d'Atar le plus récent (voir section 3.2), le Groupe de Char est réaffecté au Mésoprotérozoïque. Nous suggérons un âge d'environ 1 125 Ma, c'est-à-dire un peu plus ancien que le Groupe d'Atar, le recouvrant sans discordance.

Les zircons détritiques ont été analysés à partir d'un échantillon (CT22) provenant de l'unité inférieure du Groupe de Char, à savoir la Formation d'Agueni. L'échantillon, constitué d'une arénite quartzique, était situé à quelques mètres au-dessus de la discordance de la base, le long de la principale voire rapide à proximité d'Atar, dans l'angle Sud-Est de la feuille de la carte à l'échelle 1/200 000ème d'Atar (numéro 2013) (Fig. 9). En dessous de la discordance se trouve un paléosol Mésoprotérozoïque qui s'est mis en place sur les granitoïdes déformés du Complexe d'Amsaga. Benan et Deynoux (1998) ont interprété la présence d'un faciès de dépôt de type rivage pour cette partie inférieure de la colonne stratigraphique du Groupe de Char.

Sur les 43 zircons qui ont été analysés, la majorité des résultats sont fortement discordants, et ont pour cette raison été rejetés. Seulement 17 résistent à un filtre indulgent de 20 % de discordance. Cette petite population montre des maximums Paléoprotérozoïques de 2 482 et 2 054 Ma (Fig. 9D). Il n'y a pas de zircons Mésoprotérozoïques qui aideraient à contraindre l'âge de dépôt. Les zircons discordants montrent des indices d'une perte de Plomb pendant le Phanérozoïque (Fig. 9C).

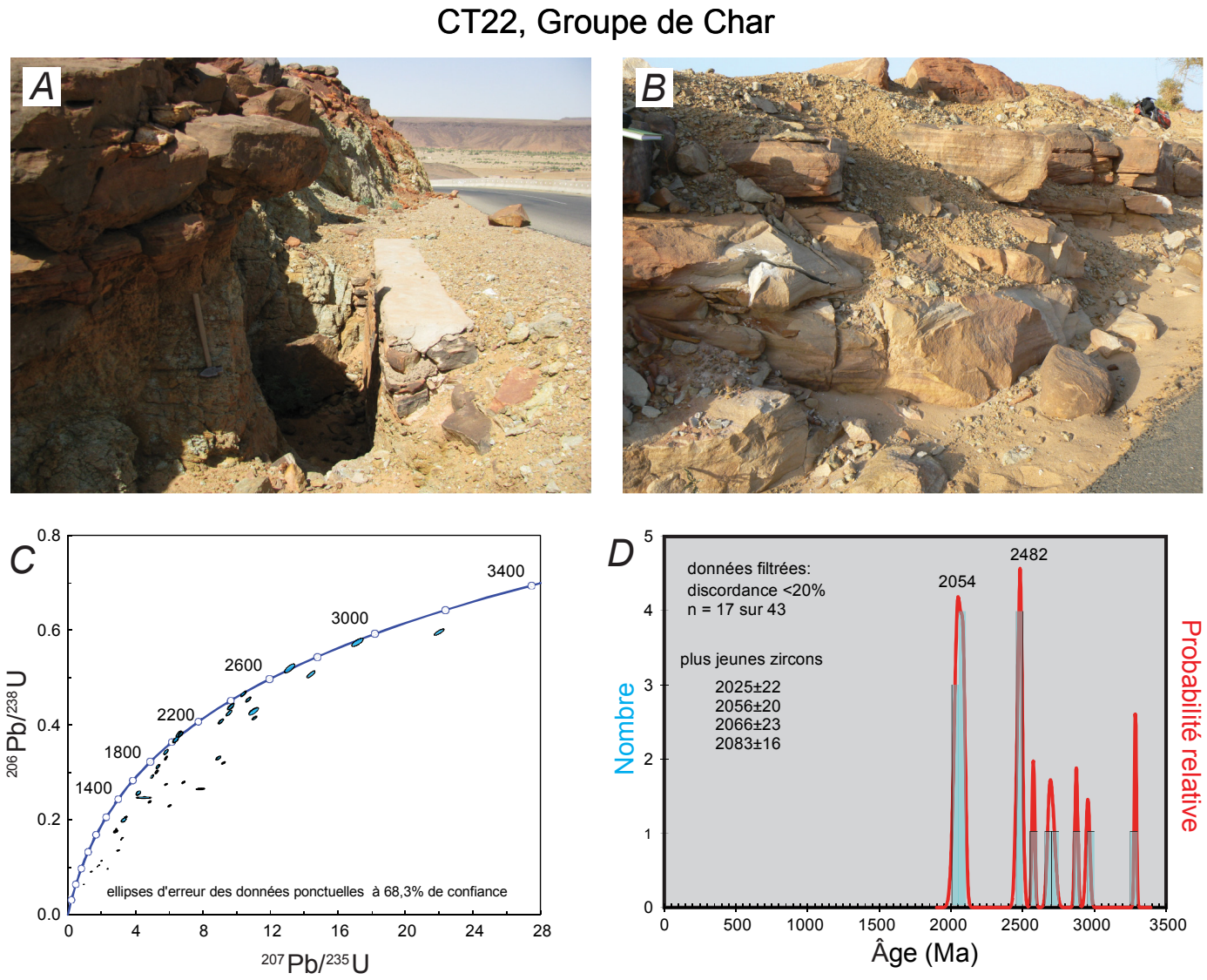

Figure 9. Données et les photographies concernant les zircons détritiques de l'échantillon CT22, provenant du Groupe de Char. (*A*) Grès de la base du Groupe de Char (rouge) surmontant en discordance un paléosol pâle verdâtre, mis en place sur un granitoïde du Complexe d'Amsaga. (*B*) Grès du Groupe de Char, là où ont été prélevés les zircons détritiques. (*C*) Diagramme Concordia. (*D*) Distribution des âges présentée sous deux formes : une fonction de densité de probabilité (courbe rouge), et un histogramme avec des barres de 50 millions d'années (rectangles bleus). Il s'agit de l'un des deux échantillons prélevés lors d'un rapide déplacement de reconnaissance, au début de 2007. Cela explique la manière différente de numéroter les échantillons.

3.2. Groupe d'Atar

Le Groupe d'Atar, de 700 m d'épaisseur, est un dépôt qui recouvre le Groupe de Char (Fig. 8). À l'exception d'un intervalle clastique à la base, il est constitué de manière dominante d'une dolomie stromatolitique. Les argiles des intervalles de schistes ont produit des âges du Néoprotérozoïque précoce par les méthodes Rb–Sr et K–Ar de 890±35 et 775±52 Ma (Clauer, 1976). Ces résultats sont à l'origine de la détermination d'un âge de dépôt Néoprotérozoïque, qui a été attribué au Groupe d'Atar sur de précédentes

compilations cartographiques (Pitfield et al., 2004 ; Lahondère et al., 2003). Récemment, Rooney et al. (2010) ont signalé trois âges pratiquement identiques par la méthode Re-Os (1 106±12 Ma, 1 109±22 Ma et 1 105±37 Ma, provenant de strates riches en matières organiques du Groupe d'Atar, à partir des carottes de deux forages d'exploration séparés d'environ 200 km. Ces résultats impliquent un âge de dépôt du Mésoprotérozoïque tardif. Les âges déterminés par Clauer (1976, 1982), par la méthode Rb-Sr, pour le Groupe de Char et le Groupe d'Atar, s'avèreraient ainsi trop récents de 100 à 300 millions d'années. Nous en concluons que les âges obtenus par la méthode Rb-Sr, à partir des argiles présentes au sein des strates du Bassin de Taoudéni, ne sont pas fiables, et que les âges indiqués par la méthode Rb-Sr pour le Groupe d'Assabet El Hassiane et le Groupe de Jbéliat (voir ci-dessous) sont de la même manière sujets à caution.

Les zircons détritiques provenant de l'un des échantillons du Groupe d'Atar (RIM07DB23a) ont été analysés par LAICPMS. L'échantillon provient du bord de la principale route à proximité d'Atar, dans l'angle Sud-Est de la feuille de carte à l'échelle 1/200 000ème d'Atar (numéro 2013). La roche est un grès à galets, à lits entrecroisés, localisé dans des chenaux de la partie inférieure du Groupe d'Atar, à savoir la Formation de Foum Chor (Fig. 10A and B). Les strates, qui n'ont pas subi de déformation, reposent à plat, et ne montrent pas d'altération évidente. Deux doubles provenant du même échantillon ont été analysés à des moments différents. Lorsque la première analyse a été réalisée (référence de laboratoire 952-12), l'objectif principal était de contraindre au maximum l'âge de dépôt. Les zircons euhédraux ont donc été choisis de préférence à ceux qui étaient arrondis, sur la base de l'hypothèse que les premiers avaient plus de chance de n'avoir parcouru qu'un seul cycle sédimentaire. Sur les 120 grains, seuls 48 ont résisté aux filtres LAICPMS décrits à la section 2.0. Plus de la moitié des zircons avaient subi des pertes de Plomb semblant relativement récentes, Cénozoïques à modernes (Figs. 10E et F). La courbe de probabilité montre des pics majeurs à 2 442, 2 072, et 581 Ma, ainsi qu'un pic mineur à 647 Ma (Fig. 10G). Ce résultat a provoqué un problème, en raison des contraintes géologiques sur l'âge de dépôt Mésoprotérozoïque. Nous avons donc procédé à une seconde analyse à l'aveugle (référence de laboratoire 1284-04) sur un double conservé de l'échantillon DB07RIM23a. Cette fois, les zircons ont été choisis de manière aléatoire. Sur les 120 zircons analysés, 62 se sont montrés concordants. La courbe de probabilité présente des pics Paléoprotérozoïques majeurs à 2 451, 2 080, et 2 031 Ma, ainsi que des pics Archéens mineurs à 2 928 et 2 706 Ma (Fig. 10J). Sur le plan qualitatif, les deux courbes de probabilité sont similaires, bien que la seconde série d'analyses ait produit beaucoup moins de résultats récents problématiques de zircons Néoprotérozoïques. Les pics à 2 451, 2 080, et 2 031 Ma sont relativement semblables aux pics d'âges détritiques principaux au sein du Groupe de Char. Les deux âges du zircon à environ. 600 Ma sont également problématiques en raison du fait qu'ils sont environ 500 millions d'années trop jeunes. Comme évoqué à la section 7.6, ces zircons, ainsi que de nombreux autres aux environs de 600-Ma provenant de notre série d'échantillons mauritaniens, peuvent avoir été partiellement réinitialisés au cours d'un évènement Panafricain.

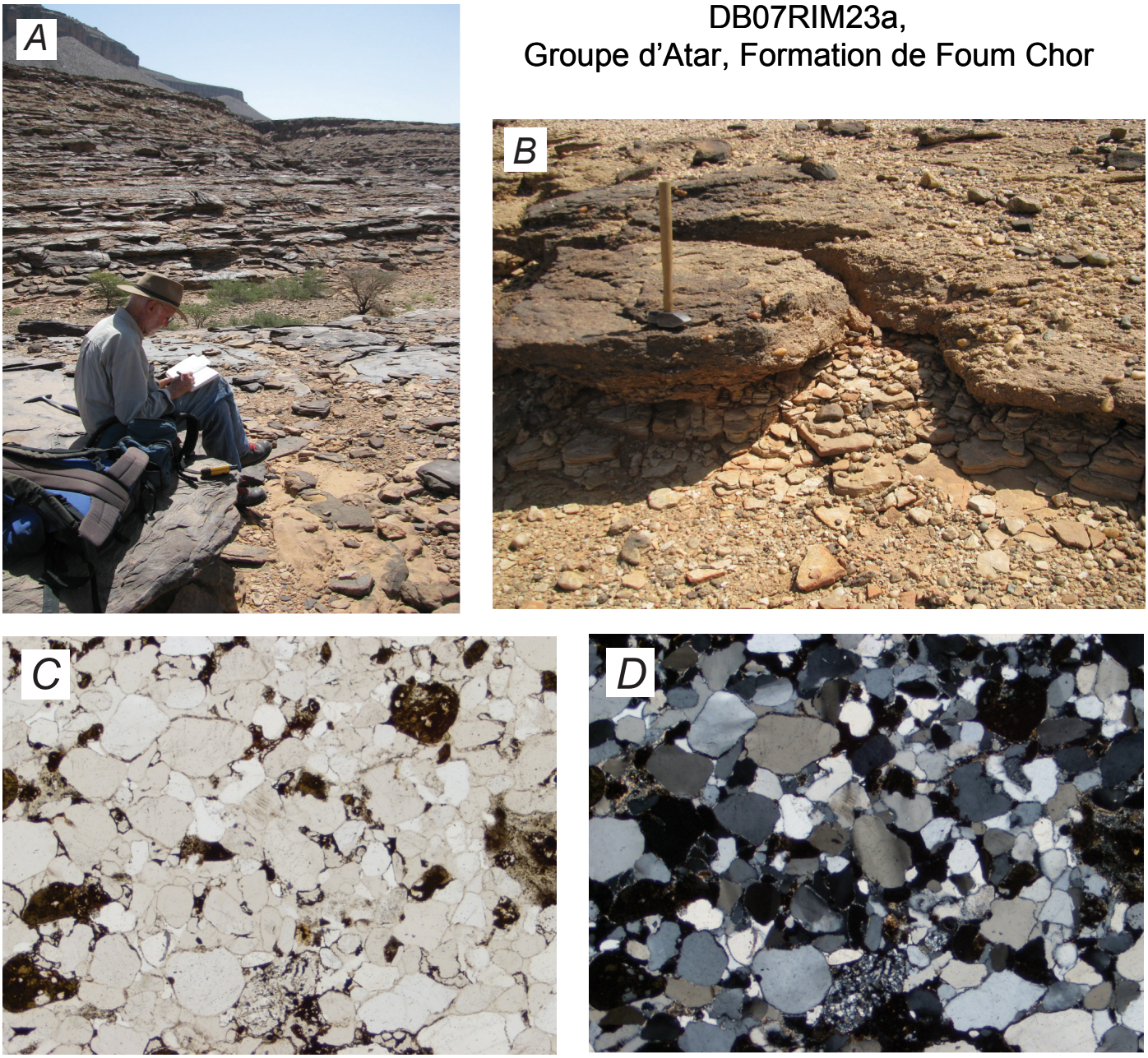

Figure 10. Les données et les photographies des zircons détritiques provenant de l'échantillon DB07RIM23a du Groupe d'Atar. (*A* et *B*) Photographies de l'affleurement de prélèvement d'échantillon. (*C* et *D*) Photographies au microscope en lumière polarisée plane et croisée, respectivement. On note l'absence de déformation pénétrante. Au niveau de ces photographies au microscope et des suivantes, le champ de vision est de 2,5 mm de largeur. (*E*, *F*, et *G*) Diagrammes Concordia, ainsi que la répartition correspondante des âges du zircon, sur la base de la première analyse de l'échantillon DB07RIM23a (référence de laboratoire 952-12). (*H*, *I*, et *J*) Données comparables sur la base de la nouvelle analyse (référence de laboratoire 1284-04). Au niveau de ce tracé et des suivants, la répartition des âges montre uniquement les données filtrées, ainsi que les diagrammes Concordia associés par paires, les ellipses bleues et rouges représentent respectivement les données filtrées et non-filtrées.

DB07RIM23a, Groupe d'Atar, Formation de Foum Chor (suite)

Zircons idiomorphes préférentiellement choisis

Sélection aléatoire de zircon; graphiques de cette colonne préférées

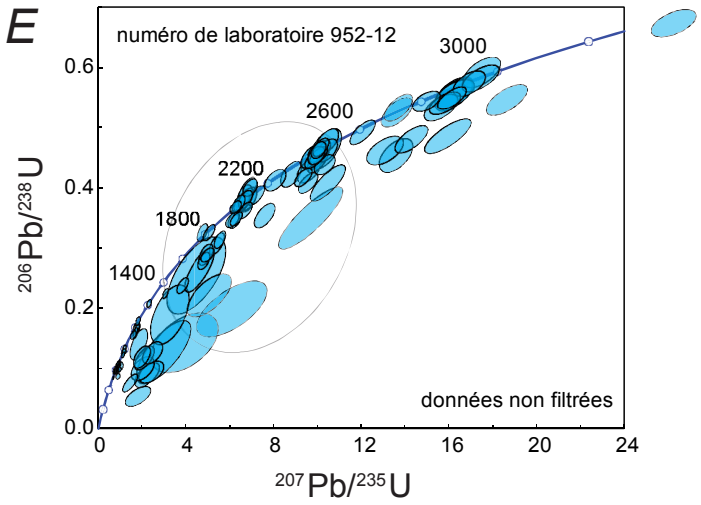

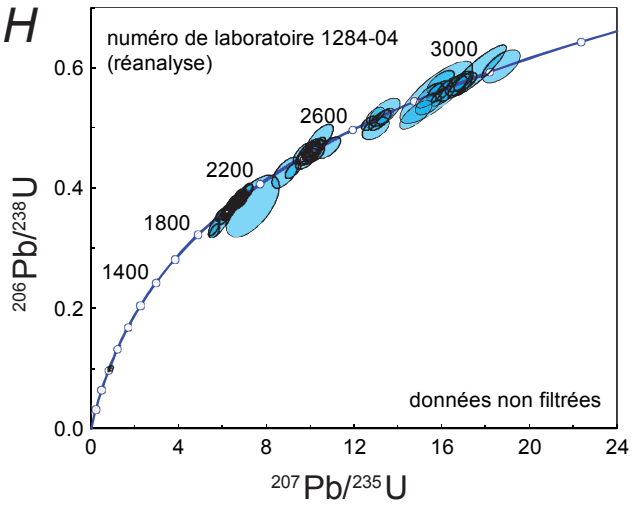

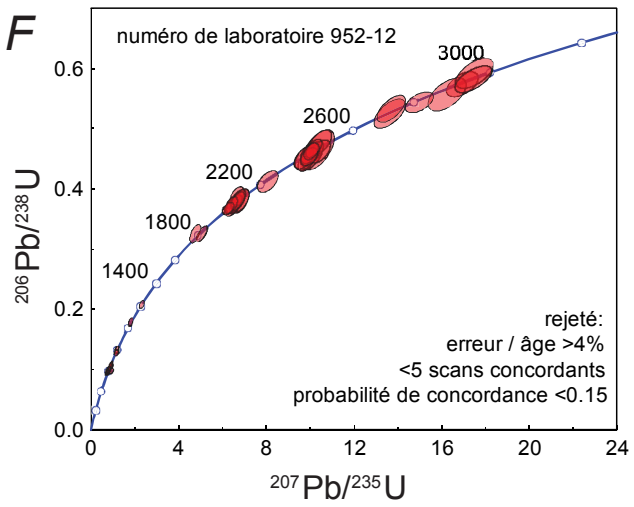

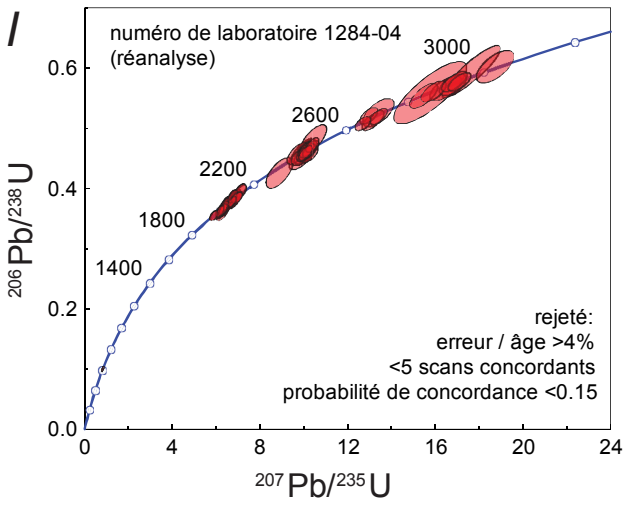

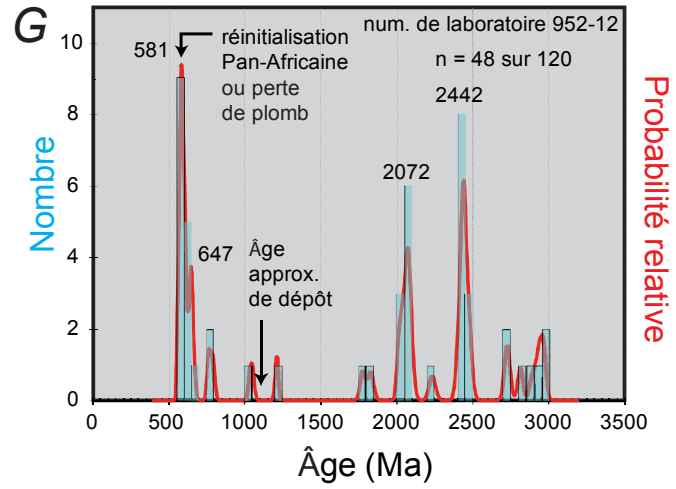

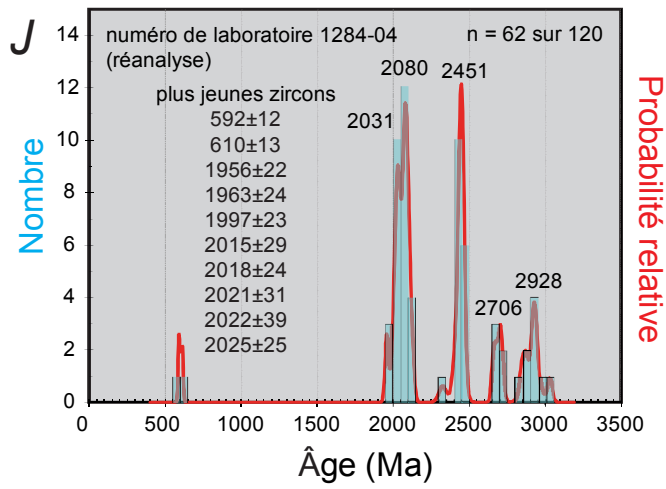

3.3. Groupe d'Assabet El Hassiane

Le dépôt du Groupe d'Assabet El Hassiane surmonte le Groupe d'Atar (Fig. 8). Il est constitué de grès, de siltite, et de schistes. Il est généralement de 300-400 m d'épaisseur (Deynoux et al., 2006), bien qu'il devienne plus épais jusqu'à atteindre 1 300 m au niveau d'un sous-bassin Nord-Sud traversant la zone de Richat. Il était auparavant considéré comme étant d'un âge du milieu du Néoprotérozoïque, d'environ 695 Ma, sur la base de la datation Rb-Sr des argiles (Clauer, 1976 ; Clauer et al., 1982). Nous suggérons que cela est trop récent d'environ 200 millions d'années.

Les zircons détritiques provenant de deux échantillons du Groupe d'Assabet El Hassiane ont été analysés par LAICPMS. L'échantillon RIM07DB31a provient de strates associées au Sous-groupe de Tin Bessais, à proximité d'Oued Toueiderguilt, sur la feuille de la carte à l'échelle 1/200 000ème de Chinguetti (numéro 2012). L'échantillon est un grès brun rougeâtre qui est en alternance, ou forme la matrice, de conglomérats de galets (Fig. 11A). Sur les 120 zircons analysés, 109 ont passé avec succès les filtres LAICPMS. La courbe de densité de probabilité montre un pic majeur au niveau de 1 212 Ma, ainsi que des pics mineurs à 1 938, 1 510, 1 357, et 975 Ma (Fig. 11F). Nous considérons que le pic à 975-Ma établit un âge maximum de dépôt pour cet échantillon. Un zircon présentant un âge plus récent de 643 Ma est difficile à interpréter, étant par ailleurs un âge unique non reproduit.

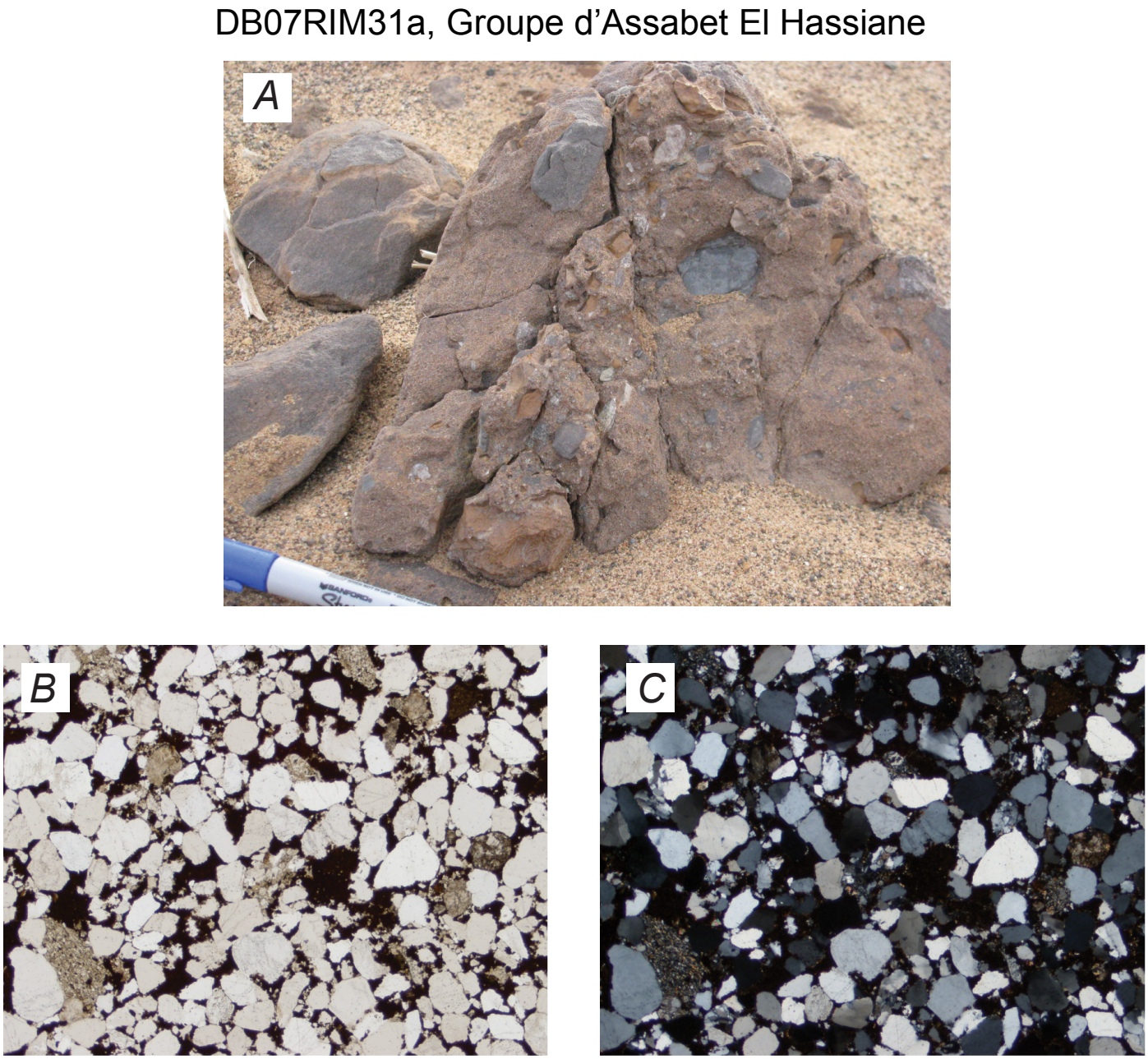

Figure 11. Données et les photographies de zircon détritique de l'échantillon DB07RIM31a provenant du Groupe d'Assabet El Hassiane. (*A*) Photographie de l'affleurement de prélèvement d'échantillon. L'échantillon provient de la matrice sableuse. (*B* et *C*) Photographies au microscope en lumière polarisée plane et croisée, respectivement. (*D* et *E*) Diagrammes Concordia. (*F*) Distribution des âges.

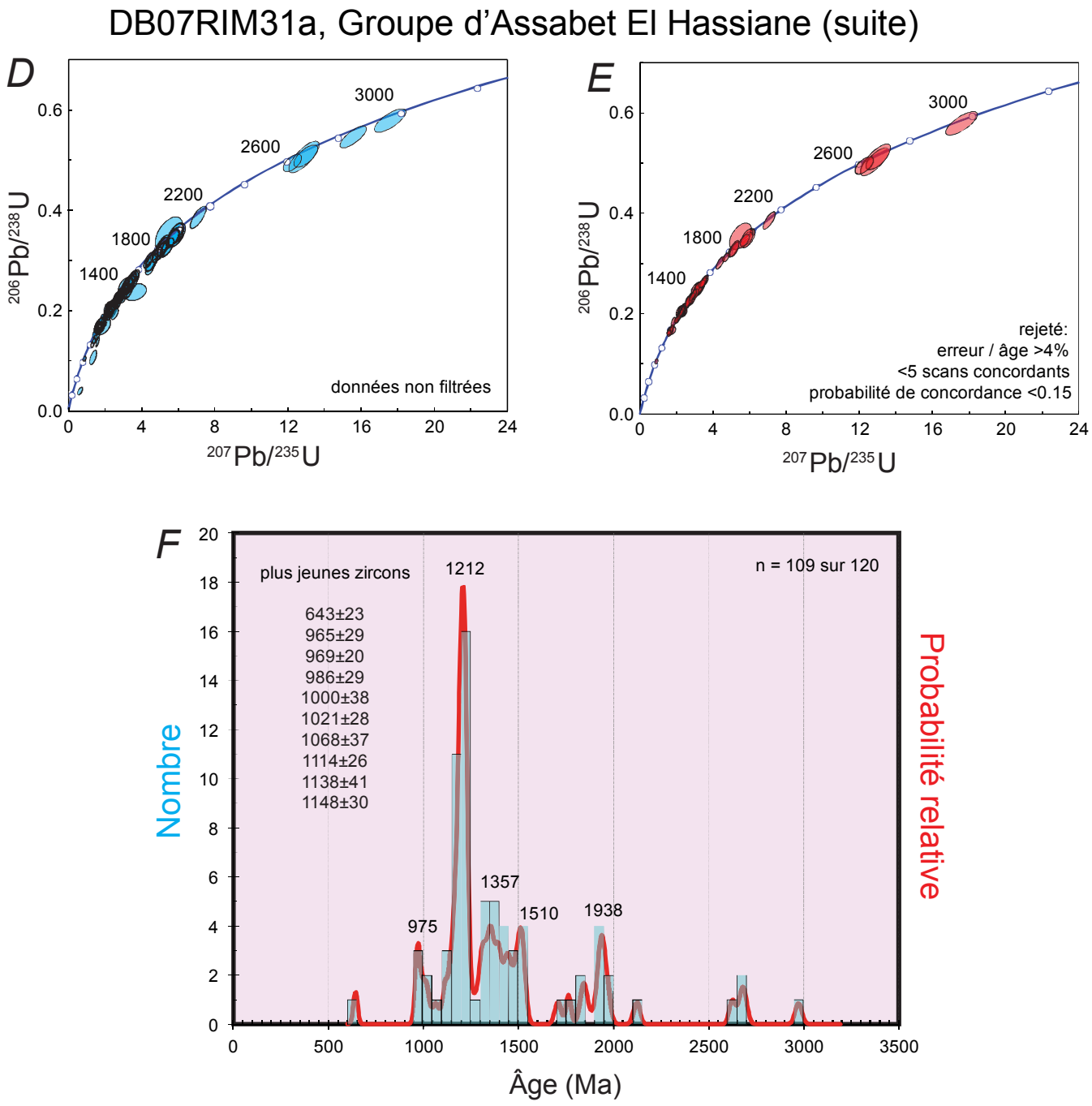

Notre autre échantillon (DB07RIM59a) est en position stratigraphique plus élevée au sein du Groupe d'Assabet El Hassiane, en provenance des affleurements du Sous-Groupe de Taguilalet, au sein de l'anneau de Guelb Er Richat, sur la carte à l'échelle 1/200 000ème du même nom (numéro 2111). L'échantillon est formé d'un grès rouge à grains intermédiaires à lits entrecroisés (Fig. 12A). Sur les 120 zircons analysés, 96 ont passé avec succès les filtres LAICPMS. La courbe de densité de probabilité présente un pic majeur à 1 230 Ma, et des pics de moindre importance à 1 777, 1 508, 1 348, et 1 036 Ma (Fig. 12F). Le pic à 1 036 Ma établit un « âge de dépôt maximum » de l'échantillon sur la base du zircon. Toutefois, il provient d'une partie plus récente du Groupe d'Assabet El Hassiane que l'échantillon RIM07DB31a, et donc l'âge de dépôt doit être de 975 Ma, ou plus récent.

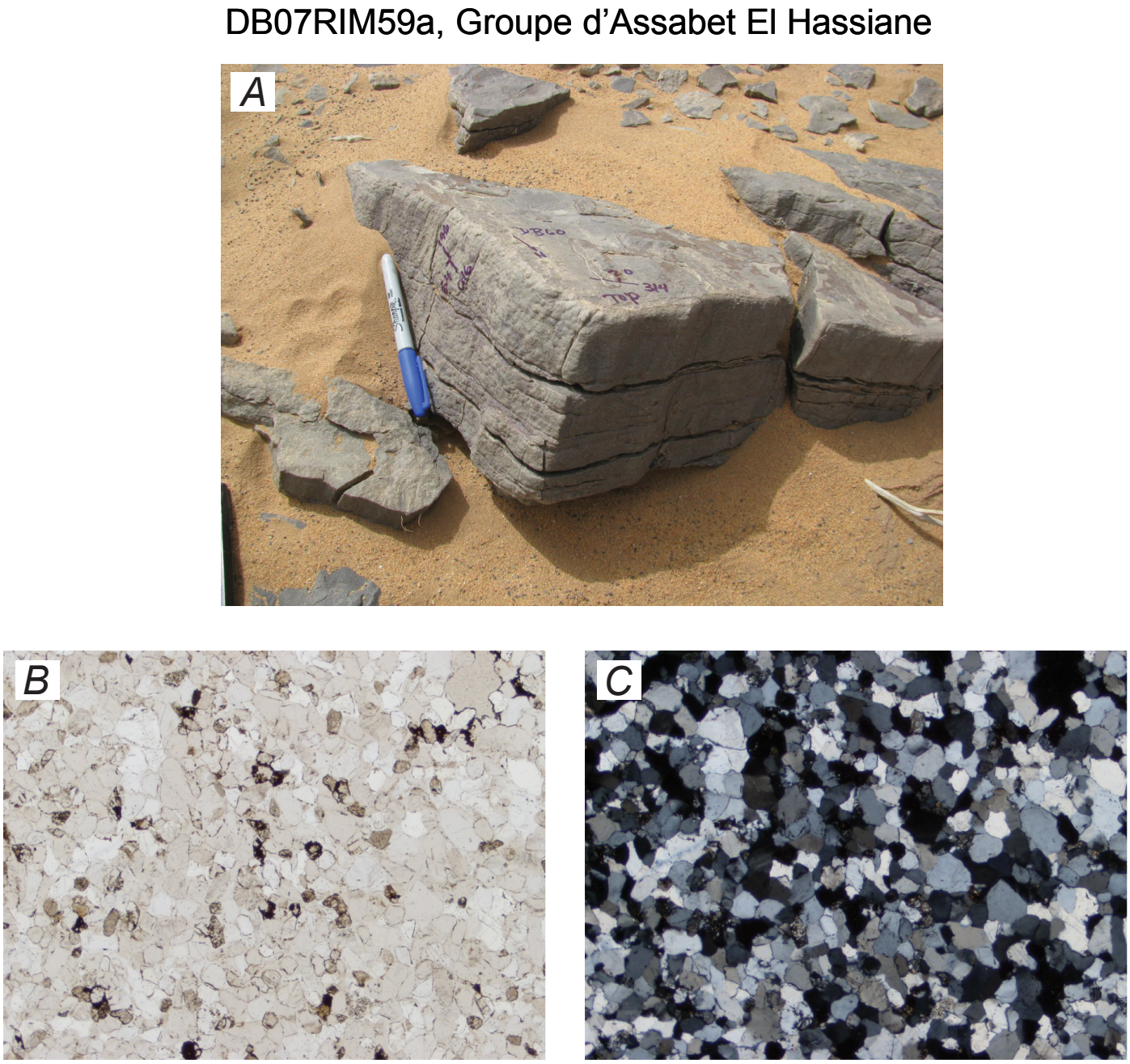

Figure 12. Données et photographies pour l'échantillon DB07RIM59a provenant du Groupe d'Assabet El Hassiane. (*A*) Photographie de l'affleurement d'une partie visible plus photogénique, à proximité du lieu de prélèvement de l'échantillon (*B et C)* Photographies au microscope en lumière polarisée plane et croisée, respectivement. (*Page suivante*) (*D et E*) Diagrammes Concordia. (F) Distribution des âges.

DB07RIM59a, Groupe d'Assabet El Hassiane (suite)

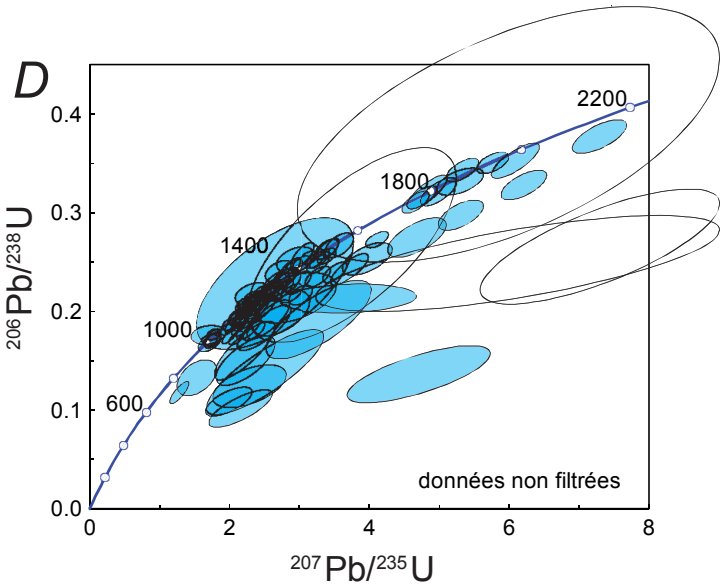

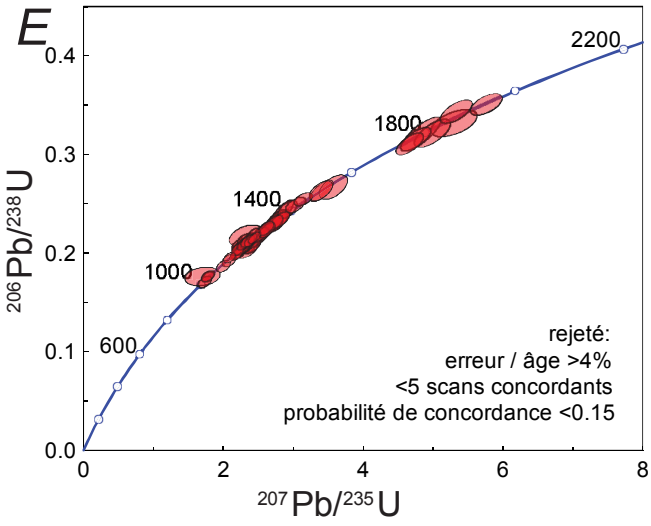

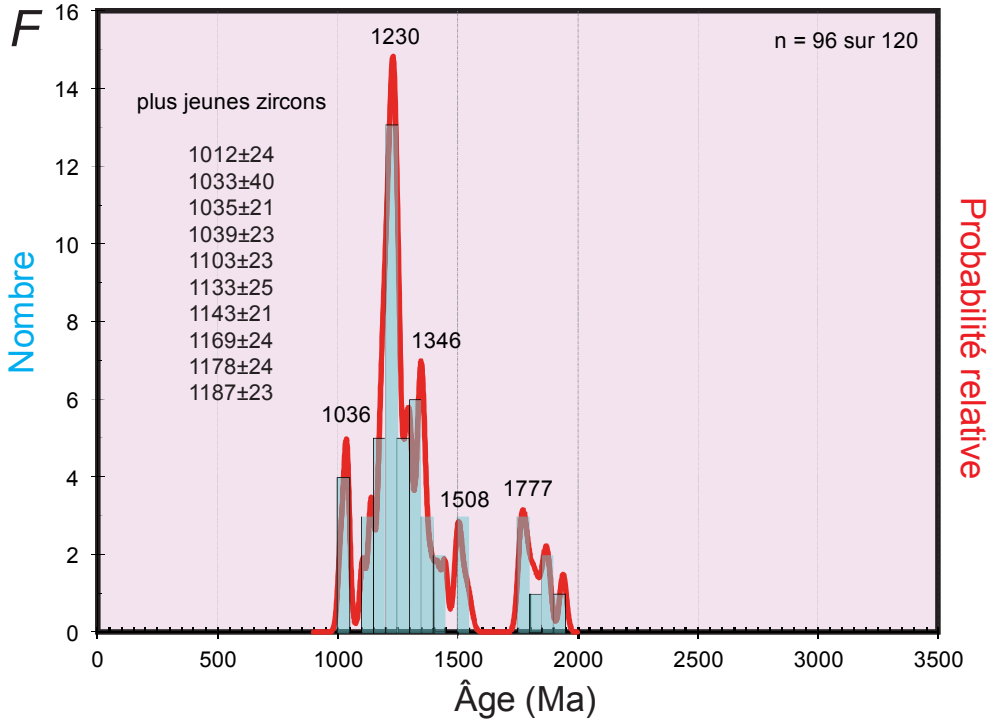

3.4. Groupe d'Aioun

Le Groupe d'Aioun (Lahondère et al., 2005) est une succession dominée par les grès, considérée comme l'équivalent au Sud du Groupe d'Assabet El Hassiane. Les zircons détritiques, provenant de deux échantillons du Groupe d'Aioun, ont été analysés par LAICPMS.

L'échantillon CT07RIM70-1, un grès à grains grossiers, provient de la Formation de Freidi (Fig. 13A). Les coordonnées GPS du lieu de prélèvement d'échantillon le placent dans une zone cartographiée comme appartenant au Groupe de Téniagouri, et à la Formation de Bouly (chaille et argilite à laminations), à proximité de Blemhâder, sur la feuille de carte à l'échelle 1/200 000ème d'Ayoun el Atrous (numéro 1609). Comme il n'est pas possible de confondre la Formation de Bouly et la Formation de Freidi, le contact cartographié antérieurement dans cette zone doit être dans une position erronée de quelques centaines de mètres. Sur les 120 zircons analysés, 113 passent avec succès les filtres LAICPMS. La courbe de densité de probabilité présente un motif remarquable, avec des pics majeurs à 2 126, 2 023, 1 745, 1 499, et 1 201 Ma, et des pics de moindre ampleur à 1 014, 929, et 878 Ma (Fig. 13D). Le pic le plus récent, à 878 Ma, établit l'âge de dépôt maximum de cet échantillon.

L'échantillon CT07RIM71-1, un grès quartzeux à stratification entrecroisée à grande échelle, provient de la Formation de Seyal (fig. 14A). Le lieu de prélèvement est situé à proximité d'Ayoun el Atrous, sur la feuille de carte à l'échelle 1/200 000ème du même nom (numéro 1609). Sur les 120 zircons analysés, 110 ont passé avec succès les filtres LAICPMS. La courbe de densité de probabilité est semblable à celle de l'échantillon CT07RIM70-1, avec des pics majeurs à 2 042, 1 868, 1 751, 1 557, et 1 175 Ma, et des pics de moindre amplitude à 1 395, 1 259, et 908 Ma (Fig. 14E). Le pic mineur à 908 Ma établit l'âge maximum de dépôt de l'échantillon.

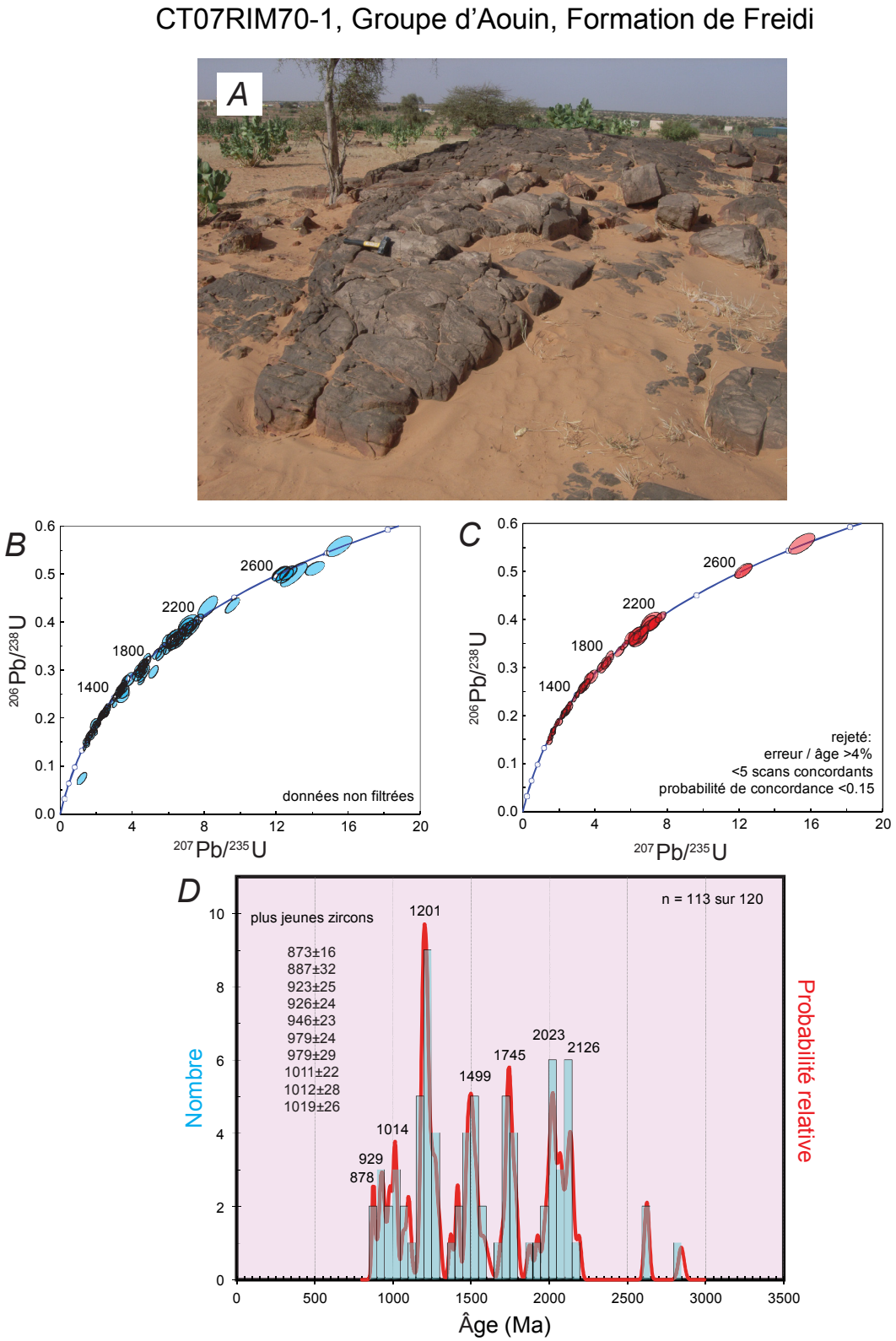

Figure 13. Données et photographies du zircon détritique de l'échantillon CT07RIM70-1 provenant du Groupe d'Aioun, et de la Formation de Freidi. (*A*) Photographie de l'affleurement de prélèvement d'échantillon. (*B et C*) Diagrammes Concordia. (*D*) Distribution des âges.

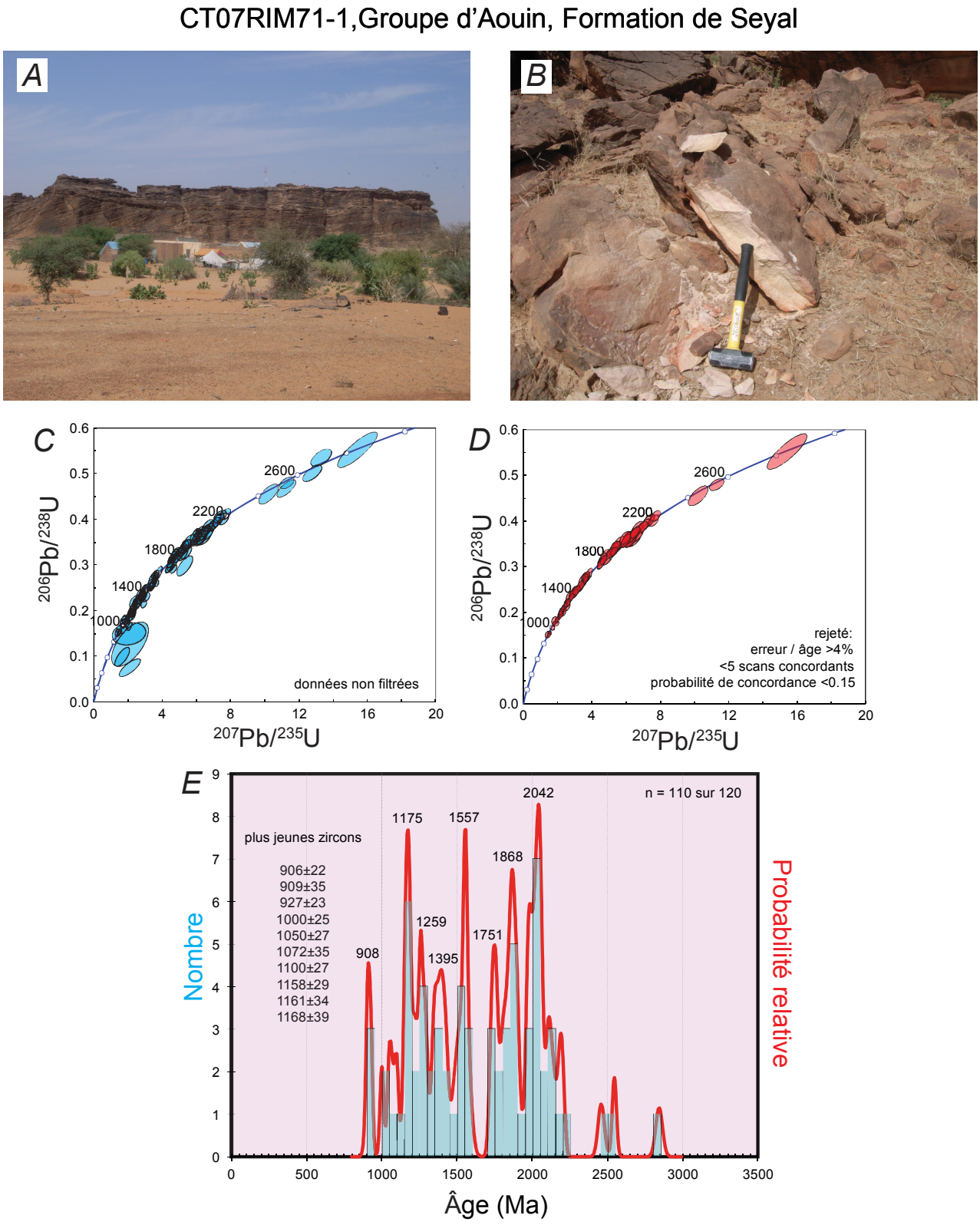

Figure 14. Données et photographies du zircon détritique de l'échantillon CT07RIM71-1, provenant du Groupe d'Aioun, et de la Formation de Seyal. (*A et B*) Photographies de l'affleurement de prélèvement d'échantillon. (*C et D*) Diagrammes Concordia. (*E*) Distribution des âges.

3.5. Groupe de Khang Naam

L'échantillon CT07RIM72-1 est un grès provenant de la Formation de Lehbilé, appartenant au Groupe de Khang Naam (Lahondère et al., 2005). Au sein de la région d'Adrar (Fig. 8), le niveau stratigraphique du Groupe de Khang Naam a été découpé, le long de la discordance, en dessous du Groupe de Jbéliat. L'emplacement du prélèvement d'échantillon (fig. 15A) est à proximité d'Oued el Mancour, dans la partie Est de la feuille de la carte à l'échelle 1/200 000ème de Kiffa (numéro 1611). Sur les 120 zircons analysés, 106 ont passé avec succès les filtres LAICPMS. La courbe de densité de probabilité est semblable à celle des deux échantillons du Groupe d'Assabet El Hassiane. Un pic majeur unique apparaît à 1 204 Ma. Des pics de moindre importance sont situés à 2 053, 1 762, 1 487, 1 411, 1 288, 1 128, et 1 029 Ma (Fig. 15D). Le pic mineur à 1 029 Ma établi l'« âge de dépôt maximum » de l'échantillon sur la base des zircons. L'âge réel de dépôt doit être plus récent que 878 Ma, puisque les dépôts de la Formation de Freidi sous-tendent la Formation de Lehbilé.

CT07RIM72-1, Groupe de Khaang Naam, Formation de Lehbile

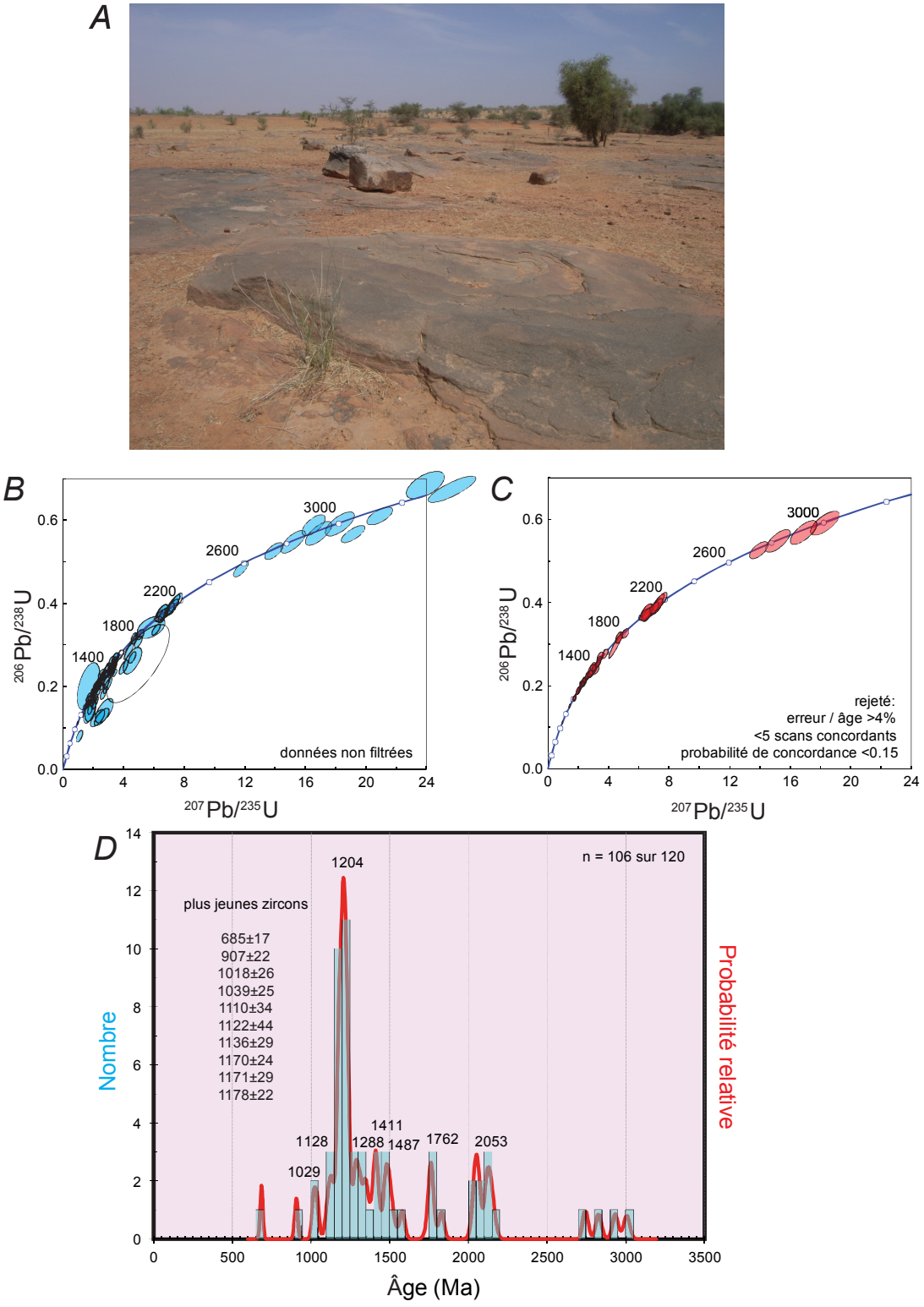

Figure 15. Données et photographies du zircon détritique de l'échantillon CT07RIM72-1, provenant du Groupe de Khang Naam, et de la Formation de Lehbilé. (*A*) Photographies de l'affleurement de prélèvement d'échantillon. (*B et C*) Diagrammes Concordia. (*D*) Distribution des âges.

3.6. Groupe de Jbéliat

Le Groupe glaciogénique de Jbéliat (Fig. 8) est l'unité stratigraphique de Mauritanie la plus évoquée. Elle a été mise en corrélation avec la glaciation Néoprotérozoïque du Marinoen (Deynoux et al., 2006). En faisant l'hypothèse d'un évènement synchrone à l'échelle mondiale, le Groupe de Jbéliat aurait 635 Ma (Macdonald et al., 2010). Les zircons détritiques ont été analysés à partir de trois échantillons du Groupe de Jbéliat.

L'échantillon DB07RIM29c provient de la route principale entre Atar et Chinguetti, dans la partie Ouest de la feuille de la carte à l'échelle 1/200 000ème de Chinguetti (numéro 2012). On notera que la route, relativement récente, ne figure pas sur la base topographique de cette feuille cartographique. Il est constitué d'une diamictite à galets avec de minces groupements de silts (Fig. 16A et B). La diamictite est surmontée d'un horizon distinctif de dolomie sinueuse contenant de la barytine à structure lamellaire, comme cela est décrit au niveau d'un emplacement voisin par Shields et al. (2007). Sur les 120 zircons analysés, 106 ont passé avec succès les filtres LAICPMS. La courbe de densité de probabilité présente des pics majeurs à 1 213 Ma, et dans une moindre mesure à 1 752, 1 511, et 1 006 Ma (Fig. 16G). Le pic le plus fiable et le plus récent se situe à 1 006 Ma. L'« âge de dépôt maximum » basé sur le zircon est beaucoup plus ancien que l'âge probable de dépôt, proche de 635 Ma.

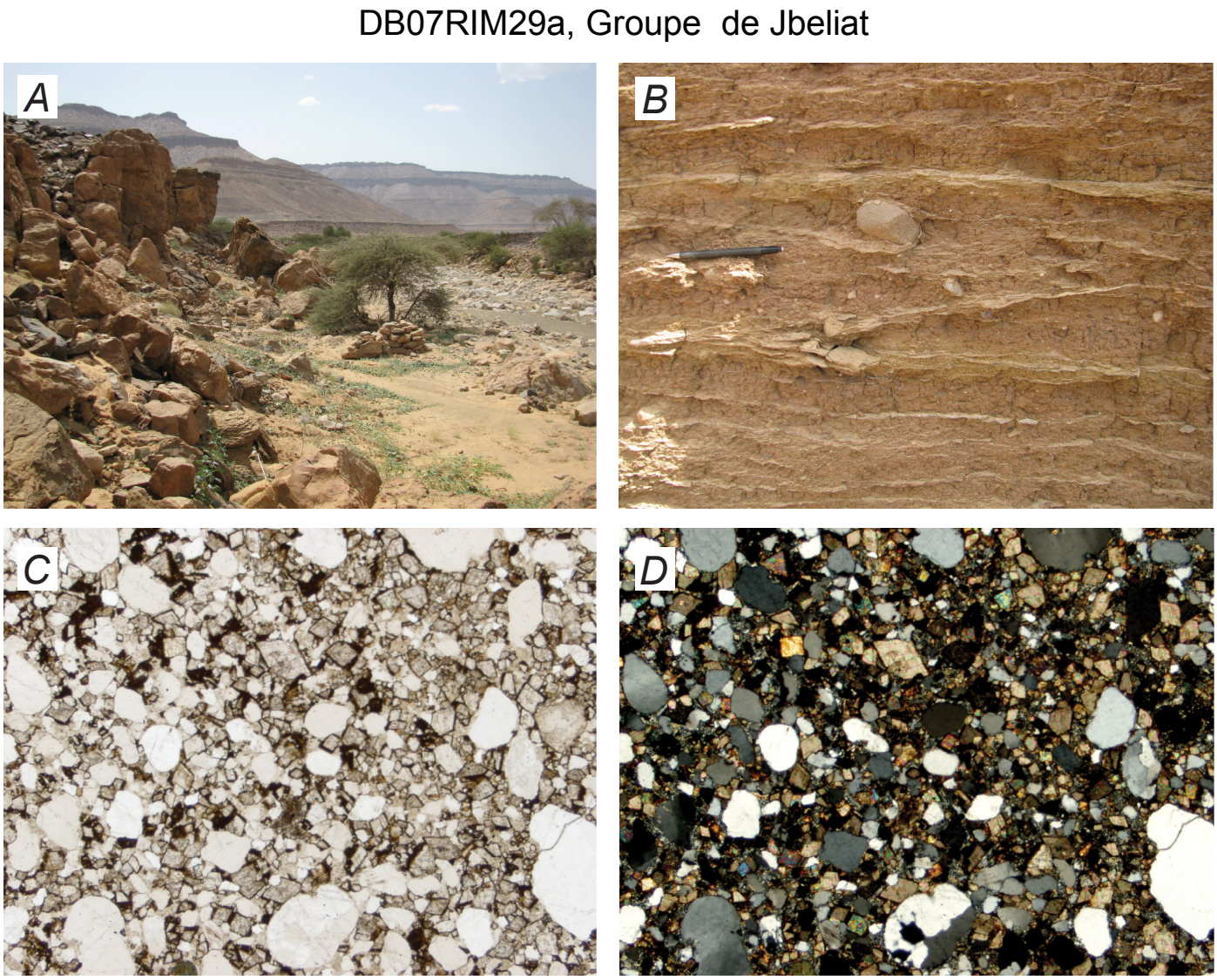

Figure 16. Données et photographies du zircon détritique de l'échantillon DB07RIM29c, provenant du Groupe de Jbéliat, à proximité d'Atar. (*A et B*) Photographies de l'affleurement de prélèvement d'échantillon. (*C et D*) Photographies au microscope en lumière polarisée plane et croisée, respectivement. (*Page suivante*) (*E et F*) Diagrammes Concordia. (*G*) Distribution des âges.

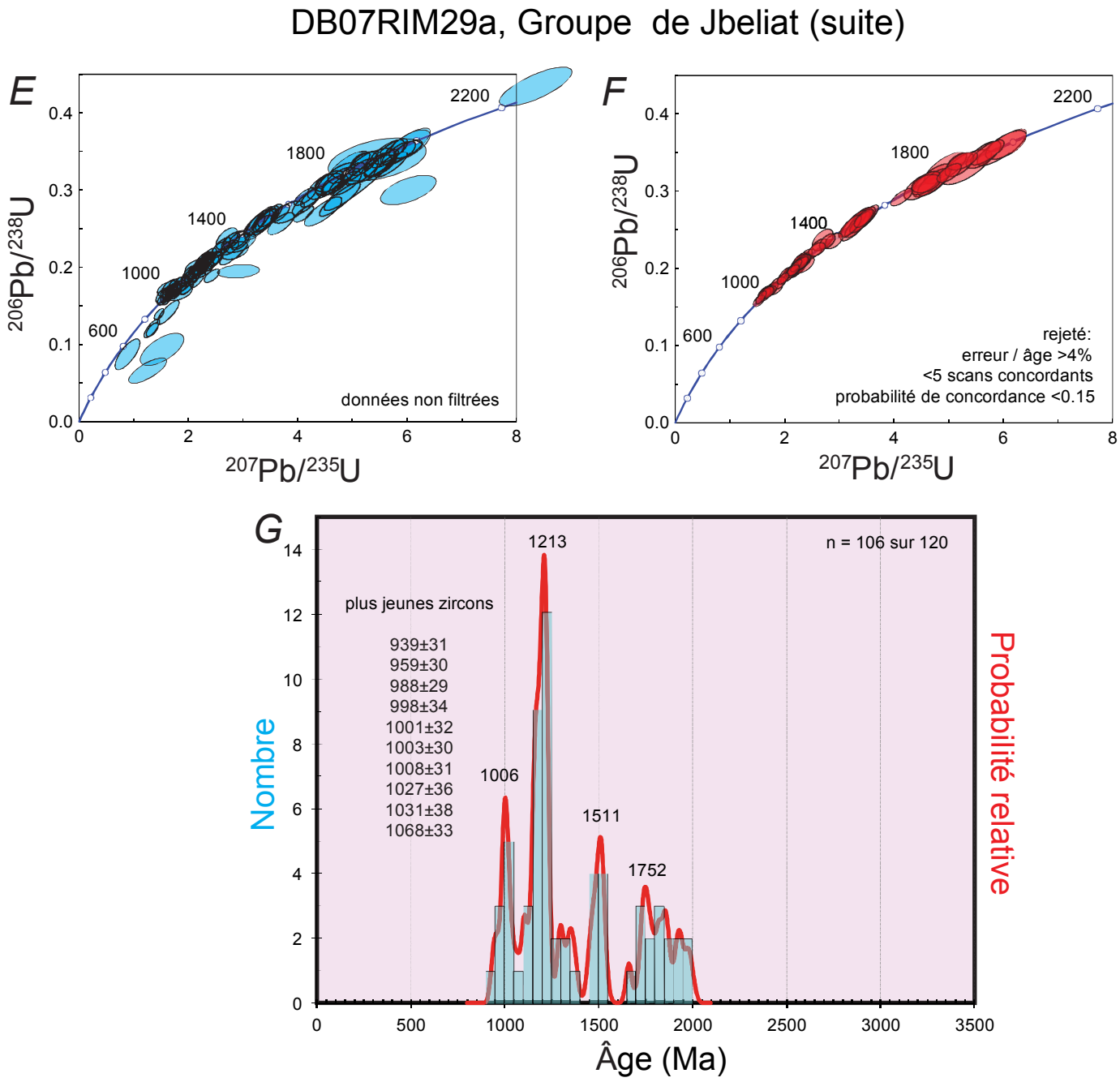

L'échantillon CT07RIM73-1 provient d'un grès rouge sombre à grains grossiers et arkosique (Fig. 17 A et B), attribué par Lahondère et al. (2005) au Groupe de Jbéliat. L'emplacement de l'échantillon est au Sud du Bassin de Taoudéni Basin, dans les faubourgs Est de Kiffa (feuille de la carte à l'échelle 1/200 000ème de Kiffa, numéro 1611). L'échantillon n'est pas une diamictite. Sur les 120 zircons analysés, 96 ont passé avec succès les filtres LAICPMS. La courbe de densité de probabilité présente des pics majeurs à 1 424 et 1 218 Ma, un pic moins important à 994 Ma, ainsi que quelques autres âges Paléoprotérozoïques et Mésoprotérozoïques (Fig. 17E). Le pic à 994 Ma établit l'« âge maximum de dépôt » de l'échantillon sur la base du zircon, qui est là encore beaucoup plus ancien que l'âge probable de dépôt, proche de 635 Ma.

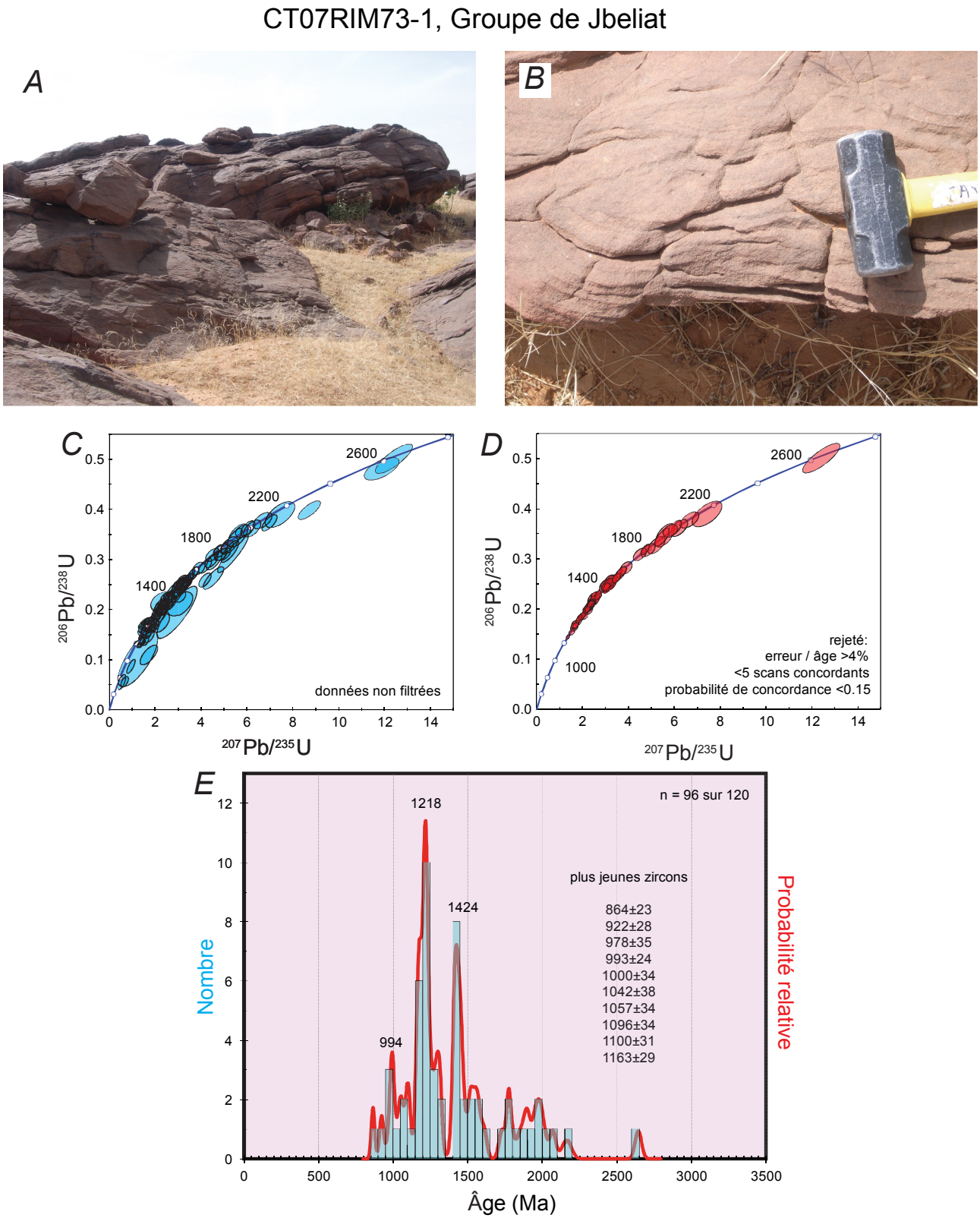

Figure 17. Données et photographies du zircon détritique de l'échantillon CT07RIM73-1, provenant du Groupe de Jbéliat, dans la région de Kiffa. (*A et B*) Photographies de l'affleurement de prélèvement d'échantillon. (*C et D*) Diagrammes Concordia. (*E*) Distribution des âges.

L'échantillon DB07RIM80a provient d'une diamictite cartographiée comme appartenant au Groupe de Jbéliat, à proximité de l'avant de la déformation des Mauritanides, juste au Nord du Sénégal, sur la feuille de la carte à l'échelle 1/200 000ème de Kankossa-Kayes (numéro 1511-1411). Par opposition avec l'échantillon DB07RIM29c, cette diamictite est surmontée par un chapeau de dolomie siliceuse sinueuse, dénuée de façon remarquable des incrustations de barytine qui sont présentes à l'emplacement DB07RIM29c (Fig. 18A). Il diffère également par sa matrice blanchâtre crayeuse, apparaissant tufacée (Fig. 18B). Sur les 120 zircons analysés, 94 ont passé avec succès les filtres LAICPMS. Le principal pic de probabilité se situe à 2 072 Ma, avec des pics de moindre importance à 2 813, 2 764, 2 138, et 1 479 Ma (Fig. 18G). Deux zircons, à 595±11 et 562±11 Ma, sont de manière significative plus récents que l'âge de dépôt supposé de 635 Ma, qui serait le bon s'il s'agissait d'un dépôt correspondant à la glaciation mondiale du Marinoen. La distribution générale des âges est assez différente de celle des deux autres échantillons provenant des roches cartographiées comme formant le Groupe de Jbéliat, ce qui nous fait douter de la différence d'âge. Prenant en considération les deux grains les plus récents, et les différentes distributions d'âge du zircon, nous avançons donc l'hypothèse que ce dépôt provient d'une glaciation plus récente que Jbéliat. Elle pourrait correspondre aux tillites de l'Ediacarien des Appalaches : Gaskiers (Hoffman et Li, 2009), Squantum (Thompson et Bowring, 2000), ou Fauquiers (Hebert et al., 2010). Des recherches complémentaires sur les échantillons provenant de cet affleurement sont nécessaires.

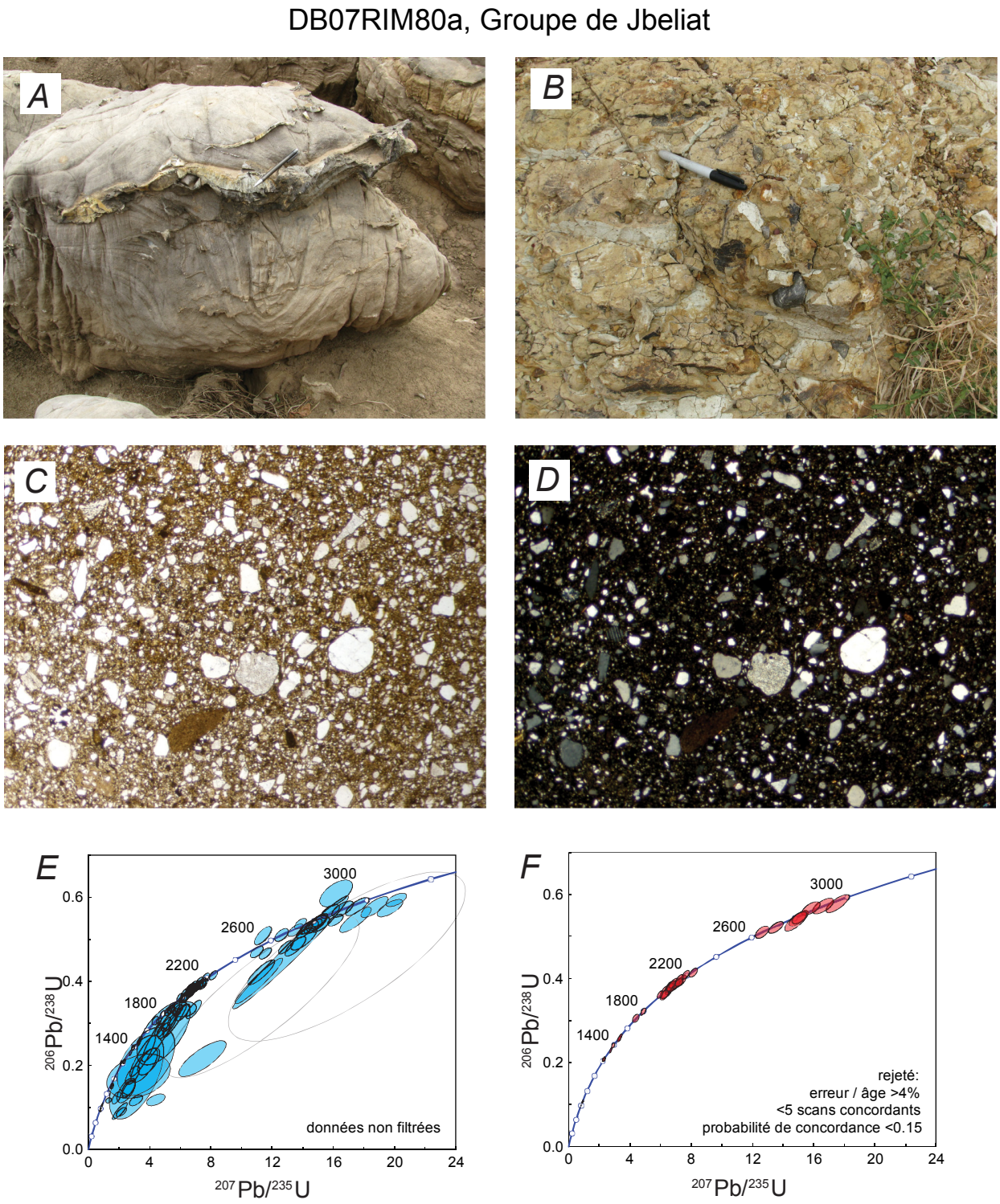

Figure 18. Données et photographies du zircon détritique de l'échantillon DB07RIM80a, provenant d'une diamictite ayant été auparavant cartographiée comme formant le Groupe de Jbéliat, à proximité du fleuve Sénégal. (*A*) Photographie de l'affleurement du chapeau de dolomie, montrant des laminations sinueuses et des chailles. (*B*) Photographie de l'affleurement de prélèvement d'échantillon, quelques mètres en dessous du chapeau carbonaté. (*C et D*) Photographies au microscope en lumière polarisée plane et croisée, respectivement. (*E et F*) Diagrammes Concordia. (*Page suivante*) (*G*) Distribution des âges.

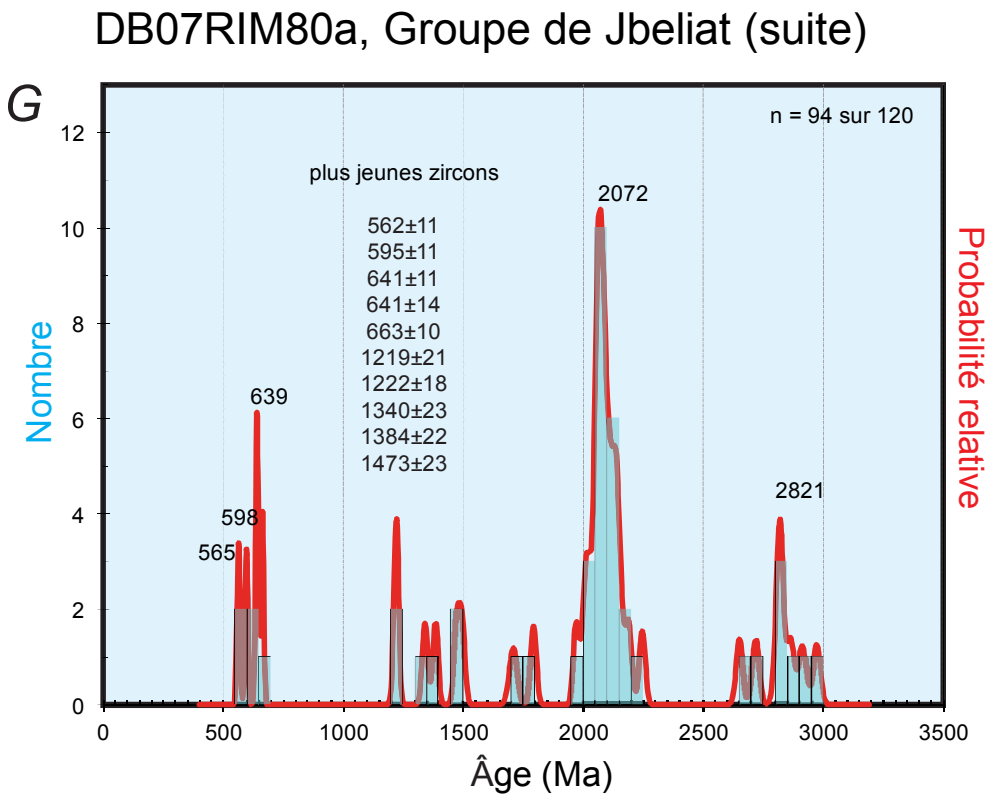

3.7. Groupe de Téniagouri

Les dépôts du Groupe de Téniagouri surmontent les diamictites attribuées au Groupe de Jbéliat (Fig. 8), qui ont été fréquemment regroupées sur les cartes à l'échelle régionale. Pitfield et al. (2004) ont identifié trois divisions : une barytine et une dolomie appartenant au chapeau carbonaté du Groupe de Jbéliat, une siltite et des chailles intermédiaires, et un grès supérieur turbidique. Pitfield et al. (2004) se sont référés à la siltite et aux chailles de la Formation de Bouly.

L'échantillon DB07RIM29a provient du bord de la route principale entre Atar et Chinguetti, sur la partie Ouest de la feuille de la carte à l'échelle 1/200 000ème de Chinguetti (numéro 2012). Sur les flancs entaillés bien exposés d'un oued non dénommé, les siltites siliceuses marron et vert, qui forment les quelques mètres de la base de la Formation de Bouly, sont alternées avec plusieurs lits de tuf felsique sombre (Fig. 19A et B). Cet échantillon est important, parce qu'il peut permettre de contraindre l'âge de la glaciation de Jbéliat. En effet, il est seulement, d'un point de vue stratigraphique, 2 à 3 m au-dessus du chapeau d'arénite calcaire de la tillite, les deux étant séparés par une interruption d'affleurement. Le lit de cendres le plus épais (1 à 2 cm d'épaisseur) a été daté à la fois par SIMS et par TIMS. Le travail SIMS a utilisé une séparation minérale efectuée par la société *Apatite to Zircon, Inc*. Les résultats SIMS ont présenté un regroupement dominant d'âges aux environs de 653 Ma, un certain nombre de zircons détritiques plus anciens, ou sous forme de xénocristaux, et quelques zircons plus récents, avec des âges concordants aussi récents que 622 et 605 Ma (Fig. 19E and F). Les analyses ultérieures de haute précision CA-TIMS, effectuées au MIT, ont révélé des complexités encore supérieures. Treize zircons ont été datés au cours de trois séances. Tout d'abord, cinq nouveaux zircons provenant de la séparation minérale d'origine ont été datés. Ceux-ci ont produit un regroupement d'âges autour de 622 Ma, ainsi que quelques âges plus anciens.

Ensuite, nous avons procédé à des analyses CA-TIMS sur les deux zircons les plus jeunes du réceptacle SIMS. Un zircon ayant indiqué un âge SIMS de 622,1±5,5 Ma a produit un âge CA-TIMS de 590,4±1,7, et zircon ayant indiqué un âge SIMS de 605,5±3,2 Ma a produit un âge CA-TIMS de 569,37±0,36 Ma. Par conséquent, les âges SIMS provenant de cet échantillon apparaissent trop anciens d'environ trente millions d'années. Enfin, dans l'espoir d'exclure la possibilité que les zircons de 569 et 590 Ma aient été des contaminants, nous avons traité la partie restante non-broyée de l'échantillon DB07RIM29a, et recueilli six zircons supplémentaires. La principale population de ce sous-ensemble est d'environ 620 Ma, mais un zircon présente un âge de 578±21 Ma. En combinant l'ensemble des résultats CA-TIMS, l'échantillon DB07RIM29a possède une population dominante de zircons de 623,5±5,5 Ma, sur la base des âges $^{206}Pb/^{238}U$ pondérés de sept analyses à faible marge d'erreur situées entre 617 et 629 Ma (Fig. 19G). Mais notre hypothèse est que la population dominante est composée de xénocristaux, et que l'âge du magma est approximativement celle du grain le plus récent, à 569,4±0,4 Ma.

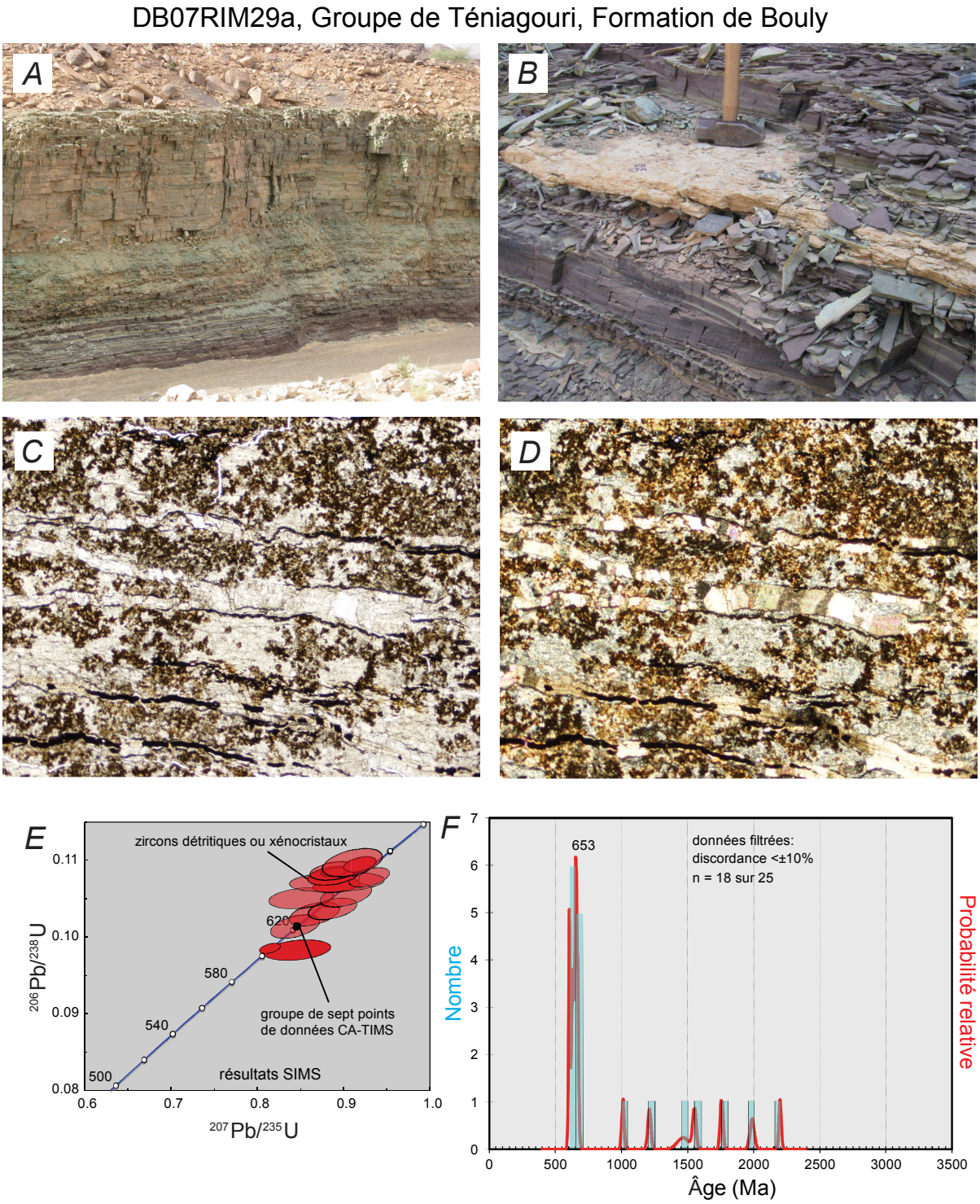

Figure 19. Distribution des âges du zircon détritique (données SIMS) provenant de la Formation de Bouly, appartenant au Groupe de Téniagouri, à proximité d'Atar. (*A*) Photographie de l'affleurement de prélèvement d'échantillon, une entaille d'environ dix mètres de haut, le long de l'oued. (*B*) Vue rapprochée de l'horizon de cendres où a été réalisé le prélèvement, juste au-dessus de l'entaille, et au niveau du plus épais des environ dix lits de cendres (*C et D*) Photographies au microscope en lumière polarisée plane et croisée, respectivement. (*E*) Diagramme Concordia sur la base des analyses CA-TIMS. (*F*) Diagramme Concordia montrant les résultats Néoprotérozoïques (données SIMS). (*Page suivante*) (*G*) Distribution des âges sur la base des données SIMS, montrant que cette couche de tufs renferme des zircons détritiques.

DB07RIM29a, Groupe de Téniagouri, Formation de Bouly (suite)

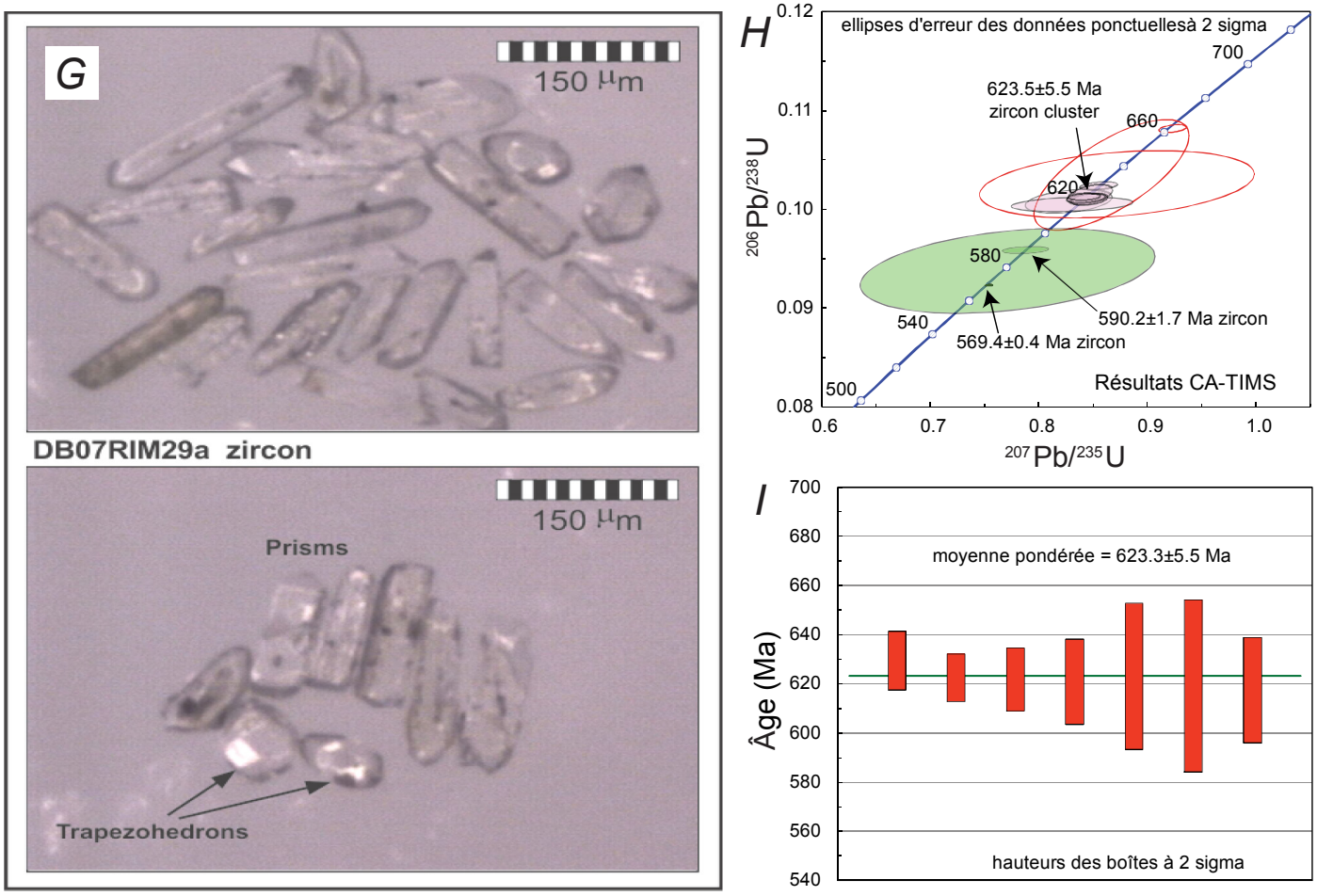

L'échantillon DB07RIM77a provient de l'unité supérieure turbidique du Groupe de Téniagouri, que Lahondère et al. (2005) ont attribué au Sous-Groupe de Koumba Ndao. L'échantillon est un grès à grain moyen provenant de lits minces alternés, ou de d'épais lits tufacés de turbidites (Fig. 20A). Cet affleurement est situé au niveau d'un oued, juste au Sud de Selibabi, sur la feuille de la carte à l'échelle 1/200 000ème de Selibabi-Bakel (numéro 1512-1412). Sur les 120 zircons analysés, 109 ont passé avec succès les filtres LAICPMS. Le tracé des probabilités présente un pic majeur à 1 522, 1 215, et 601 Ma, et des pics de moindre importance à 1 983, 1 872, 1 302, 1 109, et 988 Ma (Fig. 20F). L'âge maximum de dépôt peut être prudemment estimé comme correspondant au pic de probabilité le plus récent, à 601 Ma.

DB07RIM77a, Group de Téniagouri, Sous-groupe de Koumba Ndao

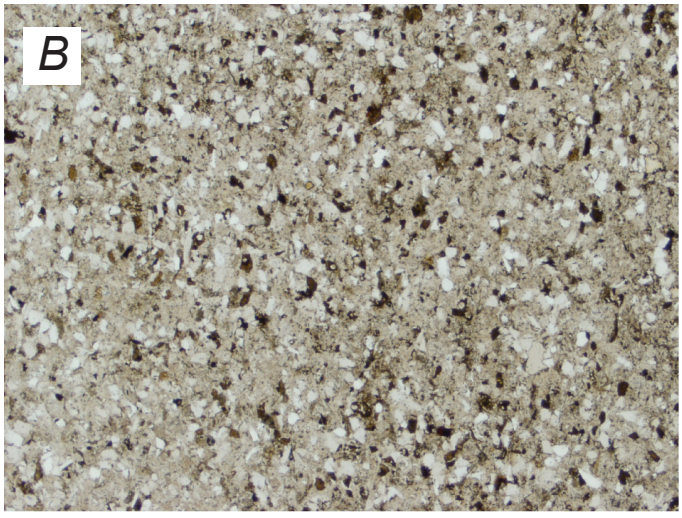

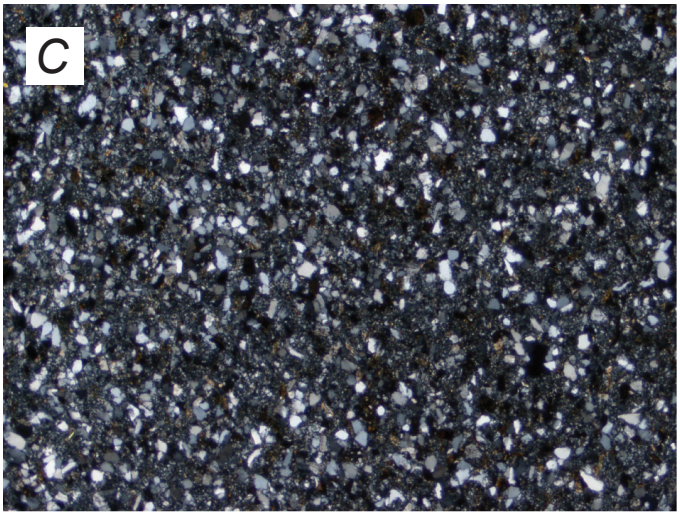

Figure 20. Données et photographies concernant les zircons détritiques provenant de l'échantillon DB07RIM77a, prélevé dans le Sous-Groupe de Tichilit el Beïda, appartenant au Groupe de Téniagouri. (*A*) Photographie de l'affleurement de prélèvement d'échantillon, particulièrement le lit épais de grès clair tufacé et turbidique. (*B et C*) Photographies au microscope en lumière polarisée plane et croisée, respectivement. (*Page suivante*) (*D et E*) Diagrammes Concordia. (*F*) Distribution des âges.

DB07RIM77a, Group de Téniagouri, Sous-groupe de Koumba Ndao (suite)

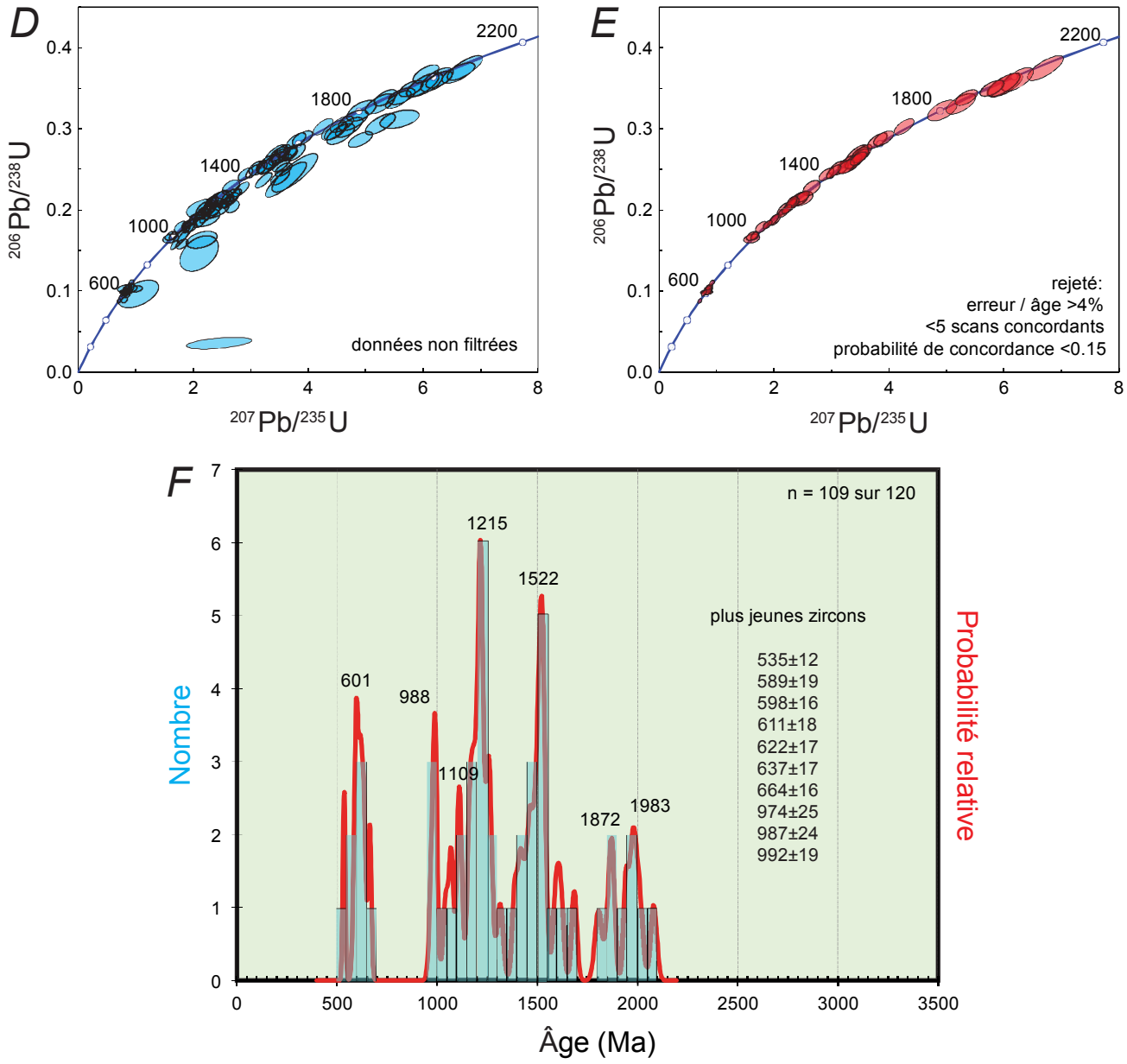

3.8. Groupe de Nouatil, Formation de Serize

Comme défini par Pitfield et al. (2004, Section 4.3.3.1), le Groupe de Nouatil (Fig. 8) est principalement formé de grès et de siltite, plus une dolomie mineure, pour une épaisseur totale de 200 à 300 mètres (Pitfield et al., 2004, Section 4.3.3.3). Nous avons prélevé des échantillons de la Formation de Serize, dominée par les grès, à proximité du milieu de la succession du Groupe de Nouatil (Fig. 21A). L'échantillon a été recueilli au niveau d'entailles routières, le long de la route principale entre Atar et Chinguetti, dans la partie Ouest de la feuille de la carte à l'échelle 1/200 000ème de Chinguetti (numéro 2012). Les zircons détritiques provenant de l'échantillon DB07RIM28a ont été analysés par LAICPMS. Sur

les 120 zircons analysés, 75 ont passé avec succès les filtres LAICPMS. Le tracé de probabilité présente un pic majeur à 622 et 581 Ma, et des pics de moindre ampleur à 2 039 et 1 207 Ma (Fig. 21D). Le zircon unique le plus récent, à 466±16 Ma, a un sens problématique, mais peut être rejeté en raison du fait que cet âge serait beaucoup trop récent par rapport à ce que permet la position stratigraphique du Groupe de Nouatil. Le groupe de zircons le plus récent —qui présente une forme arrondie plutôt qu'un pic, sur la base de deux âges— montre un âge de 543 Ma, ce qui est considéré comme l'âge maximum de dépôt. Ceci est en cohérence avec l'intervalle des âges possibles du Néoprotérozoïque tardif au Cambrien, qui est basé sur une position stratigraphique entre les unités mieux datées (Pitfield et al., 2004).

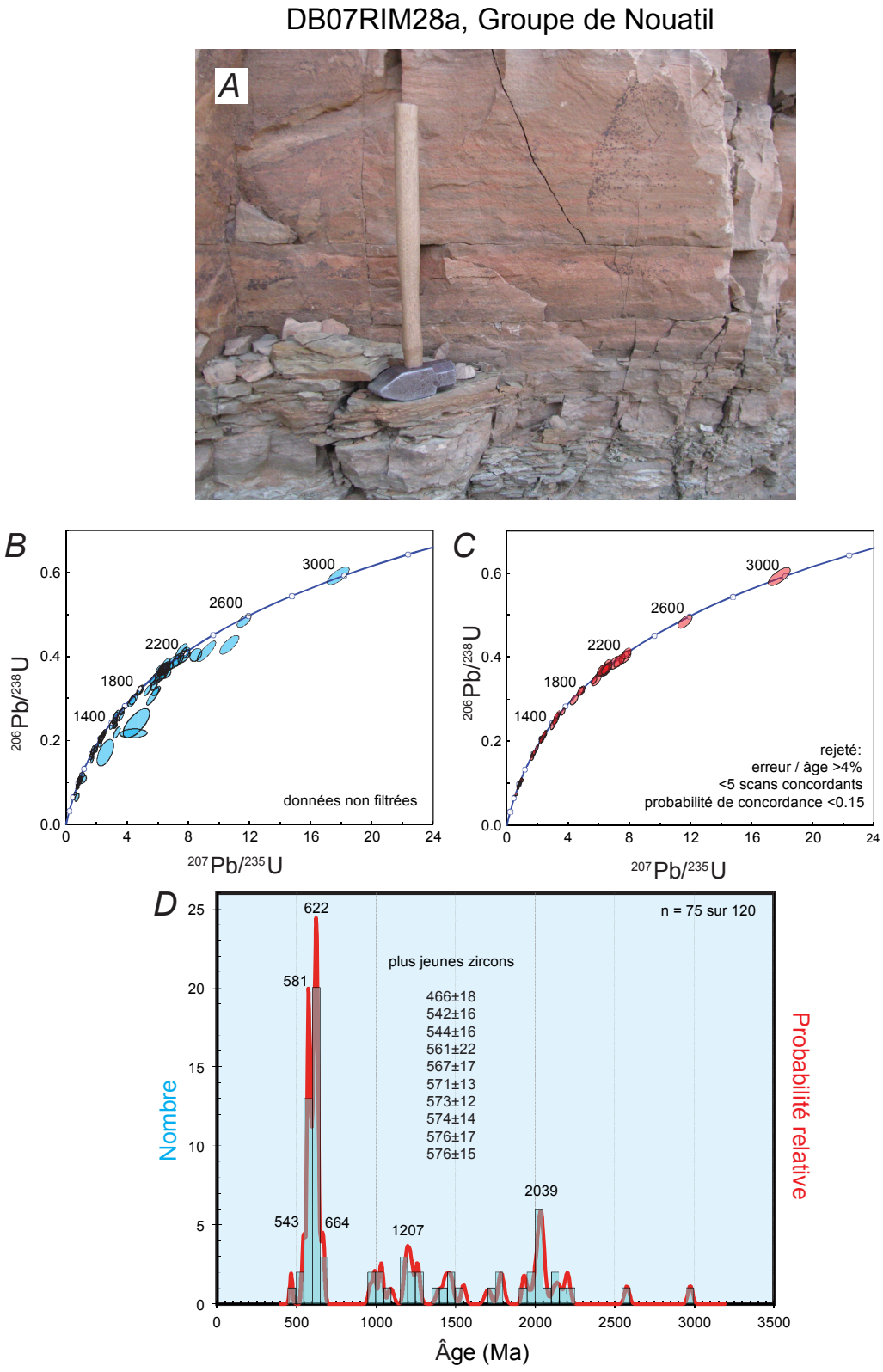

Figure 21. Données et photographie des zircons détritiques correspondant aux échantillons DB07RIM28a provenant du Groupe de Nouatil. (*A*) Photographie de l'affleurement de prélèvement d'échantillon. (*B et C*) Diagrammes de Concordia. (*D*) Distribution des âges.

3.9. Groupe d'Oujeft

Le Groupe Cambrien d'Oujeft (Fig. 8) est une unité très répandue, dominée par les grès, déposée à proximité du front orogénique des Mauritanides. Nous avons analysé cinq échantillons provenant de différents lieux. Comme cela sera examiné, le dernier évoqué n'appartient probablement pas au Groupe d'Oujeft, et nous faisons l'hypothèse qu'il a été mal reporté sur la carte.

Des zircons détritiques ont été analyses à partir de deux échantillons de la Formation de Chinguetti. L'échantillon DB07RIM26a est un grès brun rougeâtre à lits entrecroisés et à grains moyens (Fig. 22A et B), provenant de tranchées le long de la route principale entre Atar et Chinguetti, à l'Ouest de la feuille de la carte à l'échelle 1/200 000ème de Chinguetti (numéro 2012). L'horizon de prélèvement d'échantillon est recouvert d'inscriptions datant de l'Anthropocène. Sur les 120 zircons analysés, 57 ont passé avec succès les filtres LAICPMS. Le tracé des probabilités montre un pic majeur à 579 Ma, et des pics mineurs à 2 053, 1 229, et 636 Ma (Fig. 22G). L'âge maximum de dépôt est de 524 Ma, sur la base de la moyenne entre les âges les plus récents se chevauchant, ce qui induit une forme arrondie de la courbe de probabilité.

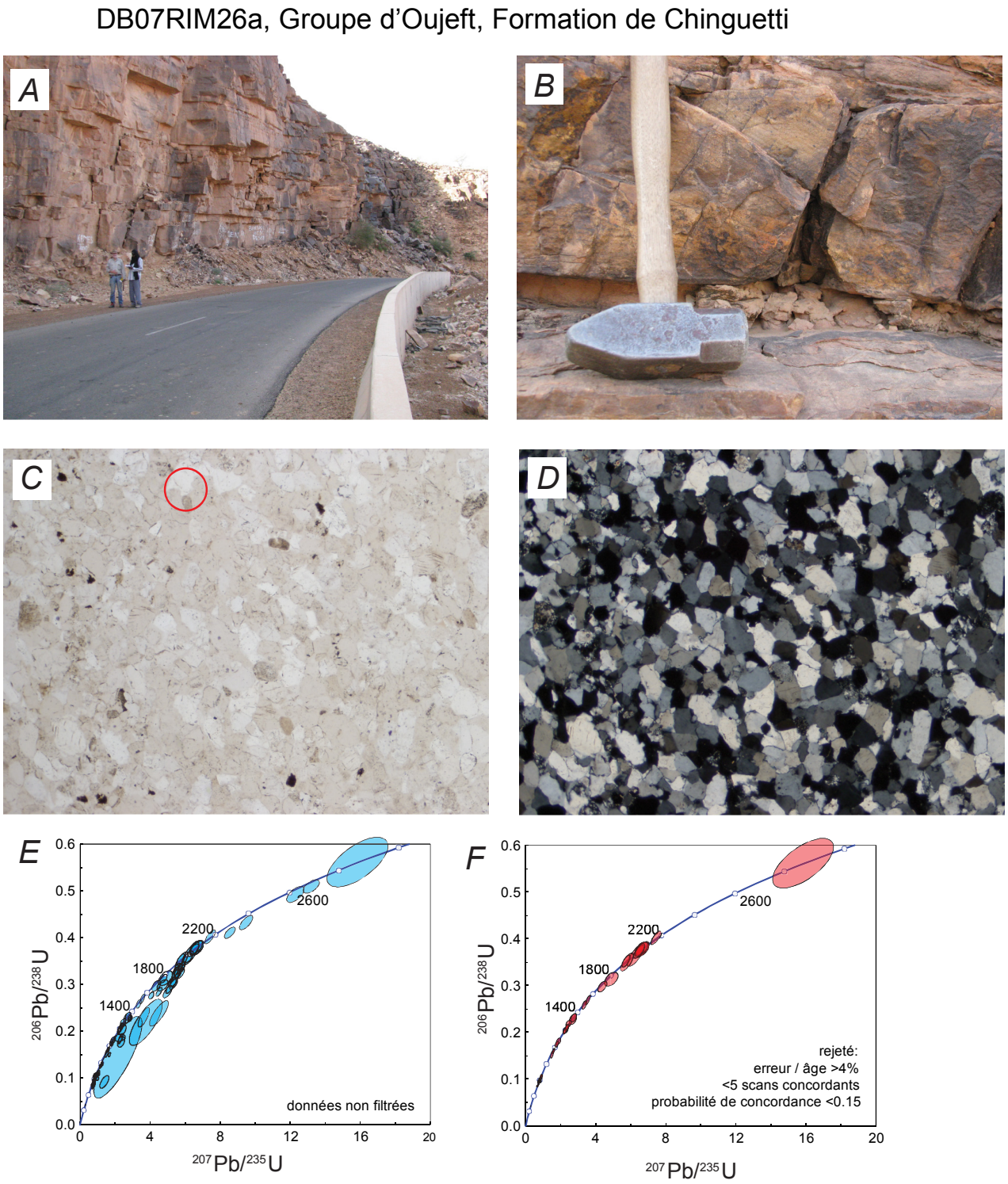

Figure 22. Données et photographies des zircons détritiques de l'échantillon DB07RIM26a provenant du Groupe d'Oujeft, et appartenant à la Formation de Chinguetti, à proximité d'Atar. (*A*) Photographie de l'affleurement de la tranchée routière, le long de la route principale Atar-Ouadane, montrant l'horizon d'échantillon couvert d'inscriptions. (*B*) Vue rapprochée de l'horizon de prélèvement d'échantillon. (*C et D*) Photographies au microscope en lumière polarisée plane et croisée, respectivement. Les cercles rouges entourent un grain de quartz détritique d'origine, avec un centre arrondi et une croissance de quartz diagénétique autour. (*E et F*) Diagrammes de Concordia. (*Page suivante*) (*G*) Distribution des âges.

DB07RIM26a, Groupe d'Oujeft, Formation de Chinguetti (suite)

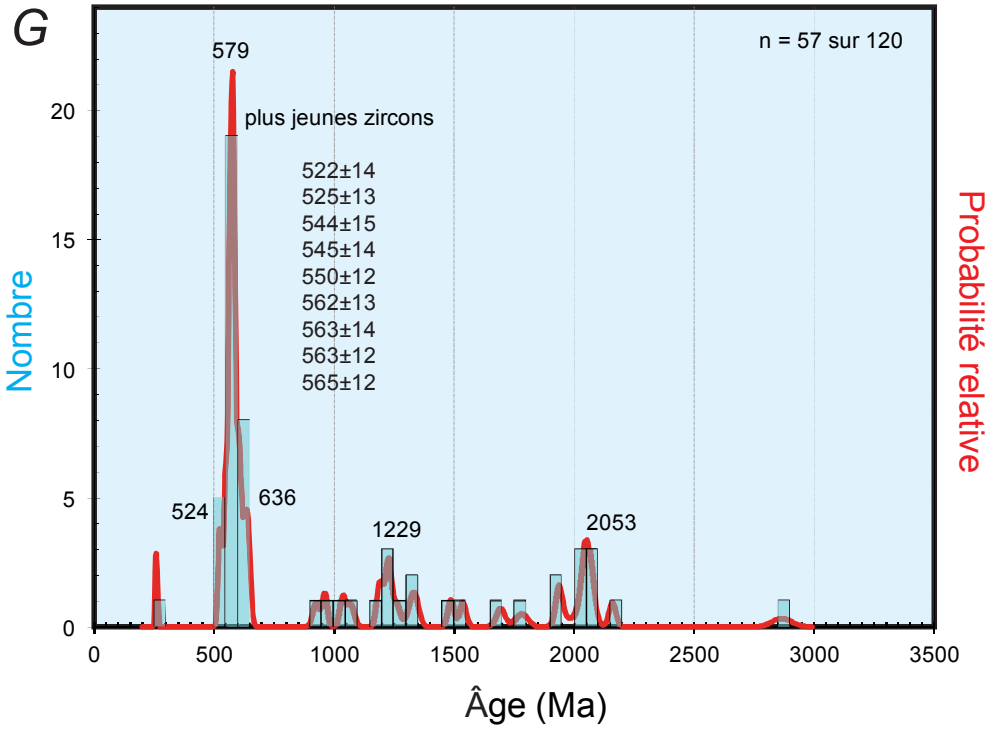

L'autre échantillon provenant de la Formation de Chinguetti, de référence DB07RIM61a, provient des environs de Ouadane, juste à l'extérieur de Guelb er Richat, sur la feuille de la carte à l'échelle 1/200 000ème d'Ouadane (numéro 2011). L'affleurement appartient à un grès brun rougeâtre, à lits entrecroisés et à grains moyens (Fig. 23A). Sur les 120 grains analysés, 89 ont passé avec succès les filtres LAICPMS. Le tracé des probabilités montre un pic majeur à 573 Ma, et des pics mineurs 2 047 et 1 199 Ma (Fig. 23D). Sur la base seulement des zircons détritiques, l'âge maximum de dépôt serait établi à 573 Ma (moyenne des deux âges les plus récents se recouvrant). Toutefois, sur d'autres critères géologiques, l'âge de dépôt est plus probablement d'environ 525 Ma.

DB07RIM61a, Groupe d'Oujeft Gr., Formation de Chinguetti

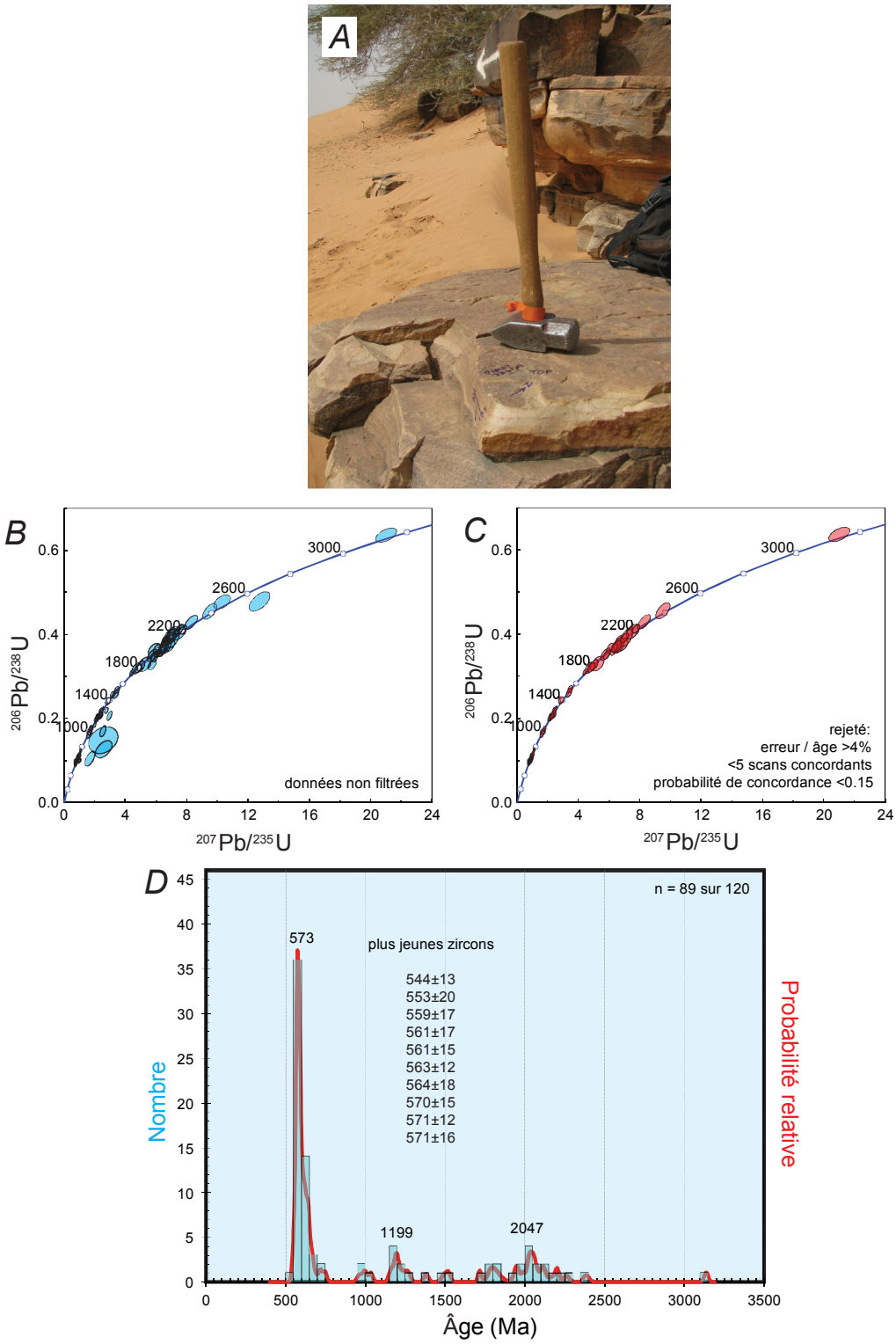

Figure 23. Données et photographies des zircons détritiques de l'échantillon DB07RIM61a provenant du Groupe d'Oujeft, de la Formation de Chinguetti, à proximité d'Ouadane. (A) Photographie de l'affleurement de prélèvement d'échantillon. (*B et C*) Diagrammes de Concordia. (*D*) Distribution des âges.

L'échantillon DB07RIM75a provient du Sous-Groupe d'Aghaoujeft (unité OjA de la carte d'origine), à proximité de Le Bheyr, le long du bord Ouest de la feuille de la carte à l'échelle 1/200 000ème de Kiffa (numéro 1611). Les affleurements sont des collines à falaises très visibles, avec des grès brun rougeâtre à lits extrêmement épais et à grains grossiers (localement à galets) (Figs. 24A et B). Sur les 120 analysés, 76 ont passé avec succès les filtres LAICPMS. Le tracé des probabilités montre un pic majeur à 620 Ma, et des pics secondaires, ou des points hauts arrondis, à 563, 541, et 520 Ma (Fig. 24G). Nous établissons l'âge maximum de dépôt à 520 Ma.

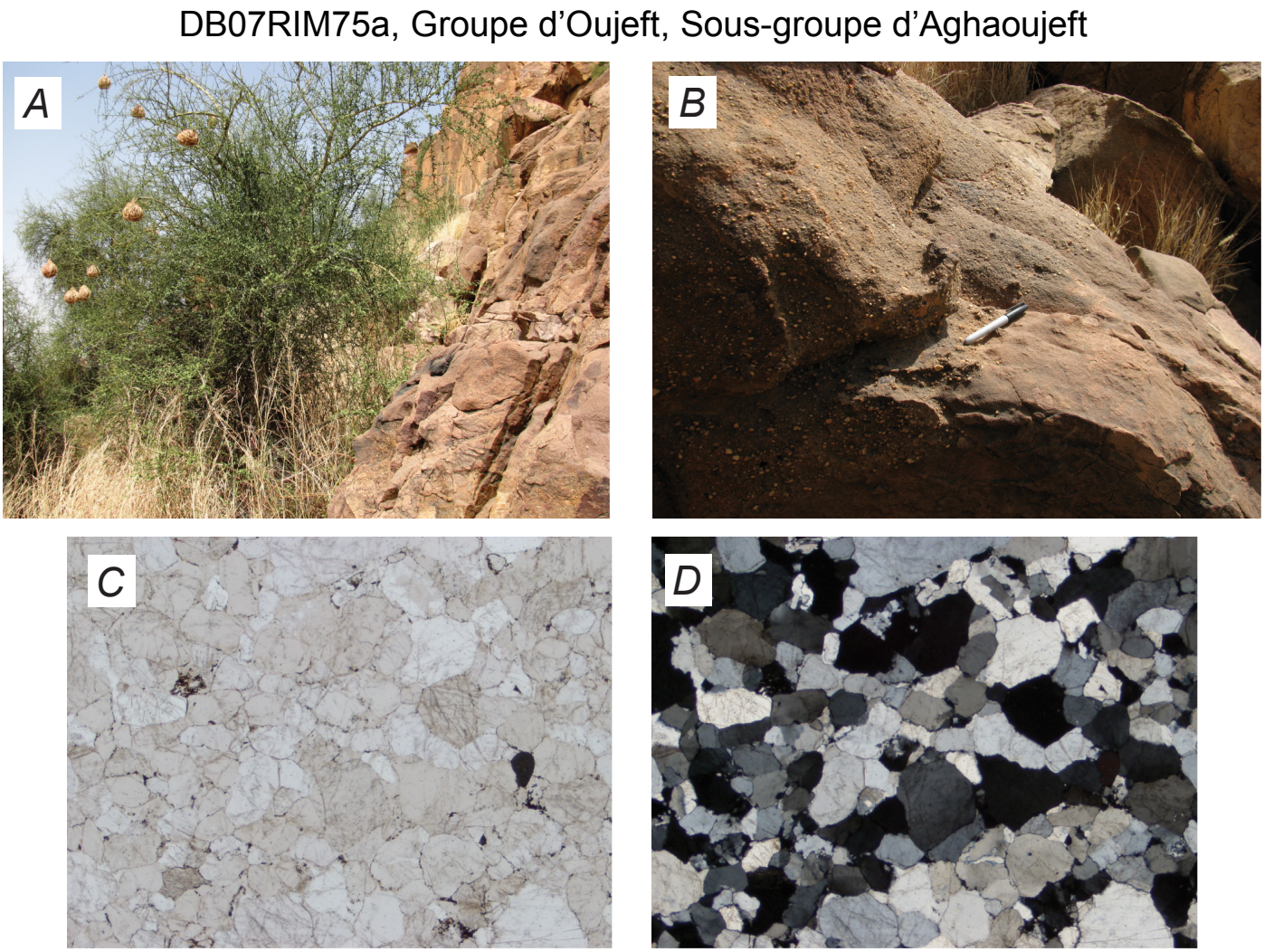

Figure 24. Données et photographies des zircons détritiques de l'échantillon DB07RIM75a provenant du Groupe d'Oujeft, et du Sous-Groupe d'Aghaoujeft. (*A et B*) Photographies de l'affleurement de prélèvement d'échantillon. (*C et D*) Photographies au microscope à lumière polarisée plane et croisée, respectivement. (*Page suivante*) (*E et F*) Diagrammes de Concordia. (*G*) Distribution des âges.

DB07RIM75a, Groupe d'Oujeft, Sous-groupe d'Aghaoujeft (suite)

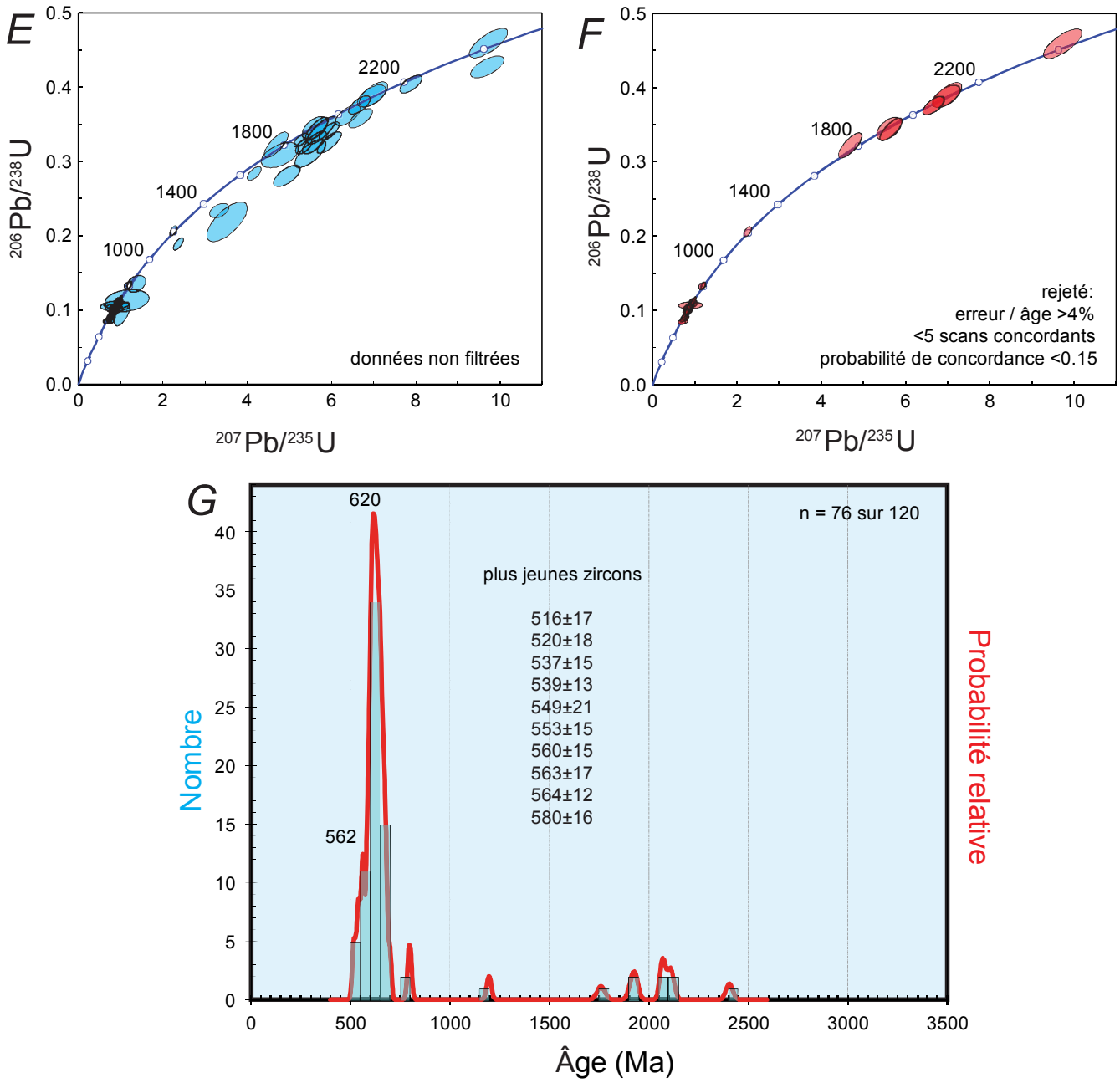

Des zircons détritiques ont été analysés à partir de deux échantillons de roches qui ont été cartographiées comme appartenant à la Formation de Moudjeria. L'échantillon CT07RIM60-1 est un grès rouge, à lits entrecroisés à grande échelle et à grains grossiers (Fig. 25A), recueilli le long d'Oued El Fras, à proximité du village de Douboulgui, figurant sur la carte à l'échelle 1/200 000ème de Kankossa-Kayes (numéros 1 511 et 1 411). Sur les 120 grains analysés, 57 ont passé avec succès les filtres LAICPMS. Le tracé des probabilités montre un pic majeur à 631 Ma, des pics mineurs à 2 129 et 2 072 Ma (Fig. 25F). Les zircons les plus récents définissent une forme arrondie à 565 Ma, où nous avons fixé l'âge maximum de dépôt.

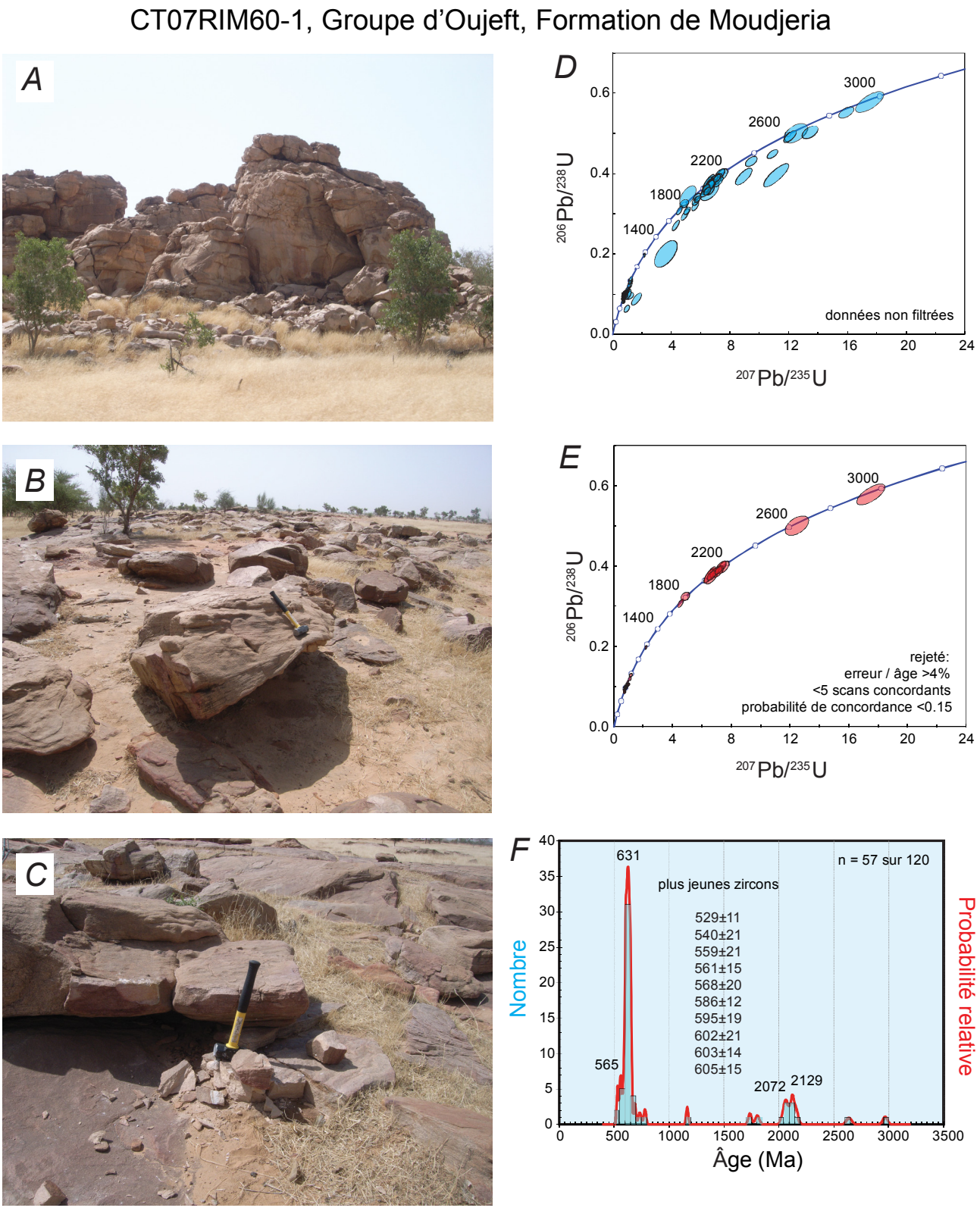

Figure 25. Données et photographies des zircons détritiques de l'échantillon CT07RIM60-1, provenant de la Formation de Moudjeria du Groupe d'Oujeft. (*A, B, et C*) Photographies de l'affleurement de prélèvement d'échantillon. (*D et E*) Diagrammes de Concordia. (*F*) Distribution des âges.

L'autre échantillon de la Formation de Moudjeria (DB07RIM74a) est totalement différent. Il provient d'affleurements de la partie basse, composée de grès brun rougeâtre à lits épais et à grains moyens (Fig. 26A), à proximité du front de déformation des Mauritanides. L'échantillon est situé à proximité d'Oued Moudr, à côté du bord Est de la feuille de la carte à l'échelle 1/200 000ème de Mbout (numéro 1612). Sur les 120 grains analysés, 86 ont passé avec succès les filtres LAICPMS. Le tracé de probabilités montre des pics majeurs à 1 529 et 1 212 Ma, et des pics mineurs à 1 929, 1 741, 1 406, 1 141, 1 041, et 906 Ma (Fig. 26F). L'âge maximum de dépôt est de 903 Ma, sur la base de la moyenne des deux âges les plus récents. La signature du zircon détritique de cette roche est très différente de celle des autres échantillons, qui appartiennent avec certitude au Groupe de Oujeft. Nous faisons donc l'hypothèse que la ceinture d'affleurements renfermant l'échantillon DB07RIM74a est plus complexe que cela n'apparaît sur la feuille de la carte à l'échelle 1/200 000ème de Mbout (Pitfield et al., 2004). L'unité pétrographique la plus proche, connue pour présenter une signature de zircons détritiques similaire, est le Groupe de Djonaba. En conséquence, nous avons déplacé sur la feuille de la carte à l'échelle 1/1 000 000ème la limite Est de la ceinture d'affleurements du Groupe de Djonaba d'environ 2 km vers l'Est, pour inclure l'emplacement de l'échantillon DB07RIM74a.

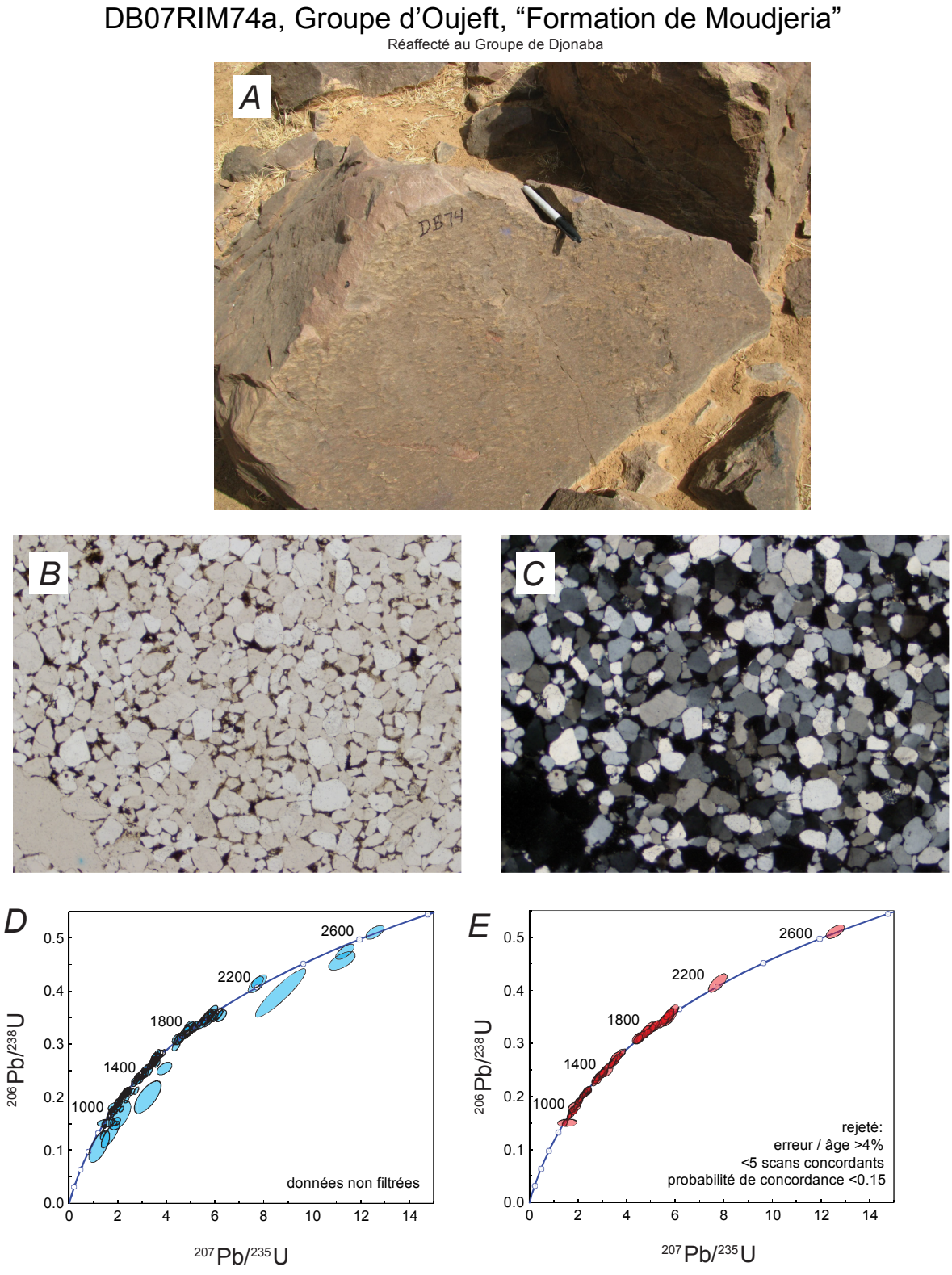

Figure 26. Données et photographies de zircons détritiques correspondant à l'échantillon DB07RIM74a, provenant de roches cartographiées de façon erronée comme appartenant au Groupe d'Oujeft, et à la Formation de Moudjeria. (*A*) Photographie de l'affleurement de prélèvement d'échantillon. (*B et C*) Photographies au microscope en lumière polarisée plane et croisée, respectivement. (*D et E*) Diagrammes de Concordia. (*Page suivante*) (*F*) Distribution des âges.

DB07RIM74a, Groupe d'Oujeft, "Formation de Moudjeria" (suite)

Réaffecté au Groupe de Djonaba

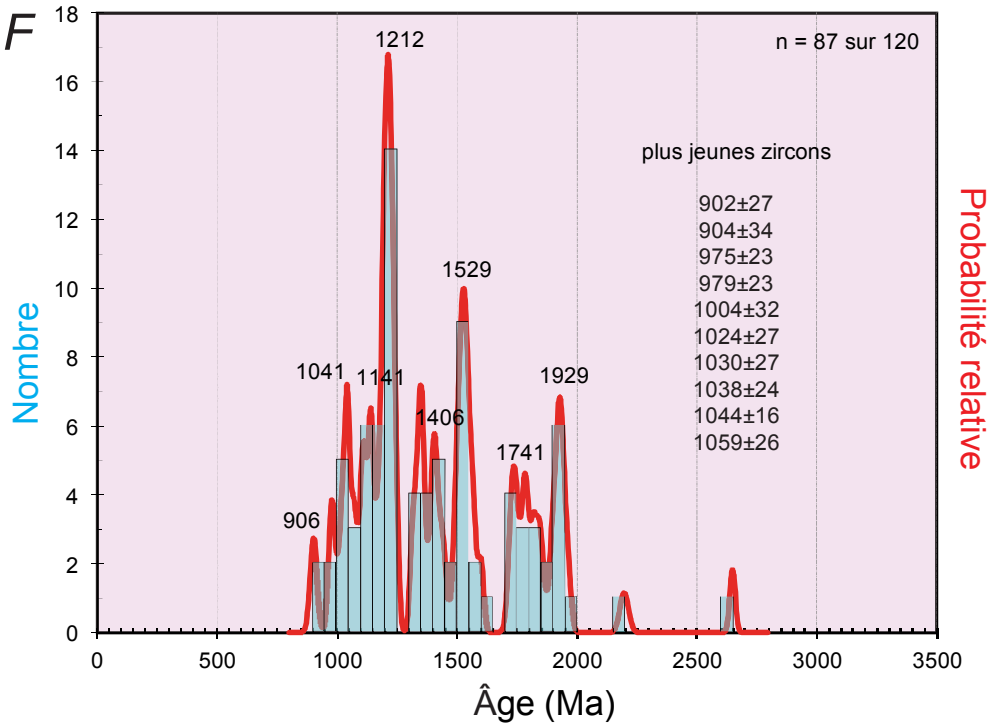

3.10. Groupe de Tichit (Ordovicien)

La Formation de Tabarit El Kbir est la plus basse de cinq formations du Groupe de Tichit (Fig. 8), et est caractérisée par des grès quartzeux (Pitfield et al., 2004). Plus haut dans le Groupe de Tichit, se trouvent des strates glaciogénique provenant de la glaciation de la fin de l'Ordovicien. L'échantillon CT07RIM59-1 provient d'affleurements de grès rouge à lits entrecroisés sur une grande échelle et à grains grossiers (Fig. 27A). L'échantillon provient des environs de Guénétir, dans l'angle Nord-Est de la feuille de la carte à l'échelle 1/200 000ème de Selibabi-Bakel (numéro 1512-1412). Sur les 120 grains analysés, seulement 25 ont passé avec succès les filtres LAICPMS. Le tracé des probabilités montre des pics majeurs peu espacés à 601 et 548 Ma, ainsi qu'un certain nombre d'autres âges (Fig. 27E). Etant donné le caractère bien établi de l'âge de la glaciation de l'Ordovicien tardif en Afrique (Ghienne, 2003), les zircons détritiques de cet échantillon n'apportent aucune nouvelle information sur cet âge de dépôt.

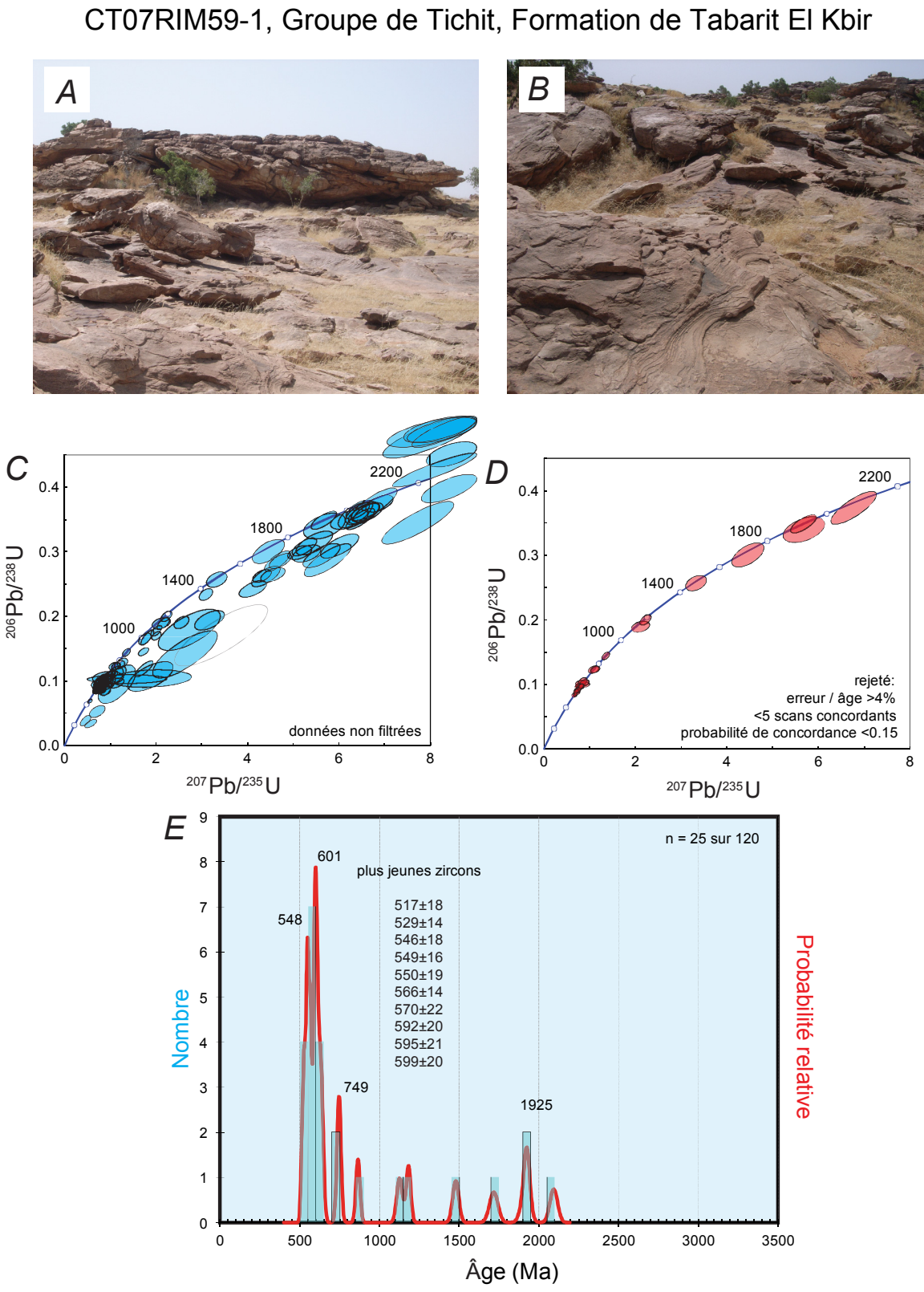

Figure 27. Données et photographies des zircons détritiques de l'échantillon CT07RIM59-1, provenant du Groupe de Tichit, et de la Formation de Tabarit El Kbir. (*A et B*) Photographies de l'affleurement de prélèvement d'échantillon. (*C et D*) Diagrammes de Concordia. (E) Distribution des âges.

3.11. Groupe de Néma, Formation de Saïlé (Crétacé)

Le Groupe de Néma, qui est formé de roches clastiques continentales, affleure dans la région d'Hodh, dans le Sud-Est de la Mauritanie. Il est composé principalement d'une siltite verte. Son âge est mal contraint, mais est postérieur aux roches mafiques datant d'environ 199 Ma, et date probablement du milieu du Crétacé (Lahondère et al., 2005). L'échantillon CT07RIM62-1 est un grès massif d'altération rouge (Fig. 28A et B), provenant des faubourgs Nord de Néma (feuille de la carte à l'échelle 1/200 000ème de Néma, numéro 1607). Sur les 120 zircons analysés, 5 à 6 ont passé avec succès les filtres LAICPMS. Le tracé des probabilités montre des pics majeurs faiblement espacés à 606, 576, et 545 Ma, ainsi qu'un pic mineur à 2 136 Ma (Fig. 28E). Il n'y a pas de zircons récents indiquant l'âge de dépôt.

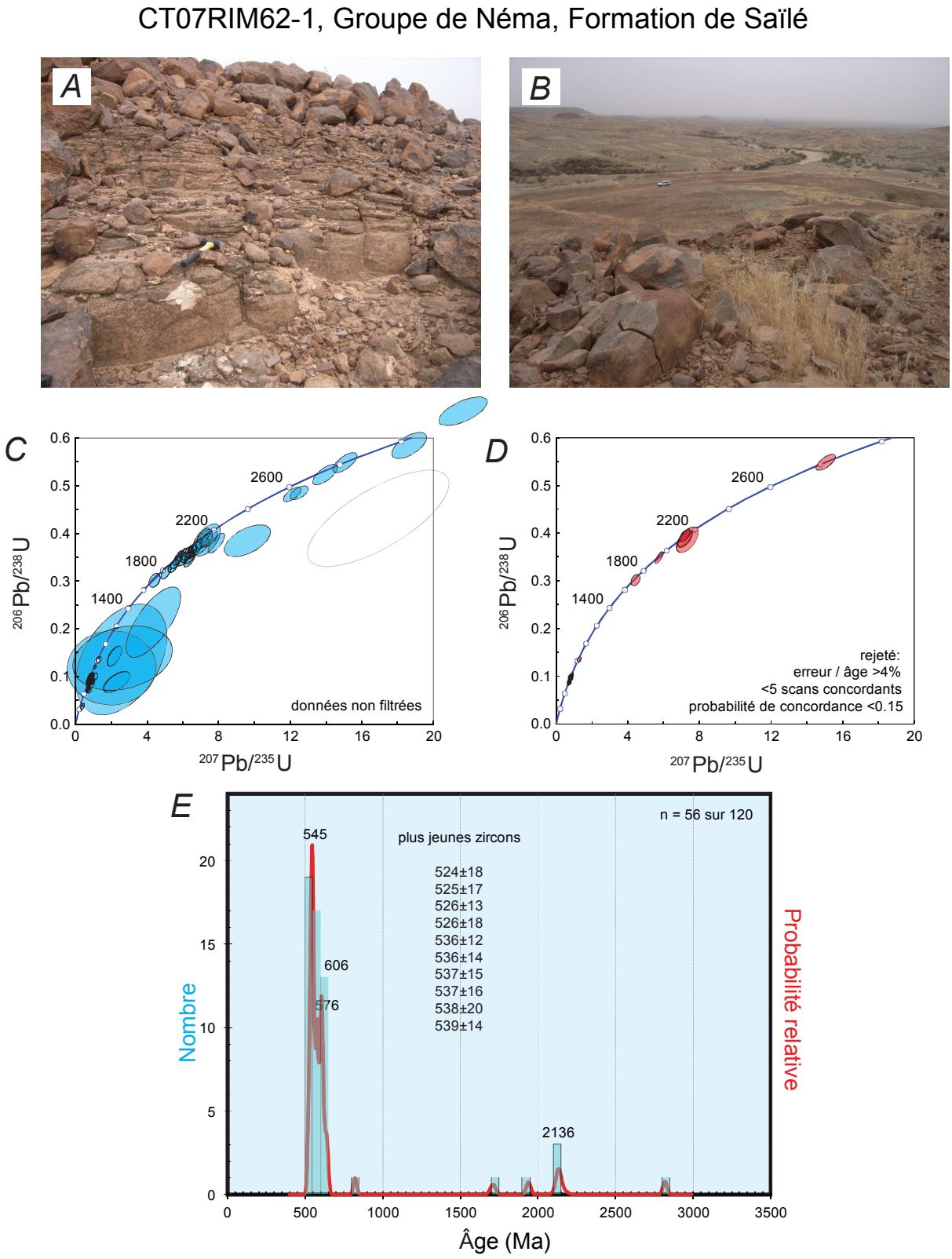

Figure 28. Données et photographies des zircons détritiques correspondant à l'échantillon CT07RIM62-1, provenant du Groupe de Néma, et de la Formation de Saïlé. (*A et B*) Photographies de l'affleurement de prélèvement d'échantillon. (*B et C*) Diagrammes de Concordia. (*E*) Distribution des âges.

4.0. Résultats géochronologiques provenant de l'orogène central des Mauritanides

Au sein de cette section, nous décrivons les résultats par la méthode U-Pb, portant sur les zircons détritiques, les zircons magmatiques, ainsi que les résultats géochronologiques par la méthode $^{40}Ar/^{39}Ar$, portant sur le mica blanc en provenance des Mauritanides Centrales. Pour les besoins de cette description, il s'agit d'un secteur grossièrement de direction Nord-Sud de l'orogène, de la latitude 18°30'N au Sud de la frontière du Sénégal. Pendant l'orogénie de la période Hercynienne (Carbonifère à Permien), de multiples couches de charriage empilées se sont mises en place de façon définitive, sur le socle Ouest Africain, et sur la couverture cratonique du Bassin de Taoudéni (Lécorché et al., 1989). Les résultats provenant des différentes unités cartographiques supracrustales sont présentés d'Est (roches para-autochtones) vers l'Ouest (roches allochtones), suivis de résultats provenant de roches plutoniques et de veines intrusives.

4.1. Groupe de Djonaba

Le Groupe de Djonaba est une succession para-autochtone au sein de la ceinture la plus à l'Est des Mauritanides Centrales (Pitfield et al., 2004). L'échantillon DB07RIM76a est un grès rougeâtre à grains moyens, provenant d'un affleurement de 50 cm d'épaisseur de lits de grès turbidiques, alternant avec des séparations de siltite de 1 cm d'épaisseur (Fig. 29A). Il est situé à Oûdeï el Gharoône, à proximité de la bordure Est de la feuille de la carte à l'échelle 1/200 000ème de Mbout (numéro 1612). Sur 120 grains analysés, 75 ont passé avec succès les filtres LAICPMS. Le tracé des probabilités montre des pics majeurs à 1 518, 1 282, et 1 224 Ma, ainsi que des pics mineurs à 2 053, 1 741, 1 347, 1 094, et 982 Ma (Fig. 29F). L'âge de dépôt maximum est de 982 Ma, sur la base du pic le plus récent. La distribution des âges du zircon détritique est semblable à celle du Groupe d'Assabet El Hassiane. Pitfield et al. (2004, Section 3.2.2.7) ont fait l'hypothèse que le Groupe de Djonaba consiste en des équivalents déformés des Groupes de Jbéliat, de Téniagouri, et de Nouatil. Nos résultats suggèrent que le Groupe de Djonaba comprend probablement des strates déformées qui sont en corrélation avec le Groupe d'Assabet El Hassiane.

DB07RIM76a, Formation de Djonaba

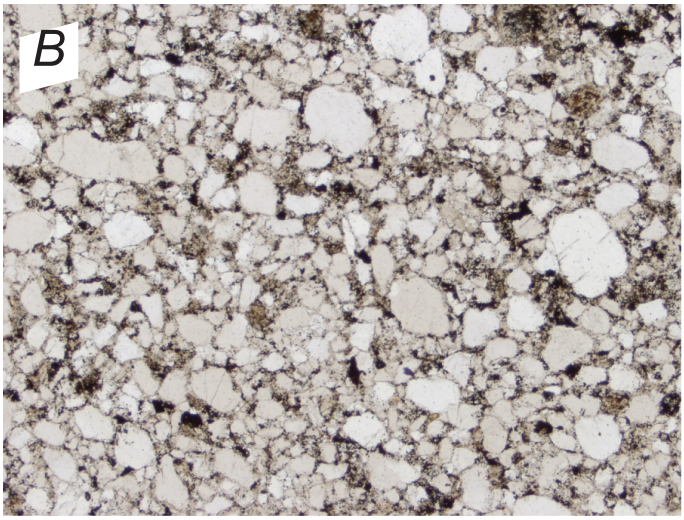

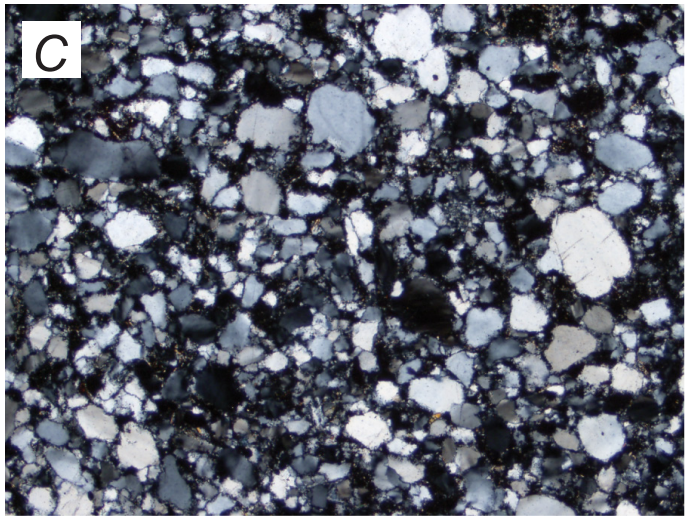

Figure 29. Données et photographies des zircons détritiques correspondant à l'échantillon DB07RIM76a, provenant du Groupe de Djonaba. (*A*) Photographie de l'affleurement de prélèvement d'échantillon. (*B et C*) Photographies au microscope en lumière polarisée plane et croisée, respectivement. (*Page suivante*) (*D et E*) Diagrammes de Concordia. (*F*) Distribution des âges.

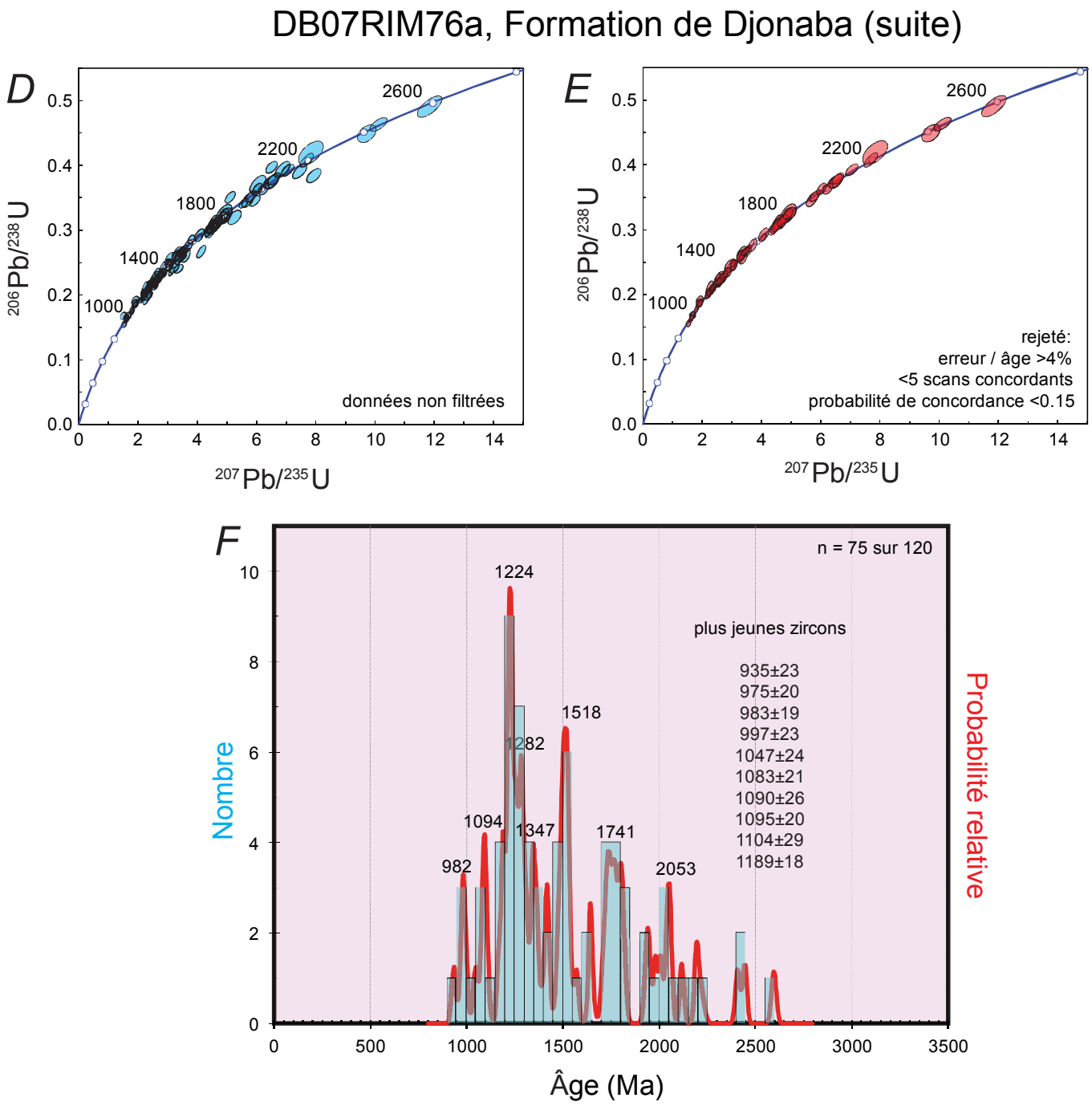

4.2. Groupe de Gadel

Le Groupe de Gadel est un assemblage tectonique de type mélange, le long de la zone de suture des Mauritanides. Il est formé de deux ensembles lithologiques en contraste : (1) des roches métamorphiques mafiques et ultramafiques, et (2) des roches métasédimentaires silicoclastiques (Pitfield et al., 2004, Section 3.3.3.3). L'échantillon DB07RIM65a, un conglomérat déformé et riche en quartz (Fig. 30A), a été analysé pour les zircons détritiques. Le lieu de prélèvement de l'échantillon est une zone d'affleurements

discontinus, sur la partie Nord-Ouest de la feuille de la carte à l'échelle 1/200 000ème de Mbout (numéro 1612). L'emplacement GPS est reporté environ 100 mètres à l'Ouest du contact cartographié entre le Groupe de Gadel et le Groupe de Mseigguem. Mais ce contact est médiocrement contraint dans cette zone. Par conséquent, sur la carte géologique à l'échelle du pays, nous avons repoussé le contact un peu à l'Ouest, pour permettre l'inclusion de cet échantillon dans le Groupe de Gadel. Sur les 120 grains analysés, 80 ont passé avec succès les filtres LAICPMS. La courbe des probabilités présente des pics majeurs à 1 236, 1 182, et 999 Ma, et des pics mineurs à 2 092, 2 046, 1 504, 1 435, 1 381, et 1 297 Ma (Fig. 30D). L'âge maximum de dépôt est de 999 Ma, sur la base du pic le plus jeune de la distribution des âges, qui représente sept zircons.

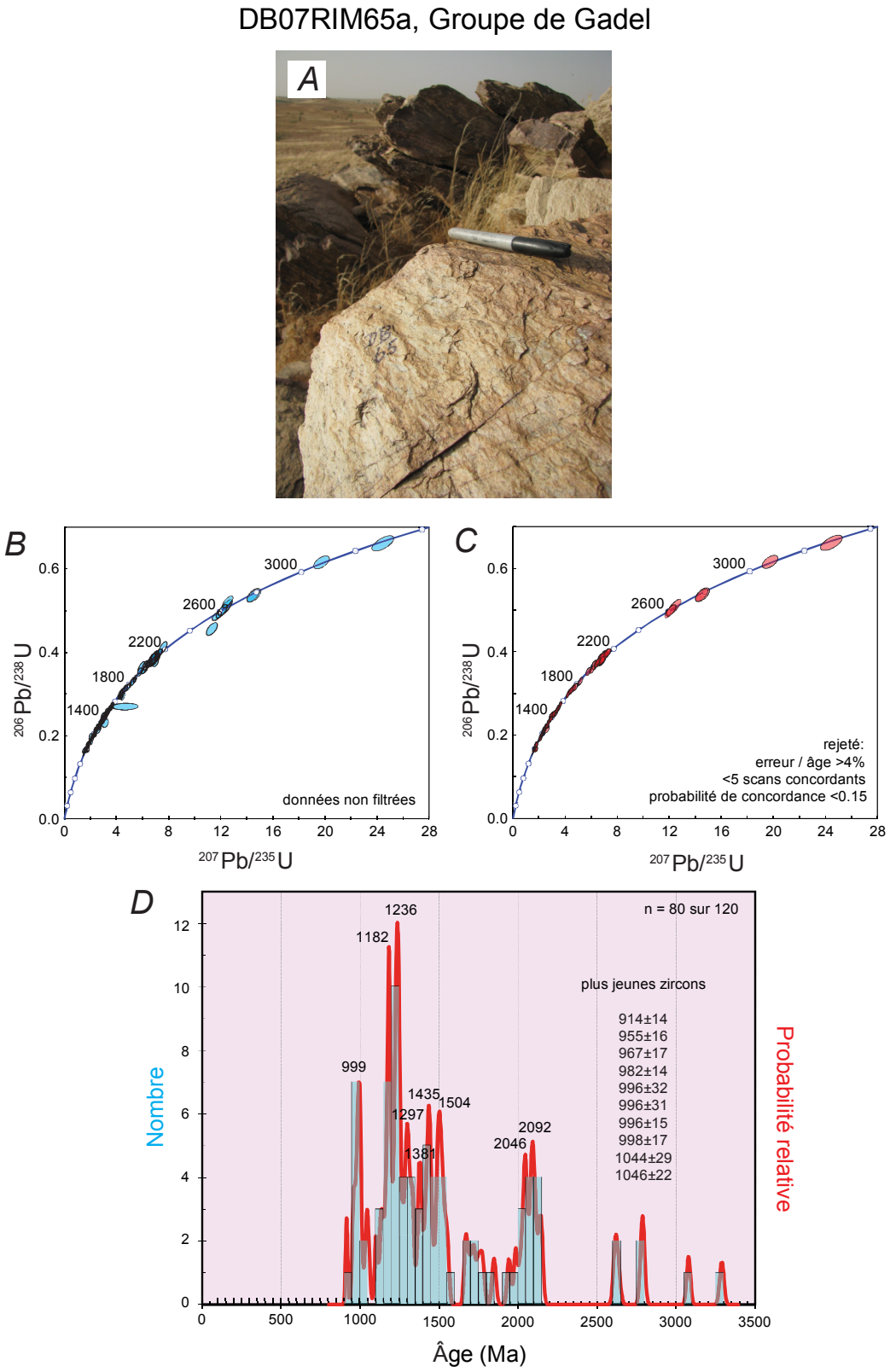

Figure 30. Données et photographies des zircons détritiques correspondant à l'échantillon DB07RIM65a, provenant du Groupe de Gadel. (*A*) Photographie de l'affleurement de prélèvement d'échantillon. (*B et C*) Diagrammes de Concordia. (*D*) Distribution des âges.

Deux fractions de mica blanc provenant de l'échantillon DB07RIM66A, appartenant au Groupe de Gadel, ont été analysées par la méthode $^{40}Ar/^{39}Ar$. La roche est un conglomérat à galets déformé, avec une matrice micacée (Fig. 31A). L'échantillon provient d'un lieu proche de celui qui correspond à l'échantillon DB07RIM65a, dans la partie Nord-Ouest de la feuille de la carte à l'échelle 1/200 000ème de Mbout (numéro 1612). Les données $^{40}Ar/^{39}Ar$, provenant de la première fraction, ont été obtenues en chauffant un grand grain, unique, de mica. L'âge de 594±7 Ma est une moyenne de six étapes de chauffage représentant environ 90 % du gaz émis, et est interprété comme le moment où cet échantillon a refroidi à une température inférieure à environ 350 °C (Fig. 31B)**.** Une seconde fraction, constituée de micas à grains fins provenant du même échantillon, a produit un spectre d'âges $^{40}Ar/^{39}Ar$ plus complexe (Fig. 31C), qui représente probablement une contamination, ou des mélanges de grains présentant des âges de refroidissement différents. L'âge $^{40}Ar/^{39}Ar$ retenu de 572 Ma est semblable à l'âge de refroidissement $^{40}Ar/^{39}Ar$ du grain unique.

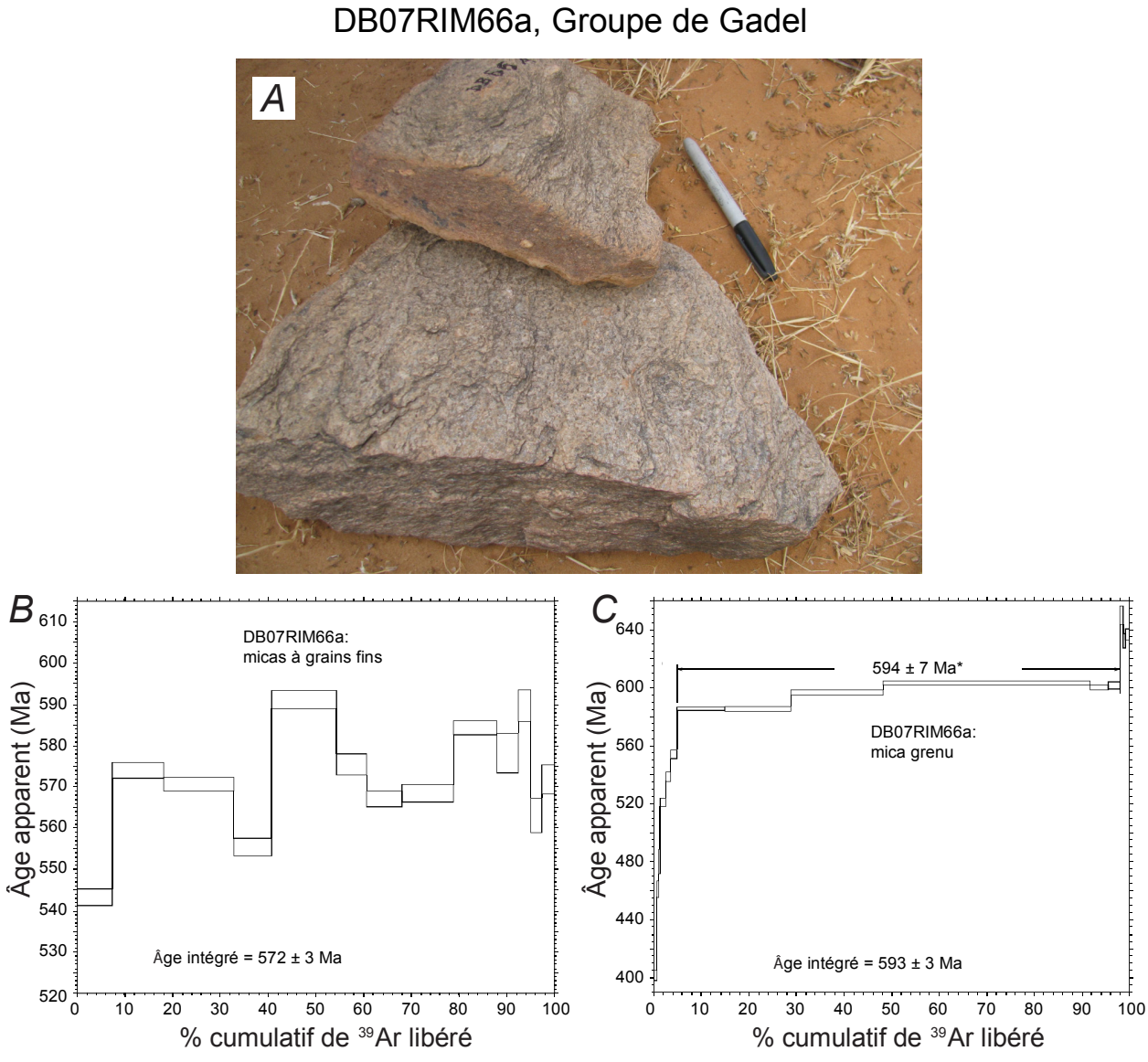

Figure 31. (*A*) Photographie de l'affleurement de prélèvement de l'échantillon DB07RIM66a, appartenant au Groupe de Gadel. (*B et C*) Spectres d'âges d'émission de l'Argon, correspondant aux deux fractions de mica blanc.

4.3. Groupe de Gueneiba

Une autre composante du Complexe de Gorgol Noir, qui marque la zone de suture des Mauritanides, est le Groupe de Gueneiba. Il consiste en des métabasaltes, et les roches métasédimentaires associées. Notre échantillon de zircon détritique, de référence DB07RIM69a, provient d'affleurements bas de métagrès vert, finement alternés, et de dolomie, à proximité de Guelb Ferna, au niveau de la bordure Nord de la feuille de la carte à l'échelle 1/200 000ème de Mbout (numéro 1612). L'assemblage lithologique ne correspond à aucun de ceux qui sont énumérés dans la description des unités de Pitfield et al. (2004, Section 3.3.4). L'emplacement de prélèvement d'échantillon est lui-même présenté comme étant un sable Quaternaire sur la feuille de Mbout, mais il est entouré de tous côtés par une roche mère recouverte de reg, attribuée au Groupe de Gueneiba. En l'absence d'information supplémentaire, nous le rattachons au Groupe de Gueneiba.

Le métagrès a été recristallisé statiquement. Sur les 120 zircons analysés, seulement 57 ont passé avec succès les filtres LAICPMS. Le tracé des probabilités montre des pics majeurs à 652, 622, et 583 Ma, ainsi qu'un pic mineur à 2 021 Ma (Fig. 32F). L'âge maximum de dépôt est établi à 551 Ma, une partie arrondie comprenant le recouvrement des deux âges les plus récents.

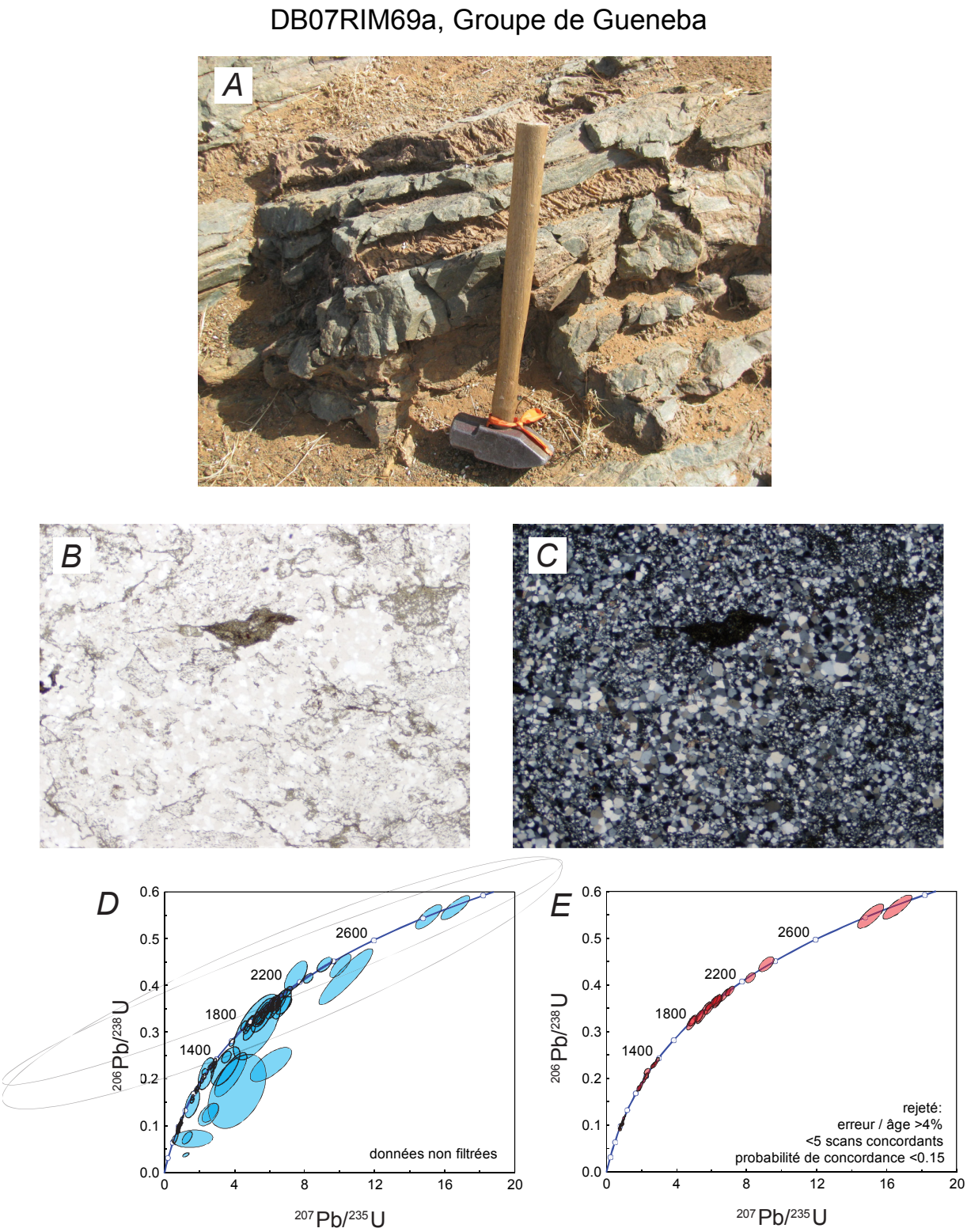

Figure 32. Données et photographies des zircons détritiques correspondant à l'échantillon DB07RIM69a, appartenant au Groupe de Gueneiba. (*A*) Photographie de l'affleurement de prélèvement d'échantillon. (*B et C*) Photographies au microscope d'un métagrès riche en quartz, en lumière polarisée plane et croisée, respectivement. (*D et E*) Diagrammes de Concordia. (*Page suivante*) (*F*) Distribution des âges.

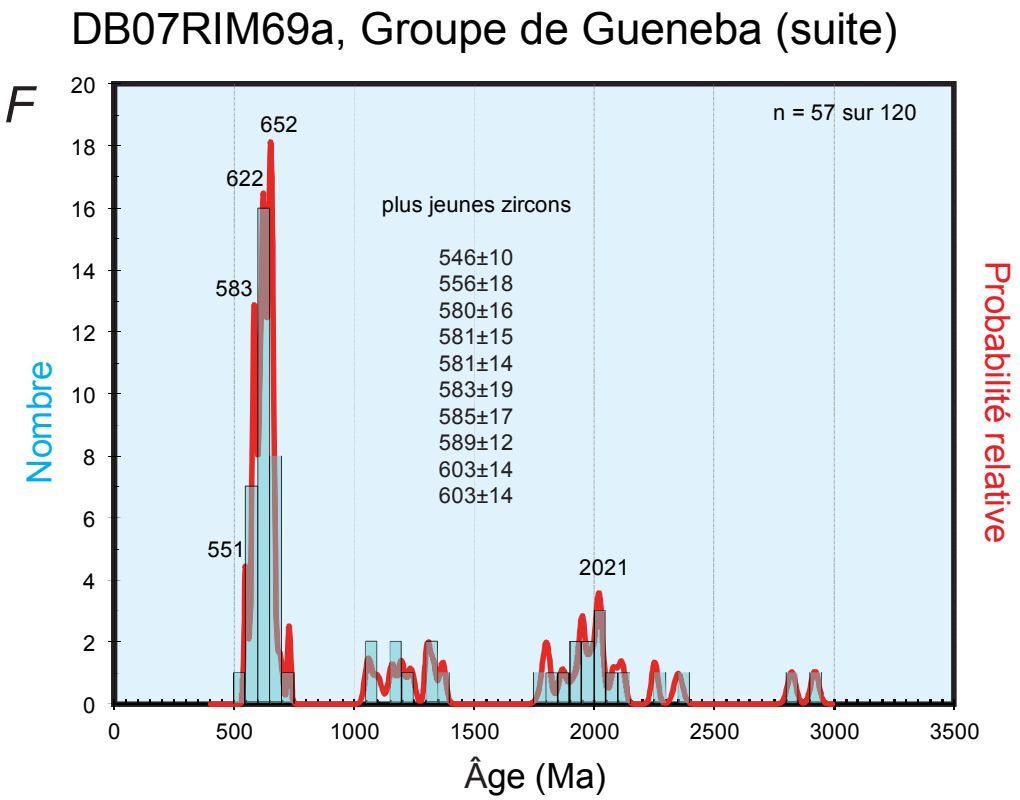

4.4. Groupe d'El Mseigguem

Le Groupe d'El Mseigguem comprend un ensemble lié au charriage de l'Ouest de la zone de suture des Mauritanides, et à l'Est du Groupe d'El Ghabra (Pitfield et al., 2004, Section 3.4.3). Il est largement formé de roches métavolcaniques, dont la composition varie de mafique à felsique.

L'échantillon CT07RIM55-1 est un métagrès felsique (Fig. 33A), appartenant à la Formation d'Ouechkech, du Groupe d'El Mseigguem, à proximité de la présence minérale de Bou Grabie, dans le Nord-Ouest de la feuille de la carte à l'échelle 1/200 000ème de Mbout (numéro 1612). Sur les 120 grains analysés, 52 ont passé avec succès les filtres LAICPMS. Le tracé des probabilités montre un pic unique majeur à 606 Ma, et seulement quelques grains plus anciens (Fig. 32D). Nous établissons l'âge maximum de dépôt à 606 Ma.

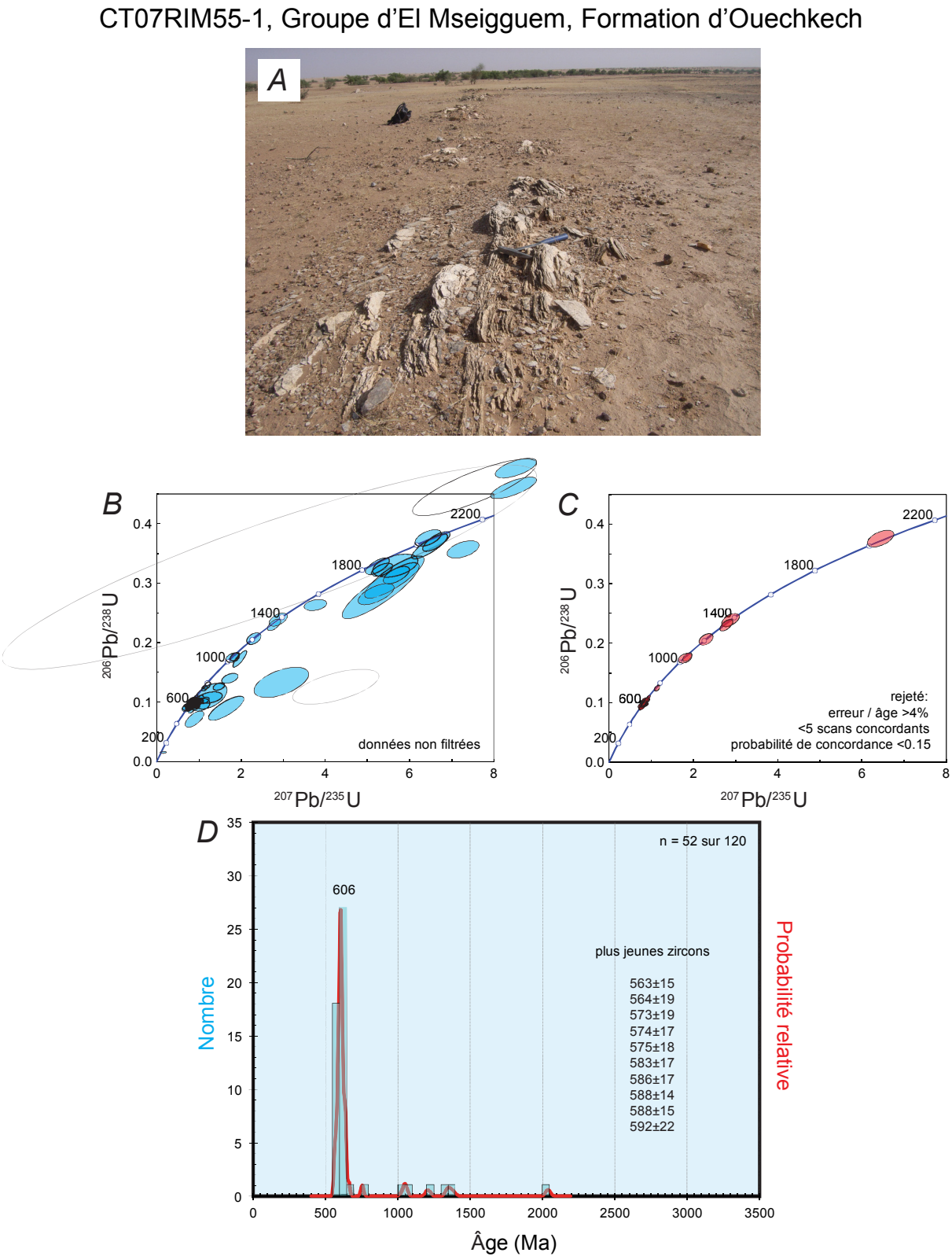

Figure 33. Données et photographies des zircons détritiques correspondant à l'échantillon CT07RIM55-1, provenant de la Formation d'Ouechkech appartenant au Groupe d'El Mseigguem. (A) Photographie de l'affleurement de prélèvement d'échantillon. (*B et C*) Diagrammes de Concordia. (*D*) Distribution des âges.

Nos résultats portant sur les zircons détritiques ne sont pas particulièrement en accord avec les autres résultats concernant le Groupe d'El Mseigguem. Les roches qui ont été cartographiées comme formant le Groupe d'El Mseigguem sont recoupées par le pluton d'Oued Djib, du Sous-Cortège d'Oued Djib, qui a produit des âges de zircon par la méthode U-Pb de 637±5 Ma (Pitfield et al., 2004, Section 3.4.3.5). Un tuf diacritique provenant du Groupe d'El Mseigguem a produit un âge du zircon par la méthode U-Pb de 620±6 Ma (Lahondère et al., 2005, leur Figure 76). Notre échantillon laisse supposer que le Groupe d'El Mseigguem, tel qu'actuellement cartographié, peut représenter une construction artificielle qui inclut des strates antérieures et postérieures au plutonisme d'environ 637 Ma. Lahondère et al. (2005, leur Figure 78), ont signalé des résultats de zircon détritique provenant d'une roche tufacée métasédimentaire du Groupe d'El Mseigguem. Les zircons détritiques rappellent le Groupe de Téniagouri, comme évoqué dans la Section 7.5.

4.5. Groupe d'El Ghabra

Le Groupe d'El Ghabra est un ensemble déplacé sur une grande distance par le charriage de roches métavolcaniques et métasédimentaires, flanquées à l'Ouest par le Groupe d'El Fadra, et à l'Est par le Groupe d'El Mseigguem (Pitfield et al., 2004, Section 3.4.4). Nous notons des zircons détritiques provenant de deux échantillons : l'un provenant de la Formation d'Oued Erdi, et l'autre de la Formation d'Ould Moïlîd. De plus, Lahondère et al. (2005, leur Figure 82) ont signalé le résultat de zircons détritiques provenant de la Formation d'Oua Oua (se référer à la Section 7.2).

L'échantillon GB07RIM63a provient de la Formation d'Oued Erdi, appartenant au Groupe d'El Ghabra, dans l'angle Sud-Ouest de la feuille à l'échelle 1/200 000ème de Moudjeria (numéro 1712). L'échantillon a été prélevé comme conglomérat métavolcanique felsique (Fig. 34A), avec l'objectif d'obtenir une datation des zircons magmatiques. L'extraction des zircons a toutefois montré leur caractère détritique. Sur les 120 grains analysés, 79 ont passé avec succès les filtres LAICPMS. Le tracé des probabilités montre un pic majeur à 1 194 Ma, et des pics de moindre ampleur à 2 024, 1 502, et 594 Ma (Fig. 34D). L'âge maximum de dépôt est de 594 Ma sur la base d'un pic de neuf zircons.

GB07RIM63a, Groupe d'El Ghabra, Formation d'Oued Erdi

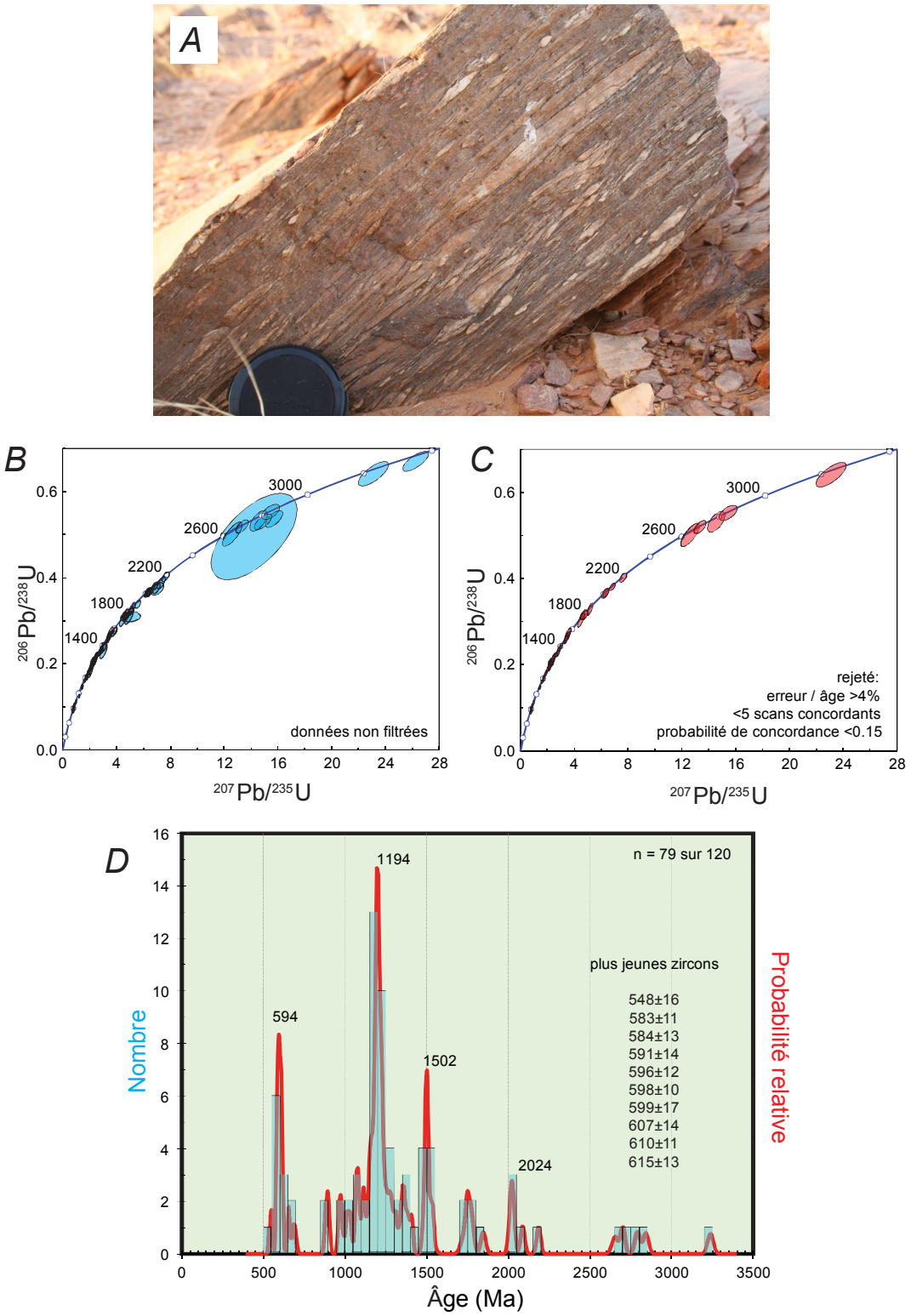

Figure 34. Données et photographies des zircons détritiques correspondant à l'échantillon GB07RIM63a, provenant de la Formation d'Oued Erdi, et appartenant au Groupe d'El Ghabra. (*A*) Photographie du conglomérat volcanique déformé, provenant de l'affleurement de prélèvement d'échantillon. (*B et C*) Diagrammes de Concordia. (*D*) Distribution des âges.

L'échantillon DB07RIM73a provient de la Formation d'Ould Moïlîd, appartenant au Groupe d'El Ghabra. Il a été prélevé à proximité d'Oued Boû Dhiâb, dans la partie centrale de la feuille de la carte à l'échelle 1/200 000ème de Mbout (numéro 1612). La roche est un métagrauwacke folié à grain intermédiaire (Fig. 35A) ; Aucun vestige de litage n'était visible au niveau des affleurements inférieurs. Sur les 120 grains analysés, 67 ont passé avec succès les filtres LAICPMS. Le tracé de probabilité montre des pics majeurs à 1 324, 1 168, et 618 Ma, ainsi qu'un pic mineur à 1 531 Ma (Fig. 35F). L'âge maximum de dépôt est de 618 Ma sur la base du pic le plus récent.

La seule vérification publiée de l'âge du Groupe d'El Ghabra a produit un âge d'environ 680-Ma pour les roches intrusives du Cortège de Kelbé (Section 4.7) qui le recoupent (Pitfield et al., 2004, Section 3.4.4.5). Aucun des deux nouveaux échantillons de zircons détritiques n'est en cohérence avec cette contrainte.

DB07RIM73a, Groupe d'El Ghabra, Formation d'Ould Moïlîd

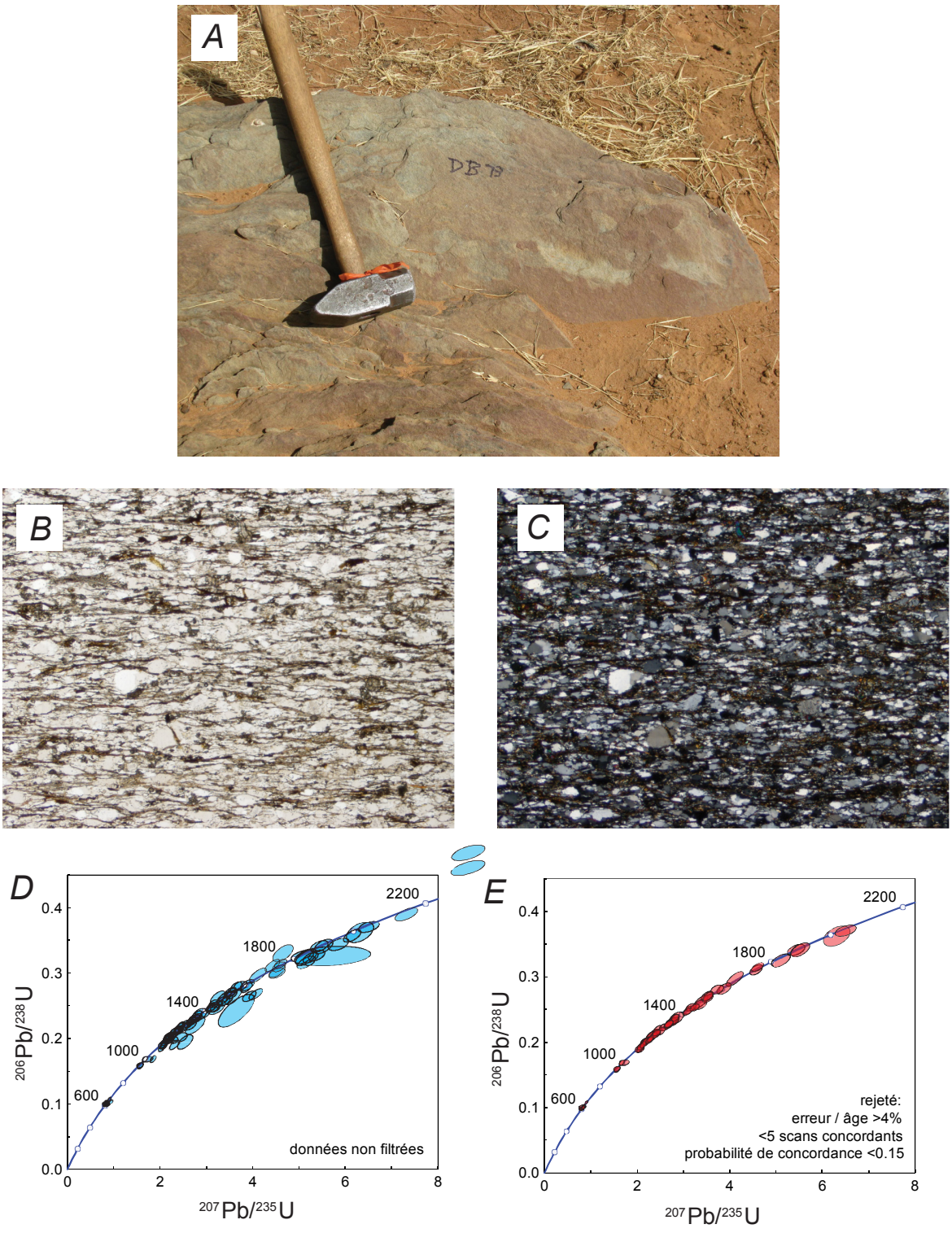

Figure 35. Les données et les photographies de zircons détritiques, correspondant à l'échantillon DB07RIM73a, proviennent de la Formation d'Ould Moïlîd, appartenant au Groupe d'El Ghabra. (*A*) Photographie de l'affleurement de prélèvement d'échantillon. (*B et C*) Photographies au microscope des métagrauwackes foliés, en lumière polarisée plane et croisée, respectivement. (*D et E*) Diagrammes de Concordia. (*Page suivante*) (*F*) Distribution des âges.

DB07RIM73a, Groupe d'El Ghabra, Formation d'Ould Moïlîd (suite)

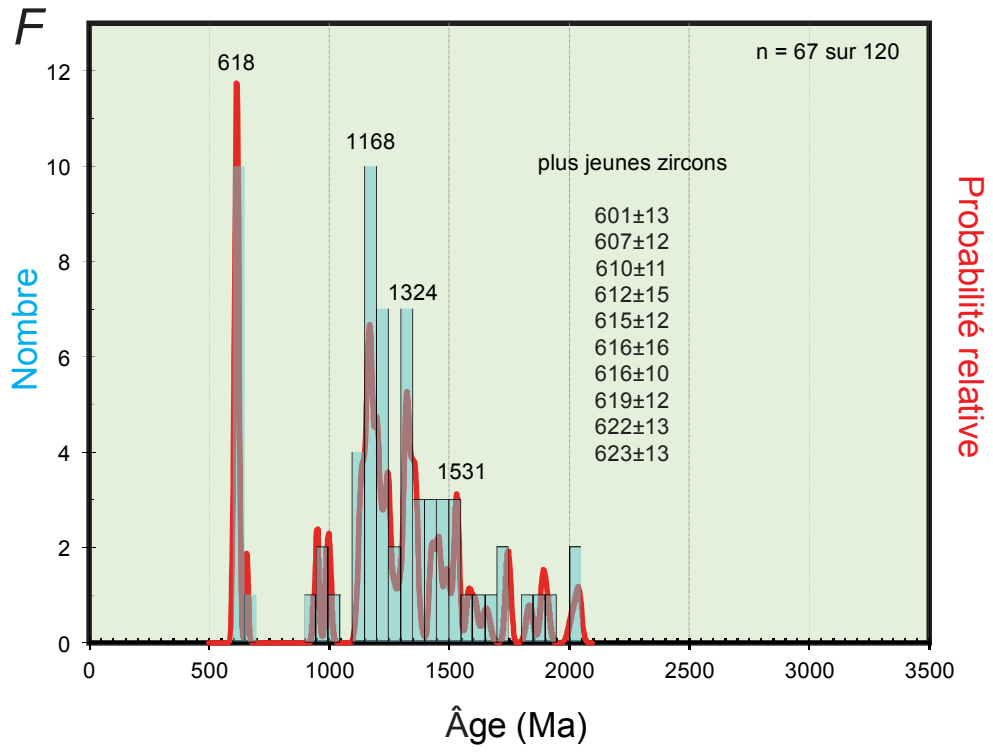

4.6. Groupe d'El Fadra

Le Groupe d'El Fadra de Pitfield et al. (2004, section 3.4.5) est le plus à l'Ouest, étant lié au charriage, des ensembles d'assemblages volcanosédimentaires calco-alcalins allochtones comprenant le Supergroupe de Mbout. L'échantillon DB07RIM62a est un métagrès chloritique folié (Fig. 36A et B) provenant de la Formation d'Oued Kav, à proximité de Magkta Lahjar, sur la partie Est de la feuille de la carte à l'échelle 1/200 000ème d'Aleg (numéro 1713). Sur les 120 grains analysés, 65 ont passé avec succès les filtres LAICPMS. Le tracé des probabilités montre des pics majeurs à 614 et 576 Ma, ainsi que des pics moins importants à 1 203 et 645 Ma (Fig. 36G). L'âge maximum de dépôt d'environ 576 Ma est basé sur le pic le plus récent.

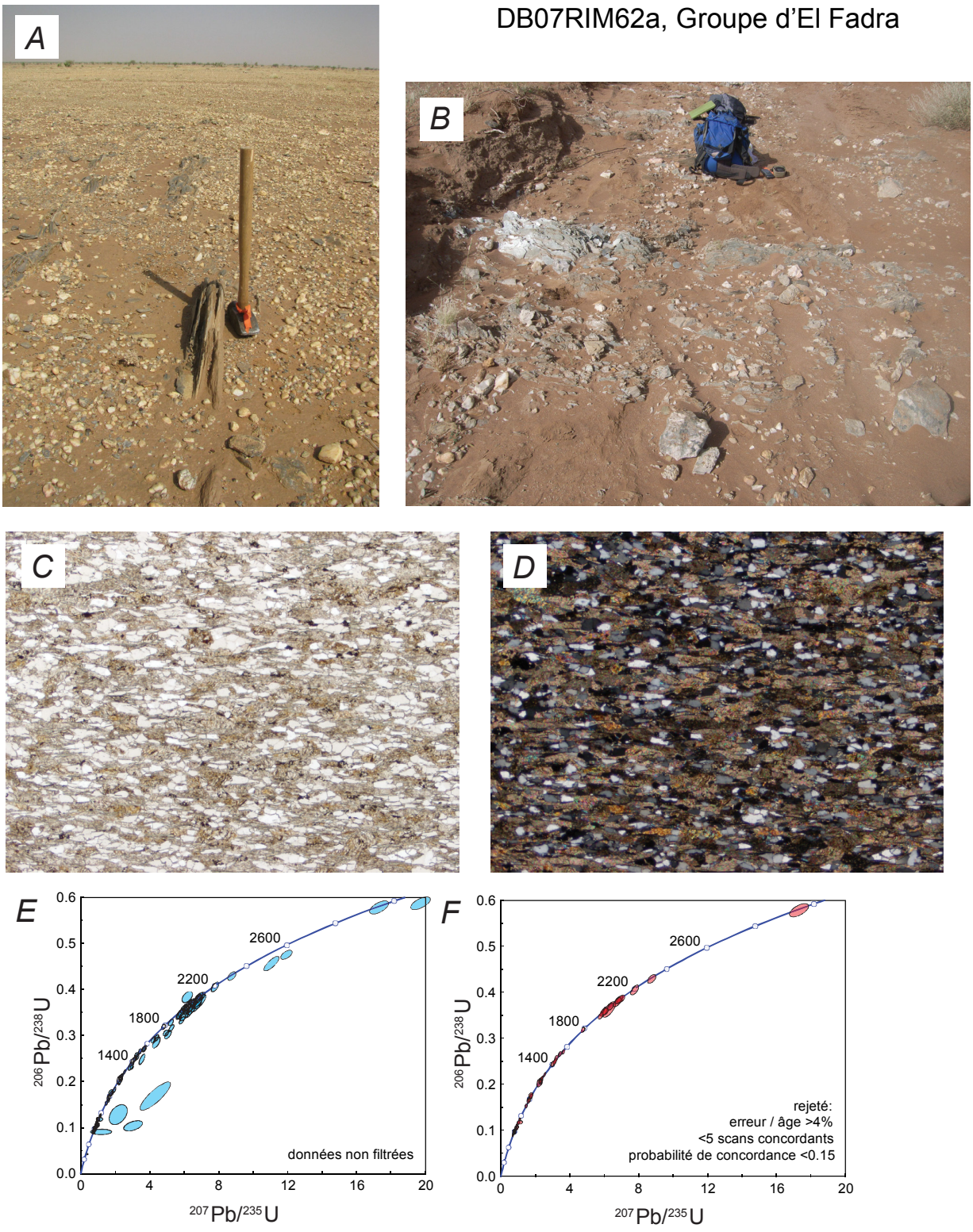

Figure 36. Données et photographies des zircons détritiques correspondant à l'échantillon DB07RIM62a, provenant du Groupe d'El Fadra. (*A et B*) Photographies de l'affleurement de prélèvement d'échantillon—une zone d'affleurement bas et dispersé. (*C et D*) Photographies au microscope des métagrès foliés, en lumière polarisée plane et croisée, respectivement. (*E et F*) Diagrammes Concordia. (*Page suivante*) (*G*) Distribution des âges.

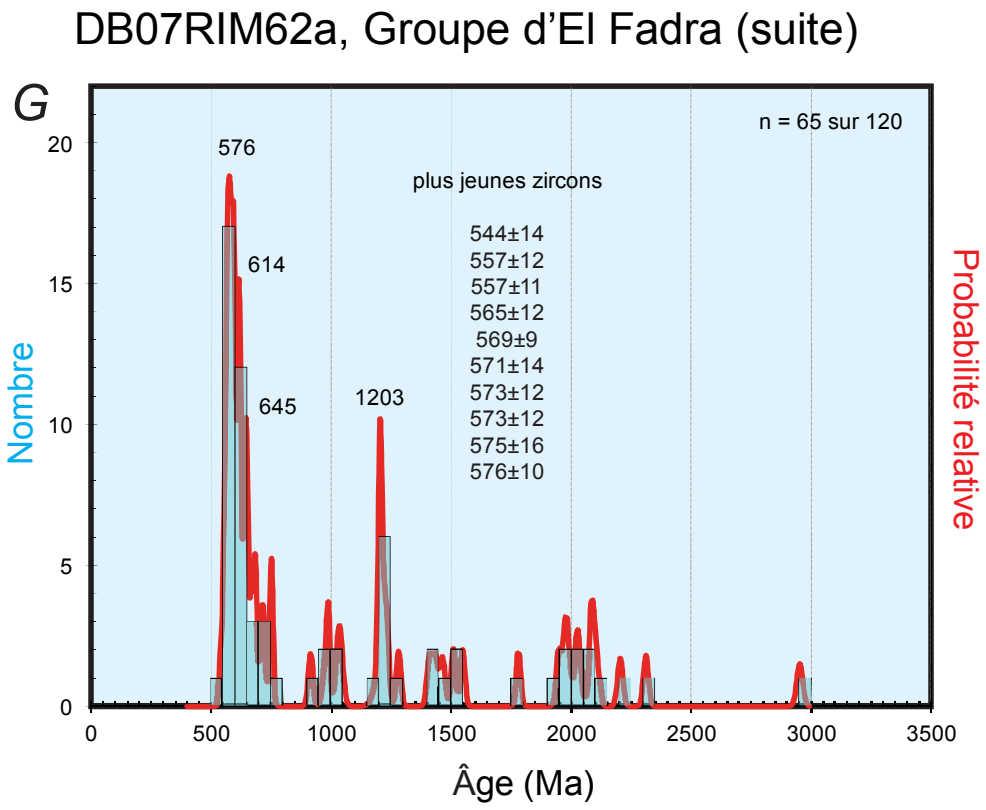

4.7. Cortège de Kelbé

Le Cortège de Kelbé consiste en des plutons granitiques déformés qui ont recoupé le Groupe d'El Mseigguem, ayant subi un important déplacement, ainsi que le Groupe d'El Ghabra. La publication d'investigations d'âge est éparse, avec Pitfield et al. (2004, Section 3.4.7.5) notant une datation des zircons par la méthode U-Pb de 772±49 Ma (un métagranite non-dénommé), 666±83 Ma (métagranite de Bou Zraibie), 685±18 Ma (Granite du Khîr Fîh), et 636±4 Ma (métaleucogranite du Sous-Cortège d'Oued Djib). En prenant pour argent comptant ces valeurs, cela semble indiquer que le Cortège de Kelbé est un regroupement artificiel d'au moins trois suites plutoniques d'âges très différents, et donc d'origines très différentes.

Notre échantillon de datation (DB07RIM64a) provient d'un granite folié (Fig. 37A et B), situé entre Magta Lahjar et Cangarafa, à proximité de la bordure Ouest de la feuille de la carte à l'échelle 1/200 000ème de Moudjeria (numéro 1712). L'échantillon été analysé par SIMS et LAICPMS. Les zircons provenant de ce granitoïde déformé sont principalement âgés d'environ 2 Ga (Fig. 37F). Nous interprétons ceux-ci comme des grains hérités (anciennement détritiques) provenant d'un protolithe métasédimentaire. Mais une hypothèse alternative est qu'il s'agit d'une roche plutonique Paléoprotérozoïque. Une sécante d'âge très imprécise de 545±140 Ma est calculée à partir des données SIMS (Fig. 37E).

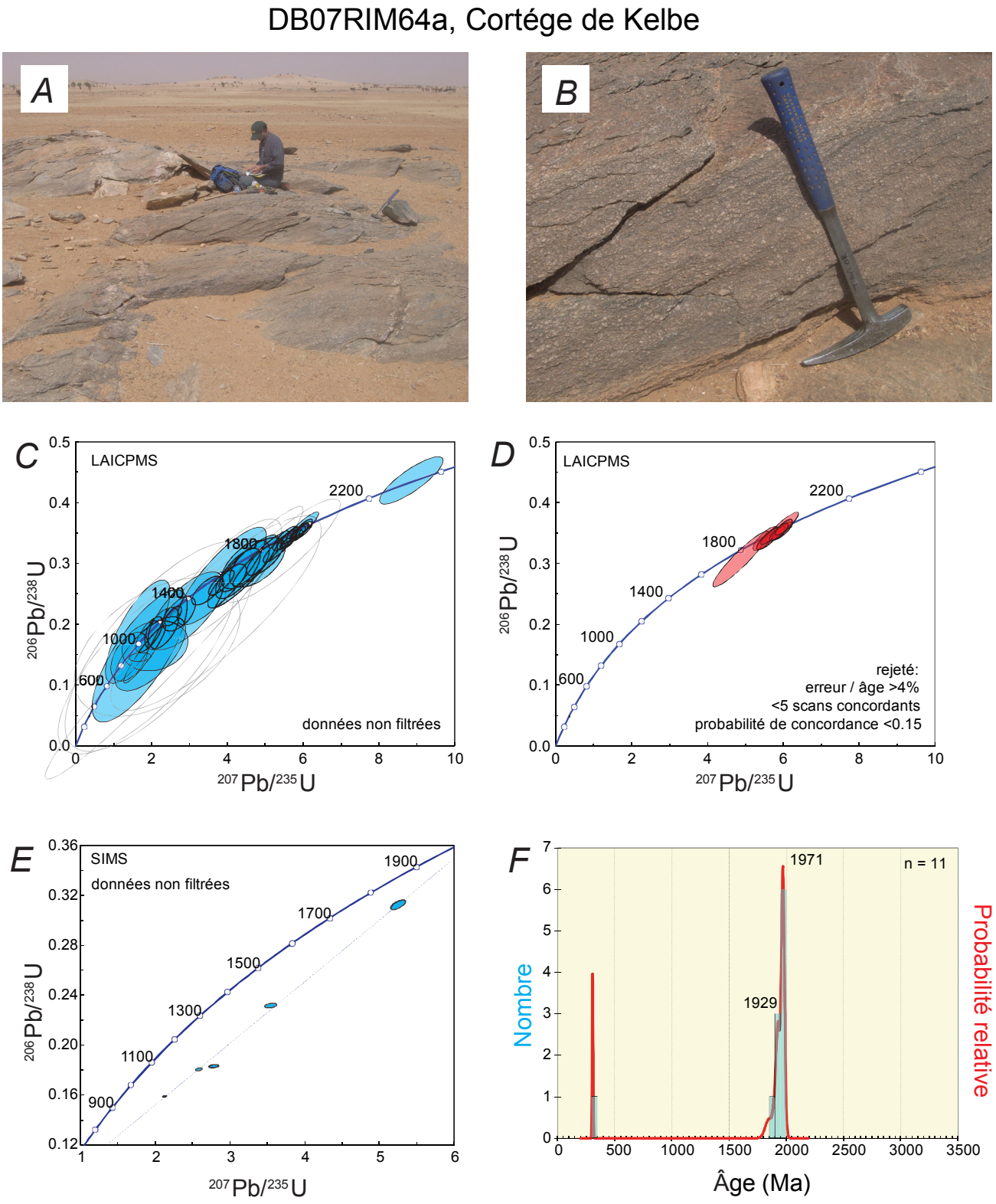

Figure 37. Données et photographies des zircons correspondant à l'échantillon DB07RIM64a, provenant du Cortège de Kelbé. (*A et B*) Photographies de l'affleurement du granite folié provenant du lieu de prélèvement. (*C et D*) Diagrammes Concordia correspondant aux données LAICPMS filtrées et non-filtrées. (*E*) Données SIMS non-filtrées. L'ensemble des données a été fortement discordant. (*F*) Distribution des âges sur la base des résultats LAICPMS.

4.8. Veines de quartz au sein des Mauritanides Centrales

L'échantillon GB07RIM52A provient d'un sous-affleurement de veine de quartz-séricite recoupant le Groupe de Gadel dans la région de la présence minérale d'Iguerj (feuille de la carte à l'échelle 1/200 000ème de Moudjeria, numéro 1712) (Fig. 38A). L'intervalle d'âge $^{40}Ar/^{39}Ar$ correspondant à cet échantillon (Fig. 38B) est irrégulier, et difficile à interpréter de façon précise. Le plus probable est qu'il existe, au sein de cet échantillon, un mélange de différentes générations de micas. L'âge $^{40}Ar/^{39}Ar$ retenu de 357 Ma, est interprété comme le moment approximatif de refroidissement de cet échantillon en dessous d'environ 350 °C.

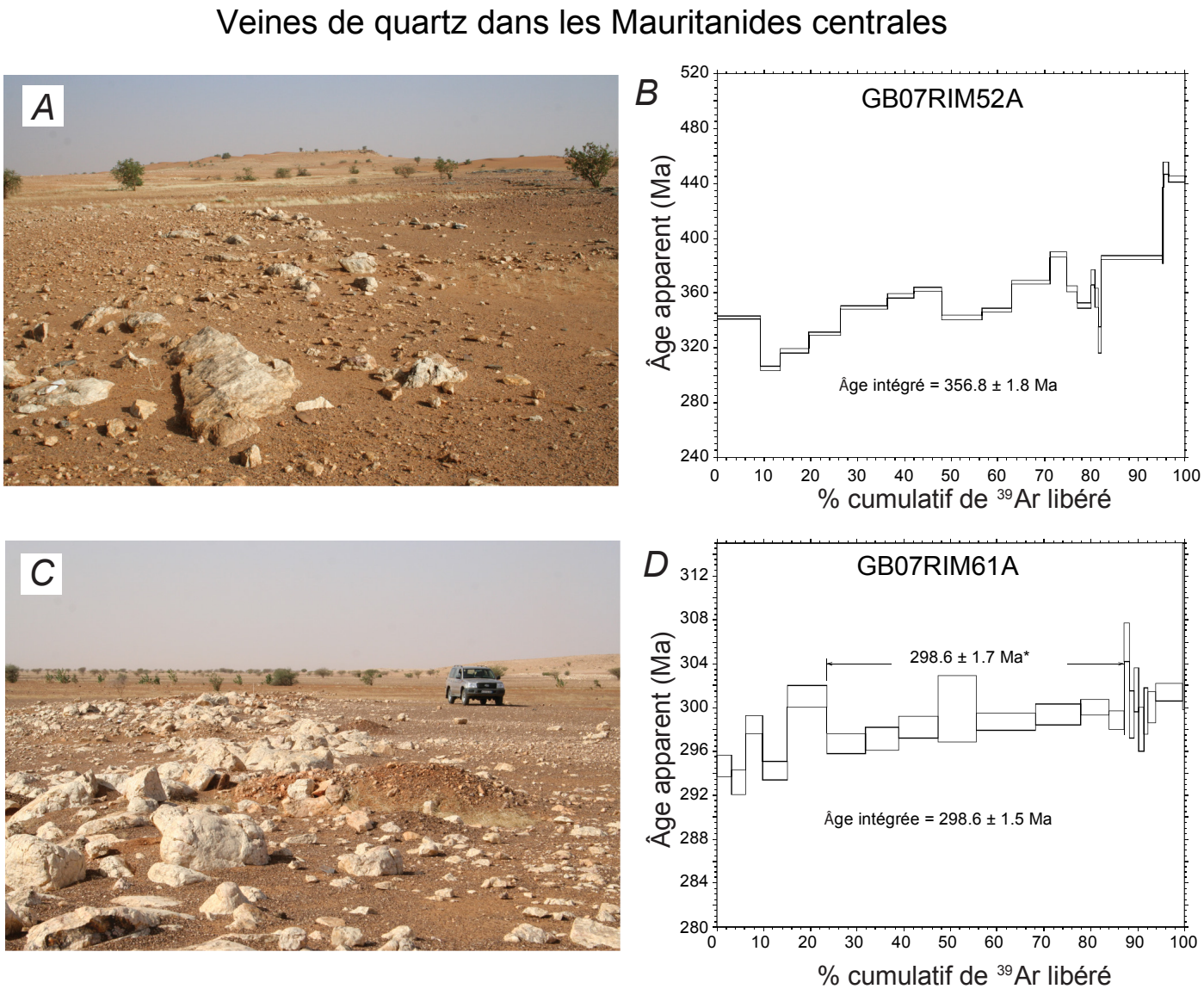

Figure 38. Photographies de l'affleurement, et spectres correspondant des émissions d'Argon, des fractions de mica blanc des veines de quartz des Mauritanides Centrales. (*A et B*) Échantillon GB07RIM52a. (*C et D*) Échantillon GB07RIM61a. (*Page suivante*) (*E et F*) Échantillon GB07RIM62c. (*G et H*) Échantillon GB07RIM69a.

Veines de quartz dans les Mauritanides centrales (suite)

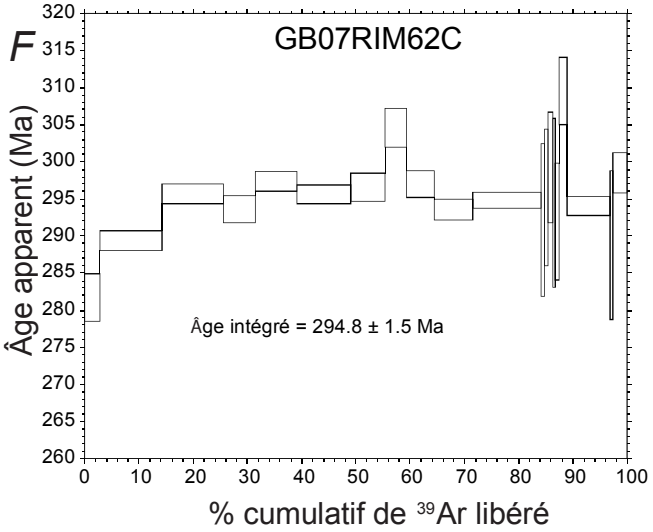

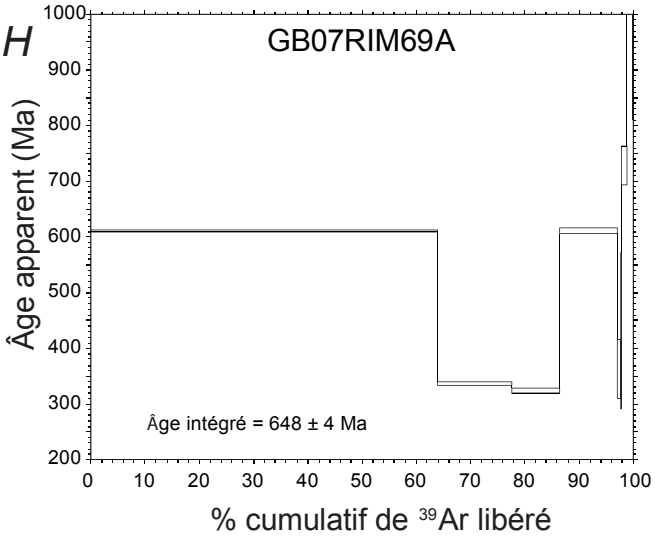

Les échantillons GB07RIM61A et GB07RIM62C proviennent du sous affleurement de veines de quartz-séricite (Fig. 38C et E) dans les environs de la présence minérale de Chlakh Lhemir, dans la partie Sud-Ouest de la feuille de la carte à l'échelle 1/200 000ème de Moudjeria (numéro 1712). Les deux localisations GPS se placent au sein d'une zone, qui a été cartographiée comme une chaussée de graviers Quartenaires. L'échantillon GB07RIM61A est relativement proche d'une zone cartographiée du Groupe de Gàoua, de quartzite Cambrienne, l'étendue de laquelle devant être élargie pour comprendre nos deux emplacements d'échantillons. L'échantillon GB07RIM61a provient d'une veine qui contient de l'Or libre visible. Les données $^{40}Ar/^{39}Ar$ de l'échantillon GB07RIM61A (Fig. 38D) sont en cohérence avec une histoire simple de refroidissement. La datation moyenne de 299±2 Ma, calculée à partir de huit étapes de chauffage, représentant environ 60 % de l'Argon émis, est interprétée comme reflétant, à cette période, un refroidissement en dessous de 350 °C. Les données $^{40}Ar/^{39}Ar$ de l'échantillon GB07RIM62C ne forment pas de plateau $^{40}Ar/^{39}Ar$ (Fig. 38F), mais sont interprétées avec confiance comme représentant le refroidissement de cet échantillon en dessous d'environ 350 °C, à un âge d'environ 295 Ma. Il n'existe pas

d'indice pour suggérer que l'un ou l'autre des échantillons ait été affecté par un quelconque évènement thermique depuis son refroidissement initial.

L'échantillon GB07RIM69A provient d'un sous affleurement de veine de quartz-séricite recoupant phyllite et schistes (Fig. 38G), du Groupe d'El Fadra, au niveau de la Formation d'Oued Kav et de la présence minérale de Vararate Nord, dans la partie Nord-Ouest de la feuille de la carte à l'échelle 1/200 000ème de Mbout (numéro 1612). Les données $^{40}Ar/^{39}Ar$ provenant de cet échantillon sont médiocres (Fig. 38H), et difficiles à interpréter autrement qu'en concluant que l'ensemble du processus de refroidissement, en dessous d'environ 350 °C, de cet échantillon, s'est déroulé aux environs de 650 Ma. Environ 60 % de l'Argon s'est dégazé en une étape de chauffage, ce qui empêche toute interprétation supplémentaire des données $^{40}Ar/^{39}Ar$.

5.0. Orogène du Nord des Mauritanides

Dans cette section, nous décrivons les résultats U-Pb pour les zircons détritiques et les zircons magmatiques du Nord des Mauritanides, région qui, pour les besoins du présent rapport, représente grossièrement le secteur de direction Est-Ouest de l'orogène, entre la latitude 18°30'N au Nord de frontière du Sahara Occidental. La plupart de nos échantillons proviennent du secteur minier d'Akjoujt, où une cartographie détaillée (Martyn et Strickland, 2004 ; Pitfield et al., 2004) a révélé une structure et une histoire géologique exceptionnellement complexes. Pendant l'orogénie Hercynienne du Carbonifère au Permien, des empilements multiples de nappes de charriage se sont mises en place dans leur position définitive, au-dessus du socle Archéen du Bouclier de Rgueïbat (Lécorché et al., 1989 ; Dallmeyer et al., 1990a). Les problèmes essentiels concernent la datation des protolithes des strates, et l'extension, s'il y a lieu, du tectonisme Néoprotérozoïque (Panafricain).

5.1. Groupe de Oumachoueïma, Formation de Sainte Barbe

La Formation de Sainte Barbe héberge une minéralisation de Cuivre-Or, située au sein du secteur minier d'Akjoujt. Des datations U-Pb de 2492 ± 9 sur la monazite hydrothermale, et de 1742 ± 12 sur le xénotime hydrothermal, témoignent d'une minéralisation Paléoprotérozoïque (Meyer et al., 2006).

La Formation de Sainte Barbe est principalement formée de roches volcaniques. L'échantillon CT07RIM10-1 présente des caractéristiques métavolcaniques felsiques, provenant de la Formation d'Akjoujt, à proximité de la présence de Tungstène de Legleitat El Bird (feuille de la carte à l'échelle 1/200 000ème d'Akjoujt, numéro 1914). La formation consiste largement en des éléments volcaniques proximaux, et de clastes volcaniques distaux de composition dominante intermédiaire (Pitfield et al., 2004, Section 3.5.4). Il était attendu que l'échantillon produise une datation U-Pb magmatique simple. Mais au cours de notre tentative initiale de dater la roche par la méthode SIMS, les zircons extraits se sont avérés contenir de nombreux grains détritiques (Fig. 39A). Nous avons ensuite utilisé la méthode LAICPMS pour dater 120 zircons. 50 analyses ont passé avec succès les filtres LAICPMS (Fig. 39B and C). La courbe de probabilité, basée sur les données combinées TIMS et LAICPMS présente des pics à 3 068, 2 953, et 2 839 Ma (Fig. 39E). L'interprétation la plus simple est que le pic du zircon le plus jeune correspond à l'âge du volcanisme (2839±14 Ma) (Fig. 39F), et que les pics les plus anciens sont détritiques. Nous formulons l'hypothèse que l'échantillon provient d'une écaille fracturée du socle, qui a été de manière erronée cartographiée comme appartenant à la Formation de Sainte Barbe.

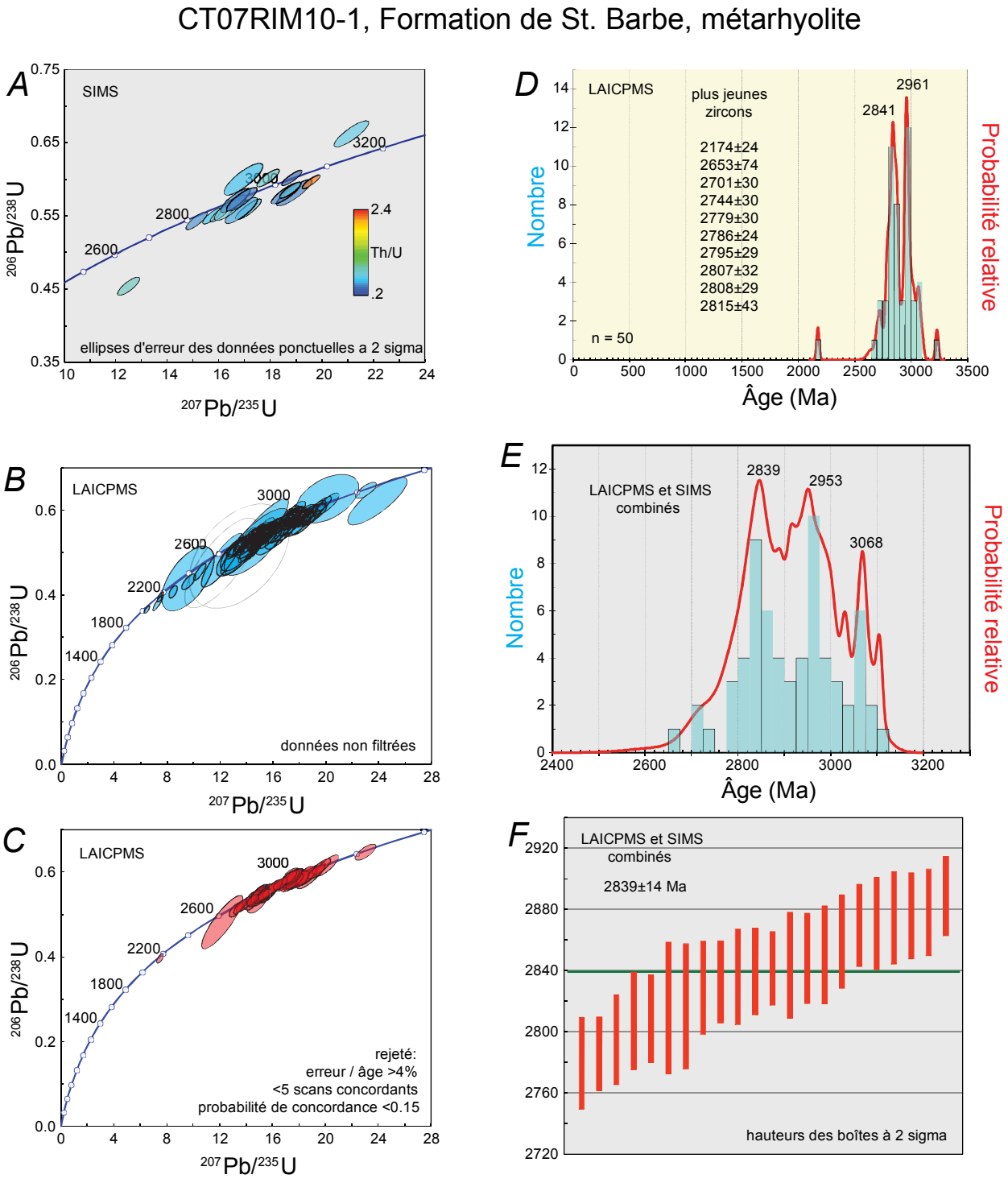

Figure 39. Données et photographies des zircons correspondant à l'échantillon CT07RIM10-1 provenant de la Formation de Sainte Barbe. (*A*) Diagramme Concordia des données SIMS non-filtrées. La coloration des ellipses d'erreur, selon Th/U, montre que la dispersion des âges n'est pas due à un mélange de zircons magmatiques et métamorphiques. (*B et C*) Diagrammes Concordia correspondant aux données LAICPMS filtrées et non-filtrées. (*D*) Distribution des âges montrant les résultats LAICPMS filtrés. (*E*) Histogramme montrant le détail de la partie Archéenne de l'échelle de temps, sur la base des résultats combinés des analyses LAICPMS et SIMS. (*F*) Moyenne pondérée des âges $^{207}Pb/^{206}Pb$, formant le maximum le plus récent, que nous interprétons comme étant l'âge de la roche magmatique.

L'échantillon DB07RIM01a est un métagrès chloritique (Fig. 40A) provenant d'une partie silicoclastique de la Formation de Sainte Barbe, environ 7 km au Nord d'Akjoujt (feuille de la carte à l'échelle 1/200 000ème d'Akjoujt, numéro 1914). Sur les 121 zircons datés, 63 ont passé avec succès les filtres LAICPMS. La courbe de probabilité présente des pics majeurs à 622 et 573 Ma, et des pics de moindre ampleur à 2 047 et 836 Ma (Fig. 40F). Nous situons l'âge maximum de dépôt à 573 Ma, c'est-à-dire l'âge du pic le plus récent.

DB07RIM01a, Groupe de Oumachoueïma, Formation de St. Barbe

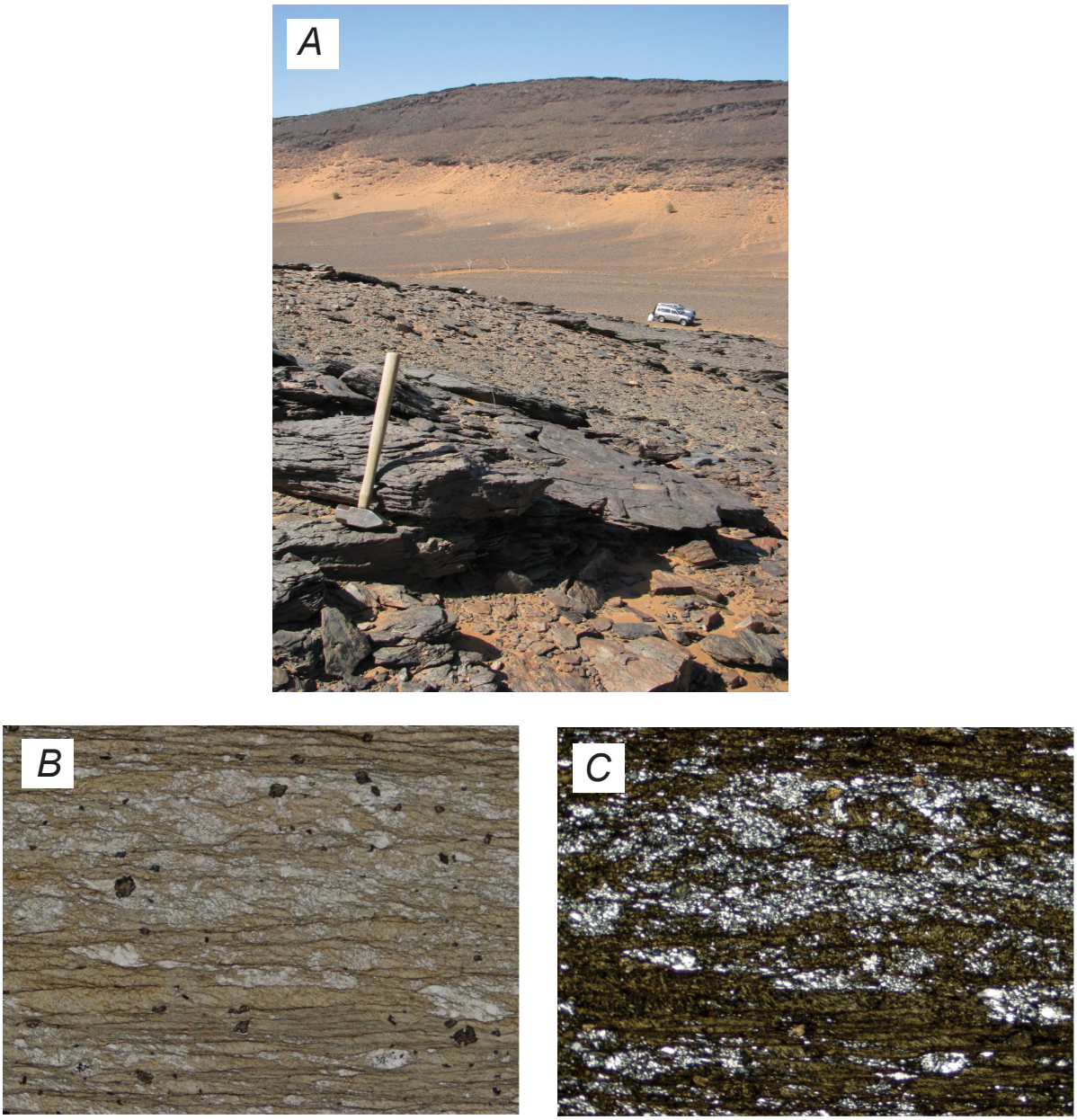

Figure 40. Données et photographies des zircons détritiques correspondant à l'échantillon DB07RIM01a provenant de la Formation de Sainte Barbe. (*A*) Photographies de l'affleurement de prélèvement d'échantillon. (*B et C*) Photographies au microscope du métagrès protomylonitique, en lumière polarisée plane et croisée, respectivement. (*Page suivante*) (*D et E*) Diagrammes Concordia. (*F*) Distribution des âges.

DB07RIM01a, Groupe de Oumachoueïma, Formation de St. Barbe (suite)

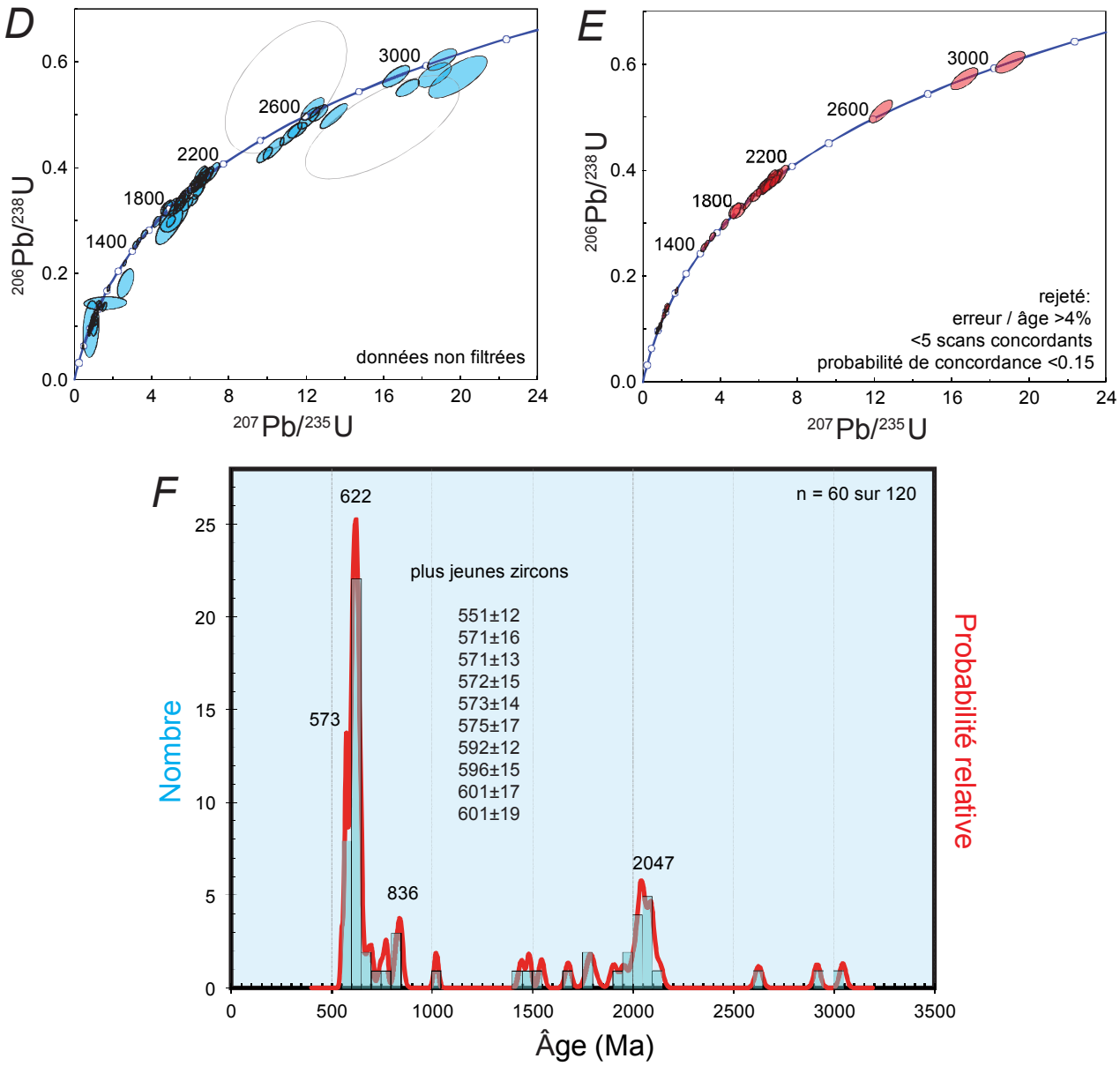

L'échantillon CT07RIM02-1 est un métagrès chloritique fortement tectonisé (Fig. 41A), qui a été prélevé à quelques mètres d'un pod carbonaté ferreux (Fig. 41B), au sein de la Formation de Sainte Barbe, semblable à celle qui héberge la minéralisation à Guelb Moghrein. L'emplacement de l'échantillon est environ à 11 km au NNO d'Akjoujt (feuille de la carte à l'échelle 1/200 000ème d'Akjoujt, numéro 1914). Sur 120 zircons datés, 60 ont passé avec succès les filtres LAICPMS. La courbe de probabilité montre des pics majeurs en chevauchement à 591 et 614 Ma, et quelques zircons plus anciens, principalement entre environ 1 et 2 Ga (Fig. 41E). Le pic mineur le plus récent, à 538 Ma, établit l'âge maximum de dépôt comme datant du Cambrien précoce.

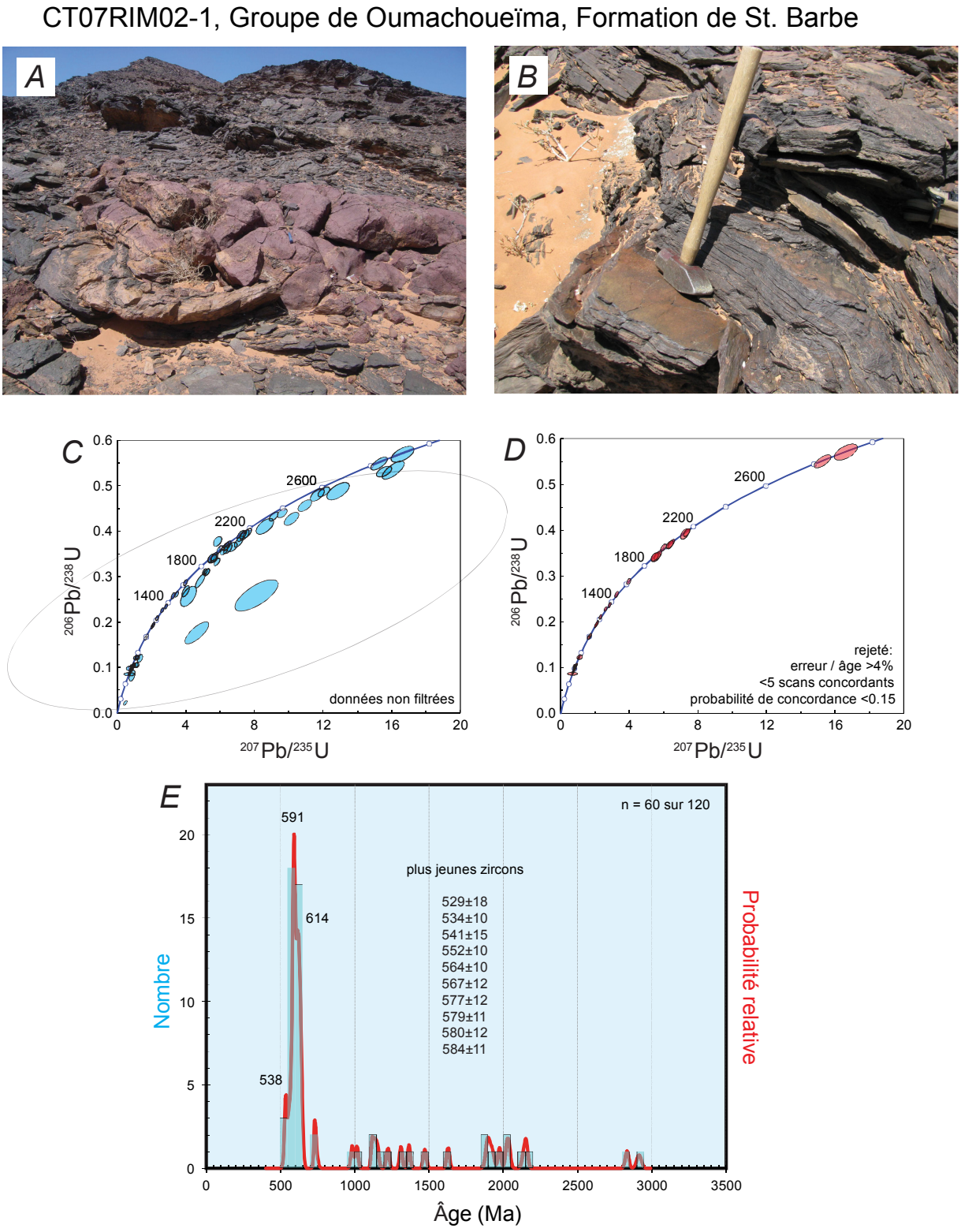

Figure 41. Données et photographies des zircons détritiques, correspondant à l'échantillon CT07RIM02-1, provenant de la Formation de Sainte Barbe. (*A et B*) Photographies de l'affleurement de prélèvement d'échantillon. Le pod de carbonate ferreux présenté en (*B*) est structurellement quelques mètres en dessous de l'horizon de prélèvement du métagrès chloritique présenté (A). (*C et D*) Diagrammes Concordia. (*E*) Distribution des âges.

5.2. Groupe de Oumachoueïma, non-divisé

L'échantillon CT21 est un schiste chloritique (Fig. 42A) provenant d'une partie non-divisée du Groupe d'Oumachoueïma, à proximité de la présence de Cuivre de Bou Serouai - Guelb Hammar (14 km) (feuille de la carte à l'échelle 1/200 000ème d'Akjoujt, numéro 1914). Les zircons détritiques ont été datés en 2007 par l'utilisation du SHRIMP-RG. Des analyses complémentaires ont été effectuées en 2012. Des images représentatives en cathodoluminescence sont présentées sur la Figure 42B. Un total de 106 zircons ont été analysés, et 67 de ceux-ci ont passé avec succès le filtre de discordance < 10 %. La distribution des âges montre des pics majeurs à 603 et 656 Ma, ainsi que des pics de moindre importance à 2 059, 991, et 558 Ma (Fig. 42D). Le pic le plus jeune établit l'âge maximum de dépôt au Néoprotérozoïque tardif.

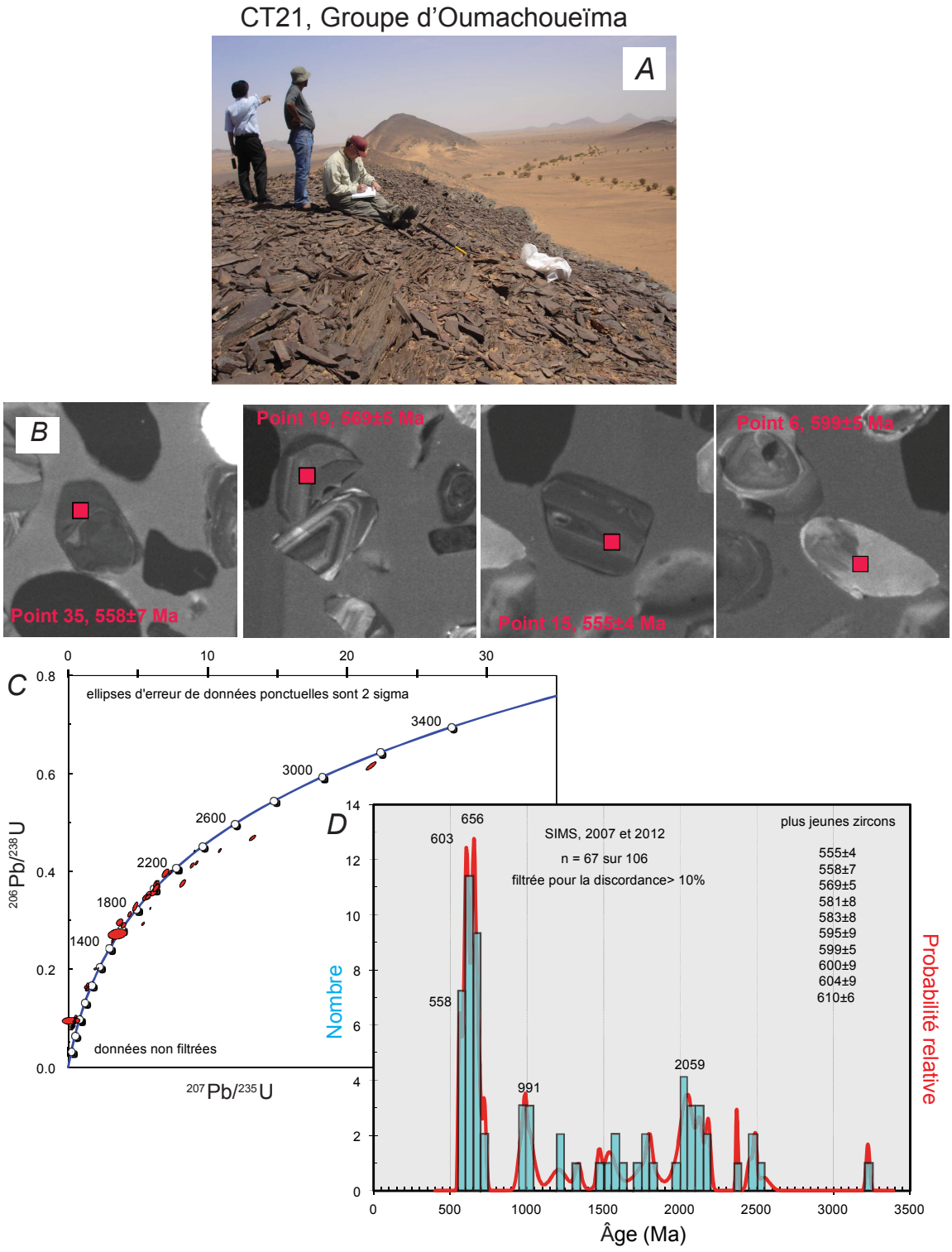

Figure 42. Données et photographies des zircons détritiques correspondant à l'échantillon CT21, provenant d'une partie non-divisée du Groupe d'Oumachoueïma. (*A*) Photographie de l'affleurement de prélèvement d'échantillon. (*B*) Images CL SEM (cathodoluminescence) de zircons sélectionnés, montrant que les datations du Néoprotérozoïque tardif ont été obtenues à partir d'un ensemble de types de zircons, et non de bordures. Chaque image est de 200 microns de côté. (*C*) Diagramme Concordia montrant les données non-filtrées. (*D*) Distribution des âges. Il s'agit de l'un des deux échantillons prélevés lors d'un rapide déplacement de reconnaissance du début de 2007. Cela explique la différence dans le mode de référencement.

5.3. Groupe de Oumachoueïma, membre de la quartzite d'Atilis

L'échantillon DB07RIM02a provient d'une quartzite au sein du Groupe de Oumachoueïma (Fig. 43A). La localisation GPS se situe au sein de la ceinture d'affleurements de la Formation d'Irarchene El Hamra, qui est formée d'un membre de quartzite de la base (quartzite d'Atilis) surmonté par des schistes à quartz-chlorite ± muscovite, plus des quartzites subordonnées et des métagrauwackes (Pitfield et al., 2004, Section 3.4.7.5). L'échantillon provient d'une bande apparente de sous affleurement de quartzite, dans une région d'affleurement médiocre, et la localisation GPS se trouve à seulement 70 mètres de la frontière auparavant cartographiée entre le membre de la quartzite d'Atilis et le reste de la Formation d'Irarchene El Hamra (feuille de la carte à l'échelle 1/200 000ème d'Akjoujt, numéro 1914). Nous attribuons donc l'échantillon au membre de la quartzite d'Atilis. Sur les 120 zircons datés, 75 ont passé avec succès les filtres LAICPMS. La distribution des âges montre un large point haut Paléoprotérozoïque à Mésoprotérozoïque, avec des pics majeurs peu espacés à 1 205 et 1 164 Ma, et des pics de moindre ampleur à 1 509, 1 411, 1 320, et 974 Ma (Fig. 43F). L'analyse isolée à 370 Ma est écartée, et le pic le plus récent, à 974 Ma, établit l'âge maximum de dépôt.

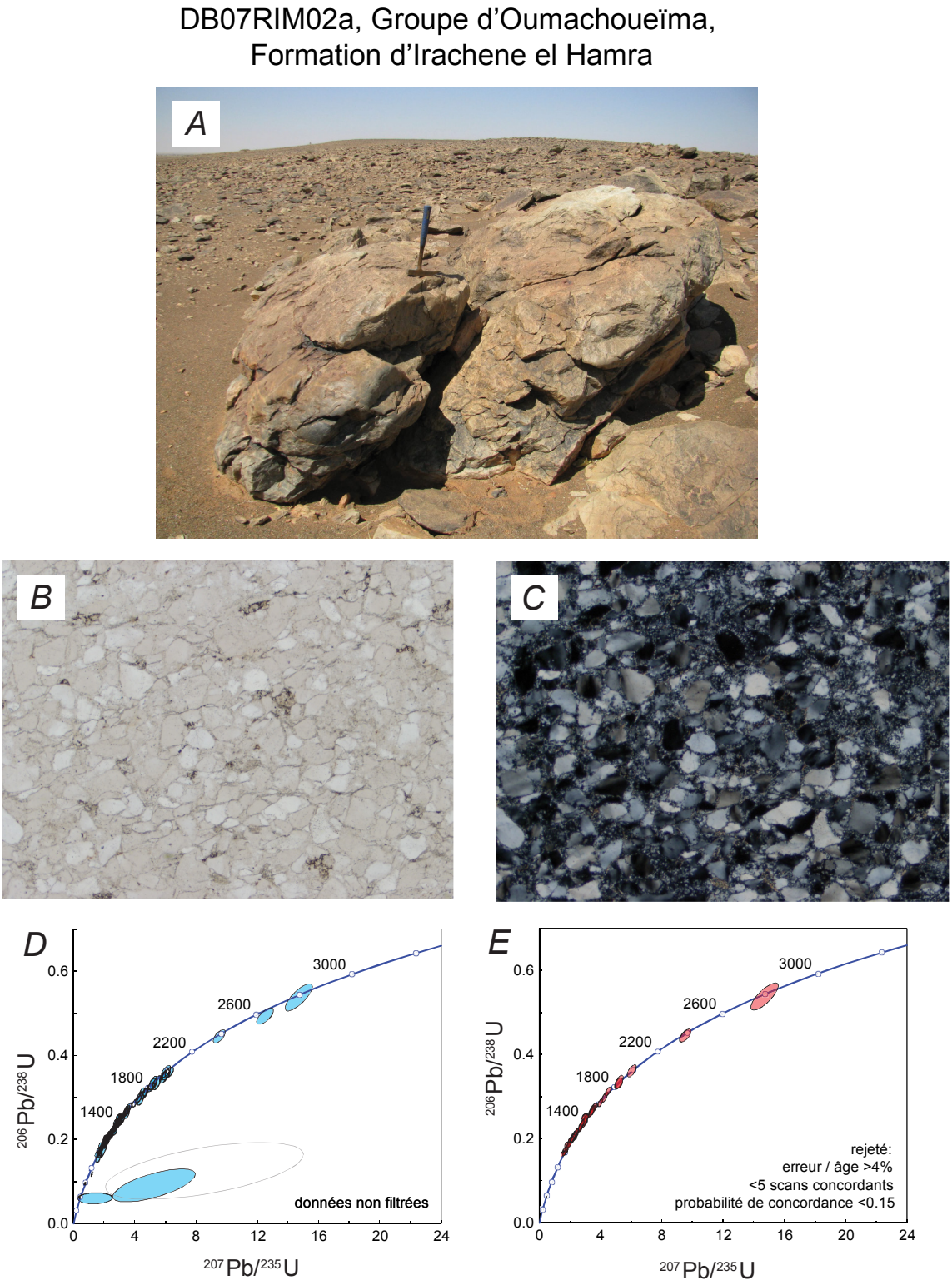

Figure 43. Données et photographies des zircons détritiques correspondant à l'échantillon DB07RIM02a, provenant du membre de la quartzite d'Atilis, appartenant à la Formation d'Irarchene El Hamra, et au Groupe d'Oumachoueïma. (*A*) Photographie de l'affleurement de prélèvement d'échantillon. (*B et C*) Photographies au microscope de la quartzite, en lumière polarisée plane et croisée, respectivement. (*D et E*) Diagrammes de Concordia montrant des données filtrées et non-filtrées. (*Page suivante*) (*F*) Distribution des âges.

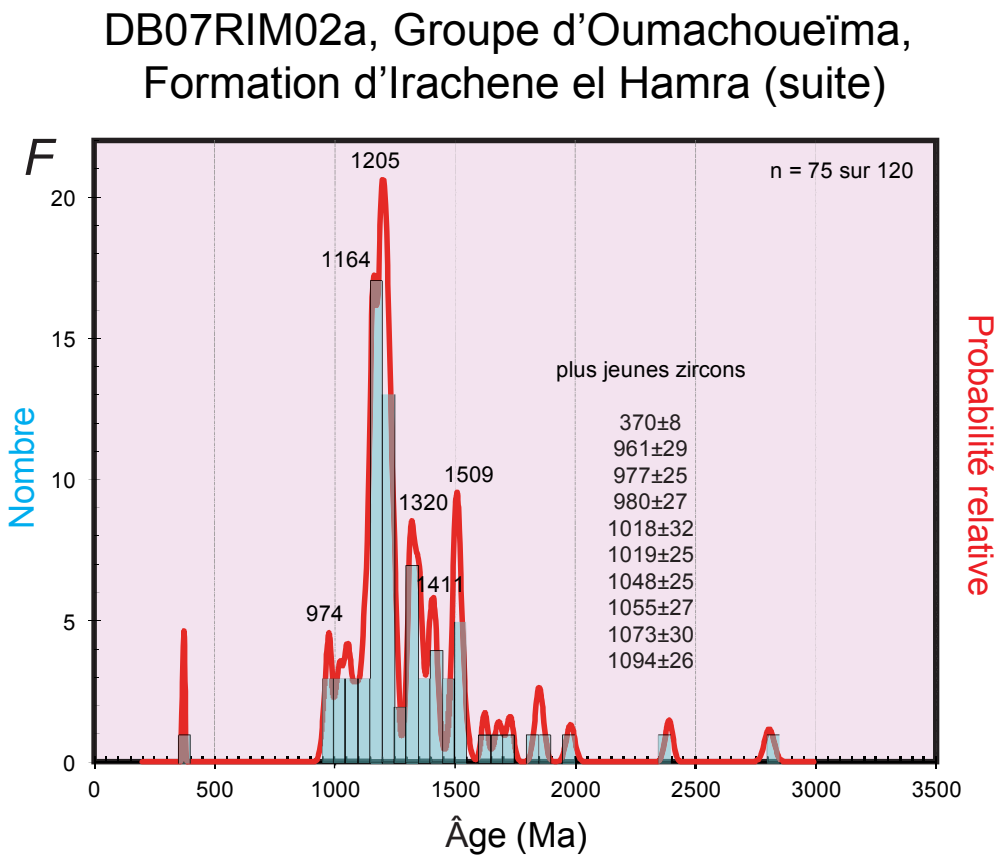

5.4. Groupe d'Eizzene, Formation de Raoui

La Formation de Raoui, appartenant au Groupe d'Eizzene, consiste largement en du métabasalte, avec de rares insertions de minces éléments silicoclastiques (Pitfield et al., 2004, Section 3.5.3). L'échantillon DB07RIM03a provient d'un sous affleurement de quartzite beige à blanche, dans une zone désolée d'affleurement médiocre, environ 5 km à l'Ouest de la présence de Cuivre du Nord d'Atoma (feuille de la carte à l'échelle 1/200 000ème d'Akjoujt, numéro 1914). Sur les 120 zircons datés, seulement 34 ont passé avec succès les filtres LAICPMS (Fig. 44C et D). La distribution des âges montre une large plage haute, située environ dans l'intervalle entre 1 et 1,5 Ga, avec des pics peu espacés à 1 487, 1 381, 1 311, 1 212, 1 162, 1 099, 1 064, 1 021, et 986 Ma (Fig. 44E). L'analyse unique à environ 593 Ma est écartée. Le pic le plus récent, à 986 Ma, qui est basé sur deux grains, établit l'âge maximum de dépôt.

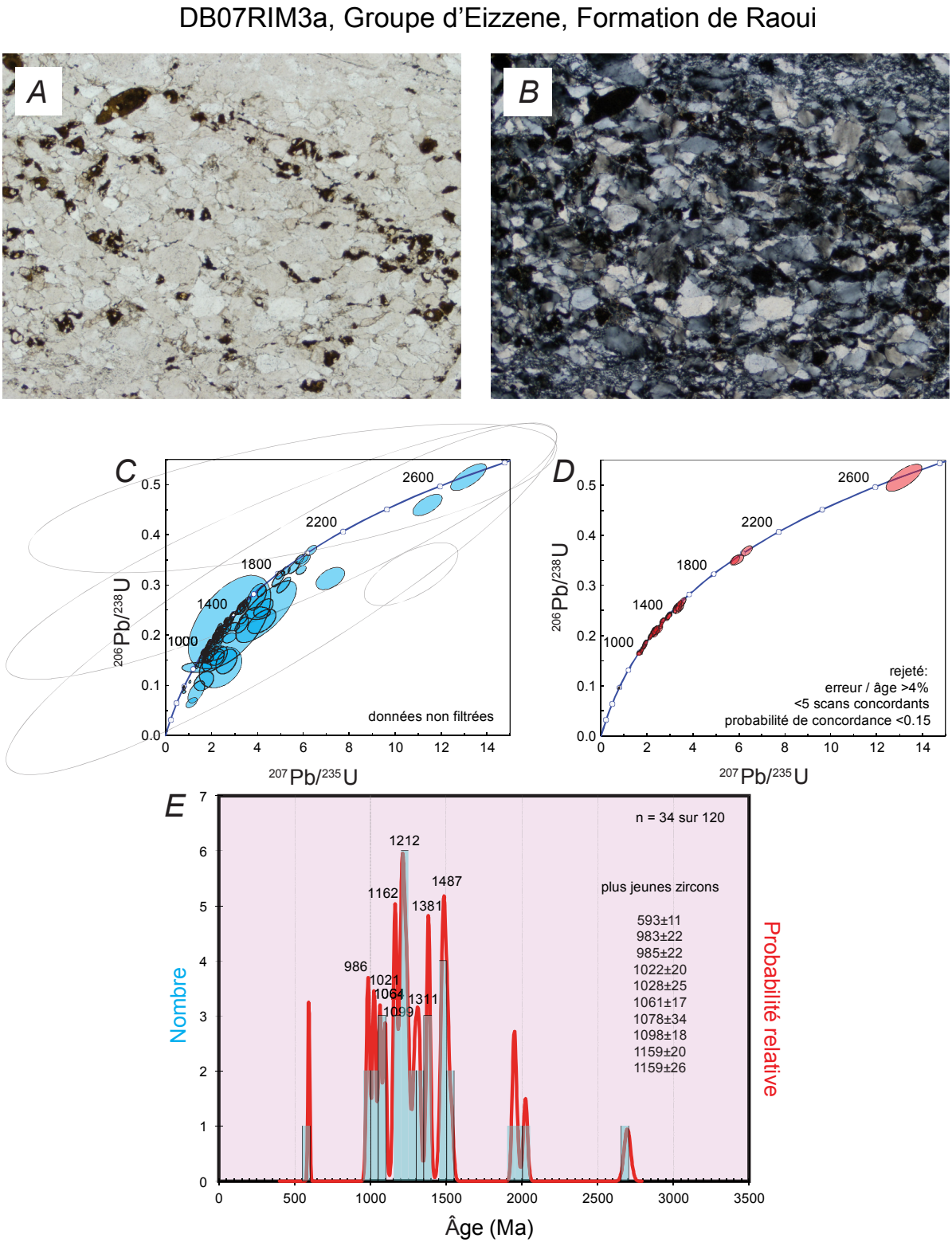

Figure 44. Données et photographies des zircons détritiques, correspondant à l'échantillon DB07RIM03a, provenant de la Formation de Raoui, appartenant au Groupe de Eizzene. (*A et B*) Photographies au microscope de la quartzite, en lumière polarisée plane et croisée, respectivement. (*C et D*) Diagrammes Concordia montrant des données filtrées et non-filtrées. (*E*) Distribution des âges.

5.5. Complexe d'Inchiri, Groupe de Hajar Dekhen – Kleouat

Le Groupe de Hajar Dekhen – Kleouat appartient au Complexe d'Inchiri, un regroupement cartographique hétérogène qui comprend à la fois des roches supracrustales et plutoniques. L'échantillon DB07RIM17a, une quartzite (Fig. 45A), provient de la bordure de Khatt ech Cha'ba, dans la partie Ouest de la feuille de la carte à l'échelle 1/200 000ème d'Akjoujt (numéro 1914). Les résultats sont problématiques pour deux raisons. Le premier problème, et le plus simple, concerne la cartographie. Sur la base de ses coordonnées GPS, l'échantillon a été prélevé dans ce qui a été cartographié comme un orthogneiss granitique, unité HDgn de Pitfield et al. (2004), et unité HDg sur la carte géologique à l'échelle 1/1 000 000ème. De manière plus conforme, l'échantillon appartient à l'unité HDs de Pitfield et al. (2004), et unité HDg sur la carte géologique à l'échelle 1/1 000 000ème), qui consiste en des métacarbonates et des métagrès. Concernant la carte géologique à l'échelle 1/1 000 000ème, nous avons résolu ce problème mineur en déplaçant simplement le contact intrusif entre les deux unités de 100 mètres vers l'Ouest. Ceci est possible en raison des affleurements discontinus de la région. Le second problème concerne ce qui peut être, ou ne pas être, des zircons « trop récents ». Sur les 120 zircons datés provenant de l'échantillon DB07RIM17a, 88 ont passé avec succès les filtres LAICPMS. La courbe de probabilité montre un maximum unique à 564 Ma (Fig. 45F). Les rapports U/Th, proches de 1, suggèrent que ceux-ci ne sont pas des datations de métamorphisme. Une interprétation simple est donc que les zircons sont détritiques, et que l'âge maximum de dépôt est de 564 Ma. Cette conclusion ne transgresse aucune contrainte géologique, mais elle complique les relations géologiques régionales. À l'exception de ces nouveaux résultats concernant les zircons, l'unité HDs ne possède pas de contrainte directe en termes d'âge, mais elle doit être plus ancienne que l'unité HCgn—qui n'a également aucune contrainte d'âge. Une autre unité de roche plutonique du Complexe d'Inchiri, environ 20 km à l'Est, à savoir le « Métagranite de Hajar Dekhen » de Pitfield et al. (2004), a produit une datation U-Pb du zircon de 599±8 Ma. En faisant l'hypothèse que les datations de 564 Ma du zircon sont détritiques, l'unité HDgn doit être plus récente que 564 Ma. Par conséquent, le Complexe d'Inchiri doit inclure au moins deux suites plutoniques Néoprotérozoïques d'âge différent.

DB07RIM17a, Complexe d'Inchiri, Groupe de Hajar Dekhen – Kleouat

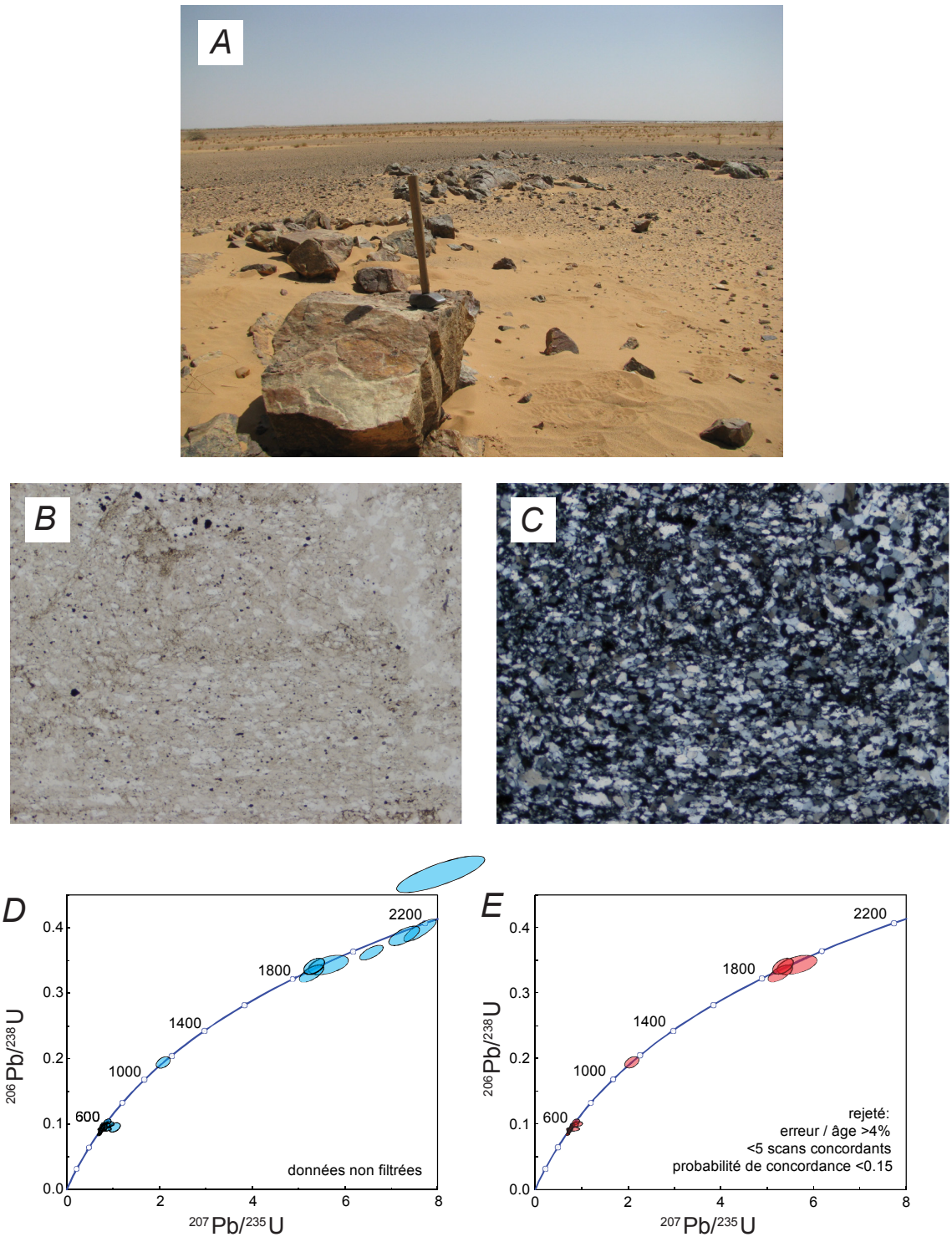

Figure 45. Données et photographies des zircons détritiques, correspondant à l'échantillon DB07RIM17a, provenant du Groupe de Hajar Dekhen – Kleouat, appartenant au Complexe d'Inchiri. (*A*) Photographie de l'affleurement de prélèvement d'échantillon—une région d'affleurement dispersé. (*B et C*) Photographies au microscope de la quartzite, en lumière polarisée plane et croisée, respectivement. (*D et E*) Diagrammes Concordia montrant les données filtrées et non-filtrées. (*Page suivante*) (*F*) Distribution des âges.

DB07RIM17a, Complexe d'Inchiri, Groupe de Hajar Dekhen – Kleouat (suite)

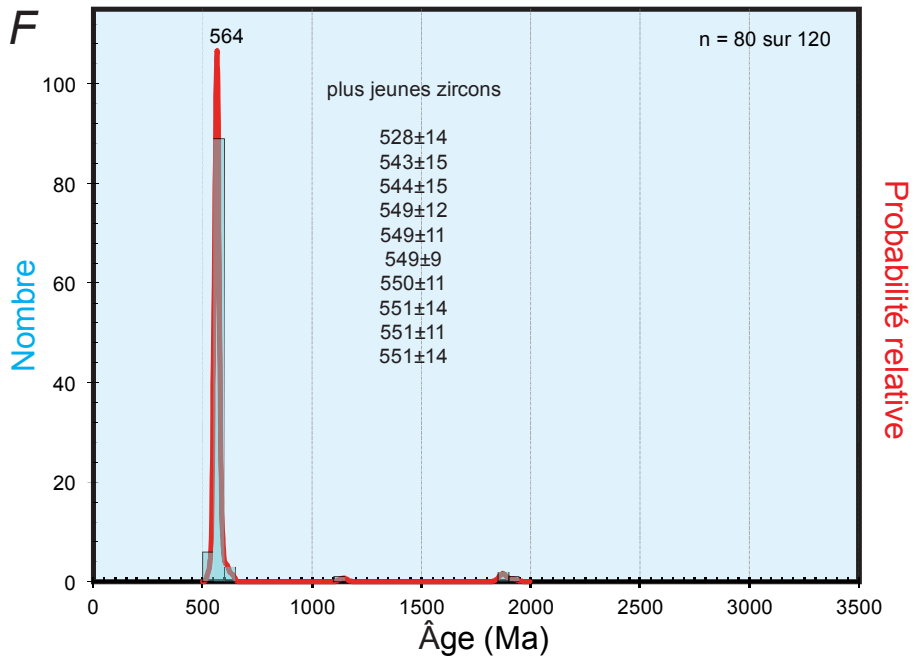

6.0. Bouclier de Rgueïbat

Le Bouclier de Rgueïbat (également orthographié Reguibat) est une ceinture d'environ 500 par 2 000 km de roches Archéennes et Paléoprotérozoïques, de direction Sud-Ouest à Nord-Est, à travers le Sahara Occidental, la Mauritanie, et l'Algérie. Il comprend la partie visible du socle Nord du Craton Ouest Africain.

6.1. Groupe de Lebzenia, Formation d'Aouéoua

La ceinture de greenstone de Chami est en théorie une région supracrustale Mésoarchéenne, au sein du secteur minier de Tasiast, dans la partie la plus à l'Ouest du Bouclier de Rgueïbat (feuille de la carte à l'échelle 1/200 000ème de Chami, numéro 2015). Les roches de la ceinture de greenstones sont attribuées au Groupe de Lebzenia, qui comprend la Formation, essentiellement métasédimentaire, d'Aouéoua. L'échantillon GB07RIM80a est une quartzite (Fig. 46A). Sur les 120 datations de zircons, 44 ont passé avec succès les filtres LAICPMS. La courbe de probabilité (Fig. 46D) montre des maximums peu espacés à 619 et 576 Ma, de même qu'un certain nombre de grains plus anciens, particulièrement autour de 2 Ga. Ces résultats sont contradictoires avec la datation U-Pb de zircons à 2968±2 Ma, provenant d'une métadacite, qui a été cartographiée comme appartenant à la Formation d'Aouéoua (Pitfield et al., 2004, Section 2.3.5). L'une des possibilités est que les strates de prélèvement d'échantillons soient mal cartographiées comme Archéennes, et soient en fait Néoprotérozoïques. Dans ce cas, la ceinture de greenstone de Chami incluerait à la fois des strates Archéennes et Néoprotérozoïques, une hypothèse qui n'avait pas été envisagée auparavant. Une autre hypothèse serait que les datations d'environ 600 Ma puissent représenter une surimpression Panafricaine, comme évoqué à la Section 7.6. La localisation de l'échantillon est située seulement à 20 km à l'intérieur de l'emplacement supposé du front de la déformation des Mauritanides, et la région présente de médiocres affleurements. De ce fait, l'une ou l'autre de ces explications sont géologiquement cohérentes.

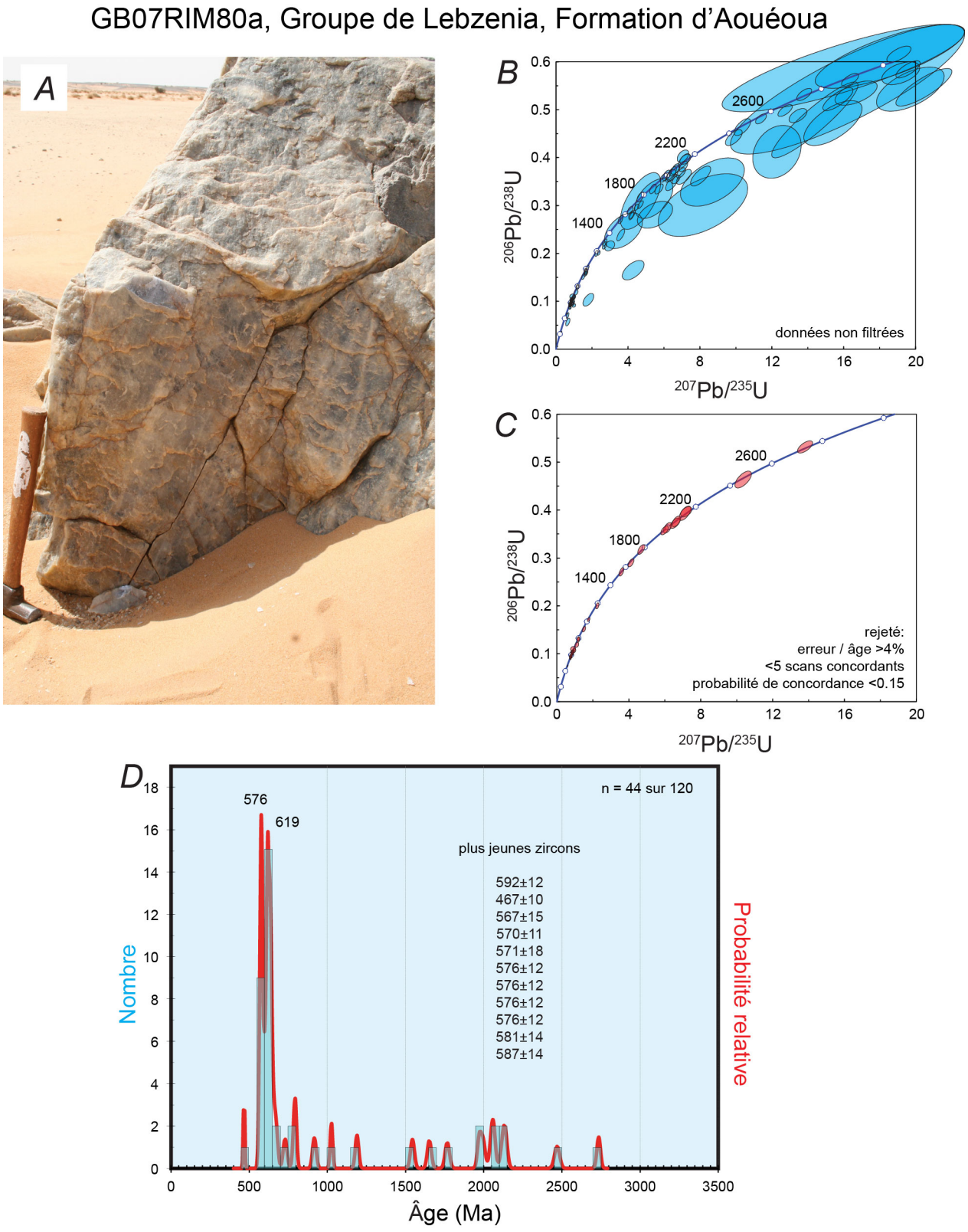

Figure 46. Données et photographies des zircons détritiques correspondant à l'échantillon GB07RIM80a, provenant de la Formation d'Aouéoua, appartenant au Groupe de Lebzenia. (*A*) Photographie de l'affleurement de prélèvement d'échantillon. (*B et C*) Diagrammes Concordia, montrant des données filtrées et non-filtrées. (*D*) Distribution des âges.

L'échantillon GB07RIM82D provient d'une veine de quartz-séricite (Fig. 47A) environ 6 km au Nord-Est, au sein de la ceinture de direction différente de la Formation d'Aouéoua, provenant du gisement d'Or de Tasiast, au niveau du puits Nord. Cette veine de quartz-séricite recoupe le quartz gris lié à la minéralisation de l'Or. Le mica blanc a été daté par la méthode $^{40}Ar/^{39}Ar$. Le spectre des âges provenant de cet échantillon est complexe au niveau interne, et ne forme pas de plateau d'âge $^{40}Ar/^{39}Ar$ (Fig. 47B). Les données $^{40}Ar/^{39}Ar$ sont en cohérence avec soit des générations multiples de mica blanc, soit le fait l'échantillon ait initialement enregistré le refroidissement du mica ou la croissance à environ 2, 6 Ga, suivi par un évènement de chauffage à un moment quelconque, après environ 2 Ga. Quoi qu'il en soit, il n'existe pas d'indice d'un évènement Néoprotérozoïque. La minéralisation de l'Or au niveau de Tasiast est probablement plus ancienne que 2 533 Ma.

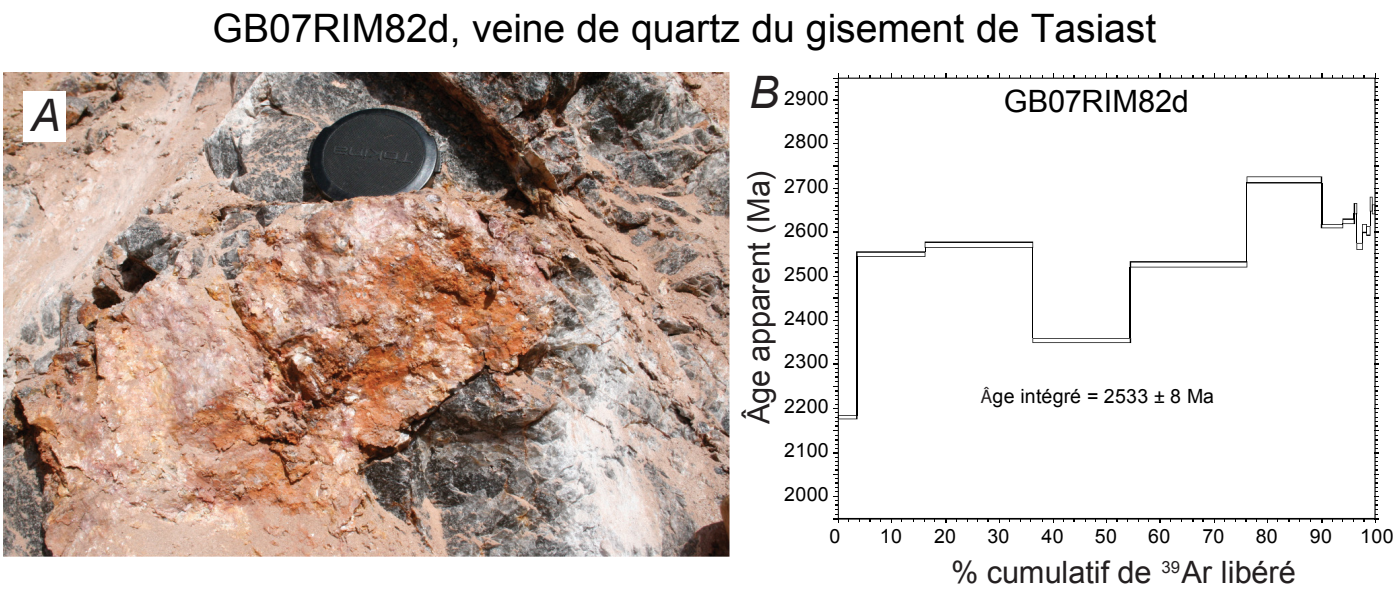

Figure 47. (*A*) Photographie de l'affleurement de prélèvement, correspondant à l'échantillon GB07RIM82D, provenant d'une veine de quartz qui recoupe la Formation d'Aouéoua, dans la région de Tasiast. (*B*) Spectre des datations des émissions d'Argon du mica blanc.

6.2. Complexe d'Amsaga, à proximité de la présence de Tungstène de Mennerat Iguilid

Le Complexe d'Amsaga est le socle métamagmatique et métasédimentaire situé sous le Basin de Taoudéni, au niveau de l'escarpement d'Adrar. Des échantillons ont été prélevés à proximité de la présence de Tungstène de Mennerat Iguilid, proche d'Oued Toueirga, dans la partie Est de la feuille de la carte à l'échelle 1/200 000ème d'Atar (numéro 2013).

L'échantillon DB07RIM25a est un granitoïde altéré (Fig. 48A et B). Les zircons provenant de cette roche se sont révélés impossibles à dater en raison d'une association d'une teneur élevée en Plomb commun, d'une perte de Plomb Phanérozoïque, et d'une importante métamictisation (Fig. 48E). Du mica blanc secondaire, provenant du même échantillon, a produit une datation intégrée assez fiable d'environ 1 753 Ma, qui est interprétée comme le temps de refroidissement en dessous d'environ 350 °C (Fig. 48F).

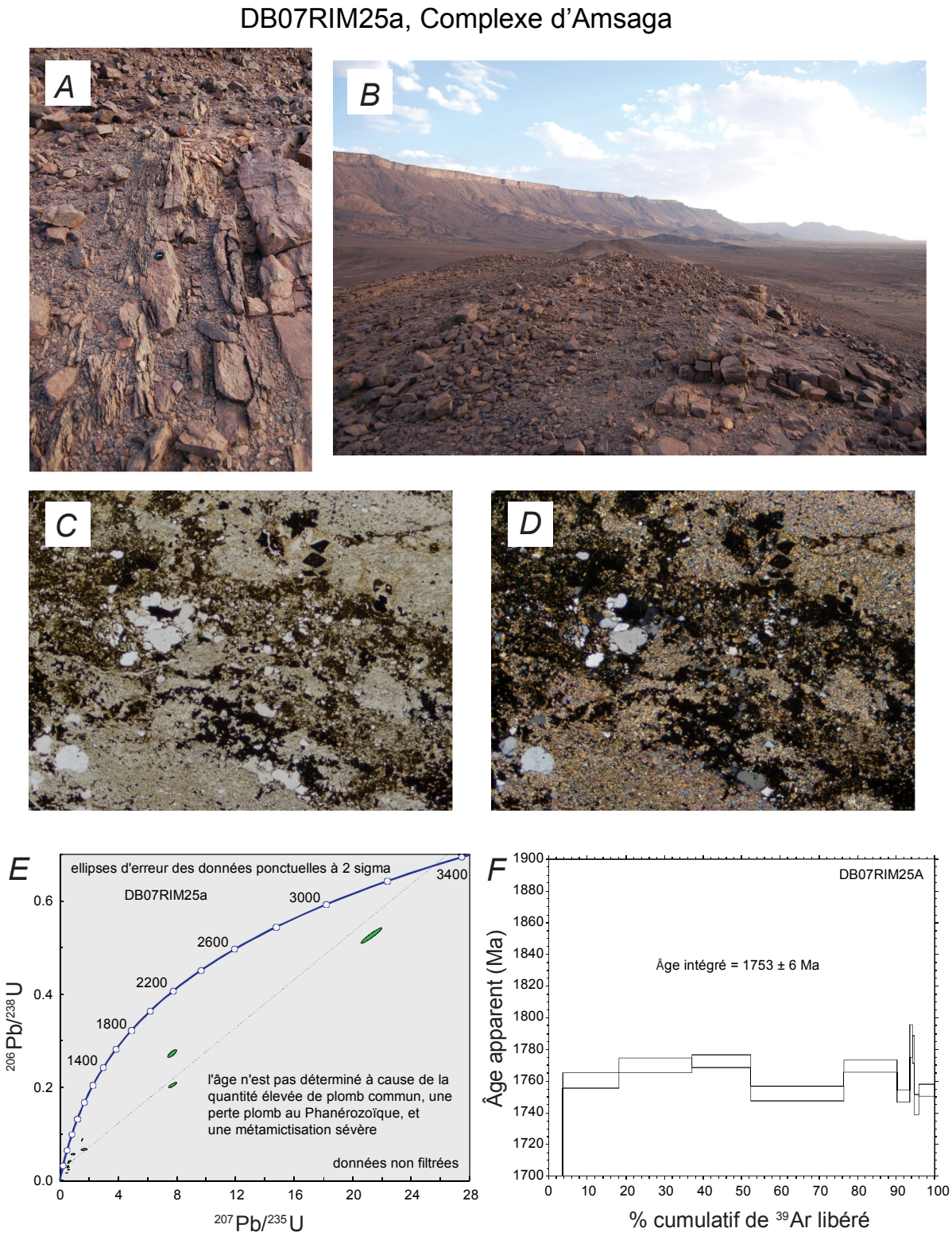

Figure 48. Données géochronologiques et photographies de l'échantillon de granitoïde DB07RIM25a provenant du Complexe d'Amsaga. (*A et B*) Photographies de l'affleurement de prélèvement d'échantillon. (*C et D*) Photographies au microscope du granitoïde altéré en lumière polarisée plane et croisée, respectivement. (*E*) Diagramme Concordia montrant des architectures de zircons complexes et inextricables. (*F*) Spectre des datations des émissions d'Argon du mica blanc.

L'échantillon DB07RIM25C provient d'une quartzite (Fig. 49A) au sein d'une enclave métasédimentaire dans le granitoïde altéré, dont il est fait l'hypothèse qu'il masque la roche locale. Sur les 120 zircons analysés, seulement 43 ont passé avec succès les filtres LAICPMS. La courbe de probabilité montre des pics majeurs à 1 221, 613, et 582 Ma, et des pics mineurs à 2 044 et 1 807 Ma. Aucune datation Archéenne n'a été obtenue (Fig. 48D). Cette distribution des âges du zircon est contradictoire avec la géologie cartographiée. L'une des possibilités est que la quartzite est Néoprotérozoïque, et est au contact des structures d'un granitoïde plus ancien. La localisation de l'échantillon est environ à 120 km à l'intérieur du front de déformation des Mauritanides, et cette hypothèse paraît donc improbable. Une autre possibilité est que l'échantillon ait subi une réinitialisation quasi-complète, associée avec l'orogénèse Panafricaine. Une contamination croisée semble improbable en raison d'une population Néoprotérozoïque trop importante. Un mélange d'échantillons ne peut pas être exclu.

DB07RIM25c, Complexe d'Amsaga, quartzite: résultat problématique

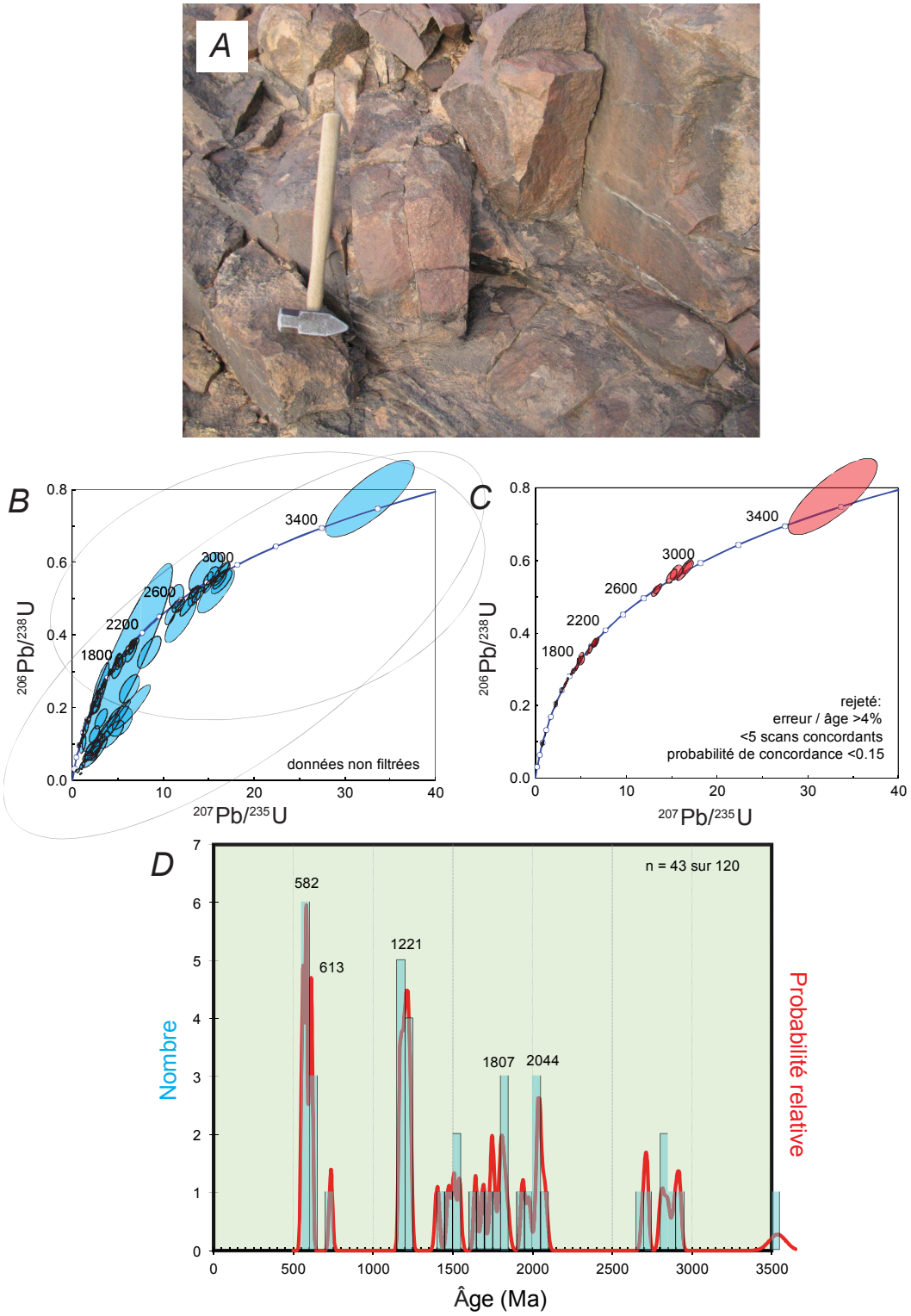

Figure 49. Données et photographies des zircons détritiques, correspondant à l'échantillon DB07RIM25C, provenant de la quartzite du Complexe d'Amsaga. (*A*) Photographie de l'affleurement de prélèvement d'échantillon. (*B et C*) Diagrammes Concordia, montrant des données filtrées et non-filtrées. (*D*) Distribution des âges.

6.3. Anorthosite au sein du Complexe d'Amsaga

L'échantillon CT07RIM25-1 provient d'un ensemble non-cartographié d'anorthosite, au sein d'un gneiss charnockitique du Complexe d'Amsaga, sur la feuille de la carte à l'échelle 1/200 000ème d'Atar (numéro 2013). Plusieurs blocs importants de pierres, de dimension d'anorthosite, ont été exploités et expédiés à partir de cette localisation. Sur le site proche de Guellâbet el Agueila, existe une autre carrière d'anorthosite (Indice 040IND0015). Les zircons provenant de l'échantillon CT07RIM25-1 ont été analysés par la méthode SIMS, et ont produit une datation Concordia U-Pb, médiocrement définie à 2930±33 Ma (Fig. 50). La plupart des zircons sont discordants, et ceux situés à proximité de Concordia ne forment pas un groupe cohérent. Une perte de Plomb Phanérozoïque est évidente. Néanmoins, l'échantillon est intéressant, car il semble être le plus ancien d'anorthosite de « type massif » découvert jusqu'à présent (Ashwal, 2011).

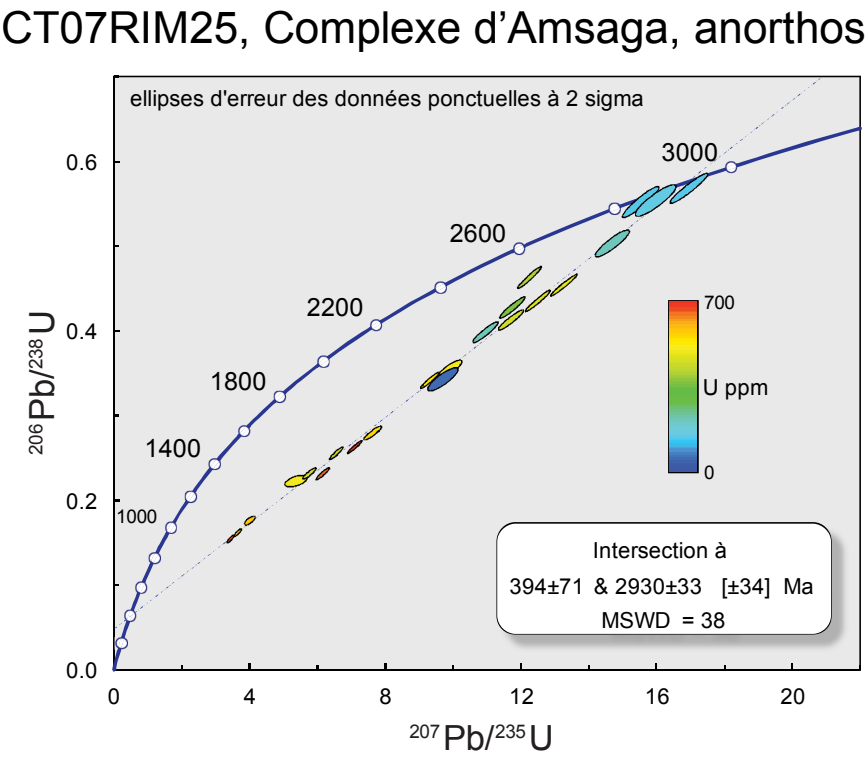

Figure 50. Diagramme Concordia, correspondant à l'échantillon CT07RIM25-1, anorthosite provenant du Complexe d'Amsaga.

Les échantillons DB07RIM32-1a et CT07RIM22-1 proviennent d'un autre ensemble, ou d'autres ensembles, d'anorthosite non-cartographiés jusqu'à maintenant de la feuille de la carte à l'échelle 1/200 000ème d'Atar (numéro 2013), au sein d'une région cartographiée comme l'unité Amlb, c'est-à-dire un gneiss quartzofeldspathique. Nous avons prélevé des échantillons de ces roches tout en cherchant, sans succès, de trouver une présence de minerai de Strontium mal localisée. Les phases à grain grossier et à grains fins ont été datées séparément, en utilisant la méthode LAICPMS. Les zircons provenant d'une anorthosite à grains grossiers (Fig. 51A), échantillon DB07RIM32-1a, ont produit un âge U-Pb Concordia de 2718±7 Ma (Fig. 51B et C). Les zircons provenant d'une anorthosite à grains fins, échantillon CT07RIM22-1, ont produit un âge U-Pb Concordia de 2743±4 Ma (Fig. 51D).

DB07RIM 32-1 & CT07RIM22-1, Anorthosite du Complexe d'Amsaga

DB07RIM32-1, phase à grains grossiers

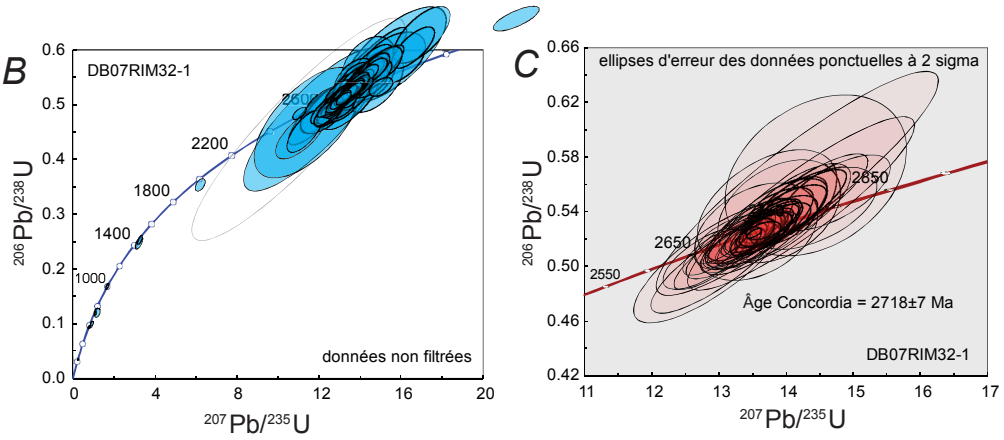

CT07RIM22-1, phase à grains fins

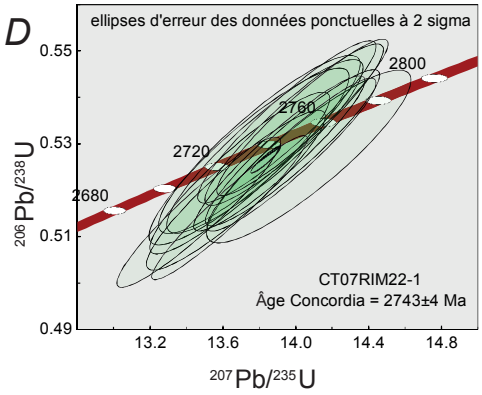

Figure 51. Données et photographies des zircons détritiques correspondant aux échantillons DB07RIM32-1a et CT07RIM22-1, différentes phases d'un ensemble d'anorthosite du Complexe d'Amsaga. (*A*) Photographie d'affleurement de l'échantillon DB07RIM32-1. (*B et C*) Diagrammes Concordia d'une anorthosite à grains grossiers, échantillon DB07RIM32-1. (*B*) Données SIMS, non-filtrées. (*C*) Données LAICPMS, filtrées. (*D*) Diagramme Concordia d'une anorthosite à grains fins, échantillon CT07RIM22-1.

6.4. Complexe de Tiris

Le Complexe de Tiris est un socle Archéen du secteur minier de Fer de Zouerate (feuille de la carte à l'échelle 1/200 000ème de Fderik, numéro 2012). Au niveau de Kediat Idjil, le Complexe d'Idjil, de faciès schiste vert, et le Complexe de Tiris, de faciès granulite, sont juxtaposés le long d'un contact de charriage. L'échantillon DB07RIM45b est un pod de pegmatite déformé, au sein d'une zone de charriage (Fig. 52A). Un extrait de mica blanc a produit un âge $^{40}Ar/^{39}Ar$ intégré de 2496±8 Ma (Fig. 52B), mais le spectre des âges est difficile à interpréter. La complexité interne du spectre des âges peut indiquer la présence d'Argon non-atmosphérique piégé. Une interprétation possible de ce spectre des âges $^{40}Ar/^{39}Ar$ est que le refroidissement initial s'est produit aux environs de 2,8 Ga, avec un âge de réinitialisation partielle aux environs de 1,6 Ga, en raison d'une surimpression thermique. Il s'agit de premiers niveaux d'interprétation, et il sera nécessaire de les étayer par un travail complémentaire.

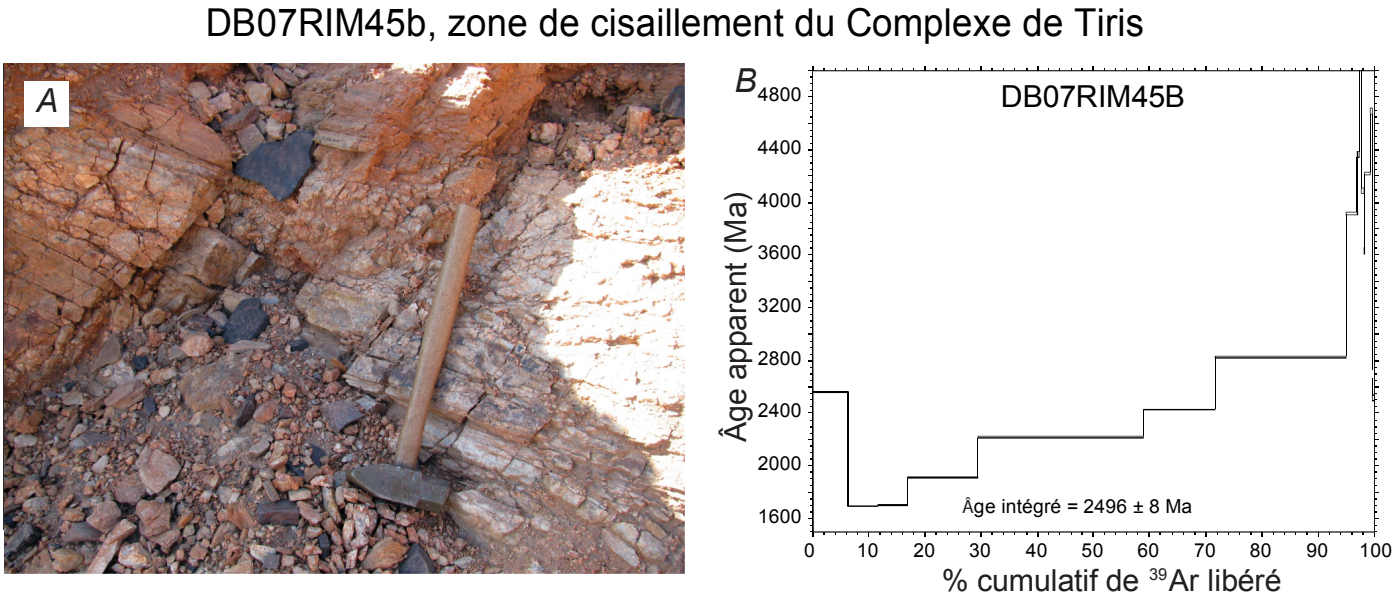

Figure 52. (*A*) Photographie de l'affleurement de prélèvement de l'échantillon DB07RIM45b, Complexe de Tiris. (*B*) Spectre des âges d'émission de l'Argon du mica blanc.

L'échantillon CT07RIM27 est une brèche de calcrète (Fig. 53A) provenant de la carapace altérée de la mine de Fer N°4 de Mhaoudât (22,92158°N, 12,01114°O). La FFR provenant de ce puits est enrichies en P_2O_5 (jusqu'à 14 %). Les résultats des traces de fission de l'apatite, la double datation U-Pb de l'apatite par Paul O'Sullivan, ont révélé un âge de trace de fission d'environ 160 Ma (Fig. 53B). Ces mêmes grains d'apatite ont produit des âges U-Pb médiocrement précis, se groupant autour de 2 000-2 100 et 600 Ma. En conséquence, nous interprétons les apatites comme détritiques, et leurs âges individuels de traces de fission comme enregistrant leurs différentes périodes d'exhumation en-dessous d'environ 100 °C. À environ 160 Ma, cette partie de la Mauritanie aurait été située sur, ou à proximité, d'un épaulement de rift lié à l'ouverture de l'Océan Central Atlantique, où l'écartement du plancher océanique avait débuté environ 20 millions d'années auparavant.

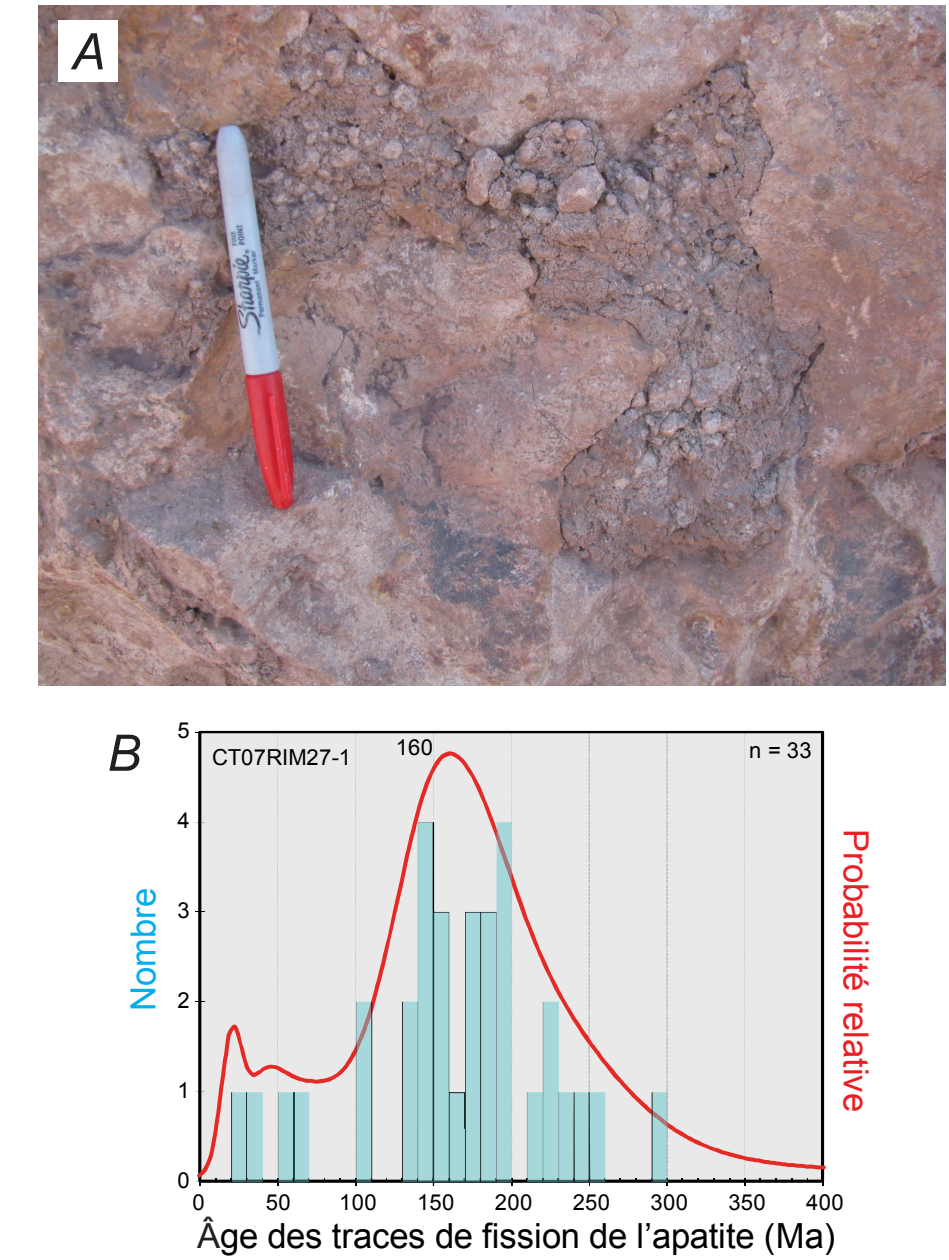

Figure 53. (*A*) Photographie d'affleurement de brèche de calcrète, correspondant à l'échantillon CT07RIM27, provenant de la carapace de la mine de Fer N°4 de Mhaoudât. (*B*) Histogramme de la datation des traces de fission de l'apatite. Nous interprétons la population d'apatite comme détritique, érodée à partir des roches ayant refroidi en-dessous 100 °C pendant le Jurassique.

6.5. Complexe d'Idjil, Formation de Tazadit

Le Complexe d'Idjil est une succession supracrustale qu'on imagine d'âge Paléoprotérozoïque, au sein du secteur minier de Zouerate (feuille de la carte à l'échelle 1/200 000ème de Fderik, numéro 2012). Il

inclut quartzite, quartzite ferrugineuse, quartzite micacée, et micaschiste quartzeux, qui atteint localement un degré staurolite de métamorphisme régional (Schofield et al., 2006 ; Schofield et Gillespie, 2007). Les mines de Fer les plus importantes de Mauritanie sont situées au sein de cet ensemble. Le Complexe d'Idjil surmonte le Complexe Néoarchéen de Tiris, le long d'un charriage à angle modéré. Les roches du socle du Complexe de Tiris sont métamorphisée dans un faciès granulite, et possède des âges U-Pb échelonnés de 2,83 Ga à 2,45 Ga (O'Connor et al., 2005). Notre échantillon de zircons détritiques (DB07RIM46a) provient de la quartzite de la Formation de Tazadit (Fig. 54A et B). Sur 120 zircons analysés, 31 ont passé avec succès les filtres LAICPMS. Le diagramme Concordia non-filtré montre un indice clair de perte récente de Plomb (Cénozoïque ou moderne) (Fig. 54C). La distribution des âges présente des maximums à 3 294 et 2 988 Ma (Fig. 54E). L'âge maximum de dépôt, sur la base des seuls zircons détritiques, peut être établi à 2 988 Ma, c'est-à-dire correspondant au pic le plus récent, mais l'âge réel de dépôt est probablement situé environ un milliard d'années après.

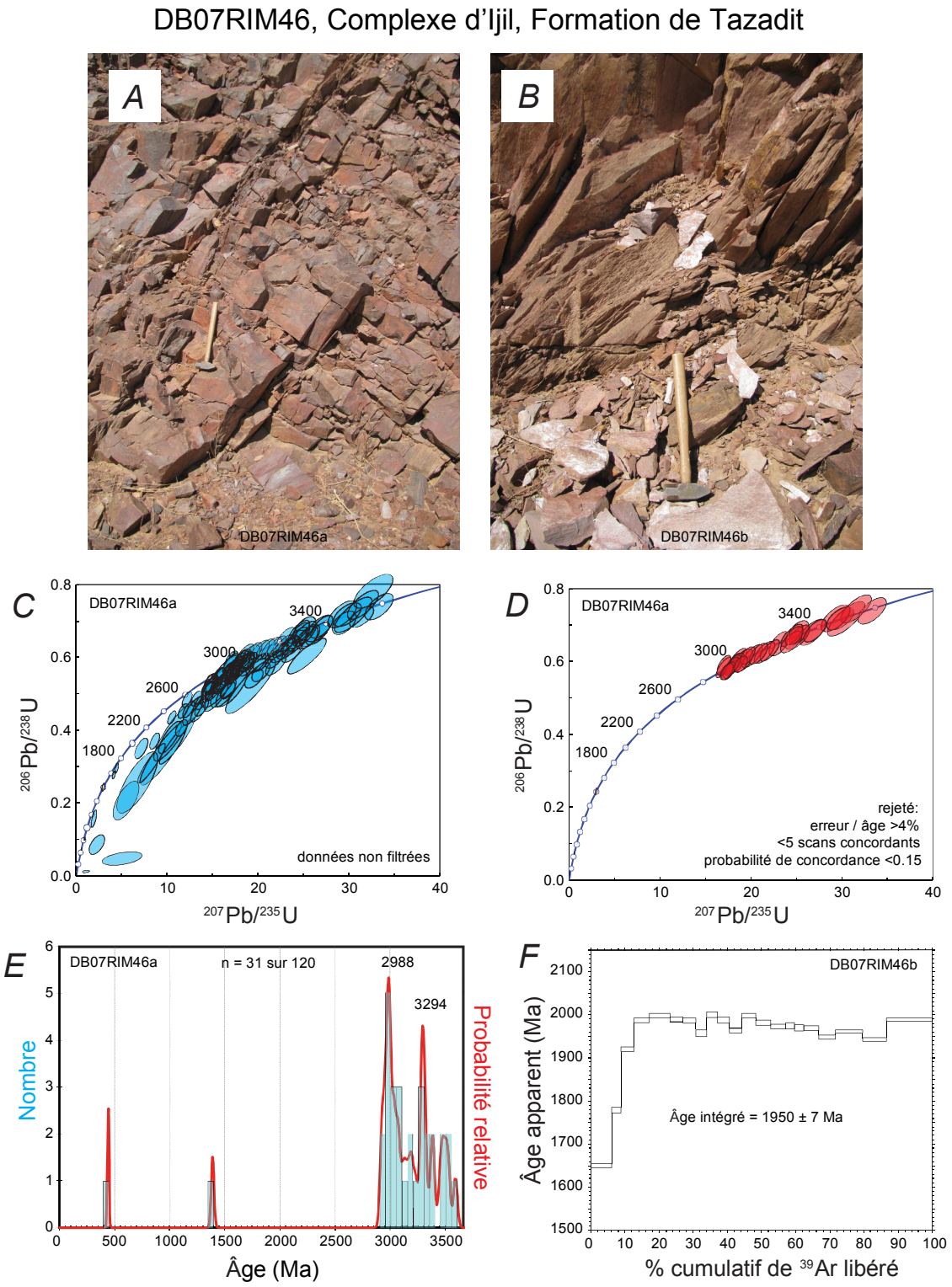

Figure 54. Données géochronologiques et photographies correspondant à l'échantillon DB07RIM46a et b, provenant de la quartzite de la Formation de Tazadit du Complexe d'Idjil. (*A et B*) Les photographies d'affleurement de l'horizon de prélèvement des échantillons DB07RIM46a et DB07RIM46b, respectivement. (*C et D*) Diagrammes Concordia correspondant montrant des données filtrées et non-filtrées. (*E*) Distribution des âges du zircon détritique correspondant à l'échantillon DB07RIM46a. (*F*) Spectre des âges d'émission d'Argon du mica blanc de l'échantillon DB07RIM46b.

L'échantillon RIM07DB46b est un schiste à muscovite provenant du même affleurement. Les données $^{40}Ar/^{39}Ar$ de cet échantillon de mica blanc sont globalement en cohérence avec un refroidissement de la roche en dessous d'environ 350 °C, à environ 1 970 Ma (Fig. 54F). Les âges plus récents des premières étapes de dégazage en laboratoire peuvent être cohérents avec des pertes mineures d'Argon en raison du réchauffage.

6.6. Formation de Seyala

La Formation de Seyala (de Schofield et Gillespie, 2007) est une ceinture faiblement métamorphisée d'origine problématique, au sein du secteur de Fer de Zouerate (feuille de la carte à l'échelle 1/200 000ème de Fderik, numéro 2012). La roche consiste en clastes de quartzite blanche (généralement arrondie) et en une formation de Fer tectonisée (généralement angulaire) dans une matrice argileuse (Fig. 55A, B, et C). Nous n'avons pas observé de litage, mais l'épaisseur est importante, et l'impression générale est celle d'un amas informe chaotique. Schofield et Gillespie (2007) ont considéré l'unité comme représentant une séquence de molasses liée au charriage, s'étant déposée pendant la mise en place d'une succession supracrustale Paléoprotérozoïque (formation de Fer et strates associées) au-dessus des gneiss du socle Néoarchéen du Complexe de Tiris.

Les zircons détritiques provenant de l'échantillon DB07RIM36a ont été analysés par SIMS (en 2010, deux réceptacles combinés) et LAICPMS (en 2012). Les deux ensembles d'analyses ont inclus de nombreux grains discordants, de telle sorte que seulement 30 grains ont passé avec succès les filtres LAICPMS, et que seulement 29 grains ont passé avec succès les filtres SIMS. Les deux ensembles de données ont produit des distributions d'âge semblables, qui sont combinées sur un même tracé des probabilités (Fig. 55H). Ce tracé montre des maximums à 3 094, 2 988, et 2 847 Ma. Il existe un ensemble de zircons récents, mais aucune superposition des âges. Le pic le plus récent, à 2847 Ma, est probablement environ un milliard d'années plus ancien que l'âge de dépôt.

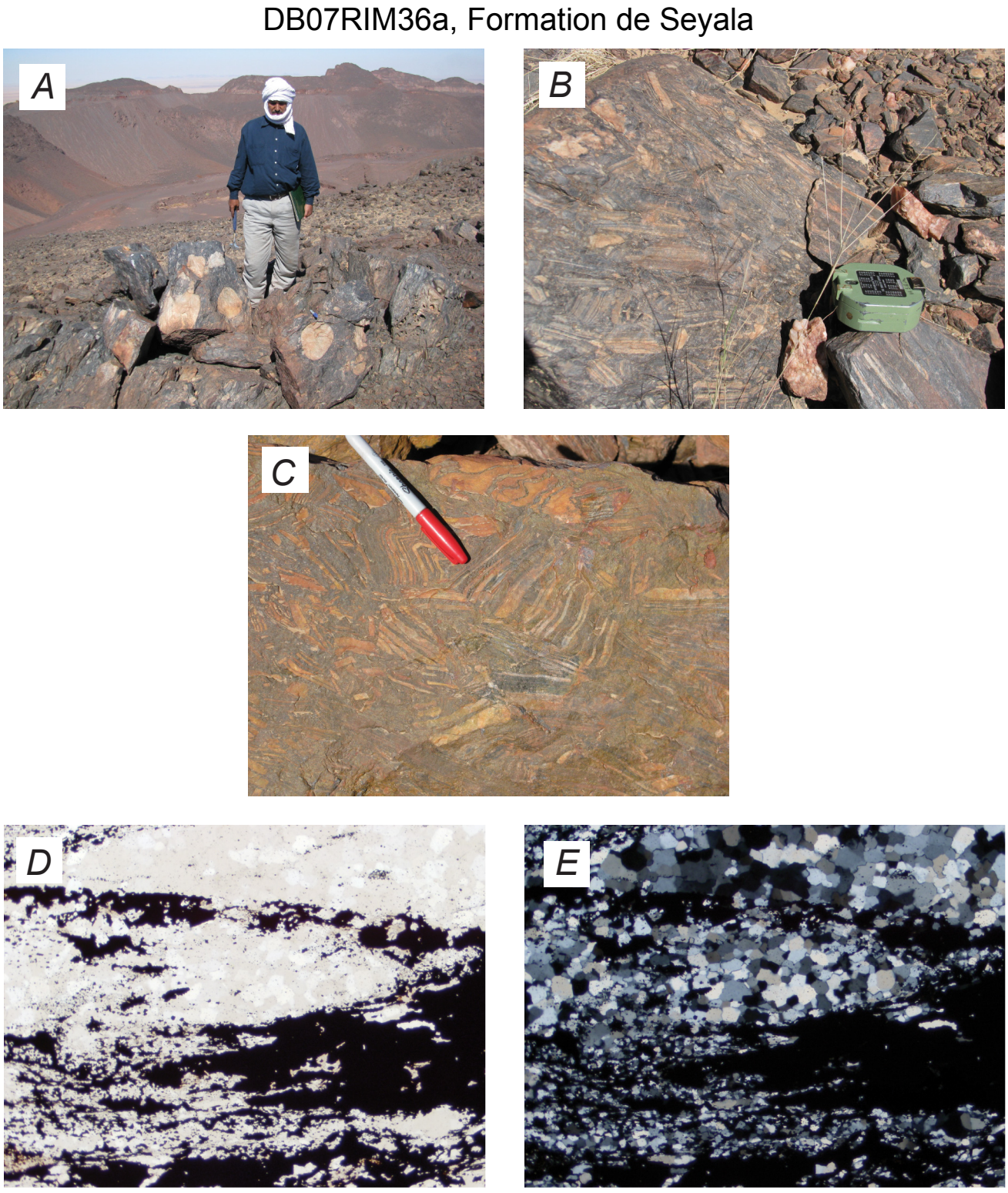

Figure 55. Données et photographies des zircons détritiques correspondant à l'échantillon DB07RIM36a, provenant de la Formation de Seyala. (*A, B, et C*) Photographies de l'affleurement de prélèvement d'échantillon. (*D et E*) Photographies au microscope d'un éclat de quartzite ferrugineuse, auparavant métamorphisée et déformée, en lumière polarisée plane et croisée, respectivement. (*Page suivante*) (*F et G*) Diagrammes de Concordia des résultats LAICPMS, montrant les données filtrées et non-filtrées. (*H*) Distribution des âges.

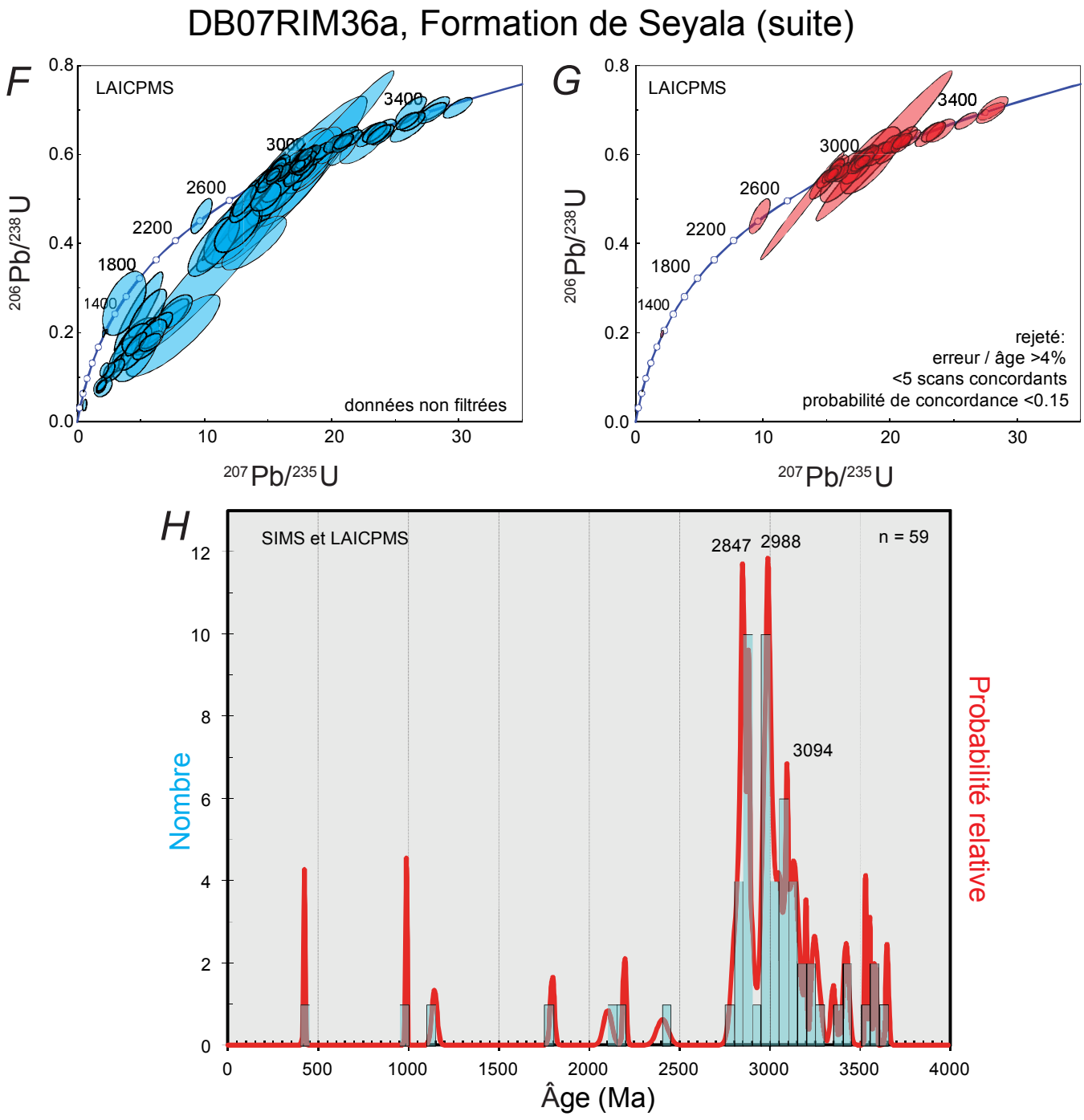

6.7. Groupe de Blekhzaymat

Plusieurs séries d'indices publiés indiquent un âge Paléoprotérozoïque pour le Groupe de Blekhzaymat, au Nord-Est de la Mauritanie. L'andésite du Groupe de Blekhzaymat possède un âge U-Pb du zircon de 2 069±10 (Lahondère et al., 2003, p. 163). Dans la partie Sud de cette ceinture d'affleurements (feuille de carte à l'échelle 1/200 000ème de Blekhzaymat, numéro 2407), le Groupe de Blekhzaymat subi un

métamorphisme de transformation en cornéennes au contact du granite porphyrique du Cortège de Yetti (datation U-Pb de 1 995±20 Ma du zircon) (Lahondère et al., 2003, p. 229). De plus, la ceinture d'affleurements du Groupe de Blekhzaymat est recouverte par le Groupe de Douik, à la base de la coupe du Bassin de Taoudéni, corrélée avec le Groupe de Char > 1 107-Ma (se référer à la Section 3.1). Finalement, comme détaillé à la Section 6.8, deux systèmes de veines aurifères orogéniques recoupant le Groupe de Blekhzaymat dans le Nord ont produit une datation $^{40}Ar/^{39}Ar$ de 2 179±11 Ma et 2 063±7 Ma.

L'échantillon DB07RIM55a est un grès rouge provenant de la partie Sud de la ceinture d'affleurements de Blekhzaymat (feuille de carte à l'échelle 1/200 000ème de Blekhzaymat, numéro 2407), provenant d'affleurements de grès grossier renfermant des galets (Fig. 56A). Sur 120 analyses, 77 sont concordantes. La courbe de probabilité montre un pic majeur à 2 094 Ma, où nous avons fixé l'âge maximum de dépôt (Fig. 56F).

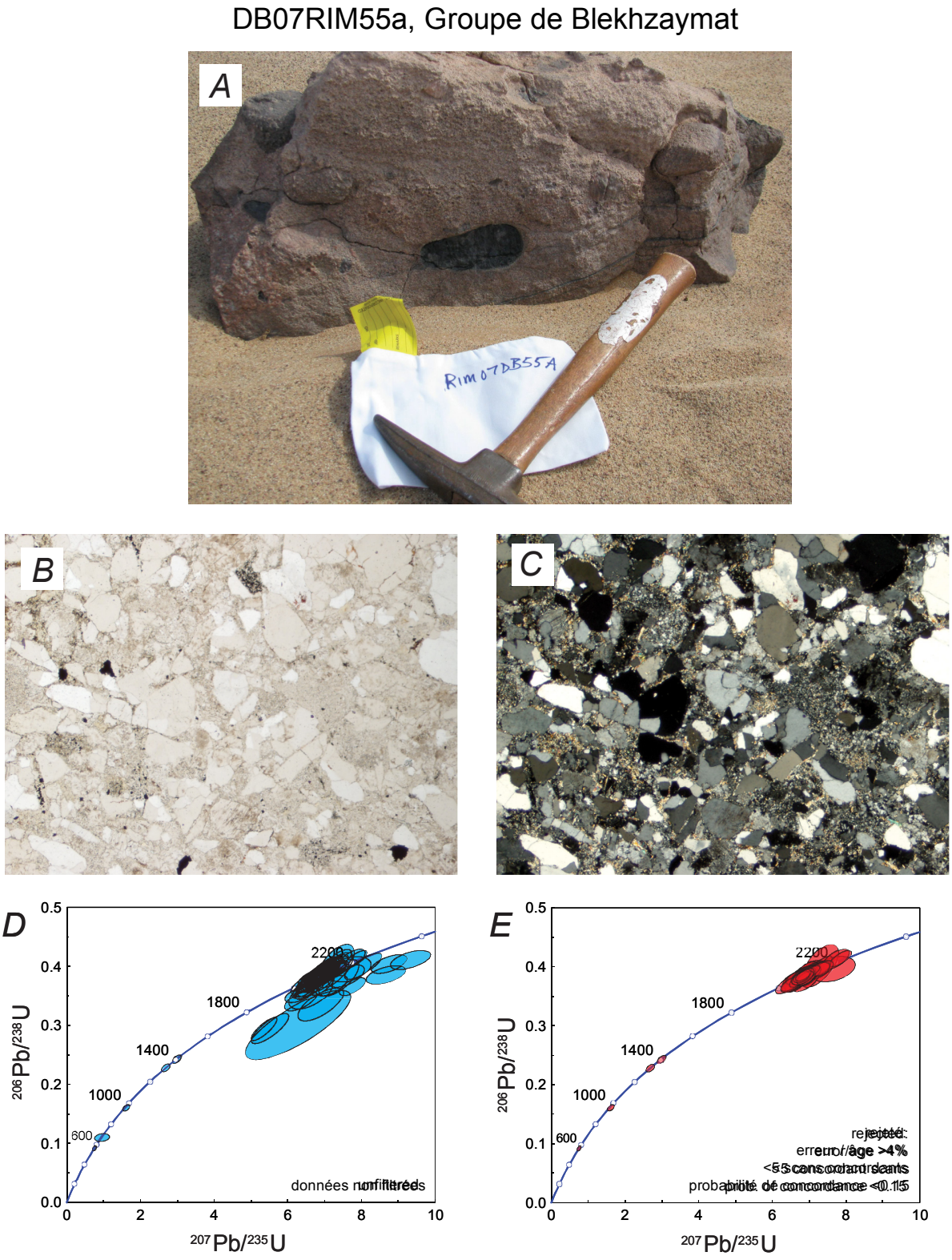

Figure 56. Données et photographies des zircons détritiques, correspondant à l'échantillon DB07RIM55a, provenant du Sud du Groupe de Blekhzaymat. (*A*) Photographie de l'affleurement de prélèvement d'échantillon. (*B et C*) Photographies au microscope, en lumière polarisée plane et croisée, respectivement. (*D et E*) Diagrammes de Concordia montrant des données filtrées et non-filtrées. (*Page suivante*) (*F*) Distribution des âges.

DB07RIM55a, Groupe de Blekhzaymat (suite)

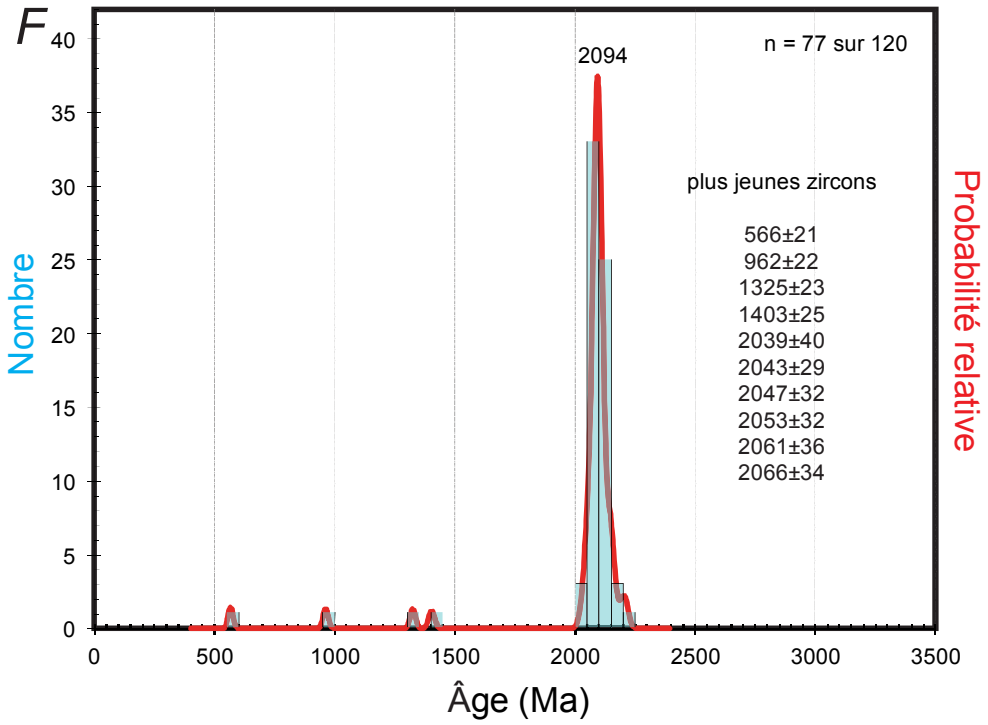

Les résultats provenant de la partie Nord de la ceinture d'affleurement du Groupe de Blekhzaymat sont problématiques. Le Bassin de Tindouf est situé juste au Nord. Dans ce secteur, les strates les plus anciennes sont Ordoviciennes, et les unités cartographiées ont une direction grossièrement Est-Ouest, avec un léger pendage vers le Nord, par opposition avec le Groupe de Blekhzaymat, dont les strates sont de direction grossièrement Nord-Sud, avec un fort pendage. L'échantillon DB07RIM54a provient d'un lit de grès à grain moyen, tirant sur le pourpre et folié (Fig. 57A) au sein d'un affleurement essentiellement constitué de phyllite, situé à quelques kilomètres au Sud de la discordance sub-Ordovicienne, visible sur la feuille de la carte à l'échelle 1/500 000ème de Hassi Djebilet. Deux sous-échantillons provenant du même échantillon ont été analysés à deux moments différents. Lors de la première analyse (référence de laboratoire numéro 952-15), le but principal était de contraindre l'âge maximum de dépôt. Des zircons euhédraux ont été datés dans ce but, de préférence à des zircons arrondis, en faisant l'hypothèse que ces derniers avaient une probabilité plus grande d'avoir subi de multiples cycles sédimentaires. Sur 120 grains, 64 ont passé avec succès les filtres LAICPMS (Fig. 57D et E). La courbe de probabilité montre des pics majeurs à 614 et 549 Ma, et des pics moins importants à 2 161, 2 057, 1 837, et 912 Ma (Fig. 57F). Ce résultat était surprenant en raison des contraintes géologiques sur l'âge de dépôt Paléoprotérozoïque. Nous avons donc procédé à une seconde analyse (référence de laboratoire numéro 1284-8) sur l'échantillon DB07RIM54a. Cette fois, les zircons ont été choisis au hasard. Sur 120 zircons analysés, 52 sont concordants (Fig. 57G and H). La courbe de probabilité montre un pic majeur à 2 141, et simplement un pic de moindre importance à 620 Ma (Fig. 57I). Les deux courbes de probabilité sont qualitativement semblables, écartant la possibilité de résultats anormaux lors de la première analyse en raison d'un mélange d'échantillons. Les deux résultats fournissent des datations récentes, problématiques, de zircons Néoprotérozoïques, bien qu'il y ait eu un plus petit nombre de ceux-ci (8) dans la seconde analyse. Au premier abord, ces zircons récents suggèrent un âge maximum de dépôt de 549 Ma, semblant impossible à la lumière des contraintes géologiques. Nous formulons par conséquent l'hypothèse que les âges U-Pb

Néoprotérozoïques témoignent d'une perturbation Panafricaine qui a réinitialisé certains zircons. Comme évoqué à nouveau à la Section 7.6, Lahondère et al. (2003, p. 164) ont signalé un phénomène similaire provenant d'une andésite du Groupe de Blekhzaymat.

DB07RIM54a, Groupe de Blekhzaymat

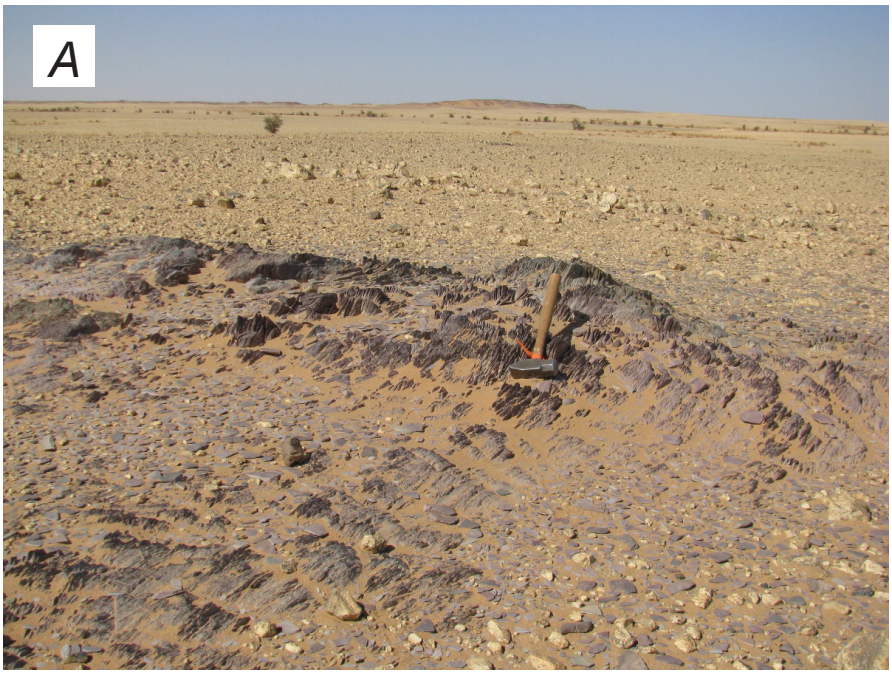

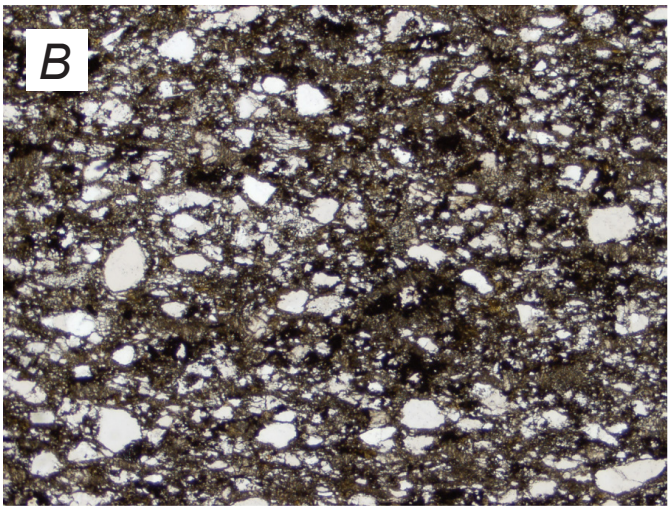

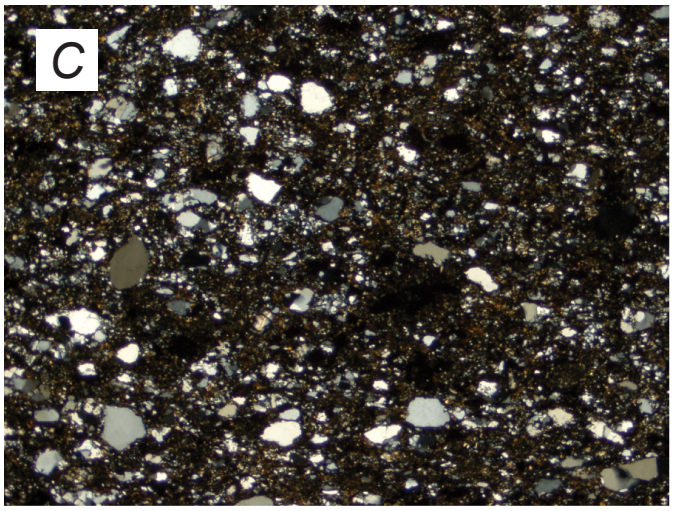

Figure 57. Données et photographies des zircons détritiques, correspondant à l'échantillon DB07RIM54a provenant du Nord du Groupe de Blekhzaymat. (*A*) Photographie de l'affleurement de prélèvement d'échantillon. (*B et C*) Photographies au microscope, en lumière polarisée plane et croisée, respectivement. (*Page suivante*) (*D, E, et F*) Diagrammes Concordia et distribution des âges provenant de la première analyse (référence de laboratoire numéro 952-12). (*G, H, et I*) Diagrammes Concordia et distribution des âges, provenant de la nouvelle analyse (référence de laboratoire numéro 1284-04).

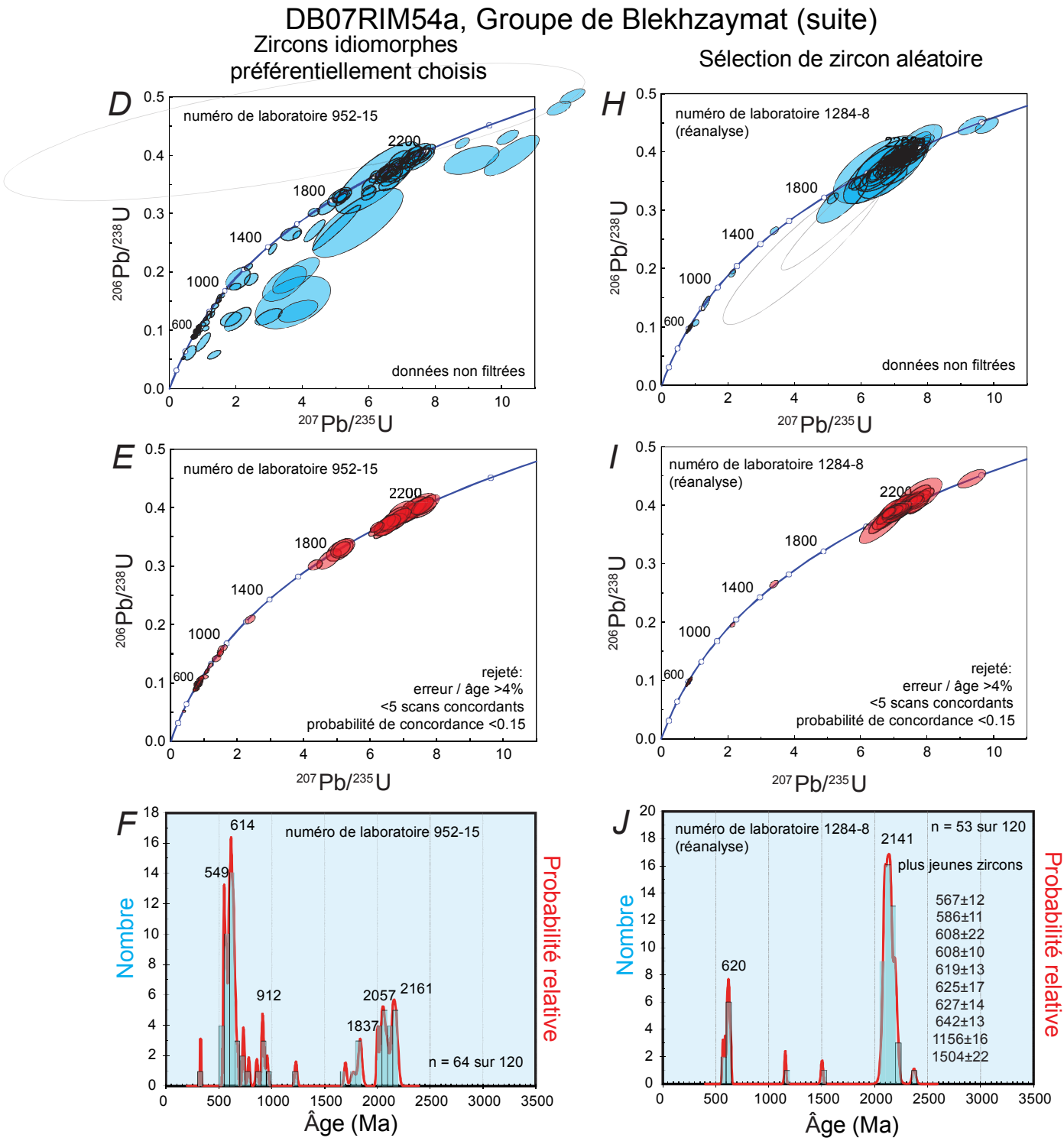

Un autre échantillon (CT07RIM37-1) provenant de la partie Nord de la ceinture d'affleurements de Blekhzaymat (feuille de la carte à l'échelle 1/500 000ème de Hassi Djebilet) est une roche tufacée tendant au pourpre, friable et foliée (Fig. 58A et B). Nous avons daté cet échantillon par deux méthodes : SIMS (9 zircons ; Fig 58C), puis LAICPMS (120 zircons ; Fig. 58D, E, et F). Les analyses LAICPMS ont mis en évidence deux populations. Une principale à environ 2 100 Ma, et une moins importante à 562 Ma. Les

résultats SHRIMP et LAICPMS ont été combinés (Fig. 58G) pour déterminer la moyenne pondérée de la datation $^{207}Pb/^{206}Pb$, à 2 104±13 Ma, que nous interprétons comme l'âge magmatique du tuf. Nous avançons l'hypothèse que les âges Néoprotérozoïques témoignent d'une perturbation Panafricaine.

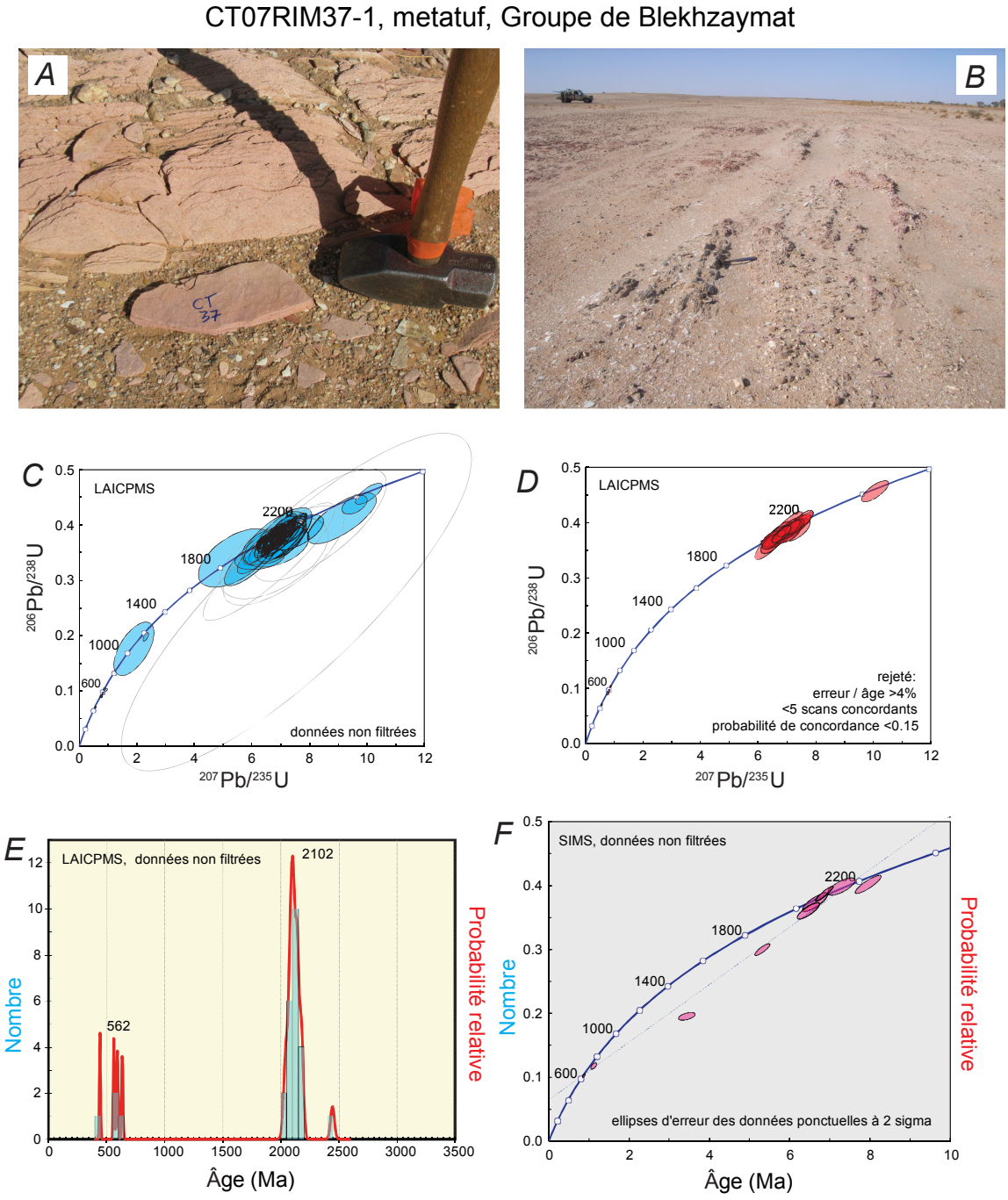

Figure 58. Données géochronologiques concernant les zircons, et photographies, correspondant à l'échantillon CT07RIM37-1 provenant du Nord du Groupe de Blekhzaymat. (*A et B*) Photographies de l'affleurement de prélèvement d'échantillon. (*C*) Diagramme Concordia montrant les résultats SIMS. (*D, E, et F*) Résultats LAICPMS : diagrammes des données filtrées et non-filtrées, ainsi que la distribution des âges correspondante. (*Page suivante*) (*G*) Datation moyenne pondérée, sur la base des données SIMS et LAICPMS combinées.

CT07RIM37-1, metatuf, Groupe de Blekhzaymat (suite)

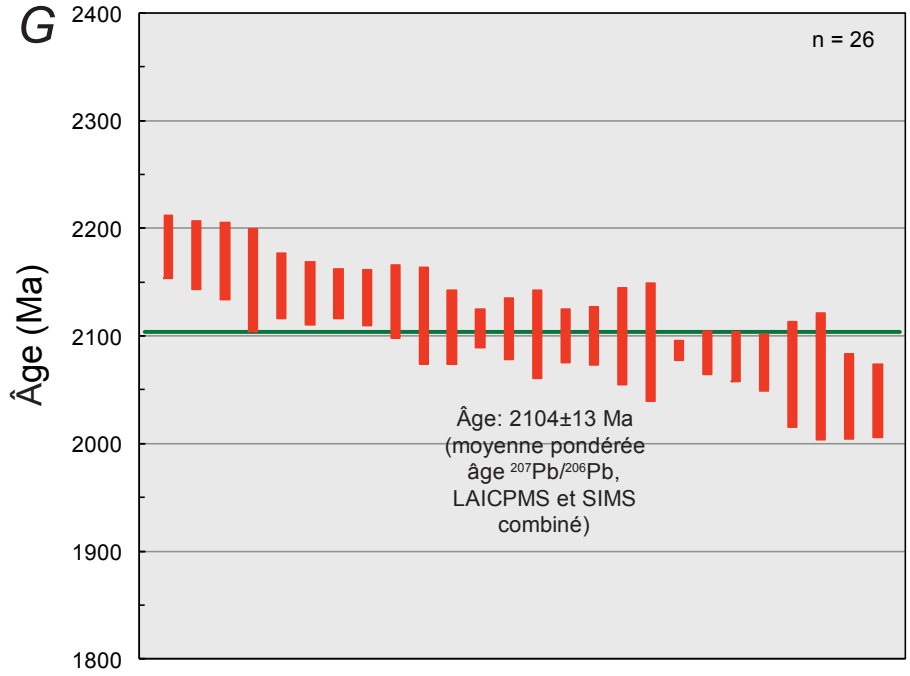

6.8. Veines de quartz recoupant le Groupe de Blekhzaymat

Des veines hydrothermales recoupant le Groupe de Blekhzaymat en deux emplacements de la feuille de la carte à l'échelle 1/500 000ème de Hassi Djebilet ont été datées par la méthode $^{40}Ar/^{39}Ar$. L'échantillon GB07RIM40B provient de la présence de Zinc Bia-600[2], Indice 001IND0005 (Fig. 59A). Un extrait de mica blanc a produit un spectre d'âges irrégulier, correspondant à un âge moyen de 2 179±11 Ma (Fig. 59B). Les données $^{40}Ar/^{39}Ar$ sont interprétées comme témoignant d'un refroidissement régional en dessous d'environ 350 °C. Les motifs irréguliers des spectres d'âge $^{40}Ar/^{39}Ar$ pourraient être la conséquence multiples générations de mica, d'Argon extérieur, ou de réchauffage partiel après le refroidissement initial (Fig. 59A).

[2] Aucune minéralisation de zinc n'a été trouvée, simplement une coloration de malachite.

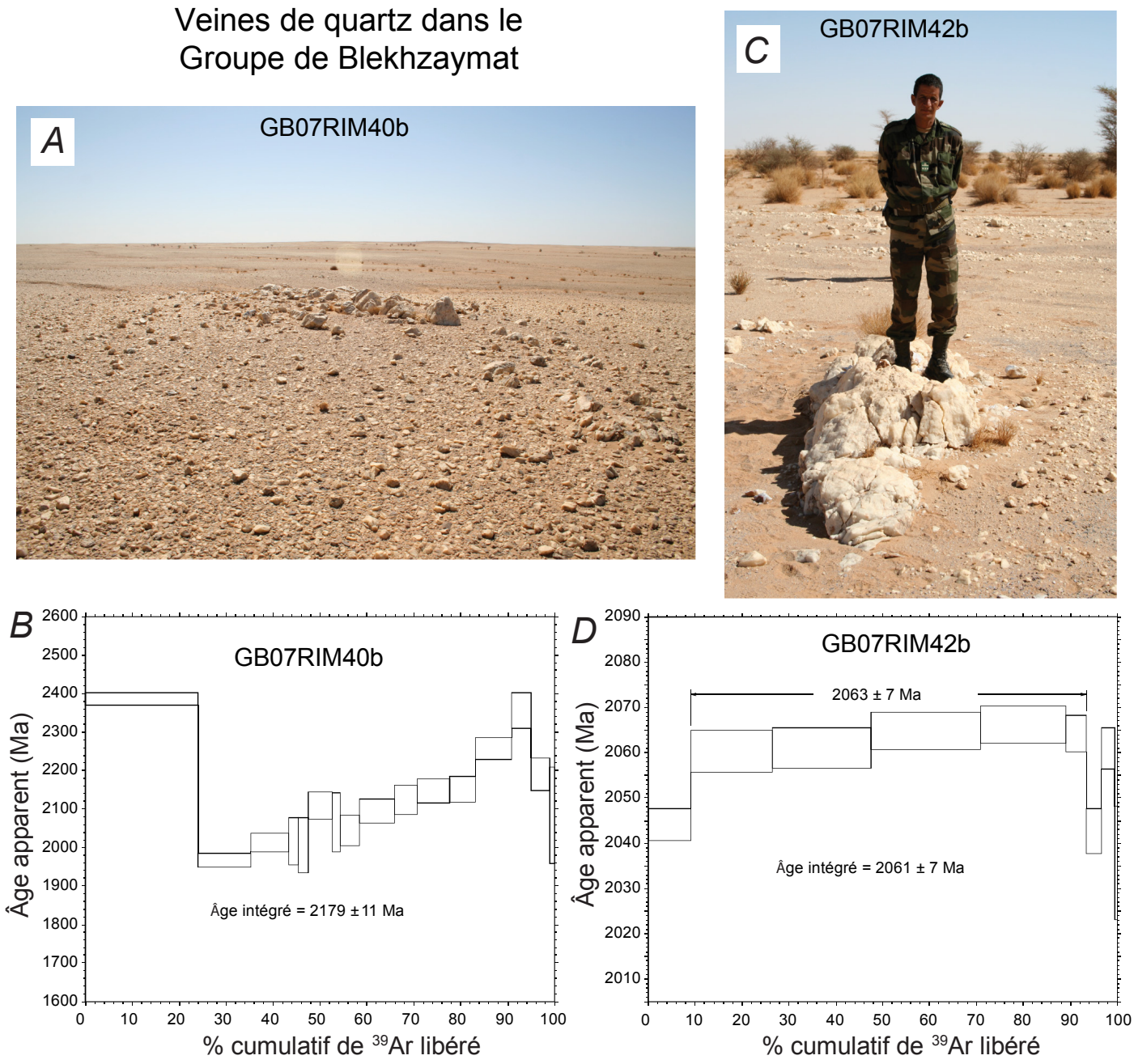

~~Figure 59.~~ Photographies de l'affleurement, ainsi que le spectre d'émission d'Argon correspondant aux extraits de mica blanc provenant des veines de quartz recoupant le Groupe de Blekhzaymat. (A et B) Échantillon GB07RIM40b. (*C et D*) Échantillon GB07RIM42b.

L'échantillon GB07RIM42B provient de la présence de Zinc Bia 610, Indice 001IND0008 (Fig. 59C). Un extrait de mica blanc a produit un plateau d'âge $^{40}Ar/^{39}Ar$ de 2 061±7 Ma (Fig. 59D). Cet âge est interprété comme témoignant d'un refroidissement de cette roche en dessous d'environ 350 °C.

6.9. Complexe de Ghallamane

Le Complexe de Ghallamane forme un certain nombre de ceintures d'affleurements séparés, de roches métasédimentaires entourées par des plutons du Complexe de Tmeïmichatt Ghallamane. Une unité de granite-granodiorite de cette suite intrusive a produit un âge U-Pb du zircon de 2 103±13 Ma (Lahondère et al., 2003, p. 96). L'échantillon DB07RIM53a provient d'un métagrès grossier (Fig. 60A), alterné avec des cornéennes à cordiérite (feuille de la carte à l'échelle 1/200 000ème d'Ain Ben Tïli, numéro 2509). Le métamorphisme est probablement dû à l'un des plutons présents à proximité. Deux sous-échantillons ont été analysés à des moments différents. Lors de la première analyse (référence de laboratoire numéro 952-14), le but principal était de contraindre l'âge maximum de dépôt. Des zircons euhédraux ont été datés dans ce but, de préférence à des zircons arrondis, en faisant l'hypothèse que ces derniers avaient une probabilité plus grande d'avoir subi de multiples cycles sédimentaires. Sur 120 grains, 57 ont passé avec succès les filtres LAICPMS (Fig. 60D et E). La courbe de probabilité montre un pic majeur à 2 118 Ma, ainsi qu'un pic mineur à 582 Ma (Fig. 60F). Ce résultat a été une source de préoccupation, en raison de la contrainte géologique sue l'âge de dépôt Paléoprotérozoïque. Nous avons donc procédé à une seconde analyse (référence de laboratoire numéro 1284-7) sur un sous échantillon conservé de l'échantillon DB07RIM53a. Cette fois, les zircons ont été choisis au hasard. Sur 120 zircons analysés, 64 sont concordants (Fig. 60G et H). La courbe de probabilité montre un pic unique à 2 142 Ma (Fig. 60I). Les deux courbes de probabilité sont qualitativement similaires, bien que la seconde n'ait pas produit de résultat récent problématique de zircons Néoprotérozoïques. À la lumière des contraintes géologiques, nous suggérons que les âges U-Pb Néoprotérozoïques témoignent d'une perturbation Panafricaine qui a réinitialisé quelques zircons, et que, par ailleurs, l'âge maximum de dépôt est fourni par l'unique maximum Paléoprotérozoïque, qui, dans l'ensemble combiné des données, est de 2 135 Ma. À la lecture des résultats de datation $^{40}Ar/^{39}Ar$ examinés ci-dessous, le dépôt et la tectonique doivent s'être déroulés tous les deux pendant le Paléoprotérozoïque.

DB07RIM53a, Complexe du Ghallamane, Unité GLsc

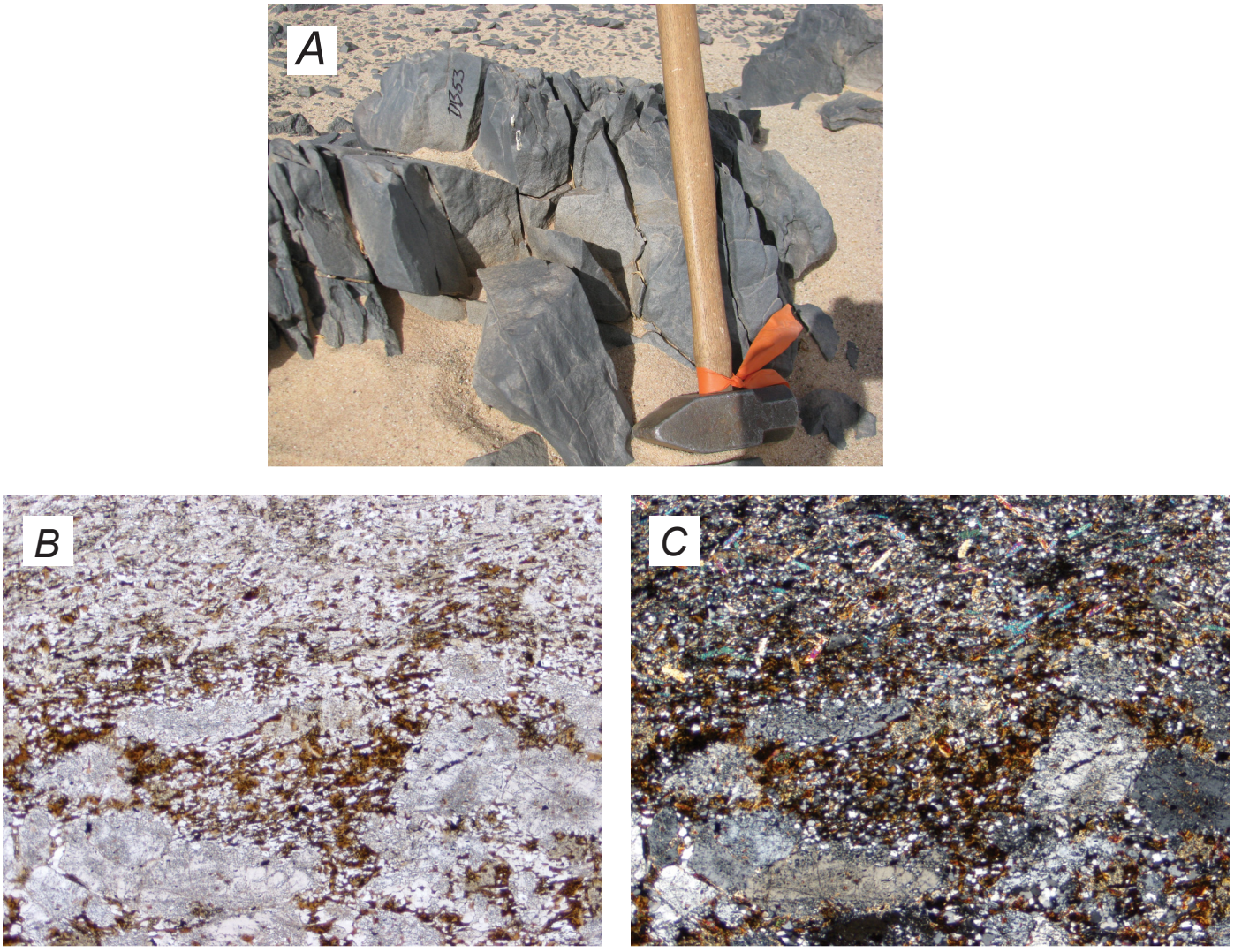

Figure 60. Données géochronologiques et photographies correspondant à l'échantillon DB07RIM53a provenant du Complexe de Ghallamane. (*A*) Photographie de l'horizon de prélèvement pour l'échantillon DB07RIM53a. (*B et C*) Photographies au microscope de l'échantillon DB07RIM53a, en lumière polarisée plane et croisée, respectivement. (*Page suivante*) (*D, E, et F*) Diagrammes Concordia, et tracé de la distribution des âges correspondante, provenant du premier échantillon analysé, à savoir DB07RIM53a (référence de laboratoire numéro 952-14). (*G, H, et I*) Diagrammes Concordia, et tracé de la distribution des âges correspondante, provenant de la nouvelle analyse (référence de laboratoire numéro 1284-7). (*J*) Spectre d'émission de l'Argon des micas blancs métamorphiques, provenant de l'échantillon DB07RIM53c.

DB07RIM53a, Complexe du Ghallamane, Unité GLsc (suite)

Zircons idiomorphes préférentiellement choisis

Sélection de zircon aléatoire

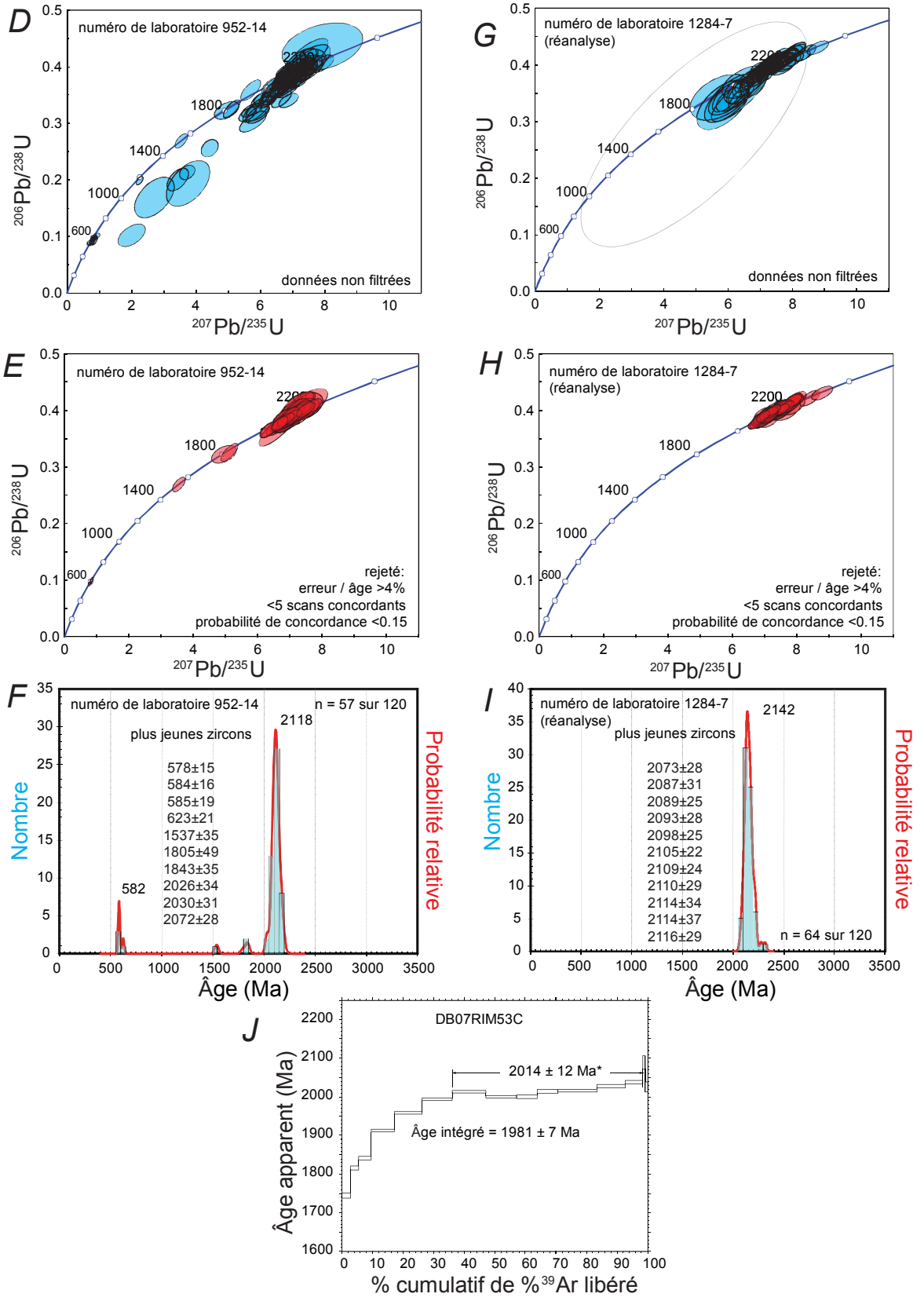

Un échantillon de micaschiste (DB07RIM53c), provenant du même affleurement, a été analysé par la méthode $^{40}Ar/^{39}Ar$ (Fig. 60J). Les données de cet échantillon viennent conforter l'hypothèse d'un refroidissement initial en dessous d'environ 350 °C, à 2 014±12 Ma, suivi d'une perte partielle d'Argon radiogénique à une étape ultérieure, probablement après 1 750 Ma. Le moment du refroidissement initial est fiable, mais la détermination du moment du réchauffement ultérieur n'est pas aussi bien contrainte.

6.10. Complexe de Tsalabia el Khadra

Le Complexe de Tsalabia el Khadra est un ensemble attrape-tout, unité cartographique à dominante supracrustale, comprenant métaconglomérats, méta-arkose, épiclastite, schiste tufacé, quartzite, rhyolite, amphibolite, métapyroxénite, et métagabbro (Lahondère et al., 2003, p. 70). Les roches attribuées au Complexe de Tsalabia el Khadra sont recoupées localement par le granite du Karêt, daté de 2 141±4 Ma (Lahondère et al., 2003, p. 82).

L'échantillon DB07RIM52a est un échantillon ramassé au niveau d'une unité non-dénommée d'épiclastite, de schiste tufacé, et de quartzite (KHep de Lahondère et al., 2003) (feuille de la carte à l'échelle 1/200 000ème de Bel Guerdan, numéro 2510). La roche est une arénite quartzique blanche, à ciment carbonaté (Fig. 61A). Deux sous échantillons ont été analysés à des moments différents. Lors de la première analyse (référence de laboratoire numéro 952-13), le but principal était de contraindre l'âge maximum de dépôt. Des zircons euhédraux ont été datés dans ce but, de préférence à des zircons arrondis, en faisant l'hypothèse que ces derniers avaient une probabilité plus grande d'avoir subi de multiples cycles sédimentaires. Sur 120 grains, 62 ont passé avec succès les filtres LAICPMS (Fig. 61B et C). La courbe de probabilité montre deux pics majeurs faiblement espacés à 612 et 562 Ma, ainsi que des pics de moindre ampleur à 2 036, 1 196, et 1 024 Ma (Fig. 61D). Ce résultat était incompatible avec la contrainte apportée par l'âge géologique de dépôt Paléoprotérozoïque. Nous avons donc procédé à une nouvelle analyse (référence de laboratoire numéro 1284-6) sur l'échantillon DB07RIM52a. Cette fois, les zircons ont été choisis au hasard. Sur 120 zircons analysés, 66 sont concordants (Fig. 61E et F). La courbe de probabilité montre deux pics majeurs se chevauchant à 612 et 581 Ma, ainsi que des pics moins importants à 1 774 et 1 025 Ma (Fig. 61G). Les deux courbes de probabilité sont qualitativement similaires, excluant la possibilité que le résultat anormal de la première analyse provienne d'un mélange d'échantillons. Considérées ensemble, les deux analyses de l'échantillon DB07RIM52a indiquent un âge maximum de dépôt de 582 Ma, qui correspond au pic de probabilité le plus récent sur la base de la combinaison des groupes de données. C'est environ 1,5 milliards d'années plus récent que l'âge de dépôt supposé du Complexe de Tsalabia el Khadra. Une interprétation possible, est qu'au sein de l'étendue cartographiée du Complexe de Tsalabia el Khadra, il existe une ceinture de quartzite Néoprotérozoïque ou plus récente. Du fait de l'information limitée, et du type reconnaissance, caractérisant la cartographie géologique de cette partie isolée du Bouclier de Rgueïbat, nous avons adopté cette interprétation pour la carte géologique à l'échelle 1/1 000 000ème. Une autre possibilité est que les datations U-Pb Néoprotérozoïques témoignent d'une perturbation Panafricaine qui a réinitialisé l'essentiel de la population de zircons, et que l'âge maximum de dépôt soit donné par les zircons Paléoprotérozoïques les plus récents.

DB07RIM52a, Complexe de Tsalabia el Khadra, Unité KHep

Figure 61. Données géochronologiques et photographies correspondant à l'échantillon DB07RIM52a provenant du Complexe de Tsalabia el Khadra. (*A*) Photographie de l'affleurement de prélèvement d'échantillon. (*Page suivante*) (*B, C, et D*) Distribution des âges et diagrammes Concordia de la première analyse concernant l'échantillon DB07RIM52a (référence de laboratoire numéro 952-13). (*E, F, et G*) correspondent à la nouvelle analyse (référence de laboratoire numéro 1284-6).

DB07RIM52a, Complexe de Tsalabia el Khadra, Unité KHep (suite)

Zircons idiomorphes préférentiellement choisis

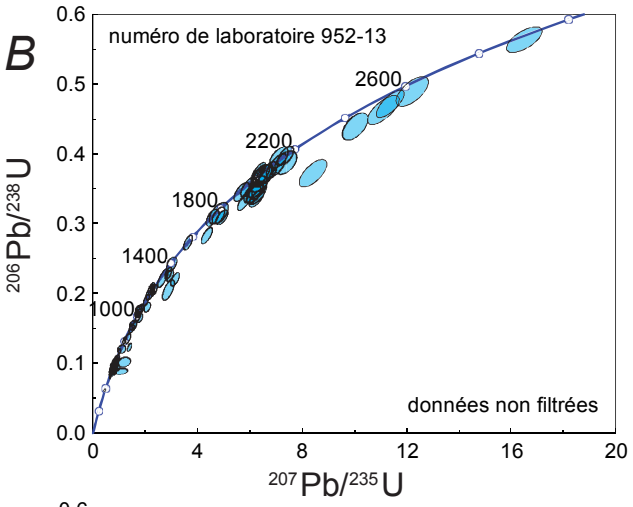

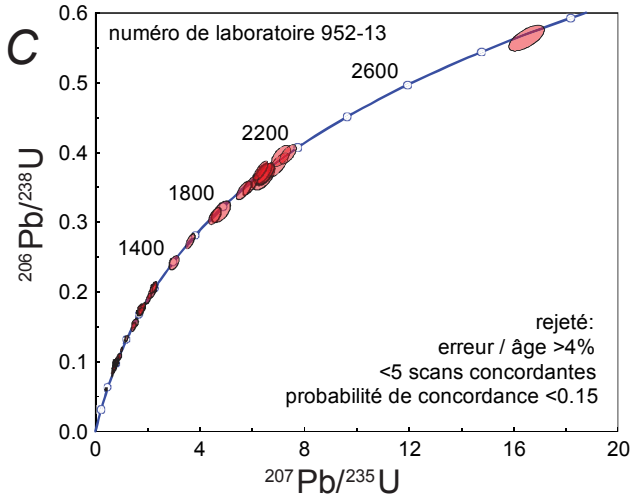

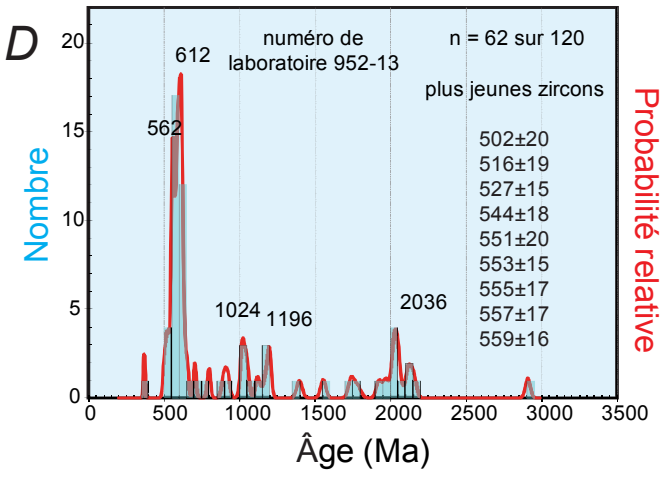

Sélection de zircon aléatoire

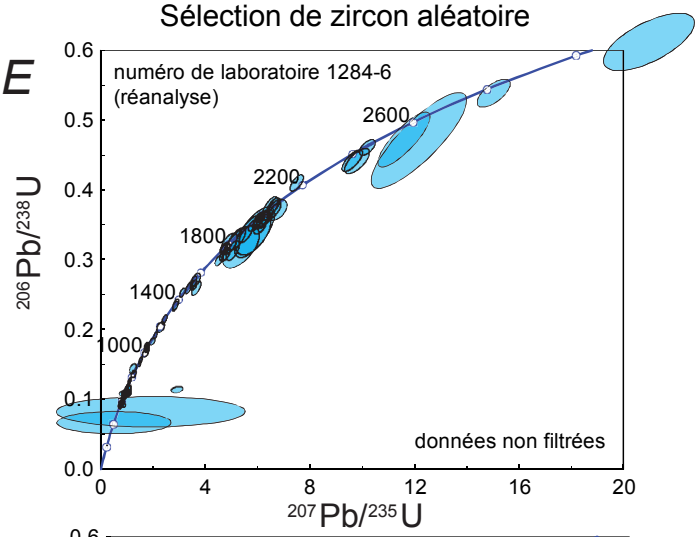

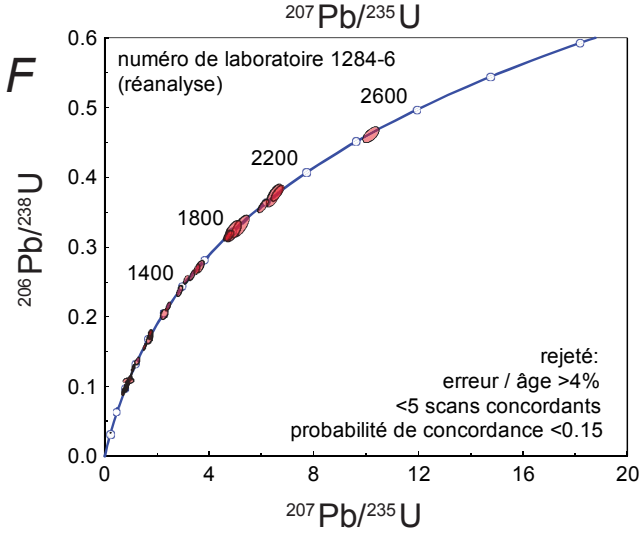

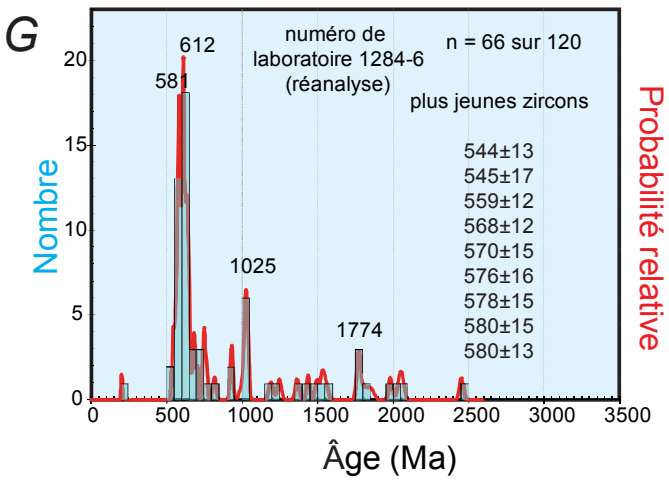

6.11. Cortège de Gleibat Tenebdar

Le Cortège de Gleibat Tenebdar est un complexe granitique Paléoprotérozoïque du Bouclier de Rgueïbat. Les datations U-Pb de 2 073±3 et 2 068±6 Ma, provenant toutes les deux des granodiorites à biotite-amphibole, ont été signalées par Lahondère et al., 2003, p. 165). L'échantillon DB07RIM51a provient de Gleibat Tenebdar, dans la partie Nord de la feuille de la carte à l'échelle 1/200 000ème du même nom (numéro 2410). Les zircons de cette écaille, limitée par des failles, de granite rouge alcalin (Fig. 62A) ont été datés avec un succès mitigé par l'utilisation de la méthode SIMS. Les zircons ont subi d'importantes pertes de Plomb, mais les analyses sont à peu près colinéaires sur un diagramme Concordia. L'âge de la sécante supérieure, qui est conforté par une analyse unique presque concordante, est de 2 068±21 Ma (Fig. 62B), en conformité avec les autres phases datées de l'histoire de ce complexe magmatique.

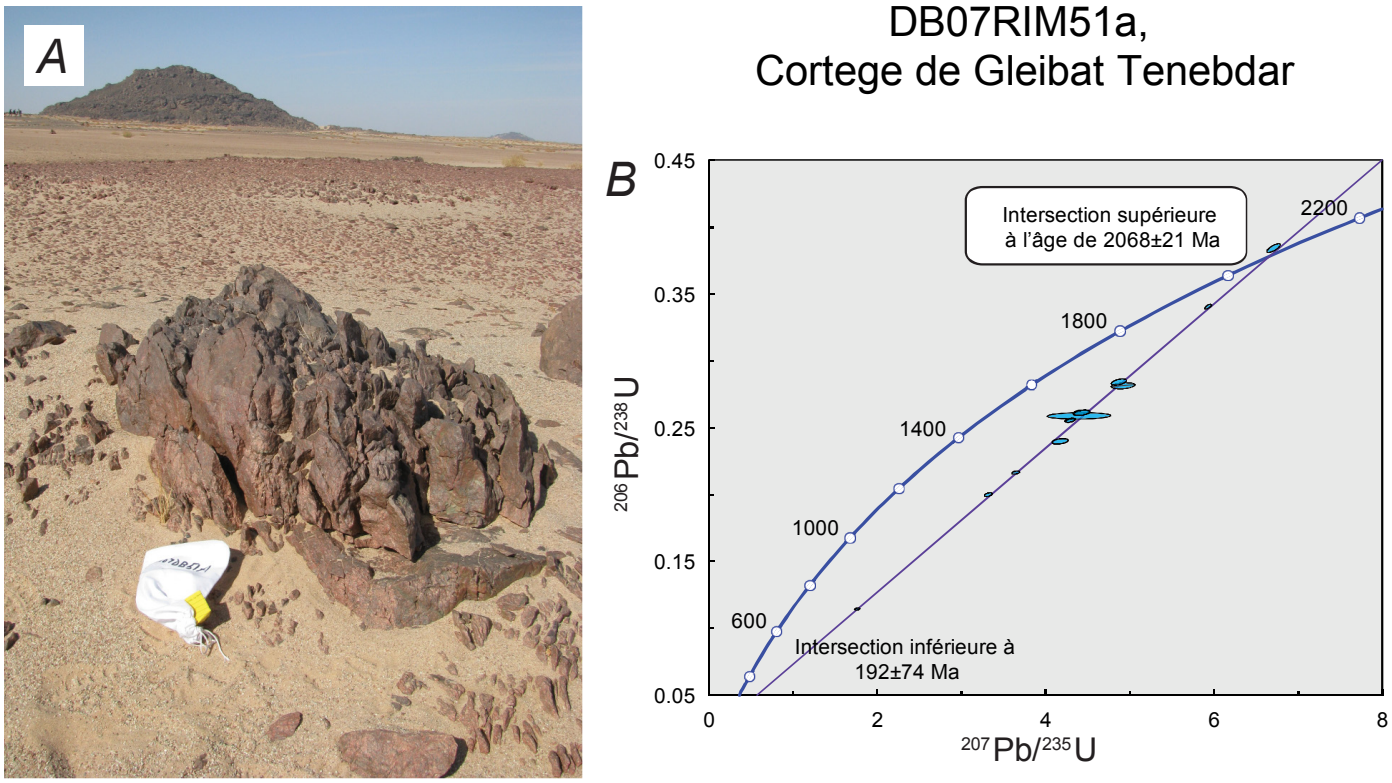

Figure 62. (A) Photographie de l'affleurement de prélèvement, correspondant à l'échantillon DB07RIM51a, Cortège de Gleibat Tenebdar. (B) Diagramme Concordia montrant les données SIMS.

7.0 Discussion

7.1. Codes-barres des zircons détritiques

La distribution des âges des zircons détritiques provenant des échantillons Mésoprotérozoïques à Ordoviciens montrent des caractéristiques récurrentes, qui sont qualifiées ici de « codes-barres » (tracés des probabilités relatives composites, avec histogrammes). Nous identifions quatre de ceux-ci (Fig. 63), désignés des noms de codes-barres des zircons détritiques de Char, Assabet, Téniagouri, et Oujeft. Les codes-barres de la Figure 63 s'appuient sur les échantillons dont le contexte géologique est bien compris, c'est-à-dire sur les échantillons reposant à plat, ou sur les formations peu déformées des ensembles autochtones ou parautochtones. Trois ou quatre codes-barres sont des composites provenant de deux échantillons ou plus qui (1) proviennent de la même partie de la colonne stratigraphique, et (2) qui possèdent des distributions similaires des âges des zircons détritiques. Les échantillons provenant des roches tectonisées de l'orogène des Mauritanides, présentant des populations de zircons détritiques semblables aux trois échantillons de roches tectonisées de l'orogène des Mauritanides, avec des populations similaires de zircons détritiques, et avec de trois des codes-barres, sont également évoqués dans le même esprit.

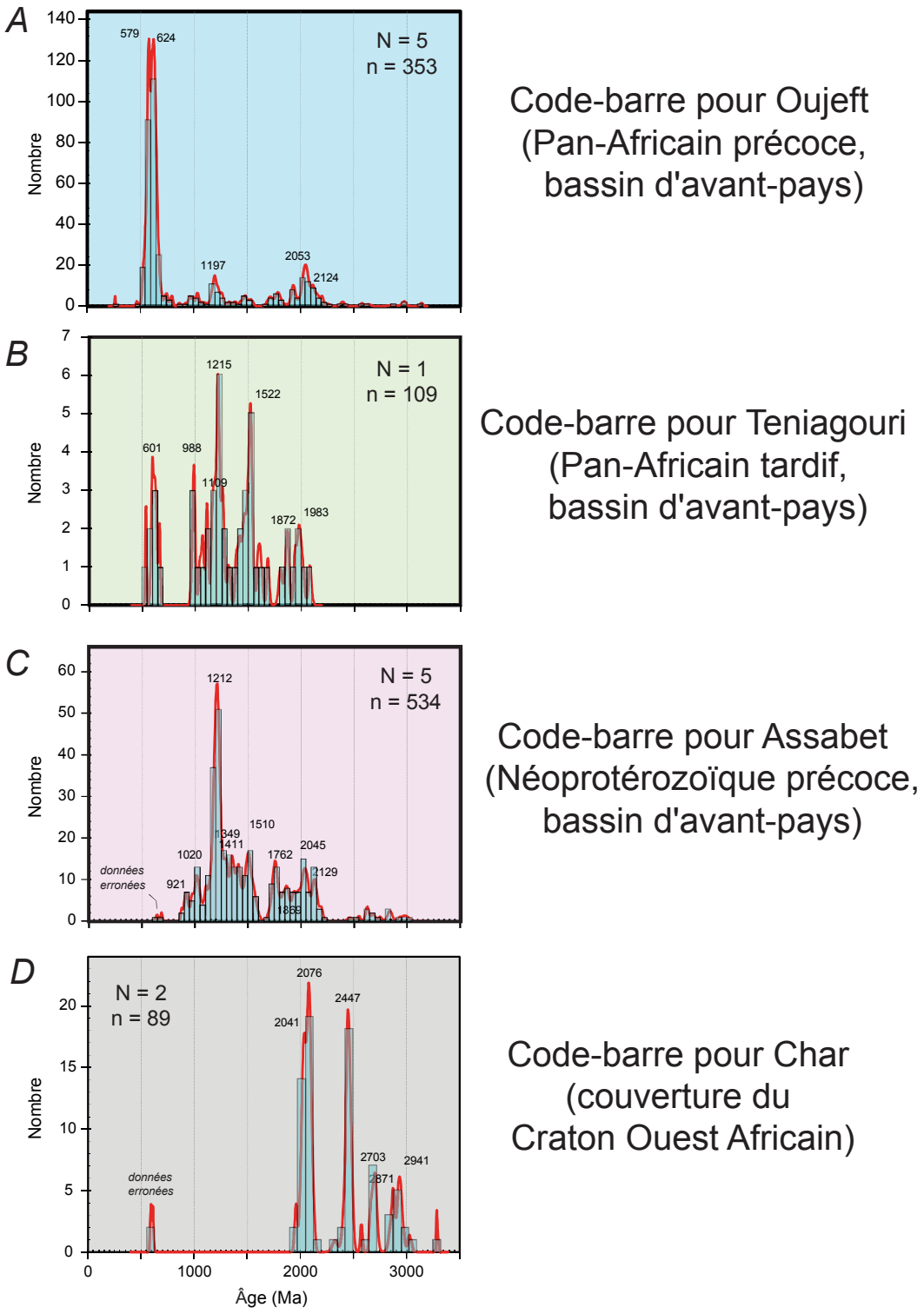

Figure 63. Tracé de la distribution des âges composites de quatre codes-barres de zircons détritiques, présentés du plus jeune au plus ancien. (*A*) Le code barre d'Oujeft, qui combine les données des échantillons DB07RIM26a, DB07RIM28a, DB07RIM61a, DB07RIM75a, CT07RIM60-1. (*B*) Le code-barres de Téniagouri, basé sur l'échantillon DB07RIM77a. (*C*) Le code-barres d'Assabet, qui combine les données des échantillons DB07RIM31a, DB07RIM59a, CT07RIM70-1, CT07RIM71-1, and CT07RIM72-1. (*D*) Le code-barres de Char, qui combine les données des échantillons DB07RIM23a (nouvelle analyse) et CT22.

7.2. Code-barres de Char et signature des zircons détritiques Mésoprotérozoïques du Craton Ouest Africain

Le code-barres des zircons détritiques de Char est un ensemble composite formé des deux échantillons les plus anciens en notre possession provenant du Bassin de Taoudéni (Fig. 8). Le Groupe de Char surmonte directement les roches du socle du Complexe d'Amsaga, dans le Bassin de Taoudéni, suivant une profonde discordance. Le Groupe d'Atar surmonte ensuite le Groupe de Char, et possède une distribution des âges du zircon similaire. Comme décrits dans les Sections 3.1, de nombreux zircons de l'échantillon du Groupe de Char (CT22) ont montré des indices de pertes de Plomb significatives, avec seulement 17 âges ayant passé avec succès un filtre assez tolérant. Comme décrit à la Section 3.2, l'échantillon du Groupe d'Atar (DB07RIM23a) a été analysé deux fois, et les résultats de la seconde analyse sont retenus pour le code-barres. Le code-barres de Char présente des pics majeurs à 2 447, 2 076, et 2 041 Ma, ainsi que des pics moins importants à 2 941, 2 871, et 2 703 Ma (Fig. 63D). Le code-barres est important pour quatre raisons : (1) les strates sur lesquelles il est basé sont correctement datées (le Groupe d'Atar est d'environ 1 107 Ma, comme évoqué à la Section 3.2) ; (2) ces strates reposent sur le socle du Craton Ouest Africain ; (3) les maximums d'âge possèdent des sources plausibles au sein du Bouclier de Rgueïbat ; et (4) les codes-barres de Char, et ensuite d'Assabet, sont complètement différents, et témoignent donc d'un changement radical de provenance.

7.3. Le code-barres d'Assabet et les implications pour les reconstitutions du supercontinent Rodinia

Le code-barres des zircons détritiques d'Assabet est un ensemble composite de cinq échantillons ayant une distribution des âges similaire (Fig. 63C), l'ensemble desquels corespondant à des strates horizontales ayant été déposées sur le Craton Ouest Africain. Il tire son nom du Groupe d'Assabet El Hassiane, qui, avec le Groupe d'Aioun, le Groupe de Khang Naam, et le Groupe de Cheikhia, forment une succession clastique majeure qui a recouvert de grandes parties du craton. Le tracé de probabilité montre un pic majeur à 1 212 Ma, et des pics de moindre ampleur à 2 129, 2 045, 1 869, 1 762, 1 510, 1 411, 1 349, 1 020, et 921 Ma. Un minimum très apparent est centré autour de 1 650 Ma. Comme indiqué auparavant, le Groupe d'Assabet El Hassiane a précédemment été considéré d'âge Néoprotérozoïque moyen, à environ 695 Ma, sur la base de la datation Rb-Sr des argiles (Clauer, 1976 ; Clauer et al., 1982), une technique de datation abandonnée depuis longtemps. Le code-barres de l'ensemble composite comprend deux grains « récents » (685±17 et 643±23 Ma) qui sont assez proches de la datation de l'argile. Mais ces datations du zircon ne se superposent pas dans la marge d'erreur, et ne constituent donc pas une population statistique significative. Le groupement de datations de zircon détritique le plus récent, provenant d'un seul échantillon, est de 878 Ma, issu de la Formation de Freidi, du Groupe d'Aioun.

Deux échantillons de faciès glaciogénique du Groupe de Jbéliat (DB07RIM29c et CT07RIM73-1) possèdent des distributions des âges des zircons détritiques qui évoquent le code-barres d'Assabet. Les échantillons proviennent de strates horizontales, dont la position dans le Bassin de Taoudéni est bien contrainte. Au sein de la distribution des âges composites définissant le code-barres d'Assabet (Fig. 63C), nous avons écarté deux échantillons de Jbéliat, car ils représentent un évènement de sédimentation particulière, lié à l'abrasion glaciaire du craton.

Quatre échantillons de l'orogène des Mauritanides présentent le code-barres d'Assabet. Dans les Mauritanides Centrales, ceux-ci proviennent du Groupe de Djonaba et du Groupe de Gadel. Les deux unités de roches ont été interprétées comme parautochtone (Pitfield et al., 2004), puisqu'elles affleurent dans la partie intérieure (Est) de la ceinture des roches ultramafiques disloquées, qui marquent la suture entre les

roches appartenant à l'Afrique de l'Ouest, et les roches appartenant à un arc allochthone Néoprotérozoïque. Au Nord des Mauritanides, des échantillons, à la fois du Groupe de Eizzene et du Groupe d'Oumachoueïma, présentent le code-barres d'Assabet. L'interprétation la plus plausible est que l'ensemble des couches des Mauritanides présentant le code-barres d'Assabet sont parautochtones, et appartiennent au même ensemble stratigraphique du Néoprotérozoïque précoce que les strates reposant à l'horizontale. La partie la plus à l'Ouest de ces ensembles était impliquée dans le raccourcissement des Mauritanides.

Une autre présence importante de roches Néoprotérozoïques présentant le code-barres d'Assabet est située au Ghana, de l'autre côté du Craton Ouest Africain. Kalsbeek et al. (2008) a présenté des données de zircons détritiques qui sont remarquablement similaires à Assabet. En particulier, leur échantillon GH2, provenant du Groupe de Bombouaka, à la base de la succession horizontale du Bassin de la Volta, qui présente des âges maximums d'environ 1 188, 1 964, 2 022, et 2 081 Ma. Kalsbeek et al. (2008) font allusion à un indice plus ancien (source d'origine : Junner, 1940) indiquant que le Groupe de Bombouaka a été déposé par des paléocourants de direction Nord. Un autre de leurs échantillons (Gh12, unité du Togo) provient de l'orogène des Dahomeyides. Sa population de zircons détritiques montre des âges maximum à 1 202, 1 534, et 1 799 Ma. Le code-barres est donc visible au niveau du Craton Ouest africain comme des orogènes le bordant à la fois à L'Est et à l'Ouest.

L'interprétation tectonique dominante du Groupe d'Assabet El Hassiane date d'une période avant qu'aucune des données concernant ces zircons détritiques ne soient disponibles. Selon cette interprétation, le Groupe d'Assabet El Hassiane et ses éléments associés se sont déposés au sein d'un bassin d'avant-pays des Mauritanides, lié à l'orogénie Panafricaine I, aux environs de 650 Ma (Pitfield et al., 2004, Section 7.2.1 ; ainsi que Lahondère et al., 2003, Section 7.2.3). L'épaisseur, la répartition, et un faciès fluvial sont en cohérence avec le contexte proposé de bassin d'avant-pays, de même qu'est cohérent le changement radical de provenance du code-barres de Char vers celui d'Assabet. Toutefois, plusieurs séries d'indices ne sont pas si facilement conciliables avec un dépôt au sein d'un bassin d'avant-pays des Mauritanides. Tout d'abord, le dépôt d'Assabet et des éléments associés, aux environs de 650 Ma, impliquerait un intervalle d'environ 200 Ma entre les âges des zircons les plus récents et le moment du dépôt du bassin d'avant-pays. Nous n'avons pas connaissance d'un autre bassin d'avant-pays dans le monde où un phénomène de cet ordre ait été signalé. En second lieu, les caractéristiques de paléocourants d'Assabet El Hassiane, et des éléments associés, sont de manière dominante orientés vers le Nord, au niveau de trois localisations étendues du Bassin de Taoudéni (Fig. 64). Ces caractéristiques ne sont pas facilement conciliables avec une origine située au niveau de l'orogène des Mauritanides. En troisième lieu, aucune source de zircon primaire connue ne pourrait avoir fourni les zircons principalement Mésoprotérozoïques qui dominent le code-barres d'Assabet. Les seules roches des Mauritanides pouvant avoir fourni des zircons Mésoprotérozoïques sont des roches métasédimentaires, comme évoqué plus haut dans le texte. Ces strates tectonisées constituent une source plausible de zircons recyclés Mésoprotérozoïques. Mais cela ne fait que déplacer le problème : quelle a donc été la source de zircons détritiques Mésoprotérozoïques des roches parautochtones Ouest Africaines ?

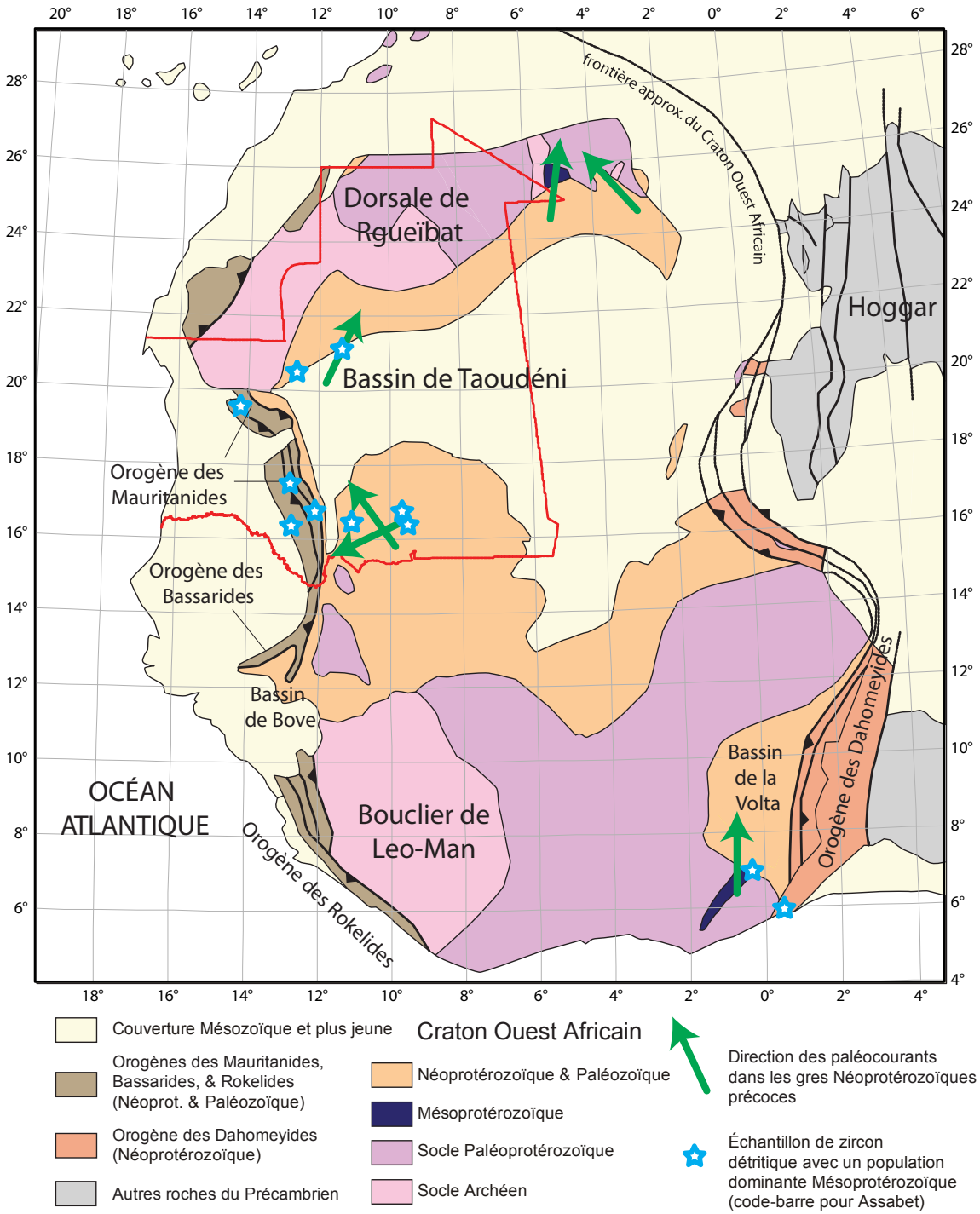

Figure 64. La carte du Craton Ouest Africain et des orogènes qui le bordent montre des directions de paléocourants généralisées (flèches vertes), ainsi que des localisations d'échantillons de zircons détritiques qui présentent le code-barres d'Assabet (étoiles bleues). Les directions de paléocourant proviennent d'un faciès fluvial du Groupe d'Assabet El Hassiane au niveau de Guelb El Richat (Moussine-Puchkine et Bertrand-Sarfati, 1997), du Groupe de Cheikhia, dans la région de Hank (Moussine-Puchkine et Bertrand-Sarfati, 1997), du Groupe d'Aioun, dans l'extrême Sud de la Mauritanie (Lahondère et al., 2005 - Leurs Figs. 13 et 14), et du Groupe de Bombouaka, au Ghana (Junner, 1940). Les localisations de zircons détritiques proviennent de la présente étude, à l'exception de ceux qui concernent le Bassin de la Volta et des échantillons des Dahomeyides, qui sont tirés de Kalsbeek et al. (2008).

Une interprétation alternative, proposée ici, est que le Groupe d'Assabet El Hassiane s'est déposé aux environs de 850-975 Ma, au niveau d'un bassin d'avant-pays du Néoprotérozoïque précoce (par opposition à tardif). Nous mentionnons cette attribution d'âge dans la légende de la carte géologique à l'échelle 1/ 1 000 000ème (livrable 51). Comme noté ci-dessus, la répartition, ainsi que le faciès fluvial des strates portant le code-barres d'Assabet, sont en cohérence avec un contexte d'avant-bassin. Le motif de paléocourant (Fig. 64) laisse supposer que la source de sédiments était au Sud (direction actuelle). Un tel orogène aurait formé la bordure Sud du Craton Ouest, grossièrement aligné avec, et au Sud, de la côte actuelle du Ghana et de la Côte d'Ivoire.

Quel que soit le moment du Néoprotérozoïque où Assabet et ses équivalents ont été déposés (environ 880 ou environ 650 Ma), la présence d'un grand volume détritique d'âge Mésoprotérozoïque au sein des strates Néoprotérozoïques d'Afrique de l'Ouest a d'importantes implications pour les hypothèses de reconstitution du superconcontinent Protérozoïque, à savoir Rodinia. Les nouveaux résultats de datation des zircons détritiques suggèrent fortement qu'à un certain point du Néoprotérozoïque (environ 875 Ma), le Craton Ouest Africain doit avoir été relativement proche d'un orogène du Mésoprotérozoïque tardif au Néoprotérozoïque le plus précoce (« âge de Grenville »). Les reconstitutions existantes de Rodinia ne satisfont pas cette exigence (Fig 65 et 66). Les reconstitutions de Dalziel (1997), Pisarevsky et al. (2003), ainsi que de Li et al. (2008) montrent l'Afrique de l'Ouest resituée dans différentes positions contre le Craton Amazonien, et entourée sur trois côtés par l'océan mondial (Fig. 65). Dans une reconstitution très différente d'Evans (2009), la bordure des Dahomeyides de l'Afrique de l'Ouest est resituée dans une position contre la bordure en cordillère du Canada de la Laurentie (Fig. 65). Dans l'ensemble des reconstitutions, la localisation de l'Afrique de l'Ouest n'a été trouvée que dans second temps. Une reconstitution récente de Rodinia, qui a traité spécifiquement de la position de l'Afrique de l'Ouest, est celle de Johansson (2009) (Fig. 66). Cette reconstitution, qui ne traite que d'une partie de Rodinia, situe la bordure des Mauritanides d'Afrique de l'Ouest contre la bordure Sud-Est de Baltica. La reconstitution de Johansson (2009) présente toutefois les mêmes inconvénients que les autres : l'Afrique de l'Ouest aurait été éloignée de toute ceinture orogénique connue de 1,3 à 1,0 Ga pouvant avoir été une source de zircons Mésoprotérozoïques détritiques. En résumé, nos nouveaux résultats de zircons détritiques mauritaniens montrent le besoin d'une nouvelle reconstitution de Rodinia.

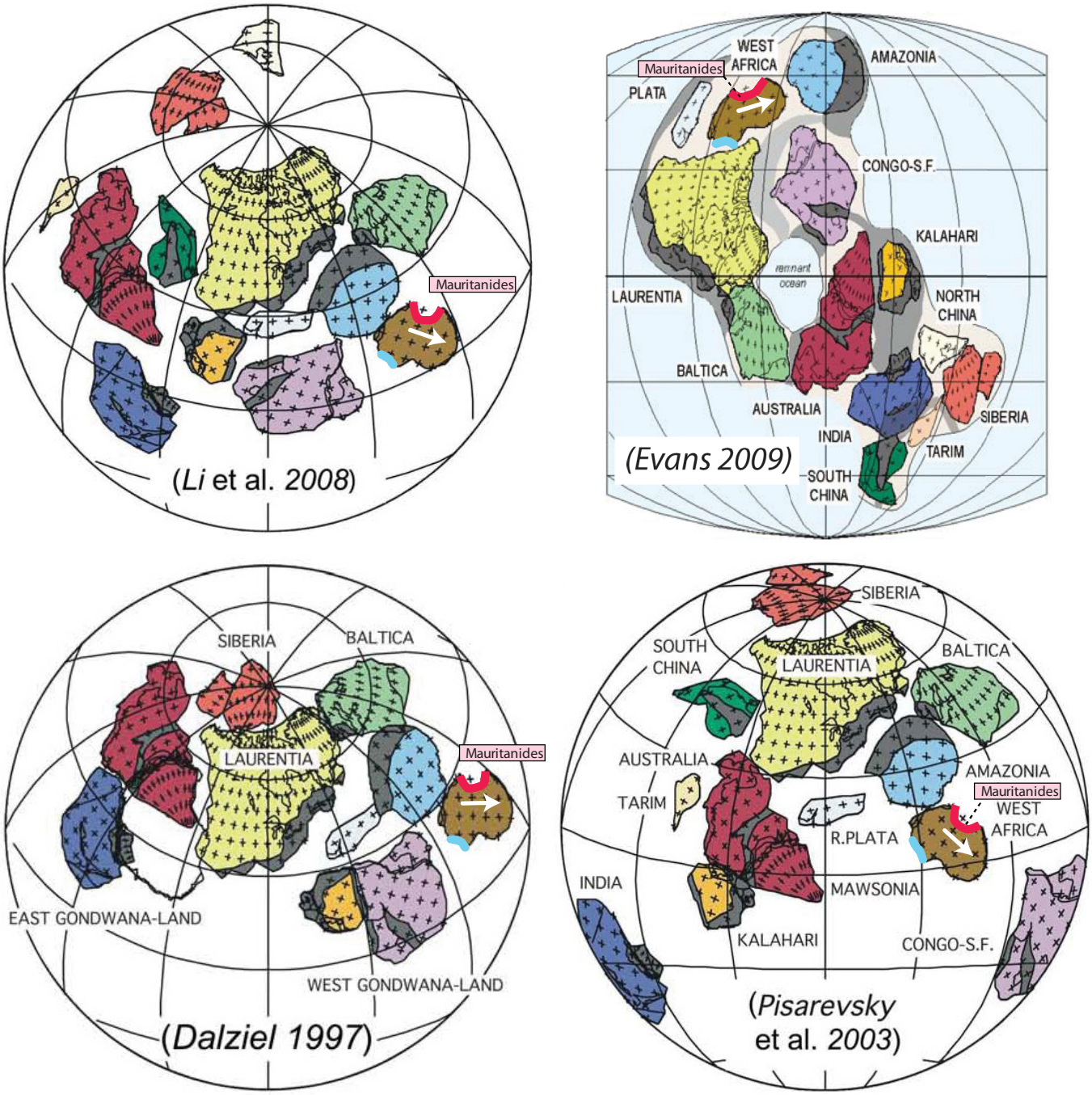

Figure 65. Quatre reconstitutions alternatives du supercontinent supposé de Rodinia, telles que retracées par Evans (2009) à partir des sources d'origine citées. Les continents sont présentés dans les mêmes couleurs sur chaque carte du monde Néoprotérozoïque. L'Afrique de l'Ouest est colorée en brun. Sa bordure des Mauritanides est soulignée en rouge, et sa bordure des Dahomeyides en bleu. Les flèches blanches de chaque reconstitution sont positionnées au-dessus du Bassin de Taoudéni, et représentent la direction générale du paléocourant des strates portant de code-barres d'Assabet, dans les coordonnées rétablies. Les ceintures grises montrent les ceintures orogéniques Mésoprotérozoïques (« âge de Grenville »), qui correspondent grossièrement à l'âge des zircons détritiques. Aucune de ces reconstitutions n'apporte d'explication évidente au détritisme Mésoprotérozoïque sur le Craton Ouest Africain.

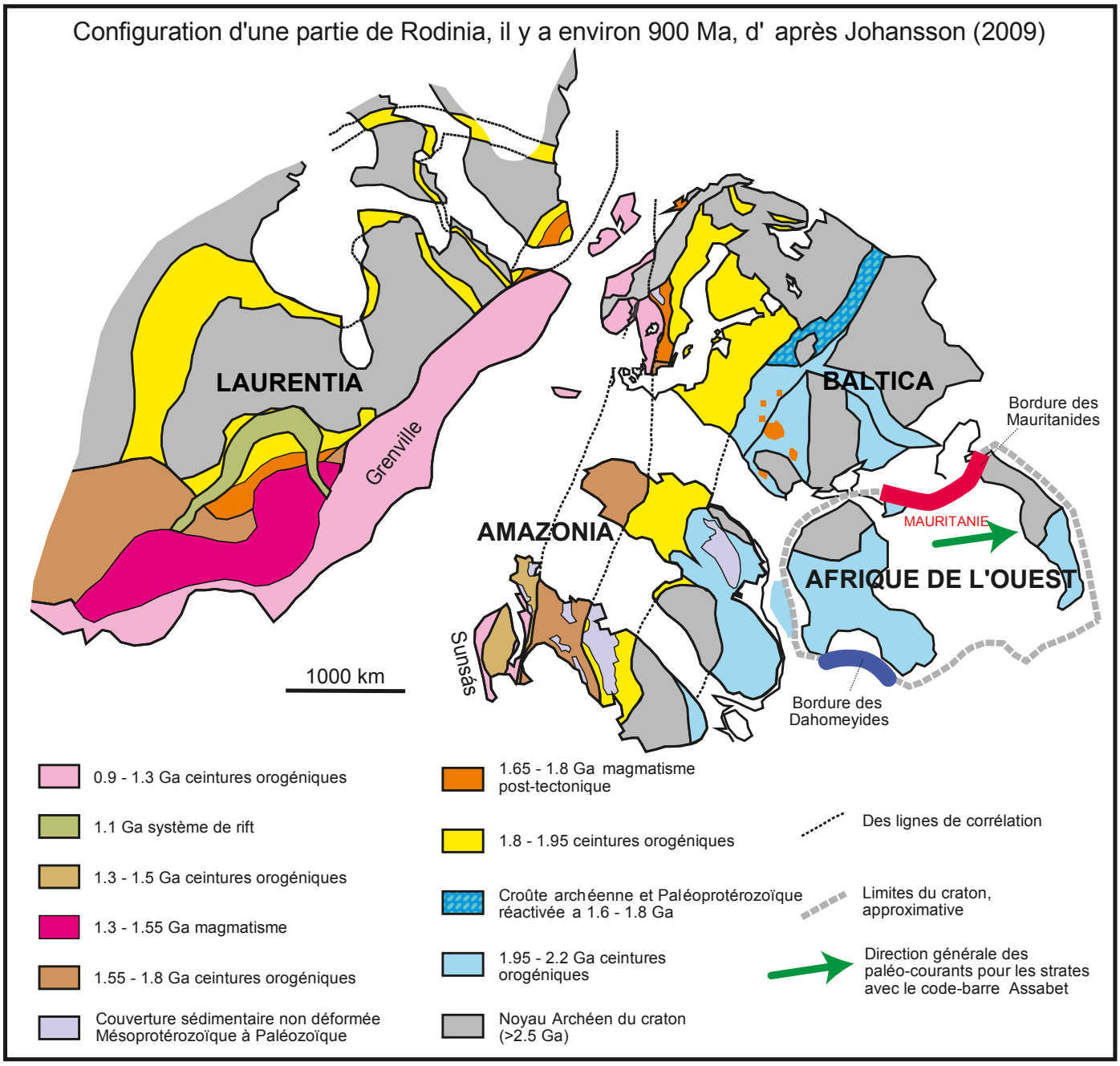

Figure 66. Reconstitution proposée d'une partie du supercontinent supposé de Rodinia, tirée de Johannson (2009). La bordure des Mauritanides d'Afrique de l'Ouest est soulignée en rouge, et sa marge des Dahomeyides en bleu. La flèche verte est positionnée au-dessus du Bassin de Taoudéni. Elle représente la direction générale du paléocourant, dans des coordonnées restaurées, pour des strates renfermant le code-barres des zircons détritiques d'Assabet. Les ceintures orogéniques entre 1 300 et 900 Ma sont présentées en rose. Dans cette reconstitution, l'Afrique de l'Ouest est éloignée de toute source potentielle de zircon de cet âge.

7.4. Le code-barres d'Oujeft et le lien avec l'orogénie Panafricaine

Le code-barres des zircons détritiques d'Oujeft est un ensemble composite provenant de cinq échantillons du Groupe d'Oujeft, ayant des distributions d'âges du zircon similaires (Fig. 63A). Des pics majeurs sont présents à 624 et 579 Ma, et des pics moins importants à 2 124, 2 053, et 1 197 Ma. La majorité des zircons a été directement ou indirectement issue de sources magmatiques du Néoprotérozoïque tardif et du Cambrien (pics à 624 et 579 Ma). Les zircons Paléoprotérozoïques (pics à 2 124 et 2 053 Ma) et Mésoprotérozoïques (pic à 1 197 Ma) sont probablement des zircons détritiques recyclés, provenant de strates plus anciennes de l'orogène des Mauritanides, comme décrit à la Section 7.2. Ces grès Cambriens à Ordoviciens, reposant à plat, forment le flanc des Mauritanides, et peuvent être interprétées comme bassins d'avant-pays sur la base de leur lithologie, position, et âge.

Les strates présentant le thème d'Oujeft, au sein de l'orogène, peuvent être interprétées comme les dépôts d'une partie déformée du même bassin d'avant-pays Panafricain. Dans les Mauritanides Centrales, les échantillons provenant de la Formation d'Oued Kav, du Groupe d'El Fadra, présentent le code-barres d'Oujeft. Les résultats des zircons détritiques provenant du Groupe de Oua-Oua, qui ont été obtenus par le BRGM pendant la phase I de PRISM (Lahondère et al., 2005, p. 473), appartiennent également au code, comme défini ici. Dans le Nord des Mauritanides, deux échantillons de la Formation de Sainte Barbe, ainsi qu'un Groupe non-divisé d'Oumachoueïma, présentent aussi le code-barres d'Oujeft.

Les échantillons de zircons détritiques présentant de code-barres d'Oujeft sont présentés sur un tracé généralisé temps-distance, qui fait le lien entre les roches déformées et non-déformées (Fig. 67). Cela peut être considéré comme un schéma de corrélation des hypothèses, illustrant les attributions d'âge stratigraphique pouvant être déduits, dans le cas où l'âge des zircons détritiques, au sein du bassin d'avant-pays des Mauritanides, suit le motif observé au sein de nombreux autres bassins d'avant-pays. Trois dégagements de responsabilité doivent être évoqués. Tout d'abord, les âges stratigraphiques au sein de l'orogène sont très médiocrement contraints – en fait si médiocrement que les nouvelles données de zircons détritiques apportent le principal contrôle de l'âge. En second lieu, comme détaillé dans le Tableau 2, les « âges maximum de dépôt », indiqués pour chaque échantillon, sont quelque peu subjectifs, particulièrement si l'on considère les petites populations de zircons concernées. En troisième lieu, l'« âge maximum de dépôt » d'un échantillon n'a pas besoin de se situer à proximité d'un âge réel de dépôt, bien que dans des contextes d'avant-bassin, les deux sont généralement proches. En gardant ces clarifications à l'esprit, les caractéristiques les plus significatives de la Figure 67 sont les suivantes : (1) parmi les strates présentant le code-barres d'Oujeft, les plus récentes sont localisées dans l'avant-pays horizontal (Groupe d'Oujeft), et les plus anciennes sont au sein de l'orogène (par exemple, Groupe d'El Fadra, Formation d'Oued Kav). Il s'agit d'une caractéristique habituelle au niveau mondial, ce qui est simplement une conséquence de la migration d'un bassin d'avant-pays de concert avec la convergence de plaques responsable de son existence (Bradley et Kusky, 1986). (2) Les âges maximums de dépôt, basés sur les zircons détritiques de roches présentant le code-barres d'Oujeft, possèdent un intervalle pratiquement continu de 574 à 524 Ma—un intervalle substantiellement plus important que celui de 575-550 Ma indiqué pour l'orogénie Panafricaine II par Lécorché et al. (1989). Par conséquent, nous suggérons que les strates de l'orogène présentant le code-barres d'Oujeft fassent partie de la même succession de dépôts que les roches horizontales. L'ensemble de ces strates se sont déposées dans un système de bassin d'avant-pays, migrant vers le craton qui a été recouvert ou déformé sur sa bordure Ouest, tandis que le basin progressait vers l'Est.

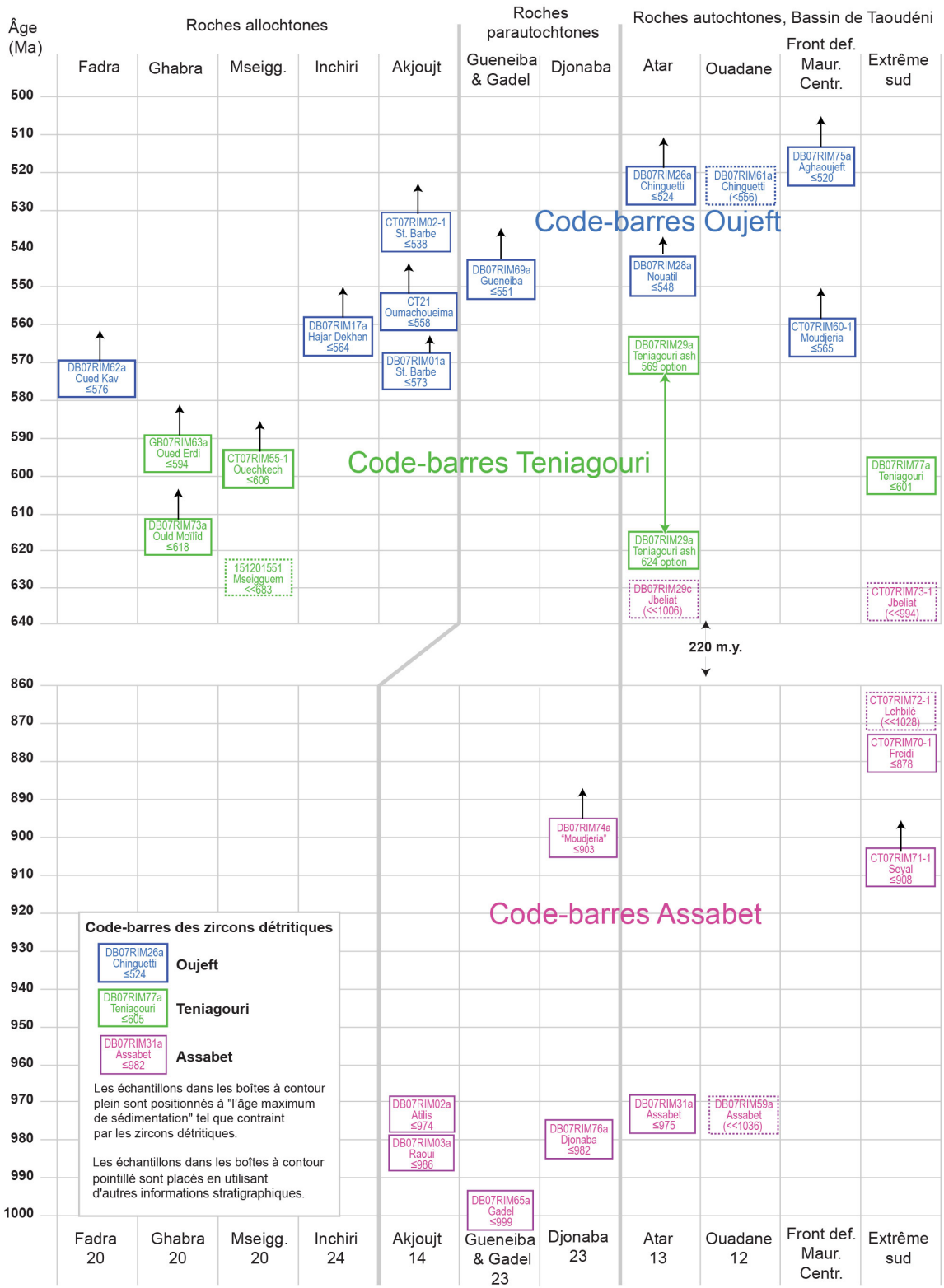

Figure 67. Schéma de corrélation provisoire, basé sur les résultats des zircons détritiques, faisant le lien entre les strates non-fossilifères et tectonisées au sein de l'orogène des Mauritanides, et la succession reposant essentiellement à plat du Bassin de Taoudéni. Deux options sont présentées pour l'âge de l'échantillon DB07RIM29a, du Groupe de Téniagouri, en fonction de l'interprétation d'une population complexe de zircons. Les nombres en bas des colonnes verticales sont liées à la Figure 7.

7.5. Le code-barres de Téniagouri et le lien avec l'orogénie Panafricaine

Le code-barres des zircons détritiques de Téniagouri (Fig. 63B) combine les principaux éléments des codes-barres d'Assabet et d'Oujeft. Il est basé sur un échantillon de zircon détritique provenant du Groupe de Téniagouri, à faible pendage. La démarche sur laquelle est basée le code-barres, concernant cet échantillon unique, est que plusieurs échantillons prélevés au sein de l'orogène ont des populations de zircons détritiques similaires, mais que l'échantillon de Téniagouri est le seul, au sein d'un contexte structurel simple, dont l'environnement stratigraphique est bien contraint. Les maximums majeurs de la population au sein du code-barres de Téniagouri sont de 1 522 et de 1 215 Ma, avec des pics de moindre ampleur à 1 983, 1 872, 1 109, 988, et 601 Ma. L'échantillon qui a défini le thème provient de l'avant-pays des Mauritanides. Ici, le Groupe de Téniagouri est une séquence progressant vers le haut de chailles et siltites siliceuses à la base, à des ensembles de type flysch et des turbidites tufacées au sommet (Pitfield et al., 2004, Section 4.3.5). L'évolution de faciès est semblable à ce qui est observé dans le monde au niveau de fosses mieux étudiées (Bradley, 2008).

Au sein de l'orogène, les strates ayant le thème de Téniagouri peuvent être interprétées comme une partie extérieure d'un bassin d'avant-pays Panafricain, qui a ensuite subi une déformation. Dans les Mauritanides Centrales, à l'Ouest de la zone de suture, deux échantillons du Groupe d'El Ghabra, ainsi que deux échantillons du Groupe d'El Mseigguem, présentent le code-barres de Téniagouri (l'un d'entre eux a été signalé par Lahondère et al., 2005, leur Figure 78). Dans le Nord des Mauritanides, un échantillon du Groupe d'Eizzene rappelle le code-barres de Téniagouri.

Le code-barres de Téniagouri est semblable au code-barres d'Assabet, mais avec en plus de nombreux zircons datant d'environ 600 Ma. Nous faisons l'hypothèse qu'il représente le détritisme d'une mise en place précoce de la ceinture orogénique des Mauritanides. En particulier, nous suggérons que les zircons détritiques, entre environ 2 et 1 Ga, ont été recyclés à partir de strates tectonisées possédant le code-barres d'Assabet, et que les zircons d'environ 600 Ma provenaient d'une source orogénique incluant des roches magmatiques de cet âge. Une importante conclusion est que les turbidites de Téniagouri sont beaucoup trop récentes pour être issues syntectoniquement de l'orogène imaginé à environ 650 Ma, et que Lécorché et al. (1989) ont qualifié de Panafricain I. Les âges maximums de dépôt de roches ayant le thème de Téniagouri poursuivent la progression des âges, de façon à ce que les échantillons présentant les codes-barres d'Oujeft et de Téniagouri aient des âges maximums de dépôt s'échelonnant presque de manière continue de 622 à 520 Ma.

7.5. Orogénèse Paléozoïque tardive au sein des Mauritanides

Peut-être en raison du phénomène « dernier à être entré – premier à être sorti », l'évènement Hercynien le plus récent, aux environs de 300 Ma n'a pas laissé d'important bassin proximal d'avant-pays correspondant à l'orogène des Mauritanides. La seule unité de bassin d'avant-pays Paléozoïque tardif reconnue jusqu'à maintenant est la Formation de Kandou (Lahondère et al., 2005, p. 357-358), un conglomérat ponctuel et non-déformé qui apparaît en contact de charriage avec les tectonites du Groupe de Gueneiba. L'extension cartographique de cette unité est relativement petite, et il n'existe pas de contrôle direct de l'âge, si bien que l'interprétation du contexte de dépôt du bassin d'avant-pays Hercynien est subjective.

Bien qu'il ne nous ait pas été possible de prélever d'échantillon de la Formation de Kandou, il nous est possible de faire une nouvelle hypothèse sur l'évènement Hercynien des Mauritanides, à partir de la distribution des âges des zircons détritiques du Groupe beaucoup plus récent (Jurassique ou Crétacé) de Néma. La distribution des âges des zircons détritiques de l'échantillon du Groupe de Néma (Fig. 28) évoque

le code-barres d'Oujeft. Nous formulons l'hypothèse que le détritisme du Groupe de Néma, provient soit directement des Mauritanides, soit est recyclé à partir de strates comme le Groupe d'Oujeft. La distribution des âges du zircon détritique de Néma est remarquable pour son absence de zircons détritiques plus récents que le Cambrien. Cela laisse imaginer que l'épisode orogénique Hercynien de la Mauritanie n'a pas impliqué de magmatisme, une interprétation déjà suggérée par le manque de plutons récents au sein de la partie visible des Mauritanides. La région source du Groupe de Nema n'aurait pas été simplement limitée à la partie de l'orogène qui perce actuellement à travers les sables du désert, ou aux dépôts Cénozoïques de la plaine côtière—bien en dessous d'un quart de la partie africaine de l'orogène Hercynien-Alleghanien. L'absence de magmatisme au Paléozoïque tardif du côté africain s'oppose de manière marquée avec ce qui est observé du côté Appalaches de l'orogène de collision, où des plutons datent de l'ensemble des périodes allant du Néoprotérozoïque au Permien (Hibbard et al., 2006).

7.6. Examen du résultat concernant les zircons détritiques posant problème

Parmi les résultats de zircons détritiques présentés et examinés aux Sections 3 à 6, plusieurs échantillons ont produit des résultats problématiques. Chacun de ces échantillons possèdent une variante du même problème : des âges proches de 600 Ma qui sont en première approche trop récents pour l'âge de dépôt supposé.

Nous examinerons plusieurs explications possibles de ces résultats inattendus, mais nous considèreront auparavant, et à nouveau, trois déterminations d'âge effectuées au cours de PRISM 1. À la fois le BGS et le BRGM ont rencontré un problème de zircons « trop récents » au sein des roches Précambriennes de Mauritanie. (1) Dans la région de Guelb Moghrein, Pitfield et al. (2004, Section 3.5.3.4 ; et également l'Annexe 5, p. 8) ont prélevé quatre populations de zircons morphologiquement distinctes, à partir de ce qui était cartographié comme une leucotonalite, affleurant comme une couche intercalaire au sein de la ceinture d'affleurements du Groupe d'Eizzene. Neuf zircons euhédraux ont produit un groupement d'âges $^{207}Pb/^{206}Pb$ Mésoarchéens, avec une moyenne de 2 909±18 Ma, en cohérence avec une valeur globale εNd pour l'ensemble de la roche extrêmement négative. Toutes ces informations laisseraient à penser que la leucotonalite a été correctement identifiée, et correspond à une roche Mesoarchéenne. Toutefois, seize zircons provenant des autres populations, certains arrondis, ont produit des résultats, de concordants à presque concordants, avec des âges $^{206}Pb/^{238}U$ entre 882 et 540 Ma. Dans l'Annexe 5 du rapport de Pitfield et al. (2004), le géochronologiste, Monsieur Horstwood, a évoqué la possibilité que la roche soit une roche (méta)sédimentaire Néoprotérozoïque ou plus récente ($\geq$ 550 Ma), formée à partir d'un détritisme issu en partie d'un granitoïde Mésoarchéen, et en partie de sources Néoprotérozoïques. Cette question a été laissée sans solution. (2) Lahondère et al. (2003, p. 164) ont signalé un problème similaire concernant un échantillon d'andésite du Groupe de Blekhzaymat. Sur la base de l'analyse de seize zircons, ils ont noté quatre âges concordants : 3 049±5, 2 069±10, 1 782±38 Ma, et 594±12. Le plus grand regroupement d'analyses suggère un âge raisonnable géologiquement de 2 069 Ma pour l'andésite. Les autres âges représentent des zircons uniques. La datation à 3 049 Ma peut être interprétée comme un zircon détritique, ou comme un xénocristal ayant été incorporé au sein de l'andésite lors de l'éruption. Mais cette interprétation ne peut pas être invoquée pour les zircons concordants de 1 782 et 594 Ma, qui sont plus récents que l'âge estimé de l'activité volcanique. L'un ou l'autre de ces âges plus récents pourraient témoigner d'un évènement de réinitialisation—mais pas les deux, car les deux sont concordants. Lahondère et al. (2003) n'ont pas proposé d'interprétation. (3) Le Grand Dyke mafique à intermédiaire d'Ahmeyim recoupe les roches Mésoarchéennes de la région de Tasiast. Pitfield et al. (2004, Section 5.1.2.6 ; et également l'Annexe 5, p. 10-11, échantillon 201401401) ont signalé quatre âges TIMS U-Pb concordants sur des cristaux uniques de zircon, avec des âges d'environ 750, 600, et 550 Ma. Ils ont cité un âge

d'environ 550 Ma. Une datation Néoprotérozoïque plus tardive est problématique, mais cette fois en raison du fait que cet échantillon est un gabbro folié, provenant d'une région cratonique, dans laquelle la dernière déformation pénétrante s'est déroulée au cours de l'Archéen. Plus récemment, Tait et al. (2013) ont noté des âges TIMS U-Pb sur quatre fractions de badelleyite, donnant un âge de sécante étroit de 2 733±2 Ma. L'âge de la badelleyite est crédible sur le plan géologique, alors que les datations des zircons récents ne le sont pas.

Pour en revenir à nos résultats problématiques, un scénario est que certains échantillons, et références d'échantillons, ont été inversés par inadvertance. Cette possibilité semble improbable, considérant les protocoles méticuleux de manipulation d'échantillons utilisés en routine depuis des dizaines d'années. Bien qu'il ne puisse pas être spécifiquement évalué pour l'ensemble des échantillons, un mélange d'échantillons peut être totalement exclu pour les échantillons DB07RIM23a (Groupe d'Atar), DB07RIM52a (Complexe de Tsalabia el Khadra), DB07RIM53a (Complexe de Ghallamane), et DB07RIM54a (Groupe de Blekhzaymat). Après la première série d'analyses, lorsque ces échantillons particuliers ont produit des datations « trop récentes », nous avons soumis un autre sous-échantillon de chacun à la société *Apatite to Zircon, Inc.*, où ils ont été analysés comme échantillons à l'aveugle. Ces résultats sont suffisamment similaires (les différences étant attribuables à différentes stratégies de prélèvement) pour exclure un quelconque mélange d'échantillons de ces roches. De plus, comme indiqué plus haut, le BGS et le BRGM ont également rencontré des zircons « trop jeunes » au sein du Bouclier de Rgueïbat, et donc le problème n'est pas retraçable comme correspondant à un seul laboratoire ou à une seule équipe de recherche.

Qu'en est-il de la possibilité qu'un zircon contaminant se soit glissé au moment de la manipulation d'échantillons ? En effet, il s'agit d'une préoccupation qui a amené la communauté mondiale des géochronologistes, s'intéressant aux zircons détritiques, à minimiser, comme nous l'avons fait au niveau de la présente étude, l'importance de « populations » d'âge définies seulement par un zircon unique. Un examen attentif n'a pas mis en évidence d'étapes dans le processus de séparation minérale dans les locaux d'*Apatite to Zircon, Inc.*—une société dirigée par un géochronologiste-ayant analysé des dizaines de milliers d'échantillons pendant les dix dernières années—au cours desquelles une contamination croisée aurait pu intervenir. À certains moments pendant le travail de terrain, nos sacs d'échantillons ont pris la teinte rougeâtre du sable du Sahara, mais la quantité de sable libre ayant pu entrer dans le broyeur en même temps qu'un échantillon particulier de roche n'aurait pu être qu'infime. La proportion de zircon dans les sables du Sahara est de la même manière minime, et l'ensemble de ces zircons n'auraient pas pu passer avec succès les filtres de concordance—rendant très improbable le fait que des zircons contaminants aient pu modifier de façon significative l'un quelconque des tracés de distribution des âges.

Nous examinons ensuite la possibilité qu'une surimpression Panafricaine ait été responsable, pour des âges d'environ 600 Ma. Une nouvelle compilation des âges isotopiques les plus fiables en provenance de Mauritanie (Fig. 68) montre des âges $^{40}Ar/^{39}Ar$ maximum à 624 et 595 Ma, c'est-à-dire environ le même âge que des zircons récents anormaux. Si un zircon de 2 000 Ma avait subi une perte partielle de Plomb à 600 Ma, il serait reporté hors de Concordia, sur une corde entre 2 000 et 600 Ma. Mais si le même zircon a subi une perte complète de Plomb aux environs de 600 Ma, il serait reporté comme un zircon de 600 Ma sur Concordia.

La croissance de nouveaux zircons, ou de bordures de zircons, pendant un évènement Panafricain, à environ 600 Ma, est une variante de cette éventualité. Malheureusement, la plus grande partie de nos analyses ont été conduites par LAICPMS, sans imagerie CL, de telle façon que cette possibilité ne peut pas être évaluée au niveau de la plupart des échantillons. Toutefois, nos analyses SIMS ont été réalisées en utilisant l'imagerie CL, largement comme aide au positionnement du faisceau ionique. Un échantillon, à savoir CT21 (Groupe d'Oumachoueïma), a produit une population inattendue de zircons d'environ 600 Ma

(Fig. 42). Les images CL de ces zircons montrent que les âges récents ne proviennent pas des bordures (Fig. 42B). Il devrait en outre être possible de trouver une voie alternative à l'absence d'images CL pour la plupart des échantillons, car les abondances de Th et de U sont obtenues en routine lors des analyses SIMS et LAICPMS. Ceci est possible car les zircons métamorphiques ou les excroissances (« bordures ») des zircons préexistants ont fréquemment de faibles teneurs en Thorium (Rubatto, 2002) et de faibles rapports Th/U (typiquement < 0,07). Nos données montrent, toutefois, que le rapport Th/U des zircons « trop jeunes » est dans l'intervalle normal de zircons magmatiques, typiquement de l'ordre de 1 (Tableaux 7 et 8). Une autre élément est le fait que bien qu'un évènement Panafricain puisse avoir expliqué certains âges anormaux d'environ 600 Ma, cette explication ne peut pas s'appliquer aux échantillons qui possèdent plus d'une population de zircons trop jeunes, tels que les groupements d'âges concordants aux environs de 1 000 et 600 Ma, au sein d'une roche sensée être datée de 2 000 Ma (par exemple, Fig. 61).

Par conséquent, pour l'ensemble des échantillons concernés, nous devons sérieusement envisager la possibilité que les âges problématiques représentent la datation de véritables évènements détritiques. Certains échantillons peuvent provenir de roches ayant été mal cartographiées, ou provenant d'unités cartographiques ayant été associées à une datation erronée. Étant donné le manque d'études récentes en Mauritanie, le niveau de reconnaissance de l'essentiel de la cartographie géologique, l'éloignement et les difficultés d'accès, le pourcentage généralement faible d'affleurements, ainsi que la complexité de l'histoire géologique, il est probable que de nombreuses associations erronées et de mauvaises datations soient présentes.

7.7. Implications pour la corrélation et la cartographie

Dans cette dernière section, nous mettons en valeur les résultats suggérant des modifications à la géologie de la Mauritanie. Comme décrit aux Sections 7.2 à 7.5, nos résultats de zircons détritiques provenant du Bassin de Taoudéni révèlent une séquence de quatre codes-barres provenant d'échantillons ayant des âges approximatifs de dépôt de 1 100, 900, 600, et 550 Ma. Ces caractéristiques, non seulement expliquent l'histoire du Bassin de Taoudéni, mais également améliorent notre compréhension des roches métasédimentaires de l'orogène des Mauritanides, à travers les corrélations possibles et les âges maximums de dépôt présentés sur la Figure 61. Considérés ensemble, les résultats des zircons détritiques du Bassin de Taoudéni et des Mauritanides forment un ensemble de données cohérent et riche d'enseignements.

Certains de nos échantillons suggèrent des changements mineurs à effectuer au niveau des limites sur la carte géologique. Bien que ces changements soient trop petits pour apparaître à l'échelle 1/1 000 000ème, nous avons tout de même modifié les contacts géologiques au sein du SIG. Les détails sont fournis en surimpression sur les différents échantillons, comme suit :

- Formation de Freidi, échantillon CT07RIM70-1 (Section 3.4).
- L'échantillon DB07RIM74a provenait aux roches cartographiées comme étant la Formation de Moudjeria, appartenant au Groupe de Oujeft, mais les zircons détritiques suggèrent que les roches appartiennent au Groupe de Djonaba (Section 3.9).
- Groupe de Gadel, échantillon DB07RIM65a (Section 4.2).
- Groupe de Gueneiba, échantillon DB07RIM69a (Section 4.3).
- Groupe de Gàoua, échantillons GB07RIM61A et GB07RIM62C (Section 4.8).
- Groupe d'Oumachoueïma, Membre de la quartzite d'Atilis, échantillon DB07RIM02a (Section 5.3).
- Groupe de Hajar Dekhen – Kleouat, échantillon DB07RIM17a (Section 5.5).
- Les autres révisions, ou possibles révisions, de la géologie qui sont plus complexe qu'un simple déplacement d'une limite cartographique sont les suivantes :

- Échantillons DB07RIM29C et DB07RIM80a, tous les deux des diamictites attribuées au Groupe de Jbéliat, apparaissant comme ayant une faible probabilité d'appartenir à la même couche de tillite. Nous suspectons que la tillite, au niveau de l'échantillon DB07RIM80a, est le produit d'une glaciation plus jeune, Ediacarienne (Section 3.5). Mais nous ne possédons pas suffisamment d'informations pour permettre un changement de la carte géologique à l'échelle 1/1 000 000ème (livrable 51).
- L'échantillon DB07RIM76a, provenant du Groupe de Djonaba, révèle que cette unité comprend des strates déformées qui sont corrélées avec le Groupe d'Assabet El Hassiane (Section 4.1).
- L'échantillon CT07RIM55-1, provenant du Groupe d'El Mseigguem, montre que cette unité cartographique est une construction artificielle, qui inclut des strates à la fois antérieures et postérieures au plutonisme d'environ 637 Ma (Section 4.4).
- Les échantillons GB07RIM63a et DB07RIM73a, provenant du Groupe d'El Ghabra, révèlent que cette unité cartographique est une autre construction artificielle, qui inclut des strates à la fois antérieures et postérieures au plutonisme d'environ 680 Ma (Section 4.6).
- Dans la région de Guelb Moghrein, nos six échantillons mettent au jour trois groupes d'âge distincts : Mésoarchéen, Néoprotérozoïque, et Néoprotérozoïque tardif à Cambrien. L'échantillon CT07RIM10-1 des éléments volcaniques de Sainte Barbe est d'âge Mésoarchéen. Ces roches doivent faire partie d'une écaille de charriage d'un socle ancien, tectoniquement intercalé avec des roches beaucoup plus récentes. Par opposition, des roches silicoclastiques provenant de la Formation de Sainte Barbe correspondent clairement au code-barres d'Oujeft. Elles sont d'âge Néoprotérozoïque tardif, peut-être même Cambrien. De plus, des échantillons de la Formation de Raoui, ainsi que le membre de la quartzite d'Atilis, appartenant au Groupe d' Oumachoueïma, ont produit des codes-barres des zircons détritiques ressemblant de manière étroite au code-barres d'Assabet. Par conséquent, la Formation de Sainte Barbe, telle qu'elle est actuellement cartographiée, constitue une construction artificielle de trois composants sans liens (Sections 5.1 to 5.4).
- Des anorthosites auparavant non-cartographiées ont été trouvées et datées au niveau de deux localisations du Complexe d'Amsaga : échantillons CT07RIM25-1 et CT07RIM22-1 (Section 6.3).
- Le Complexe supracrustal Paléoprotérozoïque de Tsalabia El Khadra est interprété comme comprenant au moins une petite zone d'affleurement de quartzite Néoprotérozoïque. Sur la carte géologique à l'échelle 1/1 000 000ème, nous avons retiré un polygone de la partie Paléoprotérozoïque, pour l'associer à une partie Néoprotérozoïque (Section 6.10).

8.0 Cadre géologique et tectonique de la Mauritanie

La Mauritanie peut être divisée en cinq régions géologiques majeures (Fig. 7) : le Bouclier de Rgueïbat—un complexe de socle Mésoarchéen à Paléoprotérozoïque ; le Bassin de Taoudéni—un bassin intracratonique Mésoprotérozoïque à Crétacé ; l'orogène des Mauritanides—une ceinture de montagnes Néoprotérozoïques à Permiennes ; le Bassin de Tindouf—un bassin Paléozoïque à Crétacé ; et le Bassin de la Côte Atlantique—une succession de marge passive Jurassique à récente. Nous examinons maintenant l'enchainement des évènements de tectonique de plaque, reconstruits à partir des roches de ces quatre ceintures, tirant des informations et des idées d'autres parties du Globe, comme cela est nécessaire en matière de mobilité des plaques et d'échelle de la tectonique des plaques. Les évènements sont examinés dans l'ordre dans lequel ils se sont déroulés, du passé vers le présent. Ils ont toutefois été reconstitués en ordre inverse, partant de ce qui peut être observé aujourd'hui, et travaillant en sens inverse vers les temps reculés, là où l'enregistrement des roches est mince, et difficile à déterminer. Une grande partie de l'histoire ancienne est basée sur une datation isotopique, provenant de publications nouvelles et récentes. Celles-ci sont résumées dans les Tableaux 2, 3, 4, et 9, ainsi qu'au niveau des Figures 2 à 6.

8.1. Géologie et tectonique Archéenne

La partie Archéenne du Bouclier de Rgueïbat, en Mauritanie, a été subdivisée de différentes façons (Key et al., 2008 ; Schofield et al., 2012) (Fig. 7). À l'extrême Ouest se situent les terrains de Tasiast-Tijirit de Key et al. (2008). Il s'agit d'un assemblage de greenstone classique, de granite, et de gneiss gris. Les plus anciennes roches sont des orthogneiss migmatitiques du Complexe de Çtel Ogmâne (Pitfield et al., 2004, Section 2.3.3.1). Ces roches ne sont pas datées, mais sont probablement plus anciennes que 2 970 Ma, puisqu'elles sont recouvertes par les ceintures de greenstones. Sept ceintures de greenstone sont inclues au sein des terrains de Tasiast-Tijirit, qui, d'Est en Ouest, sont formés des ceintures de greenstone de Hadeibt Lebtheinîyé, de Hudeibt Agheyâne, de Chami, de Kreidat, de Sebkhet Nich, d'Ahmeyim, et de Tijirit. Ces ceintures supracrustales sont toutes cartographiées comme des parties de la même unité pétrographique, à savoir le Groupe de Lebzenia. Les types de roches comprennent la quartzite, la phyllite, la Formation de Fer Rubanée, des métasédiments volcanoclastiques, des éléments felsiques à mafiques métavolcaniques, ainsi que des roches intrusives mafiques et ultramafiques. Une felsite a produit un âge U-Pb de zircon concordant de 2 968±2 Ma (Pitfield et al., 2004, Section 2.3.5). Les éléments mafiques métavolcaniques possèdent une signature de MORB, mais les roches intermédiaires possèdent une signature d'arc (Pitfield et al., 2004, Section 2.3.6). Pitfield et al. (2004, leur Fig. 2.10) ont décrit les ceintures de greenstone comme des structures synclinales. Pitfield et al. (2004, Section 2.3.6) ont indiqué que le volcanisme a immédiatement précédé la collision avec les terrains voisins de Choum-Rag El Abiod. Les tonalites et les granites, maintenant gneissiques, ont été mis en place après une collision, à environ 2 920 Ma. Une phase intrusive non-datée de granites fertiles, et de pegmatites LCT associées, est venue plus tard.

La limite entre les terrains de Tasiast-Tijirit et de Choum-Rag el Abiod est une structure en fleur de transpression—la zone de cisaillement de Tacarat-Inemmaudene (Schofield et al., 2006) (Fig. 7). La déformation est datée de 2 954±11, sur la base d'un âge U-Pb du zircon d'un gneiss œillé granitique du Cortège d'Aoutitilt, s'étant mis en place de manière syntectonique au sein de la zone de cisaillement (Pitfield et al., 2004, Section 2.2.5).

Le Grand Dyke d'Ahmeyim, maintenant précisément daté à 2 733±2 Ma (Tait et al., 2013), a recoupé les terrains de Tasiast-Tijirit après une déformation pénétrante. Il est interprété comme un vestige

de la grande province magmatique (LIP), et servira probablement comme l'une des clés des reconstitutions continentales Archéennes (Tait et al., 2013).

La partie mauritanienne des terrains de Tasiast-Tijirit est limitée à l'Est par le Complexe d'Amsaga, un ensemble profondément érodé de croûte continentale Archéenne, que Pitfield et al. (2004) ont attribué aux terrains de Choum-Rag el Abiod (Fig. 7). Les roches connues les plus anciennes sont des orthogneiss, qui ont produit un âge U-Pb du zircon s'échelonnant entre 3 515 et 3 422 Ma (Potrel et al., 1996). Un orthogneiss charnockitique plus jeune a produit un âge U-Pb du zircon de 2 986±8 Ma (Potrel et al., 1998). Les roches supracrustales fortement déformées et métamorphisées au sein du Complexe d'Amsaga comprennent de l'amphibolite, une Formation de Fer Rubanée, un gneiss à sillimanite-grenat-cordiérite, un schiste à quartz-muscovite, et des roches métacarbonatées (Pitfield et al., 2004, Section 2.2.3.10). Des couches concordantes d'anorthosite sont observées à travers l'ensemble du Complexe d'Amsaga. Deux phases d'un seul ensemble ont produit des âges U-Pb du zircon de 2 743±4 et 2 718±7 Ma, tandis qu'un autre a fourni un âge peu précis de 2 930±33 Ma (Section 6.3). Une phase de recoupement granitique du Cortège de Touijenjert Modreïgue a produit un âge U-Pb du zircon de 2 726±7 (Potrel et al., 1998).

Rejoignant le Complexe d'Amsaga vers le Nord, se trouve une autre ceinture de croûte continentale profondément érodée, le Complexe de Tiris (Fig. 7). O'Connor et al. (2005) ont inclus le Complexe de Tiris au sein des terrains de Choum-Rag el Abiod, tandis que Schofield et al. (2012) ne suivaient pas cette affinité de terrains. L'une de ses principales composantes, à savoir la Formation d'El Gheicha, est un paragneiss composé essentiellement de protolithes alumineux avec des unités marqueurs faiblement mafiques et riches en Fe, dans un contexte métamorphique allant jusqu'au faciès granulite (O'Connor et al., 2005, Section 2.6.4). Une autre de ses composantes principales, à savoir la Formation de Mirikli, est formée de gneiss quartzofeldspathique et d'unités marqueurs faiblement mafiques, calcosilicatées et riches en Fe, ayant été migmatitisées et recoupées par des granites d'anatexie (O'Connor et al., 2005, Section 2.6.4). Schofield et al. (2012) ont signalé un âge U-Pb du zircon entre 2 948±11 et 2 875±18 Ma provenant d'un granitoïde de la Formation de Mirikli. Un granite folié d'anatexie a produit un âge de zircon (cristallisation) de 2 654±8 Ma et une monazite (métamorphique) de 2 482±7 Ma (Schofield et al., 2012)[3]. Des granites plus récents du Cortège de Fderik ont produit des âges U-Pb du zircon de 2 520±29 Ma et 2 472±6 Ma (O'Connor et al., 2005, Section 2.7.6).

À l'Est du Complexe de Tiris se trouve un important complexe plutonique, le Cortège de Zednes (Fig. 7). La tonalite a produit un âge U-Pb du zircon de 3 044±5 Ma. De la charnockite foliée a produit un âge du zircon de 2 856±6 Ma, et une monzodiorite mylonitisée a produit un âge U-Pb du zircon de 2 832±4 Ma (Lahondère et al., 2003, Section 2.2.4)[4].

L'extrême Nord et Est du craton Archéen est sous tendu par le Complexe de Temmimichate Tsabya (Fig. 7), une autre ensemble à faciès granulite renfermant des roches Mésoarchéennes. Les roches comprennent de la métadunite, du métagabbro, de l'amphibolite, de l'anorthosite, et de l'orthogneiss granitique (Lahondère et al., 2003, Section 7.1.1.1). Les âges U-Pb du zircon provenant des roches intrusives du Cortège de Zednes (voir ci-dessus) contraignent l'âge Mésoarchéen.

Le centre Archéen du craton Ouest Africain a donc subi en Mauritanie une longue et complexe histoire d'orogénie polyphasée et de magmatisme, avec une première poussée reconnue à 3 515 ou 3 422 Ma, et la plus récente aux environs de 2 472 Ma. La collision, à environ 2 954 Ma, entre les terrains de Tasiast-Tijirit et de Choum-Rag el Abiod, correspond à une importante poussée.

[3] Il est à noter qu'O'Connor et al. (2005, Section 2.6.9) ont indiqué des âges légèrement différents provenant de cet échantillon (22120276).

[4] Ces trois âges constituent des résultats SIMS concordants. Les âges de monazite à la microsonde, également signalés par Lahondère et al. (2003), sont situés dans le même intervalle Mésoarchéen, mais sont moins fiables.

8.2. Géologie et tectonique Paléoprotérozoïque

La moitié Est du Bouclier de Rgueïbat est presque complètement formée de roches Paléoprotérozoïques (Fig. 7), d'un âge compris entre 2 200 et 2 000 Ma. Extrapolant les noms provenant du Bouclier de Man-Leo, les évènements orogéniques de cet intervalle ont été qualifiés soit d'Eburnéen (Schofield et al., 2006 ; Peucat et al., 2005) soit de Birimien (Lahondère et al., 2003). En Mauritanie, la partie Paléoprotérozoïque du Bouclier de Rgueïbat est formée d'un orogène de marge continentale (Groupe de Rich Anajim), qui repose entre le centre cratonique Archéen et une vaste région d'arc magmatique, qui s'étend vers l'Est à quelques 500 km vers la frontière Algérienne. Un second arc Paléoprotérozoïque (l'Eglab) a été identifié en Algérie (Peucat et al., 2005).

Une bonne façon de commencer est de travailler à partir de centre cratonique Archéen vers l'extérieur. Les roches du socle Archéen sont bordées au Nord et au Nord-Est par des roches supracrustales fortement tectonisées du Groupe de Rich Anajim (Fig. 7), qui inclut des quartzites métamorphisées, des calcaires, des pélites, et des FFR. Schofield et al. (2006) ont interprété ces roches comme une succession de marge continentale, déposée au niveau de qui était à ce moment-là le bord du craton. Cette marge continentale peut être interprétée comme ayant été une marge passive, par opposition à une marge convergente, en raison de l'assemblage de protolithes (Schofield et al., 2006), ainsi qu'en raison d'une absence notable de magmatisme Paléoprotérozoïque au sein du domaine Archéen. L'hypothèse d'un contexte de marge passive fournit également une bonne explication sur l'existence, la localisation, et la structure de roches supracrustales problématiques, de faible degré, au niveau de Kediat Idjil et de El Mhaoudât, dans le secteur du Fer de Zouerate. Schofield et Gillespie (2007) ont suggéré que ces successions, qui incluent des minerais de Fer de type supérieur, qui sont si importants pour l'économie mauritanienne, sont des klippes en lien stratigraphique avec le Groupe de Rich Anajim. L'orogénie qui a déformé ces roches supracrustales est visualisée comme ayant été une collision de marge d'arc passif, s'ajoutant à la liste de plus de 80 orogénies de ce type qui ont été étudiées dans les formations géologiques (Bradley, 2008). L'intervalle d'âge du dépôt de marge passive est subjective, mais a probablement commencé après le développement, aux environs de 2 482 Ma, d'une monazite métamorphique au sein du granite d'anatexie Néoarchéen du Complexe de Tiris mentionné ci-dessus. La disparition par collision de la marge passive doit être antérieure à l'intrusion d'un pluton, à 2 064±12 Ma, au sein de la ceinture de Sfariat. Ce pluton était synchrone d'une transpression vers la gauche de collision tardive (Schofield et al., 2006), indiquant que la collision d'origine est intervenue quelques temps auparavant.

Le complexe d'arc Paléoprotérozoïque, qu'on imagine être entré en collision avec le craton Archéen, est principalement formé de plusieurs plutons appartenant à dix suites intrusives, interrompues par des ceintures de roches supracrustales déformées possédant un grain de structure orienté Nord-Ouest (Fig. 7). Lahondère et al. (2003) ont attribué les roches Paléoprotérozoïques aux phases tectono-magmatiques[5] (définies de manière informelle) de l'Eobirimien, du Mésobirimien, du Tardibirimien, du Néobirimien, et du post-Néobirimien.

Les roches du Néobirimien du Bouclier de Rgueïbat sont largement supracrustales (Fig. 7) et sont plus anciennes que 2 150 Ma. D'Ouest en Est, les ceintures supracrustales comprennent (1) le Complexe d'Aguelt abd el Maï—un assemblage mélangé supracrustal et intrusif, qui comprend des roches mafiques métamorphiques, de la quartzite, et du marbre (Lahondère et al., 2003, Section 2.3.1.1.1) ; (2) le Complexe de Tsalabia El Khadra—des roches métavolcaniques mafiques, intermédiaires, et felsiques, du marbre, de la quartzite, et une méta-arkose (Lahondère et al., 2003, Section 2.3.1.1.3) ; (3) le Complexe du Ghallamane—un schiste alumineux et calcaire, ainsi qu'un gneiss, une quartzite, une méta-arkose, et une amphibolite

[5] Il s'agit de noms des phases orogéniques ayant une signification temporelle implicite, même, comme dans le cas présent, lorsqu'elles concernent des évènements orogéniques éloignés de ce type de zones. Les équivalents anglais seraient le Birimien précoce, le Birimien moyen, le Birimien tardif, le Birimien très tardif, et le post-Birimien, respectivement.

(Lahondère et al., 2003, Section 2.3.1.1.2). Les nouvelles données concernant les zircons détritiques indiquent un âge de dépôt de 2 135 Ma, ou plus récent, d'un métagrès au sein du Complexe du Ghallamane. Au moins une partie de cette ceinture apparaît donc comme appartenant au Mésobirimien.

Le Mésobirimien s'est étendu d'environ 2 150 à 2 078 Ma (Lahondère et al., 2003, Section 7.1.1.2). Une large suite calco-alcaline, formée principalement de diorite, de tonalite, et de granodiorite, a été mise en place dans la partie centrale du domaine Paléoprotérozoïque (Fig. 7). Ces roches comprennent le Complexe de Tin Bessais. Elles ont produit des âges U-Pb du zircon de 2 146±5, 2 141±4, et 2 122±5 Ma (Lahondère et al., 2003, Section 2.3.2.4.1). Plus tard pendant le Mésobirimien, un vaste complexe intrusif de granite différencié peralumineux s'est mis en place, plus loin à l'Ouest (Fig. 7). Ces roches comprennent le Complexe de Tmeïmichatt Ghallamane. Elles ont produit des âges U-Pb du de 2 118±14, 2 103±13, et 2 078±5 Ma (Lahondère et al., 2003, Section 2.3.2.1.2).

Les roches supracrustales et intrusives de l'intervalle étroit d'âge allant de 2 073 à 2 067 Ma sont attribuées au Tardibirimien (Fig. 7). Le Groupe de Legleya, à l'Ouest, est constitué de roches volcaniques felsiques, de tuf, de granophyre (2 072±6 Ma, âge U-Pb du zircon), de microgranite, de microgabbro, et de basalte (Lahondère et al., 2003, Section 2.3.3.4). Le Groupe d'Imourène, dans la partie centrale du domaine Paléoprotérozoïque, comprend des éléments volcaniques intermédiaires et felsiques (2 067±9 Ma, âge U-Pb du zircon ; Lahondère et al., 2003, Section 2.3.3.4) et des intrusions peu profondes, plus du grès et des conglomérats. La ceinture supracrustale Paléoprotérozoïque de Mauritanie la plus à l'Est est le Groupe de Blekhzaymat, qui est principalement constitué de grès et de conglomérat, plus de moindres quantités de roches volcaniques felsiques à intermédiaire. Le contrôle de l'âge est apporté par des âges U-Pb du zircon de 2 069±10 Ma provenant de l'andésite (Lahondère et al., 2003, Section 2.3.3.4.2) et 2 104±13 Ma provenant d'un tuf rhyolitique (Bradley et al., 2013). Les zircons détritiques indiquent de âges minimum de dépôt de 2 141 et 2 094 Ma pour des échantillons du Groupe de Blekhzaymat (Bradley et al., 2013). Le Cortège de Gleïbat Tenebdar enregistre un plutonisme granodiorique contemporain à l'Ouest, avec des âges U-Pb du zircon de 2 068±6 Ma, 2 073±3 et 2 059±4 Ma. (Lahondère et al., 2003, Section 2.3.3.4).

Le Néobirimien est représenté par trois complexes granitiques tardifs, qui s'étendent ensemble sur l'essentiel de la ceinture d'affleurements Paléoprotérozoïques (Fig. 7). Dans le tiers Est du domaine Paléoprotérozoïque se trouve le Cortège étendu du Yetti. À travers les deux tiers Ouest, se trouve le Complexe encore plus étendu d'Adam Esseder. Et à l'extrême Ouest, le long de la frontière entre les domaines Paléoprotérozoïques et Archéen, se trouve le Cortège de Sfariat. Le contrôle de l'âge sur les granitoïdes du Néobirimien est basé sur des âges de monazite à la microsonde. Il est de ce fait seulement approximatif, dans un intervalle allant de 2 040 à 1 995 Ma (Lahondère et al., 2003, Section 2.3.4.2).

Les roches du post-Néobirimien appartiennent à deux suites intrusives alcalines à peralcaline : le Cortège Alcalin de Tigsmat El Akhdar à l'Ouest, et le Cortège de Bir Moghreïn à l'Est (Fig. 7). Ils ne sont pas datés.

La partie Paléoprotérozoïque du Bouclier de Rgueïbat se poursuit vers l'Est en Algérie. Dans le massif d'Eglab, Peucat et al. (2005) ont décrit un arc magmatique mature, avec des vestiges du socle d'environ 2,7 Ga, et une activité d'arc d'environ 2 210 à 2 180 Ma. Ils ont considéré ces éléments comme un arc distinct du complexe d'arc magmatique Paléoprotérozoïque de Mauritanie, et ont supposé une collision entre les deux arcs à environ 2 070 Ma.

Des dykes mafiques tardifs, en recoupement, sont une caractéristique évidente du Bouclier de Rgueïbat. Ils sont généralement considérés comme d'âge Paléoprotérozoïque tardif à Mésoprotérozoïque, mais comme contesté par O'Connor et al. (2005, Section 2.9.5), le contrôle de l'âge est fondé sur des méthodes obsolètes. Dosso et al. (1979) ont signalé un âge Rb-Sr « isochrone » de 1 609±45 Ma, mais celui-ci a été déterminé à partir de dix échantillons de dyke de dolérite largement dispersés provenant du Bouclier de Rgueïbat, d'orientations variées, et l'âge qui en résulte est d'une signification sur laquelle on peut

s'interroger. Des études géochronologiques modernes de ces dykes sont nécessaires de manière urgente, pour permettre les reconstitutions de plaques mondiales du Protérozoïque. Les groupements de dykes à l'échelle de cratons sont considérés comme de grandes provinces magmatiques (LIP) (Ernst et Buchan, 2001), de même que les âges et les paléolatitudes de ces groupements de dykes peuvent être utilisés pour reconstituer la disposition des continents du passé.

8.3. Enregistrement tectonique Mésoprotérozoïque à Paléozoïque dans le Bassin de Taoudéni

Le Bassin de Taoudéni Basin est un vaste réceptacle de dépôts couvrant l'essentiel du craton Ouest Africain. Son remplissage sédimentaire Mésoprotérozoïque à Crétacé (Fig. 8) est essentiellement non-déformé, sauf le long du front orogénique des Mauritanides, et là où il est localement faillé le long de sa bordure Nord. Nos nouvelles données de zircons détritiques ont jusqu'à présent montré une succession de quatre thèmes de zircon détritique (Fig. 63), reflétant une tectonique et une provenance changeantes. La discussion suivante est centrée sur la partie classique de la région de l'Adrar.

L'unité stratigraphique la plus ancienne est le Groupe de Char, qui est constitué de grès et de conglomérats issus du Bouclier de Rgueïbat. Le dépôt a été contrôlé au moins en partie par des failles normales, suggérant un contexte en extension (Pitfield et al., 2004, Section 7.2.1). Le Groupe de Char a longtemps été attribué au Néoprotérozoïque, mais il appartient maintenant nettement au Mésoprotérozoïque sur la base d'un âge cité ci-dessous provenant du Groupe d'Atar, et le recouvrant. Cela implique que le Groupe de Char est trop ancien pour être en aucune manière lié à la dislocation de Rodinia, qui n'était même pas encore unifiée (cf. Pitfield et al., 2004, Section 7.2.1). Le Groupe d'Atar, qui a produit un âge moyen pondéré Re-Os de 1 106±10 Ma (Rooney et al., 2010), est principalement un calcaire stromatolitique et une dolomie. Pitfield et al. (2004, Section 7.2.1) ont remarqué qu'il n'existe pas de contrôle évident de la sédimentation au cours du dépôt d'Atar. Les zircons détritiques des Groupes de Char et d'Atar ont formé ensemble le code-barres d'Atar (Fig. 63D), avec des pics majeurs à 2 447, 2 076, et 2 041 Ma. L'ensemble des zircons de ces roches peut être suivi jusqu'à des sources du craton Ouest Africain (Bradley et al., 2013).

Le niveau suivant de la succession est un ensemble épais de grès : le Groupe d'Assabet El Hassiane. La plus importante découverte de nos études de zircons détritiques est que ces grès ont produit principalement des zircons détritiques Mésoprotérozoïques, qui doivent être issus d'une ceinture orogénique de « l'âge de Grenville » (Bradley et al., 2013). En particulier, le code-barres d'Assabet présente un maximum élevé s'étendant d'environ 2 150 à 875 Ma, avec un pic en évidence à 1 212 Ma, et une interruption visible à environ 1 700-1 600 Ma (Fig. 63C). Deux interprétations alternatives sont proposées ici. Première hypothèse : une possibilité est que les zircons détritiques proviennent d'une source de l'orogène des Mauritanides. Ce scénario est largement en cohérence avec des interprétations antérieures (par exemple, Lahondère et al., 2003, Section 7.2.3) postulant que le Groupe d'Assabet El Hassiane et ses ensembles corrélés se sont déposés au sein d'un bassin d'avant-pays Panafricain. De plus, deux anciennes ceintures de roches non-anticipées ont récemment été étudiées. Des terrains exotiques au sein du segment de Souttoufide de l'orogène, dans l'Ouest du Sahara (Fig. 64) ont produit des âges isotopiques d'environ 1 200–950 Ma (Villeneuve et al., 2006, 2010). Un complexe de socle exotique métasédimentaire et métamagmatique a également été mis en évidence dans les Mauritanides Centrales, où des âges $^{40}Ar/^{39}Ar$ aussi anciens que 847±7 Ma ont été obtenus (Caby et Kienast, 2009). L'hypothèse 2 prend en compte les directions de paléocourant, généralement au Nord, constatées au sein du Groupe d'Assabet El Hassiane et des ensembles corrélés (Fig. 64). Cette caractéristique pourrait être expliquée si ces strates s'étaient déposées dans un bassin d'avant-pays d'échelle continentale, à partir d'un orogène au Sud d'environ 900 Ma, le long, ou à proximité de l'actuelle marge Sud (non visible) du craton Ouest Africain. Plus de données sont nécessaires pour évaluer ces hypothèses.

Le Groupe d'Assabet El Hassiane est recouvert le long d'une légère discordance angulaire par les roches les mieux connues de Mauritanie, à savoir le Groupe glaciogène de Jbéliat. La discordance témoigne d'un épisode de large déformation après le dépôt du Groupe d'Assabet El Hassiane. Pitfield et al. (2004, Section 7.2.1) suggèrent qu'à la fois la déformation et les clastes d'Assabet El Hassiane témoignent de l'orogénèse Panafricaine I. Mais pour que cela soit le cas, la déformation devrait avoir précédé le dépôt du bassin d'avant-pays—le contraire de l'ordre habituel facilement interprétable. Les contraintes directes sur l'âge de Jbéliat sont faibles, mais ont été corrélées avec la glaciation mondiale du Marinoen (Shields et al., 2007), le plus récent de deux épisodes de Terre boule de neige du Néoprotérozoïque, à 635 Ma (Macdonald et al., 2010). Nos nouvelles datations U-Pb du zircon de 622±1 Ma, en provenance du Groupe en recouvrement de Téniagouri (Bradley et al., 2013) fournissent un intervalle d'âge. Selon Deynoux (1985), la couverture de glace de Jbéliat s'est écoulée de Nord au Sud (directions actuelles) à partir de la région du Boucllier de Rgueïbat. Nos nouveaux résultats concernant les zircons détritiques provenant de la tillite de Jbéliat, le long de l'escarpement d'Adrar, montrent qu'elle était largement issue de matériaux recyclés à partir de l'unité pétrographique immédiatement plus ancienne, à savoir le Groupe d'Assabet El Hassiane (Bradley et al., 2013).

Au sein de la succession cratonique, l'enregistrement incontestable de tectonisme des Mauritanides a seulement débuté au-dessus des dépôts glaciaires de Jbéliat. Le Groupe de Téniagouri comprend un faciès inférieur, distal, de siltite siliceuse, avec des tufs alternés, ainsi qu'un faciès supérieur, d'origine orogénique, de turbidites. Les âges U-Pb les plus précis de zircons provenant des tufs sont de 622±1 Ma (Bradley et al., 2013) et 610±6 Ma (Lahondère et al., 2005, Section 2.3.8.4). Les turbidites ont fourni une signature de zircons détritiques (Fig. 63B) qui évoque le Groupe d'Assabet El Hassiane, mais avec en plus une nouvelle source, présentant un âge d'environ 605 Ma, lequel est considéré comme ayant été un arc magmatique qui, à cette époque, était en collision avec l'Afrique de l'Ouest. Une conclusion importante est que les turbidites de Téniagouri sont trop récentes pour être issues de manière syntectonique de l'orogène imaginé à environ 650-Ma, dénommé Panafricain I par Lécorché et al. (1989), mais trop ancien pour l'orogène Panafricain II, imaginé à environ 575-550-Ma. Sans s'en référer à la sémantique, le Groupe de Téniagouri est une succession classique d'avant-fosse sous remplie, du type observé dans le monde entier au début d'une collision d'arc de marge passive (Bradley, 2008).

Le Groupe de Téniagouri est surmonté par le Groupe de Nouatil et le Groupe d'Oujeft, du Néoprotérozoïque le plus tardif au Cambrien. Ces strates sont principalement du grès, mais le Groupe de Nouatil comprend aussi des dolomies. Le code-barres d'Oujeft (Fig. 63A), défini sur la base de ces deux unités, est largement semblable au code-barres de Téniagouri, avec en plus des zircons plus récents, qui sont responsables d'un pic d'âge à 579 Ma, et atténuent le signal plus ancien. Nous interprétons ces strates comme des dépôts de bassin d'avant-pays syn-orogéniques à immédiatement post-orogéniques.

8.4. Enregistrement tectonique Mésoprotérozoïque à Paléozoïque au sein de l'orogène des Mauritanides

Ayant observé l'orogène du point de vue de son bassin d'avant-pays, nous évoquons maintenant l'enregistrement complémentaire provenant des Mauritanides. L'orogène des Mauritanides est une ceinture de charriage polydéformée et orientée vers l'Est, qui peut grossièrement être divisée en des parties Est (parautochtone) et Ouest (allochtone). Dévoiler l'évolution orogénique est rendu difficile par le fait que la plupart des roches se sont formées et ont subi une première déformation ainsi qu'un métamorphisme au Néoprotérozoïque—mais ont été à nouveau imbriquées 300 millions d'années plus tard.

La partie Est de l'orogène (Fig. 7) est formée de roches siliclastiques parautochtones Néoprotérozoïques et du Paléozoïque inférieur, imaginées comme étant d'origine Ouest Africaine. Pitfield

et al. (2004, Section 7.3.2.1) ont identifié des équivalents déformés des Groupes de Nouatil, de Téniagouri, et de Jbéliat—l'ensemble desquels sont liés en termes de dépôt au socle cratonique Ouest Africain. Le métamorphisme est un faciès de sous schiste vert.

La marge continentale des Mauritanides, dans l'Afrique de l'Ouest, est considérée comme s'étant formée à la suite d'un rift et d'une expansion du plancher océanique (Villeneuve et Cornée, 1994), à une période où un continent inconnu, un microcontinent, ou un arc, se sont éloignés, et ont à l'évidence quitté la scène à un moment du Néoprotérozoïque. À notre avis, des dépôts assurément de marge passive ou de rift restent encore à être étudiés au sein de l'orogène, de même que l'âge de la dislocation n'est pas bien contrainte. Pitfield et al. (2004, Section 3.8.3.6) ont suggéré que la dislocation est enregistrée à travers un magmatisme peralcalin aussi récent que 676±8 Ma, au sein d'une fenêtre tectonique à travers l'empilement de charriage des Mauritanides, au niveau de Bou Naga. Dallmeyer et Lécorché (1989) ont étudié les âges de refroidissement $^{40}Ar/^{39}Ar$ d'une hornblende métamorphique de 720-700 Ma dans des roches qu'ils ont interprétées comme des éléments métavolcaniques liés à un rift (Association de Fârkâka, maintenant Groupe de Gadel). La formation du rift, dans ce scénario, serait encore plus ancienne.

Le Complexe de Gorgol Noir (de Pitfield et al., 2004, Section 3.1.2.1) repose à l'extérieur de l'ensemble parautochtone (Fig. 7). Il comprend des massifs ultramafiques et un assemblage tectonique de type mélange de micaschiste, de quartzite, d'amphibolite, et de serpentinite. Il est interprété comme marquant une zone de suture Panafricaine (Pitfield et al., 2004). Le métagrès du Groupe de Gadel, au sein de cette ceinture, a produit des zircons détritiques qui correspondent au code-barres d'Assabet, suggérant un lien avec le craton pour certaines des roches de cette zone complexe (Bradley et al., 2013). Les roches ultramafiques ont été interprétées comme des ophiolites disloquées (Dia, 1984; Remy, 1985), ainsi que comme les vestiges d'un bassin océanique Néoprotérozoïque. Toutefois, Pitfield et al. (2004, Section 3.3.5) ont signalé que l'écaille supérieure de charriage du Complexe de Gorgol Noir est une suite de gabbro-granodiorite d'affinité d'arc, avec un âge U-Pb du zircon de 665±3 Ma. Lahondère et al. (2005, Section 3.5.3.4) ont noté des âges similaires de 671±8 Ma et 670±6 Ma provenant de diorite et de granodiorite de cette ceinture. Une tonalite au sein de la ceinture d'affleurements de Gadel a produit un âge U-Pb du zircon de 637,2±4,4 Ma (Lahondère et al., 2005, Section 3.4.2.4). Par conséquent, l'ophiolite disloquée est probablement une ophiolite d'avant-arc. Les conditions métamorphiques ont atteint le faciès amphibolite au niveau de certaines écailles faillées du Complexe de Gorgol Noir. Les micas blancs métamorphiques du Groupe de Gadel ont produit un certain nombre de plateaux d'âges $^{40}Ar/^{39}Ar$ très semblables, entre 597 et 582 Ma (Dallmeyer et Lécorché, 1989).

Le reste de l'orogène visible des Mauritanides, à l'extérieur du Complexe de Gorgol Noir, est une ceinture de charriage polyphasée renfermant des roches allochtones, que Pitfield et al. (2004) ont rattachées au Supergroupe de Mbout (fig. 7). Les roches métavolcaniques, à la fois felsiques et mafiques, en sont des composantes importantes. Des zircons détritiques provenant du domaine allochthone rappellent les codes-barres de Téniagouri et d'Oujeft (Bradley et al., 2013). Nous en avons donc déduit que certaines strates allochthones, bien que situées actuellement dans l'intérieur des Mauritanides, se sont déposées au sein d'un bassin d'avant-pays Panafricain du Néoprotérozoïque. Les granitoïdes intrusifs ont produit des âges U-Pb de zircon concordants de 685±18 (tardif à post-cinématique) et 637±5 (post-cinématique) (Pitfield et al, 2004, Section 3.4.7.5).

Après la fin de la cartographie de PRISM 1, Cab et Kinase (2009) ont étudié une ceinture allochtone de socle métamagmatique et métasédimentaire de haut degré au sein de la fenêtre de Gaoual (fig. 7)[6]. La hornblende métamorphique provenant de ces roches a produit des âges $^{40}Ar/^{39}Ar$ de refroidissement de 847±7 et 734±8 Ma (Daller et L'écorché, 1989). Le spectre des âges est perturbé, mais le métamorphisme doit être plus ancien que l'âge supposé Panafricain I, d'environ 650 Ma. Une explication plausible est que

[6] Cette cartographie détaillée n'a pas été intégrée aux livrables 51 ou 52.

cela constituait le socle d'un arc, qui est entré en collision avec l'Afrique de l'Ouest, lors d'une orogénie Néoprotérozoïque plus ancienne que la date donnée habituellement pour Panafricain I.

La déformation la plus récente des Mauritanides s'est déroulée du Pennsylvanien au Permien, et est fréquemment qualifiée d'Hercynienne. Les failles de charriage ont raccourci les tectonites Panafricaines, modifiant de façon spectaculaire l'architecture orogénique d'origine, mais ne produisant pratiquement aucune roche nouvelle en Mauritanie. Les principaux indices de tectonisme du Paléozoïque tardif proviennent de nombreuses datations $^{40}Ar/^{39}Ar$ des micas blancs métamorphiques, proches de 300 Ma (Dallmeyer et Lécorché, 1989 ; Bradley et al., 2013). La seule unité de bassin d'avant-pays Hercynienne reconnue jusqu'à présent est la Formation de Kandou (Lahondère et al., 2005, p. 357-358), un conglomérat localisé, non-déformé, qui repose en contact de charriage avec les tectonites du Groupe de Gueneiba (Fig. 7). L'étendue cartographique de cette unité est assez réduite, et il n'existe pas de contrôle direct de l'âge, de telle façon que l'interprétation du contexte de dépôt du bassin d'avant-pays Hercynien est subjective. Il n'existe pas en Mauritanie de plutons connus au Paléozoïque tardif. Tout ceci s'oppose de manière marquée avec ce qui est observé du côté des Appalaches de l'orogène de collision, à savoir un bassin d'avant-pays bien développé, qui protège une épaisse succession de molasse Pennsylvanienne à Permienne précoce, ainsi que l'orogène riche en plutons granitiques, présentant une distribution bimodale des âges, de 326-305 et de 300-282 Ma (Speer et al., 1994).

En résumé, le site du future orogène des Mauritanides est interprété comme s'étant formé pendant le Néoprotérozoïque précoce à intermédiaire, avec une dislocation de l'Afrique de l'Ouest et le départ d'un bloc inconnu. Par la suite, un arc magmatique, peut-être mis en place sur le socle continental du Néoprotérozoïque précoce, s'est approché et est entré en collision avec la marge mauritanienne, au cours d'un évènement qui pourrait être qualifié de Panafricain I. La collision initiale aurait probablement été suivie immédiatement d'un retournement de subduction, avec une nouvelle zone de subduction s'enfonçant vers l'Afrique en dessous de l'arc percuté. Le magmatisme Néoprotérozoïque à Cambrien, en raccourcissement, ainsi que la sédimentation du bassin d'avant-pays (« Panafricaine II ») se seraient déroulés au sein d'un régime de marge convergente. Le magmatisme de cet intervalle est bien représenté par l'enregistrement des zircons détritiques (code-barres d'Oujeft), et suggère que de nombreux plutons de cet intervalle d'âge se trouvent probablement enfouis sous la plaine côtière.

8.5. Bassin de Tindouf

Le Bassin de Tindouf est l'homologue au Nord du Bassin de Taoudéni, les deux étant séparés par la large arche de socle Archéen et Paléoprotérozoïque du Bouclier de Rgueïbat. Deux ceintures d'affleurements des strates du Bassin de Tindouf affleurent en Mauritanie, à savoir la zone de Zemmour noir à l'Ouest, et la zone de Nord-Yetti à l'Est. La partie de Zemmour, en Mauritanie, représente la partie frontale de 40 km d'une ceinture de plissement et de charriage beaucoup plus large (Michard et al., 2010). La ceinture de plissement et de charriage elle-même est une caractéristique Hercynienne, mais beaucoup plus à l'extérieur, dans le Sahara Occidental, correspond à un orogène Néoprotérozoïque avec une histoire complexe (Michard et al., 2010). Ce secteur Nord de la bordure Ouest du craton Ouest Africain partage donc une histoire grossièrement semblable avec le secteur des Mauritanides, avec des évènements orogéniques Panafricains et Hercyniens. Dans la région de Zemmour noir, les roches du socle Paléoprotérozoïque du Bouclier de Rgueïbat sont surmontées en discordance par une succession de marge continentale Ordovicienne à Dévonienne des Groupes d'Oumat el Ham, de Garat el Hamoueïd, de Gara Bouya Ali, et du Zemmour. Des anticlinaux de la partie de la Mauritanie la plus à l'extérieure de la ceinture de plissement et de charriage ont révélé des strates considérablement plus anciennes : dolomies

stromatolitiques du Groupe d'El Thlethyate, qui a été corrélé avec le Groupe d'Atar, et qui est donc probablement d'âge Mésoprotérozoïque.

La zone de Nord-Yetti rend visible une section stratigraphique globalement similaire, mais les strates sont essentiellement non-déformées, étant très éloignées à l'arrière du front de déformation Hercynien. Les strates les plus anciennes appartiennent ici au Groupe glaciogène Ordovicien de Garat El Hamoueïd. Il est recouvert par des strates principalement marines du Silurien au Carbonifère, affectées aux Groupes de Gara Bouya Ali, du Zemmour, et d'Ouarkziz (Lahondère et al., 2003, Section 4).

8.6. Géologie et tectonique Mésozoïque à Cénozoïque

Région magmatique de l'Atlantique central. L'étape marquante suivante des enregistrements géologiques de la Mauritanie est arrivée après une longue période de calme, et a correspondu à la fin du règne de la Pangée : une énorme poussée de magmatisme basaltique sous la forme de dykes, de sills, et d'écoulements. Elle est connue du nom de Province Magmatique d'Atlantique Central (CAMP), et elle est datée d'environ 200 Ma (Olsen et al., 2003). La CAMP a constitué au cours du Phanérozoïque l'une des Grandes Provinces Magmatiques (LIP) les plus étendues. Des vestiges de la CAMP sont dispersés à travers l'Afrique de l'Ouest, la péninsule ibérique, l'Amérique du Nord, et l'Amérique du Sud. Dans le cadre d'une reconstitution d'avant dérive, la CAMP est située comme une petite (mais encore énorme) région de quelques 7 millions de km^2 (Verati et al., 2005). En Mauritanie, les roches magmatiques connues ou imaginées comme faisant partie de la CAMP sont très répandues sous la forme de dykes mafiques, de sills, d'écoulements, et de cheminées, au sein du Bassin de Taoudéni, ainsi que sous la forme de dykes au sein du Bouclier de Rgueïbat.

Ouverture de l'Atlantique. L'expansion du plancher océanique a été précédée d'une longue période de rift, et en particulier de rift asymétrique, par lequel les roches d'un côté ont été tirées en provenance des roches de l'autre partie. Les marges conjuguées formées de cette manière sont désignées comme marges de plaque inférieure et de plaque supérieure, respectivement. La marge de Mauritanie est interprétée comme étant une marge de plaque supérieure, et le secteur américain correspondant, de Virgine à la Caroline du Nord, comme étant une marge de plaque inférieure (Etheridge et al., 1990). Il n'existe pas en Mauritanie de dépôts connus de rift préservés à l'intérieur des terres. Au niveau d'une coupe schématique de la marge s'étendant au large pratiquement à l'isobathe 2 000 m, Davison (2005) a décrit des bassins de rift en profondeur. Ces bassins comprennent du sel Jurassique.

La marge passive de la Mauritanie. La côte de Mauritanie fait partie de la marge passive de l'Afrique Atlantique. L'extension du plancher océanique le long de ce de ce secteur de marge continentale a débuté il y a environ 187 à 184 millions d'années, comme déduit de l'âge des basaltes océaniques qui ont été soulevés fortuitement au niveau des Îles Canaries en raison d'un volcanisme plus récent (Steiner et al., 1998). Depuis le Jurassique précoce, cette partie de l'Atlantique s'est ouverte plus ou moins symétriquement, à un rythme moyen de 1,6 cm/an. Pendant cette période, la marge passive de la Mauritanie s'est enfoncée en subsidence, et un épais prisme de sédiments d'eau profonde s'est accumulé au large, de même qu'un prisme plus mince d'eau peu profonde, de marge marine et de sédiments non-marins s'est accumulé à terre. Les strates Jurassiques sont largement carbonatées, et les strates Crétacées et plus récentes sont largement silicoclastiques (Davison, 2005).

La tectonique actuelle. La Mauritanie fait partie de la plaque africaine, dont le centre est le continent africain, mais qui comprend également la lithosphère océanique associée de l'Atlantique Central, de l'Atlantique Sud, des Mers du Sud et de l'Océan Indien, de même que le Golfe d'Aden, la Mer Rouge, et la Mer Méditerranée. Bien que l'Afrique soit en mouvement relatif par rapport à l'ensemble des plaques qui la borde, elle est unique parmi les plaques, en ce sens qu'elle est virtuellement immobile dans un cadre de

référence absolu (le manteau), et qu'elle existe depuis 30 Ma (Burke et Gunnell, 2008). L'une des conséquences est que l'Afrique possède, à l'échelle du monde, une topographie unique de bassins et de renflements, les points hauts et les points bas étant interprétés comme des manifestations de surface des cellules de convection du manteau (Burke et Gunnell, 2008). La Mauritanie elle-même repose sur l'une des quelques parties d'Afrique qui ne présente pas une expression de surface évidente de cette caractéristique à l'échelle du continent.

8.7. Évolution tectonique de la Mauritanie dans le contexte des supercontinents Nuna, Rodinia, Gondwana, et Pangée

Nuna. L'orogène Paléoprotérozoïque du Nord de la Mauritanie est l'un des exemples d'une douzaine d'orogènes à travers le monde présentant un âge général dans l'intervalle 2 150 à 1 750 Ma. En Laurentie, par exemple, l'Archéen supérieur et les cratons subalternes sont reliés à travers l'orogène Paléoprotérozoïque de Trans-Hudson (Hoffman, 1989). La Laurentie peut être vue comme le vestige d'un supercontinent beaucoup plus grand, ayant existé auparavant, et connu sous le nom de Nuna (Hoffman, 1997) [7], qui s'est formé pendant une série de collisions jusqu'à environ 1 750 Ma (Bradley, 2011). L'Éburnéen du Nord de la Mauritanie peut très bien avoir été l'un des orogènes impliqués dans la constitution de Nuna, mais si cela a été le cas, quelque soit le craton qui ait été présent à un moment au Nord ou à l'Est, celui-ci se serait éloigné pendant le Néoprotérozoïque, et la place de l'Afrique de l'Ouest au sein de Nuna est essentiellement non-contrainte.

Rodinia. Rodinia est le nom donné à un supercontinent hypothétique qui s'est assemblé vers la fin du Mésoprotérozoïque en raison des collisions telles que l'orogène de Grenville de la Laurentie de l'Est. La configuration de Rodinia est elle-même l'objet de controverses, comme indiqué au niveau des quatre reconstitutions alternatives de la Figure 65. Une question de fond, encore plus importante, est l'hypothèse non vérifiée que l'ensemble des continents se sont regroupés en un seul. Au niveau des différentes reconstitutions de Rodinia, la position de l'Afrique de l'Ouest n'est pas bien contrainte, et aucune des reconstitutions existantes de Rodinia ne rend compte de manière satisfaisante des nouvelles informations concernant le Groupe d'Assabet El Hassiane. Un nouveau modèle de Rodinia est par conséquent nécessaire. La bordure continentale qui devait finalement devenir l'orogène des Mauritanides est interprété comme s'étant formé au cours du Néoprotérozoïque précoce ou intermédiaire, avec une dislocation d'une partie de Rodinia, et le départ d'un bloc inconnu de l'Afrique de l'Ouest. D'autres blocs inconnus se sont séparés des bordures Est et Nord de l'Afrique de l'Ouest. La recherche de ces continents à l'échelle mondiale devrait se révéler réalisable, car le Bouclier de Rgueïbat possède des régions d'âges distinctifs aux environs de 2,9, 2,7, 2,4, et 2.1 Ga (Fig. 68).

[7]Quels que soient les détails de la reconstitution des plaques, le terme de *Nuna* est préféré à celui de *Columbia* (Rogers et Santosh, 2002) pour des raisons de priorité.

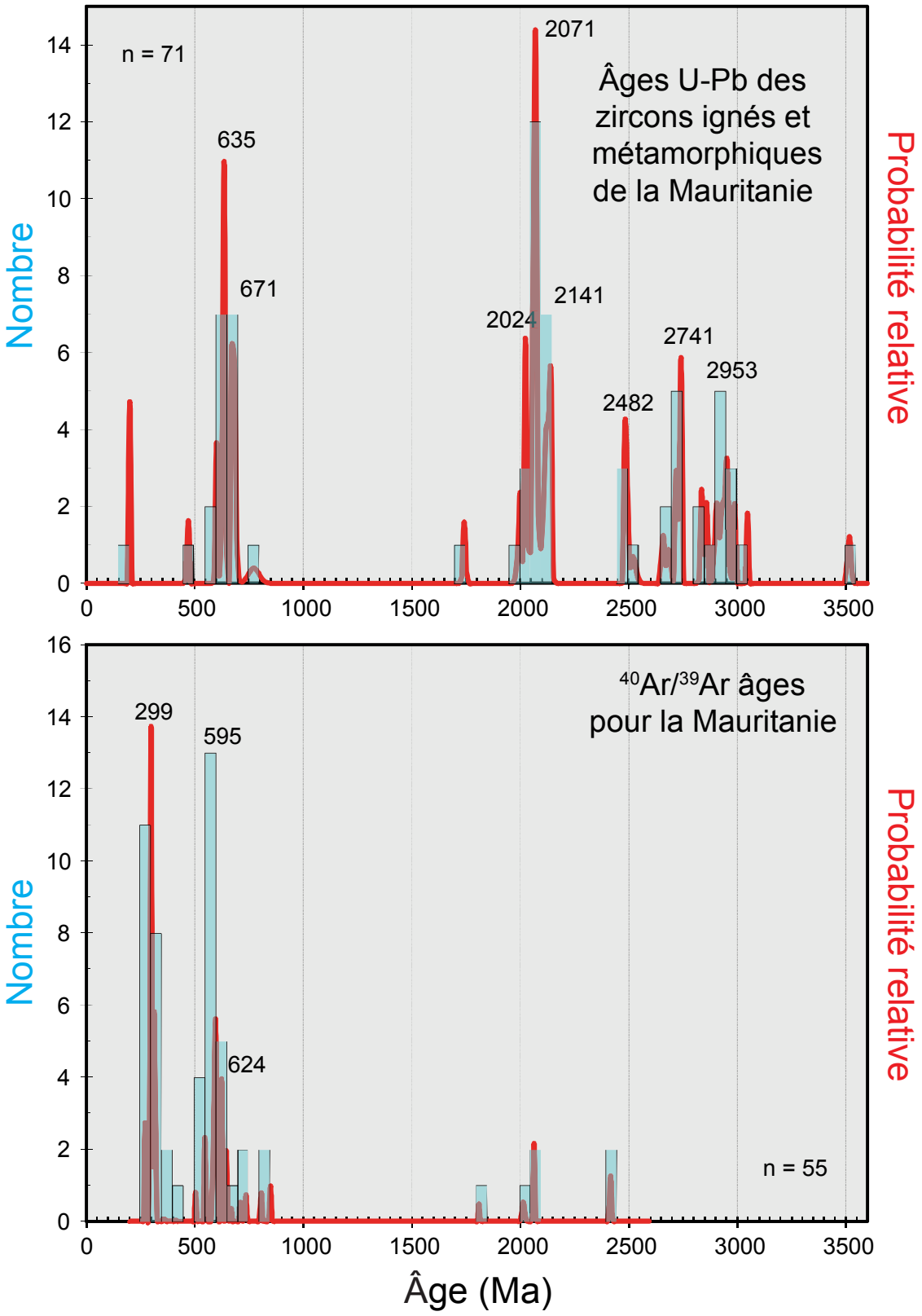

Figure 68. (*A*) Histogramme des âges U-Pb de la Mauritanie, provenant des données des Tableaux 1 et 9. (*B*) Histogramme des âges 40Ar/39Ar de la Mauritanie, provenant des données des Tableaux 3 et 9.

Gondwana. Le terme de Gondwana s'applique à un regroupement de la moitié Sud des continents terrestres, qui se sont agrégés pendant une série de collisions du Néoprotérozoïque tardif et du Cambrien. Qu'il doive être qualifié ou non de supercontinent est une distinction sémantique (Bradley, 2011). La question importante est qu'il ne contenait qu'environ la moitié des surfaces continentales mondiales. Certains détails de la reconstitution de Gondwana restent ouverts au débat, mais le voisinage de l'Afrique est bien connu, en raison du fait que la partie africaine de Gondwana demeure intacte aujourd'hui. L'orogénie Panafricaine de la Mauritanie s'est déroulée pendant le regroupement de Gondwana, mais ceci a seulement eu l'effet mineur d'ajouter des terrains d'arc étroit le long de la marge extérieure du supercontinent en croissance.

Pangée. L'orogénie Hercynienne-Alleghanienne a impliqué une convergence finale entre l'Afrique et la Laurentie, réalisant la mise en place du supercontinent le plus récent, la Pangée, pendant le Carbonifère et le Permien. À la suite de ces collisions, la Mauritanie s'est trouvée à cheval sur une énorme chaîne de montagne—les montagnes de Trans-Pangée. Avec les continents de la périphérie de l'Atlantique dans leur configuration d'avant dérive, la Mauritanie est reconstituée à côté de la partie maritime Est des États-Unis, contre les États de Virginie et de Caroline du Nord. Plusieurs centaines de kilomètres de croûte continentale—l'ensemble de laquelle étant impliquée dans l'orogénie Hercynienne-Alleghanienne—sont masquées en dessous des deux plateaux continentaux. Si cette orogénie a impliqué la fermeture d'un océan, et pas simplement la convergence entre des continents déjà juxtaposés, la suture doit être présente en dessous de l'un ou de l'autre des plateaux continentaux. Ces plateaux sont le produit de la dislocation de la Pangée, et de l'amorce du cycle suivant de supercontinent, à moitié réalisé.

9.0 Références citées

Ashwal, L.D., 2011, *The temporality of anorthosites* : The Canadian Mineralogist, v. 48, p. 711-728.

Auvray, B. Peucat, J.J., Potrel, A., Burg, J.P., Caruba, C. Dars, R., et Lo, K., 1992a. *Données géochronologiques nouvelles sur I'Archéen de I'Amsaga (Dorsale Rgueïbat Mauritanie)*. C. R. Acad. Sci. Paris, v. 315, p. 63-70.

Benan, C.A.A, et Deynoux, M., 1998, *Facies analysis and sequence stratigraphy of Neoproterozoic Platform deposits in Adrar of Mauritania, Taoudéni basin, West Africa* : Geologische Rundschau, v. 87, p. 283-302.

Bickford, M.E., Cullers, R.L., Shuster, R.D., Premo, W.R., et Van Schmus, W.R., 1989, *U-Pb zircon geochronology of Proterozoic and Cambrian plutons in the Wet Mountains and southern Front Range, Colorado* : Geological Society of America Special Paper 235, p. 49-64.

Black, L.P., Kamo, S.L., Allen, C.M., Davis, D.W., Aleinikoff, J.N., Valley, J.W., Mundil, R., Campbell, I.H., Korsch, R.J., Williams, I.S., et Foudoulis, C. 2004. *Improved $^{206}Pb/^{238}U$ microprobe geochronology by the monitoring of trace-element related matrix effect; SHRIMP, ID-TIMS, ELA-ICP-MS and oxygen isotope documentation for a series of zircon standards*. Chemical Geology, 205, p.15-140.

Blanc, A., Bernard Griffiths, J., Caby, R., Caruba, C., Caruba, R., Dars, R., Fourcade, S. et Peujat, J.J., 1992, *U-Pb dating and isotopic signature of the alkaline ring complexes of Bou Naga (Mauritania): its bearing on late Proterozoic plate tectonics around the West African Craton* : Journal of African Earth Sciences, v. 14, p. 301-311.

Bleeker, W., 2003, *The late Archean record: a puzzle in ca. 35 pieces* : Lithos, v. 71, p. 99–134.

Bowring, J.F., McLean, N.M., et Bowring, S.A., 2011, *Engineering Cyber Infrastructure for U-Pb Geochronology: Tripoli and U-Pb_Redux* : Geochemistry, Geophysics, Geosystems, v. 12, Q0AA19, DOI:10.1029/2010GC003479.

Bradley, D.C., 2008, *Passive margins through Earth history* : Earth-Science Reviews, v. 91, p. 1-26 et données supplémentaires sous forme électronique, 33 p.

Bradley, D.C., 2011, *Secular trends in the geologic record and the supercontinent cycle* : Earth-Science Reviews, v. 108, p. 16-33, et données supplémentaires sous forme électronique, 17 p. doi: 10.1016/j.earscirev.2011.05.003.

Bradley, D., Motts, H., Horton, J., Taylor, C., et Lee, G., 2013a, *Carte géologique de la Mauritanie (livrable 51)* : U.S. Geological Survey Open-File Report ####-####, deux feuilles à l'échelle 1/1 000 000ème.

Bradley, D., Motts, H., Horton, J., Taylor, C., et Lee, G., 2013b, *Carte de la géologie structurale de la Mauritanie (livrable 52)* : U.S. Geological Survey Open-File Report ####-####, une feuille à l'échelle 1/1 000 000ème.

Bradley, D. C., et Kusky, T., 1986, *Geologic evidence for the rate of plate convergence during the Taconic arc-continent collision* : Journal of Geology, v. 94, p. 667-681.

Burke, K., et Gunnell, Y., 2008, *The African Erosion Surface: A continental-scale synthesis of geomorphology, tectonics, and environmental change over the past 180 million years* : Geological Society of America Memoir 201, 66 p., doi: 10.1130/2008.1201.

Caby, R., et Kienast, J,R., 2009, *Neoproterozoic and Hercynian metamorphic events in the Central Mauritanides: Implications for the geodynamic evolution of West Africa* : Journal of African Earth Sciences, v. 53. p 122–136.

Chang, Z., Vervoort, J.D., McClelland, W.C., et Knaack, C., 2006. *U-Pb dating of zircon by LA-ICP-MS*. Geochemistry, Geophysics, Geosystems, American Geophysical Union, v. 7, no. 5, 14 p.

Clauer, N. 1976, *Geochimie isotopique du strontium des milieux sedimentaires: Application a la geochronologie de la couverture du craton ouest-africain* : Sci. Geol., Strasbourg, Fr. Memoir 45, 256 p.

Clauer, N., Caby, R., Jeannette, D. et Trompette, R., 1982, *Geochronology of sedimentary and metasedimentary Precambrian rocks of the West African Craton* : Precambrian Research, v. 18, p. 53-71.

Clement, S.W.J., et Compston, W., 1994, *Ion probe parameters for very high resolution without loss of sensitivity*. U.S. Geological Survey Circular 1107, p. 62.

Dallmeyer, R.D., et Lécorché, J.P., 1989, *$^{40}Ar/^{39}Ar$ polyorogenic mineral age record within the central Mauritanide orogen, West Africa* : Geological Society of America Bulletin, v. 101, p. 55-70.

Dalziel, I.W.D., 1997, *Neoproterozoic-Paleozoic geography and tectonics: review, hypothesis, environmental speculation* : Geological Society of America Bulletin, v. 109, p. 16–42.

Davison, Ian, 2005, *Central Atlantic margin basins of North West Africa: Geology and hydrocarbon potential (Morocco to Guinea)* : Journal of African Earth Sciences, v. 43, p. 254–274.

Dia, O., 1984, *La chaîne panafricane et hercynienne des Mauritanides face au bassin Protérozoïque supérieur à Dévonien de Taoudéni dans le secteur clé de Mejéria (Taganet, Sud R.I.M.) : Lithostratigraphie et tectonique. Un exemple de tectonique tangentielle superposée*. Thèse Doct. Sci., Univ. Aix-Marseille III, 516 pp.

Deynoux, M., 1985, *Terrestrial or waterlain glacial diamictites? Three case studies from the Late Precambrian and Late Ordovician glacial drift in West Africa* : Palaeogeography Palaeoclimatology Palaeoecology, v. 51, p. 97–141.

Deynoux, M., Affaton, P., Trompette, R., et Villeneuve, M., 2006, *Pan-African tectonic evolution and glacial events registered in Neoproterozoic to Cambrian cratonic and foreland basins of West Africa* : Journal of African Earth Sciences 46, 397–426.

Dickinson, W.R., et Gehrels, G.E., 2009, *Use of U–Pb ages of detrital zircons to infer maximum depositional ages of strata: A test against a Colorado Plateau Mesozoic database* : Earth and Planetary Science Letters, v. 288, P. 115-125.

Donelick, R.A., P.B. O'Sullivan, et R.A. Ketcham, 2005, *Apatite fission track analysis* : Reviews in Mineralogy and Geochemistry, v. 58, p. 49-93.

Dosso, L., Vidal, P., Sichler, B. et Bonifay, A., 1979, *Age Précambrien de dolerites de la Dorsale Reguibat (Mauritanie)* : Comptes Rendus de l'Académie des Sciences de Paris, v. 288, p. 739-742.

Ernst, R.E., et Buchan, K.L. 2001, *Large mafic magmetic events through time and links to mantle-plume heads*, *in* R.E. Ernst et K.L. Buchan (éditeurs), *Mantle plumes: their identification through time* : Geological Society of America Special Paper 352, p. 483–575.

Etheridge, M.A., Symonds, P.A., et Lister, G.S., 1990, *Application of the detachment model to reconstruction of conjugate passive margins* : *AAPG Mem*oir 46, p. 23-40.

Evans, D.A.D., 2009, *The palaeomagnetically viable, long-lived and all-inclusive Rodinia supercontinent reconstruction*, *in* Murphy, J.B., Keppie, J.D., et Hynes, A.J., éditeurs, *Ancient Orogens and Modern Analogues* : Geological Society, London, Special Publication 327, p. 371–404.

Gehrels, G.E., Valencia, V.A., et Ruiz, J., 2008. *Enhanced precision, accuracy, efficiency, and spatial resolution of U-Pb ages by laser ablation-multicollector-inductively coupled plasma-mass spectrometry*. Geochemistry Geophysics Geosystems, American Geophysical Union, v. 9, 13 p.

Gerstenberger, H., et Haase, G., 1997, *A highly effective emitter substance for mass spectrometric Pb isotope ratio determinations* : Chemical Geology, v. 136, no. 3-4, p. 309-312.

Gradstein, F.M., et Ogg, J.G., 2004, *A geologic time scale 2004*: Cambridge University Press, Cambridge, 598 p., 1 plate.

Gunn, A.G., Pitfield, P.E.J., McKervey, J.A., Key, R.M., Waters, C.N., et Barnes, R.P., 2004, *Notice explicative des cartes géologiques et gîtologiques à l'échelle 1/ 200 000ème et 1/ 500 000ème du Sud de la Mauritanie. Volume 2 – Potentiel Minier*. DMG, Ministère des Mines et de l'Industrie, Nouakchott.

Hebert, C.L., Kaufman, A.J., Penniston-Dorland, S.C., et Martin, A.J., 2010, *Radiometric and stratigraphic constraints on terminal Ediacaran (post-Gaskiers) glaciation and metazoan evolution*: Precambrian Research, v. 182, p. 402–412.

Hibbard, J.P., van Stall, C.R., Rankin, D.W., et Williams, H., 2006, *Lithotectonic map of the Appalachian Orogen, Canada and United States of America :* Geological Survey of Canada, Carte 2096A, échelle 1/1 500 000ème, deux feuilles.

Hoffman, P.F., 1989, Precambrian geology and tectonic history of North America, in: Bally, A., et Palmer, A. (Editeurs), *The Geology of North America* : v. A, Geological Society of America, Boulder, Colorado, p. 447-512.

Hoffman, P.F., 1997. *Tectonic genealogy of North America*. Dans van der Pluijm, B.A., et Marshak, S. (Editeurs), *Earth Structure: an Introduction to Structural Geology and Tectonics*. McGraw-Hill, New York, pp. 459-464.

Hoffman, P.F., et Li, Z.X., 2009, *A palaeogeographic context for Neoproterozoic glaciation* : Palaeogeography, Palaeoclimatology, Palaeoecology, v. 277, p. 158-172.

Hurford, A. J., et P. F. Green, P.F., 1982, *A users' guide to fission track dating calibration*, Earth and Planetary Science Letters, v. 59, p. 343-354.

Ireland, T.R, et Williams, I.S., 2003, *Considerations in zircon geochronology by SIMS* : Reviews in Mineralogy and Geochemistry, v. 53, p. 215-241.

Jaffey, A. H., Flynn, K. F., Glendenin, L. E., Bentley, W. C., et Essling, A. M., 1971, *Precision Measurement of Half-Lives and Specific Activities of ^{235}U and ^{238}U* : Physical Review C, v. 4, no. 5, p. 1889-1906.

Johansson, A., 2009, *Baltica, Amazonia and the SAMBA connection—1000 million years of neighbourhood during the Proterozoic?* : Precambrian Research, v. 175, p. 221–234.

Junner, N.R., 1940, *Geology of the Gold Coast and western Togoland with revised geological map (1:1,000,000)* : Gold Coast Geological Survey Bulletin 11, 40 pp.

Kalsbeek, F., Frei, D., et Affaton, P., 2008, *Constraints on provenance, stratigraphic correlation and structural context of the Volta basin, Ghana, from detrital zircon geochronology: An Amazonian connection?* : Sedimentary Geology, v. 212, p. 86–95.

Ketcham, R.A., Donelick, R.A., et Carlson, W.D., 1999, *Variability of apatite fission-track annealing kinetics, III, Extrapolation to geological time scales* : American Mineralogist, v. 84, p. 1235-1255.

Ketcham, R.A., R.A. Donelick, et M.B. Donelick, 2000, *AFTSolve: a program for multi-kinetic modeling of apatite fission-track data* : Geological Materials Research, v. 2, no. 1, p. 1.

Key, R.M., Loughlin, S.C., Gillespie, M., Del Rio, M., Horstwood, M.S.A., Crowley, Q.G., Darbyshire, D.P.F., Pitfield, P.E.J., et Henney, P.J., 2008, *Two Mesoarchaean terranes in the Rgueïbat shield of NW Mauritania* : Geological Society, London, Special Publication 297, p. 33-52.

Krogh, T. E., 1973, *A low-contamination method for hydrothermal decomposition of zircon and extraction of U and Pb for isotopic age determinations* : Geochimica et Cosmochimica Acta, v. 37, no. 3, p. 485-494.

Kuiper, K.F., Deino, A., Hilgen, F.J., Krijgsman, W., Renne, P.R., et Wijbrans, J.R., 2008, *Synchronizing rock clocks of earth history* : Science, v. 320, p. 500-504.

Lahondère, D., Roger, J., Le Métour, et Callec, Y., 2010, *Carte géologique à 1/1 000 000 de la Mauritanie*: République Islamique de Mauritanie, Ministère des Mines et de l'Industrie, Nouakchott, one sheet.

Lahondère, D., Roger, J., Le Métour, J., Donzeau, M., Guillocheau, F., Helm, C., Thiéblemont, D., Cocherie, A., et Guerrot, C., 2005, *Notice explicative des cartes géologiques à 1/200 000 et 1/500 000 de l'extrême sud de la Mauritanie*: DMG, Ministère des Mines et de l'Industrie, Nouakchott, Rapport BRGM/RC-54273-FR, 610 pages.

Lahondère, D., Thieblemont D., Goujou J.-C., Roger J., Moussine-Pouchkine A., Le Metour J., Cocherie A., et Guerrot C., 2003. *Notice explicative des cartes géologiques et gîtologiques à 1/200 000 et 1/500 000 du Nord de la Mauritanie. Volume 1*. DMG, Ministère des Mines et de l'Industrie, Nouakchott.

Lécorché, J.P., Dallmeyer, R.D., et Villeneuve, M., 1989, *Definition of tectonostratigraphic terranes in the Mauritanide, Bassaride and Rokelide orogens, West Africa, In :* R.D. Dallmeyer, (Editeur), *Terranes in the Circum-Atlantic Paleozoic Orogens*: Geological Society of America Special Paper 230, p. 131-144.

Li, Z.-X., Bogdanova, S. V., Collins, A.S., Davidson, A., De Waele, B. , Ernst, R.E., Fitzsimons, I.C.W., Fuck, R.A., Gladkochub, D.P., Jacobs, J., Karlstrom, K.E., Lu, S., Natapov, L.M., Pease, V., Pisarevsky, S.A., Thrane, K. , et Vernikovsky, V., 2008, *Assembly, configuration, and break-up history of Rodinia: a synthesis* : Precambrian Research, v. 160, p. 179–210.

Ludwig, K.R., 1998, *On the treatment of concordant uranium-lead ages* : Geochimica et Cosmochimica Acta, v. 62, p. 665–676.

Ludwig, K.R., 2001, Squid 1.00. *A users manual* : Berkeley Geochronology Center Special Publication No. 2, 17 pp.

Ludwig, K.R., 2003, Isoplot 3.00, *A Geochronological Toolkit for Microsoft Excel* : Berkeley Geochronology Center, Special Publication No. 4a, Berkeley, California.

Macdonald, F.A., Schmitz, M.D., Crowley, J.L., Roots, C.F., Jones, D.S., Maloof, A.C., Strauss, J.V., Cohen, P.A., Johnston, D.T., et Schrag, D.P., 2010, *Calibrating the Cryogenian* : Science, v. 347, p. 1241-1243.

Marot, A., Stein, G., Artignan, D., et Milesi, J.-P., 2003. *Notice explicative des cartes géologiques et gîtologiques à 1/200 000 et 1/500 000 du Nord de la Mauritanie. Volume 2 – Potentiel Minier* : DMG, Ministère des Mines et de l'Industrie, Nouakchott.

Martyn, J.E., et Strickland, C.D., 2004, *Stratigraphy, structure and mineralisation of the Akjoujt area, Mauritania :* Journal of African Earth Sciences, 38, 489–503.

Mattinson, J. M., 2010, *Analysis of the relative decay constants of ^{235}U and ^{238}U by multi-step CA-TIMS measurements of closed-system natural zircon samples* : Chemical Geology, v. 275, p. 186-198.

McLean, N. M., Bowring, J.F. et Bowring, S.A., 2011, *An Algorithm for U-Pb Isotope Dilution Data Reduction and Uncertainty Propagation* : Geochemistry, Geophysics, Geosystems, v. 12, Q0AA18, DOI:10.1029/2010GC003478.

Meyer, F.M., Kolb, J., Sakellaris, G.A., et Gerdes, A., 2006, *New ages from the Mauritanides Belt: recognition of Archean IOCG mineralization at Guelb Moghrein, Mauritania* : Terra Nova, v. 18, p. 345–352.

Michard, A., Soulaimani, A., Hoepffner, C., Ouanaimi, H., Baidder, L., Rjimati, E. C., et Saddiqi, O., 2010, *The south-western branch of the Variscan belt: evidence from Morocco* : Tectonophysics, v. 492, p. 1-24.

Moussine-Pouchkine, A., et Bertrand-Sarfati, J., 1997, *Tectonosedimentary subdivisions in the Neoproterozoic to Early Cambrian cover of the Taoudéni Basin (Algeria-Mauritania-Mali)* : Journal of African Earth Sciences, v. 24, p. 425-443.

North American Commission on Stratigraphic Nomenclature, 1983, *North American stratigraphic code (No. 5)* : American Association of Petroleum Geologists Bulletin, v. 67, p. 841-875.

O'Connor, E.A., Pitfield, P.E.J., Schofield, D.I., Coats, S., Waters, C., Powell, J., Ford, J., Clarke, S., et Gillespie, M., 2005, *Notice explicative des cartes géologiques et gîtologiques à 1/200 000 et 1/500 000 du Nord-Ouest de la Mauritanie* : DMG, Ministère des Mines et de l'Industrie, Nouakchott.

Olsen, P.E., Kent, D.V., Et-Touhami, M., et Puffer, J., 2003, *Cyclo-, magneto-, and bio-stratigraphic constraints on the duration of the CAMP event and its relationship to the Triassic-Jurassic boundary* : Geophysical Monograph Series, v. 136, p. 7-32.

Peucat, J.J., Capdevila, R., Drareni, A., Mahdjoub, Y., et Kahoui, M., 2005, *The Eglab massif in the West African Craton (Algeria), an original segment of the Eburnean orogenic belt: petrology, geochemistry and geochronology* : Precambrian Research, v. 36, p. 309-352.

Pisarevsky, S.A., Wingate, M.T. D., Powell, C.M., Johnson, S., et Evans, D.A.D, 2003, *Models of Rodinia assembly and fragmentation*, *in* Yoshida, M., Windley, B.F., et Dasgupta, S., éditeurs, *Proterozoic East Gondwana: Supercontinent assembly and breakup* : Geological Society, London, Special Publication 206, p. 35–55.

Paces, J.B., et Miller, J.D., 1993, *U-Pb ages of the Duluth Complex and related mafic intrusions, northeastern Minnesota: Geochronologic insights into physical, paleomagnetic and tectonomagmatic processes associated with the 1.1 Ga mid-continent rift system* : Journal Geophysical Research, v. 98, p. 13,997-14,013.

Paton, C., Woodhead, J.D., Hellstrom, J.C., Hergt, J.M., Greig, A., et Maas, R., 2010, *Improved laser ablation U-Pb zircon geochronology through robust downhole fractionation correction* : Geochemistry, Geophysics, Geosystems, v. 11, Q0AA06, doi:10.1029/2009GC002618.

Pisarevsky, S.A., Wingate, M.T. D., Powell, C.M., Johnson, S., et Evans, D.A.D, 2003b, *Models of Rodinia assembly and fragmentation*, *In* Yoshida, M., Windley, B.F., et Dasgupta, S., éditeurs, *Proterozoic East Gondwana: Supercontinent assembly and breakup* : Geological Society, London, Special Publication 206, p. 35–55.

Pitfield, P.E.J., Key, R.M., Waters, C.N., Hawkins, M.P.H., Schofield, D.I., Loughlin, S., et Barnes, R.P., 2004, *Notice explicative des cartes géologiques et gîtologiques à 1/200 000 et 1/500 000 du Sud de la Mauritanie. Volume 1 – géologie*: DMG, Ministère des Mines et de l'Industrie, Nouakchott.

Potrel, A., Peucat, J. J., Fanning, C. M., Auvray, B., Burg, J. P., et Caruba, C., 1996, *3.5 Ga old terranes in the West African craton, Mauritania* : Journal of the Geological Society, v. 153, p. 507-510.

Potrel, A., Peucat, J. J., et Fanning, C. M., 1998, *Archean crustal evolution of the West African Craton: example of the Amsaga Area (Rgueïbat Rise). U-Pb and Sm-Nd evidence for crustal growth and recycling* : Precambrian Research, v. 90, p. 107-117.

Rémy, P., 1985, *Caractères tholéïtiques et alcalins dans le matériel ophiolitique du groupe d'El Aouidja (Mauritanides centrales) :* Ophiolitic, v. 10, p. 391-410.

Rogers, J.J.W., et Santosh, M., 2002, *Configuration of Columbia, a Mesoproterozoic supercontinent* : Gondwana Research, v. 5, p. 5-22.

Rooney, A.D., Selby, D., Houzay, et J.-P., Renne, P.R., 2010, *Re–Os geochronology of a Mesoproterozoic sedimentary succession, Taoudéni basin Mauritania: implications for basin-wide correlations and Re–Os organic-rich sediments systematics* : Earth and Planetary Science Letters, v. 289, p. 486–496.

Rubatto, D., 2002, *Zircon trace element geochemistry: partitioning with garnet and the link between U–Pb ages and metamorphism* : Chemical Geology, v. 184, p. 123-138.

Salpeteur, I., 2005, *Mining prospects in the South for Mauritania: Geological survey of the extreme south of Mauritania (PRISM project)*, DMG, Ministère des Mines et de l'Industrie, Nouakchott, et rapport BRGM/RC-54132-FR, Orléans, 100 p.

Schofield, D.I., Horstwood, M.S.A., Pitfield, P.E.J., Crowley, Q.G., Wilkinson, A.F., Sidaty, H.C.O., 2006, *Timing and kinematics of Eburnean tectonics in the central Rgueïbat Shield, Mauritania* : Journal of the Geological Society, London, v. 163, p. 549–560.

Schofield, D.I., et Gillespie, M.R., 2007, *A tectonic interpretation of "Eburnean terrane" outliers in the Rgueïbat Shield, Mauritania* : Journal of African Earth Sciences, v. 49, p. 179–186.

Schofield, D.I., Horstwood, M.S.A., Pitfield, P.E.J., Gillespie, M., Darbyshire, F., O'Connor, E.A., et Abdouloye, T.B., 2012, *U-Pb dating and Sm-Nd isotopic analysis of granitic rocks from the Tiris*

Complex: New constaints on key events in the evolution of the Rgueïbat Shield, Mauritania : Precambrian Research, v. 204-205, p. 1-11.

Speer, J.A., McSween, H.Y., Jr., et Gates, A.E., 1994, *Generation, Segregation, Ascent, and Emplacement of Alleghanian Plutons in the Southern Appalachians* : The Journal of Geology, v. 102, p. 249-267.

Shields, G.A.,Deynoux, M., Strauss, H., Paquet, H., et Nahon, D., 2007, *Barite-bearing cap dolostones of the Taoudéni Basin, northwest Africa: Sedimentary and isotopic evidence for methane seepage after a Neoproterozoic glaciation* : Precambrian Research, v. 153, p. 209–235.

Stacey J. S. et Kramer J. D., 1975, *Approximation of terrestrial lead isotope evolution by a two-stage model*. Earth and Planetary Science Letters, v. 26, pp. 207-221.

Steiger, R.H. et Jäger, E., 1977, *Subcommission on geochronology: Convention on the use of decay constants in geo- and cosmochronology* : Earth and Planetary Science Letters, v. 36, p. 369-371.

Steiner, C., Hobson, A., et Favre, P., 1998, *Mesozoic sequence of Fuerteventura (Canary Islands): Witness of early Jurassic sea-floor spreading in the Central Atlantic* : Geological Society of America Bulletin, v. 110, p. 1304–1317.

Stern, R.J., 1994, *Arc assembly and continental collision in the Neoproterozoic East African orogen: Implications for the consolidation of Gondwanaland* : Annual Reviews of Earth and Planetary Science, v. 22, p. 319-351.

Tait, J., Straathof, G., Söderlund, U., Ernst, R.E., Key, R., Jowitt, S.M., Lo, K., Dahmada, M.E.M., et N'Diaye, O., 2013, *The Ahmeyim Great Dyke of Mauritania: A newly dated Archaean intrusion*: Lithos, *http://dx.doi.org/10.1016/j.lithos.2012.09.014*

Thiéblemont, D., Goujou, J.C., Egal, E., Cocherie, A., Delor, C., Lafon, J.M., et Fanning, C.M., 2004, *Archean evolution of the Leo Rise and its Eburnean reworking* : Journal of African Earth Sciences, v. 39, p. 97-104.

Thompson, M.D., et Bowring, S.A., 2000, *Age of the Squantum "tillite", Boston Basin, Massachusetts; U–Pb zircon constraints on terminal Neoproterozoic glaciation* : American Journal of Science, v. 300, p. 630–655.

Verati, C., Bertrand, H., et Féraud, G., 2005, *The farthest record of the Central Atlantic Magmatic Province into West Africa craton: Precise $^{40}Ar/^{39}Ar$ dating and geochemistry of Taoudéni basin intrusives (northern Mali)* : Earth and Planetary Science Letters, v. 235, p. 391– 407.

Villeneuve, M, et Cornée, J.J., 1994, *Structure, evolution, and paleogeography of the West African craton and bordering belts during the Neoproterozoic* : Precambrian Research, v. 69, p. 307-326.

Villeneuve, M., Bellon, H., El Archi, A., Sahabi, M., Rehault, J.P., Olivet, J.L., Aghzer, A.M., 2006, *Evénements panafricains dans l'Adrar Souttouf (Sahara marocain)* : Comptes Rendus Géoscience, v. 338, p. 359–367.

Villeneuve, M., El Archi, A., et Nzamba, J., 2010, *Les chaînes de la marge occidentale du Craton Ouest-Africain, modèles géodynamiques* : Comptes Rendus Geoscience, v. 342, p. 1-10.

Williams, I.S., 1997, *U-Th-Pb geochronology by ion microprobe* : Reviews in Economic Geology, v. 7, p. 1-35.

Zhang, M., Ewing, R.C., Boatner, L.A., Salje, E.K.H., Weber, W.J., Daniel, P., Zhang, Y., et Farnan, I., 2009, *Pb* irradiation of synthetic zircon ($ZrSiO_4$): Infrared spectroscopic study – Reply*. American Mineralogist, v. 94, pp. 856-858.

Tableaux

Table 1. Synthèse du résultat des datations par l'USGS du zircon magmatique.

Numéro sur la carte	Numéro de l'échantillon (USGS)	Numéro de l'échantillon (laboratoire)	Latitude	Longitude	Unité géologique	Âge de cristallisation du zircon magmatique (Ma)	Description	Commentaires	Année et méthode
19	DB07RIM29a	952-46	20.4971	-12.87567	Gr. de Teniagouri, Fm. de Bouly	622±1	Tuf interlité avec des siltites, à proximité d'Atar	L'analyse par SIMS indique un âge d'environ 630 Ma, avec une précision médiocre. L'analyse par CA-TIMS donne des âges concordants, à 622 Ma.	2009, SIMS; 2012, CA-TIMS
37	DB07RIM64a	952-54 & 1284-10	17.47236	-12.96754	Cortège de Kelbe	Datation impossible	Granitoïde folié	Les autres parties de ce complex magmatique ont des âges isotopiques Néoprotérozoïques. Les zircons Paléoprotérozoïques dans cet échantillon sont intrepretés comme des xénocristaux incorporés au magma sans cristallisation de nouveaux zircons.	2012, SIMS; 2012, LAICPMS
39	CT07RIM10-01	952-45 & 1284-2	19.64872	-14.13991	Gr. d'Oumachouema, Fm. de St. Barbe	2839±14	Métarhyolite (?) rubanée à quartz, feldspath potassique, et amphibole, hébergeant des veines de quartz, de wolframite, et de malachite.	Âge du magma, sur la base du pic de probabilité le plus jeune; les zircons plus anciens sont interprétés comme détritiques.	2012, SIMS; 2012, LAICPMS
48	DB07RIM25a	952-56	20.68434	-13.19708	Complexe d'Amsaga	Datation impossible	Granitoïde déformé	L'ensemble des zircons récupérés était fortement métamictisés.	2012, SIMS
50	CT07RIM25-1	952-49	21.25933	-13.15357	Complexe d'Amsaga Complex, unité Amlb	2930±33	Anorthosite: homogène, équigranulaire, à cristaux grossiers "granite noir" provenant d'une carrière.	Âge d'intersection supérieure; interprétation difficile. Possiblement la plus anciennes anorthosite de type massif au monde.	2012, SIMS; 2012, LAICPMS
51	DB07RIM32-1a	952-52	21.08348	-13.16768	Complexe d'Amaga, anorthosite	2718±7	Anorthosite	Age Concordia (Ludwig, 2003)	2010, SIMS
51	CT07RIM22-1	952-48	21.083334	-13.166667	Complexe d'Amsaga Complex, unité Amlb	2743±4	Anorthosite sombre, à grains fins.	Age Concordia (Ludwig, 2003)	2012, SIMS
62	DB07RIM51a	952-53	24.7835	-10.45706	Cortège de Gleibat Tenabdar	2068±21	Granite rouge alcalin	Âge d'intersection supérieure	2011, SIMS
58	CT07RIM37-1	1284-3	26.33772	-8.53738	Gr. de Blekhzamat, Fm. d'Aguelt Nebkha	2113±17	Métatuf pyritique à veines de quartz	Âge du magma, sur la base du pic de probabilité le plus jeune. Les plus anciens zircons sont interprétés comme détritiques; les zircons plus jeunes sont interprétés comme partiellement réinitialisés.	2012, SIMS; 2012, LAICPMS
pas illustrée	DB07RIM47a	952-47	22.7055	-12.51691	Complexe d'Ijil	Datation impossible	Zone d'argile déformée au sein des formations de fer rubanés (BIF). Prélevé comme possible éjecta.	Aucun zircon magmatique prélevé	2009, SIMS
pas illustrée	DB07RIM22b	952-25	20.259537	-13.216916	Complexe d'Amsaga	Datation impossible	Paléosol altéré sur le granitoïde	Aucun zircon magmatique prélevé	2012, SIMS
pas illustrée	CT07RIM54-5	952-51	16.84516	-12.75505	Gr. d'El Mseigguem, Fm. d'Ouechkech	Datation impossible	Métatuf felsique	Aucun zircon magmatique prélevé	2012, SIMS; 2012, LAICPMS

Table 2. Synthèse du résultat des datations par l'USGS du zircon détritique.

Numéro de la figure	Numéro de l'échantillon	Numéro de laboratoire	Latitude	Longitude	Unité géologique	Description	Âge de sédimentation maximal (Ma) déduit des zircons détritiques	Âge de sédimentation interprété (Ma)	Commentaires sur les zircons détritiques	Année et méthode
2	CT22		20.259361	-13.215861	Gr. de Char	Grès teinté, à grain fin, bien classé, provenant d'un affleurement de tranchée de route. Prélevé dix mètres au-dessus de la discordance avec le socle d'Amsaga.	2054	~1125	L'âge de sédimentation maximal correspond au pic de probabilité le plus jeune. Les zircons détritiques ne fournissent aucunes contraintes, mais le Groupe d'Atar superposé date (Re-Os) de ca. 1107 Ma.	2007, SIMS
3	DB07RIM23a	952-12 & 1284-04	20.29909	-13.17002	Gr. d'Atar Gp, Fm. de Foum Chor	Grès	2031	~1107	Âge Re-Os. Les zircons détritiques ne fournissent aucunes contraintes. Certains zircons en partie ou complètement réinitialisés ca. 606 Ma.	2012, LAICPMS
4	DB07RIM31a	952-43	20.717	-12.73111	Gr. d'Assabet el Hassiane	Grès	975	975	L'âge de sédimentation maximal correspond à un pic de probabilité le plus jeune définie par trois zircons. Peut-être plus jeune, ca. 878 Ma, si le Groupe d'Aioun est considéré.	2012, LAICPMS
5	DB07RIM59a	952-11	21.16323	-11.3894	Gr. d'Assabet el Hassiane, unité AhTb	Grès, à proximité de Guelb er Richat	1036	975	Les zircons détritiques fournissent seulement des contraintes générales; l'âge de sédimentation maximal correspond au pic de probabilité le plus jeune définie par quatres zircons. Cet échantillon superpose RIM07DB31a et doit être plus jeune.	2012, LAICPMS
6	CT07RIM70-1	952-38	16.44493	-9.237	Gr. d'Aioun, Fm. de Freidi	Grès à grains grossiers.	878	878	L'âge de sédimentation maximal correspond au pic de probabilité le plus jeune définie par deux zircons. La carte géologique 1:200,000 indique que le site est dans la Formation de Bouly, Groupe de Téniagouri. Basé sur la lithologie et le code-barres zircon, nous proposons que l'échantillon appartient à la Formation de Freidi.	2012, LAICPMS
7	CT07RIM71-1	952-39	16.6429	-9.63002	Gr. d'Aioun, Fm. de Seyal	Grès grenu provenant d'une dune avec strtifications entrecroisées.	909	909	Âge de sédimentation maximal correspond au pic de probabilité le plus jeune.	2012, LAICPMS
8	CT07RIM72-1	952-40	16.55001	-11.17997	Gr. de Khaang Naam, Fm. de Lehbilé	Grès à grain fin.	1128	870	Les zircons détritiques ne fournissent aucunes contraintes. L'âge final est basé sur la position stratigraphique au-dessus de la Formation de Freidi, Groupe d'Ajoun.	2012, LAICPMS
9	DB07RIM29c	952-08	20.4971	-12.87567	Gr. de Jbeliat	Tillite à proximité d'Atar	1006	635	Les zircons détritiques ne fournissent aucunes contraintes. L'âge final est basé sur l'association du Groupe de Jbeliat avec la glaciation Marinoenne.	2012, LAICPMS
10	CT07RIM73-1	952-34	16.58967	-11.29394	Gr. de Jbeliat	Grès rouge arkosique à grains grossiers. Structure de déformation syn-sédimentaires.	994*	635	Les zircons détritiques ne fournissent aucunes contraintes. L'âge final est basé sur l'association du Groupe de Jbeliat avec la glaciation Marinoenne.	2012, LAICPMS
11	DB07RIM80a	952-27	14.835259	-11.925647	Gr. de Jbeliat	Tillite avec matrice tufacée, à proximité du fleuve Sénégal.	648	635 or maybe younger	L'âge de sédimentation maximal correspond au pic de probabilité le plus jeune définie par trois zircons. Contrairement aux deux autres échantillons du même groupe, celui-ci contient des zircons qui approchent l'âge de sédimentation final.	2012, LAICPMS
13	DB07RIM77a	952-10	15.13696	-12.17747	Gr. de Teniagouri, Sous-groupe de Koumba Ndao	Turbidites à grès tufacés à proximité de Selibabi.	601	601	L'âge de sédimentation maximal correspond au pic de probabilité le plus jeune définie par cinq zircons. L'âge de sédimentation est pris comme l'âge maximal car l'échantillon provient d'un bassin d'avant-pays.	2012, LAICPMS
14	DB07RIM28a	952-42	20.502785	-12.854843	Gr. de Nouatil	Grès	540	~535	L'âge de sédimentation maximal est la moyenne des deux plus jeunes zircons d'âges similaires. Doit être plus vieux que 524 et plus jeune que 548 Ma.	2012, LAICPMS

Numéro de la figure	Numéro de l'échantillon	Numéro de laboratoire	Latitude	Longitude	Unité géologique	Description	Âge de sédimentation maximal (Ma) déduit des zircons détritiques	Âge de sédimentation interprété (Ma)	Commentaires sur les zircons détritiques	Année et méthode
15	DB07RIM26a	952-29	20.505436	-12.842389	Gr. d'Oujeft, Fm. de Chinguetti	Grès	524	524	L'âge de sédimentation maximal correspond à un pic de probabilité le plus jeune définie par deux zircons. L'âge de déposition enregistré est pris comme l'âge maximal car l'échantillon provient d'un bassin d'avant-pays. Cohérent avec l'âge de la frontière Cambrienne-Ordovicienne de la Formation de Terguent.	2012, LAICPMS
16	DB07RIM61a	952-35	20.92858	-11.5921	Gr. d'Oujeft, Fm. de Chinguetti	Ouadane	552	525	Les zircons détritiques fournissent seulement des contraintes générales. Éxtrapolé de l'âge de DB07RIM26a.	2012, LAICPMS
17	DB07RIM75a	952-09	16.34693	-11.97703	Gr. d'Oujefte, Sous-groupe d'Aghaoujeft	Grès au sein du bassin l'avant-pays des Mauritanides.	524	510	L'âge de sédimentation maximal est la moyenne des trois plus jeunes zircons d'âges similaires. L'âge de sédimentation interprété est pris comme étant un peut plus jeune que l'âge maximal, car ce groupe est un peut plus jeune que la Formation de Chinguetti (Pitfield et al., 2004).	2012, LAICPMS
18	CT07RIM60-1	952-36	15.91161	-11.86834	Gr. d'Oujeft, Fm. de Moudjeria	Grès quartzofeldspathique.	543	~525	L'âge de sédimentation maximal est la moyenne des trois plus jeunes zircons d'âges similaires. L'âge de sédimentation interprété est pris comme étant égal à l'âge de la Formation de Chinguetti (Pitfield et al., 2004).	2012, LAICPMS
19	DB07RIM74a	952-18	16.29167	-12.08789	Gr. d'Oujeft, présumément Fm. de Moudjeria	Grès au sein du bassin l'avant-pays des Mauritanides, à proximité du front de déformation des Mauritanides	903	903	L'âge de sédimentation maximal correspond au pic de probabilité le plus jeune défini par deux zircons. Nous pensons que ce grès n'est pas de la Formation de Moudjeria mais provient de la Formation d'Assabet ou équivalent.	2012, LAICPMS
20	CT07RIM59-1	952-30	15.93484	-12.00753	Gr. de Tichit, Fm. de Tabarit El Kbir	Grès quartzique mature, bien classé, à lits entrecroisés.	548*	444	Les zircons détritiques ne fournissent aucunes contraintes.	2012, LAICPMS
21	CT07RIM62-1	952-37	16.66927	-7.24465	Gr. de Nema Gp, Fm. d'Adeile Fm	Grès brun, à litage épais, à grains quartzofeldspathiques fins à moyens.	525	~150	Les zircons détritiques ne fournissent aucunes contraintes. Mésozoïque et plus jeune que 200 Ma basé sur la géologie régionale.	2012, LAICPMS
22	DB07RIM76a	952-28	16.27028	-12.16705	Gr. de Djonaba	Groupe de Djonaba, grauwacke, à proximité de front de charriage des Mauritanides	982	~980	L'âge de sédimentation maximal correspond au pic de probabilité le plus jeune définie par trois zircons. Le code-barres de l'échantillon est très similaire à celui du Groupe d'Assabet.	2012, LAICPMS
29	DB07RIM62a	952-20	17.41983	-13.1377	Groupe d'El Fadra, Unité FrKc	Grès métamorphisé	553	~550	L'âge de sédimentation maximal est la moyenne des trois plus jeunes zircons d'âges similaires. Le code-barres de l'échantillon est très similaire à celui du Groupe d'Oujeft.	2012, LAICPMS
27	GB07RIM63A	1284-9	17.08795	-12.9394	Gr. d'El Ghabra , Fm. d'Oued Erdi.	Grès tufacé	594	594	L'âge de sédimentation maximal correspond au pic de probabilité le plus jeune défini par neuf zircons. Le code-barres de l'échantillon est très similaire à celui du Groupe de Téniagouri.	2012, SIMS & LAICPMS
28	DB07RIM73a	952-24	16.33721	-12.62448	Gr. d'El Ghabra, Fm. d'Ould Moilid	Métagrauwacke	606	606	L'âge de déposition maximal correspond à un pic de probabilité le plus jeune défini par trois zircons. Le code-barres de l'échantillon est très similaire à celui du Groupe de Téniagouri.	2012, LAICPMS
26	CT07RIM55-1	952-19	16.84567	-12.75303	Gr. d'El Mseigguem, Fm. d'Ouechkech	Grès métamorphisé	567	~560	L'âge de déposition maximal est la moyenne des trois plus jeunes zircons d'âges similaires. Le code-barres de l'échantillon est très similaire à celui du Groupe d'Oujeft.	2012, LAICPMS
24	DB07RIM65a	952-34	16.88596	-12.72495	Gr. de Gadel	Métaconglomérat	999	~995	L'âge de sédimentation maximal correspond au pic de probabilité le plus jeune définie par sept zircons. Le code-barres de l'échantillon est très similaire à celui du Groupe d'Assabet.	2012, LAICPMS

Numéro de la figure	Numéro de l'échantillon	Numéro de laboratoire	Latitude	Longitude	Unité géologique	Description	Âge de sédimentation maximal (Ma) déduit des zircons détritiques	Âge de sédimentation interprété (Ma)	Commentaires sur les zircons détritiques	Année et méthode
25	DB07RIM69a	952-22	16.98177	-12.63972	Gr. de Gueneba	Quartzite en alternance avec de la dolomie	551	~550	L'âge de sédimentation maximal est la moyenne des deux plus jeunes zircons d'âges similaires. Le code-barres de l'échantillon est très similaire à celui du Groupe d'Oujeft.	2012, LAICPMS
32	DB07RIM01a	952-04	19.8079	-14.38875	Gr. de Oumachouema, Fm. de St. Barbe	Grès métamorphisé chloritique	573	~570	L'âge de sédimentation maximal correspond au pic de probabilité le plus jeune défini par huit zircons. Le code-barres de l'échantillon est très similaire à celui du Groupe d'Oujeft.	2012, LAICPMS
33	CT07RIM02-01	952-26	19.83974	-14.41061	G. d'Oumachouema, Fm. de St. Barbe	Semischiste chloritique au-dessus d'un amas de carbonate de Fer	538	~535	L'âge de sédimentation maximal correspond au pic de probabilité le plus jeune défini par trois zircons. Le code-barres de l'échantillon est très similaire à celui du Groupe d'Oujeft.	2012, LAICPMS
34	CT21		19.819333	-14.298833	Gr. d'Oumachoueima, undivided	Grès finement lités / tuf à proximité de l'unité sommitale	558	~555	L'âge de sédimentation maximal correspond au pic de probabilité le plus jeune. Le code-barres de l'échantillon est très similaire à celui du Groupe d'Oujeft.	2007 & 2012, SIMS
35	DB07RIM02a	952-03	19.84547	-14.4313	Gr. de Oumachouema, Formation d'Irarchene El Hamra	Quartzite	974	~970	L'âge de sédimentation maximal correspond au pic de probabilité le plus jeune défini par trois zircons. Le code-barres de l'échantillon est très similaire à celui du Groupe d'Assabet.	2012, LAICPMS
36	DB07RIM03a	952-31	19.8935	-14.43958	Gr. de Eizzene, Fm. de Raoui	Quartzite	986	~980	L'âge de sédimentation maximal correspond au pic de probabilité le plus jeune défini par deux zircons. Le code-barres de l'échantillon est très similaire à celui du Groupe d'Assabet.	2012, LAICPMS
38	DB07RIM17a	952-41	19.68005	-14.77687	Complexe d'Inchiri, Gr. de Hajar dekhen – Kleouat	Quartzite	538	~535	L'âge de sédimentation maximal correspond au pic de probabilité le plus jeune défini par trois zircons. Le code-barres de l'échantillon est très similaire à celui du Groupe d'Oujeft. Possible incohérence: cette partie du Complexe d'Inchiri a subi un métamorphisme de contact et une phase du complexe de granite responsable date de 599±8 Ma.	2012, LAICPMS
39	GB07RIM80A	952-16	20.535261	-15.554685	Gr. de Lebzenia, Fm. d'Aouéoua	Quartzite hématisée et séricitisée, provenant de l'indice Vararate Ouest	576		Problème: supposé être d'âge Archéen. Les explications possibles comprennent la réinitialization Néoprotérozoïque, une unité Pan-Africaine auparavant inconnue dans la région de Tasiast, ou un mélange d'échantillons.	2012, LAICPMS
42	DB07RIM25c	952-17	20.68434	-13.19708	Complexe d'Amsaga	Quartzite	582		Problème: supposé être d'âge Archéen. Explications possibles comprennent la réinitialization Néoprotérozoïque ou un mélange d'échantillons.	2012, LAICPMS
48	DB07RIM46a	952-06	22.67848	-12.46013	Complexe d'Ijil, Fm. de Tazadit, membre inférieur	Quartzite	2988	~2100	Les zircons détritiques ne fournissent aucunes contraintes. L'âge interprété est basé sur le modèle tectonique de Schofield et Gillespie (2007).	2012, LAICPMS
49	DB07RIM36a	952-05	22.68599	-12.54027	Complexe d'Ijil, Fm. de Seyala	Conglomérat	2851	~2060	Les zircons détritiques ne fournissent aucunes contraintes. L'âge interprété est basé sur le modèle tectonique de Schofield et Gillespie (2007).	2012, SIMS; 2012, LAICPMS
50	DB07RIM55a	952-44	24.49981	-7.42639	Gr. de Blekhzaymat, Unit BZam2, ceinture d'affleurement sud	Grès / conglomérat	2043	~2040	L'âge de sédimentation maximal est la moyenne des trois plus jeunes zircons d'âges similaires.	2012, LAICPMS
51	DB07RIM54a	952-15 & 1284-8	26.51881	-8.46481	Gr. de Blekhzaymat, ceinture d'affleurements nord	Grès métamorphisé	2141	~2000	À propos de la seconde analyse: Le pic à 620 Ma est peut être une surimpression Pan-Africaine. L'âge de sédimentation maximal correspond à un pic de probabilité Paléoprotérozoïque définie par six zircons.	2012, LAICPMS

Numéro de la figure	Numéro de l'échantillon	Numéro de laboratoire	Latitude	Longitude	Unité géologique	Description	Âge de sédimentation maximal (Ma) déduit des zircons détritiques	Âge de sédimentation interprété (Ma)	Commentaires sur les zircons détritiques	Année et méthode
56	DB07RIM52a	952-13 & 1284-6	25.15799	-10.12549	Complexe de Tsalabia el Khadra, unité Khep	Arénite quartzique	581	~545	L'âge de sédimentation maximal correspond à un pic de probabilité, très probablement Néoprotérozoïque, définie par deux zircons. Si l'échantillon est en effet Néoprotérozoïque, il doit provenir d'un bassin superposé à la dorsale de Rgueïbat.	2012, LAICPMS
56	DB07RIM53a	952-14 & 1284-7	25.36297	-9.91157	Complexe du Ghallamane, unité GLsc	Grès métamorphisé	2083	~2080	L'âge de sédimentation maximal correspond au pic de probabilité le plus jeune définie par trois zircons	2012, LAICPMS

Table 3. Synthèse du résultat des datations $^{40}Ar/^{39}Ar$ par l'USGS.

Numéro de la figure	Numéro de l'échantillon	Latitude	Longitude	Unité géologique	Lithologie	Description	Âge intégrée (Ma)	Âges plateau (Ma)	Commentaires
24	DB07RIM66a (1)	16.87144	-12.70554	Gr. de Gadel	métaconglomérat schisteux	Unité désignée par le terme de "mélange", matrice schisteuse à quartz et mica jusqu'à des métaconglomérats, fraction de mica blanc finement grenu.	572 ± 3	X	Le spectre des âges semble médiocre. Cet échantillon est un sous-ensemble à grains fins.
24	DB07RIM66a (2)	16.87144	-12.70554	Gr. de Gadel	métaconglomérat schisteux	Unité désignée par le terme de "mélange", matrice schisteuse à quartz et mica jusqu'à des métaconglomérats, fraction de mica blanc grossièrement grenu.	593 ± 3	594 ± 7	Le spectre des âges semble bon. Le plateau contient environ 90 % d'argon relâché. Il s'agit de l'analyse laser d'un grain unique.
31	GB07RIM52A	17.49381	-12.91467		veine à quartz et séricite	Fragments de quartz riches en séricite provenant de l'indice minéral d'Iguerj	356.8 ± 1.8	X	Le spectre des âges semble correct.
31	GB07RIM61A	17.28512	-12.91928		veine à quartz et séricite	Fragments de quartz riches en séricite provenant de l'indice minéral de Chlakh Lhemir.	298.6 ± 1.5	298.6 ± 1.7	Le spectrel des âges semble bon. Le plateau contient environ 65 % d'argon relâché.
31	GB07RIM62C	17.26708	-12.9162		veine à quartz et séricite	Fragments de quartz riches en séricite provenant de l'indice minéral de Chlakh Lhemir.	294.8 ± 1.5	X	Le spectre des âges semble correct.
31	GB07RIM69A	16.71545	-12.77247		veine à quartz et séricite	Fragments de quartz riches en séricite provenant de l'indice minéral de Vararate Nord	648 ± 4	X	Le spectre des âges semble médiocre.
40	GB07RIM82D	20.568767	-15.505248		veine à quartz et séricite	Fragments de quartz riches en séricite provenant du gisement de Tasiast	2533 ± 8	X	Le spectre des âges semble médiocre.
41	DB07RIM25a	20.68434	-13.19708	Complexe d'Amaga	granite	Indice de tungstène, Complexe d'Amsaga, granite à mica blanc	1753 ± 6	X	Le spectre des âges semble correct.
45	DB07RIM45b	22.69307	-12.4593	Complexe de Tiris	mylonite micacée	Mylonite provenant du contact chevauchant du Kediat Idjil, au-dessus de Tiris, à proximité de Zouérate	2496 ± 8	X	Le spectre des âges semble médiocre.
48	DB07RIM46b	22.67848	-12.46013	Complexe d'Ijil, Fm. de Tazadit, membre inférieur	schiste à muscovite	Micaschiste, "Membre" inférieur Kediat Idjil, au niveau des tranchées de routes lors d'une sortie de terrain	1950 ± 7	X	Le spectre des âges semble correct.
53	GB07RIM40B	26.51736	-8.46409	Veine coupe Gr. de Blekhzaymat	veine à quartz et séricite	Fragments de quartz riches en séricite; indice minéral BIA601	2179 ± 11	X	Le spectre des âges semble correct.
53	GB07RIM42B	26.46834	-8.46793	Veine coupe Gr. de Blekhzaymat	veine à quartz et séricite	Fragments de quartz riches en séricite;indice minéral BIA611	2061 ± 7	2063 ± 7	Le spectre des âges semble bon. Le plateau contient environ 85 % d'argon relâché.
54	DB07RIM53c	25.36297	-9.91157	Complexe de Ghallamane, unité GLsc	cornéenne de métaturbidites	Cornéenne développée sur une métaturbidite	1981 ± 7	2014 ± 12	Le spectre des âges semble correct. Les premiers 40 % de l'argon relâché donnent des âges croissant jusqu'au plateau.
Les échantillons suivants n'a donné aucun résultatutile									
not shown	CT07RIM47-1	17.42013	-13.13654	El Fadra Gp, - Fm. Oued Kav	veine à quartz et ankérite	Veine à quartz et ankérite de 5 cm d'épaisseur, recoupant les schistes verts et les schistes à muscovite. Minces veines abondantes à quartz et ankérite, et à quartz, calcite, et épidote, au niveau de l'affleurement.	Datation impossible	Datation impossible	Mica non-séparable
not shown	CT07RIM49-2	17.36106	-12.81517	Gueneiba Gp. - Fm. Oued Amour	goethite veinée à séricite et quartz	Petite colline E-O de goethite massive, recoupée par des veines de quartz et de malachite, à l'indice minéral d'El Aouidja	Datation impossible	Datation impossible	Échantillon analysé; pas de mica. Peut-être de la pyrophyllite.
not shown	DB07RIM25b	20.68434	-13.19708	Complexe d'Amaga	quartzite	Indice de tungstène, Complexe d'Amsaga, quartzite avec du mica blanc métamorphique	Datation impossible	Datation impossible	Mica non-séparable
not shown	DB07RIM63b	17.49605	-12.97836	Gr d'El Fadra, Fm d'El Hneikat	schiste à quartz et muscovite	Région de Magkta Lahjar, Formation d'El Hneikat, micaschiste à quartz pour dater le métamorphisme à proximité de l'indice minéral de Magkta Lahjar	Datation impossible	Datation impossible	Échantillon non-analysé
not shown	DB07RIM71a	16.67589	-12.70435	Gr. d'El Ghabra	schiste à muscovite	Groupe d'El Ghabra, indice d'Au, micaschiste au sein d'une zone de cisaillement	Datation impossible	Datation impossible	Échantillon analysé; pas de mica. Peut-être de la pyrophyllite.
not shown	GB07RIM41A	26.47964	-8.45411		veine à quartz et séricite	Fragments de quartz avec des grains de sulfures oxydés, riches en séricite; indice minéral BIA622	Datation impossible	Datation impossible	Mica non-séparable

Table 4. Données analitiques des traces de fission de l'Apatite.

Nom de l'analyse	TF âge (Ma)	95%-CI (Ma)	95%+CI (Ma)	Âge U-Pb (Ma)	2 sigma (Ma)	Ns
9522a1_1	62.22	42.83	136	1487.03	329.32	3
9522a1_2	20.02	13.04	37.28	0	0	4
9522a1_3	38.29	26.39	84.39	2522.13	791.07	3
9522a1_4	182.26	50	68.54	1912.39	167.77	54
9522a1_5	0	0	0	0	0	7
9522a1_6	135.65	49.12	76.56	2316.61	240.43	23
9522a1_7	163.18	47.73	67.11	2227.66	359.59	44
9522a1_8	159.87	44.54	61.45	2094.62	243.26	52
9522a1_9	0	0	0	0	0	10
9522a1_10	0	0	15.85	2024.94	271.05	0
9522a1_11	57.95	50.16	362.5	336.8	349.8	1
9522a1_12	185.97	58.44	84.66	2011.81	274.87	35
9522a1_13	248.98	92.49	145.5	600.16	187.15	21
9522a1_14	181.92	115.58	309.4	2098.15	502.91	4
9522a1_15	217.67	85.42	139.09	2050.16	425.69	18
9522a1_16	0	0	0	0	0	76
9522a1_17	196.88	94.31	178.53	2140.65	508.65	10
9522a1_18	196.7	88.66	159.44	2314.07	369.32	12
9522a1_19	410.38	152.74	238.85	2091.15	539.38	21
9522a1_20	255.65	132.26	268.37	2183.05	781.96	8
9522a1_21	144.25	60.61	103.7	0	0	15
9522a1_22	8257.27	6368.56	11324.68	0	0	39
9522a1_23	153.48	65.66	113.75	2183.25	343.49	14
9522a1_24	100.65	76.34	308.63	1877.44	701.91	2
9522a1_25	755.02	289.8	454.16	2145.44	1175.89	19
9522a1_26	151.77	70.51	130.36	2170.36	363.49	11
9522a1_27	132.13	54.1	90.95	1909	286.05	16
9522a1_28	175.5	94.48	201.49	2093.11	680.05	7
9522a1_29	199.27	57.41	80.15	1978.96	189.09	46
9522a1_30	297.68	116.3	188.1	1851.76	272.6	18
9522a1_31	223.14	103.35	189.71	2177.63	563.98	11
9522a1_32	145.32	39.81	54.6	613.76	115.94	55
9522a1_33	234.6	87.75	138.69	2092.11	451.29	21
9522a1_34	191.17	99.03	202.27	2124.47	694.22	8
9522a1_35	107.9	93.39	659.36	0	0	1
9522a1_36	175.69	87.09	170.44	2080.5	386.29	9
9522a1_37	149.83	72.06	137.37	2127.56	475.41	10
9522a1_38	225.99	92.64	155.14	2177.95	801.33	16
9522a1_39	179.86	39.98	51.2	2093.86	234.95	124
9522a1_40	146	39.9	54.67	2006.93	269.21	56

Table 4 (cont.). Données analitiques des traces de fission de l'Apatite.

Nom de l'analyse	TF âge (Ma)	95%-CI (Ma)	95%+CI (Ma)	Âge U-Pb (Ma)	2 sigma (Ma)	Ns

"Pooled age" (Ma)	170.18	Nombre des points	37
95%-CI (Ma)	14.44	Nombre des traces	811
95%+CI (Ma)	15.76	Rho	0.000039169
wmean pz:sz UCa	1.1398	+/- 1 sigma	8.6892E-07
wmean pz:unk Ca	1.0079	Cation isotopique	43Ca
relerr pz:sz	0.0859	chi-carré	116.7689
relerr analyste	0	Q(chi-carré)	0
relerr déficit	0.426	Moyenne Dpar (um)	2.25
relerr Ca apfu	0	Moyenne Dper (um)	0.49
Zeta primaire	8.329	Moyenne [U] (ppm)	14.01
+/- 1 sigma	0.1418	Moyenne [Th] (ppm)	19.6
		Moyenne [Sm] (ppm)	146.23
		Initiales de l'analyste	pos

Table 5. Données analytiques $^{40}Ar/^{39}$.

Watts	Abondances isotopiques relatives					Résultats calculés			
	^{40}Ar ±1σ	^{39}Ar ±1σ	^{38}Ar ±1σ	^{37}Ar ±1σ	^{36}Ar ±1σ	^{39}Ar Mol ∞ 10^{-14}	^{39}Ar % du total	%^{40}Ar*	Âge (Ma) ±1σ
DB07RIM66A									
0.1	27.98782	0.03846	1.24489	0.00414	0.01624	0.000472	0	0.00108	0.00336	0.0003	0.028	0.7	96.5	401	2
0.1	18.00863	0.04241	0.70489	0.00315	0.00894	0.000472	0	0.00112	0.000537	0.000292	0.016	0.4	99.1	461	3
0.15	15.72839	0.02374	0.59228	0.00464	0.0081	0.000455	0	0.00117	0.000064	0.000284	0.013	0.3	99.9	480	4
0.2	61.74777	0.07025	2.0844	0.00474	0.02718	0.000595	0	0.00112	0.00356	0.000341	0.046	1.1	98.3	521	2
0.25	62.01604	0.06128	2.02804	0.00603	0.02643	0.000622	0	0.0011	0.00218	0.000358	0.045	1.1	99.0	538	2
0.3	76.68928	0.06128	2.44942	0.00683	0.02841	0.000586	0	0.0011	0.000284	0.000324	0.054	1.3	99.9	554	2
0.4	624.4103	0.26007	18.63535	0.01402	0.23821	0.00152	0.00452	0.00131	0.00969	0.000588	0.412	10.0	99.5	585	1
0.5	870.1518	0.53003	25.96085	0.03902	0.32977	0.00182	0.00739	0.00133	0.01435	0.000636	0.573	13.9	99.5	585	2
0.6	1231.504	0.42004	35.96707	0.05802	0.45405	0.00211	0.0217	0.00138	0.01712	0.000723	0.794	19.3	99.6	596	2
0.8	2808.42	1.20001	81.0416	0.08503	1.02856	0.00251	0.04582	0.00148	0.03355	0.00141	1.790	43.5	99.6	603	1
1	246.9757	0.14012	7.12009	0.00862	0.09511	0.000934	0.00221	0.0012	0.00824	0.000588	0.157	3.8	99.0	600	2
1.2	164.2084	0.09818	4.75267	0.00962	0.05732	0.000724	0	0.00122	0.00211	0.000385	0.105	2.6	99.6	601	2
1.4	42.23499	0.0872	1.11745	0.00493	0.01148	0.000489	0	0.00118	0.0002	0.00043	0.025	0.6	99.9	650	3
1.6	38.76114	0.05233	1.05958	0.00355	0.01268	0.00043	0	0.0012	0.000211	0.000333	0.023	0.6	99.8	632	3
1.8	49.60297	0.04439	1.34391	0.00355	0.01804	0.000489	0	0.00113	0.000427	0.000333	0.030	0.7	99.7	636	2
GB07RIM42B									
0.1	3627.38	3.20001	19.58681	0.01802	0.27423	0.00172	0.04621	0.00156	0.12888	0.00171	0.433	9.3	99.0	2044	4
0.2	6811.891	5.4	36.61068	0.05803	0.47661	0.00212	0.01404	0.00221	0.04675	0.00221	0.809	17.3	99.8	2060	4
0.3	8314.421	5.9	44.62144	0.06903	0.57496	0.00281	0.02463	0.00164	0.08145	0.00301	0.986	21.1	99.7	2061	4
0.35	9238.742	7.3	49.43984	0.06503	0.63247	0.00251	0.03199	0.00177	0.08317	0.00401	1.092	23.4	99.7	2065	4
0.4	7196.223	4.3	38.4515	0.05303	0.50209	0.00232	0.04259	0.00147	0.07506	0.00391	0.849	18.2	99.7	2066	4
0.45	1710.325	0.55003	9.12298	0.01302	0.12098	0.00133	0.01269	0.00145	0.03718	0.00152	0.202	4.3	99.4	2064	4
0.55	1287.284	0.45004	6.99485	0.01302	0.0899	0.00104	0.00811	0.00131	0.02353	0.00132	0.155	3.3	99.5	2043	4
0.75	1090.661	0.35005	5.84961	0.00973	0.07911	0.00104	0.00601	0.0018	0.01312	0.000907	0.129	2.8	99.6	2061	4
1	169.7657	0.11015	0.91772	0.00446	0.01125	0.000604	0.00138	0.00167	0.00928	0.00063	0.020	0.4	98.4	2036	7
DB07RIM82D									
0.1	1922.724	0.7301	9.34088	0.01307	0.13418	0.00104	0.01281	0.00129	0.04905	0.00106	0.206	3.6	99.2	2179	4
0.2	8914.268	6.90001	32.87871	0.05804	0.4218	0.00222	0.0036	0.00255	0.07336	0.00382	0.726	12.7	99.8	2549	5
0.3	14193.82	14.00001	51.54917	0.11005	0.66778	0.00351	0.0093	0.00239	0.10939	0.00611	1.138	20.0	99.8	2570	5
0.35	11004.11	9.00001	46.98304	0.06704	0.60754	0.00311	0.00152	0.00239	0.0587	0.00372	1.038	18.2	99.8	2354	4
0.4	14982.64	14.00001	56.23742	0.10005	0.73092	0.00451	0.00628	0.00329	0.10806	0.00551	1.242	21.8	99.8	2525	5
0.45	11035.38	8.60001	35.9899	0.07404	0.46695	0.00242	0	0.00245	0.11381	0.00531	0.795	13.9	99.7	2718	5
0.5	2870.56	1.10007	10.07012	0.01207	0.13601	0.00143	0	0.00207	0.06463	0.00262	0.222	3.9	99.3	2611	4
0.55	1643.552	0.56013	5.72465	0.0092	0.07805	0.00104	0	0.00221	0.02823	0.00154	0.126	2.2	99.5	2624	4
0.65	370.451	0.31165	1.2707	0.00526	0.01664	0.000685	0	0.00163	0	0.000716	0.028	0.5	100.0	2652	7
0.7	621.9998	0.24212	2.26194	0.00563	0.03049	0.000727	0.000227	0.0016	0.00716	0.000963	0.050	0.9	99.7	2567	5
0.75	658.7796	0.50102	2.32583	0.00697	0.02945	0.000644	0	0.00166	0.00773	0.000851	0.051	0.9	99.7	2607	6
0.8	411.5792	0.17299	1.46128	0.00498	0.01854	0.000597	0	0.00187	0.00246	0.00077	0.032	0.6	99.8	2602	6
0.85	246.7836	0.16317	0.8394	0.00461	0.01019	0.000628	0	0.00165	0.000717	0.000716	0.019	0.3	99.9	2662	9
0.9	370.5722	0.18282	1.27239	0.00443	0.01704	0.00062	0	0.00162	0.000138	0.000754	0.028	0.5	100.0	2650	6

Watts	Abondances isotopiques relatives										Résultats calculés				
	^{40}Ar		^{39}Ar		^{38}Ar		^{37}Ar		^{36}Ar		^{39}Ar Mol	^{39}Ar %	%^{40}Ar*	Âge (Ma)	
	±1σ		±1σ		±1σ		±1σ		±1σ		∞ 10^{-14}	du total		±1σ	
GB07RIM61A															
0.1	198.7717	0.13034	11.79145	0.01303	0.16475	0.00125	0.17385	0.00203	0.05636	0.000622	0.261	3.2	91.6	295	1
0.2	182.1462	0.13034	11.46983	0.01803	0.14658	0.00115	0.0843	0.0016	0.02019	0.000532	0.254	3.1	96.7	293	1
0.3	211.8197	0.12037	13.29473	0.01203	0.17139	0.00135	0.06602	0.00153	0.01232	0.000489	0.294	3.6	98.3	298	1
0.35	314.6721	0.33013	20.11078	0.01503	0.25359	0.00154	0.08179	0.00148	0.01544	0.000568	0.444	5.4	98.6	294	1
0.4	503.4245	0.16028	31.43635	0.04903	0.40014	0.00174	0.12075	0.0019	0.02205	0.000622	0.695	8.4	98.7	301	1
0.45	494.6872	0.29015	31.23053	0.04303	0.39633	0.00203	0.11702	0.00174	0.02945	0.000696	0.690	8.4	98.2	297	1
0.5	415.4343	0.18025	26.29779	0.04403	0.32875	0.00164	0.09469	0.00169	0.01875	0.000622	0.581	7.0	98.7	297	1
0.55	498.9306	0.21021	31.51608	0.05003	0.39817	0.00213	0.12295	0.00191	0.01971	0.000696	0.696	8.4	98.8	298	1
0.6	484.0888	0.49009	30.36597	0.16007	0.39077	0.00213	0.10809	0.00185	0.02049	0.00113	0.671	8.1	98.7	300	2
0.65	755.3571	0.25018	47.65094	0.05203	0.59647	0.00203	0.15793	0.00188	0.02878	0.000762	1.053	12.7	98.9	299	1
0.7	570.4897	0.4501	35.96845	0.04803	0.44575	0.00203	0.10913	0.00175	0.01816	0.000724	0.795	9.6	99.1	299	1
0.75	368.3961	0.20022	23.26005	0.02003	0.28958	0.00144	0.0556	0.00146	0.00691	0.000613	0.514	6.2	99.4	300	1
0.8	181.3087	0.09646	11.52046	0.01203	0.14506	0.00135	0.01741	0.00132	0.00226	0.000463	0.255	3.1	99.6	299	1
0.85	73.03015	0.07063	4.53599	0.00954	0.05493	0.000801	0	0.00132	0.000159	0.000489	0.100	1.2	99.9	306	1
0.9	55.84302	0.05876	3.54215	0.00725	0.0428	0.00091	0.000843	0.0012	0.000622	0.000577	0.078	0.9	99.7	299	1
0.95	55.01358	0.06667	3.46949	0.00725	0.04102	0.000819	0	0.00132	0.000188	0.000497	0.077	0.9	99.9	302	1
1	68.44097	0.0637	4.36831	0.00974	0.05341	0.000864	0	0.00132	0.000453	0.000613	0.097	1.2	99.8	298	1
1.05	55.57139	0.05383	3.52621	0.00586	0.04415	0.000783	0.000876	0.00132	0.000346	0.000604	0.078	0.9	99.8	300	1
1.1	97.79764	0.10044	6.20236	0.00845	0.07686	0.000975	0.00064	0.00119	0.000387	0.000595	0.137	1.7	99.9	300	1
1.5	342.2809	0.17026	21.56985	0.02402	0.27246	0.00154	0.02095	0.00147	0.00295	0.000515	0.477	5.8	99.7	301	1
2	13.3259	0.03624	0.80959	0.00517	0.0065	0.00057	0	0.00121	0.000713	0.00055	0.018	0.2	98.4	308	4
GB07RIM69A															
0.2	234.65	0.18008	6.51032	0.00993	0.08957	0.000981	0.13703	0.00187	0.02116	0.000457	0.144	64.0	97.3	611	2
0.3	25.546	0.06522	1.39979	0.00366	0.01626	0.000539	0.026	0.00144	0.00184	0.000341	0.031	13.8	97.9	337	2
0.35	15.66606	0.01685	0.88082	0.00376	0.01192	0.000564	0.01956	0.00129	0.00209	0.000326	0.019	8.7	96.0	323	2
0.4	38.89459	0.04432	1.08812	0.00336	0.01351	0.000448	0.00823	0.00129	0.00245	0.000348	0.024	10.7	98.1	611	3
0.45	1.24817	0.01189	0.06359	0.00106	0	0.000368	0	0.00126	0.000055	0.000326	0.001	0.6	98.7	362	26
0.5	0.61628	0.01325	0.02434	0.000985	0	0.000368	0	0.00111	0.000153	0.000341	0.001	0.2	92.7	431	70
0.55	4.2315	0.01734	0.09247	0.00142	0	0.000397	0.0017	0.00131	0.000786	0.000318	0.002	0.9	94.5	728	17
0.6	6.21975	0.04583	0.06433	0.00123	0.000821	0.000405	0.00276	0.00124	0.00353	0.000333	0.001	0.6	83.2	1181	25
0.7	29.30931	0.04878	0.02446	0.001	0.00342	0.000412	0.00379	0.00132	0.02054	0.000388	0.001	0.2	79.3	4470	69
0.8	43.15066	0.07054	0.01076	0.000936	0.01067	0.000469	0.00309	0.00121	0.05319	0.000483	0.000	0.1	63.6	6153	154
0.9	15.38671	0.03996	0.00383	0.00103	0.00409	0.00046	0	0.00116	0.03229	0.00043	0.000	0.0	38.0	5268	466
1	11.31217	0.01482	0.0042	0.000881	0.0021	0.000428	0	0.00111	0.01231	0.000348	0.000	0.0	67.8	5574	367
1.2	2.3613	0.01273	0.00245	0.000771	0.000909	0.000389	0	0.00119	0.00652	0.000318	0.000	0.0	18.4	2005	467
1.5	1.95666	0.01482	0.00111	0.000821	0	0.000389	0	0.00112	0.00509	0.000333	0.000	0.0	23.2	3143	1166
GB07RIM40B															
0.2	143.8422	0.13017	0.564	0.00325	0.0189	0.000542	0.01829	0.00138	0.02983	0.000429	0.012	24.1	93.9	2385	9
0.3	45.4023	0.04352	0.26346	0.00189	0.00269	0.000474	0.01146	0.00133	0.000536	0.000312	0.006	11.3	99.7	1965	10
0.35	34.08593	0.05243	0.1907	0.00179	0.00197	0.000419	0.00387	0.00126	0.000174	0.000336	0.004	8.1	99.8	2012	13
0.4	8.25585	0.01735	0.04577	0.000993	0.000234	0.000426	0.00218	0.00133	0.000217	0.000328	0.001	2.0	99.2	2015	31
0.45	9.17377	0.01735	0.05044	0.00132	0.000751	0.000396	0	0.00129	0.000751	0.000386	0.001	2.2	97.6	2005	36
0.5	23.1375	0.12019	0.11907	0.00142	0.00081	0.000419	0	0.00134	0.000494	0.000421	0.003	5.1	99.4	2109	18
0.55	7.46387	0.01288	0.03943	0.00111	0.000551	0.000389	0.0013	0.00126	0.000401	0.000305	0.001	1.7	98.4	2064	38
0.6	18.10249	0.01643	0.09779	0.00142	0.000512	0.000404	0	0.00136	0.000666	0.000412	0.002	4.2	98.9	2043	20

Watts	Abondances isotopiques relatives										Résultats calculés				
	^{40}Ar		^{39}Ar		^{38}Ar		^{37}Ar		^{36}Ar		^{39}Ar Mol	^{39}Ar %	%^{40}Ar*	Âge (Ma)	
	±1σ		±1σ		±1σ		±1σ		±1σ		∞ 10^{-14}	du total		±1σ	
0.7	33.43669	0.04154	0.17383	0.00208	0.00161	0.000382	0.00181	0.00142	0.000848	0.000305	0.004	7.4	99.3	2094	16
0.8	22.11248	0.0376	0.11185	0.0016	0.000262	0.000396	0	0.00134	0.000886	0.000403	0.002	4.8	98.8	2123	20
0.9	32.97966	0.06534	0.16487	0.00198	0.00109	0.000419	0.00235	0.00124	0.000587	0.000328	0.004	7.0	99.5	2146	16
1	25.79229	0.03564	0.12808	0.0016	0.0024	0.000382	0.00383	0.00129	0.00073	0.000328	0.003	5.5	99.2	2151	17
1.2	39.60107	0.05839	0.17993	0.00189	0.00164	0.000458	0.00132	0.00122	0.00184	0.000328	0.004	7.7	98.6	2257	15
1.5	24.88965	0.0376	0.09961	0.0017	0.00228	0.000442	0.00766	0.00129	0.00529	0.00032	0.002	4.3	93.7	2355	24
1.8	19.06892	0.02288	0.09238	0.00147	0	0.000358	0	0.00143	0.000105	0.000292	0.002	3.9	99.8	2190	22
2.2	3.93774	0.02097	0.02028	0.000906	0	0.00035	0	0.00129	0.000356	0.000284	0.000	0.9	97.3	2082	63
CT07RIM66A															
0.1	130.9106	0.10019	4.21498	0.00702	0.05459	0.000734	0.0018	0.00196	0.00671	0.000355	0.093	7.3	98.5	543	2
0.2	205.0148	0.12016	6.25608	0.01002	0.08218	0.000781	0	0.00197	0.00351	0.000372	0.138	10.9	99.5	574	2
0.3	273.7202	0.17011	8.39857	0.01102	0.10746	0.00113	0.00579	0.00197	0.00601	0.000416	0.186	14.6	99.4	571	2
0.4	145.9783	0.13015	4.62411	0.00762	0.05813	0.000953	0.00644	0.00134	0.00299	0.000381	0.102	8.0	99.4	555	2
0.5	264.3262	0.34006	7.80103	0.01202	0.10027	0.000963	0.00778	0.00137	0.00373	0.000416	0.172	13.6	99.6	591	2
0.6	117.4654	0.07326	3.57927	0.00812	0.04526	0.00065	0.000501	0.00142	0.00139	0.000347	0.079	6.2	99.7	575	2
0.7	140.8801	0.10019	4.36216	0.00662	0.05288	0.000743	0.00293	0.00137	0.00211	0.000398	0.096	7.6	99.6	567	2
0.8	199.7716	0.11017	6.16385	0.01102	0.07823	0.000791	0.00888	0.00234	0.0036	0.000389	0.136	10.7	99.5	568	2
0.9	175.4069	0.10019	5.25178	0.00682	0.06619	0.000819	0.00415	0.00137	0.00183	0.000381	0.116	9.1	99.7	584	2
1	83.19045	0.07825	2.51988	0.01102	0.0295	0.000762	0.00124	0.00132	0.00109	0.000416	0.056	4.4	99.6	578	3
1.2	52.48348	0.05336	1.55194	0.00473	0.01922	0.00048	0.000417	0.00142	0.000853	0.000338	0.034	2.7	99.5	590	2
1.5	44.71162	0.05237	1.39433	0.00493	0.01759	0.000524	0	0.00135	0.000855	0.00033	0.031	2.4	99.4	563	2
2	46.9942	0.07027	1.4331	0.00354	0.01801	0.000559	0.00232	0.00133	0.00162	0.000322	0.032	2.5	99.0	572	2
DB07RIM45B															
0.1	2796.722	1.50001	10.20879	0.01202	0.13842	0.00122	0.04652	0.00179	0.03341	0.00111	0.225	6.4	99.6	2561	4
0.2	1153.019	0.56003	8.49069	0.01202	0.11125	0.00113	0.06902	0.00318	0.01649	0.000898	0.188	5.3	99.6	1691	3
0.3	1139.239	0.50003	8.33028	0.01102	0.11073	0.00113	0.06217	0.0016	0.01306	0.000636	0.184	5.2	99.7	1700	3
0.4	3275.157	1.30001	19.88654	0.01702	0.26379	0.00172	0.04863	0.00177	0.04027	0.00151	0.439	12.5	99.6	1911	3
0.5	9898.713	9.1	46.93712	0.08304	0.61269	0.00251	0.11427	0.00345	0.10235	0.00311	1.037	29.5	99.7	2216	4
0.6	5065.646	4	20.42276	0.02202	0.2753	0.00211	0.11823	0.00218	0.07919	0.00301	0.451	12.8	99.5	2425	4
0.7	12281.56	12	37.12809	0.05803	0.48879	0.00311	0.09561	0.00255	0.14541	0.004	0.820	23.3	99.7	2825	5
0.8	2119.787	1.00002	3.11803	0.00792	0.05111	0.00103	0.01567	0.00172	0.06057	0.00171	0.069	2.0	99.2	3912	6
0.9	461.1795	0.18009	0.51225	0.00314	0.01001	0.000528	0.00704	0.00156	0.01869	0.000937	0.011	0.3	98.8	4361	11
1	821.2504	0.35005	0.61028	0.00403	0.01112	0.000674	0.00354	0.00156	0.0197	0.000791	0.013	0.4	99.3	5041	12
1.2	449.1741	0.15011	0.59294	0.00364	0.01105	0.000674	0.0058	0.00139	0.01324	0.000703	0.013	0.4	99.1	4085	11
1.5	257.0853	0.11015	0.44987	0.00324	0.00751	0.000564	0.00504	0.00144	0.01103	0.000617	0.010	0.3	98.7	3631	12
2	1263.411	0.46004	1.54092	0.00503	0.02511	0.000768	0.00645	0.00156	0.02314	0.000957	0.034	1.0	99.5	4219	7
2.5	457.7913	0.19009	0.41905	0.00304	0.00837	0.00051	0.00626	0.00144	0.01297	0.000665	0.009	0.3	99.2	4688	13
3	56.16574	0.08021	0.18034	0.00206	0.00438	0.000424	0.00492	0.00147	0.00687	0.000485	0.004	0.1	96.4	2693	17
3.5	82.38167	0.15011	0.30626	0.00226	0.00445	0.000466	0.00359	0.00144	0.00622	0.000439	0.007	0.2	97.8	2510	11
DB07RIM46B															
0.1	623.5435	0.22045	4.75265	0.00913	0.06823	0.000918	0.04848	0.00172	0.01624	0.000689	0.105	6.1	99.2	1650	4
0.2	304.8563	0.23043	2.06855	0.00565	0.02856	0.000564	0.03003	0.0024	0.00802	0.000564	0.046	2.7	99.2	1778	4
0.3	505.1885	0.20049	3.04822	0.00714	0.03968	0.000728	0.03589	0.00155	0.00518	0.000635	0.067	3.9	99.7	1920	4
0.35	608.0134	0.25039	3.46738	0.00694	0.04689	0.000813	0.01654	0.00146	0.0067	0.000644	0.077	4.5	99.7	1987	4
0.4	828.7718	0.30033	4.68565	0.00943	0.06225	0.000794	0.02038	0.00133	0.00753	0.000754	0.103	6.0	99.7	1998	4

Watts	Abondances isotopiques relatives										Résultats calculés				
	^{40}Ar		^{39}Ar		^{38}Ar		^{37}Ar		^{36}Ar		^{39}Ar Mol	^{39}Ar %	%^{40}Ar*	Âge (Ma)	
	±1σ		±1σ		±1σ		±1σ		±1σ		∞ 10^{-14}	du total		±1σ	
0.45	525.0466	0.17058	2.99259	0.00704	0.03876	0.000756	0.03433	0.00244	0.00374	0.000671	0.066	3.9	99.8	1989	4
0.5	517.2072	0.18054	2.95725	0.00694	0.03839	0.000728	0.01954	0.00206	0.00141	0.000599	0.065	3.8	99.9	1986	4
0.55	408.1078	0.30033	2.37893	0.00784	0.0321	0.000608	0.01254	0.00147	0.00875	0.000653	0.053	3.1	99.4	1957	5
0.6	434.1629	0.55018	2.45104	0.00545	0.03248	0.000654	0.00735	0.00153	0.00299	0.000635	0.054	3.2	99.8	2000	5
0.65	480.5964	0.20049	2.74098	0.00784	0.03597	0.000756	0.01061	0.00153	0.00472	0.000608	0.061	3.5	99.7	1987	5
0.7	487.1509	0.41024	2.82696	0.00595	0.03674	0.000672	0.01762	0.00153	0.00915	0.000635	0.062	3.6	99.4	1963	4
0.75	551.735	0.35028	3.11104	0.00605	0.04136	0.000709	0.02238	0.00239	0.01002	0.000662	0.069	4.0	99.5	1998	4
0.8	582.6455	0.57017	3.33607	0.00714	0.04363	0.000784	0.01861	0.00153	0.00824	0.00068	0.074	4.3	99.6	1981	4
0.85	617.946	0.39025	3.56234	0.00764	0.04645	0.000898	0.01966	0.00236	0.00885	0.000662	0.079	4.6	99.6	1972	4
0.9	323.1291	0.26038	1.85836	0.00515	0.02551	0.000654	0.01057	0.0023	0.00503	0.000591	0.041	2.4	99.5	1975	5
1	391.5474	0.22045	2.26338	0.00684	0.03085	0.000654	0.01591	0.00142	0.00551	0.00053	0.050	2.9	99.6	1969	5
1.2	565.8031	0.19052	3.26773	0.00644	0.04304	0.000737	0.03795	0.00159	0.01031	0.000699	0.072	4.2	99.5	1969	4
1.5	627.3522	0.20049	3.69953	0.00754	0.04939	0.000756	0.0559	0.00174	0.00561	0.00068	0.082	4.8	99.7	1947	4
2	1092.711	0.40024	6.35522	0.00973	0.08491	0.000927	0.09687	0.003	0.01929	0.000857	0.140	8.2	99.5	1961	4
2.5	899.662	0.28035	5.31091	0.00804	0.07215	0.000841	0.03418	0.00274	0.01709	0.000773	0.117	6.9	99.4	1942	4
3	1822.925	0.56017	10.37684	0.01402	0.13549	0.00123	0.07661	0.00196	0.02397	0.00114	0.229	13.4	99.6	1988	4
DB07RIM53C															
0.1	469.0703	0.22204	3.28494	0.00857	0.0481	0.000766	0.09721	0.00228	0.01107	0.000674	0.073	2.9	99.3	1744	4
0.2	471.8894	0.17263	3.11214	0.0065	0.0423	0.000842	0.10981	0.00243	0.00527	0.000626	0.069	2.7	99.7	1816	4
0.3	747.4948	0.22204	4.82068	0.00788	0.06392	0.000993	0.17083	0.00281	0.00924	0.000691	0.106	4.2	99.6	1841	4
0.4	1390.61	0.51088	8.44001	0.01106	0.10955	0.00127	0.31259	0.00325	0.01792	0.00117	0.186	7.3	99.6	1912	4
0.5	1782.53	0.72062	10.40698	0.01405	0.13768	0.00146	0.80104	0.00391	0.02237	0.00117	0.230	9.1	99.6	1958	4
0.6	2024.398	0.70064	11.47067	0.01505	0.15013	0.00127	0.91317	0.00731	0.02834	0.00136	0.253	10.0	99.6	1993	4
0.7	2255.468	0.7506	12.58527	0.01505	0.16983	0.00146	0.55405	0.00663	0.02353	0.00126	0.278	11.0	99.7	2013	4
0.8	2050.697	0.88051	11.5735	0.01305	0.15235	0.00118	0.51037	0.0036	0.02137	0.00117	0.256	10.1	99.7	1999	4
0.9	1379.756	0.79057	7.78457	0.01206	0.10272	0.00107	0.44925	0.00528	0.01598	0.00107	0.172	6.8	99.7	1999	4
1	1366.871	0.70064	7.62314	0.01405	0.10298	0.00118	0.50425	0.00596	0.01597	0.00101	0.168	6.6	99.7	2013	4
1.2	2662.593	1.00045	14.82716	0.01505	0.19734	0.00146	1.0997	0.00495	0.03158	0.00155	0.327	12.9	99.6	2015	4
1.5	1936.35	0.84054	10.66892	0.01704	0.14011	0.00108	1.02783	0.00462	0.02864	0.00136	0.236	9.3	99.6	2027	4
2	1236.838	0.37121	6.75719	0.01106	0.08669	0.00093	0.38125	0.00349	0.01669	0.00107	0.149	5.9	99.6	2038	4
2.5	135.5312	0.0845	0.70803	0.00502	0.01056	0.000638	0.05241	0.00231	0.00331	0.000581	0.016	0.6	99.3	2089	10
3	147.7866	0.09962	0.81594	0.00415	0.0097	0.000573	0.03977	0.00215	0.00174	0.000595	0.018	0.7	99.7	2026	7
GB07RIM52A															
0.1	203.8053	0.13031	10.84374	0.01502	0.14518	0.00133	0.61313	0.00358	0.0231	0.00047	0.239	9.3	96.7	342	1
0.2	80.26735	0.06364	4.83138	0.01002	0.06057	0.000797	0.26448	0.00285	0.00982	0.000394	0.107	4.2	96.4	305	1
0.3	122.8481	0.15027	7.15689	0.01602	0.0927	0.000959	0.15915	0.00233	0.00991	0.000436	0.158	6.2	97.6	318	1
0.35	138.6307	0.11037	7.81529	0.01102	0.09951	0.00104	0.10305	0.00162	0.00715	0.000427	0.173	6.7	98.5	330	1
0.4	222.9323	0.15027	11.84003	0.01702	0.15187	0.00113	0.10635	0.00184	0.00925	0.00047	0.262	10.2	98.8	349	1
0.45	125.1235	0.15027	6.47162	0.01502	0.07993	0.00092	0.04832	0.00174	0.00543	0.000394	0.143	5.6	98.7	358	1
0.5	137.1259	0.14029	7.01074	0.01002	0.08554	0.00094	0.04699	0.00159	0.00427	0.000444	0.155	6.0	99.1	363	1
0.55	182.8757	0.08548	9.91878	0.02602	0.12551	0.00104	0.11366	0.00184	0.00948	0.000453	0.219	8.5	98.5	342	1
0.6	137.6356	0.08448	7.34216	0.01502	0.09903	0.00104	0.08804	0.00188	0.00658	0.000419	0.162	6.3	98.6	347	1
0.65	190.119	0.11037	9.55435	0.01502	0.12014	0.00103	0.10456	0.00194	0.0073	0.000453	0.211	8.2	98.9	368	1
0.7	86.20011	0.06859	4.06861	0.01002	0.05208	0.000901	0.03519	0.00172	0.00412	0.000436	0.090	3.5	98.6	388	1
0.75	55.06279	0.05968	2.8075	0.00733	0.03416	0.000613	0.02908	0.00157	0.00216	0.00037	0.062	2.4	98.8	363	1
0.8	62.84147	0.07752	3.31952	0.00593	0.04219	0.000586	0.07321	0.00172	0.0028	0.000394	0.073	2.9	98.7	351	1

Watts	Abondances isotopiques relatives										Résultats calculés				
	^{40}Ar		^{39}Ar		^{38}Ar		^{37}Ar		^{36}Ar		^{39}Ar Mol	^{39}Ar %	$\%^{40}$Ar*	Âge (Ma)	
	±1σ		±1σ		±1σ		±1σ		±1σ		∞ 10^{-14}	du total		±1σ	
0.85	19.87893	0.07058	0.99866	0.00395	0.0107	0.000499	0	0.00157	0.000059	0.000444	0.022	0.9	99.9	371	3
0.9	15.50009	0.03324	0.79569	0.00395	0.00843	0.000434	0.00101	0.00142	0.00128	0.000496	0.018	0.7	97.6	356	4
1	12.00771	0.11037	0.68126	0.00385	0.00742	0.000458	0.00222	0.00154	0.000979	0.000461	0.015	0.6	97.6	325	5
1.2	320.0976	0.19021	15.32637	0.02802	0.19231	0.00133	0.08808	0.00192	0.00774	0.00047	0.338	13.2	99.3	385	1
1.5	2.91	0.01294	0.13052	0.00162	0.00107	0.000411	0	0.0014	0.000061	0.000347	0.003	0.1	99.4	409	14
2	34.34825	0.0815	1.38469	0.00454	0.01647	0.000516	0	0.0014	0.000408	0.000479	0.031	1.2	99.6	451	3
4	95.69083	0.07355	3.93332	0.00813	0.04764	0.000807	0.00225	0.00137	0.00118	0.000523	0.087	3.4	99.6	443	2

Table 6. Données analytiques CA-TIMS.

						Ratios						Âge (Ma)						
Fraction de l'échantillon (a)	**Pb(c) (pg)** (b)	**Pb* Pb(c)**	**Th U**	**206 Pb 204 Pb** (c)	**208 Pb 206 Pb** (d)	**206 Pb 238 U** (e)	**err** (2s%)	**207 Pb 235 U** (e)	**err** (2s%)	**207 Pb 206 Pb** (e)	**err** (2s%)	**206 Pb 238 U**	**err** (2s)	**207 Pb 235 U**	**err** (2s)	**207 Pb 206 Pb**	**err** (2s)	**coef. corr.**
DB07RIM29a concentré minéral par "A to Z"																		
z1	0.6	12.0	1.31	612.5	0.405	0.10099	(0.48)	0.84635	(1.63)	0.06081	(1.54)	**620.19**	**2.83**	622.64	7.61	631.6	33.1	0.342
z2	0.5	10.9	1.59	525.8	0.493	0.10111	(0.36)	0.84320	(1.75)	0.06051	(1.66)	**620.94**	**2.15**	620.91	8.11	620.8	35.9	0.327
z3	0.3	11.5	1.46	566.7	0.454	0.10236	(0.33)	0.85511	(1.69)	0.06061	(1.60)	628.25	1.98	627.45	7.89	624.6	34.6	0.338
z4	0.3	14.6	0.59	872.2	0.182	0.10817	(0.30)	0.92327	(1.15)	0.06193	(1.07)	662.08	1.89	664.09	5.62	670.9	22.8	0.408
z5	0.4	13.3	1.22	690.0	0.378	0.10126	(0.27)	0.84150	(1.44)	0.06030	(1.41)	**621.76**	**1.62**	619.98	6.67	613.5	30.5	0.185
DB07RIM29a Les grains les plus jeunes préparés la USGS																		
z19	0.3	41.1	0.46	2503.0	0.142	0.09232	(0.07)	0.75417	(0.37)	0.05928	(0.36)	**569.23**	**0.36**	570.64	1.63	576.3	7.9	0.264
z21	0.4	6.3	0.35	410.1	0.109	0.09588	(0.29)	0.78767	(2.23)	0.05961	(2.16)	590.20	1.66	589.85	9.97	588.5	46.8	0.296
DB07RIM29a concentré minéral par MIT																		
z1Cr	0.4	1.2	0.77	86.6	0.238	0.10253	(2.71)	0.87197	(11.86)	0.06171	(11.32)	629.23	16.26	636.64	56.10	663.0	242.6	0.308
z2Cr	0.4	2.8	0.99	165.9	0.307	0.10051	(0.59)	0.83065	(5.52)	0.05997	(5.38)	**617.37**	**3.47**	613.97	25.42	601.4	116.5	0.279
z3Cr	0.3	4.6	1.21	252.5	0.375	0.10080	(0.96)	0.82750	(3.95)	0.05956	(3.73)	**619.11**	**5.65**	612.22	18.17	586.8	80.9	0.348
z4Cr	0.3	5.0	1.51	256.1	0.469	0.10348	(4.42)	0.86704	(6.72)	0.06079	(4.76)	634.79	26.72	633.96	31.68	631.0	102.6	0.707
z5Cr	0.3	10.3	1.29	527.8	0.400	0.10146	(0.80)	0.84682	(2.04)	0.06056	(1.83)	**622.96**	**4.76**	622.90	9.50	622.7	39.5	0.442
z6Cr	0.3	1.2	1.05	78.7	0.327	0.09377	(3.73)	0.77127	(14.38)	0.05968	(13.56)	**577.78**	**20.64**	580.49	63.56	591.1	294.1	0.341

(a) Zircon unique, recuite thermique et prétraité.
(b) Plomb commun total.
(c) Ratio mesurés corrigés pour le spike et le fractionnement seulement.
(d) Pb radiogénique.
(e) Corrigé pour le fractionnement, spike, blanc et Pb commun initial. Correction également pour déséquilibre initial Th/U à l'aide du 208Pb et radiogéniques et Th/U[magma] = 2.8.
Correction du fractionnement de masse de 0,25%/amu ± 0,04%/amu a été appliquée à l'analyse avec collecteur Daly simple.
Blanc total de procédure inférieur à 0,5 pg de Pb et de moins de 0,1 pg de U.
Composition isotopique du blanc: 206Pb/204Pb = 18,31 ± 0,53, 207Pb/204Pb =15,38 ± 0,35, 208Pb/204Pb = 37,45 ± 1,1.
Coef. corr. = Coefficient de corrélation.
% discordance = 100 - (100 * (206Pb/238U date) / (207Pb/206Pb date))
Calculé en utilisant les constantes de désintégration $\lambda 238$ = 1.55125E-10 et $\lambda 235$ = 9.8485E-10 (Jaffey et al. 1971).

Table 7. Données analytiques LAICPMS.

Numéro d'analyse	[U] (ppm)	[Th] (ppm)	207Pb/ 235Uc	2 sigma	206Pb/ 238U	2 sigma	Corré-lation d'erreur	Age Concordia (Ma)	A priori erreur de 2σ	MSWD	Probabilité-de-concordance (rej <.15)	Erreur/ âge (rej >0.40)	Nombres de balayages concordants (rej <5)
DB07RIM02a		**952-03**											
9523a1_1	71	22	2.32334	0.12165	0.20338	0.00848	0.57	1212	36	1.79	0.18	0.030	48
9523a1_2	260	113	3.34804	0.15478	0.26140	0.01139	0.78	1491	35	0.06	0.80	0.024	47
9523a1_3	219	136	2.02446	0.07381	0.18686	0.00639	0.61	1121	25	1.95	0.16	0.022	47
9523a1_4	77	38	2.13436	0.10816	0.19611	0.00795	0.55	1158	33	0.09	0.77	0.029	46
~~9523a1_5~~	~~284~~	~~273~~	~~2.01347~~	~~0.06844~~	~~0.18083~~	~~0.00506~~	~~0.57~~	~~1105~~	~~22~~	~~16.32~~	~~0.00~~	~~0.020~~	~~46~~
9523a1_6	51	26	1.69673	0.11389	0.17226	0.00645	0.38	1018	32	0.62	0.43	0.031	47
9523a1_7	88	35	2.29060	0.10786	0.20923	0.00641	0.48	1217	29	0.79	0.37	0.024	48
9523a1_8	160	79	2.11298	0.07706	0.19596	0.00554	0.52	1153	24	0.00	0.97	0.020	47
~~9523a1_9~~	~~78~~	~~50~~	~~6.05027~~	~~0.20412~~	~~0.35054~~	~~0.00996~~	~~0.59~~	~~1981~~	~~30~~	~~5.70~~	~~0.02~~	~~0.015~~	~~48~~
9523a1_10	139	44	2.11582	0.08026	0.19734	0.00554	0.51	1157	24	0.25	0.61	0.021	47
9523a1_11	157	25	2.77107	0.11412	0.23311	0.00870	0.68	1348	31	0.03	0.86	0.023	47
9523a1_12	293	131	4.23247	0.17019	0.29582	0.01068	0.68	1681	33	0.25	0.62	0.020	46
~~9523a1_13~~	~~156~~	~~75~~	~~5.45036~~	~~0.23294~~	~~0.33242~~	~~0.01358~~	~~0.66~~	~~1897~~	~~36~~	~~2.94~~	~~0.09~~	~~0.019~~	~~48~~
9523a1_14	172	27	2.97282	0.18288	0.23985	0.01391	0.79	1404	45	0.42	0.52	0.032	47
9523a1_15	131	74	14.70934	0.72084	0.53548	0.02624	0.79	2806	40	0.67	0.41	0.014	48
9523a1_16	201	44	2.66475	0.12175	0.22369	0.00820	0.49	1314	32	0.77	0.38	0.024	48
9523a1_17	92	134	2.67844	0.12097	0.22588	0.00744	0.49	1319	31	0.27	0.60	0.023	48
~~9523a1_18~~	~~194~~	~~175~~	~~12.49631~~	~~0.44249~~	~~0.49061~~	~~0.01609~~	~~0.69~~	~~2654~~	~~32~~	~~6.95~~	~~0.01~~	~~0.012~~	~~47~~
~~9523a1_19~~	~~62~~	~~25~~	~~2.70595~~	~~0.11322~~	~~0.21670~~	~~0.00686~~	~~0.48~~	~~1305~~	~~29~~	~~14.33~~	~~0.00~~	~~0.022~~	~~47~~
~~9523a1_20~~	~~66~~	~~33~~	~~5.94098~~	~~0.24641~~	~~0.34657~~	~~0.01293~~	~~0.69~~	~~1972~~	~~36~~	~~4.66~~	~~0.03~~	~~0.018~~	~~48~~
9523a1_21	275	265	2.20717	0.10953	0.19778	0.00890	0.73	1184	35	1.50	0.22	0.029	47
9523a1_22	747	430	2.02830	0.09285	0.18739	0.00812	0.81	1129	31	1.84	0.18	0.027	47
~~9523a1_23~~	~~0~~	~~0~~	~~0~~	~~0~~	~~0~~	~~0~~	~~0~~	~~#VALUE!~~	~~#VALUE!~~	~~#VALUE!~~	~~#VALUE!~~	~~#VALUE!~~	~~0~~
9523a1_24	71	48	2.23869	0.11979	0.20069	0.00812	0.59	1189	36	0.58	0.45	0.030	48
~~9523a1_25~~	~~160~~	~~84~~	~~4.65006~~	~~0.19501~~	~~0.30650~~	~~0.01105~~	~~0.69~~	~~1760~~	~~35~~	~~3.12~~	~~0.08~~	~~0.020~~	~~47~~
~~9523a1_26~~	~~34~~	~~52~~	~~1.73061~~	~~0.11972~~	~~0.16205~~	~~0.00653~~	~~0.38~~	~~984~~	~~33~~	~~5.10~~	~~0.02~~	~~0.034~~	~~47~~
9523a1_27	276	298	1.62478	0.06987	0.16393	0.00597	0.68	980	27	0.01	0.92	0.027	47
~~9523a1_28~~	~~52~~	~~9~~	~~2.20331~~	~~0.08990~~	~~0.19143~~	~~0.00573~~	~~0.49~~	~~1159~~	~~26~~	~~12.13~~	~~0.00~~	~~0.022~~	~~45~~
9523a1_29	332	187	1.72274	0.07044	0.17211	0.00562	0.59	1019	25	0.26	0.61	0.025	48
9523a1_30	109	51	2.71851	0.11796	0.23097	0.00802	0.63	1335	32	0.13	0.72	0.024	46
~~9523a1_31~~	~~48~~	~~21~~	~~1.58636~~	~~0.12105~~	~~0.15113~~	~~0.00730~~	~~0.43~~	~~927~~	~~37~~	~~5.72~~	~~0.02~~	~~0.040~~	~~47~~
9523a1_32	173	46	2.10707	0.13625	0.19615	0.01069	0.68	1152	44	0.03	0.87	0.038	47
~~9523a1_33~~	~~354~~	~~295~~	~~4.35852~~	~~0.20104~~	~~0.29285~~	~~0.01238~~	~~0.60~~	~~1703~~	~~38~~	~~3.91~~	~~0.05~~	~~0.022~~	~~48~~
9523a1_34	80	96	6.02809	0.24496	0.35883	0.01185	0.63	1980	35	0.02	0.88	0.018	46
9523a1_35	161	91	2.64376	0.09723	0.22476	0.00711	0.58	1312	27	0.15	0.70	0.020	47
9523a1_36	72	33	2.93047	0.14923	0.24621	0.00836	0.46	1401	35	1.86	0.17	0.025	48
9523a1_37	47	22	2.16793	0.13152	0.19729	0.00685	0.38	1165	33	0.21	0.65	0.028	47
9523a1_38	31	25	2.97185	0.18337	0.24813	0.00789	0.29	1417	35	1.18	0.28	0.024	48
9523a1_39	192	92	2.30448	0.08129	0.20675	0.00610	0.60	1213	24	0.03	0.87	0.020	47
~~9523a1_40~~	~~89~~	~~54~~	~~2.91921~~	~~0.11305~~	~~0.23473~~	~~0.00645~~	~~0.51~~	~~1377~~	~~27~~	~~3.11~~	~~0.08~~	~~0.020~~	~~45~~
~~9523a1_41~~	~~45~~	~~62~~	~~2.65389~~	~~0.15485~~	~~0.21652~~	~~0.00810~~	~~0.48~~	~~1288~~	~~37~~	~~5.59~~	~~0.02~~	~~0.029~~	~~48~~
~~9523a1_42~~	~~264~~	~~205~~	~~4.60188~~	~~0.17465~~	~~0.30466~~	~~0.01060~~	~~0.75~~	~~1756~~	~~31~~	~~3.99~~	~~0.05~~	~~0.018~~	~~48~~
~~9523a1_43~~	~~414~~	~~478~~	~~2.26008~~	~~0.12106~~	~~0.19865~~	~~0.01028~~	~~0.69~~	~~1200~~	~~38~~	~~2.56~~	~~0.11~~	~~0.031~~	~~48~~
~~9523a1_44~~	~~234~~	~~137~~	~~2.23119~~	~~0.08085~~	~~0.20824~~	~~0.00674~~	~~0.68~~	~~1192~~	~~25~~	~~4.63~~	~~0.03~~	~~0.021~~	~~47~~
~~9523a1_45~~	~~85~~	~~83~~	~~2.72085~~	~~0.11426~~	~~0.23627~~	~~0.00761~~	~~0.50~~	~~1343~~	~~30~~	~~3.36~~	~~0.07~~	~~0.022~~	~~48~~

Numéro d'analyse	[U] (ppm)	[Th] (ppm)	207Pb/ 235Uc	2 sigma	206Pb/ 238U	2 sigma	Corré-lation d'erreur	Age Concordia (Ma)	A priori erreur de 2σ	MSWD	Probabilité-de-concordance (rej <.15)	Erreur/ âge (rej >0.40)	Nombres de balayages concordants (rej <5)
9523a1_46	278	457	2.01351	0.07777	0.18428	0.00581	0.66	1113	26	5.88	0.02	0.023	47
9523a1_47	276	88	3.42699	0.11268	0.26421	0.00747	0.63	1511	26	0.00	0.96	0.017	48
9523a1_48	227	80	2.47838	0.09918	0.21013	0.00707	0.69	1261	29	7.02	0.01	0.023	47
9523a1_49	113	77	1.94940	0.08580	0.18385	0.00586	0.41	1094	26	0.38	0.54	0.024	48
9523a1_50	97	48	3.44836	0.14703	0.25843	0.00972	0.53	1511	33	2.47	0.12	0.022	47
9523a1_51	200	131	2.26555	0.08657	0.20388	0.00578	0.57	1200	25	0.17	0.68	0.021	47
9523a1_52	293	93	2.05184	0.06986	0.18251	0.00571	0.58	1123	23	16.16	0.00	0.020	47
9523a1_53	78	134	9.50012	0.32809	0.44262	0.01277	0.64	2389	32	1.31	0.25	0.013	46
9523a1_54	137	108	2.24320	0.09977	0.20205	0.00647	0.49	1191	28	0.25	0.62	0.024	47
9523a1_55	152	472	1.19709	0.06207	0.11494	0.00502	0.70	743	27	74.77	0.00	0.037	37
9523a1_56	151	58	0.78533	0.04490	0.09237	0.00250	0.26	573	14	2.10	0.15	0.025	47
9523a1_57	124	72	2.42314	0.09243	0.21437	0.00655	0.53	1250	26	0.03	0.87	0.021	48
9523a1_58	99	53	2.21590	0.08661	0.19767	0.00623	0.54	1179	26	2.46	0.12	0.022	46
9523a1_59	76	69	6.25780	0.21444	0.35662	0.00980	0.57	2009	30	5.88	0.02	0.015	48
9523a1_60	200	75	2.22260	0.07332	0.20281	0.00499	0.50	1189	21	0.03	0.86	0.018	46
9523a1_61	72	67	2.72193	0.12304	0.22894	0.00680	0.44	1332	29	0.09	0.76	0.022	48
9523a1_62	45	14	1.52370	0.11654	0.16192	0.00561	0.34	961	29	1.41	0.23	0.031	48
9523a1_63	128	124	2.64745	0.08849	0.22538	0.00584	0.49	1313	23	0.07	0.80	0.018	48
9523a1_64	100	33	2.44362	0.09903	0.21434	0.00715	0.63	1255	29	0.06	0.81	0.023	47
9523a1_65	330	128	2.57119	0.08770	0.21804	0.00618	0.59	1288	24	2.40	0.12	0.019	48
9523a1_66	20	10	1.40153	0.92689	0.05821	0.01105	0.09	366	67	4.41	0.04	0.184	7
9523a1_67	204	54	2.26563	0.08174	0.19853	0.00582	0.60	1192	25	6.89	0.01	0.021	48
9523a1_68	253	79	2.82091	0.09306	0.23912	0.00655	0.59	1364	24	2.25	0.13	0.018	46
9523a1_69	5.046613	6.020015	8.539196	5.279911	0.1225272	0.05526691	0.5671809	506	287	9.01	0.00	0.566	0
9523a1_70	289	96	3.41777	0.11764	0.26182	0.00655	0.55	1506	26	0.40	0.53	0.017	48
9523a1_71	325	114	2.09667	0.07302	0.19136	0.00571	0.63	1144	24	2.43	0.12	0.021	48
9523a1_72	123	37	2.25108	0.08539	0.20198	0.00545	0.54	1193	24	0.69	0.41	0.021	47
9523a1_73	44	26	3.10963	0.15157	0.24306	0.00759	0.44	1420	33	2.53	0.11	0.023	48
9523a1_74	93	68	5.05567	0.19541	0.32178	0.00875	0.52	1821	32	2.54	0.11	0.017	48
9523a1_75	846	562	2.73516	0.07273	0.22417	0.00472	0.58	1329	19	10.55	0.00	0.015	46
9523a1_76	100	32	2.26764	0.08828	0.20448	0.00536	0.54	1201	25	0.05	0.83	0.021	46
9523a1_77	1496	22	0.44297	0.01393	0.05890	0.00137	0.51	370	8	0.56	0.45	0.021	46
9523a1_78	261	98	2.10253	0.05724	0.19239	0.00442	0.62	1146	18	2.52	0.11	0.016	45
9523a1_79	168	40	2.31587	0.08075	0.20773	0.00537	0.56	1217	23	0.00	0.97	0.019	46
9523a1_80	56	23	2.28816	0.08554	0.20219	0.00681	0.68	1207	26	2.60	0.11	0.022	47
9523a1_81	210	128	2.21519	0.07752	0.20114	0.00536	0.58	1184	23	0.13	0.72	0.020	48
9523a1_82	54	41	2.43781	0.10175	0.20529	0.00509	0.37	1224	24	9.47	0.00	0.019	47
9523a1_83	151	39	1.70169	0.06279	0.16635	0.00480	0.61	1003	22	2.34	0.13	0.022	47
9523a1_84	78	29	1.61619	0.07225	0.16377	0.00528	0.51	977	25	0.01	0.93	0.025	48
9523a1_85	234	63	3.37153	0.12999	0.25977	0.00859	0.71	1498	30	0.35	0.55	0.020	48
9523a1_86	168	46	3.02772	0.09403	0.24977	0.00592	0.49	1421	22	2.58	0.11	0.016	47
9523a1_87	160	50	2.33142	0.09025	0.21089	0.00554	0.46	1227	24	0.62	0.43	0.020	48
9523a1_88	27	41	1.80986	0.12868	0.18284	0.00610	0.32	1073	30	1.98	0.16	0.028	47
9523a1_89	409	114	3.39358	0.10841	0.25933	0.00649	0.55	1499	24	1.32	0.25	0.016	48
9523a1_90	144	45	3.02841	0.10677	0.24630	0.00680	0.56	1416	26	0.09	0.76	0.018	48
9523a1_91	108	78	4.47914	0.15601	0.30977	0.00859	0.58	1728	29	0.51	0.48	0.017	47
9523a1_92	254	169	5.19450	0.21042	0.32928	0.01079	0.42	1849	33	0.47	0.49	0.018	48
9523a1_93	89	35	2.28603	0.09300	0.20487	0.00631	0.47	1206	26	0.16	0.69	0.022	47
9523a1_94	44	42	2.03430	0.13865	0.19339	0.00728	0.33	1135	34	0.26	0.61	0.030	47

Numéro d'analyse	[U] (ppm)	[Th] (ppm)	207Pb/ 235Uc	2 sigma	206Pb/ 238U	2 sigma	Corré-lation d'erreur	Age Concordia (Ma)	A priori erreur de 2σ	MSWD	Probabilité-de-concordance (rej <.15)	Erreur/ âge (rej >0.40)	Nombres de balayages concordants (rej <5)
9523a1_95	320	83	2.14529	0.07205	0.19766	0.00502	0.59	1163	22	0.00	0.95	0.019	48
9523a1_96	346	107	2.14629	0.07307	0.19706	0.00506	0.52	1162	22	0.12	0.73	0.019	48
9523a1_97	384	111	1.81167	0.07407	0.17536	0.00668	0.43	1048	25	0.22	0.64	0.024	48
9523a1_98	102	50	2.11115	0.09996	0.19795	0.00736	0.49	1156	30	0.41	0.52	0.026	47
~~9523a1_99~~	~~191~~	~~149~~	~~2.13291~~	~~0.07612~~	~~0.19341~~	~~0.00526~~	~~0.57~~	~~1153~~	~~23~~	~~2.52~~	~~0.11~~	~~0.020~~	~~46~~
9523a1_100	159	58	2.33111	0.09821	0.20822	0.00733	0.54	1221	29	0.02	0.88	0.024	48
~~9523a1_101~~	~~163~~	~~626~~	~~1.98195~~	~~0.17915~~	~~0.17125~~	~~0.01457~~	~~0.90~~	~~1050~~	~~63~~	~~35.84~~	~~0.00~~	~~0.060~~	~~41~~
9523a1_102	309	146	2.11771	0.08239	0.19438	0.00691	0.58	1153	26	0.38	0.54	0.023	48
~~9523a1_103~~	~~87~~	~~28~~	~~3.06376~~	~~0.13625~~	~~0.23959~~	~~0.00746~~	~~0.47~~	~~1408~~	~~31~~	~~4.31~~	~~0.04~~	~~0.022~~	~~47~~
9523a1_104	72	40	2.26096	0.09333	0.20543	0.00592	0.54	1202	26	0.08	0.77	0.022	47
9523a1_105	285	331	2.78154	0.09681	0.23383	0.00680	0.70	1351	26	0.10	0.76	0.019	48
9523a1_106	142	61	2.96404	0.11041	0.23864	0.00666	0.57	1393	27	1.61	0.21	0.020	48
9523a1_107	445	245	3.49766	0.11211	0.26699	0.00763	0.71	1527	25	0.01	0.93	0.017	46
9523a1_108	75	23	2.40510	0.12190	0.20893	0.00658	0.51	1233	31	1.40	0.24	0.025	46
9523a1_109	486	193	2.80579	0.09110	0.23633	0.00654	0.68	1358	24	0.69	0.41	0.018	47
9523a1_110	163	85	5.18895	0.22671	0.33173	0.01341	0.65	1851	37	0.03	0.87	0.020	48
9523a1_111	168	54	2.18588	0.08632	0.20240	0.00669	0.67	1178	27	0.75	0.39	0.023	47
9523a1_112	155	81	1.82249	0.07477	0.17970	0.00637	0.68	1055	27	0.83	0.36	0.025	46
9523a1_113	73	54	3.54221	0.16660	0.27080	0.00938	0.55	1539	36	0.15	0.69	0.023	46
9523a1_114	134	49	2.37765	0.09319	0.21016	0.00711	0.65	1235	28	0.18	0.67	0.023	45
9523a1_115	127	51	2.28967	0.09797	0.20735	0.00748	0.58	1210	30	0.11	0.74	0.024	48
9523a1_116	135	91	3.95737	0.13158	0.28313	0.00757	0.57	1623	27	1.35	0.25	0.016	48
9523a1_117	225	56	2.39596	0.09477	0.21147	0.00676	0.62	1240	28	0.11	0.74	0.022	48
~~9523a1_118~~	~~17.53442~~	~~15.65739~~	~~5.252938~~	~~2.200725~~	~~0.08792625~~	~~0.03191887~~	~~0.6702504~~	~~284~~	~~158~~	~~20.26~~	~~0.00~~	~~0.557~~	~~0~~
~~9523a1_119~~	~~283~~	~~78~~	~~2.02681~~	~~0.07822~~	~~0.20078~~	~~0.00537~~	~~0.46~~	~~1146~~	~~23~~	~~14.75~~	~~0.00~~	~~0.020~~	~~44~~
9523a1_120	225	131	3.44650	0.12210	0.26262	0.00794	0.56	1514	28	0.48	0.49	0.018	46
DB07RIM01a		**952-04**											
9524a1_1	478	143	5.47654	0.23227	0.33909	0.01329	0.83	1903	33	0.56	0.46	0.017	46
9524a1_2	486	159	0.71947	0.02482	0.08936	0.00224	0.58	551	12	0.05	0.83	0.022	48
~~9524a1_3~~	~~93~~	~~165~~	~~5.41184~~	~~0.19805~~	~~0.33252~~	~~0.01040~~	~~0.74~~	~~1892~~	~~31~~	~~4.41~~	~~0.04~~	~~0.016~~	~~47~~
9524a1_4	88	71	0.82610	0.04763	0.09793	0.00307	0.43	604	17	0.54	0.46	0.029	48
9524a1_5	26	58	16.64471	0.57548	0.56995	0.01672	0.68	2916	32	0.07	0.79	0.011	48
~~9524a1_6~~	~~90~~	~~81~~	~~0.80065~~	~~0.04231~~	~~0.09381~~	~~0.00259~~	~~0.34~~	~~582~~	~~15~~	~~2.59~~	~~0.11~~	~~0.025~~	~~47~~
9524a1_7	90	89	0.85429	0.05179	0.09930	0.00341	0.37	614	19	1.41	0.23	0.031	48
~~9524a1_8~~	~~210~~	~~173~~	~~0.76017~~	~~0.04278~~	~~0.08387~~	~~0.00259~~	~~0.39~~	~~527~~	~~15~~	~~20.98~~	~~0.00~~	~~0.028~~	~~24~~
~~9524a1_9~~	~~71~~	~~41~~	~~0.96095~~	~~0.04645~~	~~0.10774~~	~~0.00260~~	~~0.33~~	~~664~~	~~15~~	~~4.08~~	~~0.04~~	~~0.022~~	~~48~~
~~9524a1_10~~	~~262~~	~~135~~	~~1.47606~~	~~0.05447~~	~~0.13790~~	~~0.00396~~	~~0.67~~	~~870~~	~~21~~	~~91.20~~	~~0.00~~	~~0.024~~	~~44~~
~~9524a1_11~~	~~111~~	~~45~~	~~6.40619~~	~~0.23413~~	~~0.35187~~	~~0.01140~~	~~0.67~~	~~2040~~	~~32~~	~~19.82~~	~~0.00~~	~~0.016~~	~~41~~
9524a1_12	76	38	6.55954	0.24289	0.37117	0.01076	0.53	2052	32	0.77	0.38	0.016	46
~~9524a1_13~~	~~102~~	~~78~~	~~0.80837~~	~~0.04147~~	~~0.09321~~	~~0.00301~~	~~0.54~~	~~580~~	~~17~~	~~7.01~~	~~0.01~~	~~0.030~~	~~44~~
9524a1_14	174	73	0.98653	0.04801	0.11450	0.00407	0.59	698	21	0.03	0.86	0.031	47
9524a1_15	157	196	0.96037	0.05533	0.10956	0.00460	0.56	676	24	1.05	0.31	0.036	47
9524a1_16	319	61	6.83439	0.25586	0.37974	0.01259	0.79	2095	31	0.62	0.43	0.015	48
~~9524a1_17~~	~~99~~	~~44~~	~~0.78408~~	~~0.06064~~	~~0.09428~~	~~0.00547~~	~~0.67~~	~~584~~	~~30~~	~~0.26~~	~~0.61~~	~~0.052~~	~~45~~
~~9524a1_18~~	~~0~~	~~0~~	~~0~~	~~0~~	~~0~~	~~0~~	~~0~~	#VALUE!	#VALUE!	#VALUE!	#VALUE!	#VALUE!	~~0~~
~~9524a1_19~~	~~8~~	~~9~~	~~4.90411~~	~~0.59910~~	~~0.28683~~	~~0.02823~~	~~0.71~~	~~1790~~	~~104~~	~~12.92~~	~~0.00~~	~~0.058~~	~~46~~
~~9524a1_20~~	~~204~~	~~60~~	~~10.32560~~	~~0.44770~~	~~0.43370~~	~~0.01704~~	~~0.77~~	~~2504~~	~~36~~	~~30.21~~	~~0.00~~	~~0.014~~	~~44~~
~~9524a1_21~~	~~102~~	~~49~~	~~11.20483~~	~~0.46320~~	~~0.46132~~	~~0.01778~~	~~0.81~~	~~2574~~	~~33~~	~~13.32~~	~~0.00~~	~~0.013~~	~~47~~
9524a1_22	158	76	6.44054	0.21677	0.36683	0.01056	0.70	2041	29	1.69	0.19	0.014	46

Numéro d'analyse	[U] (ppm)	[Th] (ppm)	207Pb/ 235Uc	2 sigma	206Pb/ 238U	2 sigma	Corré-lation d'erreur	Age Concordia (Ma)	A priori erreur de 2σ	MSWD	Probabilité-de-concordance (rej <.15)	Erreur/ âge (rej >0.40)	Nombres de balayages concordants (rej <5)
9524a1_23	530.3592	186.0944	19.8632	1.232671	0.5691968	0.03247814	0.7270193	3125	54	13.71	0.00	0.017	4
9524a1_24	0	0	0	0	0	0	0	#VALUE!	#VALUE!	#VALUE!	#VALUE!	#VALUE!	0
9524a1_25	342	251	0.76910	0.03085	0.09251	0.00251	0.54	573	14	1.26	0.26	0.024	45
9524a1_26	39	72	18.64015	0.71501	0.57286	0.01894	0.59	3031	37	10.92	0.00	0.012	45
9524a1_27	99	31	0.88964	0.05254	0.10256	0.00444	0.58	636	24	1.81	0.18	0.038	47
9524a1_28	183	36	0.82428	0.04004	0.09642	0.00318	0.50	599	17	2.68	0.10	0.029	47
9524a1_29	43	40	11.54132	0.40523	0.46821	0.01223	0.60	2566	33	18.59	0.00	0.013	46
9524a1_30	302	7	0.77582	0.03700	0.09170	0.00336	0.49	573	18	2.86	0.09	0.031	48
9524a1_31	188	107	0.80832	0.03613	0.09751	0.00332	0.47	601	17	0.03	0.87	0.028	47
9524a1_32	125	70	0.77064	0.03637	0.09271	0.00310	0.47	575	17	0.72	0.40	0.029	47
9524a1_33	46	16	13.41484	0.57957	0.49518	0.01948	0.82	2752	34	17.76	0.00	0.012	47
9524a1_34	263	125	1.29628	0.06173	0.13920	0.00439	0.55	842	23	0.10	0.75	0.027	47
9524a1_35	57	46	6.82687	0.31366	0.38178	0.01462	0.71	2090	40	0.04	0.85	0.019	48
9524a1_36	77	28	4.97886	0.21380	0.29664	0.00884	0.54	1765	35	51.88	0.00	0.020	47
9524a1_37	143	23	0.83177	0.04001	0.10242	0.00366	0.47	622	19	1.54	0.21	0.030	48
9524a1_38	154	111	0.88135	0.04697	0.10155	0.00382	0.48	630	20	2.19	0.14	0.032	48
9524a1_39	342	129	7.15318	0.28841	0.38965	0.01456	0.74	2133	35	0.16	0.69	0.016	47
9524a1_40	89	54	0.81043	0.05409	0.09772	0.00343	0.37	601	19	0.01	0.91	0.032	47
9524a1_41	51	50	0.87656	0.06530	0.09585	0.00330	0.34	595	19	7.97	0.00	0.032	46
9524a1_42	635	233	0.83270	0.03005	0.09855	0.00272	0.49	610	14	1.24	0.26	0.023	47
9524a1_43	72	48	2.62427	0.35237	0.17951	0.02260	0.51	1168	102	19.62	0.00	0.087	15
9524a1_44	59	32	1.05798	0.09006	0.10502	0.00401	0.34	651	23	16.18	0.00	0.035	34
9524a1_45	34	44	5.57286	0.24382	0.33139	0.01320	0.70	1920	37	8.37	0.00	0.019	47
9524a1_46	1	1	15.93796	3.26314	0.47440	0.07951	0.69	2917	185	8.93	0.00	0.064	48
9524a1_47	157	123	0.86717	0.04462	0.10074	0.00298	0.40	622	17	1.66	0.20	0.027	47
9524a1_48	165	134	0.83977	0.03488	0.09815	0.00310	0.57	610	17	3.10	0.08	0.027	45
9524a1_49	91	30	12.12159	0.46580	0.49072	0.01699	0.74	2623	34	2.32	0.13	0.013	48
9524a1_50	131	100	0.80892	0.04483	0.09665	0.00263	0.39	596	15	0.35	0.55	0.025	47
9524a1_51	189	177	5.72397	0.19502	0.34397	0.00926	0.58	1932	29	2.58	0.11	0.015	45
9524a1_52	41	27	0.91166	0.06299	0.10360	0.00364	0.33	640	20	1.81	0.18	0.032	47
9524a1_53	66	44	0.89125	0.05601	0.10527	0.00349	0.36	646	19	0.01	0.90	0.030	45
9524a1_54	154	74	3.56893	0.12899	0.27134	0.00700	0.50	1544	27	0.09	0.76	0.017	47
9524a1_55	512	143	3.30295	0.09795	0.25881	0.00603	0.56	1482	23	0.02	0.88	0.015	47
9524a1_56	279	193	0.76876	0.03076	0.09222	0.00229	0.47	571	13	1.60	0.21	0.023	47
9524a1_57	356	23	6.81190	0.20514	0.37710	0.00964	0.62	2088	27	1.91	0.17	0.013	48
9524a1_58	995	94	1.00460	0.05889	0.10439	0.00530	0.65	673	28	26.20	0.00	0.041	13
9524a1_59	38	35	1.09364	0.09350	0.12295	0.00530	0.29	748	28	0.01	0.91	0.038	33
9524a1_60	136	125	5.15144	0.18492	0.31824	0.00904	0.57	1836	30	11.94	0.00	0.017	48
9524a1_61	142	91	3.14184	0.12770	0.25143	0.00671	0.44	1444	28	0.03	0.87	0.019	48
9524a1_62	41	42	4.79362	0.22190	0.32151	0.01200	0.59	1785	39	0.31	0.58	0.022	48
9524a1_63	42	27	0.95328	0.07844	0.10513	0.00387	0.28	649	22	2.96	0.09	0.034	47
9524a1_64	112	138	1.02080	0.06690	0.10918	0.00385	0.39	676	22	7.98	0.00	0.032	41
9524a1_65	341	252	0.84624	0.04638	0.10067	0.00449	0.58	621	23	0.13	0.72	0.037	47
9524a1_66	43	22	1.24780	0.08064	0.13601	0.00495	0.36	822	26	0.00	0.98	0.031	48
9524a1_67	203	198	0.91417	0.03864	0.10085	0.00330	0.47	636	17	14.83	0.00	0.027	47
9524a1_68	67	46	0.95858	0.05273	0.10614	0.00405	0.46	662	22	5.73	0.02	0.033	44
9524a1_69	198	34	6.49305	0.25972	0.37372	0.01358	0.75	2045	34	0.01	0.93	0.017	48
9524a1_70	253	106	5.86713	0.22470	0.32905	0.01094	0.68	1962	33	39.74	0.00	0.017	43
9524a1_71	6	7	5.14712	0.63399	0.30879	0.02722	0.51	1812	102	3.28	0.07	0.056	48

Numéro d'analyse	[U] (ppm)	[Th] (ppm)	207Pb/ 235Uc	2 sigma	206Pb/ 238U	2 sigma	Corré-lation d'erreur	Age Concordia (Ma)	A priori erreur de 2σ	MSWD	Probabilité-de-concordance (rej <.15)	Erreur/ âge (rej >0.40)	Nombres de balayages concordants (rej <5)
9524a1_72	146	205	0.43863	0.03338	0.06036	0.00256	0.46	376	15	0.64	0.43	0.040	48
9524a1_73	35	21	1.24365	0.11376	0.14084	0.00533	0.28	844	29	1.27	0.26	0.034	47
9524a1_74	167	77	12.63302	0.39590	0.50034	0.01326	0.66	2657	29	2.94	0.09	0.011	46
9524a1_75	402	520	17.25538	0.49703	0.54835	0.01330	0.63	2961	27	36.42	0.00	0.009	43
9524a1_76	245	86	2.58908	0.08030	0.21711	0.00500	0.50	1286	21	6.16	0.01	0.016	46
9524a1_77	107	102	0.85353	0.04709	0.10203	0.00297	0.31	626	16	0.00	0.98	0.026	48
9524a1_78	229	18	0.93419	0.03559	0.10555	0.00263	0.42	654	14	6.08	0.01	0.022	46
9524a1_79	122	76	0.86917	0.05161	0.10591	0.00384	0.34	644	20	0.90	0.34	0.031	48
9524a1_80	70	74	6.67483	0.25125	0.38390	0.01179	0.58	2070	33	1.26	0.26	0.016	48
9524a1_81	69	41	0.85368	0.06012	0.10236	0.00339	0.29	628	19	0.01	0.92	0.030	48
9524a1_82	141	98	5.52168	0.20285	0.33721	0.00976	0.64	1902	32	2.84	0.09	0.017	47
9524a1_83	31	14	6.52680	0.27965	0.38488	0.01340	0.68	2046	38	4.53	0.03	0.018	47
9524a1_84	104	70	0.88588	0.04673	0.10044	0.00311	0.39	624	17	4.79	0.03	0.028	48
9524a1_85	238	41	6.15442	0.23107	0.36391	0.01234	0.68	1998	33	0.02	0.90	0.016	48
9524a1_86	36	20	0.90731	0.07412	0.10326	0.00458	0.42	638	26	1.38	0.24	0.040	47
9524a1_87	622	201	0.81882	0.03230	0.10040	0.00333	0.71	611	17	1.70	0.19	0.028	46
9524a1_88	20	0	1.01745	0.14519	0.10254	0.01763	0.17	686	65	2.08	0.15	0.095	43
9524a1_89	160	142	0.79929	0.03673	0.09883	0.00316	0.47	603	17	1.20	0.27	0.028	48
9524a1_90	221	343	0.89805	0.06208	0.10240	0.00654	0.67	644	32	2.25	0.13	0.050	48
9524a1_91	489	63	0.75649	0.03258	0.09254	0.00295	0.62	571	16	0.03	0.85	0.028	48
9524a1_92	81	21	1.10812	0.06177	0.12066	0.00379	0.46	739	21	2.71	0.10	0.028	47
9524a1_93	230	86	1.52139	0.10242	0.13496	0.00752	0.55	873	38	36.97	0.00	0.043	17
9524a1_94	4	1	0.84098	0.34477	0.09332	0.04389	0.19	605	168	0.09	0.76	0.277	47
9524a1_95	166	95	9.84250	0.34040	0.42145	0.01216	0.69	2437	31	58.32	0.00	0.013	31
9524a1_96	216	163	1.73548	0.06275	0.17080	0.00502	0.50	1020	22	0.17	0.68	0.021	48
9524a1_97	84	41	19.01296	0.62813	0.60156	0.01670	0.64	3043	32	0.06	0.81	0.010	47
9524a1_98	180	90	0.80944	0.04423	0.09941	0.00383	0.50	607	20	0.55	0.46	0.033	47
9524a1_99	224	95	6.47441	0.25750	0.36050	0.01406	0.51	2042	35	4.10	0.04	0.017	48
9524a1_100	26	16	1.58846	0.91367	0.14182	0.01036	0.09	856	58	0.34	0.56	0.068	15
9524a1_101	179	73	0.79169	0.03850	0.09350	0.00237	0.32	579	13	2.11	0.15	0.023	44
9524a1_102	434	205	5.34527	0.15940	0.32072	0.00806	0.62	1872	26	29.00	0.00	0.014	46
9524a1_103	174	219	0.75019	0.03439	0.09305	0.00276	0.52	572	15	0.33	0.56	0.027	47
9524a1_104	273	130	6.34934	0.23122	0.36522	0.01213	0.67	2027	32	0.73	0.39	0.016	46
9524a1_105	193	480	1.39673	0.06590	0.13513	0.00459	0.42	846	23	22.76	0.00	0.027	48
9524a1_106	292	186	0.87473	0.03768	0.10437	0.00328	0.51	639	17	0.04	0.85	0.027	48
9524a1_107	222	218	0.83745	0.03337	0.10048	0.00333	0.60	618	17	0.00	0.95	0.027	46
9524a1_108	158	271	6.14735	0.20501	0.33525	0.00896	0.60	1983	29	59.56	0.00	0.015	45
9524a1_109	74	86	5.85392	0.23573	0.35025	0.01032	0.56	1952	35	0.80	0.37	0.018	48
9524a1_110	74	55	0.90532	0.07190	0.10298	0.00284	0.25	634	16	1.42	0.23	0.026	47
9524a1_111	626	362	0.79062	0.02597	0.09610	0.00225	0.55	592	12	0.00	1.00	0.021	48
9524a1_112	134	138	12.32594	0.48437	0.50833	0.01743	0.73	2625	35	0.55	0.46	0.013	48
9524a1_113	18	28	0.99684	0.12762	0.10543	0.00419	0.18	650	24	2.83	0.09	0.037	48
9524a1_114	189	199	0.85874	0.03314	0.10096	0.00273	0.49	624	15	1.17	0.28	0.023	48
9524a1_115	14	12	4.86643	0.36206	0.32068	0.01233	0.42	1795	52	0.01	0.92	0.029	47
9524a1_116	186	169	1.13528	0.04648	0.12756	0.00369	0.52	772	19	0.12	0.73	0.024	48
9524a1_117	27	18	6.38309	0.27543	0.37024	0.01163	0.57	2030	38	0.00	0.98	0.018	47
9524a1_118	4	3	10.95499	2.57488	0.54952	0.10175	0.54	2510	220	2.76	0.10	0.088	34
9524a1_119	117	102	4.22531	0.16249	0.29529	0.00853	0.53	1677	31	0.35	0.55	0.018	47
9524a1_120	57	53	0.86812	0.05861	0.10025	0.00305	0.29	619	17	1.37	0.24	0.028	48

Numéro d'analyse	[U] (ppm)	[Th] (ppm)	207Pb/ 235Uc	2 sigma	206Pb/ 238U	2 sigma	Corré-lation d'erreur	Age Concordia (Ma)	A priori erreur de 2σ	MSWD	Probabilité-de-concordance (rej <.15)	Erreur/ âge (rej >0.40)	Nombres de balayages concordants (rej <5)
DB07RIM36a		**952-05**											
9525a1_1	173	47	17.35316	0.44114	0.57084	0.01073	0.58	2955	25	5.77	0.02	0.008	46
9525a1_2	38	32	19.92686	0.86209	0.60531	0.02317	0.76	3097	38	1.19	0.27	0.012	32
9525a1_3	1177.723	944.9507	1.867351	0.3247187	0.07609732	0.01140085	0.4898857	413	68	78.16	0.00	0.164	0
9525a1_4	736.1171	895.1159	4.569966	1.518744	0.158939	0.05885803	0.5775866	889	330	23.64	0.00	0.371	0
9525a1_5	763.0783	1199.659	5.516295	1.223748	0.2403667	0.04582772	0.7664147	1323	240	43.36	0.00	0.181	0
9525a1_6	76	15	26.22973	1.00257	0.69714	0.02515	0.74	3342	34	2.24	0.13	0.010	33
9525a1_7	1840	975	0.51714	0.01531	0.06743	0.00132	0.53	421	8	0.32	0.57	0.018	47
9525a1_8	1111.609	1660.607	2.026612	0.5939834	0.07688563	0.01883186	0.3313606	467	113	25.87	0.00	0.242	0
9525a1_9	2368.176	7092.22	1.916117	0.2987856	0.07956821	0.01071058	0.6671298	344	59	110.75	0.00	0.171	0
9525a1_10	239.3151	200.6801	16.65952	4.989671	0.536171	0.1572171	0.9353316	2999	149	0.54	0.46	0.050	3
9525a1_11	205.2408	268.1433	10.69553	1.661531	0.3916765	0.05503315	0.7470054	2578	128	18.61	0.00	0.050	1
9525a1_12	220	171	20.84645	0.61835	0.62189	0.01603	0.58	3133	29	0.29	0.59	0.009	39
9525a1_13	0	0	0	0	0	0	0	#VALUE!	#VALUE!	#VALUE!	#VALUE!	#VALUE!	0
9525a1_14	236	104	17.84569	0.84416	0.56458	0.02505	0.75	3006	40	6.59	0.01	0.013	22
9525a1_15	48	50	23.71013	0.78523	0.64261	0.01779	0.73	3269	30	4.96	0.03	0.009	36
9525a1_16	648.1421	431.9778	5.905689	0.8999763	0.1954215	0.02705446	0.6230924	955	146	111.80	0.00	0.152	0
9525a1_17	0	0	0	0	0	0	0	#VALUE!	#VALUE!	#VALUE!	#VALUE!	#VALUE!	0
9525a1_18	122	111	14.31328	1.17350	0.51686	0.04160	0.87	2807	57	2.16	0.14	0.020	24
9525a1_19	136	79	26.35475	0.80034	0.67269	0.01734	0.66	3366	29	2.75	0.10	0.009	23
9525a1_20	331.9037	330.6826	22.5087	1.530036	0.623158	0.03755125	0.7448058	3227	59	2.37	0.12	0.018	2
9525a1_21	222	253	17.62806	0.47364	0.57268	0.01223	0.60	2972	26	6.30	0.01	0.009	39
9525a1_22	225	86	17.92043	0.75300	0.56108	0.02114	0.74	3012	37	13.05	0.00	0.012	31
9525a1_23	155	148	15.56700	0.47769	0.55205	0.01427	0.63	2852	29	0.52	0.47	0.010	44
9525a1_24	168	260	13.41805	1.18697	0.49379	0.03999	0.79	2747	72	4.34	0.04	0.026	7
9525a1_25	63	58	17.80133	0.48930	0.58057	0.01212	0.59	2980	27	1.95	0.16	0.009	43
9525a1_26	145	142	14.74286	0.48014	0.52918	0.01426	0.66	2806	31	6.98	0.01	0.011	38
9525a1_27	243	96	23.39882	0.76499	0.64898	0.01825	0.67	3247	31	0.49	0.48	0.009	18
9525a1_28	3271.257	5616.031	0.5828393	0.1245073	0.0352777	0.01077636	0.2614891	295	60	26.40	0.00	0.205	0
9525a1_29	38	24	26.02201	1.17689	0.65554	0.02436	0.75	3372	40	8.32	0.00	0.012	43
9525a1_30	71	78	18.82379	0.63700	0.59211	0.01677	0.68	3038	32	1.83	0.18	0.010	45
9525a1_31	175	74	15.59987	0.44199	0.55673	0.01279	0.64	2853	27	0.00	0.98	0.009	47
9525a1_32	76	41	17.58515	0.52704	0.57740	0.01448	0.69	2972	28	1.70	0.19	0.009	47
9525a1_33	434.7729	370.51	7.680735	1.100553	0.2453911	0.0313799	0.6245632	1322	164	116.59	0.00	0.124	0
9525a1_34	111	67	16.28153	0.56089	0.55804	0.01759	0.67	2899	32	1.54	0.21	0.011	46
9525a1_35	228	121	17.05107	0.65993	0.55038	0.02100	0.67	2956	35	10.70	0.00	0.012	27
9525a1_36	56	51	14.92458	0.56025	0.54409	0.01789	0.63	2812	35	0.11	0.74	0.013	38
9525a1_37	445.9805	799.7653	2.495488	0.3744279	0.1127249	0.01451898	0.5557106	619	84	93.69	0.00	0.135	0
9525a1_38	113	40	18.30339	0.62365	0.59131	0.01816	0.65	3007	32	0.15	0.70	0.011	37
9525a1_39	189	177	17.90425	0.61700	0.57085	0.01694	0.74	3002	31	8.56	0.00	0.010	16
9525a1_40	408.2244	317.8292	15.83705	1.672023	0.5179276	0.04827746	0.6835372	2896	95	5.38	0.02	0.033	1
9525a1_41	56	31	23.96052	0.91879	0.65123	0.02186	0.67	3272	36	1.04	0.31	0.011	43
9525a1_42	176	132	23.94628	0.78554	0.64216	0.01900	0.66	3277	31	5.49	0.02	0.009	21
9525a1_43	198	141	19.52607	4.37609	0.61698	0.13761	0.98	3050	70	0.03	0.86	0.023	23
9525a1_44	437.9073	143.3128	4.649921	0.9244218	0.1844627	0.0278776	0.4598188	1101	151	43.92	0.00	0.138	0
9525a1_45	253.3017	287.8116	16.7382	2.834842	0.5460811	0.09040818	0.7441025	2948	143	0.65	0.42	0.048	2
9525a1_46	130	104	17.31030	0.58691	0.57369	0.01562	0.62	2954	32	1.31	0.25	0.011	47
9525a1_47	141	90	14.77531	0.92732	0.53360	0.03053	0.82	2817	50	1.05	0.31	0.018	19
9525a1_48	44	49	15.72216	0.55730	0.56686	0.01796	0.64	2856	33	1.41	0.24	0.012	45

Numéro d'analyse	[U] (ppm)	[Th] (ppm)	207Pb/ 235Uc	2 sigma	206Pb/ 238U	2 sigma	Corré-lation d'erreur	Age Concordia (Ma)	A priori erreur de 2σ	MSWD	Probabilité-de-concordance (rej <.15)	Erreur/ âge (rej >0.40)	Nombres de balayages concordants (rej <5)
9525a1_49	971.7877	1946.301	2.957107	0.6068311	0.1137819	0.02039794	0.6639496	494	111	64.49	0.00	0.224	0
9525a1_50	0	0	0	0	0	0	0	#VALUE!	#VALUE!	#VALUE!	#VALUE!	#VALUE!	0
9525a1_51	0	0	0	0	0	0	0	#VALUE!	#VALUE!	#VALUE!	#VALUE!	#VALUE!	0
9525a1_52	633.2574	1810.111	7.089806	1.341313	0.2276343	0.03892774	0.8071211	679	175	89.38	0.00	0.257	0
9525a1_53	0	0	0	0	0	0	0	#VALUE!	#VALUE!	#VALUE!	#VALUE!	#VALUE!	0
9525a1_54	135	109	25.97427	0.72693	0.67303	0.01548	0.70	3351	26	1.52	0.22	0.008	46
9525a1_55	39	18	19.38272	0.63858	0.60611	0.01708	0.69	3062	31	0.07	0.80	0.010	45
9525a1_56	0	0	0	0	0	0	0	#VALUE!	#VALUE!	#VALUE!	#VALUE!	#VALUE!	0
9525a1_57	97	87	14.08944	1.84100	0.47550	0.06268	0.76	2822	105	6.60	0.01	0.037	9
9525a1_58	145	149	17.60794	0.60743	0.57310	0.01645	0.66	2975	33	3.40	0.07	0.011	30
9525a1_59	183	83	18.47020	0.53435	0.60083	0.01460	0.68	3012	27	0.67	0.41	0.009	45
9525a1_60	67	68	18.12769	0.67774	0.59560	0.01957	0.76	2992	33	0.30	0.59	0.011	44
9525a1_61	70	37	27.91496	0.92345	0.69107	0.01890	0.69	3421	31	1.15	0.28	0.009	42
9525a1_62	191	71	29.91695	0.94054	0.70242	0.01922	0.72	3496	29	3.93	0.05	0.008	42
9525a1_63	95	52	18.11427	0.54008	0.58717	0.01403	0.66	2998	28	0.67	0.41	0.009	44
9525a1_64	576.0812	713.318	3.675404	1.392031	0.2633232	0.05896126	0.5187761	1534	266	0.16	0.69	0.173	1
9525a1_65	168	132	16.19038	0.46378	0.55833	0.01284	0.68	2892	27	1.99	0.16	0.009	46
9525a1_66	157	73	17.42194	1.01586	0.56727	0.02910	0.73	2972	52	1.99	0.16	0.017	10
9525a1_67	479.0388	785.3802	12.54593	1.4571	0.4288628	0.04150714	0.6287125	2651	109	23.74	0.00	0.041	1
9525a1_68	55	33	18.00307	0.84991	0.58578	0.02551	0.86	2997	35	0.26	0.61	0.012	38
9525a1_69	357.0568	263.126	12.21782	1.889423	0.4234661	0.05877907	0.6259406	2640	142	11.60	0.00	0.054	1
9525a1_70	1059.274	1471.465	2.111924	0.2937973	0.1146939	0.01284695	0.5339929	682	74	81.05	0.00	0.109	0
9525a1_71	614.5586	534.1464	4.581685	0.6809474	0.1719739	0.02156526	0.7660824	963	107	157.45	0.00	0.111	0
9525a1_72	0	0	0	0	0	0	0	#VALUE!	#VALUE!	#VALUE!	#VALUE!	#VALUE!	0
9525a1_73	88	63	20.62352	0.78653	0.62710	0.02125	0.79	3116	33	0.32	0.57	0.011	28
9525a1_74	849	138	2.27247	0.06130	0.20032	0.00440	0.62	1197	19	7.72	0.01	0.016	47
9525a1_75	230	218	14.81872	0.98072	0.50210	0.02565	0.52	2792	63	14.99	0.00	0.023	35
9525a1_76	1800.671	3745.525	2.615589	0.8345776	0.1091636	0.03357174	0.9389144	131	99	35.99	0.00	0.756	0
9525a1_77	133	145	15.27793	0.51188	0.55323	0.01599	0.75	2831	30	0.06	0.81	0.011	45
9525a1_78	102	58	17.70437	0.74759	0.58689	0.02195	0.78	2973	36	0.01	0.92	0.012	44
9525a1_79	818.9979	1069.986	3.539343	0.9125852	0.1479228	0.03292812	0.6955491	710	177	37.96	0.00	0.249	0
9525a1_80	89	74	18.46432	1.93126	0.58449	0.06114	0.75	3026	88	0.26	0.61	0.029	12
9525a1_81	266.2513	346.3156	13.01756	2.992967	0.461899	0.103823	0.9176834	2815	122	2.96	0.09	0.043	4
9525a1_82	0	0	0	0	0	0	0	#VALUE!	#VALUE!	#VALUE!	#VALUE!	#VALUE!	0
9525a1_83	120	133	15.38665	0.41311	0.55121	0.01154	0.62	2840	26	0.24	0.63	0.009	44
9525a1_84	98	74	21.63878	0.63005	0.63439	0.01553	0.70	3168	27	0.00	0.98	0.009	39
9525a1_85	987.4669	1030.259	5.496866	1.015755	0.1903605	0.03445607	0.6446573	936	187	77.70	0.00	0.200	0
9525a1_86	289	169	20.81161	0.88142	0.60296	0.02425	0.77	3154	35	6.24	0.01	0.011	11
9525a1_87	934.5427	2572.134	4.813333	1.566828	0.2428907	0.07529024	0.9074084	2052	170	17.59	0.00	0.083	0
9525a1_88	696.6408	627.9094	10.54786	4.831937	0.3327987	0.150407	0.9531539	231	365	18.31	0.00	1.578	0
9525a1_89	386.5935	388.5	5.708456	0.7008082	0.1756964	0.01619835	0.5674149	930	87	171.36	0.00	0.093	0
9525a1_90	130	74	18.71816	1.44431	0.57089	0.04356	0.92	3087	42	4.20	0.04	0.014	16
9525a1_91	178	19	23.06491	0.89321	0.64280	0.02269	0.76	3237	34	0.83	0.36	0.010	33
9525a1_92	90	62	16.29936	1.49235	0.54819	0.04721	0.78	2917	75	1.23	0.27	0.026	9
9525a1_93	124	158	13.06329	2.68828	0.48203	0.09872	0.99	2794	42	1.52	0.22	0.015	29
9525a1_94	470	283	9.74262	0.69007	0.45962	0.03254	0.70	2405	62	0.25	0.62	0.026	6
9525a1_95	648.2347	661.7094	4.381508	0.9367598	0.1503399	0.03036409	0.7303964	746	155	73.14	0.00	0.208	0
9525a1_96	122	83	19.16943	0.63456	0.60540	0.01738	0.68	3050	31	0.00	0.97	0.010	45
9525a1_97	80	45	28.08716	0.96359	0.70170	0.02176	0.71	3421	31	0.02	0.88	0.009	46

Numéro d'analyse	[U] (ppm)	[Th] (ppm)	207Pb/ 235Uc	2 sigma	206Pb/ 238U	2 sigma	Corré-lation d'erreur	Age Concordia (Ma)	A priori erreur de 2σ	MSWD	Probabilité-de-concordance (rej <.15)	Erreur/ âge (rej >0.40)	Nombres de balayages concordants (rej <5)
9525a1_98	41	21	21.29461	0.70640	0.63842	0.01784	0.69	3147	31	1.31	0.25	0.010	44
9525a1_99	0	0	0	0	0	0	0	#VALUE!	#VALUE!	#VALUE!	#VALUE!	#VALUE!	0
9525a1_100	43	20	20.12589	0.62537	0.62160	0.01662	0.60	3096	30	0.48	0.49	0.010	44
9525a1_101	226	114	2.06774	0.10378	0.19510	0.00628	0.43	1144	29	0.35	0.55	0.025	20
9525a1_102	243	112	17.43332	1.02279	0.56684	0.03071	0.80	2979	48	2.12	0.15	0.016	12
9525a1_103	145	56	17.93950	0.46765	0.59692	0.01191	0.65	2983	25	2.72	0.10	0.008	46
9525a1_104	178	294	15.44832	0.45632	0.54441	0.01179	0.65	2846	28	4.81	0.03	0.010	44
9525a1_105	133	79	15.77450	0.51629	0.55720	0.01664	0.52	2864	31	0.08	0.78	0.011	41
9525a1_106	134	126	20.96411	0.62215	0.62785	0.01403	0.58	3137	29	0.03	0.86	0.009	43
9525a1_107	196	173	15.87709	0.68617	0.56903	0.02277	0.72	2862	39	0.95	0.33	0.014	17
9525a1_108	814.957	1091.26	6.186359	1.03909	0.2076095	0.03011752	0.7724893	731	143	105.77	0.00	0.196	0
9525a1_109	118	154	15.78748	0.51075	0.56764	0.01610	0.63	2860	31	1.67	0.20	0.011	40
9525a1_110	210.2646	68.05894	13.90365	2.065289	0.3991625	0.04965647	0.7668217	2874	120	65.21	0.00	0.042	0
9525a1_111	1013.816	1605.743	7.520364	3.02064	0.1907109	0.07490472	0.8466364	797	299	31.26	0.00	0.375	0
9525a1_112	126	98	17.86608	0.56743	0.59210	0.01495	0.69	2980	30	0.46	0.50	0.010	37
9525a1_113	697.1472	445.1628	5.540154	0.9742169	0.1693046	0.02610652	0.7512096	987	126	138.87	0.00	0.128	0
9525a1_114	134	175	13.12505	0.79236	0.49308	0.02866	0.78	2720	49	5.91	0.02	0.018	29
DB07RIM46a		**952-06**											
9526a1_1	342	187	17.82693	1.65414	0.54874	0.05072	0.90	3056	56	5.59	0.02	0.018	8
9526a1_2	449	174	4.09708	0.13418	0.27429	0.00734	0.53	1635	26	32.07	0.00	0.016	48
9526a1_3	279	132	13.60361	0.48264	0.47326	0.01672	0.53	2730	33	53.76	0.00	0.012	48
9526a1_4	222	165	17.22082	0.67692	0.56211	0.02085	0.73	2964	34	5.12	0.02	0.012	48
9526a1_5	171	23	16.99611	0.64311	0.58837	0.02184	0.64	2928	35	1.81	0.18	0.012	48
9526a1_6	51	27	25.10601	0.99337	0.67652	0.02744	0.56	3311	38	0.17	0.68	0.011	48
9526a1_7	366	201	12.75849	0.88317	0.44964	0.03186	0.78	2742	54	30.30	0.00	0.020	12
9526a1_8	48	38	14.44678	0.60049	0.51597	0.01976	0.70	2797	37	9.62	0.00	0.013	48
9526a1_9	133	116	17.08373	0.88763	0.55157	0.02622	0.68	2958	47	6.83	0.01	0.016	47
9526a1_10	58	63	24.40544	0.96120	0.65127	0.02463	0.65	3292	37	1.80	0.18	0.011	48
9526a1_11	134	103	30.43089	1.68734	0.71482	0.03879	0.78	3507	46	0.20	0.66	0.013	44
9526a1_12	76	43	18.03304	0.66547	0.59045	0.02084	0.71	2992	33	0.00	0.99	0.011	46
9526a1_13	150	68	24.45694	0.97546	0.66910	0.02519	0.75	3283	35	0.18	0.67	0.011	47
9526a1_14	82	48	22.81945	1.02472	0.62889	0.02666	0.78	3240	37	3.78	0.05	0.012	39
9526a1_15	181	46	17.41478	0.81935	0.56922	0.02478	0.76	2972	41	2.09	0.15	0.014	48
9526a1_16	157	123	9.56409	1.64084	0.33347	0.05680	0.90	545	210	122.14	0.00	0.385	17
9526a1_17	451.6864	425.9406	15.92827	1.877709	0.5321673	0.05939035	0.8106666	2914	92	2.06	0.15	0.031	3
9526a1_18	35	24	31.51579	1.38473	0.74192	0.03172	0.72	3527	39	0.85	0.36	0.011	48
9526a1_19	151	78	16.96803	0.70615	0.58080	0.02297	0.76	2928	36	0.30	0.58	0.012	48
9526a1_20	359	226	15.03121	0.62864	0.50304	0.02012	0.76	2868	35	39.06	0.00	0.012	46
9526a1_21	171	191	11.01103	1.24058	0.36786	0.04084	0.93	422	126	293.10	0.00	0.299	25
9526a1_22	306	188	8.23549	0.98419	0.30637	0.03565	0.92	448	120	252.50	0.00	0.269	35
9526a1_23	169	165	15.77933	0.55807	0.54555	0.01901	0.68	2873	32	3.42	0.06	0.011	47
9526a1_24	216	114	23.67577	0.93107	0.61217	0.02394	0.70	3290	35	23.31	0.00	0.010	48
9526a1_25	245	96	24.72265	0.81514	0.66818	0.02092	0.57	3297	32	0.00	0.96	0.010	47
9526a1_26	115	70	23.44809	0.85193	0.63219	0.02208	0.69	3262	33	6.75	0.01	0.010	48
9526a1_27	431	251	25.36206	1.76502	0.60147	0.04037	0.85	3431	47	27.74	0.00	0.014	6
9526a1_28	89	72	19.08038	0.66507	0.58799	0.01924	0.65	3055	32	4.38	0.04	0.011	48
9526a1_29	335	158	0.54656	0.02211	0.07116	0.00233	0.51	443	12	0.00	0.96	0.028	47
9526a1_30	296	270	14.44118	0.59569	0.51279	0.02074	0.70	2800	36	11.01	0.00	0.013	48
9526a1_31	812.0385	565.7673	2.238409	0.7066429	0.08303309	0.02230562	0.5411079	414	129	26.01	0.00	0.311	0

Numéro d'analyse	[U] (ppm)	[Th] (ppm)	207Pb/ 235Uc	2 sigma	206Pb/ 238U	2 sigma	Corré-lation d'erreur	Age Concordia (Ma)	A priori erreur de 2σ	MSWD	Probabilité-de-concordance (rej <.15)	Erreur/ âge (rej >0.40)	Nombres de balayages concordants (rej <5)
9526a1_32	45	29	20.08839	0.91570	0.61284	0.02606	0.72	3099	41	0.13	0.72	0.013	47
9526a1_33	215	130	33.29975	1.27235	0.73656	0.02938	0.63	3594	36	0.49	0.48	0.010	48
9526a1_34	54	63	14.69113	0.62405	0.52475	0.02301	0.60	2804	39	3.67	0.06	0.014	48
9526a1_35	79	273	21.45218	0.90425	0.62284	0.02520	0.69	3166	38	0.95	0.33	0.012	48
9526a1_36	193	133	16.12008	0.62892	0.53359	0.01992	0.63	2900	36	14.86	0.00	0.012	48
9526a1_37	57	77	25.10706	1.06963	0.66403	0.02731	0.71	3318	38	0.52	0.47	0.012	48
9526a1_38	271	272	8.63207	0.36003	0.36744	0.01455	0.60	2304	38	109.44	0.00	0.016	48
9526a1_39	15	5	29.80351	1.26726	0.71539	0.02613	0.59	3481	41	0.00	0.97	0.012	46
9526a1_40	202	307	14.79862	0.57242	0.52312	0.01822	0.64	2813	36	8.86	0.00	0.013	48
9526a1_41	194	161	16.18270	0.77822	0.53266	0.02443	0.77	2925	40	13.67	0.00	0.014	48
9526a1_42	228	202	11.68228	0.42724	0.44908	0.01603	0.61	2596	33	44.27	0.00	0.013	30
9526a1_43	97	76	14.48346	0.62888	0.50173	0.02259	0.66	2808	39	18.27	0.00	0.014	48
9526a1_44	84	52	18.25405	0.81633	0.59209	0.02304	0.58	3004	43	0.02	0.89	0.014	48
9526a1_45	112	61	15.68625	0.55936	0.54536	0.01971	0.60	2863	33	2.37	0.12	0.012	47
9526a1_46	186	40	15.35344	1.08849	0.49103	0.03461	0.80	2925	53	26.78	0.00	0.018	23
9526a1_47	80	59	22.03477	0.86771	0.62733	0.02389	0.73	3196	35	1.67	0.20	0.011	47
9526a1_48	112	100	14.70910	0.54473	0.52728	0.01958	0.63	2805	34	4.05	0.04	0.012	48
9526a1_49	86	72	18.65321	0.66565	0.58378	0.01999	0.57	3029	34	3.14	0.08	0.011	48
9526a1_50	128	161	17.30929	0.64586	0.56314	0.02055	0.68	2965	34	4.92	0.03	0.011	48
9526a1_51	77	62	17.74356	0.65506	0.57670	0.02029	0.68	2983	34	1.61	0.21	0.011	48
9526a1_52	55	30	26.56809	1.05644	0.66418	0.02465	0.69	3384	36	5.23	0.02	0.011	47
9526a1_53	73	36	13.74409	0.66143	0.46054	0.02070	0.66	2771	43	72.26	0.00	0.016	29
9526a1_54	629.3599	224.9747	1.931598	0.217507	0.1541212	0.01587356	0.6683469	1031	76	24.41	0.00	0.074	3
9526a1_55	273	113	2.93354	0.09849	0.24049	0.00762	0.56	1390	25	0.01	0.93	0.018	47
9526a1_56	153	120	31.39306	1.07787	0.70842	0.02350	0.62	3541	33	4.72	0.03	0.009	48
9526a1_57	182	80	0.90674	0.05542	0.09938	0.00379	0.39	622	21	9.04	0.00	0.033	38
9526a1_58	232	230	12.29442	0.51003	0.45418	0.01860	0.71	2670	36	50.30	0.00	0.013	32
9526a1_59	147	83	19.89295	0.76955	0.58106	0.02148	0.68	3109	35	15.56	0.00	0.011	48
9526a1_60	358	181	10.48561	0.37282	0.43184	0.01517	0.65	2500	32	39.60	0.00	0.013	45
9526a1_61	292	183	17.24641	0.64889	0.55543	0.02062	0.68	2966	34	9.29	0.00	0.011	47
9526a1_62	44	48	29.23933	1.29254	0.71666	0.03028	0.64	3458	42	0.22	0.64	0.012	47
9526a1_63	181	108	23.09565	0.91883	0.62197	0.02436	0.63	3246	37	8.46	0.00	0.011	47
9526a1_64	237	100	10.65042	1.39629	0.39036	0.05049	0.87	2681	78	28.42	0.00	0.029	15
9526a1_65	206	83	21.71300	0.78389	0.59219	0.02050	0.60	3190	34	26.54	0.00	0.011	48
9526a1_66	101	85	18.72262	0.67053	0.57044	0.01970	0.65	3045	33	13.73	0.00	0.011	48
9526a1_67	270	90	20.33817	0.73470	0.58476	0.02081	0.63	3126	33	17.09	0.00	0.011	38
9526a1_68	266	172	16.04229	0.55507	0.52904	0.01755	0.64	2898	32	23.88	0.00	0.011	46
9526a1_69	140	91	16.68817	0.62907	0.50695	0.01909	0.65	2956	34	75.56	0.00	0.011	39
9526a1_70	236	134	19.12834	2.22665	0.51800	0.06127	0.86	3198	72	18.04	0.00	0.022	8
9526a1_71	207	126	18.73681	0.61886	0.58049	0.01866	0.57	3035	31	5.98	0.01	0.010	48
9526a1_72	23	21	26.71822	1.21159	0.67817	0.02910	0.65	3379	42	0.65	0.42	0.012	48
9526a1_73	211	104	12.13025	0.46541	0.48103	0.01733	0.64	2624	35	7.82	0.01	0.013	48
9526a1_74	57	57	13.34297	0.68306	0.44673	0.02183	0.70	2764	44	85.51	0.00	0.016	37
9526a1_75	89	61	23.69758	0.83682	0.62934	0.02152	0.61	3269	33	9.95	0.00	0.010	48
9526a1_76	92	82	18.75053	0.69394	0.58444	0.02070	0.57	3034	35	3.16	0.08	0.012	48
9526a1_77	32	21	7.17591	0.47164	0.34764	0.01853	0.64	2120	59	38.72	0.00	0.028	40
9526a1_78	195	127	16.55982	0.65036	0.54118	0.02051	0.65	2927	36	13.07	0.00	0.012	46
9526a1_79	56	85	13.14806	0.48097	0.48398	0.01705	0.59	2702	34	23.63	0.00	0.013	45
9526a1_80	0	0	0	0	0	0	0	#VALUE!	#VALUE!	#VALUE!	#VALUE!	#VALUE!	0

Numéro d'analyse	[U] (ppm)	[Th] (ppm)	207Pb/ 235Uc	2 sigma	206Pb/ 238U	2 sigma	Corré-lation d'erreur	Age Concordia (Ma)	A priori erreur de 2σ	MSWD	Probabilité-de-concordance (rej <.15)	Erreur/ âge (rej >0.40)	Nombres de balayages concordants (rej <5)
9526a1_81	185	290	14.72761	0.50154	0.51981	0.01709	0.58	2806	32	11.13	0.00	0.011	46
9526a1_82	91	50	15.81513	0.59392	0.51964	0.01803	0.59	2878	35	29.45	0.00	0.012	45
9526a1_83	721.7997	313.6947	6.700633	1.462912	0.2538653	0.05519329	0.7764872	2154	177	51.65	0.00	0.082	0
9526a1_84	155	112	17.91198	0.64528	0.58441	0.01965	0.63	2987	34	0.33	0.57	0.011	47
9526a1_85	565	1495	11.51753	0.53545	0.40334	0.01840	0.53	2561	44	120.15	0.00	0.017	36
9526a1_86	193	90	14.97757	0.57248	0.52394	0.01861	0.61	2823	36	9.61	0.00	0.013	48
9526a1_87	86	94	18.46758	0.84511	0.60246	0.02627	0.74	3008	40	0.41	0.52	0.013	48
9526a1_88	185	91	19.51336	0.81687	0.53922	0.02089	0.60	3091	39	68.03	0.00	0.013	43
9526a1_89	46	48	25.64556	0.92023	0.65827	0.02460	0.58	3341	34	3.27	0.07	0.010	47
9526a1_90	65	61	16.86163	0.61782	0.55540	0.02136	0.53	2932	35	4.40	0.04	0.012	48
9526a1_91	243	180	18.09891	0.80376	0.57289	0.02470	0.72	3011	39	3.91	0.05	0.013	44
9526a1_92	301	67	14.52064	0.59614	0.50783	0.02081	0.69	2809	36	16.40	0.00	0.013	39
9526a1_93	747.491	689.6141	5.440955	0.9294198	0.2042526	0.03466701	0.6634735	1133	187	83.79	0.00	0.165	0
9526a1_94	133	130	29.44552	1.06278	0.69247	0.02611	0.51	3474	35	3.13	0.08	0.010	48
9526a1_95	36.24158	18.815	5.021996	1.810897	0.04474255	0.01496216	0.4497552	183	86	28.48	0.00	0.469	0
9526a1_96	163	248	19.62385	0.63932	0.61440	0.01955	0.58	3072	31	0.20	0.66	0.010	47
9526a1_97	129	66	24.21899	0.92653	0.64403	0.02432	0.53	3282	37	3.16	0.08	0.011	48
9526a1_98	160.7916	51.01081	1.034656	0.3053024	0.009166559	0.002659827	0.3716874	41	16	42.48	0.00	0.393	0
9526a1_99	308	209	21.88457	0.91452	0.57669	0.02366	0.68	3220	37	43.20	0.00	0.012	30
9526a1_100	525	86	4.39011	0.14925	0.29318	0.00959	0.58	1710	28	7.41	0.01	0.017	47
9526a1_101	118	140	17.45120	0.66182	0.56601	0.02073	0.62	2968	35	3.98	0.05	0.012	48
9526a1_102	57	24	22.32234	0.85780	0.61035	0.02267	0.60	3211	36	11.65	0.00	0.011	47
9526a1_103	66	61	17.30380	0.60025	0.56996	0.01869	0.59	2956	33	1.96	0.16	0.011	48
9526a1_104	302	269	18.84645	0.60295	0.59023	0.01863	0.53	3037	31	1.83	0.18	0.010	48
9526a1_105	305	125	17.57765	0.60685	0.55640	0.01880	0.60	2979	32	13.30	0.00	0.011	42
9526a1_106	72	43	26.99551	1.00329	0.68208	0.02480	0.66	3388	34	0.67	0.41	0.010	46
9526a1_107	151	258	16.79333	0.55920	0.56080	0.01843	0.57	2927	32	2.79	0.09	0.011	47
9526a1_108	37	16	20.79132	0.83630	0.61897	0.02342	0.66	3133	37	0.39	0.53	0.012	47
9526a1_109	219	111	15.34022	0.48770	0.51900	0.01675	0.56	2847	30	23.09	0.00	0.011	48
9526a1_110	79	70	17.48302	0.61814	0.57160	0.02015	0.57	2966	33	1.88	0.17	0.011	47
9526a1_111	121	203	14.31266	0.50046	0.50987	0.01771	0.63	2785	32	14.50	0.00	0.012	47
9526a1_112	320	445	10.27412	0.79348	0.37752	0.02857	0.80	2594	57	86.25	0.00	0.022	31
9526a1_113	72	43	23.08124	0.94801	0.64616	0.02750	0.61	3233	39	0.15	0.70	0.012	47
9526a1_114	123	75	16.14822	1.12467	0.50119	0.03348	0.68	2930	61	24.62	0.00	0.021	28
9526a1_115	330	152	14.77929	0.65319	0.52622	0.02238	0.51	2804	42	3.49	0.06	0.015	48
9526a1_116	190	122	17.04804	1.37805	0.51086	0.04048	0.77	3017	64	21.26	0.00	0.021	21
9526a1_117	161	48	25.33024	1.01367	0.65152	0.02625	0.61	3332	37	4.29	0.04	0.011	48
9526a1_118	41	7	32.65575	1.75416	0.77972	0.03882	0.69	3543	50	6.68	0.01	0.014	48
9526a1_119	87	54	20.27048	0.81942	0.55725	0.02141	0.58	3125	38	48.11	0.00	0.012	47
9526a1_120	78	89	19.14531	0.84545	0.60071	0.02550	0.57	3051	42	0.15	0.70	0.014	47
DB07RIM40a		**952-07**											
9527a1_1	252	84	7.16987	0.26515	0.38414	0.01375	0.77	2143	30	2.87	0.09	0.014	47
9527a1_2	255	228	0.87946	0.04627	0.09097	0.00370	0.60	583	21	54.93	0.00	0.036	32
9527a1_3	166	32	5.86677	0.21662	0.35170	0.01157	0.66	1957	32	0.42	0.52	0.016	47
9527a1_4	302	123	6.28593	0.22921	0.35434	0.01245	0.74	2029	30	8.65	0.00	0.015	40
9527a1_5	191	143	5.77257	0.22557	0.34795	0.01330	0.75	1946	32	0.62	0.43	0.017	47
9527a1_6	20	22	4.89519	0.32087	0.30949	0.01489	0.59	1789	55	4.38	0.04	0.031	47
9527a1_7	68	47	1.07378	0.08189	0.11440	0.00533	0.42	709	29	4.61	0.03	0.041	45
9527a1_8	77	83	2.47515	0.11930	0.21619	0.00760	0.48	1264	32	0.03	0.87	0.025	47

Numéro d'analyse	[U] (ppm)	[Th] (ppm)	207Pb/ 235Uc	2 sigma	206Pb/ 238U	2 sigma	Corré-lation d'erreur	Age Concordia (Ma)	A priori erreur de 2σ	MSWD	Probabilité-de-concordance (rej <.15)	Erreur/ âge (rej >0.40)	Nombres de balayages concordants (rej <5)
9527a1_9	394	230	0.63986	0.03695	0.07547	0.00355	0.65	481	20	12.72	0.00	0.042	47
9527a1_10	249	207	1.13844	0.06323	0.12409	0.00567	0.64	765	28	1.76	0.18	0.037	48
9527a1_11	750.814	346.5623	8.02643	2.082173	0.4379965	0.1109174	0.7953931	2199	215	0.39	0.53	0.098	1
9527a1_12	444	259	5.55514	0.22723	0.33630	0.01179	0.61	1909	35	3.22	0.07	0.018	46
9527a1_13	181	81	0.74002	0.03821	0.09043	0.00366	0.56	560	19	0.18	0.67	0.035	47
9527a1_14	50	32	4.64045	0.27942	0.30882	0.01781	0.80	1764	47	0.60	0.44	0.026	45
9527a1_15	171	84	1.01212	0.04800	0.10986	0.00351	0.37	685	18	8.92	0.00	0.027	47
9527a1_16	188	103	0.91303	0.04377	0.10535	0.00398	0.55	652	20	1.37	0.24	0.031	47
9527a1_17	774	118	5.27676	0.23879	0.31255	0.01369	0.81	1902	35	27.70	0.00	0.018	42
9527a1_18	674	7	0.78946	0.04006	0.09435	0.00486	0.65	589	22	0.77	0.38	0.038	48
9527a1_19	104	105	0.84420	0.05230	0.10284	0.00526	0.59	625	26	0.50	0.48	0.042	48
9527a1_20	121	184	11.64933	0.89826	0.46693	0.03314	0.82	2617	60	5.05	0.02	0.023	5
9527a1_21	225	255	0.82891	0.03896	0.09822	0.00344	0.48	608	18	0.71	0.40	0.030	48
9527a1_22	119	116	0.79418	0.04744	0.09791	0.00320	0.36	600	18	0.42	0.52	0.029	47
9527a1_23	66	43	4.45446	0.17809	0.29289	0.01109	0.64	1724	33	9.76	0.00	0.019	47
9527a1_24	276	131	0.76120	0.03242	0.09444	0.00296	0.56	579	16	0.69	0.41	0.027	47
9527a1_25	80	85	1.81994	1.34056	0.10716	0.01250	0.07	658	73	1.86	0.17	0.111	31
9527a1_26	174	97	4.19689	0.33957	0.25047	0.01812	0.75	1678	66	57.83	0.00	0.039	14
9527a1_27	27	19	7.36019	0.40700	0.39504	0.01913	0.70	2158	49	0.10	0.76	0.023	48
9527a1_28	79	74	7.02134	0.30664	0.39514	0.01485	0.68	2111	39	1.59	0.21	0.018	46
9527a1_29	179	155	7.22187	0.30789	0.36176	0.01324	0.63	2140	38	38.05	0.00	0.018	46
9527a1_30	160	66	2.16334	0.08716	0.19838	0.00674	0.65	1169	28	0.04	0.84	0.024	46
9527a1_31	0	0	0	0	0	0	0	#VALUE!	#VALUE!	#VALUE!	#VALUE!	#VALUE!	0
9527a1_32	78	79	0.74488	0.05271	0.08843	0.00277	0.29	549	16	1.55	0.21	0.029	47
9527a1_33	677	92	0.75782	0.03119	0.09327	0.00309	0.64	574	16	0.08	0.78	0.029	47
9527a1_34	1033	666	10.03536	0.60557	0.39678	0.02048	0.60	2434	56	59.24	0.00	0.023	10
9527a1_35	243	185	6.37258	0.27050	0.35535	0.01358	0.75	2043	36	9.64	0.00	0.017	40
9527a1_36	178	97	0.73429	0.04225	0.09177	0.00316	0.45	564	18	0.35	0.55	0.031	47
9527a1_37	171	8	0.85381	0.05166	0.10435	0.00409	0.51	635	22	1.00	0.32	0.035	47
9527a1_38	704	613	0.95235	0.04018	0.10441	0.00370	0.53	660	19	14.40	0.00	0.028	46
9527a1_39	1154	2262	0.90912	0.03936	0.10498	0.00428	0.63	653	20	1.69	0.19	0.031	45
9527a1_40	305	222	0.72552	0.05126	0.08437	0.00434	0.58	531	25	5.95	0.01	0.046	48
9527a1_41	308	584	1.49336	0.07041	0.13652	0.00526	0.62	874	27	62.83	0.00	0.031	44
9527a1_42	225	142	6.72913	0.27021	0.37329	0.01387	0.63	2079	35	1.55	0.21	0.017	48
9527a1_43	88	57	0.90790	0.04417	0.10687	0.00351	0.43	655	18	0.01	0.91	0.028	47
9527a1_44	260	69	3.60585	0.14619	0.27712	0.00967	0.63	1552	32	1.85	0.17	0.021	48
9527a1_45	116	84	0.88558	0.05854	0.10105	0.00319	0.33	624	18	2.26	0.13	0.029	48
9527a1_46	212	204	6.12072	0.24131	0.34370	0.01219	0.75	2011	33	20.18	0.00	0.016	46
9527a1_47	102	26	1.73097	0.07791	0.16927	0.00600	0.52	1016	27	0.61	0.44	0.026	48
9527a1_48	39	48	0.99319	0.07721	0.11490	0.00401	0.25	701	22	0.00	0.97	0.031	48
9527a1_49	285	145	0.77460	0.03724	0.09068	0.00299	0.47	567	16	5.04	0.02	0.029	44
9527a1_50	68	49	7.01472	0.29669	0.38428	0.01358	0.65	2114	38	0.50	0.48	0.018	48
9527a1_51	116	97	1.24375	0.23088	0.10209	0.00832	0.22	641	48	11.65	0.00	0.075	14
9527a1_52	183	85	5.27923	0.30724	0.29363	0.01652	0.69	1882	49	48.43	0.00	0.026	16
9527a1_53	113	135	0.76805	0.05136	0.09530	0.00357	0.35	585	20	0.31	0.58	0.034	48
9527a1_54	110	42	16.97385	0.65481	0.55149	0.02086	0.73	2956	33	10.01	0.00	0.011	48
9527a1_55	228	332	0.74193	0.19509	0.05927	0.01780	0.39	442	97	9.32	0.00	0.218	25
9527a1_56	158	47	1.77657	0.06293	0.17292	0.00534	0.60	1035	22	0.53	0.47	0.022	47
9527a1_57	185	57	0.86464	0.04673	0.09901	0.00299	0.39	614	17	3.72	0.05	0.027	47

Numéro d'analyse	[U] (ppm)	[Th] (ppm)	207Pb/ 235Uc	2 sigma	206Pb/ 238U	2 sigma	Corré-lation d'erreur	Age Concordia (Ma)	A priori erreur de 2σ	MSWD	Probabilité-de-concordance (rej <.15)	Erreur/ âge (rej >0.40)	Nombres de balayages concordants (rej <5)
9527a1_58	176	141	5.90943	0.21507	0.35757	0.01126	0.69	1962	32	0.17	0.68	0.016	46
~~9527a1_59~~	~~108~~	~~26~~	~~1.79767~~	~~0.09830~~	~~0.16807~~	~~0.00709~~	~~0.64~~	~~1004~~	~~34~~	~~9.16~~	~~0.00~~	~~0.034~~	~~48~~
9527a1_60	651	311	0.70599	0.02964	0.08649	0.00287	0.47	538	15	0.73	0.39	0.028	32
9527a1_61	125	3	0.78645	0.03845	0.09344	0.00287	0.38	580	16	1.46	0.23	0.027	47
9527a1_62	126	92	0.74477	0.03969	0.09337	0.00255	0.35	573	14	0.81	0.37	0.025	44
~~9527a1_63~~	~~324~~	~~177~~	~~5.34588~~	~~0.24615~~	~~0.30033~~	~~0.01183~~	~~0.56~~	~~1849~~	~~40~~	~~56.40~~	~~0.00~~	~~0.022~~	~~27~~
~~9527a1_64~~	~~0~~	~~0~~	~~0~~	~~0~~	~~0~~	~~0~~	~~0~~	~~#VALUE!~~	~~#VALUE!~~	~~#VALUE!~~	~~#VALUE!~~	~~#VALUE!~~	~~0~~
9527a1_65	253	181	0.83394	0.03445	0.10030	0.00317	0.42	616	16	0.00	0.97	0.026	47
~~9527a1_66~~	~~729~~	~~219~~	~~5.64311~~	~~0.29049~~	~~0.31263~~	~~0.01558~~	~~0.80~~	~~1975~~	~~40~~	~~48.46~~	~~0.00~~	~~0.020~~	~~15~~
~~9527a1_67~~	~~103~~	~~24~~	~~6.20595~~	~~0.22516~~	~~0.33680~~	~~0.01071~~	~~0.67~~	~~2011~~	~~32~~	~~49.27~~	~~0.00~~	~~0.016~~	~~47~~
~~9527a1_68~~	~~535~~	~~160~~	~~0.79404~~	~~0.04130~~	~~0.08240~~	~~0.00357~~	~~0.58~~	~~538~~	~~20~~	~~62.66~~	~~0.00~~	~~0.037~~	~~21~~
~~9527a1_69~~	~~25~~	~~1~~	~~6.88455~~	~~0.35604~~	~~0.35037~~	~~0.01259~~	~~0.51~~	~~2050~~	~~45~~	~~35.51~~	~~0.00~~	~~0.022~~	~~45~~
~~9527a1_70~~	~~251~~	~~184~~	~~12.62652~~	~~0.42522~~	~~0.47100~~	~~0.01349~~	~~0.61~~	~~2660~~	~~32~~	~~49.47~~	~~0.00~~	~~0.012~~	~~26~~
~~9527a1_71~~	~~7~~	~~23~~	~~11.51695~~	~~0.91671~~	~~0.41101~~	~~0.02641~~	~~0.69~~	~~2584~~	~~73~~	~~65.21~~	~~0.00~~	~~0.028~~	~~37~~
9527a1_72	45	25	0.92631	0.08368	0.10547	0.00356	0.21	649	20	0.74	0.39	0.031	46
~~9527a1_73~~	~~82.28753~~	~~33.03367~~	~~4.06629~~	~~1.436587~~	~~0.2046584~~	~~0.06709358~~	~~0.4229788~~	~~1426~~	~~297~~	~~6.15~~	~~0.01~~	~~0.208~~	~~3~~
9527a1_74	229	164	0.83660	0.05135	0.10190	0.00331	0.34	624	18	0.34	0.56	0.029	47
9527a1_75	668	326	0.28912	0.01277	0.04004	0.00125	0.50	254	7	1.08	0.30	0.029	45
~~9527a1_76~~	~~65~~	~~61~~	~~1.09529~~	~~0.06364~~	~~0.12743~~	~~0.00390~~	~~0.36~~	~~767~~	~~21~~	~~2.08~~	~~0.15~~	~~0.027~~	~~48~~
~~9527a1_77~~	~~110~~	~~72~~	~~5.05289~~	~~0.16991~~	~~0.32027~~	~~0.00927~~	~~0.58~~	~~1826~~	~~29~~	~~4.02~~	~~0.05~~	~~0.016~~	~~47~~
~~9527a1_78~~	~~576~~	~~242~~	~~0.84436~~	~~0.04135~~	~~0.09413~~	~~0.00384~~	~~0.69~~	~~599~~	~~21~~	~~21.26~~	~~0.00~~	~~0.035~~	~~31~~
9527a1_79	52	32	2.63873	0.15820	0.22157	0.00833	0.47	1301	38	0.89	0.35	0.029	47
9527a1_80	244	259	0.94601	0.03545	0.11020	0.00320	0.52	675	16	0.05	0.82	0.024	47
9527a1_81	26	63	1.60352	0.13395	0.16315	0.00670	0.38	974	35	0.01	0.92	0.036	48
9527a1_82	203	159	4.77546	0.19430	0.31181	0.01215	0.55	1780	34	1.54	0.21	0.019	48
DB07RIM29c Jbeliat		**952-08**											
9528a1_1	72	91	4.57626	0.21774	0.30763	0.00966	0.44	1739	36	0.46	0.50	0.021	47
~~9528a1_2~~	~~41~~	~~15~~	~~6.00956~~	~~0.41364~~	~~0.29851~~	~~0.01553~~	~~0.57~~	~~1877~~	~~62~~	~~81.20~~	~~0.00~~	~~0.033~~	~~25~~
~~9528a1_3~~	~~284~~	~~267~~	~~1.75013~~	~~0.07384~~	~~0.16389~~	~~0.00542~~	~~0.58~~	~~1007~~	~~26~~	~~13.55~~	~~0.00~~	~~0.025~~	~~47~~
9528a1_4	361	73	2.20349	0.08375	0.20211	0.00656	0.68	1183	26	0.12	0.73	0.022	48
9528a1_5	64	47	2.58409	0.12694	0.22249	0.00705	0.46	1296	31	0.00	0.95	0.024	48
~~9528a1_6~~	~~1320.906~~	~~881.5327~~	~~1.511038~~	~~0.3262257~~	~~0.09180881~~	~~0.01699612~~	~~0.6358579~~	~~517~~	~~100~~	~~36.05~~	~~0.00~~	~~0.193~~	~~0~~
9528a1_7	261	124	1.96629	0.08514	0.18536	0.00599	0.59	1101	27	0.31	0.58	0.025	46
~~9528a1_8~~	~~189~~	~~81~~	~~2.91016~~	~~0.31346~~	~~0.19300~~	~~0.00714~~	~~0.21~~	~~1156~~	~~38~~	~~29.44~~	~~0.00~~	~~0.033~~	~~32~~
~~9528a1_9~~	~~75~~	~~21~~	~~2.22197~~	~~0.09927~~	~~0.19634~~	~~0.00690~~	~~0.64~~	~~1179~~	~~30~~	~~4.80~~	~~0.03~~	~~0.026~~	~~47~~
9528a1_10	129	37	2.30655	0.10842	0.20612	0.00779	0.60	1213	32	0.13	0.72	0.027	48
~~9528a1_11~~	~~66~~	~~80~~	~~2.72748~~	~~0.13773~~	~~0.22398~~	~~0.00795~~	~~0.54~~	~~1323~~	~~35~~	~~2.99~~	~~0.08~~	~~0.026~~	~~47~~
~~9528a1_12~~	~~177~~	~~85~~	~~1.60417~~	~~0.07755~~	~~0.15720~~	~~0.00634~~	~~0.69~~	~~963~~	~~30~~	~~5.36~~	~~0.02~~	~~0.031~~	~~44~~
~~9528a1_13~~	~~149~~	~~44~~	~~2.23350~~	~~0.11152~~	~~0.19651~~	~~0.00769~~	~~0.62~~	~~1181~~	~~34~~	~~4.29~~	~~0.04~~	~~0.029~~	~~47~~
9528a1_14	261	43	1.67884	0.09013	0.16521	0.00741	0.73	998	34	1.11	0.29	0.034	48
9528a1_15	377	104	3.47106	0.19516	0.26358	0.01396	0.81	1524	42	0.32	0.57	0.028	47
9528a1_16	125	42	2.25994	0.14955	0.20131	0.01225	0.77	1202	46	0.69	0.40	0.039	47
9528a1_17	146	167	4.68891	0.28819	0.31179	0.01732	0.74	1768	50	0.29	0.59	0.028	47
9528a1_18	249	239	5.96038	0.37192	0.35485	0.01973	0.81	1974	50	0.17	0.68	0.026	46
~~9528a1_19~~	~~426~~	~~296~~	~~1.45136~~	~~0.07394~~	~~0.13752~~	~~0.00605~~	~~0.65~~	~~879~~	~~30~~	~~33.91~~	~~0.00~~	~~0.034~~	~~46~~
9528a1_20	482	12	2.24741	0.12020	0.20683	0.00983	0.72	1196	38	0.76	0.38	0.031	48
~~9528a1_21~~	~~24~~	~~17~~	~~2.82852~~	~~0.21128~~	~~0.21967~~	~~0.00937~~	~~0.42~~	~~1309~~	~~45~~	~~8.25~~	~~0.00~~	~~0.034~~	~~48~~
9528a1_22	261	73	3.25875	0.18804	0.25686	0.01380	0.81	1471	43	0.01	0.91	0.029	47
~~9528a1_23~~	~~139~~	~~104~~	~~1.65797~~	~~0.08729~~	~~0.16204~~	~~0.00708~~	~~0.70~~	~~986~~	~~33~~	~~2.92~~	~~0.09~~	~~0.033~~	~~47~~

Numéro d'analyse	[U] (ppm)	[Th] (ppm)	207Pb/ 235Uc	2 sigma	206Pb/ 238U	2 sigma	Corré-lation d'erreur	Age Concordia (Ma)	A priori erreur de 2σ	MSWD	Probabilité-de-concordance (rej <.15)	Erreur/ âge (rej >0.40)	Nombres de balayages concordants (rej <5)
9528a1_24	56	52	4.50467	0.26899	0.30480	0.01484	0.65	1731	50	0.36	0.55	0.029	48
9528a1_25	38	70	1.55089	0.12574	0.16175	0.00868	0.56	959	43	0.46	0.50	0.045	47
9528a1_26	110	42	2.07539	0.12344	0.19173	0.00963	0.72	1140	41	0.30	0.58	0.036	48
9528a1_27	170	69	2.33565	0.13209	0.21008	0.01068	0.72	1223	40	0.09	0.76	0.033	47
9528a1_28	75	46	2.68862	0.16484	0.23522	0.01169	0.54	1333	44	1.88	0.17	0.033	48
9528a1_29	67	63	6.03172	0.30648	0.35764	0.01532	0.64	1981	44	0.11	0.74	0.022	47
9528a1_30	418	158	1.75629	0.09691	0.17009	0.00797	0.74	1027	36	1.31	0.25	0.035	48
9528a1_31	367	188	2.16419	0.11226	0.18306	0.00901	0.75	1171	36	28.54	0.00	0.031	46
9528a1_32	160	111	1.77341	0.08659	0.16785	0.00662	0.60	1001	31	7.45	0.01	0.031	47
9528a1_33	65	55	2.57850	0.14607	0.22338	0.01068	0.74	1295	41	0.07	0.79	0.032	48
9528a1_34	407	324	2.48610	0.10241	0.20876	0.00789	0.74	1270	30	10.50	0.00	0.023	48
9528a1_35	266	160	1.96416	0.09401	0.17197	0.00678	0.66	1060	32	31.66	0.00	0.030	48
9528a1_36	53	53	5.23769	0.22116	0.33719	0.00987	0.57	1862	35	0.51	0.48	0.019	47
9528a1_37	135	98	5.15050	0.25827	0.32207	0.01393	0.72	1849	42	3.53	0.06	0.023	47
9528a1_38	169	169	5.48017	0.22676	0.32872	0.01174	0.70	1903	35	10.17	0.00	0.019	47
9528a1_39	30	23	1.80200	0.13292	0.17223	0.00734	0.50	1031	38	0.93	0.34	0.037	47
9528a1_40	14	19	2.90975	0.25875	0.23202	0.01183	0.45	1361	55	1.33	0.25	0.041	46
9528a1_41	376	189	5.50453	0.23498	0.33155	0.01301	0.82	1921	33	7.99	0.00	0.017	48
9528a1_42	267	90	4.99512	0.18058	0.32139	0.01000	0.68	1820	31	1.49	0.22	0.017	48
9528a1_43	171	71	2.34414	0.11135	0.20668	0.00751	0.67	1222	33	0.92	0.34	0.027	48
9528a1_44	230	223	2.41708	0.11604	0.18731	0.00728	0.65	1192	34	80.11	0.00	0.029	32
9528a1_45	82	49	3.68025	0.13984	0.26911	0.00874	0.69	1567	30	3.69	0.05	0.019	47
9528a1_46	150	42	2.92911	0.13239	0.23150	0.00857	0.66	1382	34	7.66	0.01	0.025	48
9528a1_47	66	24	2.89213	0.13595	0.23383	0.00866	0.55	1373	34	1.66	0.20	0.025	48
9528a1_48	21	3	1.83424	0.16036	0.17611	0.00817	0.40	1049	41	0.18	0.67	0.040	48
9528a1_49	357	120	2.33635	0.10500	0.20650	0.00772	0.70	1222	32	0.81	0.37	0.026	48
9528a1_50	86	102	4.86021	0.23924	0.30697	0.01254	0.72	1799	41	10.52	0.00	0.023	48
9528a1_51	4	14	5.44148	0.73085	0.33788	0.02273	0.41	1883	95	0.06	0.81	0.050	46
9528a1_52	87	57	1.70788	0.10939	0.16893	0.00606	0.46	1008	31	0.07	0.79	0.031	48
9528a1_53	463	195	2.83871	0.22979	0.22168	0.01708	0.81	1385	58	7.79	0.01	0.042	19
9528a1_54	137	72	1.96058	0.10561	0.17231	0.00767	0.69	1065	36	24.83	0.00	0.034	45
9528a1_55	324	109	3.34919	0.15283	0.25377	0.01034	0.69	1493	36	3.27	0.07	0.024	48
9528a1_56	83	65	2.06700	0.11833	0.18495	0.00869	0.61	1125	38	5.07	0.02	0.034	48
9528a1_57	284	74	2.31248	0.09498	0.20498	0.00694	0.59	1213	28	0.83	0.36	0.023	48
9528a1_58	58	11	2.46533	0.12726	0.20997	0.00736	0.50	1246	33	2.98	0.08	0.027	47
9528a1_59	386	177	4.25698	0.16931	0.28986	0.01080	0.75	1693	32	5.84	0.02	0.019	48
9528a1_60	85	70	4.67651	0.18373	0.30512	0.00990	0.67	1762	33	6.52	0.01	0.019	47
9528a1_61	346	345	4.10386	0.14914	0.26745	0.00873	0.73	1665	29	71.22	0.00	0.018	47
9528a1_62	81	30	1.62826	0.09718	0.16621	0.00575	0.47	988	29	0.31	0.58	0.030	48
9528a1_63	32	51	5.50937	0.23846	0.33194	0.01272	0.62	1902	37	5.04	0.02	0.020	47
9528a1_64	15	23	1.78597	0.22652	0.16659	0.00932	0.33	1001	49	1.29	0.26	0.049	47
9528a1_65	186	235	4.45685	0.28315	0.27086	0.01543	0.79	1758	50	54.43	0.00	0.028	22
9528a1_66	130	49	2.28559	0.10393	0.20440	0.00703	0.59	1205	31	0.31	0.58	0.025	47
9528a1_67	66	88	6.00787	0.21365	0.35087	0.01004	0.64	1977	31	4.34	0.04	0.016	47
9528a1_68	138	68	2.20673	0.10932	0.19943	0.00816	0.66	1181	34	0.43	0.51	0.029	48
9528a1_69	108	17	3.19457	0.17030	0.25244	0.01228	0.76	1457	41	0.05	0.82	0.028	48
9528a1_70	414	139	2.22953	0.09768	0.20269	0.00755	0.70	1190	31	0.00	0.97	0.026	48
9528a1_71	50	49	1.67499	0.11144	0.16826	0.00627	0.41	1001	32	0.03	0.87	0.032	48
9528a1_72	100	56	3.68361	0.20001	0.25497	0.01178	0.71	1564	44	23.89	0.00	0.028	48

Numéro d'analyse	[U] (ppm)	[Th] (ppm)	207Pb/ 235Uc	2 sigma	206Pb/ 238U	2 sigma	Corré-lation d'erreur	Age Concordia (Ma)	A priori erreur de 2σ	MSWD	Probabilité-de-concordance (rej <.15)	Erreur/ âge (rej >0.40)	Nombres de balayages concordants (rej <5)
9528a1_73	235	67	3.44552	0.14234	0.26329	0.00984	0.69	1515	33	0.20	0.65	0.021	47
9528a1_74	484	169	3.40229	0.17157	0.25904	0.01202	0.82	1511	38	1.15	0.28	0.025	48
9528a1_75	114	29	2.15979	0.12169	0.19657	0.00831	0.62	1164	37	0.38	0.54	0.032	48
9528a1_76	1785.75	686.6733	1.248765	0.2846271	0.06450366	0.01333762	0.7473745	259	72	50.48	0.00	0.277	0
9528a1_77	169	162	4.16827	0.22207	0.28387	0.01401	0.80	1684	41	6.73	0.01	0.024	44
9528a1_78	547	186	1.32093	0.11476	0.11903	0.00982	0.75	806	51	45.51	0.00	0.063	22
9528a1_79	302	178	2.14095	0.08851	0.19690	0.00696	0.59	1161	28	0.05	0.82	0.024	47
9528a1_80	136	57	2.44349	0.13316	0.20772	0.00898	0.62	1245	38	3.96	0.05	0.031	42
9528a1_81	198	129	2.25654	0.15590	0.20245	0.01332	0.82	1202	47	0.25	0.62	0.039	48
9528a1_82	382	266	1.62167	0.16610	0.13993	0.01293	0.82	939	66	40.48	0.00	0.070	28
9528a1_83	256	177	5.15726	0.55026	0.31191	0.03243	0.93	1919	58	5.39	0.02	0.030	45
9528a1_84	128	233	4.76205	0.30415	0.28638	0.01757	0.88	1866	42	41.55	0.00	0.022	45
9528a1_85	198	173	5.18151	0.21208	0.33210	0.01271	0.61	1850	35	0.00	0.97	0.019	48
9528a1_86	333	260	1.56956	0.07809	0.16113	0.00685	0.69	959	30	0.12	0.73	0.032	48
9528a1_87	282	78	2.31626	0.08964	0.20382	0.00621	0.64	1212	27	2.68	0.10	0.022	47
9528a1_88	135	59	2.10338	0.11176	0.19163	0.00901	0.78	1151	37	1.68	0.20	0.032	48
9528a1_89	279	274	5.68782	0.24689	0.33143	0.01345	0.81	1958	34	16.88	0.00	0.017	37
9528a1_90	84	29	1.52736	0.09034	0.15656	0.00627	0.56	939	31	0.05	0.82	0.034	48
9528a1_91	152	36	2.30334	0.09817	0.20699	0.00682	0.62	1213	29	0.00	0.97	0.024	48
9528a1_92	386	116	2.26986	0.10476	0.20641	0.00844	0.79	1202	32	0.23	0.64	0.027	47
9528a1_93	545	314	1.32622	0.09216	0.11725	0.00726	0.63	778	38	63.75	0.00	0.049	18
9528a1_94	205	132	2.10699	0.09243	0.18746	0.00667	0.64	1139	30	9.18	0.00	0.026	48
9528a1_95	128	77	4.12861	0.16293	0.29004	0.00928	0.72	1660	32	1.27	0.26	0.019	48
9528a1_96	96	54	2.31315	0.12156	0.20948	0.00617	0.41	1222	29	0.26	0.61	0.024	47
9528a1_97	24	24	1.64143	0.17956	0.16952	0.00874	0.36	1004	45	0.47	0.49	0.045	48
9528a1_98	34	67	3.82831	0.23737	0.27036	0.01168	0.61	1581	48	5.21	0.02	0.031	44
9528a1_99	232	70	2.15827	0.08778	0.19579	0.00578	0.48	1162	26	0.98	0.32	0.022	48
9528a1_100	36	8	2.32659	0.17205	0.20370	0.00973	0.48	1207	45	0.90	0.34	0.038	48
9528a1_101	135	159	5.83894	0.24548	0.34600	0.01287	0.72	1958	36	2.88	0.09	0.018	48
9528a1_102	123	188	2.14530	0.10164	0.19536	0.00729	0.63	1160	32	0.69	0.41	0.027	48
9528a1_103	201	122	5.68972	0.25339	0.34821	0.01352	0.77	1931	37	0.03	0.86	0.019	47
9528a1_104	115	50	2.02998	0.13763	0.18781	0.01103	0.78	1126	46	0.74	0.39	0.041	48
9528a1_105	34	9	4.92799	0.31197	0.32812	0.01695	0.73	1805	53	0.61	0.44	0.030	47
9528a1_106	133	90	1.69398	0.09052	0.16752	0.00657	0.42	1003	30	0.17	0.68	0.030	47
9528a1_107	110	147	4.57185	0.21010	0.30852	0.01235	0.66	1744	38	0.22	0.64	0.022	47
9528a1_108	896.2458	552.9462	0.8777142	0.187108	0.08559823	0.01645955	0.7374067	562	95	8.97	0.00	0.169	3
9528a1_109	184	68	3.41552	0.19319	0.26166	0.01338	0.72	1509	44	0.16	0.69	0.029	48
9528a1_110	71	18	3.33110	0.19050	0.25477	0.01377	0.80	1496	43	1.34	0.25	0.029	47
9528a1_111	21	15	2.18607	0.21553	0.19698	0.01074	0.37	1165	52	0.24	0.63	0.044	47
9528a1_112	218	119	2.77432	0.12109	0.23295	0.00849	0.59	1349	32	0.01	0.94	0.024	47
9528a1_113	105	71	10.18863	0.53352	0.43247	0.02077	0.75	2485	44	17.44	0.00	0.018	47
9528a1_114	283	99	3.29820	0.24026	0.25562	0.01791	0.80	1485	54	0.21	0.64	0.036	48
9528a1_115	31	56	1.64107	0.12790	0.17024	0.01059	0.64	993	47	1.38	0.24	0.048	47
9528a1_116	256	40	1.98638	0.10769	0.18876	0.00907	0.68	1111	37	0.04	0.83	0.033	48
9528a1_117	99	83	5.62463	0.26070	0.34516	0.01485	0.70	1921	39	0.11	0.74	0.020	47
9528a1_118	32	35	5.30154	0.37842	0.32971	0.01909	0.70	1871	61	0.96	0.33	0.033	48
9528a1_119	94	15	1.87986	0.11267	0.17931	0.00661	0.48	1068	33	0.31	0.58	0.030	46
9528a1_120	87	53	4.71337	0.23782	0.30953	0.01444	0.74	1775	41	1.61	0.20	0.023	48

Numéro d'analyse	[U] (ppm)	[Th] (ppm)	207Pb/ 235Uc	2 sigma	206Pb/ 238U	2 sigma	Corré-lation d'erreur	Age Concordia (Ma)	A priori erreur de 2σ	MSWD	Probabilité-de-concordance (rej <.15)	Erreur/ âge (rej >0.40)	Nombres de balayages concordants (rej <5)
DB07RIM75a Oujeft		**952-09**											
9529a1_1	150	162	0.84699	0.03715	0.09836	0.00298	0.45	611	16	3.26	0.07	0.026	48
9529a1_2	34	24	0.85924	0.07182	0.09843	0.00374	0.31	609	21	1.58	0.21	0.035	48
9529a1_3	207	19	6.69091	0.23096	0.35660	0.01067	0.69	2080	30	32.52	0.00	0.015	45
9529a1_4	589	405	6.66799	0.21404	0.37458	0.01023	0.66	2070	28	0.92	0.34	0.014	48
9529a1_5	241	186	4.16417	0.13404	0.28233	0.00763	0.63	1662	26	18.42	0.00	0.016	48
9529a1_6	285	220	0.71193	0.02917	0.08657	0.00242	0.47	539	13	1.66	0.20	0.025	46
9529a1_7	105	77	5.60020	0.22891	0.32399	0.01238	0.71	1932	34	25.16	0.00	0.018	48
9529a1_8	89	32	1.15866	0.07257	0.13151	0.00360	0.31	794	20	0.80	0.37	0.025	48
9529a1_9	40	34	0.95110	0.07713	0.10794	0.00411	0.32	664	23	0.81	0.37	0.035	46
9529a1_10	131	63	4.94626	0.26217	0.27882	0.01190	0.64	1763	46	93.98	0.00	0.026	21
9529a1_11	55	53	0.94880	0.06801	0.10969	0.00351	0.31	672	20	0.14	0.71	0.029	48
9529a1_12	70	109	6.38232	0.24193	0.36042	0.01132	0.65	2031	33	4.96	0.03	0.016	48
9529a1_13	166	7	0.82412	0.04265	0.09830	0.00263	0.33	606	15	0.25	0.62	0.024	48
9529a1_14	371	222	0.80338	0.03082	0.09785	0.00254	0.46	601	14	0.13	0.72	0.023	47
9529a1_15	84	66	0.85046	0.04250	0.10034	0.00275	0.33	618	15	0.51	0.47	0.024	47
9529a1_16	69	26	9.69403	0.32228	0.42579	0.01209	0.65	2415	30	32.92	0.00	0.013	47
9529a1_17	419	40	5.33908	0.15846	0.31898	0.00862	0.57	1872	26	27.60	0.00	0.014	42
9529a1_18	372	745	0.83421	0.03359	0.09971	0.00289	0.54	614	16	0.14	0.70	0.025	46
9529a1_19	46	24	0.90655	0.07283	0.10185	0.00322	0.22	629	18	2.29	0.13	0.029	47
9529a1_20	0	0	0	0	0	0	0	#VALUE!	#VALUE!	#VALUE!	#VALUE!	#VALUE!	0
9529a1_21	111	1	0.81470	0.05641	0.09947	0.00263	0.24	611	15	0.15	0.69	0.024	47
9529a1_22	163	44	0.85151	0.03454	0.10091	0.00269	0.45	622	15	0.39	0.53	0.023	48
9529a1_23	48	27	0.84888	0.06148	0.10124	0.00362	0.32	622	20	0.02	0.89	0.032	47
9529a1_24	330	157	6.65683	0.20560	0.37444	0.00974	0.66	2068	27	0.93	0.33	0.013	47
9529a1_25	96	54	0.74863	0.05280	0.09114	0.00296	0.36	563	17	0.12	0.73	0.030	47
9529a1_26	422	168	0.79565	0.02698	0.09479	0.00249	0.58	589	13	2.37	0.12	0.023	47
9529a1_27	127	93	0.84159	0.04091	0.09929	0.00280	0.46	612	16	0.86	0.35	0.026	47
9529a1_28	31	29	0.75815	0.09871	0.10110	0.00409	0.17	616	23	2.84	0.09	0.038	43
9529a1_29	107	74	0.89784	0.05723	0.10429	0.00285	0.27	641	16	0.51	0.47	0.025	48
9529a1_30	154	81	0.88349	0.03599	0.10289	0.00286	0.44	636	15	1.44	0.23	0.024	47
9529a1_31	655.5376	20.71433	3.522118	0.3899872	0.2170742	0.02177937	0.685036	1477	91	40.51	0.00	0.061	2
9529a1_32	180	123	0.88128	0.04538	0.10227	0.00253	0.36	630	14	1.38	0.24	0.023	48
9529a1_33	78	87	0.92011	0.05565	0.10560	0.00360	0.34	651	20	1.05	0.31	0.030	47
9529a1_34	205	4	0.90563	0.03593	0.10618	0.00291	0.53	652	16	0.23	0.64	0.024	46
9529a1_35	169	53	2.24404	0.07594	0.20452	0.00555	0.58	1196	23	0.14	0.71	0.019	47
9529a1_36	297	323	0.85697	0.03084	0.10221	0.00259	0.44	628	14	0.02	0.90	0.022	47
9529a1_37	49	27	0.83851	0.06126	0.10285	0.00379	0.28	628	21	0.54	0.46	0.033	47
9529a1_38	960	333	7.88410	0.21854	0.40249	0.00998	0.66	2221	25	4.54	0.03	0.011	47
9529a1_39	86	94	0.89342	0.23994	0.10541	0.00418	0.07	646	24	0.00	0.97	0.037	32
9529a1_40	160	142	0.79333	0.02633	0.09974	0.00248	0.49	603	13	7.17	0.01	0.021	47
9529a1_41	62	21	0.75649	0.05871	0.09052	0.00265	0.22	560	15	0.61	0.44	0.027	48
9529a1_42	13	15	4.77816	0.36423	0.30703	0.01388	0.49	1756	58	2.68	0.10	0.033	48
9529a1_43	652	207	0.93217	0.02771	0.10853	0.00249	0.53	666	13	0.42	0.52	0.019	48
9529a1_44	67	74	0.90583	0.06184	0.10555	0.00357	0.40	648	20	0.26	0.61	0.031	47
9529a1_45	66	43	0.94002	0.06820	0.11093	0.00325	0.28	677	18	0.09	0.77	0.027	48
9529a1_46	31	17	3.33392	0.18541	0.23227	0.00791	0.43	1402	37	37.89	0.00	0.026	45
9529a1_47	71	73	0.82936	0.05876	0.09587	0.00322	0.34	593	18	2.10	0.15	0.031	47
9529a1_48	23	23	0.71232	0.11065	0.08348	0.00389	0.19	518	23	0.79	0.38	0.044	48

Numéro d'analyse	[U] (ppm)	[Th] (ppm)	207Pb/ 235Uc	2 sigma	206Pb/ 238U	2 sigma	Corré-lation d'erreur	Age Concordia (Ma)	A priori erreur de 2σ	MSWD	Probabilité-de-concordance (rej <.15)	Erreur/ âge (rej >0.40)	Nombres de balayages concordants (rej <5)
9529a1_49	77	13	0.70794	0.05085	0.08664	0.00268	0.27	537	15	0.27	0.60	0.029	47
9529a1_50	30	21	0.74954	0.08133	0.08867	0.00362	0.27	549	21	0.76	0.38	0.038	47
9529a1_51	65	54	0.78013	0.06147	0.09667	0.00342	0.32	593	19	0.30	0.59	0.033	47
9529a1_52	31	17	0.68551	0.07519	0.08317	0.00288	0.19	516	17	0.44	0.51	0.033	48
9529a1_53	522	43	5.94253	0.23305	0.32385	0.01192	0.77	2004	32	68.81	0.00	0.016	45
9529a1_54	109	108	0.72213	0.05200	0.08481	0.00288	0.36	528	17	3.39	0.07	0.032	47
9529a1_55	66	60	0.79699	0.05366	0.09638	0.00338	0.38	594	19	0.02	0.89	0.032	47
9529a1_56	241	141	0.88489	0.04236	0.10385	0.00325	0.47	639	18	0.38	0.54	0.027	48
9529a1_57	183	203	0.91310	0.04584	0.10681	0.00331	0.45	656	18	0.15	0.70	0.028	46
9529a1_58	108	85	0.88911	0.05568	0.10642	0.00403	0.47	650	22	0.18	0.67	0.034	48
9529a1_59	374	19	0.78803	0.03335	0.09459	0.00339	0.58	587	17	0.69	0.41	0.029	48
9529a1_60	127	104	0.82209	0.05800	0.09760	0.00393	0.41	602	22	0.33	0.57	0.036	48
9529a1_61	105	66	0.95950	0.05005	0.10764	0.00411	0.50	669	22	3.66	0.06	0.032	48
9529a1_62	163	217	0.79287	0.03822	0.09390	0.00322	0.50	584	17	1.92	0.17	0.030	48
9529a1_63	36	18	0.94053	0.07925	0.09946	0.00377	0.29	618	22	8.73	0.00	0.035	48
9529a1_64	52	45	0.80817	0.06604	0.09773	0.00443	0.42	601	25	0.00	0.98	0.041	47
9529a1_65	125	48	0.91805	0.04977	0.10807	0.00382	0.47	661	20	0.00	0.99	0.031	46
9529a1_66	306	147	0.90284	0.04131	0.10556	0.00322	0.45	649	17	0.34	0.56	0.026	48
9529a1_67	149	86	0.90874	0.05293	0.10549	0.00434	0.60	650	24	0.68	0.41	0.037	47
9529a1_68	94	122	6.95609	0.27257	0.38626	0.01225	0.58	2106	35	0.00	0.99	0.017	46
9529a1_69	57	35	0.90847	0.06212	0.10687	0.00479	0.47	655	26	0.01	0.92	0.039	46
9529a1_70	129	92	0.83151	0.04854	0.09859	0.00283	0.33	608	16	0.39	0.53	0.026	48
9529a1_71	57	46	0.81627	0.06430	0.10286	0.00324	0.29	628	18	2.06	0.15	0.029	48
9529a1_72	37	30	5.49985	0.29769	0.30925	0.01536	0.69	1912	46	36.04	0.00	0.024	27
9529a1_73	409	177	0.97464	0.03856	0.11078	0.00345	0.51	684	17	1.88	0.17	0.025	48
9529a1_74	65	41	0.88622	0.04403	0.10128	0.00291	0.34	628	16	3.44	0.06	0.025	47
9529a1_75	87	19	0.85665	0.05305	0.10243	0.00354	0.40	629	20	0.00	0.98	0.031	48
9529a1_76	586	97	5.95035	0.19563	0.33914	0.01018	0.71	1980	28	24.25	0.00	0.014	47
9529a1_77	64	97	5.60511	0.24179	0.34345	0.01266	0.50	1916	37	0.27	0.61	0.019	47
9529a1_78	1072	303	1.02790	0.15405	0.09291	0.01284	0.61	625	71	17.78	0.00	0.113	7
9529a1_79	127	78	9.72251	0.37338	0.45772	0.01633	0.74	2404	34	0.63	0.43	0.014	48
9529a1_80	232	78	0.87615	0.03401	0.10432	0.00323	0.64	639	17	0.01	0.92	0.026	48
9529a1_81	112	40	0.76790	0.03554	0.09436	0.00297	0.54	580	16	0.09	0.77	0.028	47
9529a1_82	457	20	0.93817	0.03611	0.10837	0.00352	0.67	669	18	1.17	0.28	0.027	47
9529a1_83	111	69	4.68810	0.22923	0.32111	0.01384	0.75	1759	40	1.72	0.19	0.023	47
9529a1_84	162	115	5.76535	0.27333	0.34045	0.01493	0.79	1956	38	5.00	0.03	0.020	48
9529a1_85	37	21	0.82947	0.08926	0.09618	0.00415	0.22	595	24	0.71	0.40	0.040	47
9529a1_86	61	20	6.99553	0.27088	0.38870	0.01355	0.65	2110	34	0.06	0.81	0.016	48
9529a1_87	360	314	0.84316	0.03409	0.09991	0.00344	0.70	618	18	0.84	0.36	0.029	48
9529a1_88	637	341	0.78673	0.03064	0.09430	0.00318	0.66	586	16	1.27	0.26	0.028	47
9529a1_89	73	61	0.84914	0.06342	0.09949	0.00452	0.49	614	25	0.64	0.42	0.041	48
9529a1_90	172	82	0.86374	0.03781	0.10088	0.00267	0.42	623	15	1.57	0.21	0.024	47
9529a1_91	10	9	1.36448	0.18150	0.13369	0.00934	0.31	823	50	2.56	0.11	0.061	47
9529a1_92	3	1	1.14572	0.42820	0.11122	0.01208	0.20	683	70	0.83	0.36	0.102	48
9529a1_93	66	58	0.80508	0.06640	0.09361	0.00462	0.45	582	26	1.69	0.19	0.045	48
9529a1_94	125	62	0.78622	0.04328	0.09097	0.00397	0.58	573	21	6.32	0.01	0.037	45
9529a1_95	200	15	5.65563	0.22221	0.34242	0.01277	0.77	1931	32	1.62	0.20	0.017	48
9529a1_96	126	159	0.76002	0.04664	0.08893	0.00293	0.35	554	17	3.46	0.06	0.030	48
9529a1_97	279	296	0.95413	0.03800	0.11038	0.00258	0.46	676	14	0.33	0.57	0.021	48

Numéro d'analyse	[U] (ppm)	[Th] (ppm)	207Pb/ 235Uc	2 sigma	206Pb/ 238U	2 sigma	Corré-lation d'erreur	Age Concordia (Ma)	A priori erreur de 2σ	MSWD	Probabilité-de-concordance (rej <.15)	Erreur/ âge (rej >0.40)	Nombres de balayages concordants (rej <5)
9529a1_98	243	270	0.82190	0.03486	0.09791	0.00241	0.44	604	13	0.57	0.45	0.022	47
9529a1_99	111	82	0.88084	0.04387	0.10586	0.00280	0.37	647	15	0.38	0.54	0.024	48
9529a1_100	398	339	0.85241	0.02781	0.10331	0.00245	0.55	630	13	1.24	0.27	0.021	47
9529a1_101	24	25	0.71097	0.10068	0.08379	0.00310	0.18	520	18	0.78	0.38	0.035	47
9529a1_102	320	231	2.36012	0.10153	0.18731	0.00675	0.66	1192	31	76.60	0.00	0.026	38
9529a1_103	78	57	0.81192	0.05261	0.10045	0.00345	0.31	614	19	0.81	0.37	0.031	46
9529a1_104	248	92	1.19338	0.03941	0.13279	0.00392	0.52	799	17	0.39	0.53	0.022	48
9529a1_105	590	124	5.27475	0.14673	0.32709	0.00774	0.66	1865	24	8.11	0.00	0.013	47
9529a1_106	29	62	0.81519	0.07526	0.10149	0.00356	0.20	621	20	0.69	0.41	0.032	46
9529a1_107	94	60	0.84993	0.04658	0.09985	0.00267	0.32	616	15	0.76	0.38	0.024	47
9529a1_108	264	135	0.87875	0.03733	0.10418	0.00257	0.38	639	14	0.02	0.89	0.022	48
9529a1_109	248	308	0.80148	0.02960	0.09611	0.00223	0.46	593	12	0.59	0.44	0.021	48
9529a1_110	368	296	0.99288	0.03029	0.11446	0.00253	0.56	699	13	0.05	0.82	0.019	47
9529a1_111	209	50	0.82329	0.03173	0.09720	0.00253	0.44	602	14	1.85	0.17	0.023	47
9529a1_112	692	412	0.74426	0.02401	0.09133	0.00210	0.58	564	12	0.06	0.81	0.021	48
9529a1_113	56	41	0.82344	0.07325	0.09921	0.00287	0.22	610	17	0.00	0.99	0.027	48
9529a1_114	202	104	0.87304	0.03697	0.10147	0.00309	0.56	628	17	2.49	0.11	0.027	47
9529a1_115	112	71	0.74788	0.04060	0.08708	0.00256	0.39	543	15	6.40	0.01	0.027	45
9529a1_116	160	98	0.83198	0.03951	0.09661	0.00256	0.42	598	15	3.75	0.05	0.024	48
9529a1_117	44	67	0.80279	0.05654	0.09223	0.00292	0.27	573	17	3.39	0.07	0.029	47
9529a1_118	87	112	0.73728	0.04608	0.08929	0.00270	0.32	553	15	0.51	0.48	0.028	47
9529a1_119	169	90	0.75990	0.03425	0.08800	0.00229	0.34	551	13	9.17	0.00	0.023	47
9529a1_120	25	26	0.85202	0.28298	0.10330	0.00528	0.07	634	31	0.01	0.92	0.048	38
DB07RIM77a	**952-10**												
95210a1_1	552	136	0.83721	0.02959	0.10246	0.00233	0.51	625	13	2.24	0.13	0.020	45
95210a1_2	318	136	2.10180	0.08162	0.18276	0.00538	0.56	1120	25	25.67	0.00	0.022	39
95210a1_3	434	78	2.58734	0.09065	0.20864	0.00592	0.66	1278	25	38.41	0.00	0.020	48
95210a1_4	0	0	0	0	0	0	0	#VALUE!	#VALUE!	#VALUE!	#VALUE!	#VALUE!	0
95210a1_5	326	79	1.65622	0.05593	0.16648	0.00394	0.53	992	19	0.01	0.94	0.019	48
95210a1_6	198	71	2.21785	0.08019	0.19653	0.00511	0.53	1174	23	5.40	0.02	0.020	46
95210a1_7	141	134	6.03513	0.18351	0.36635	0.00923	0.64	1980	27	3.45	0.06	0.013	47
95210a1_8	151	153	2.28814	0.08467	0.20582	0.00538	0.59	1208	24	0.03	0.87	0.020	47
95210a1_9	39	17	1.60301	0.11664	0.16311	0.00467	0.29	974	25	0.01	0.91	0.026	48
95210a1_10	491	819	0.70424	0.02930	0.08626	0.00214	0.41	535	12	0.88	0.35	0.022	38
95210a1_11	260	360	0.82040	0.08629	0.09708	0.00267	0.18	598	16	0.21	0.65	0.026	40
95210a1_12	16	18	2.14099	0.21934	0.16162	0.00865	0.40	989	47	29.20	0.00	0.048	44
95210a1_13	653	503	2.66629	0.10044	0.20268	0.00639	0.36	1270	26	52.19	0.00	0.020	29
95210a1_14	633	351	2.72122	0.08771	0.21689	0.00552	0.66	1317	24	37.21	0.00	0.018	39
95210a1_15	52	368	1.04416	0.28853	0.09490	0.01404	0.50	584	83	4.55	0.03	0.142	18
95210a1_16	505	164	2.21880	0.06997	0.19954	0.00499	0.61	1183	21	1.61	0.20	0.018	48
95210a1_17	362	156	1.87480	0.06198	0.18056	0.00442	0.60	1071	20	0.04	0.83	0.019	46
95210a1_18	251	85	6.25718	0.18358	0.35928	0.00838	0.63	2011	26	4.70	0.03	0.013	48
95210a1_19	165	39	0.87167	0.07316	0.10101	0.00561	0.50	625	31	0.76	0.38	0.049	47
95210a1_20	789	331	1.88662	0.05797	0.17630	0.00501	0.56	1071	20	6.53	0.01	0.019	48
95210a1_21	402	203	3.49181	0.11618	0.26527	0.00722	0.66	1525	26	0.38	0.54	0.017	34
95210a1_22	224	181	4.25194	0.13850	0.30110	0.00819	0.66	1684	27	0.68	0.41	0.016	47
95210a1_23	119	48	3.11852	0.13421	0.25012	0.00739	0.47	1438	30	0.01	0.92	0.021	48
95210a1_24	335	277	2.34426	0.08540	0.19568	0.00538	0.56	1195	24	31.80	0.00	0.020	32
95210a1_25	686	98	1.88277	0.05845	0.17859	0.00436	0.60	1070	20	2.42	0.12	0.018	47

Numéro d'analyse	[U] (ppm)	[Th] (ppm)	207Pb/ 235Uc	2 sigma	206Pb/ 238U	2 sigma	Corré-lation d'erreur	Age Concordia (Ma)	A priori erreur de 2σ	MSWD	Probabilité-de-concordance (rej <.15)	Erreur/ âge (rej >0.40)	Nombres de balayages concordants (rej <5)
95210a1_26	295	310	4.89931	0.17186	0.28513	0.00796	0.62	1765	30	135.63	0.00	0.017	38
95210a1_27	1074	139	2.59672	0.08367	0.20714	0.00551	0.70	1282	24	64.86	0.00	0.018	48
95210a1_28	1526	794	1.82196	0.07707	0.16543	0.00632	0.75	1021	28	35.54	0.00	0.028	21
95210a1_29	167	74	3.51710	0.12006	0.26359	0.00602	0.51	1522	25	2.51	0.11	0.016	47
95210a1_30	145	153	0.88030	0.03898	0.10051	0.00280	0.49	623	16	5.91	0.02	0.025	42
95210a1_31	110	36	2.13911	0.08895	0.19302	0.00563	0.57	1151	26	2.97	0.08	0.023	48
95210a1_32	162	311	1.83427	0.18771	0.16916	0.01624	0.92	1020	66	11.76	0.00	0.065	37
95210a1_33	0	0	0	0	0	0	0	#VALUE!	#VALUE!	#VALUE!	#VALUE!	#VALUE!	0
95210a1_34	99	52	5.33617	0.16357	0.33699	0.00803	0.60	1874	26	0.03	0.87	0.014	46
95210a1_35	799	1380	0.85435	0.03218	0.09872	0.00301	0.55	617	16	5.72	0.02	0.025	48
95210a1_36	313	184	5.77175	0.17032	0.34817	0.00813	0.61	1941	26	1.11	0.29	0.013	47
95210a1_37	78	30	2.44781	0.11028	0.21294	0.00654	0.44	1251	29	0.47	0.49	0.023	48
95210a1_38	155	318	1.80583	0.08536	0.15630	0.00509	0.47	976	26	51.10	0.00	0.027	37
95210a1_39	185	178	0.84671	0.05005	0.09617	0.00510	0.35	609	24	3.50	0.06	0.039	47
95210a1_40	255	177	2.28089	0.09830	0.19875	0.00703	0.66	1198	30	6.89	0.01	0.025	39
95210a1_41	196	146	3.50786	0.13754	0.23881	0.00768	0.66	1497	31	95.01	0.00	0.021	33
95210a1_42	261	244	2.30731	0.07621	0.20913	0.00542	0.61	1217	23	0.66	0.42	0.019	48
95210a1_43	250	115	3.64040	0.12857	0.26821	0.00751	0.64	1555	28	3.27	0.07	0.018	47
95210a1_44	339	96	4.55793	0.19902	0.29155	0.01046	0.63	1732	37	20.60	0.00	0.021	24
95210a1_45	140	69	4.77611	0.21047	0.30937	0.01058	0.60	1775	37	4.24	0.04	0.021	48
95210a1_46	294	96	3.42619	0.17638	0.26407	0.01221	0.64	1510	41	0.00	0.99	0.027	48
95210a1_47	125	97	2.64627	0.12534	0.22597	0.00754	0.45	1314	31	0.00	0.99	0.024	47
95210a1_48	77	58	0.84885	0.05372	0.09892	0.00322	0.31	611	18	1.15	0.28	0.029	47
95210a1_49	527	167	0.85492	0.03413	0.09926	0.00321	0.62	619	17	4.49	0.03	0.027	46
95210a1_50	175	83	3.48143	0.11454	0.26772	0.00709	0.62	1524	26	0.19	0.66	0.017	47
95210a1_51	21	5	2.22670	0.18595	0.18859	0.00871	0.40	1136	44	6.39	0.01	0.038	48
95210a1_52	550	118	2.15477	0.07587	0.19551	0.00539	0.61	1162	24	1.66	0.20	0.020	48
95210a1_53	59	102	2.24285	0.30224	0.19972	0.01069	0.31	1177	55	0.19	0.66	0.047	26
95210a1_54	211	51	3.24344	0.11541	0.25168	0.00709	0.53	1463	27	1.63	0.20	0.018	46
95210a1_55	92	30	6.70871	0.25374	0.37357	0.01250	0.76	2080	32	1.93	0.16	0.015	47
95210a1_56	287	101	2.00721	0.08024	0.18603	0.00580	0.63	1112	26	1.99	0.16	0.023	42
95210a1_57	370	50	5.55505	0.17805	0.33466	0.00896	0.68	1911	28	9.12	0.00	0.014	47
95210a1_58	86	61	0.85248	0.06140	0.10125	0.00306	0.26	622	17	0.06	0.80	0.028	47
95210a1_59	310	145	5.24348	0.21195	0.30445	0.01082	0.69	1865	34	57.62	0.00	0.018	37
95210a1_60	255	32	4.57938	0.16318	0.30429	0.00817	0.61	1740	30	4.15	0.04	0.017	47
95210a1_61	111	79	4.70968	0.19250	0.30056	0.01030	0.66	1767	34	15.42	0.00	0.019	48
95210a1_62	313	213	3.60547	0.29384	0.23595	0.01786	0.85	1627	57	54.83	0.00	0.035	15
95210a1_63	95	107	4.91658	0.20831	0.32112	0.01042	0.57	1804	35	0.22	0.64	0.020	48
95210a1_64	182	127	5.61459	0.18683	0.33884	0.00799	0.54	1910	28	4.99	0.03	0.015	47
95210a1_65	98	90	4.47017	0.16604	0.29562	0.00876	0.67	1722	31	11.90	0.00	0.018	46
95210a1_66	213	112	2.49343	0.09603	0.21524	0.00551	0.52	1264	25	0.91	0.34	0.020	46
95210a1_67	352	201	2.65055	0.10092	0.21190	0.00577	0.57	1282	26	30.54	0.00	0.021	47
95210a1_68	166	232	2.90332	0.10721	0.24239	0.00647	0.58	1387	27	1.30	0.25	0.019	46
95210a1_69	318	182	1.96807	0.07357	0.17702	0.00467	0.51	1077	22	18.26	0.00	0.021	38
95210a1_70	789	288	3.67817	0.10523	0.26692	0.00628	0.63	1562	23	10.89	0.00	0.015	48
95210a1_71	502	142	2.33869	0.08066	0.20646	0.00584	0.62	1221	24	1.26	0.26	0.020	48
95210a1_72	817	1024	0.84626	0.02912	0.09584	0.00266	0.56	605	14	18.99	0.00	0.023	41
95210a1_73	0	0	0	0	0	0	0	#VALUE!	#VALUE!	#VALUE!	#VALUE!	#VALUE!	0
95210a1_74	261	30	3.02710	0.10088	0.24579	0.00694	0.72	1414	26	0.03	0.86	0.018	47

Numéro d'analyse	[U] (ppm)	[Th] (ppm)	207Pb/ 235Uc	2 sigma	206Pb/ 238U	2 sigma	Corré-lation d'erreur	Age Concordia (Ma)	A priori erreur de 2σ	MSWD	Probabilité-de-concordance (rej <.15)	Erreur/ âge (rej >0.40)	Nombres de balayages concordants (rej <5)
95210a1_75	306	160	17.11389	0.62108	0.56138	0.01921	0.73	2957	32	5.49	0.02	0.011	48
95210a1_76	98	101	0.91617	0.04121	0.10871	0.00289	0.41	664	16	0.21	0.65	0.024	47
95210a1_77	126	95	4.43780	0.17722	0.29677	0.01013	0.64	1718	33	5.25	0.02	0.019	47
95210a1_78	459	202	2.39400	0.09200	0.19919	0.00663	0.72	1234	28	32.11	0.00	0.022	37
95210a1_79	738	518	2.20953	0.07692	0.18931	0.00575	0.72	1176	24	36.90	0.00	0.021	45
95210a1_80	163	85	6.59446	0.23372	0.36717	0.01023	0.66	2059	31	5.53	0.02	0.015	46
95210a1_81	63	46	3.29339	0.15894	0.25476	0.00893	0.53	1475	36	0.65	0.42	0.024	48
95210a1_82	69	39	2.47351	0.16283	0.21244	0.00760	0.44	1250	37	0.91	0.34	0.030	40
95210a1_83	2138.389	3428.638	2.440132	0.4644889	0.03402951	0.005850246	0.468172	144	34	97.66	0.00	0.235	0
95210a1_84	218	126	6.00634	0.25342	0.35257	0.01221	0.69	1979	37	1.99	0.16	0.019	47
95210a1_85	160	97	0.86221	0.04864	0.09747	0.00337	0.47	607	19	6.56	0.01	0.031	45
95210a1_86	258	69	2.62683	0.14309	0.21243	0.00961	0.67	1296	40	12.09	0.00	0.031	37
95210a1_87	173	89	3.77644	0.13911	0.26942	0.00837	0.62	1583	30	8.87	0.00	0.019	48
95210a1_88	122	104	5.97967	0.22484	0.35266	0.01152	0.72	1976	32	1.73	0.19	0.016	48
95210a1_89	146	116	3.89607	0.14285	0.28689	0.00759	0.58	1616	29	0.67	0.41	0.018	48
95210a1_90	841.5564	925.7798	3.764562	0.3205398	0.2445309	0.01933662	0.8231593	1637	63	36.70	0.00	0.038	4
95210a1_91	234	132	3.45556	0.11663	0.26187	0.00656	0.62	1513	26	1.73	0.19	0.017	48
95210a1_92	64	106	1.77481	0.08901	0.17736	0.00582	0.52	1045	28	1.05	0.31	0.027	47
95210a1_93	262	77	3.37037	0.11521	0.25846	0.00726	0.66	1496	27	1.22	0.27	0.018	48
95210a1_94	201	187	0.87102	0.04708	0.10390	0.00308	0.43	637	17	0.01	0.93	0.027	48
95210a1_95	1004	308	2.13821	0.05893	0.19301	0.00444	0.62	1156	19	5.98	0.01	0.016	46
95210a1_96	551	576	2.09627	0.27356	0.14459	0.01769	0.40	1001	84	26.92	0.00	0.084	11
95210a1_97	917	379	3.22170	0.12055	0.23515	0.00781	0.75	1468	29	57.32	0.00	0.020	46
95210a1_98	195	134	2.27499	0.09309	0.19902	0.00674	0.63	1197	28	5.72	0.02	0.024	36
95210a1_99	360	299	3.56217	0.12079	0.24843	0.00677	0.62	1517	27	63.09	0.00	0.018	37
95210a1_100	143	145	1.00334	0.08638	0.10114	0.00313	0.28	625	18	14.63	0.00	0.029	43
95210a1_101	502	184	3.52816	0.13059	0.26769	0.00910	0.66	1534	29	0.07	0.80	0.019	47
95210a1_102	198	210	0.80206	0.04210	0.08757	0.00302	0.34	557	17	21.24	0.00	0.030	41
95210a1_103	125	12	1.61342	0.07903	0.16657	0.00472	0.46	987	24	1.42	0.23	0.024	47
95210a1_104	272	200	3.53755	0.13909	0.25682	0.00906	0.69	1537	31	13.70	0.00	0.020	47
95210a1_105	64	45	5.57594	0.27756	0.31056	0.00937	0.44	1826	39	49.62	0.00	0.021	45
95210a1_106	156	99	0.77833	0.03726	0.09650	0.00362	0.64	589	19	1.07	0.30	0.033	48
95210a1_107	239	201	0.84503	0.13893	0.10120	0.00436	0.21	621	25	0.00	0.99	0.041	24
95210a1_108	165	55	3.78013	0.14155	0.28362	0.00795	0.64	1591	30	1.82	0.18	0.019	48
95210a1_109	601	122	1.98390	0.06958	0.18670	0.00563	0.72	1109	24	0.38	0.54	0.021	48
95210a1_110	77	147	5.24141	0.20813	0.32910	0.01033	0.64	1858	34	1.71	0.19	0.018	47
95210a1_111	530	630	2.82210	0.11477	0.22347	0.00733	0.71	1352	31	19.78	0.00	0.023	43
95210a1_112	522	154	2.15621	0.09139	0.19953	0.00689	0.70	1168	29	0.18	0.67	0.025	46
95210a1_113	414	466	2.26145	0.08199	0.20201	0.00655	0.74	1201	26	1.46	0.23	0.021	46
95210a1_114	176	53	2.26529	0.09631	0.19778	0.00705	0.66	1194	30	6.88	0.01	0.025	48
95210a1_115	969	123	3.32397	0.15202	0.25442	0.01006	0.77	1490	35	2.32	0.13	0.024	48
95210a1_116	456	270	0.85866	0.03384	0.09976	0.00303	0.66	620	17	4.73	0.03	0.027	48
95210a1_117	179	100	0.84456	0.04191	0.09871	0.00324	0.55	611	18	2.14	0.14	0.030	47
95210a1_118	123	49	6.21934	0.22918	0.35924	0.01187	0.67	2010	32	1.83	0.18	0.016	48
95210a1_119	261	95	2.32331	0.08150	0.20720	0.00614	0.59	1218	24	0.17	0.68	0.020	46
95210a1_120	138	184	2.58216	0.08186	0.20764	0.00537	0.62	1275	23	47.20	0.00	0.018	40
DB07RIM59a Assabet		**952-11**											
95211a1_1	454.5867	544.3433	2.277925	0.4299687	0.1228556	0.01761303	0.5146199	733	101	41.68	0.00	0.138	0
95211a1_2	94	47	4.74100	0.17604	0.31414	0.00946	0.70	1775	31	0.65	0.42	0.018	48

Numéro d'analyse	[U] (ppm)	[Th] (ppm)	207Pb/ 235Uc	2 sigma	206Pb/ 238U	2 sigma	Corré-lation d'erreur	Age Concordia (Ma)	A priori erreur de 2σ	MSWD	Probabilité-de-concordance (rej <.15)	Erreur/ âge (rej >0.40)	Nombres de balayages concordants (rej <5)
95211a1_3	90	35	1.77515	0.08467	0.17516	0.00458	0.44	1039	23	0.07	0.79	0.022	48
95211a1_4	69	37	2.36372	0.13202	0.21261	0.00526	0.32	1240	26	0.29	0.59	0.021	43
95211a1_5	230	77	2.55035	0.09384	0.22013	0.00682	0.67	1286	27	0.09	0.77	0.021	46
95211a1_6	290	317	5.30011	0.26412	0.29596	0.01247	0.60	1843	43	64.36	0.00	0.023	15
95211a1_7	61	17	2.27520	0.11052	0.20510	0.00631	0.46	1204	29	0.01	0.91	0.024	48
95211a1_8	85	81	2.48146	0.30375	0.18178	0.01873	0.79	1200	92	36.66	0.00	0.077	25
95211a1_9	156	192	2.25166	0.09410	0.19281	0.00567	0.55	1168	27	17.77	0.00	0.023	37
95211a1_10	228	310	2.33215	0.12979	0.17880	0.00806	0.63	1148	39	78.99	0.00	0.034	26
95211a1_11	155	71	1.95975	0.07861	0.18038	0.00485	0.54	1084	24	6.38	0.01	0.022	46
95211a1_12	223	103	2.39133	0.12861	0.20192	0.00879	0.69	1228	38	9.73	0.00	0.031	30
95211a1_13	172	70	2.26866	0.09744	0.19361	0.00599	0.56	1174	28	17.41	0.00	0.024	34
95211a1_14	112	31	2.72000	0.10225	0.22909	0.00612	0.52	1332	26	0.08	0.78	0.019	48
95211a1_15	313	115	2.57531	0.09517	0.21453	0.00607	0.58	1281	26	8.68	0.00	0.020	47
95211a1_16	167	111	6.19569	0.26760	0.32662	0.01229	0.66	2006	38	67.40	0.00	0.019	19
95211a1_17	290.3942	257.6993	6.266345	2.461867	0.4063338	0.1075088	0.5844948	2030	337	0.82	0.37	0.166	1
95211a1_18	217	39	2.20710	0.08530	0.19936	0.00519	0.52	1178	24	0.71	0.40	0.020	47
95211a1_19	121	62	2.12261	0.10879	0.19126	0.00611	0.48	1140	30	2.52	0.11	0.026	45
95211a1_20	115	181	2.97832	0.15550	0.22742	0.00980	0.69	1390	40	18.91	0.00	0.029	36
95211a1_21	40	7	2.29951	0.15534	0.20619	0.00725	0.41	1210	36	0.02	0.88	0.029	48
95211a1_22	231	161	3.96735	0.29019	0.25169	0.01351	0.58	1555	59	36.25	0.00	0.038	21
95211a1_23	441	179	3.01237	0.14444	0.21517	0.00850	0.53	1357	36	57.94	0.00	0.026	8
95211a1_24	16	5	1.69617	0.20540	0.17477	0.00769	0.21	1033	40	0.62	0.43	0.039	48
95211a1_25	287	156	2.26108	0.08202	0.20300	0.00531	0.58	1197	24	0.50	0.48	0.020	48
95211a1_26	544.3163	375.1792	13.2859	2.326429	0.2469434	0.03957364	0.6943284	786	187	111.81	0.00	0.238	0
95211a1_27	155	79	3.56445	0.16735	0.26533	0.01020	0.56	1538	37	1.25	0.26	0.024	44
95211a1_28	198	57	2.18165	0.08167	0.19717	0.00542	0.56	1169	24	1.33	0.25	0.021	46
95211a1_29	330	376	4.10034	0.13492	0.27087	0.00680	0.59	1627	27	58.34	0.00	0.016	40
95211a1_30	292	168	2.26586	0.14517	0.18311	0.01083	0.67	1182	45	28.74	0.00	0.038	27
95211a1_31	157	87	2.34278	0.08063	0.20979	0.00513	0.47	1226	22	0.03	0.86	0.018	47
95211a1_32	374.9097	452.0326	2.731884	0.3347664	0.197161	0.0192297	0.5276707	1257	88	13.57	0.00	0.070	2
95211a1_33	261	229	3.50055	0.14043	0.23845	0.00829	0.68	1509	32	87.54	0.00	0.021	24
95211a1_34	56	23	2.17837	0.08065	0.20429	0.00620	0.53	1180	25	2.69	0.10	0.021	47
95211a1_35	619.9727	599.3793	3.264128	0.6143056	0.1902123	0.03245719	0.7477965	1293	162	35.24	0.00	0.125	0
95211a1_36	159	56	2.08546	0.07085	0.19377	0.00451	0.53	1143	21	0.04	0.85	0.018	46
95211a1_37	115	91	5.31855	0.18998	0.34166	0.00974	0.65	1872	31	1.61	0.20	0.016	48
95211a1_38	132	54	2.90626	0.11298	0.24267	0.00731	0.55	1387	28	1.07	0.30	0.020	48
95211a1_39	230	92	3.25956	0.12667	0.24630	0.00753	0.60	1460	30	10.61	0.00	0.020	42
95211a1_40	442	378	2.29972	0.15070	0.20259	0.00797	0.36	1199	37	0.82	0.36	0.031	9
95211a1_41	193	65	1.72748	0.07878	0.16928	0.00481	0.46	1012	24	0.54	0.46	0.023	48
95211a1_42	1474.111	1001.58	2.146798	0.3677858	0.1001871	0.01553348	0.7605746	384	81	93.49	0.00	0.210	0
95211a1_43	148	64	5.75219	0.18769	0.34884	0.00907	0.56	1938	28	0.32	0.57	0.015	48
95211a1_44	249	69	2.34595	0.07812	0.21100	0.00528	0.49	1229	22	0.35	0.56	0.018	46
95211a1_45	123	53	2.77928	0.12255	0.23222	0.00805	0.61	1349	32	0.05	0.82	0.024	46
95211a1_46	187	80	2.40703	0.10315	0.21027	0.00587	0.51	1238	27	0.87	0.35	0.022	47
95211a1_47	499.984	303.3894	1.528157	0.2303632	0.1312144	0.01493261	0.4495376	846	78	9.41	0.00	0.092	1
95211a1_48	281	118	4.65774	0.16320	0.30908	0.00925	0.66	1760	29	1.89	0.17	0.017	48
95211a1_49	333.6365	173.2046	3.738402	1.216195	0.265534	0.08057366	0.6882322	1583	259	0.17	0.68	0.164	2
95211a1_50	372	122	2.38690	0.07242	0.21170	0.00540	0.59	1239	21	0.00	0.95	0.017	48
95211a1_51	265	180	3.13611	0.10924	0.25282	0.00567	0.50	1446	24	0.66	0.42	0.017	48

Numéro d'analyse	[U] (ppm)	[Th] (ppm)	207Pb/ 235Uc	2 sigma	206Pb/ 238U	2 sigma	Corré-lation d'erreur	Age Concordia (Ma)	A priori erreur de 2σ	MSWD	Probabilité-de-concordance (rej <.15)	Erreur/ âge (rej >0.40)	Nombres de balayages concordants (rej <5)
95211a1_52	275	356	2.08663	0.08529	0.17172	0.00581	0.60	1056	28	87.78	0.00	0.026	13
95211a1_53	269	190	2.14506	0.07079	0.18758	0.00480	0.60	1143	22	25.01	0.00	0.019	48
95211a1_54	672.3497	985.1113	1.9807	0.269906	0.1069907	0.0122289	0.6751968	547	69	108.43	0.00	0.127	0
95211a1_55	330	321	2.55218	0.08758	0.21600	0.00585	0.61	1280	24	4.28	0.04	0.019	47
95211a1_56	385	102	2.44269	0.07109	0.21417	0.00498	0.62	1254	21	0.16	0.69	0.016	47
95211a1_57	218	65	2.32790	0.08459	0.20694	0.00621	0.58	1219	25	0.36	0.55	0.021	48
95211a1_58	229	70	2.52154	0.09643	0.21734	0.00598	0.56	1275	26	0.55	0.46	0.020	48
95211a1_59	135	34	2.24467	0.09430	0.19901	0.00684	0.62	1189	29	2.90	0.09	0.024	39
95211a1_60	175	70	2.29069	0.07929	0.20841	0.00537	0.58	1213	23	0.79	0.37	0.019	46
95211a1_61	128	40	2.20992	0.08621	0.20257	0.00505	0.49	1187	23	0.13	0.72	0.020	47
95211a1_62	157	94	2.80959	0.10368	0.23238	0.00639	0.56	1355	26	0.59	0.44	0.019	46
95211a1_63	112	141	2.61989	0.11450	0.21911	0.00617	0.48	1292	28	3.07	0.08	0.022	47
95211a1_64	134	105	2.13717	0.09050	0.18638	0.00601	0.57	1137	28	16.83	0.00	0.024	45
95211a1_65	105	47	2.07282	0.08571	0.19086	0.00529	0.48	1133	25	0.89	0.35	0.022	48
95211a1_66	228	83	2.13290	0.08242	0.18848	0.00543	0.57	1140	25	12.49	0.00	0.022	47
95211a1_67	242	64	2.42236	0.07559	0.21680	0.00558	0.60	1252	22	1.68	0.19	0.018	47
95211a1_68	144	74	3.03412	0.14219	0.25496	0.01057	0.71	1413	36	6.09	0.01	0.025	47
95211a1_69	151	70	2.40451	0.09321	0.20786	0.00608	0.59	1235	27	3.66	0.06	0.021	47
95211a1_70	147	42	1.76806	0.07344	0.17431	0.00430	0.45	1035	21	0.02	0.88	0.021	47
95211a1_71	422	168	2.86385	0.13069	0.21665	0.00798	0.62	1341	34	39.67	0.00	0.025	12
95211a1_72	125	45	3.02254	0.11450	0.24661	0.00646	0.55	1416	27	0.26	0.61	0.019	47
95211a1_73	115	72	1.98900	0.07978	0.18500	0.00491	0.46	1103	23	1.56	0.21	0.021	47
95211a1_74	419.2948	394.1518	2.222017	0.3433858	0.1484282	0.02042366	0.6888326	969	111	41.55	0.00	0.114	0
95211a1_75	219	231	3.25978	0.14739	0.23385	0.00850	0.62	1442	35	43.06	0.00	0.024	33
95211a1_76	211	85	2.36439	0.08811	0.21218	0.00612	0.61	1234	26	0.41	0.52	0.021	48
95211a1_77	43	51	2.69750	0.16556	0.23886	0.00882	0.44	1353	38	4.83	0.03	0.028	48
95211a1_78	178	127	2.15099	0.09841	0.18045	0.00592	0.57	1114	29	40.90	0.00	0.026	35
95211a1_79	46	23	2.38293	0.12780	0.20767	0.00739	0.42	1227	33	1.00	0.32	0.027	48
95211a1_80	249	90	2.73146	0.12870	0.21957	0.00909	0.73	1337	35	12.44	0.00	0.026	37
95211a1_81	289	127	2.71901	0.23030	0.22595	0.01321	0.58	1326	59	0.45	0.50	0.044	10
95211a1_82	21	7	2.32842	0.20473	0.21558	0.00940	0.34	1245	45	1.33	0.25	0.036	47
95211a1_83	134	68	7.28019	0.31795	0.37576	0.01390	0.68	2153	39	14.03	0.00	0.018	42
95211a1_84	135	121	2.76377	0.11583	0.22951	0.00803	0.67	1344	31	0.78	0.38	0.023	47
95211a1_85	92	92	5.28845	0.26964	0.32960	0.01099	0.52	1858	41	1.60	0.21	0.022	41
95211a1_86	81	43	4.98119	0.20994	0.31957	0.01153	0.68	1818	36	1.91	0.17	0.020	47
95211a1_87	235	193	3.70641	0.21951	0.24122	0.01283	0.79	1595	46	77.34	0.00	0.029	41
95211a1_88	112	40	2.18198	0.09637	0.19356	0.00689	0.67	1167	30	6.10	0.01	0.026	47
95211a1_89	207	114	2.22683	0.10663	0.18912	0.00760	0.70	1174	34	24.19	0.00	0.029	40
95211a1_90	378	431	2.20565	0.34834	0.15872	0.02419	0.81	1081	120	36.48	0.00	0.111	6
95211a1_91	28	16	2.93820	0.22700	0.25050	0.01089	0.39	1417	47	2.46	0.12	0.033	48
95211a1_92	574.7635	302.0779	4.697148	0.8344034	0.1347348	0.02387708	0.7259762	515	119	109.08	0.00	0.231	0
95211a1_93	286	88	3.28287	0.11368	0.25189	0.00759	0.70	1477	27	4.28	0.04	0.018	47
95211a1_94	285.2712	376.0258	10.9321	2.842786	0.4087025	0.1035261	0.8544471	2659	170	4.54	0.03	0.064	1
95211a1_95	39	13	1.71396	0.13379	0.16703	0.00767	0.51	1002	40	0.60	0.44	0.040	48
95211a1_96	159	127	3.38593	0.13851	0.26133	0.00823	0.57	1500	31	0.06	0.80	0.021	48
95211a1_97	367.3228	124.4725	2.644811	0.9192995	0.2264899	0.05433953	0.6271973	1314	242	0.00	0.98	0.184	1
95211a1_98	177	57	3.22579	0.10484	0.25062	0.00675	0.60	1460	25	2.37	0.12	0.017	46
95211a1_99	273.0204	285.4276	2.912017	0.4974785	0.2124058	0.02092461	0.4561664	1283	104	4.85	0.03	0.081	3
95211a1_100	174	171	2.60069	0.09373	0.22358	0.00575	0.52	1301	24	0.00	1.00	0.019	48

Numéro d'analyse	[U] (ppm)	[Th] (ppm)	207Pb/ 235Uc	2 sigma	206Pb/ 238U	2 sigma	Corré-lation d'erreur	Age Concordia (Ma)	A priori erreur de 2σ	MSWD	Probabilité-de-concordance (rej <.15)	Erreur/ âge (rej >0.40)	Nombres de balayages concordants (rej <5)
95211a1_101	487	216	3.38691	0.10655	0.25428	0.00647	0.57	1493	24	8.45	0.00	0.016	30
95211a1_102	185	123	2.61462	0.09097	0.22181	0.00618	0.55	1301	25	0.88	0.35	0.019	48
95211a1_103	202	56	2.28790	0.08607	0.20519	0.00618	0.57	1207	26	0.15	0.70	0.021	47
95211a1_104	247	298	4.66530	0.34117	0.27323	0.01616	0.64	1720	62	41.83	0.00	0.036	24
95211a1_105	443.1783	363.1399	7.539057	1.393087	0.2642284	0.04780335	0.7468302	2155	169	74.91	0.00	0.079	0
95211a1_106	97	50	6.08062	0.28081	0.35128	0.01433	0.78	2000	38	4.38	0.04	0.019	46
95211a1_107	109	33	1.76408	0.09099	0.16922	0.00679	0.65	1021	32	2.69	0.10	0.031	47
95211a1_108	322	341	2.01761	0.10348	0.17538	0.00815	0.82	1109	35	39.74	0.00	0.032	47
95211a1_109	746	165	1.27723	0.11243	0.11616	0.00916	0.83	764	51	68.01	0.00	0.066	9
95211a1_110	453	183	2.49167	0.12673	0.20073	0.00935	0.83	1289	36	40.63	0.00	0.028	31
95211a1_111	260	107	2.05013	0.08895	0.18538	0.00633	0.67	1122	29	7.50	0.01	0.026	46
95211a1_112	447	240	3.68374	0.79953	0.21176	0.01197	0.15	1250	63	10.66	0.00	0.051	39
95211a1_113	191	108	2.80897	0.15003	0.23799	0.01167	0.82	1352	39	1.04	0.31	0.029	47
95211a1_114	287	109	3.39322	0.13403	0.26126	0.00890	0.68	1503	31	0.16	0.69	0.021	46
95211a1_115	209	152	4.81405	0.23777	0.31952	0.01407	0.80	1787	40	0.00	1.00	0.022	47
95211a1_116	744.388	575.4239	2.502529	0.6830915	0.1370039	0.03514532	0.8339407	549	180	35.96	0.00	0.328	0
95211a1_117	421	204	2.42546	0.09641	0.20758	0.00751	0.69	1249	29	5.59	0.02	0.023	45
95211a1_118	209	109	2.54175	0.13965	0.21781	0.01043	0.75	1285	40	0.57	0.45	0.031	48
95211a1_119	331	143	2.54487	0.24569	0.19037	0.01606	0.78	1263	72	35.85	0.00	0.057	34
95211a1_120	85	49	2.77019	0.14496	0.23216	0.00858	0.60	1347	37	0.01	0.93	0.027	47
DB07RIM23a		**952-12**											
95212a1_1	279	67	6.39565	0.23485	0.37076	0.01151	0.50	2032	32	0.00	0.96	0.016	48
95212a1_2	270	140	15.62268	0.64387	0.53087	0.01869	0.58	2860	39	11.62	0.00	0.014	48
95212a1_3	216	125	10.33855	0.39332	0.43598	0.01379	0.46	2453	35	23.32	0.00	0.014	47
95212a1_4	56	49	10.42132	0.40485	0.45968	0.01546	0.52	2473	36	1.43	0.23	0.015	48
95212a1_5	534.8684	1062.649	2.465286	0.3686335	0.123643	0.01531265	0.4852602	755	88	72.16	0.00	0.116	0
95212a1_6	119	57	2.30829	0.08251	0.20539	0.00545	0.47	1211	23	0.57	0.45	0.019	47
95212a1_7	61	39	0.88171	0.08791	0.08411	0.00386	0.23	532	22	23.61	0.00	0.042	48
95212a1_8	142	148	4.99770	0.24438	0.28593	0.00969	0.53	1735	40	78.66	0.00	0.023	32
95212a1_9	89	53	0.84256	0.05387	0.09827	0.00331	0.22	608	18	1.05	0.31	0.029	48
95212a1_10	0	0	0	0	0	0	0	#VALUE!	#VALUE!	#VALUE!	#VALUE!	#VALUE!	0
95212a1_11	225.7232	316.8305	5.046677	0.823059	0.2187815	0.02946189	0.6493333	1284	156	65.59	0.00	0.121	0
95212a1_12	41	41	9.67755	0.37266	0.44911	0.01503	0.51	2404	36	0.21	0.64	0.015	47
95212a1_13	172	102	6.22323	0.24909	0.34491	0.01269	0.48	2000	35	13.37	0.00	0.018	48
95212a1_14	92	112	0.89293	0.04768	0.10585	0.00316	0.36	648	17	0.00	0.96	0.027	47
95212a1_15	210	295	10.46259	0.65506	0.40555	0.02485	0.78	2560	49	54.98	0.00	0.019	19
95212a1_16	51	38	26.85297	0.82735	0.67117	0.01866	0.55	3383	30	4.94	0.03	0.009	47
95212a1_17	100	67	9.85889	0.35084	0.44586	0.01336	0.65	2425	33	3.83	0.05	0.013	45
95212a1_18	233	187	9.95384	0.31917	0.45112	0.01206	0.42	2428	30	1.52	0.22	0.012	37
95212a1_19	0	0	0	0	0	0	0	#VALUE!	#VALUE!	#VALUE!	#VALUE!	#VALUE!	0
95212a1_20	110	89	10.00167	0.35268	0.45706	0.01395	0.48	2435	33	0.10	0.76	0.013	48
95212a1_21	71	21	6.72704	0.27264	0.38137	0.01190	0.59	2077	36	0.08	0.77	0.017	47
95212a1_22	54	31	6.92622	0.27872	0.39725	0.01167	0.45	2111	35	4.82	0.03	0.016	47
95212a1_23	198.4518	216.8511	4.46217	1.109794	0.2520209	0.05224204	0.6270294	1646	214	6.76	0.01	0.130	1
95212a1_24	266	205	0.81688	0.05564	0.09301	0.00314	0.23	580	17	4.09	0.04	0.030	19
95212a1_25	734.1762	339.6239	1.969919	0.3184605	0.1164299	0.0153439	0.5243487	722	88	49.83	0.00	0.122	0
95212a1_26	185	88	10.04087	0.27306	0.46064	0.01153	0.43	2439	25	0.03	0.87	0.010	48
95212a1_27	173	85	10.16329	0.30242	0.46490	0.01222	0.58	2449	28	0.27	0.60	0.011	47
95212a1_28	51	38	6.26439	0.21173	0.36508	0.00849	0.45	2012	28	0.15	0.70	0.014	47

Numéro d'analyse	[U] (ppm)	[Th] (ppm)	207Pb/ 235Uc	2 sigma	206Pb/ 238U	2 sigma	Corré-lation d'erreur	Age Concordia (Ma)	A priori erreur de 2σ	MSWD	Probabilité-de-concordance (rej <.15)	Erreur/ âge (rej >0.40)	Nombres de balayages concordants (rej <5)
95212a1_29	183	90	9.55525	0.37505	0.40537	0.01388	0.61	2398	36	63.92	0.00	0.015	32
95212a1_30	63	68	4.92235	0.26088	0.28622	0.01413	0.57	1790	45	40.02	0.00	0.025	31
95212a1_31	23	16	0.94768	0.15038	0.10102	0.00636	0.20	627	36	1.92	0.17	0.057	48
95212a1_32	781.8677	256.8891	2.001143	0.4275839	0.09714241	0.01629052	0.4638864	572	96	39.87	0.00	0.167	0
95212a1_33	103	72	10.35449	0.60683	0.46261	0.02729	0.57	2468	54	0.10	0.75	0.022	48
95212a1_34	131	115	0.86040	0.06528	0.10204	0.00434	0.32	627	23	0.05	0.83	0.037	48
95212a1_35	85	63	0.79558	0.05349	0.09510	0.00311	0.30	587	17	0.33	0.57	0.030	47
95212a1_36	88	62	8.78580	0.40309	0.41978	0.01797	0.56	2318	42	2.80	0.09	0.018	48
95212a1_37	97	65	18.63093	0.76301	0.54355	0.02095	0.66	3056	37	44.66	0.00	0.012	45
95212a1_38	238	139	0.79298	0.04323	0.09514	0.00318	0.45	588	18	0.36	0.55	0.030	47
95212a1_39	340.4136	185.2186	3.921707	1.25944	0.1400078	0.0403811	0.4691434	800	229	22.14	0.00	0.287	0
95212a1_40	148	98	4.75243	0.20742	0.32289	0.01227	0.57	1778	37	1.22	0.27	0.021	48
95212a1_41	356.6369	345.0091	3.237817	0.7212259	0.186552	0.04024428	0.5195539	1269	184	13.70	0.00	0.145	4
95212a1_42	110	73	6.83613	0.30682	0.37848	0.01561	0.53	2090	40	0.47	0.49	0.019	48
95212a1_43	94	10	6.70427	0.25402	0.37766	0.01241	0.54	2073	34	0.10	0.75	0.016	48
95212a1_44	90	49	0.83190	0.06083	0.09663	0.00379	0.26	599	21	1.27	0.26	0.034	48
95212a1_45	91	51	13.69715	0.53205	0.53017	0.01832	0.64	2727	36	0.19	0.67	0.013	47
95212a1_46	231	197	1.67045	0.08884	0.15627	0.00725	0.55	977	32	11.76	0.00	0.033	34
95212a1_47	157	107	10.01882	0.39508	0.44347	0.01721	0.66	2446	35	5.61	0.02	0.014	46
95212a1_48	208	125	14.27855	0.61827	0.47829	0.01883	0.68	2807	39	67.18	0.00	0.014	44
95212a1_49	1174.539	739.9357	2.972842	1.017082	0.1245616	0.04293458	0.7327807	481	231	24.86	0.00	0.480	0
95212a1_50	153	124	5.55281	0.21673	0.31155	0.01195	0.56	1905	34	44.64	0.00	0.018	43
95212a1_51	218	99	0.76770	0.04174	0.09471	0.00360	0.45	581	19	0.17	0.68	0.033	48
95212a1_52	73	59	0.76513	0.05477	0.09375	0.00396	0.39	577	22	0.00	0.96	0.038	47
95212a1_53	243	141	0.93335	0.04870	0.10677	0.00426	0.59	661	23	1.82	0.18	0.034	48
95212a1_54	28	12	16.23265	0.71141	0.55453	0.02234	0.57	2894	42	1.47	0.23	0.014	47
95212a1_55	74	61	0.77464	0.04501	0.09296	0.00350	0.32	576	18	0.47	0.49	0.032	48
95212a1_56	85	49	6.64943	0.27393	0.38462	0.01369	0.47	2068	36	1.27	0.26	0.017	48
95212a1_57	105	175	13.56966	0.62446	0.45106	0.02298	0.52	2735	43	56.27	0.00	0.016	46
95212a1_58	65	51	10.43902	0.43186	0.47511	0.01687	0.53	2474	38	1.00	0.32	0.016	48
95212a1_59	887.4238	1015.186	2.201912	0.4642799	0.08619221	0.01680634	0.625292	388	95	61.29	0.00	0.245	0
95212a1_60	72	18	0.83257	0.06473	0.09492	0.00362	0.28	590	20	2.79	0.09	0.035	48
95212a1_61	212	196	4.81430	0.22562	0.27592	0.01178	0.52	1751	40	71.78	0.00	0.023	18
95212a1_62	51	18	1.74520	0.13267	0.16530	0.00646	0.31	997	33	2.33	0.13	0.033	48
95212a1_63	108	52	6.82404	0.32087	0.37772	0.01688	0.54	2089	42	0.49	0.49	0.020	48
95212a1_64	179	165	9.57464	0.44311	0.42602	0.01634	0.54	2391	43	12.02	0.00	0.018	47
95212a1_65	86	133	7.57047	0.39870	0.35108	0.01682	0.59	2177	48	57.99	0.00	0.022	25
95212a1_66	0	0	0	0	0	0	0	#VALUE!	#VALUE!	#VALUE!	#VALUE!	#VALUE!	0
95212a1_67	53	55	0.91694	0.07625	0.10369	0.00387	0.27	640	22	1.46	0.23	0.034	48
95212a1_68	154	128	9.34178	0.34242	0.41460	0.01281	0.64	2378	34	37.03	0.00	0.014	47
95212a1_69	114	108	5.41400	0.27933	0.30465	0.01493	0.63	1889	44	36.96	0.00	0.023	46
95212a1_70	61	75	16.21258	0.68774	0.55214	0.02209	0.60	2895	40	2.19	0.14	0.014	48
95212a1_71	373	174	0.72949	0.02815	0.09073	0.00263	0.42	558	13	0.18	0.68	0.024	47
95212a1_72	237	135	7.19130	0.31280	0.38424	0.01344	0.66	2137	39	2.78	0.10	0.018	47
95212a1_73	235	79	0.76293	0.03279	0.09221	0.00326	0.57	572	17	0.65	0.42	0.030	46
95212a1_74	1423.76	155.0527	1.831914	0.3280523	0.1373011	0.0214147	0.5744278	915	112	16.07	0.00	0.122	2
95212a1_75	1270.497	1351.876	1.806335	0.4765314	0.05110266	0.01361344	0.5843171	203	77	46.02	0.00	0.382	0
95212a1_76	223	194	13.06814	0.69095	0.45937	0.01995	0.55	2675	50	46.73	0.00	0.019	39
95212a1_77	464.8506	376.6407	6.081824	1.315119	0.1961469	0.03812952	0.6427641	905	203	57.79	0.00	0.224	0

Numéro d'analyse	[U] (ppm)	[Th] (ppm)	207Pb/ 235Uc	2 sigma	206Pb/ 238U	2 sigma	Corré-lation d'erreur	Age Concordia (Ma)	A priori erreur de 2σ	MSWD	Probabilité-de-concordance (rej <.15)	Erreur/ âge (rej >0.40)	Nombres de balayages concordants (rej <5)
95212a1_78	120	50	1.80298	0.09031	0.17589	0.00587	0.45	1045	28	0.01	0.90	0.026	47
95212a1_79	156	68	0.78352	0.04373	0.09195	0.00362	0.46	574	20	2.81	0.09	0.034	47
95212a1_80	84	64	6.81077	0.32496	0.39426	0.01643	0.57	2086	42	3.11	0.08	0.020	48
95212a1_81	282	352	9.67745	1.19504	0.34726	0.04214	0.86	2649	73	69.69	0.00	0.027	17
95212a1_82	92	93	9.81004	0.43301	0.44946	0.01735	0.51	2417	41	0.54	0.46	0.017	47
95212a1_83	410	199	3.82768	0.22261	0.23477	0.01078	0.59	1502	47	100.72	0.00	0.032	36
95212a1_84	49	37	16.26549	0.72631	0.55388	0.01915	0.57	2894	43	2.47	0.12	0.015	48
95212a1_85	30	40	17.48272	0.70402	0.58924	0.02056	0.58	2960	39	0.51	0.47	0.013	48
95212a1_86	149.528	151.7784	7.363363	3.608425	0.3153084	0.1566707	0.2795931	2072	444	1.05	0.31	0.214	1
95212a1_87	81	35	1.15391	0.07993	0.12501	0.00434	0.36	763	24	1.12	0.29	0.031	48
95212a1_88	191	148	16.91870	0.60495	0.57077	0.01694	0.51	2930	35	0.41	0.52	0.012	47
95212a1_89	158	32	0.81876	0.04469	0.09774	0.00416	0.50	604	21	0.25	0.62	0.035	48
95212a1_90	34	24	8.04471	0.39113	0.40968	0.01498	0.51	2233	44	0.58	0.45	0.020	48
95212a1_91	193	60	14.96798	0.52340	0.54131	0.01425	0.53	2813	33	0.92	0.34	0.012	47
95212a1_92	238	81	0.85804	0.04074	0.09644	0.00285	0.44	602	16	11.00	0.00	0.026	47
95212a1_93	647	152	3.04973	0.11046	0.22207	0.00681	0.62	1391	28	79.57	0.00	0.020	47
95212a1_94	225	30	6.53975	0.28990	0.37220	0.01284	0.58	2050	39	0.22	0.64	0.019	45
95212a1_95	130	125	15.93814	0.87258	0.48329	0.02378	0.77	2969	44	91.73	0.00	0.015	35
95212a1_96	64	68	6.11628	0.25465	0.34395	0.01069	0.52	1975	36	15.02	0.00	0.018	47
95212a1_97	146	40	1.11036	0.05802	0.11978	0.00413	0.40	740	21	4.06	0.04	0.029	48
95212a1_98	43	16	1.58903	0.10712	0.15258	0.00590	0.44	929	31	6.12	0.01	0.034	47
95212a1_99	124	56	6.69423	0.26637	0.35949	0.01131	0.59	2065	35	18.23	0.00	0.017	47
95212a1_100	62	55	17.44022	0.68463	0.57884	0.01786	0.63	2961	38	0.29	0.59	0.013	47
95212a1_101	185	163	16.13871	0.53449	0.54706	0.01495	0.67	2894	31	9.25	0.00	0.011	47
95212a1_102	23	16	0.87339	0.13220	0.09539	0.00388	0.15	590	23	1.86	0.17	0.038	47
95212a1_103	199	99	6.28997	0.21556	0.34535	0.00942	0.62	2010	30	35.37	0.00	0.015	47
95212a1_104	84	55	15.80474	0.58529	0.53816	0.01530	0.60	2868	35	12.07	0.00	0.012	46
95212a1_105	244.7172	398.8685	2.091649	0.3615652	0.1147424	0.01595755	0.620985	635	92	58.44	0.00	0.144	0
95212a1_106	183	79	10.05047	0.33305	0.45133	0.01211	0.62	2441	31	3.28	0.07	0.013	47
95212a1_107	813.4924	414.9122	1.446849	0.2840154	0.07339423	0.01230287	0.7381276	307	66	65.55	0.00	0.214	0
95212a1_108	273	78	5.06519	0.22502	0.32272	0.01118	0.68	1830	38	1.85	0.17	0.021	48
95212a1_109	75	66	10.06905	0.43465	0.45675	0.01613	0.63	2442	40	0.33	0.57	0.016	48
95212a1_110	151	123	4.60554	0.55463	0.26090	0.02998	0.77	1798	94	28.16	0.00	0.052	5
95212a1_111	49	39	13.62608	0.59355	0.52273	0.01963	0.62	2725	41	0.16	0.69	0.015	48
95212a1_112	215	81	0.90340	0.04974	0.10216	0.00348	0.49	633	19	4.68	0.03	0.031	48
95212a1_113	224	94	1.17671	0.06216	0.13013	0.00528	0.46	789	25	0.01	0.94	0.032	48
95212a1_114	63	43	6.49090	0.31535	0.36972	0.01452	0.61	2044	43	0.38	0.54	0.021	47
95212a1_115	98	45	9.98615	0.45511	0.44907	0.01810	0.65	2438	41	1.88	0.17	0.017	48
95212a1_116	93	59	0.79463	0.06594	0.09129	0.00370	0.39	567	21	2.96	0.09	0.038	48
95212a1_117	230	162	0.67655	0.03287	0.08199	0.00290	0.50	514	16	3.15	0.08	0.031	47
95212a1_118	298.4821	292.4378	2.393084	0.4607348	0.09164565	0.01494915	0.4814937	497	88	64.46	0.00	0.176	0
95212a1_119	127	59	12.05238	0.48222	0.48963	0.01700	0.71	2616	36	2.15	0.14	0.014	48
95212a1_120	104	64	1.74460	0.10153	0.16233	0.00705	0.60	998	35	10.44	0.00	0.035	44
DB07RIM23a	**Atar**	**1284-04**										-	
1284-04a1_1	48	35	6.93810	0.21079	0.38284	0.00768	0.46	2100	26	0.69	0.41	0.012	42
1284-04a1_2	1492.15	2234.48	0	0	0	0	0	#VALUE!	#VALUE!	#VALUE!	#VALUE!	#VALUE!	0
1284-04a1_3	183	85	12.94810	0.32802	0.51821	0.01122	0.63	2674	24	0.69	0.41	0.009	39
1284-04a1_4	45	43	9.94667	0.53495	0.45398	0.02107	0.69	2432	48	0.24	0.62	0.020	24
1284-04a1_5	378.8209	404.978	0	0	0	0	0	#VALUE!	#VALUE!	#VALUE!	#VALUE!	#VALUE!	0

Numéro d'analyse	[U] (ppm)	[Th] (ppm)	207Pb/ 235Uc	2 sigma	206Pb/ 238U	2 sigma	Corré-lation d'erreur	Age Concordia (Ma)	A priori erreur de 2σ	MSWD	Probabilité-de-concordance (rej <.15)	Erreur/ âge (rej >0.40)	Nombres de balayages concordants (rej <5)
1284-04a1_6	675.4055	623.6867	0	0	0	0	0	#VALUE!	#VALUE!	#VALUE!	#VALUE!	#VALUE!	0
1284-04a1_7	88	52	13.14593	0.40348	0.51055	0.01375	0.70	2696	28	2.04	0.15	0.010	36
1284-04a1_8	1097.791	903.482	0	0	0	0	0	#VALUE!	#VALUE!	#VALUE!	#VALUE!	#VALUE!	0
1284-04a1_9	192	128	16.46537	0.57052	0.56448	0.01714	0.64	2907	33	0.47	0.49	0.011	29
1284-04a1_10	0	0	0	0	0	0	0	#VALUE!	#VALUE!	#VALUE!	#VALUE!	#VALUE!	0
1284-04a1_11	204	109	14.83081	0.60998	0.51973	0.01955	0.73	2828	36	12.53	0.00	0.013	12
1284-04a1_12	750.476	830.3135	0	0	0	0	0	#VALUE!	#VALUE!	#VALUE!	#VALUE!	#VALUE!	0
1284-04a1_13	1816.351	2684.456	0	0	0	0	0	#VALUE!	#VALUE!	#VALUE!	#VALUE!	#VALUE!	0
1284-04a1_14	158	305	10.24259	0.28771	0.46378	0.01093	0.66	2457	26	0.00	0.97	0.011	43
1284-04a1_15	190	100	6.73471	0.18399	0.38531	0.00910	0.57	2077	24	1.85	0.17	0.012	34
1284-04a1_16	0	0	0	0	0	0	0	#VALUE!	#VALUE!	#VALUE!	#VALUE!	#VALUE!	0
1284-04a1_17	44	59	10.84735	0.44924	0.46472	0.01486	0.64	2512	39	3.90	0.05	0.015	22
1284-04a1_18	238.9227	345.1599	0	0	0	0	0	#VALUE!	#VALUE!	#VALUE!	#VALUE!	#VALUE!	0
1284-04a1_19	692.4355	1195.865	0	0	0	0	0	#VALUE!	#VALUE!	#VALUE!	#VALUE!	#VALUE!	0
1284-04a1_20	1743.873	1684.667	0	0	0	0	0	#VALUE!	#VALUE!	#VALUE!	#VALUE!	#VALUE!	0
1284-04a1_21	1080.966	466.5267	0	0	0	0	0	#VALUE!	#VALUE!	#VALUE!	#VALUE!	#VALUE!	0
1284-04a1_22	1014.602	947.4105	0	0	0	0	0	#VALUE!	#VALUE!	#VALUE!	#VALUE!	#VALUE!	0
1284-04a1_23	75	31	6.17660	0.19918	0.35743	0.00827	0.55	1996	28	3.43	0.06	0.014	43
1284-04a1_24	681.3737	548.209	0	0	0	0	0	#VALUE!	#VALUE!	#VALUE!	#VALUE!	#VALUE!	0
1284-04a1_25	160.9298	317.2895	0	0	0	0	0	#VALUE!	#VALUE!	#VALUE!	#VALUE!	#VALUE!	0
1284-04a1_26	104	75	6.92687	0.21028	0.38288	0.00850	0.55	2100	27	0.54	0.46	0.013	46
1284-04a1_27	213	88	6.69936	0.15816	0.37644	0.00714	0.54	2071	21	0.82	0.36	0.010	36
1284-04a1_28	202	306	16.05491	0.44180	0.55112	0.01383	0.73	2891	25	5.62	0.02	0.009	31
1284-04a1_29	1651.08	2705.708	0	0	0	0	0	#VALUE!	#VALUE!	#VALUE!	#VALUE!	#VALUE!	0
1284-04a1_30	286.7388	328.5365	0	0	0	0	0	#VALUE!	#VALUE!	#VALUE!	#VALUE!	#VALUE!	0
1284-04a1_31	108	57	6.68918	0.19379	0.37652	0.00848	0.56	2070	26	0.45	0.50	0.012	45
1284-04a1_32	152	22	6.29067	0.17432	0.36284	0.00845	0.66	2018	24	2.02	0.16	0.012	39
1284-04a1_33	180.8942	135.2685	0	0	0	0	0	#VALUE!	#VALUE!	#VALUE!	#VALUE!	#VALUE!	0
1284-04a1_34	29	45	9.66833	0.37393	0.45526	0.01486	0.67	2402	35	0.36	0.55	0.015	46
1284-04a1_35	0	0	0	0	0	0	0	#VALUE!	#VALUE!	#VALUE!	#VALUE!	#VALUE!	0
1284-04a1_36	360.9881	363.6484	0	0	0	0	0	#VALUE!	#VALUE!	#VALUE!	#VALUE!	#VALUE!	0
1284-04a1_37	232.6898	198.2202	0	0	0	0	0	#VALUE!	#VALUE!	#VALUE!	#VALUE!	#VALUE!	0
1284-04a1_38	1162.106	1205.525	0	0	0	0	0	#VALUE!	#VALUE!	#VALUE!	#VALUE!	#VALUE!	0
1284-04a1_39	840.1259	1402.033	0	0	0	0	0	#VALUE!	#VALUE!	#VALUE!	#VALUE!	#VALUE!	0
1284-04a1_40	146	95	6.30719	0.22392	0.36448	0.01113	0.69	2021	31	0.70	0.40	0.015	23
1284-04a1_41	253	69	15.91473	0.47006	0.55890	0.01441	0.64	2873	28	0.17	0.68	0.010	21
1284-04a1_42	159	92	5.90069	0.45988	0.34304	0.02292	0.77	1975	65	2.82	0.09	0.033	9
1284-04a1_43	298.1433	400.9504	7.368971	0.993397	0.3677461	0.04181764	0.6197371	2156	121	3.27	0.07	0.056	1
1284-04a1_44	136	95	6.79049	0.20726	0.37931	0.00995	0.63	2085	27	0.40	0.53	0.013	35
1284-04a1_45	201.9823	143.1629	0	0	0	0	0	#VALUE!	#VALUE!	#VALUE!	#VALUE!	#VALUE!	0
1284-04a1_46	374.452	399.2434	0	0	0	0	0	#VALUE!	#VALUE!	#VALUE!	#VALUE!	#VALUE!	0
1284-04a1_47	407.7842	491.0831	0	0	0	0	0	#VALUE!	#VALUE!	#VALUE!	#VALUE!	#VALUE!	0
1284-04a1_48	479.5919	642.9794	0	0	0	0	0	#VALUE!	#VALUE!	#VALUE!	#VALUE!	#VALUE!	0
1284-04a1_49	688.1702	823.6445	0	0	0	0	0	#VALUE!	#VALUE!	#VALUE!	#VALUE!	#VALUE!	0
1284-04a1_50	201	90	12.69071	0.29553	0.50537	0.00955	0.53	2657	22	1.32	0.25	0.008	44
1284-04a1_51	243	211	8.85491	0.50120	0.42316	0.02078	0.62	2326	51	1.70	0.19	0.022	7
1284-04a1_52	34	11	15.75808	1.36165	0.55633	0.04204	0.80	2866	72	0.03	0.86	0.025	15
1284-04a1_53	105	85	16.85307	0.46906	0.57527	0.01378	0.68	2926	26	0.02	0.89	0.009	46
1284-04a1_54	113	96	10.30246	0.31293	0.46403	0.01118	0.65	2463	28	0.07	0.79	0.011	46

Numéro d'analyse	[U] (ppm)	[Th] (ppm)	207Pb/ 235Uc	2 sigma	206Pb/ 238U	2 sigma	Corré-lation d'erreur	Age Concordia (Ma)	A priori erreur de 2σ	MSWD	Probabilité-de-concordance (rej <.15)	Erreur/ âge (rej >0.40)	Nombres de balayages concordants (rej <5)
1284-04a1_55	177	136	10.22664	0.25934	0.45984	0.01028	0.57	2456	24	0.78	0.38	0.010	43
1284-04a1_56	244	220	17.08951	0.42117	0.57478	0.01243	0.65	2941	23	0.38	0.54	0.008	39
1284-04a1_57	183	125	13.40756	0.33734	0.51724	0.01103	0.64	2711	24	1.35	0.25	0.009	45
1284-04a1_58	2830.356	6298.348	0	0	0	0	0	#VALUE!	#VALUE!	#VALUE!	#VALUE!	#VALUE!	0
1284-04a1_59	132	53	5.93327	0.17051	0.35391	0.00720	0.50	1963	24	0.69	0.40	0.012	44
1284-04a1_60	61	17	6.39917	0.20173	0.37151	0.00881	0.59	2033	28	0.07	0.80	0.014	43
1284-04a1_61	122	39	18.71546	0.70327	0.60000	0.02220	0.64	3027	35	0.01	0.94	0.012	27
1284-04a1_62	814.0314	707.8773	0	0	0	0	0	#VALUE!	#VALUE!	#VALUE!	#VALUE!	#VALUE!	0
1284-04a1_63	227	70	6.24998	0.21509	0.36212	0.01113	0.74	2015	29	1.12	0.29	0.015	35
1284-04a1_64	149	67	15.39951	0.49083	0.53768	0.01490	0.57	2844	30	6.65	0.01	0.011	27
1284-04a1_65	240	114	6.15686	0.16481	0.36075	0.00760	0.57	1997	23	0.71	0.40	0.012	39
1284-04a1_66	116	37	12.97459	0.51132	0.49653	0.01502	0.50	2673	37	7.97	0.00	0.014	8
1284-04a1_67	126	63	10.05790	0.25745	0.45601	0.00976	0.61	2441	24	1.12	0.29	0.010	45
1284-04a1_68	164	243	15.96445	0.52673	0.57339	0.01628	0.65	2869	31	3.20	0.07	0.011	18
1284-04a1_69	1372.135	830.6581	0	0	0	0	0	#VALUE!	#VALUE!	#VALUE!	#VALUE!	#VALUE!	0
1284-04a1_70	97	50	6.47293	0.20031	0.37442	0.00898	0.53	2043	27	0.19	0.66	0.013	46
1284-04a1_71	64	18	16.79431	0.49739	0.57015	0.01469	0.56	2924	29	0.34	0.56	0.010	40
1284-04a1_72	212	95	6.53674	0.19988	0.36951	0.00888	0.54	2049	27	1.79	0.18	0.013	31
1284-04a1_73	176	105	10.38257	0.26117	0.46955	0.01020	0.63	2468	23	0.47	0.49	0.009	45
1284-04a1_74	108	39	0.82110	0.03499	0.09944	0.00236	0.34	610	13	0.06	0.80	0.021	45
1284-04a1_75	263	113	0.80130	0.02972	0.09573	0.00215	0.40	592	12	0.99	0.32	0.020	40
1284-04a1_76	489.3538	479.2673	0	0	0	0	0	#VALUE!	#VALUE!	#VALUE!	#VALUE!	#VALUE!	0
1284-04a1_77	178	154	5.86891	0.15224	0.35327	0.00699	0.54	1956	22	0.21	0.65	0.011	45
1284-04a1_78	130	76	6.08987	0.24249	0.35240	0.01186	0.68	1992	35	4.20	0.04	0.017	27
1284-04a1_79	1319.443	1492.973	0	0	0	0	0	#VALUE!	#VALUE!	#VALUE!	#VALUE!	#VALUE!	0
1284-04a1_80	72	38	7.07302	0.22344	0.39440	0.00936	0.57	2122	28	1.58	0.21	0.013	42
1284-04a1_81	942.7973	520.0894	0	0	0	0	0	#VALUE!	#VALUE!	#VALUE!	#VALUE!	#VALUE!	0
1284-04a1_82	39	34	9.87171	0.38747	0.44998	0.01196	0.53	2419	36	1.46	0.23	0.015	39
1284-04a1_83	139	81	5.64287	0.18557	0.32666	0.00988	0.54	1917	29	24.93	0.00	0.015	30
1284-04a1_84	106	135	10.10223	0.31229	0.45754	0.01182	0.65	2446	29	0.59	0.44	0.012	42
1284-04a1_85	59	64	15.46130	0.53526	0.55174	0.01711	0.70	2846	32	0.19	0.66	0.011	42
1284-04a1_86	195	91	9.96333	0.33883	0.45622	0.01495	0.65	2433	31	0.11	0.74	0.013	43
1284-04a1_87	693.894	834.8291	0	0	0	0	0	#VALUE!	#VALUE!	#VALUE!	#VALUE!	#VALUE!	0
1284-04a1_88	131	77	6.75742	0.25514	0.38033	0.01242	0.44	2080	33	0.01	0.93	0.016	42
1284-04a1_89	52	43	6.72888	0.22815	0.38034	0.00922	0.54	2077	30	0.01	0.94	0.014	41
1284-04a1_90	65	30	6.43129	0.25790	0.36757	0.01207	0.65	2037	35	0.74	0.39	0.017	40
1284-04a1_91	72	36	6.82333	0.20938	0.38464	0.01001	0.60	2089	27	0.24	0.63	0.013	37
1284-04a1_92	381.4068	386.7242	0	0	0	0	0	#VALUE!	#VALUE!	#VALUE!	#VALUE!	#VALUE!	0
1284-04a1_93	155	126	10.13387	0.28466	0.46103	0.01055	0.58	2447	26	0.02	0.88	0.011	46
1284-04a1_94	589.1096	435.6241	0	0	0	0	0	#VALUE!	#VALUE!	#VALUE!	#VALUE!	#VALUE!	0
1284-04a1_95	0	0	0	0	0	0	0	#VALUE!	#VALUE!	#VALUE!	#VALUE!	#VALUE!	0
1284-04a1_96	138	101	6.82950	0.22122	0.37971	0.01094	0.49	2089	29	0.43	0.51	0.014	46
1284-04a1_97	154	75	6.31616	0.28143	0.36241	0.01466	0.64	2022	39	1.02	0.31	0.019	16
1284-04a1_98	73	58	10.42941	0.50712	0.47852	0.02063	0.70	2465	44	1.98	0.16	0.018	31
1284-04a1_99	40	14	6.70691	0.28294	0.37575	0.01080	0.47	2069	36	0.54	0.46	0.017	41
1284-04a1_100	90	27	7.10622	0.21919	0.39172	0.00960	0.58	2125	28	0.11	0.74	0.013	42
1284-04a1_101	75	55	10.10718	0.31293	0.46213	0.01115	0.58	2445	29	0.05	0.83	0.012	41
1284-04a1_102	164	106	13.39535	0.57198	0.52328	0.01875	0.63	2707	40	0.03	0.87	0.015	16
1284-04a1_103	120	17	6.44535	0.20296	0.37122	0.00868	0.55	2038	27	0.04	0.85	0.013	40

Numéro d'analyse	[U] (ppm)	[Th] (ppm)	207Pb/ 235Uc	2 sigma	206Pb/ 238U	2 sigma	Corré-lation d'erreur	Age Concordia (Ma)	A priori erreur de 2σ	MSWD	Probabilité-de-concordance (rej <.15)	Erreur/ âge (rej >0.40)	Nombres de balayages concordants (rej <5)
1284-04a1_104	67	32	17.63162	1.08231	0.59207	0.03537	0.89	2957	42	0.35	0.56	0.014	42
1284-04a1_105	59	45	10.06153	0.33282	0.45753	0.01270	0.64	2441	31	0.29	0.59	0.013	46
1284-04a1_106	608.2521	441.1667	0	0	0	0	0	#VALUE!	#VALUE!	#VALUE!	#VALUE!	#VALUE!	0
1284-04a1_107	236	238	9.21350	0.29310	0.42699	0.01096	0.62	2360	29	11.93	0.00	0.012	19
1284-04a1_108	159	76	6.92666	0.19661	0.38117	0.00890	0.58	2101	25	1.44	0.23	0.012	30
1284-04a1_109	109	43	6.35266	0.17930	0.36654	0.00873	0.56	2025	25	0.55	0.46	0.012	43
1284-04a1_110	147	100	6.85500	0.21590	0.37738	0.00855	0.52	2088	28	2.70	0.10	0.013	32
1284-04a1_111	88	84	10.01216	0.31100	0.45585	0.01184	0.58	2436	29	0.47	0.49	0.012	45
1284-04a1_112	715.7032	1025.897	0	0	0	0	0	#VALUE!	#VALUE!	#VALUE!	#VALUE!	#VALUE!	0
1284-04a1_113	78	43	6.54889	0.22690	0.37352	0.01098	0.53	2052	31	0.09	0.77	0.015	45
1284-04a1_114	81	52	6.80736	0.26981	0.37990	0.01212	0.65	2087	35	0.25	0.61	0.017	44
1284-04a1_115	31	32	10.22925	0.35767	0.45601	0.01265	0.54	2454	32	2.04	0.15	0.013	34
1284-04a1_116	276	130	5.61114	0.20520	0.33417	0.01174	0.60	1920	32	6.86	0.01	0.016	12
1284-04a1_117	765.2945	631.9066	0	0	0	0	0	#VALUE!	#VALUE!	#VALUE!	#VALUE!	#VALUE!	0
1284-04a1_118	39	16	0.89796	0.09187	0.09837	0.00346	0.21	608	20	3.34	0.07	0.033	39
1284-04a1_119	0	0	0	0	0	0	0	#VALUE!	#VALUE!	#VALUE!	#VALUE!	#VALUE!	0
1284-04a1_120	0	0	0	0	0	0	0	#VALUE!	#VALUE!	#VALUE!	#VALUE!	#VALUE!	0
DB07RIM52a		**952-13**											
95213a1_1	65	34	7.36199	0.34484	0.38543	0.01404	0.48	2149	42	3.55	0.06	0.019	48
95213a1_2	155	137	0.78346	0.03914	0.09715	0.00341	0.40	593	18	0.78	0.38	0.030	48
95213a1_3	0	0	0	0	0	0	0	#VALUE!	#VALUE!	#VALUE!	#VALUE!	#VALUE!	0
95213a1_4	306	123	6.27084	0.27341	0.35012	0.01352	0.49	2007	38	7.81	0.01	0.019	48
95213a1_5	118	58	1.45946	0.07047	0.14813	0.00534	0.46	903	25	2.28	0.13	0.028	48
95213a1_6	60	29	2.99124	0.15887	0.23961	0.00842	0.47	1396	36	0.91	0.34	0.026	48
95213a1_7	371	333	0.82380	0.04185	0.09954	0.00371	0.48	611	19	0.02	0.89	0.032	48
95213a1_8	77	104	0.82899	0.06523	0.10070	0.00389	0.28	617	21	0.09	0.77	0.035	47
95213a1_9	75	82	10.01637	0.40670	0.43687	0.01577	0.55	2437	38	11.54	0.00	0.015	48
95213a1_10	135	55	0.76014	0.04209	0.09043	0.00343	0.43	563	19	1.77	0.18	0.033	47
95213a1_11	789	53	2.86189	0.18667	0.20243	0.01212	0.64	1333	50	52.88	0.00	0.037	8
95213a1_12	28	23	4.80898	0.29387	0.31293	0.01267	0.54	1777	49	1.28	0.26	0.028	48
95213a1_13	152	122	2.85995	0.10819	0.22633	0.00677	0.60	1357	28	14.55	0.00	0.021	47
95213a1_14	78	34	1.44721	0.08285	0.14770	0.00555	0.50	896	28	1.56	0.21	0.032	47
95213a1_15	172	198	2.05249	0.10437	0.17810	0.00600	0.44	1088	29	17.79	0.00	0.027	42
95213a1_16	229	8	0.73743	0.04003	0.08740	0.00275	0.38	545	16	3.27	0.07	0.028	48
95213a1_17	242	28	1.38221	0.07210	0.12124	0.00484	0.56	779	26	102.30	0.00	0.034	44
95213a1_18	34	44	0.86033	0.11623	0.09271	0.00409	0.15	576	24	3.16	0.08	0.041	41
95213a1_19	90	45	6.42913	0.25618	0.36740	0.01229	0.66	2037	35	0.77	0.38	0.017	47
95213a1_20	272	42	2.32746	0.09109	0.20221	0.00685	0.67	1216	28	5.98	0.01	0.023	48
95213a1_21	384	142	0.76907	0.03081	0.09177	0.00274	0.57	571	15	2.80	0.09	0.026	48
95213a1_22	309	238	0.80624	0.03665	0.09820	0.00298	0.50	603	16	0.13	0.72	0.027	48
95213a1_23	203	89	0.79540	0.04379	0.09547	0.00299	0.45	589	17	0.31	0.58	0.029	48
95213a1_24	191	77	0.79399	0.03465	0.09383	0.00318	0.55	585	17	2.78	0.10	0.029	48
95213a1_25	54	67	0.65860	0.05397	0.08334	0.00332	0.30	516	19	0.02	0.89	0.037	48
95213a1_26	201	36	0.75267	0.04636	0.08903	0.00305	0.39	554	17	2.35	0.13	0.031	47
95213a1_27	130	49	6.66936	0.27771	0.37087	0.01282	0.63	2069	37	2.24	0.13	0.018	48
95213a1_28	376	92	0.74033	0.03706	0.09034	0.00290	0.52	559	16	0.27	0.60	0.029	47
95213a1_29	108	51	4.35364	0.18182	0.28149	0.00992	0.69	1701	35	33.84	0.00	0.020	47
95213a1_30	34	35	6.43990	0.30541	0.36657	0.01304	0.55	2035	41	0.89	0.35	0.020	47
95213a1_31	242	98	0.82846	0.04544	0.09617	0.00329	0.42	598	18	2.85	0.09	0.030	48

Numéro d'analyse	[U] (ppm)	[Th] (ppm)	207Pb/ 235Uc	2 sigma	206Pb/ 238U	2 sigma	Corré-lation d'erreur	Age Concordia (Ma)	A priori erreur de 2σ	MSWD	Probabilité-de-concordance (rej <.15)	Erreur/ âge (rej >0.40)	Nombres de balayages concordants (rej <5)
95213a1_32	172	79	3.62333	0.15544	0.27124	0.00934	0.65	1554	34	0.18	0.68	0.022	48
95213a1_33	93	52	0.83851	0.04633	0.09905	0.00357	0.42	612	19	0.56	0.45	0.031	48
95213a1_34	32	23	0.70137	0.08267	0.08947	0.00352	0.22	551	20	0.27	0.60	0.037	47
95213a1_35	124	65	0.87478	0.05224	0.10023	0.00319	0.39	620	18	2.70	0.10	0.029	48
95213a1_36	60	34	11.10138	0.50067	0.46115	0.01710	0.71	2545	41	10.31	0.00	0.016	48
95213a1_37	396	4	0.69061	0.03193	0.08470	0.00267	0.53	527	15	1.09	0.30	0.028	47
95213a1_38	75	87	0.83649	0.06210	0.09230	0.00376	0.45	575	22	9.07	0.00	0.038	48
95213a1_39	262	71	0.65285	0.03999	0.08014	0.00357	0.48	502	20	1.27	0.26	0.039	48
95213a1_40	128	86	6.97667	0.31441	0.37985	0.01449	0.73	2114	39	1.93	0.16	0.019	46
95213a1_41	153	170	0.84670	0.04435	0.09889	0.00344	0.54	612	19	1.87	0.17	0.031	46
95213a1_42	100	39	1.75298	0.11694	0.16278	0.00591	0.39	987	31	6.66	0.01	0.031	48
95213a1_43	395	240	2.91823	0.11787	0.22310	0.00679	0.53	1354	29	29.14	0.00	0.021	48
95213a1_44	424	240	0.81795	0.03611	0.09361	0.00289	0.48	587	16	9.70	0.00	0.027	48
95213a1_45	182	79	6.20719	0.23294	0.34673	0.00984	0.59	1994	33	20.51	0.00	0.017	47
95213a1_46	390	531	0.86812	0.03699	0.09975	0.00311	0.58	621	17	5.95	0.01	0.027	47
95213a1_47	208	236	0.91185	0.04513	0.10216	0.00360	0.53	638	20	7.78	0.01	0.031	47
95213a1_48	99	31	6.51094	0.26519	0.36735	0.01281	0.68	2050	36	1.87	0.17	0.017	48
95213a1_49	335	143	0.78868	0.03318	0.09409	0.00283	0.55	584	16	1.61	0.21	0.027	48
95213a1_50	113	86	6.25410	0.30919	0.34206	0.01337	0.61	2002	44	20.67	0.00	0.022	38
95213a1_51	367	141	2.31902	0.10753	0.20272	0.00648	0.53	1205	30	2.93	0.09	0.025	31
95213a1_52	86	20	0.78161	0.04834	0.08740	0.00316	0.40	549	18	11.98	0.00	0.033	47
95213a1_53	139	99	1.56301	0.08057	0.15209	0.00606	0.59	936	30	8.28	0.00	0.032	48
95213a1_54	203	81	5.65548	0.23482	0.34366	0.01109	0.64	1924	36	0.98	0.32	0.019	48
95213a1_55	26	33	6.42937	0.35536	0.36308	0.01571	0.60	2034	49	1.76	0.18	0.024	48
95213a1_56	20	21	0.74570	0.12769	0.08674	0.00543	0.14	540	31	0.58	0.45	0.057	48
95213a1_57	86	83	0.73834	0.05047	0.08750	0.00308	0.34	544	18	2.02	0.16	0.032	48
95213a1_58	93	60	4.55240	0.20213	0.30686	0.01012	0.56	1738	36	0.52	0.47	0.021	48
95213a1_59	71	73	0.79173	0.07697	0.09831	0.00381	0.27	603	22	0.33	0.57	0.036	48
95213a1_60	20	21	0.80143	0.11913	0.09600	0.00433	0.19	591	25	0.04	0.84	0.042	46
95213a1_61	130	61	0.74313	0.04421	0.08925	0.00256	0.35	553	15	1.09	0.30	0.027	47
95213a1_62	123	73	4.91433	0.18802	0.30706	0.00864	0.58	1788	32	19.55	0.00	0.018	48
95213a1_63	141	86	6.15864	0.25164	0.34097	0.01101	0.66	1994	36	29.16	0.00	0.018	47
95213a1_64	81	30	2.16897	0.12676	0.19849	0.00809	0.55	1169	37	0.04	0.84	0.032	48
95213a1_65	167	93	1.71602	0.08001	0.16478	0.00586	0.63	1002	28	5.37	0.02	0.028	48
95213a1_66	130	71	0.76269	0.05111	0.08942	0.00347	0.39	557	20	2.66	0.10	0.035	48
95213a1_67	80	37	1.51122	0.11039	0.15287	0.00520	0.34	921	28	0.65	0.42	0.030	48
95213a1_68	58	54	1.75642	0.12856	0.17396	0.00619	0.36	1033	32	0.03	0.85	0.031	47
95213a1_69	144	95	0.43302	0.02830	0.05894	0.00190	0.35	369	11	0.16	0.69	0.030	46
95213a1_70	100	81	4.79042	0.19229	0.30989	0.01017	0.58	1779	34	4.39	0.04	0.019	48
95213a1_71	376	166	6.30372	0.22992	0.37152	0.01144	0.72	2016	32	0.86	0.35	0.016	45
95213a1_72	79	34	2.65113	0.15963	0.21963	0.01073	0.71	1310	44	3.04	0.08	0.034	46
95213a1_73	97	71	0.79152	0.05941	0.09989	0.00383	0.34	609	21	1.71	0.19	0.035	44
95213a1_74	189	163	0.86408	0.05107	0.09909	0.00316	0.39	613	18	2.99	0.08	0.029	46
95213a1_75	101	79	6.06655	0.25793	0.34143	0.01130	0.52	1970	37	15.31	0.00	0.019	45
95213a1_76	90	33	7.35166	0.26679	0.39515	0.01131	0.62	2155	33	0.17	0.68	0.015	46
95213a1_77	533	92	16.49528	0.55606	0.56195	0.01489	0.65	2909	32	1.74	0.19	0.011	47
95213a1_78	184	58	0.79502	0.04741	0.09702	0.00329	0.42	596	18	0.05	0.82	0.031	46
95213a1_79	61	27	7.09445	0.29772	0.39308	0.01239	0.56	2125	37	0.33	0.57	0.017	47
95213a1_80	265	127	1.81782	0.07390	0.17645	0.00540	0.55	1050	25	0.10	0.75	0.023	47

Numéro d'analyse	[U] (ppm)	[Th] (ppm)	207Pb/ 235Uc	2 sigma	206Pb/ 238U	2 sigma	Corré-lation d'erreur	Age Concordia (Ma)	A priori erreur de 2σ	MSWD	Probabilité-de-concordance (rej <.15)	Erreur/ âge (rej >0.40)	Nombres de balayages concordants (rej <5)
95213a1_81	24	11	1.07324	0.13622	0.11852	0.00521	0.21	724	29	0.29	0.59	0.040	46
95213a1_82	70	50	12.21414	0.49886	0.48732	0.01741	0.64	2627	38	4.44	0.04	0.014	47
95213a1_83	37	39	1.18841	0.19676	0.10025	0.00584	0.17	625	34	13.07	0.00	0.054	28
95213a1_84	299	153	1.19792	0.04927	0.13131	0.00400	0.57	797	20	0.17	0.68	0.025	47
95213a1_85	141	74	0.84705	0.05448	0.10000	0.00348	0.43	616	20	0.37	0.54	0.032	48
95213a1_86	188	120	0.73582	0.04076	0.09154	0.00286	0.43	564	16	0.17	0.68	0.029	47
95213a1_87	545	283	0.80138	0.03495	0.09152	0.00267	0.57	572	15	15.12	0.00	0.027	46
95213a1_88	72	40	1.72294	0.10144	0.17173	0.00673	0.52	1019	33	0.06	0.81	0.032	48
95213a1_89	216	108	0.84053	0.04361	0.09947	0.00296	0.45	613	17	0.52	0.47	0.027	48
95213a1_90	53	25	1.32149	0.08254	0.13399	0.00555	0.48	826	29	6.46	0.01	0.035	46
95213a1_91	161	56	6.24468	0.23114	0.33406	0.01028	0.68	2013	32	71.96	0.00	0.016	42
95213a1_92	511	104	2.26044	0.07908	0.20448	0.00536	0.58	1200	23	0.00	0.96	0.019	47
95213a1_93	358	281	0.74824	0.02770	0.09334	0.00238	0.50	572	13	1.14	0.29	0.023	46
95213a1_94	124	231	0.85885	0.05034	0.09743	0.00318	0.40	605	18	5.15	0.02	0.030	46
95213a1_95	47	44	0.84419	0.06121	0.09147	0.00334	0.28	573	19	10.87	0.00	0.033	48
95213a1_96	86	103	0.80656	0.05617	0.10056	0.00341	0.29	614	19	1.16	0.28	0.031	47
95213a1_97	94	108	0.80746	0.05987	0.09577	0.00325	0.35	591	19	0.50	0.48	0.032	48
95213a1_98	113	189	1.74521	0.08089	0.16987	0.00465	0.46	1016	23	0.92	0.34	0.023	47
95213a1_99	82	50	0.73615	0.05047	0.08978	0.00299	0.29	555	17	0.16	0.69	0.030	48
95213a1_100	314	105	11.35605	0.43439	0.46988	0.01615	0.74	2569	33	7.70	0.01	0.013	48
95213a1_101	289	207	0.82299	0.03556	0.09519	0.00283	0.50	594	16	6.44	0.01	0.026	37
95213a1_102	250	127	0.77851	0.02635	0.09351	0.00263	0.62	581	14	1.56	0.21	0.024	47
95213a1_103	123	154	0.78853	0.05552	0.09625	0.00339	0.38	592	19	0.02	0.89	0.032	48
95213a1_104	184	140	1.00184	0.04349	0.11522	0.00337	0.52	704	18	0.03	0.87	0.025	48
95213a1_105	221	132	0.74810	0.03905	0.08947	0.00305	0.48	557	17	1.92	0.17	0.031	48
95213a1_106	94	187	0.93673	0.06630	0.10568	0.00395	0.33	653	22	1.81	0.18	0.033	48
95213a1_107	138	55	2.01755	0.09271	0.18831	0.00655	0.56	1118	29	0.34	0.56	0.026	48
95213a1_108	162	205	1.02655	0.23035	0.08677	0.00397	0.15	537	24	8.43	0.00	0.044	39
95213a1_109	99	98	0.81141	0.05837	0.09355	0.00333	0.36	580	19	2.81	0.09	0.033	48
95213a1_110	107	36	2.22254	0.10228	0.20479	0.00729	0.61	1192	31	0.65	0.42	0.026	48
95213a1_111	91	68	0.80487	0.06326	0.09530	0.00317	0.28	588	18	0.52	0.47	0.031	47
95213a1_112	0	0	0	0	0	0	0	#VALUE!	#VALUE!	#VALUE!	#VALUE!	#VALUE!	0
95213a1_113	192	74	0.74439	0.03818	0.09100	0.00297	0.44	562	16	0.11	0.74	0.029	48
95213a1_114	40	18	0.71003	0.08010	0.08964	0.00385	0.25	552	22	0.13	0.71	0.040	47
95213a1_115	524	48	5.78827	0.22176	0.33092	0.01184	0.75	1965	32	27.09	0.00	0.016	46
95213a1_116	220	186	0.85071	0.03685	0.10254	0.00327	0.45	627	17	0.17	0.68	0.027	47
95213a1_117	182	105	5.92516	0.23766	0.35086	0.01189	0.73	1969	34	1.76	0.18	0.017	47
95213a1_118	99	15	3.12360	0.14440	0.21817	0.00824	0.61	1385	36	86.84	0.00	0.026	35
95213a1_119	84	44	8.40117	0.42945	0.37011	0.01619	0.66	2284	46	76.33	0.00	0.020	39
95213a1_120	92	24	0.86365	0.06391	0.10411	0.00440	0.46	637	24	0.15	0.69	0.038	48
DB07RIM52a		**1284-06**											
1284-06a1_1	122	85	2.82375	0.09415	0.23140	0.00628	0.58	1358	25	2.11	0.15	0.018	44
1284-06a1_2	23	19	5.18767	0.28233	0.32806	0.01303	0.67	1849	46	0.84	0.36	0.025	43
1284-06a1_3	233	163	6.05439	0.18314	0.35525	0.00909	0.72	1987	26	2.51	0.11	0.013	41
1284-06a1_4	232	117	3.35832	0.11419	0.25803	0.00748	0.73	1495	27	1.29	0.26	0.018	45
1284-06a1_5	318	165	0.78403	0.03030	0.09404	0.00265	0.63	582	15	1.38	0.24	0.025	45
1284-06a1_6	178	67	3.53472	0.11896	0.26146	0.00607	0.57	1522	25	7.75	0.01	0.017	33
1284-06a1_7	0	0	0	0	0	0	0	#VALUE!	#VALUE!	#VALUE!	#VALUE!	#VALUE!	0
1284-06a1_8	152	137	6.59966	0.21804	0.36779	0.00993	0.76	2067	29	6.66	0.01	0.014	37

Numéro d'analyse	[U] (ppm)	[Th] (ppm)	207Pb/ 235Uc	2 sigma	206Pb/ 238U	2 sigma	Corré-lation d'erreur	Age Concordia (Ma)	A priori erreur de 2σ	MSWD	Probabilité-de-concordance (rej <.15)	Erreur/ âge (rej >0.40)	Nombres de balayages concordants (rej <5)
1284-06a1_9	61	38	0.85463	0.04989	0.09810	0.00266	0.24	607	15	2.87	0.09	0.024	41
1284-06a1_10	460	262	5.54009	0.19664	0.33501	0.01010	0.71	1911	30	6.61	0.01	0.016	17
1284-06a1_11	52	72	0.89529	0.06671	0.10294	0.00287	0.27	633	16	0.99	0.32	0.026	46
1284-06a1_12	38	16	0.98960	0.14081	0.10696	0.00500	0.18	659	28	1.38	0.24	0.043	16
1284-06a1_13	18	16	4.88511	0.26277	0.32097	0.01264	0.58	1799	45	0.04	0.84	0.025	45
1284-06a1_14	231	102	1.77156	0.06303	0.17184	0.00443	0.57	1029	21	1.34	0.25	0.020	45
1284-06a1_15	107	49	1.73884	0.06663	0.17490	0.00409	0.42	1032	20	1.58	0.21	0.019	47
1284-06a1_16	78	100	0.70151	0.05242	0.08842	0.00295	0.33	545	17	0.18	0.67	0.031	41
1284-06a1_17	175	92	1.52125	0.05898	0.15439	0.00431	0.64	932	22	1.73	0.19	0.023	37
1284-06a1_18	349	385	0.82777	0.03087	0.09915	0.00245	0.55	610	14	0.15	0.70	0.022	45
1284-06a1_19	206	162	2.84648	0.10026	0.23372	0.00626	0.54	1364	25	0.92	0.34	0.019	43
1284-06a1_20	0	0	0	0	0	0	0	#VALUE!	#VALUE!	#VALUE!	#VALUE!	#VALUE!	0
1284-06a1_21	0	0	0	0	0	0	0	#VALUE!	#VALUE!	#VALUE!	#VALUE!	#VALUE!	0
1284-06a1_22	236	96	6.21086	0.20750	0.35648	0.01089	0.59	2007	29	3.78	0.05	0.015	42
1284-06a1_23	27	12	1.05567	0.10052	0.11392	0.00437	0.26	700	25	2.08	0.15	0.035	38
1284-06a1_24	278	144	0.73106	0.03388	0.09063	0.00202	0.39	559	12	0.05	0.82	0.021	37
1284-06a1_25	178	36	0.95924	0.05723	0.10677	0.00450	0.54	664	24	4.56	0.03	0.037	37
1284-06a1_26	70	44	2.42024	0.09496	0.21282	0.00573	0.58	1247	26	0.13	0.72	0.021	46
1284-06a1_27	1192	1471	0.22290	0.00747	0.03186	0.00067	0.47	203	4	0.57	0.45	0.020	40
1284-06a1_28	107	113	0.49417	1.78226	0.06431	0.01312	0.00	402	79	0.00	0.99	0.197	11
1284-06a1_29	62	34	0.72737	0.03741	0.08636	0.00228	0.27	538	13	3.46	0.06	0.024	39
1284-06a1_30	86	65	5.87155	0.62159	0.33777	0.02927	0.70	1961	91	2.60	0.11	0.047	5
1284-06a1_31	116	104	10.17955	0.25657	0.45891	0.00937	0.59	2451	24	0.95	0.33	0.010	41
1284-06a1_32	81	25	1.95747	0.08505	0.18136	0.00444	0.45	1083	22	3.49	0.06	0.021	42
1284-06a1_33	240	161	1.12547	0.04424	0.12579	0.00292	0.44	764	16	0.03	0.86	0.020	42
1284-06a1_34	152	82	0.78940	0.07065	0.09001	0.00213	0.18	557	13	3.03	0.08	0.022	34
1284-06a1_35	99	56	22.18765	1.40309	0.61115	0.03473	0.67	3211	58	4.80	0.03	0.018	5
1284-06a1_36	222	171	4.69211	0.12351	0.31442	0.00666	0.65	1766	22	0.07	0.79	0.013	47
1284-06a1_37	27	21	2.27443	0.12424	0.20137	0.00634	0.41	1191	30	1.19	0.27	0.025	44
1284-06a1_38	181	86	1.07566	0.04865	0.12313	0.00303	0.38	747	16	0.35	0.55	0.022	45
1284-06a1_39	62	45	0.97630	0.06292	0.10683	0.00298	0.26	659	17	5.19	0.02	0.025	35
1284-06a1_40	533	176	6.24868	0.18199	0.35695	0.00856	0.64	2011	26	7.75	0.01	0.013	41
1284-06a1_41	343	21	1.08614	0.03411	0.12302	0.00286	0.52	747	14	0.03	0.87	0.019	43
1284-06a1_42	43	17	3.63615	0.14782	0.26986	0.00808	0.53	1553	31	0.90	0.34	0.020	43
1284-06a1_43	356	378	0.86251	0.03092	0.10180	0.00239	0.54	627	13	0.75	0.39	0.021	45
1284-06a1_44	49	22	1.25429	0.07815	0.13477	0.00446	0.35	818	24	0.34	0.56	0.029	37
1284-06a1_45	386	142	0.80280	0.03015	0.09555	0.00270	0.58	592	15	1.79	0.18	0.025	43
1284-06a1_46	248	128	0.77929	0.04006	0.09337	0.00273	0.31	578	15	0.67	0.41	0.026	26
1284-06a1_47	76	40	9.78620	0.38941	0.43910	0.01458	0.67	2422	36	7.87	0.01	0.015	33
1284-06a1_48	0	0	0	0	0	0	0	#VALUE!	#VALUE!	#VALUE!	#VALUE!	#VALUE!	0
1284-06a1_49	222	222	0.77606	0.02981	0.09478	0.00194	0.42	584	11	0.00	0.95	0.019	40
1284-06a1_50	595	326	5.04050	0.20570	0.31143	0.01145	0.62	1826	35	12.81	0.00	0.019	22
1284-06a1_51	86	54	1.74628	0.06741	0.17132	0.00468	0.39	1023	21	0.21	0.65	0.021	41
1284-06a1_52	90	84	0.81142	0.05298	0.09610	0.00261	0.30	593	15	0.65	0.42	0.025	43
1284-06a1_53	80	71	0.77135	0.03065	0.09416	0.00243	0.43	580	13	0.00	0.96	0.023	39
1284-06a1_54	185	49	7.49038	0.22291	0.40773	0.00979	0.65	2170	27	3.63	0.06	0.012	34
1284-06a1_55	283	171	6.02224	0.16809	0.35480	0.00824	0.71	1981	24	2.35	0.13	0.012	45
1284-06a1_56	279	188	11.59411	0.81313	0.47023	0.03208	0.83	2606	53	3.56	0.06	0.020	9
1284-06a1_57	144	114	4.75791	0.13402	0.31461	0.00622	0.58	1774	23	1.20	0.27	0.013	43

Numéro d'analyse	[U] (ppm)	[Th] (ppm)	207Pb/ 235Uc	2 sigma	206Pb/ 238U	2 sigma	Corré-lation d'erreur	Age Concordia (Ma)	A priori erreur de 2σ	MSWD	Probabilité-de-concordance (rej <.15)	Erreur/ âge (rej >0.40)	Nombres de balayages concordants (rej <5)
1284-06a1_58	130	127	0.72337	0.03519	0.08787	0.00219	0.41	544	13	0.99	0.32	0.023	37
1284-06a1_59	221	136	1.00278	0.10513	0.11124	0.00743	0.44	688	40	0.94	0.33	0.058	14
1284-06a1_60	169	51	0.90533	0.03754	0.10073	0.00253	0.41	627	14	13.43	0.00	0.022	47
1284-06a1_61	51	44	0.85400	0.06835	0.09717	0.00320	0.21	602	18	2.27	0.13	0.030	42
1284-06a1_62	140.4668	77.76533	12.16925	1.497886	0.4689561	0.05625547	0.8412609	2674	89	2.98	0.08	0.033	4
1284-06a1_63	68	51	1.90218	2.95001	0.07996	0.01786	0.01	498	106	0.74	0.39	0.214	17
1284-06a1_64	126	103	1.00950	0.03787	0.11461	0.00305	0.52	703	16	1.03	0.31	0.023	38
1284-06a1_65	195	78	6.03029	0.16748	0.35648	0.00811	0.67	1981	24	1.06	0.30	0.012	39
1284-06a1_66	86	72	1.76699	0.06057	0.17486	0.00388	0.54	1036	19	0.26	0.61	0.018	41
1284-06a1_67	204	85	0.83245	0.03087	0.10021	0.00215	0.48	615	12	0.01	0.93	0.020	33
1284-06a1_68	118.7876	48.68905	5.342926	0.5821041	0.316617	0.02480388	0.5775533	1851	92	4.08	0.04	0.050	2
1284-06a1_69	81	38	4.74605	0.16330	0.30607	0.00823	0.62	1769	29	11.30	0.00	0.016	34
1284-06a1_70	157	150	0.87094	0.04096	0.10200	0.00211	0.35	627	12	0.87	0.35	0.019	39
1284-06a1_71	452	344	6.34416	0.16940	0.35940	0.00816	0.59	2023	24	8.29	0.00	0.012	42
1284-06a1_72	159	79	2.90722	0.19082	0.11223	0.00386	0.29	669	22	450.39	0.00	0.033	25
1284-06a1_73	0	0	0	0	0	0	0	#VALUE!	#VALUE!	#VALUE!	#VALUE!	#VALUE!	0
1284-06a1_74	41	26	1.23018	0.11224	0.14262	0.00550	0.36	851	30	3.45	0.06	0.035	43
1284-06a1_75	247	256	0.89686	0.03356	0.10565	0.00217	0.36	648	12	0.09	0.77	0.018	39
1284-06a1_76	57	113	15.02165	0.51921	0.53662	0.01636	0.66	2823	32	3.20	0.07	0.011	43
1284-06a1_77	175	89	6.06392	0.19224	0.34566	0.00872	0.57	1978	28	16.97	0.00	0.014	34
1284-06a1_78	144	118	0.83626	0.04086	0.09742	0.00274	0.41	603	15	2.64	0.10	0.025	40
1284-06a1_79	177	50	3.52206	0.10564	0.26632	0.00637	0.53	1530	23	0.51	0.47	0.015	44
1284-06a1_80	363	341	0.85207	0.04525	0.09742	0.00293	0.39	605	16	4.79	0.03	0.027	11
1284-06a1_81	201	60	0.80749	0.03327	0.09928	0.00259	0.47	607	14	1.06	0.30	0.023	45
1284-06a1_82	155	132	1.47528	0.05219	0.14900	0.00345	0.41	905	17	4.95	0.03	0.019	46
1284-06a1_83	76	194	0.77058	0.04615	0.09418	0.00262	0.28	580	15	0.00	0.99	0.025	40
1284-06a1_84	98	82	0.81838	0.03513	0.09804	0.00236	0.30	604	13	0.17	0.68	0.021	35
1284-06a1_85	61	39	9.59429	0.31952	0.43987	0.01270	0.74	2406	29	5.38	0.02	0.012	39
1284-06a1_86	498	315	0.90049	0.03361	0.10317	0.00263	0.56	639	15	5.69	0.02	0.023	23
1284-06a1_87	865	236	0.96714	0.02488	0.11149	0.00219	0.55	684	11	0.85	0.36	0.017	43
1284-06a1_88	174	88	0.83740	0.04165	0.09948	0.00291	0.44	613	16	0.34	0.56	0.026	45
1284-06a1_89	214	141	4.52981	0.13904	0.29783	0.00716	0.61	1729	26	15.31	0.00	0.015	36
1284-06a1_90	423	1340	0.81504	0.02698	0.09914	0.00255	0.62	607	14	0.38	0.54	0.022	44
1284-06a1_91	80	42	6.59486	0.21458	0.37540	0.00968	0.70	2059	29	0.06	0.81	0.014	44
1284-06a1_92	67	100	0.82139	0.05034	0.09915	0.00298	0.33	609	17	0.00	0.97	0.027	43
1284-06a1_93	45	32	0.82095	0.06624	0.09448	0.00239	0.16	584	14	1.98	0.16	0.024	36
1284-06a1_94	175	97	0.83886	0.03787	0.09908	0.00203	0.30	610	11	0.84	0.36	0.019	43
1284-06a1_95	263	89	1.51238	0.04675	0.15406	0.00326	0.52	929	16	1.63	0.20	0.017	46
1284-06a1_96	82	38	3.10429	0.09235	0.25085	0.00533	0.53	1437	22	0.54	0.46	0.015	46
1284-06a1_97	329	227	0.87890	0.02744	0.10354	0.00254	0.59	638	13	0.61	0.44	0.021	38
1284-06a1_98	565	268	1.72470	0.04720	0.17083	0.00383	0.64	1017	17	0.02	0.90	0.017	38
1284-06a1_99	359	143	2.08305	0.05910	0.18963	0.00407	0.53	1134	18	5.46	0.02	0.016	44
1284-06a1_100	139	67	6.72950	0.31240	0.36960	0.01228	0.43	2065	40	3.18	0.07	0.019	16
1284-06a1_101	239	87	0.76282	0.02931	0.09139	0.00229	0.39	568	12	1.93	0.17	0.022	44
1284-06a1_102	63	42	0.97219	0.06258	0.11034	0.00354	0.35	677	20	0.89	0.35	0.029	41
1284-06a1_103	143	66	6.45321	0.25061	0.37191	0.01389	0.65	2040	34	0.00	0.96	0.017	19
1284-06a1_104	160	32	0.89650	0.04099	0.10432	0.00365	0.55	644	19	0.99	0.32	0.030	24
1284-06a1_105	90	46	0.73760	0.03630	0.09306	0.00282	0.40	570	15	1.44	0.23	0.027	42
1284-06a1_106	117	85	0.82606	0.10003	0.08951	0.00304	0.14	556	18	4.19	0.04	0.032	18

Numéro d'analyse	[U] (ppm)	[Th] (ppm)	207Pb/ 235Uc	2 sigma	206Pb/ 238U	2 sigma	Corré-lation d'erreur	Age Concordia (Ma)	A priori erreur de 2σ	MSWD	Probabilité-de-concordance (rej <.15)	Erreur/ âge (rej >0.40)	Nombres de balayages concordants (rej <5)
1284-06a1_107	137	88	0.84614	0.06615	0.09866	0.00353	0.31	609	20	0.79	0.38	0.033	27
1284-06a1_108	118	79	1.06122	0.06781	0.11435	0.00294	0.25	702	16	4.63	0.03	0.023	26
1284-06a1_109	203.121	211.1454	5.80808	0.5342208	0.3342959	0.02375774	0.5589275	1934	79	3.39	0.07	0.041	4
1284-06a1_110	501	204	0.78532	0.02513	0.09595	0.00197	0.50	590	11	0.11	0.75	0.019	43
1284-06a1_111	199	140	0.77258	0.03488	0.09300	0.00282	0.55	576	16	0.81	0.37	0.027	44
1284-06a1_112	105	62	0.82449	0.03683	0.09960	0.00260	0.38	612	14	0.02	0.88	0.023	30
1284-06a1_113	223	48	6.16286	0.19201	0.35567	0.00900	0.65	2000	27	5.35	0.02	0.014	47
1284-06a1_114	72	171	5.83888	0.17134	0.34715	0.00684	0.52	1944	25	4.55	0.03	0.013	44
1284-06a1_115	56	36	3.64628	0.15735	0.25745	0.00869	0.64	1543	34	22.75	0.00	0.022	32
1284-06a1_116	181	115	0.87648	0.04591	0.10362	0.00338	0.53	636	19	0.10	0.75	0.030	35
1284-06a1_117	219	87	0.73368	0.02707	0.08857	0.00194	0.35	550	11	2.10	0.15	0.019	44
1284-06a1_118	36	30	1.71845	0.10487	0.16631	0.00664	0.56	1001	34	1.75	0.19	0.034	41
1284-06a1_119	17	28	0.91124	0.17130	0.10633	0.00384	0.13	652	22	0.02	0.89	0.034	43
1284-06a1_120	71	111	0.86341	0.05831	0.10347	0.00261	0.29	634	15	0.03	0.86	0.024	43
DB07RIM53a		**952-14**											
95214a1_1	118	83	6.70469	0.26922	0.37030	0.01107	0.57	2068	35	3.88	0.05	0.017	46
95214a1_2	196	93	6.62713	0.22769	0.36311	0.00985	0.55	2056	30	11.37	0.00	0.015	46
95214a1_3	678	307	6.03445	0.20388	0.34191	0.00999	0.61	1979	30	19.91	0.00	0.015	48
95214a1_4	342	240	6.63728	0.25285	0.34057	0.01201	0.67	2079	33	67.62	0.00	0.016	47
95214a1_5	187	119	6.84074	0.26496	0.37530	0.01159	0.65	2091	34	3.14	0.08	0.016	36
95214a1_6	67	37	6.94084	0.27086	0.36815	0.01155	0.62	2101	35	15.17	0.00	0.017	43
95214a1_7	154	91	7.18261	0.27681	0.37535	0.01213	0.60	2133	35	12.37	0.00	0.016	48
95214a1_8	150	41	6.34540	0.24906	0.36537	0.01198	0.68	2026	34	0.68	0.41	0.017	48
95214a1_9	220	94	0.77441	0.03580	0.09352	0.00276	0.46	578	15	0.37	0.54	0.026	48
95214a1_10	108	33	7.32505	0.26676	0.39409	0.01148	0.59	2152	33	0.22	0.64	0.015	48
95214a1_11	61	28	7.01388	0.30161	0.38056	0.01229	0.55	2109	38	2.00	0.16	0.018	48
95214a1_12	379	239	4.42682	0.21824	0.25537	0.01252	0.30	1655	40	60.62	0.00	0.024	40
95214a1_13	151	116	6.74380	0.22430	0.37661	0.01038	0.65	2079	29	0.94	0.33	0.014	47
95214a1_14	89	48	5.76711	0.34258	0.30169	0.01497	0.67	1923	52	79.79	0.00	0.027	34
95214a1_15	183	154	7.07533	0.23375	0.38604	0.01043	0.63	2121	30	0.76	0.38	0.014	47
95214a1_16	479	163	3.72440	0.19628	0.21352	0.01041	0.32	1445	41	127.57	0.00	0.028	35
95214a1_17	855.4587	644.5087	2.004059	0.3452745	0.10211	0.01652746	0.5210571	621	97	60.92	0.00	0.156	0
95214a1_18	222	87	5.90143	0.30153	0.32006	0.01357	0.58	1940	45	40.44	0.00	0.023	34
95214a1_19	528	492	3.42288	0.26999	0.20068	0.01642	0.52	1424	64	74.55	0.00	0.045	19
95214a1_20	1696.786	282.2231	2.703492	0.5000327	0.1691429	0.02933752	0.5031681	1019	149	21.15	0.00	0.146	1
95214a1_21	286	145	7.47627	0.23058	0.39909	0.01063	0.62	2170	28	0.08	0.78	0.013	48
95214a1_22	113	90	6.82392	0.26267	0.37407	0.01280	0.73	2096	33	3.64	0.06	0.016	48
95214a1_23	0	0	0	0	0	0	0	#VALUE!	#VALUE!	#VALUE!	#VALUE!	#VALUE!	0
95214a1_24	120	74	7.53130	0.30694	0.39955	0.01379	0.60	2177	37	0.15	0.70	0.017	48
95214a1_25	206	72	6.86482	0.25064	0.33875	0.01040	0.57	2071	33	109.31	0.00	0.016	30
95214a1_26	166	138	6.92968	0.22680	0.37287	0.01027	0.61	2102	29	9.67	0.00	0.014	47
95214a1_27	213	215	5.92258	0.29379	0.31507	0.01325	0.64	1952	44	64.71	0.00	0.022	22
95214a1_28	78	26	7.40284	0.23882	0.40154	0.01029	0.58	2162	29	0.58	0.45	0.013	47
95214a1_29	84	120	6.91427	0.29320	0.38183	0.01333	0.59	2100	38	0.39	0.53	0.018	48
95214a1_30	176	105	6.87765	0.21711	0.38184	0.00955	0.62	2096	28	0.38	0.54	0.013	47
95214a1_31	367	119	5.64593	0.19893	0.32122	0.00923	0.63	1913	31	53.36	0.00	0.016	38
95214a1_32	70	60	7.92746	1.02644	0.43351	0.03434	0.34	2250	105	1.54	0.21	0.047	47
95214a1_33	118	64	0.85176	0.05419	0.09719	0.00309	0.30	603	17	3.38	0.07	0.029	48
95214a1_34	141	64	6.79503	0.22673	0.36746	0.00929	0.51	2074	29	12.38	0.00	0.014	47

Numéro d'analyse	[U] (ppm)	[Th] (ppm)	207Pb/ 235Uc	2 sigma	206Pb/ 238U	2 sigma	Corré-lation d'erreur	Age Concordia (Ma)	A priori erreur de 2σ	MSWD	Probabilité-de-concordance (rej <.15)	Erreur/ âge (rej >0.40)	Nombres de balayages concordants (rej <5)
95214a1_35	93	39	7.21778	0.25747	0.40009	0.01106	0.56	2140	32	2.09	0.15	0.015	47
95214a1_36	159	70	7.31057	0.25811	0.39270	0.01091	0.59	2149	32	0.52	0.47	0.015	48
95214a1_37	80	48	6.92411	0.27696	0.38163	0.01115	0.53	2099	35	0.63	0.43	0.017	48
95214a1_38	65	40	6.80596	0.26062	0.38937	0.01144	0.52	2090	34	2.11	0.15	0.016	47
95214a1_39	232	197	6.98616	0.22928	0.37974	0.01079	0.61	2110	29	2.99	0.08	0.014	48
95214a1_40	110	64	6.69212	0.20841	0.37509	0.01013	0.60	2072	28	0.93	0.34	0.013	48
95214a1_41	221	94	6.97679	0.22232	0.37818	0.01191	0.59	2111	28	3.23	0.07	0.013	47
95214a1_42	141	60	2.25044	0.08741	0.19882	0.00628	0.59	1190	27	3.93	0.05	0.022	45
95214a1_43	116	66	6.39624	0.24836	0.35825	0.01179	0.61	2031	34	6.81	0.01	0.017	48
95214a1_44	173	117	6.84247	0.24837	0.36780	0.01076	0.62	2089	32	13.24	0.00	0.015	48
95214a1_45	155	132	6.27276	0.21165	0.34442	0.01030	0.62	2015	30	30.47	0.00	0.015	47
95214a1_46	171	127	6.75742	0.21678	0.37360	0.01065	0.60	2081	28	2.84	0.09	0.014	47
95214a1_47	139	98	6.27902	0.21809	0.34925	0.00953	0.57	2006	31	20.05	0.00	0.015	45
95214a1_48	151	98	6.88931	0.25705	0.38035	0.01234	0.62	2098	33	0.73	0.39	0.016	46
95214a1_49	12	9	7.48700	0.55479	0.40773	0.02390	0.66	2170	66	0.64	0.42	0.031	47
95214a1_50	49	21	6.98873	0.28512	0.38325	0.01359	0.69	2112	36	0.64	0.43	0.017	47
95214a1_51	290	154	3.74799	0.55457	0.19416	0.03289	0.50	1377	135	33.55	0.00	0.098	7
95214a1_52	135	50	7.39613	0.27085	0.38913	0.01217	0.58	2160	33	3.28	0.07	0.015	48
95214a1_53	129	81	6.94126	0.25489	0.38160	0.01158	0.62	2104	33	0.90	0.34	0.016	48
95214a1_54	108	78	7.04357	0.28371	0.38557	0.01245	0.52	2116	36	0.35	0.56	0.017	48
95214a1_55	204	121	6.95705	0.23807	0.37627	0.01102	0.56	2104	31	4.82	0.03	0.015	44
95214a1_56	128	68	6.77973	0.24520	0.38542	0.01175	0.64	2082	32	0.77	0.38	0.015	48
95214a1_57	34	37	0.70811	0.07952	0.08842	0.00381	0.22	546	22	0.01	0.91	0.040	47
95214a1_58	34	13	7.48617	0.36148	0.39099	0.01581	0.69	2176	43	2.68	0.10	0.020	48
95214a1_59	159	75	5.80822	0.20221	0.32341	0.00911	0.59	1930	30	62.06	0.00	0.016	48
95214a1_60	216	51	7.13258	0.23209	0.39512	0.01070	0.62	2128	29	0.88	0.35	0.014	47
95214a1_61	150	76	6.55216	0.30350	0.36043	0.01247	0.52	2041	40	7.10	0.01	0.020	34
95214a1_62	81	57	6.77326	0.26396	0.38544	0.01263	0.64	2081	35	0.73	0.39	0.017	48
95214a1_63	251	90	5.58609	0.22259	0.31407	0.01005	0.58	1890	35	57.48	0.00	0.018	43
95214a1_64	38	10	7.05321	0.32588	0.38551	0.01369	0.60	2117	41	0.40	0.53	0.019	48
95214a1_65	105	60	6.66282	0.24117	0.35943	0.01106	0.64	2070	32	19.42	0.00	0.015	47
95214a1_66	47	44	7.19852	0.35356	0.39052	0.01532	0.66	2137	44	0.17	0.68	0.021	48
95214a1_67	244	144	7.00767	0.23493	0.38130	0.01059	0.60	2112	30	2.30	0.13	0.014	47
95214a1_68	202	87	6.73015	0.24117	0.37500	0.01117	0.61	2077	32	1.30	0.25	0.015	48
95214a1_69	213	152	7.66021	0.25406	0.40460	0.01149	0.67	2192	30	0.01	0.93	0.014	47
95214a1_70	209	42	6.23921	0.21467	0.33913	0.01020	0.64	2012	30	46.30	0.00	0.015	45
95214a1_71	130	54	6.78924	0.25722	0.37468	0.01195	0.60	2084	34	2.17	0.14	0.016	48
95214a1_72	63	35	7.10616	0.32245	0.39386	0.01525	0.65	2124	40	0.34	0.56	0.019	48
95214a1_73	77	35	7.16557	0.28784	0.38352	0.01269	0.64	2133	36	3.02	0.08	0.017	46
95214a1_74	66	45	7.91366	0.29792	0.40390	0.01282	0.63	2223	34	2.24	0.13	0.015	47
95214a1_75	122	65	6.37153	0.22341	0.36486	0.01153	0.66	2030	31	1.27	0.26	0.015	47
95214a1_76	56	34	7.19225	0.31694	0.38588	0.01217	0.53	2130	39	1.68	0.19	0.018	48
95214a1_77	21	17	4.94356	0.31657	0.32142	0.01257	0.47	1805	49	0.19	0.66	0.027	47
95214a1_78	627	281	7.00709	0.22632	0.38986	0.01105	0.60	2112	29	0.23	0.63	0.014	48
95214a1_79	472	154	5.96102	0.20568	0.33979	0.01027	0.64	1972	30	19.88	0.00	0.015	45
95214a1_80	119	81	6.88784	0.30563	0.37839	0.01454	0.55	2096	39	0.99	0.32	0.019	47
95214a1_81	152	75	7.39258	0.31158	0.40154	0.01431	0.67	2158	38	0.42	0.51	0.017	47
95214a1_82	172	77	6.91291	0.32607	0.38055	0.01699	0.80	2108	38	0.68	0.41	0.018	47
95214a1_83	153	42	3.54390	0.15842	0.26795	0.01033	0.64	1537	35	0.11	0.74	0.023	47

Numéro d'analyse	[U] (ppm)	[Th] (ppm)	207Pb/ 235Uc	2 sigma	206Pb/ 238U	2 sigma	Corré-lation d'erreur	Age Concordia (Ma)	A priori erreur de 2σ	MSWD	Probabilité-de-concordance (rej <.15)	Erreur/ âge (rej >0.40)	Nombres de balayages concordants (rej <5)
95214a1_84	123	87	7.10473	0.28605	0.38757	0.01331	0.63	2125	36	0.29	0.59	0.017	48
~~95214a1_85~~	~~261~~	~~111~~	~~6.29275~~	~~0.28880~~	~~0.34805~~	~~0.01514~~	~~0.79~~	~~2045~~	~~37~~	~~15.14~~	~~0.00~~	~~0.018~~	~~48~~
95214a1_86	131	75	6.87055	0.28315	0.37651	0.01357	0.65	2097	36	2.05	0.15	0.017	48
~~95214a1_87~~	~~69~~	~~48~~	~~0.93582~~	~~0.06361~~	~~0.10171~~	~~0.00382~~	~~0.36~~	~~633~~	~~21~~	~~7.76~~	~~0.01~~	~~0.034~~	~~48~~
95214a1_88	103	41	7.08533	0.30686	0.38735	0.01559	0.74	2125	37	0.21	0.65	0.017	48
~~95214a1_89~~	~~356~~	~~223~~	~~6.34877~~	~~0.35233~~	~~0.34789~~	~~0.01857~~	~~0.84~~	~~2067~~	~~41~~	~~13.62~~	~~0.00~~	~~0.020~~	~~47~~
95214a1_90	436	136	0.77783	0.03354	0.09484	0.00292	0.53	584	16	0.00	0.99	0.027	48
~~95214a1_91~~	~~188~~	~~85~~	~~6.85071~~	~~0.26336~~	~~0.37370~~	~~0.01270~~	~~0.72~~	~~2099~~	~~33~~	~~4.59~~	~~0.03~~	~~0.016~~	~~48~~
95214a1_92	105	25	7.17224	0.23550	0.39308	0.01097	0.62	2133	29	0.04	0.84	0.014	48
95214a1_93	128	43	6.99658	0.28653	0.38436	0.01365	0.71	2113	36	0.39	0.53	0.017	48
~~95214a1_94~~	~~107~~	~~37~~	~~7.30596~~	~~0.37197~~	~~0.38521~~	~~0.01868~~	~~0.79~~	~~2164~~	~~41~~	~~2.82~~	~~0.09~~	~~0.019~~	~~48~~
95214a1_95	37	15	7.13727	0.37756	0.39799	0.01630	0.62	2129	47	1.11	0.29	0.022	48
95214a1_96	211	113	7.09841	0.29574	0.38747	0.01478	0.75	2127	35	0.28	0.59	0.017	48
95214a1_97	118	65	6.79963	0.32786	0.38059	0.01665	0.77	2087	40	0.06	0.80	0.019	47
~~95214a1_98~~	~~59~~	~~15~~	~~7.43829~~	~~0.54602~~	~~0.41606~~	~~0.02613~~	~~0.75~~	~~2148~~	~~64~~	~~3.49~~	~~0.06~~	~~0.030~~	~~48~~
95214a1_99	47	19	7.18593	0.44617	0.40394	0.02199	0.71	2126	54	2.05	0.15	0.026	48
95214a1_100	116	60	7.20714	0.30154	0.39950	0.01576	0.69	2133	37	1.17	0.28	0.017	48
95214a1_101	145	63	6.89592	0.35344	0.38262	0.01885	0.80	2101	41	0.11	0.74	0.020	47
~~95214a1_102~~	~~126~~	~~71~~	~~6.78972~~	~~0.38863~~	~~0.36800~~	~~0.02016~~	~~0.71~~	~~2096~~	~~49~~	~~3.53~~	~~0.06~~	~~0.023~~	~~48~~
95214a1_103	479	191	0.84779	0.04097	0.10138	0.00392	0.63	623	21	0.01	0.92	0.033	48
~~95214a1_104~~	~~97~~	~~62~~	~~0.83853~~	~~0.05855~~	~~0.09612~~	~~0.00559~~	~~0.70~~	~~605~~	~~30~~	~~4.39~~	~~0.04~~	~~0.050~~	~~48~~
~~95214a1_105~~	~~149~~	~~108~~	~~5.89611~~	~~0.35972~~	~~0.32336~~	~~0.01830~~	~~0.77~~	~~1996~~	~~49~~	~~27.81~~	~~0.00~~	~~0.025~~	~~23~~
~~95214a1_106~~	~~57~~	~~24~~	~~0.77699~~	~~0.06066~~	~~0.09583~~	~~0.00436~~	~~0.45~~	~~588~~	~~24~~	~~0.14~~	~~0.70~~	~~0.041~~	~~47~~
~~95214a1_107~~	~~155~~	~~37~~	~~6.76815~~	~~0.37973~~	~~0.36691~~	~~0.01927~~	~~0.83~~	~~2108~~	~~43~~	~~5.59~~	~~0.02~~	~~0.020~~	~~47~~
~~95214a1_108~~	~~162~~	~~31~~	~~5.69641~~	~~0.25590~~	~~0.35740~~	~~0.01489~~	~~0.71~~	~~1925~~	~~38~~	~~2.29~~	~~0.13~~	~~0.020~~	~~47~~
95214a1_109	115	57	7.24865	0.43715	0.40067	0.02342	0.83	2131	47	0.72	0.40	0.022	48
~~95214a1_110~~	~~82~~	~~33~~	~~0.76913~~	~~0.07185~~	~~0.09305~~	~~0.00600~~	~~0.59~~	~~575~~	~~34~~	~~0.10~~	~~0.75~~	~~0.058~~	~~45~~
95214a1_111	327	224	5.10921	0.21602	0.32464	0.01278	0.75	1843	35	1.41	0.23	0.019	46
95214a1_112	80	22	6.96437	0.35732	0.38541	0.01918	0.82	2109	40	0.03	0.85	0.019	48
95214a1_113	112	40	6.72555	0.36162	0.37725	0.01858	0.80	2080	44	0.19	0.66	0.021	47
95214a1_114	145	65	7.41100	0.49422	0.40497	0.01987	0.36	2168	57	0.44	0.51	0.026	44
95214a1_115	485	122	0.78332	0.03693	0.09453	0.00345	0.63	585	19	0.33	0.56	0.032	48
~~95214a1_116~~	~~46~~	~~18~~	~~6.85361~~	~~0.33603~~	~~0.36382~~	~~0.01714~~	~~0.64~~	~~2101~~	~~43~~	~~8.82~~	~~0.00~~	~~0.020~~	~~48~~
~~95214a1_117~~	~~139~~	~~162~~	~~0.84169~~	~~0.08608~~	~~0.09271~~	~~0.00697~~	~~0.65~~	~~584~~	~~40~~	~~6.54~~	~~0.01~~	~~0.068~~	~~29~~
95214a1_118	66	30	6.99469	0.35783	0.38083	0.01777	0.73	2117	44	1.10	0.29	0.021	48
95214a1_119	130	36	6.99501	0.32938	0.38414	0.01564	0.67	2112	42	0.31	0.58	0.020	48
95214a1_120	286	81	6.61793	0.47223	0.36582	0.02507	0.83	2082	55	1.92	0.17	0.026	46
DB07RIM53a		**1284-07**											
1284-07a1_1	85	50	7.48618	0.24960	0.40468	0.01057	0.51	2173	30	0.83	0.36	0.014	46
~~1284-07a1_2~~	~~85~~	~~38~~	~~7.68127~~	~~0.20762~~	~~0.41085~~	~~0.00916~~	~~0.62~~	~~2194~~	~~24~~	~~2.17~~	~~0.14~~	~~0.011~~	~~46~~
1284-07a1_3	599	201	7.06829	0.17098	0.39221	0.00825	0.62	2120	22	0.74	0.39	0.010	44
~~1284-07a1_4~~	~~562~~	~~306~~	~~6.54214~~	~~0.48657~~	~~0.36161~~	~~0.02588~~	~~0.75~~	~~2067~~	~~61~~	~~2.15~~	~~0.14~~	~~0.030~~	~~9~~
1284-07a1_5	182	94	7.15185	0.20485	0.38653	0.00978	0.66	2133	25	1.90	0.17	0.012	36
1284-07a1_6	120	53	6.98858	0.19470	0.38633	0.00761	0.53	2109	24	0.07	0.79	0.012	46
~~1284-07a1_7~~	~~135~~	~~94~~	~~6.84409~~	~~0.22300~~	~~0.37700~~	~~0.01035~~	~~0.64~~	~~2092~~	~~29~~	~~2.42~~	~~0.12~~	~~0.014~~	~~31~~
1284-07a1_8	163	149	7.42057	0.21914	0.39697	0.00917	0.64	2164	27	0.26	0.61	0.012	42
~~1284-07a1_9~~	~~72~~	~~32~~	~~7.44430~~	~~0.20422~~	~~0.40647~~	~~0.00899~~	~~0.63~~	~~2166~~	~~25~~	~~4.01~~	~~0.05~~	~~0.011~~	~~42~~
~~1284-07a1_10~~	~~118~~	~~50~~	~~8.26963~~	~~0.20840~~	~~0.41408~~	~~0.00781~~	~~0.51~~	~~2258~~	~~23~~	~~3.10~~	~~0.08~~	~~0.010~~	~~42~~
~~1284-07a1_11~~	~~90~~	~~53~~	~~6.69438~~	~~0.20216~~	~~0.37084~~	~~0.00768~~	~~0.49~~	~~2063~~	~~26~~	~~5.48~~	~~0.02~~	~~0.013~~	~~43~~

Numéro d'analyse	[U] (ppm)	[Th] (ppm)	207Pb/ 235Uc	2 sigma	206Pb/ 238U	2 sigma	Corré-lation d'erreur	Age Concordia (Ma)	A priori erreur de 2σ	MSWD	Probabilité-de-concordance (rej <.15)	Erreur/ âge (rej >0.40)	Nombres de balayages concordants (rej <5)
1284-07a1_12	108	71	7.27283	0.22719	0.39667	0.00940	0.50	2146	28	0.18	0.67	0.013	44
1284-07a1_13	61	64	7.47011	0.27642	0.39715	0.01167	0.49	2168	33	0.32	0.57	0.015	47
1284-07a1_14	64	48	7.54166	0.24939	0.40831	0.01065	0.62	2178	30	2.32	0.13	0.014	45
1284-07a1_15	169	114	6.67426	0.23652	0.37000	0.01157	0.66	2072	31	3.72	0.05	0.015	25
1284-07a1_16	126	46	7.68196	0.24349	0.40732	0.01088	0.66	2194	28	0.19	0.67	0.013	43
1284-07a1_17	178	81	7.81305	0.22529	0.41563	0.00903	0.57	2212	26	3.30	0.07	0.012	39
1284-07a1_18	114	49	6.83211	0.22480	0.38017	0.01045	0.78	2093	28	0.64	0.42	0.013	44
1284-07a1_19	156.7334	82.78993	6.495655	0.5679796	0.3681907	0.02319618	0.5611854	2042	76	0.28	0.59	0.037	3
1284-07a1_20	134	118	6.81840	0.17900	0.36984	0.00804	0.53	2083	23	13.59	0.00	0.011	36
1284-07a1_21	128	72	7.39726	0.26079	0.40484	0.01274	0.81	2150	29	2.60	0.11	0.014	46
1284-07a1_22	271	105	6.99569	0.27364	0.38328	0.01345	0.72	2114	34	0.74	0.39	0.016	40
1284-07a1_23	163	111	7.40661	0.28354	0.39544	0.01268	0.72	2164	34	0.44	0.51	0.016	40
1284-07a1_24	154.4276	33.84282	4.934814	2.873281	0.2764249	0.1615962	0.7369434	1848	464	0.73	0.39	0.251	1
1284-07a1_25	733	259	6.04696	0.63889	0.34003	0.03394	0.69	1995	90	2.61	0.11	0.045	7
1284-07a1_26	165	73	7.21565	0.25897	0.39292	0.01274	0.74	2139	31	0.01	0.92	0.014	37
1284-07a1_27	422	282	7.13887	0.22226	0.39157	0.01027	0.72	2129	27	0.01	0.94	0.013	43
1284-07a1_28	1321	742	6.23555	0.29647	0.35235	0.01692	0.45	2007	42	3.14	0.08	0.021	7
1284-07a1_29	48	36	7.36608	0.30286	0.40213	0.01045	0.54	2162	35	1.09	0.30	0.016	42
1284-07a1_30	73	42	7.47930	0.24404	0.40455	0.01123	0.67	2169	29	1.00	0.32	0.013	46
1284-07a1_31	130	56	7.36248	0.21379	0.39673	0.00941	0.69	2157	26	0.02	0.88	0.012	44
1284-07a1_32	93	59	7.57816	0.20090	0.40543	0.00767	0.53	2184	24	0.59	0.44	0.011	42
1284-07a1_33	90	33	7.40431	0.23352	0.40421	0.00934	0.61	2163	28	2.49	0.11	0.013	34
1284-07a1_34	227	190	6.62844	0.51093	0.35995	0.02474	0.75	2080	65	4.17	0.04	0.031	6
1284-07a1_35	63	25	7.45843	0.22467	0.39782	0.00960	0.67	2169	27	0.30	0.59	0.012	40
1284-07a1_36	238	166	6.80089	0.27065	0.35901	0.01271	0.53	2080	35	18.07	0.00	0.017	36
1284-07a1_37	71	52	8.07289	0.27859	0.42305	0.01223	0.62	2238	31	2.54	0.11	0.014	41
1284-07a1_38	187	148	7.05268	0.17563	0.38085	0.00755	0.63	2117	22	7.49	0.01	0.011	40
1284-07a1_39	59	42	6.33639	0.70488	0.34248	0.03485	0.83	2073	84	6.11	0.01	0.041	16
1284-07a1_40	173	84	7.30977	0.22624	0.39820	0.01037	0.68	2149	28	0.37	0.54	0.013	44
1284-07a1_41	0	0	0	0	0	0	0	#VALUE!	#VALUE!	#VALUE!	#VALUE!	#VALUE!	0
1284-07a1_42	102	101	7.07866	0.21772	0.38734	0.00936	0.63	2121	28	0.41	0.52	0.013	47
1284-07a1_43	191	78	6.89079	0.19400	0.38474	0.00830	0.60	2098	25	0.00	0.95	0.012	32
1284-07a1_44	237	153	6.98958	0.23207	0.38780	0.01028	0.71	2110	29	0.02	0.88	0.014	38
1284-07a1_45	85	74	7.51456	0.22831	0.39846	0.00901	0.58	2174	27	0.56	0.46	0.013	45
1284-07a1_46	227	106	7.22727	0.17839	0.39941	0.00737	0.57	2142	22	3.50	0.06	0.010	46
1284-07a1_47	134	74	7.26296	0.17237	0.39868	0.00770	0.60	2144	21	1.70	0.19	0.010	44
1284-07a1_48	92	64	7.05370	0.18426	0.39019	0.00837	0.54	2119	23	0.11	0.74	0.011	47
1284-07a1_49	303	139	7.69078	0.18610	0.41926	0.00727	0.52	2203	21	18.06	0.00	0.010	34
1284-07a1_50	182	62	7.19117	0.17918	0.39446	0.00752	0.49	2136	22	0.27	0.60	0.010	46
1284-07a1_51	525	270	6.55901	0.17055	0.36858	0.00789	0.60	2053	23	4.35	0.04	0.011	20
1284-07a1_52	290	224	7.35258	0.19779	0.40298	0.00897	0.64	2154	24	2.97	0.09	0.011	42
1284-07a1_53	83	31	7.44017	0.28895	0.39643	0.01210	0.65	2166	35	0.39	0.53	0.016	47
1284-07a1_54	183	101	7.04332	0.31423	0.38601	0.01454	0.24	2114	37	0.13	0.72	0.018	40
1284-07a1_55	345	202	7.02180	0.23635	0.38548	0.01314	0.65	2116	29	0.27	0.60	0.014	18
1284-07a1_56	0	0	0	0	0	0	0	#VALUE!	#VALUE!	#VALUE!	#VALUE!	#VALUE!	0
1284-07a1_57	151	197	7.37992	0.23259	0.40650	0.01130	0.60	2157	28	3.72	0.05	0.013	47
1284-07a1_58	2074	781	6.36798	0.19800	0.35502	0.00983	0.34	2017	27	9.30	0.00	0.013	23
1284-07a1_59	138	61	6.82744	0.19227	0.38278	0.00928	0.54	2089	25	0.00	1.00	0.012	46
1284-07a1_60	322	124	5.97436	0.38390	0.34256	0.02133	0.66	1980	55	3.59	0.06	0.028	27

Numéro d'analyse	[U] (ppm)	[Th] (ppm)	207Pb/ 235Uc	2 sigma	206Pb/ 238U	2 sigma	Corré-lation d'erreur	Age Concordia (Ma)	A priori erreur de 2σ	MSWD	Probabilité-de-concordance (rej <.15)	Erreur/ âge (rej >0.40)	Nombres de balayages concordants (rej <5)
1284-07a1_61	323	204	6.93132	0.17405	0.38087	0.00733	0.61	2101	22	2.66	0.10	0.011	39
1284-07a1_62	90	79	7.79022	0.23419	0.39872	0.00961	0.61	2207	27	6.26	0.01	0.012	42
1284-07a1_63	290	178	7.66911	0.17317	0.41093	0.00729	0.61	2193	20	3.88	0.05	0.009	40
1284-07a1_64	77	34	7.40313	0.20293	0.39763	0.00808	0.54	2161	24	0.04	0.84	0.011	45
1284-07a1_65	648	576	6.95129	0.16918	0.38805	0.00806	0.56	2105	22	0.30	0.58	0.010	23
1284-07a1_66	84	72	7.25731	0.24341	0.39215	0.01061	0.71	2145	30	0.38	0.54	0.014	44
1284-07a1_67	156	87	7.19472	0.20439	0.39128	0.00844	0.61	2136	25	0.21	0.65	0.012	47
1284-07a1_68	119.0852	22.60292	0	0	0	0	0	#VALUE!	#VALUE!	#VALUE!	#VALUE!	#VALUE!	0
1284-07a1_69	329	227	7.23566	0.15560	0.39789	0.00711	0.65	2140	19	2.12	0.15	0.009	43
1284-07a1_70	255.5517	473.9799	5.731787	0.7516447	0.3413903	0.03249343	0.4584119	1926	109	0.35	0.55	0.057	1
1284-07a1_71	252	66	7.24808	0.15083	0.39915	0.00687	0.58	2143	19	3.01	0.08	0.009	47
1284-07a1_72	219	150	7.70206	0.26497	0.40324	0.01234	0.72	2199	30	0.40	0.53	0.014	46
1284-07a1_73	170	181	6.74574	0.21865	0.37557	0.00791	0.52	2073	28	1.94	0.16	0.013	40
1284-07a1_74	83	44	7.25277	0.19847	0.39735	0.00833	0.57	2144	24	0.76	0.38	0.011	46
1284-07a1_75	256	88	7.52464	0.18254	0.40024	0.00801	0.56	2176	22	0.14	0.71	0.010	47
1284-07a1_76	112	49	7.36917	0.20371	0.39709	0.00855	0.45	2157	24	0.01	0.93	0.011	46
1284-07a1_77	83	64	6.91417	0.21444	0.37845	0.00815	0.52	2094	27	3.47	0.06	0.013	43
1284-07a1_78	277	147	7.19157	0.17413	0.38853	0.00828	0.60	2136	22	1.59	0.21	0.010	40
1284-07a1_79	70	52	7.79816	0.23342	0.40729	0.01019	0.61	2208	27	0.09	0.77	0.012	44
1284-07a1_80	132	88	8.39566	0.26747	0.41957	0.01172	0.68	2277	29	0.66	0.42	0.013	29
1284-07a1_81	69	45	7.90879	0.22878	0.41518	0.00935	0.46	2223	26	0.86	0.35	0.012	45
1284-07a1_82	127	57	7.33755	0.21088	0.39516	0.01038	0.54	2153	26	0.11	0.74	0.012	41
1284-07a1_83	103	93	7.07666	0.21279	0.39366	0.00908	0.59	2122	27	1.20	0.27	0.013	44
1284-07a1_84	399.9597	152.9142	5.829237	0.6637701	0.3278708	0.03494739	0.5676451	1948	99	3.14	0.08	0.051	3
1284-07a1_85	123	51	7.45379	0.19008	0.40357	0.01018	0.62	2166	23	0.92	0.34	0.011	47
1284-07a1_86	913.7081	710.8093	6.01225	0.5112622	0.3407272	0.02454175	0.6576453	1980	74	3.91	0.05	0.037	2
1284-07a1_87	62	20	7.47741	0.33382	0.39926	0.01205	0.54	2169	39	0.04	0.85	0.018	37
1284-07a1_88	181	82	7.64511	0.37765	0.39967	0.01602	0.44	2187	44	0.45	0.50	0.020	25
1284-07a1_89	249	81	7.68095	0.18506	0.40380	0.00854	0.58	2195	22	0.24	0.62	0.010	41
1284-07a1_90	186	180	6.79792	0.24585	0.38043	0.01243	0.75	2087	31	0.13	0.72	0.015	36
1284-07a1_91	544	383	6.01791	0.31940	0.33747	0.01670	0.58	1978	46	10.14	0.00	0.023	23
1284-07a1_92	90	56	7.87768	0.21433	0.41621	0.00997	0.58	2216	25	1.97	0.16	0.011	40
1284-07a1_93	151	79	7.49183	0.25447	0.39717	0.01302	0.60	2173	30	0.44	0.51	0.014	46
1284-07a1_94	255	187	6.63227	0.51433	0.35618	0.02743	0.89	2120	49	6.94	0.01	0.023	16
1284-07a1_95	60	45	7.26775	0.25309	0.39514	0.01082	0.63	2145	31	0.01	0.93	0.015	43
1284-07a1_96	159	79	8.11051	0.22224	0.42256	0.00959	0.62	2242	25	2.78	0.10	0.011	39
1284-07a1_97	162	84	7.26066	0.23295	0.39216	0.00990	0.66	2144	29	0.41	0.52	0.013	43
1284-07a1_98	219	116	7.17105	0.18373	0.39320	0.00821	0.60	2133	23	0.10	0.76	0.011	43
1284-07a1_99	239	196	6.63825	0.25499	0.36781	0.01336	0.75	2075	32	4.27	0.04	0.016	37
1284-07a1_100	148	103	7.34909	0.21535	0.39608	0.00851	0.55	2154	26	0.05	0.82	0.012	43
1284-07a1_101	183	118	7.35621	0.20032	0.39084	0.00943	0.75	2162	23	3.67	0.06	0.011	42
1284-07a1_102	439.6483	367.5681	0	0	0	0	0	#VALUE!	#VALUE!	#VALUE!	#VALUE!	#VALUE!	0
1284-07a1_103	100	51	7.23012	0.21815	0.39174	0.00825	0.47	2138	26	0.29	0.59	0.012	41
1284-07a1_104	82	31	7.58379	0.21418	0.40647	0.00841	0.54	2185	25	0.91	0.34	0.012	44
1284-07a1_105	49	17	8.77055	0.27722	0.42876	0.01008	0.64	2314	29	0.66	0.42	0.013	40
1284-07a1_106	64	41	7.30116	0.25801	0.40294	0.00959	0.58	2154	31	3.36	0.07	0.014	45
1284-07a1_107	261	169	7.22691	0.19323	0.39197	0.00863	0.71	2141	24	0.30	0.58	0.011	46
1284-07a1_108	110	44	7.44722	0.20885	0.39835	0.00790	0.50	2166	25	0.10	0.75	0.011	43
1284-07a1_109	215	108	8.05356	0.21794	0.40784	0.00940	0.63	2239	25	3.61	0.06	0.011	31

Numéro d'analyse	[U] (ppm)	[Th] (ppm)	207Pb/ 235Uc	2 sigma	206Pb/ 238U	2 sigma	Corré-lation d'erreur	Age Concordia (Ma)	A priori erreur de 2σ	MSWD	Probabilité-de-concordance (rej <.15)	Erreur/ âge (rej >0.40)	Nombres de balayages concordants (rej <5)
1284-07a1_110	102	107	7.85736	0.31104	0.40705	0.01367	0.43	2213	35	0.22	0.64	0.016	26
~~1284-07a1_111~~	~~94~~	~~46~~	~~7.35277~~	~~0.22475~~	~~0.40504~~	~~0.01019~~	~~0.59~~	~~2155~~	~~27~~	~~3.79~~	~~0.05~~	~~0.013~~	~~43~~
1284-07a1_112	96	74	7.11080	0.19201	0.38635	0.00870	0.57	2125	24	1.37	0.24	0.011	31
1284-07a1_113	121	90	7.16625	0.19760	0.39463	0.00888	0.65	2132	25	0.58	0.45	0.012	47
1284-07a1_114	102	76	7.13123	0.20288	0.38788	0.00872	0.59	2127	25	0.82	0.37	0.012	44
~~1284-07a1_115~~	~~157~~	~~75~~	~~8.09620~~	~~0.24346~~	~~0.42540~~	~~0.01103~~	~~0.74~~	~~2233~~	~~27~~	~~5.94~~	~~0.01~~	~~0.012~~	~~40~~
1284-07a1_116	116	58	7.86177	0.22415	0.41428	0.00949	0.57	2216	26	1.15	0.28	0.012	45
~~1284-07a1_117~~	~~256~~	~~160~~	~~6.49771~~	~~0.24325~~	~~0.36423~~	~~0.01189~~	~~0.63~~	~~2047~~	~~33~~	~~3.93~~	~~0.05~~	~~0.016~~	~~24~~
1284-07a1_118	61	53	7.96583	0.26114	0.41821	0.01127	0.67	2225	30	1.69	0.19	0.013	45
1284-07a1_119	166	127	7.26599	0.26022	0.39593	0.01267	0.74	2143	31	0.08	0.78	0.014	46
1284-07a1_120	104	61	7.13341	0.25142	0.39310	0.01102	0.64	2128	32	0.21	0.65	0.015	45
DB07RIM54a		**952-15**											
95215a1_1	24	40	5.07334	0.26115	0.32550	0.01188	0.48	1828	42	0.32	0.57	0.023	47
~~95215a1_2~~	~~33~~	~~26~~	~~0.74223~~	~~0.08187~~	~~0.08959~~	~~0.00413~~	~~0.24~~	~~555~~	~~24~~	~~0.19~~	~~0.66~~	~~0.042~~	~~48~~
95215a1_3	115	46	1.16903	0.04880	0.12867	0.00383	0.58	783	20	0.33	0.56	0.025	48
95215a1_4	116	40	7.24702	0.25991	0.39103	0.01220	0.76	2146	31	0.58	0.44	0.014	47
~~95215a1_5~~	~~1870.885~~	~~144.3886~~	~~0.6135414~~	~~0.1586049~~	~~0.06152802~~	~~0.01028745~~	~~0.4751823~~	~~392~~	~~62~~	~~4.73~~	~~0.03~~	~~0.158~~	~~1~~
~~95215a1_6~~	~~206~~	~~115~~	~~6.91470~~	~~0.25027~~	~~0.36611~~	~~0.01153~~	~~0.73~~	~~2115~~	~~31~~	~~22.23~~	~~0.00~~	~~0.015~~	~~40~~
~~95215a1_7~~	~~97~~	~~50~~	~~6.65525~~	~~0.24893~~	~~0.36115~~	~~0.01158~~	~~0.62~~	~~2068~~	~~33~~	~~13.68~~	~~0.00~~	~~0.016~~	~~41~~
~~95215a1_8~~	~~31~~	~~9~~	~~7.52935~~	~~0.36424~~	~~0.39102~~	~~0.01545~~	~~0.70~~	~~2182~~	~~43~~	~~3.64~~	~~0.06~~	~~0.020~~	~~48~~
95215a1_9	68	55	0.81789	0.05687	0.09634	0.00283	0.27	595	16	0.77	0.38	0.027	48
95215a1_10	161	94	0.78238	0.03870	0.09316	0.00305	0.53	578	17	1.62	0.20	0.030	46
~~95215a1_11~~	~~188~~	~~84~~	~~0.75674~~	~~0.02775~~	~~0.09036~~	~~0.00248~~	~~0.53~~	~~563~~	~~13~~	~~3.72~~	~~0.05~~	~~0.024~~	~~47~~
95215a1_12	19	19	4.75359	0.23851	0.31070	0.01145	0.59	1771	42	1.98	0.16	0.023	47
95215a1_13	96	39	6.84982	0.23805	0.38103	0.01009	0.60	2091	31	0.34	0.56	0.015	47
~~95215a1_14~~	~~62~~	~~29~~	~~6.70802~~	~~0.24721~~	~~0.36534~~	~~0.00974~~	~~0.51~~	~~2061~~	~~32~~	~~10.65~~	~~0.00~~	~~0.016~~	~~47~~
~~95215a1_15~~	~~367~~	~~7~~	~~10.17572~~	~~0.26460~~	~~0.42898~~	~~0.01015~~	~~0.64~~	~~2464~~	~~24~~	~~72.24~~	~~0.00~~	~~0.010~~	~~47~~
~~95215a1_16~~	~~212~~	~~95~~	~~3.82797~~	~~0.10769~~	~~0.26264~~	~~0.00601~~	~~0.59~~	~~1580~~	~~23~~	~~56.42~~	~~0.00~~	~~0.014~~	~~46~~
95215a1_17	111	32	0.83815	0.03572	0.10082	0.00239	0.40	619	13	0.01	0.91	0.021	46
~~95215a1_18~~	~~99~~	~~76~~	~~0.93747~~	~~0.05012~~	~~0.10006~~	~~0.00304~~	~~0.40~~	~~625~~	~~17~~	~~19.78~~	~~0.00~~	~~0.027~~	~~45~~
~~95215a1_19~~	~~177~~	~~134~~	~~0.89025~~	~~0.03534~~	~~0.10226~~	~~0.00290~~	~~0.56~~	~~634~~	~~16~~	~~4.92~~	~~0.03~~	~~0.025~~	~~48~~
95215a1_20	224	175	1.05030	0.03949	0.11923	0.00300	0.56	727	16	0.11	0.74	0.022	48
~~95215a1_21~~	~~284.1318~~	~~248.7874~~	~~3.453673~~	~~0.5393534~~	~~0.1803211~~	~~0.02497411~~	~~0.6058064~~	~~1173~~	~~131~~	~~53.26~~	~~0.00~~	~~0.112~~	~~1~~
95215a1_22	111	121	1.48821	0.06944	0.15215	0.00392	0.39	917	20	0.79	0.37	0.022	48
95215a1_23	51	44	7.68640	0.26206	0.40262	0.01161	0.67	2196	30	0.49	0.49	0.014	47
~~95215a1_24~~	~~4~~	~~2~~	~~2.07343~~	~~0.30073~~	~~0.18840~~	~~0.01575~~	~~0.40~~	~~1123~~	~~77~~	~~0.29~~	~~0.59~~	~~0.068~~	~~47~~
95215a1_25	571	254	0.76193	0.02636	0.09361	0.00219	0.48	576	12	0.06	0.81	0.021	47
95215a1_26	272	199	0.80109	0.03183	0.09709	0.00247	0.50	597	14	0.00	0.99	0.023	46
95215a1_27	66	36	1.37296	0.09000	0.14188	0.00388	0.29	859	21	1.31	0.25	0.025	48
95215a1_28	87	47	0.86416	0.06179	0.10026	0.00264	0.25	618	15	0.96	0.33	0.025	47
95215a1_29	163	30	0.83156	0.03332	0.09931	0.00214	0.32	611	12	0.20	0.66	0.019	46
~~95215a1_30~~	~~170~~	~~69~~	~~11.70849~~	~~0.28540~~	~~0.47858~~	~~0.01000~~	~~0.59~~	~~2584~~	~~23~~	~~11.55~~	~~0.00~~	~~0.009~~	~~46~~
95215a1_31	130	70	7.33400	0.30760	0.39296	0.01450	0.81	2159	34	0.59	0.44	0.016	36
95215a1_32	179	149	0.83036	0.03340	0.10053	0.00225	0.36	617	12	0.16	0.69	0.020	48
~~95215a1_33~~	~~74~~	~~31~~	~~5.97157~~	~~0.17290~~	~~0.33816~~	~~0.00735~~	~~0.55~~	~~1955~~	~~25~~	~~38.93~~	~~0.00~~	~~0.013~~	~~44~~
95215a1_34	57	18	7.55547	0.21774	0.40027	0.00990	0.60	2180	26	0.26	0.61	0.012	47
95215a1_35	240	62	6.17419	0.12566	0.36514	0.00578	0.55	2001	18	0.24	0.62	0.009	47
95215a1_36	117	37	1.08338	0.04350	0.12042	0.00299	0.42	737	16	1.37	0.24	0.022	47
95215a1_37	44	37	0.81734	0.06648	0.09705	0.00340	0.25	599	19	0.25	0.62	0.032	48

Numéro d'analyse	[U] (ppm)	[Th] (ppm)	207Pb/ 235Uc	2 sigma	206Pb/ 238U	2 sigma	Corré-lation d'erreur	Age Concordia (Ma)	A priori erreur de 2σ	MSWD	Probabilité-de-concordance (rej <.15)	Erreur/ âge (rej >0.40)	Nombres de balayages concordants (rej <5)
95215a1_38	269	121	0.85947	0.02971	0.10227	0.00203	0.38	628	11	0.07	0.79	0.018	47
95215a1_39	123	55	7.35836	0.18671	0.38716	0.00803	0.64	2157	23	10.21	0.00	0.011	48
95215a1_40	210	51	1.31369	0.04572	0.13444	0.00279	0.45	824	15	15.81	0.00	0.018	48
95215a1_41	63	16	6.67767	0.26964	0.37272	0.00994	0.49	2062	34	1.64	0.20	0.017	48
95215a1_42	84	51	0.90235	0.04667	0.10810	0.00259	0.29	660	14	0.49	0.49	0.022	47
95215a1_43	155	21	6.54331	0.16848	0.36998	0.00789	0.60	2051	23	2.25	0.13	0.011	47
95215a1_44	95	16	0.73634	0.04003	0.08836	0.00236	0.32	548	13	1.54	0.22	0.024	47
95215a1_45	111	7	0.81617	0.04537	0.09693	0.00226	0.23	598	13	0.54	0.46	0.021	47
95215a1_46	57.83656	18.31727	5.669029	1.110192	0.2833335	0.04821695	0.746545	1936	167	16.41	0.00	0.086	3
95215a1_47	66	34	6.93661	0.25748	0.39242	0.01128	0.57	2105	33	2.03	0.15	0.016	47
95215a1_48	190	69	1.45106	0.04684	0.15105	0.00350	0.45	909	17	0.11	0.74	0.018	48
95215a1_49	137	38	6.60179	0.25237	0.35106	0.00986	0.53	2034	34	34.38	0.00	0.016	27
95215a1_50	86	24	6.57927	0.21209	0.37273	0.00882	0.49	2054	28	0.59	0.44	0.014	47
95215a1_51	564.5617	240.8225	3.715651	0.9225625	0.148209	0.03730879	0.4529713	969	205	31.18	0.00	0.212	0
95215a1_52	120	109	0.76137	0.04638	0.09062	0.00319	0.30	563	17	1.25	0.26	0.031	48
95215a1_53	67	25	6.65859	0.31861	0.37501	0.01580	0.71	2069	41	0.29	0.59	0.020	43
95215a1_54	131	74	0.87089	0.03671	0.10417	0.00253	0.38	638	14	0.08	0.78	0.022	45
95215a1_55	71	57	0.86087	0.05274	0.10516	0.00326	0.38	642	18	1.01	0.32	0.028	47
95215a1_56	123	41	2.38302	0.09772	0.20904	0.00487	0.44	1229	23	0.87	0.35	0.019	47
95215a1_57	372	57	6.18030	0.15085	0.36045	0.00757	0.71	2004	21	1.82	0.18	0.011	46
95215a1_58	188	30	6.56903	0.31497	0.37057	0.01664	0.86	2066	35	0.97	0.32	0.017	48
95215a1_59	267	133	0.81851	0.03631	0.09740	0.00314	0.53	602	17	0.73	0.39	0.028	47
95215a1_60	248	49	1.20188	0.05767	0.12460	0.00465	0.63	778	24	14.78	0.00	0.031	36
95215a1_61	81	48	1.99865	0.13657	0.17490	0.00504	0.32	1050	27	10.53	0.00	0.026	36
95215a1_62	72	18	0.85402	0.05942	0.10465	0.00289	0.26	640	16	0.83	0.36	0.025	47
95215a1_63	57	33	7.45984	0.31469	0.40198	0.01370	0.67	2167	38	0.18	0.67	0.017	47
95215a1_64	207	84	1.48108	0.06271	0.15393	0.00653	0.43	923	25	0.00	0.99	0.027	48
95215a1_65	112	81	5.24357	0.17777	0.32827	0.00846	0.63	1857	29	3.43	0.06	0.016	46
95215a1_66	46	36	0.87160	0.07307	0.10542	0.00372	0.34	645	21	0.26	0.61	0.033	48
95215a1_67	512	220	1.29625	0.05500	0.12716	0.00406	0.62	799	22	47.81	0.00	0.027	39
95215a1_68	21	17	3.65617	0.25996	0.26391	0.00931	0.34	1528	42	2.90	0.09	0.028	48
95215a1_69	114	49	0.72321	0.04397	0.08898	0.00229	0.28	550	13	0.06	0.81	0.024	48
95215a1_70	225	21	6.43396	0.20037	0.37012	0.01013	0.68	2038	27	0.15	0.70	0.013	45
95215a1_71	117	135	0.79417	0.05103	0.09023	0.00301	0.32	563	17	6.38	0.01	0.030	47
95215a1_72	427	125	6.00466	0.19453	0.35038	0.01067	0.77	1987	27	5.41	0.02	0.013	48
95215a1_73	54	21	7.21921	0.29165	0.39072	0.01336	0.75	2141	35	0.36	0.55	0.016	48
95215a1_74	814.162	311.7981	1.338374	0.1679395	0.05837947	0.006402542	0.649195	259	36	168.04	0.00	0.139	0
95215a1_75	203	121	3.10351	0.10698	0.23819	0.00775	0.67	1434	27	14.03	0.00	0.019	48
95215a1_76	1546.631	1080.496	1.00727	0.1842113	0.08004308	0.01312063	0.7913142	439	77	43.01	0.00	0.176	0
95215a1_77	223	72	5.01274	0.58589	0.27475	0.03148	0.96	2070	44	47.84	0.00	0.021	15
95215a1_78	63	31	0.43189	0.03527	0.05348	0.00185	0.30	338	11	5.51	0.02	0.033	47
95215a1_79	173	69	6.56745	0.24667	0.36610	0.01183	0.74	2063	32	5.28	0.02	0.016	46
95215a1_80	485	103	0.71320	0.02599	0.08799	0.00257	0.73	545	14	0.28	0.60	0.026	47
95215a1_81	1649.668	594.9716	2.05804	0.3254743	0.1197579	0.01660703	0.6873042	659	95	71.01	0.00	0.144	0
95215a1_82	54	46	0.79118	0.05310	0.09991	0.00281	0.29	611	16	2.22	0.14	0.026	47
95215a1_83	186	45	0.76364	0.03313	0.09193	0.00267	0.51	570	15	1.09	0.30	0.026	47
95215a1_84	62	26	6.90697	0.29628	0.37477	0.01342	0.51	2095	38	3.07	0.08	0.018	48
95215a1_85	297	142	10.29592	0.68308	0.39780	0.02828	0.79	2558	49	47.44	0.00	0.019	20
95215a1_86	153	49	6.47282	0.24166	0.36621	0.01097	0.47	2038	32	1.74	0.19	0.016	48

Numéro d'analyse	[U] (ppm)	[Th] (ppm)	207Pb/ 235Uc	2 sigma	206Pb/ 238U	2 sigma	Corré-lation d'erreur	Age Concordia (Ma)	A priori erreur de 2σ	MSWD	Probabilité-de-concordance (rej <.15)	Erreur/ âge (rej >0.40)	Nombres de balayages concordants (rej <5)
95215a1_87	352	558	0.87437	0.03335	0.10224	0.00321	0.48	633	16	1.22	0.27	0.025	48
95215a1_88	25	30	1.06908	0.11266	0.11286	0.00455	0.27	694	26	3.09	0.08	0.037	48
95215a1_89	45	38	0.81481	0.08146	0.09783	0.00380	0.21	602	21	0.02	0.88	0.036	48
95215a1_90	709	35	4.36274	0.25906	0.26940	0.01556	0.83	1771	43	52.41	0.00	0.024	12
95215a1_91	183	171	12.84432	0.29895	0.49922	0.01052	0.65	2675	22	10.71	0.00	0.008	46
95215a1_92	46	67	0.99408	0.08310	0.11051	0.00250	0.15	677	14	1.35	0.25	0.021	48
95215a1_93	74	38	9.08507	0.68266	0.39017	0.01989	0.52	2283	69	29.96	0.00	0.030	14
95215a1_94	220.6252	203.3199	6.26356	1.040869	0.3599876	0.05015434	0.7780684	2021	140	0.16	0.68	0.069	2
95215a1_95	2	4	60.24651	9.76900	0.70691	0.10141	0.72	4339	127	29.17	0.00	0.029	21
95215a1_96	805.3047	555.9577	3.864307	0.486438	0.1331442	0.01525929	0.5320624	691	86	160.22	0.00	0.125	0
95215a1_97	161	74	8.80790	0.17824	0.41889	0.00737	0.59	2319	19	21.23	0.00	0.008	48
95215a1_98	57	28	0.90816	0.05491	0.10652	0.00295	0.24	653	16	0.06	0.81	0.025	46
95215a1_99	61	58	0.83631	0.05652	0.09979	0.00258	0.20	614	15	0.06	0.80	0.024	47
95215a1_100	134	37	2.46391	0.17052	0.18774	0.00847	0.43	1162	42	33.61	0.00	0.036	9
95215a1_101	48	35	0.76121	0.06169	0.09010	0.00265	0.19	558	15	1.04	0.31	0.027	47
95215a1_102	62	74	5.13280	0.17243	0.32786	0.00806	0.44	1838	27	0.54	0.46	0.015	48
95215a1_103	22	5	7.51341	0.29848	0.39628	0.01082	0.54	2171	35	1.10	0.29	0.016	47
95215a1_104	50	39	4.33711	0.14236	0.30068	0.00627	0.35	1698	24	0.12	0.73	0.014	47
95215a1_105	104	34	5.98830	0.18883	0.33316	0.00953	0.56	1968	28	39.82	0.00	0.014	39
95215a1_106	105	71	1.58443	0.07017	0.15959	0.00364	0.39	957	19	0.49	0.48	0.020	48
95215a1_107	288	108	5.16675	0.13499	0.32398	0.00665	0.59	1843	22	8.22	0.00	0.012	47
95215a1_108	239	164	0.89012	0.04425	0.09945	0.00209	0.22	616	12	8.23	0.00	0.019	41
95215a1_109	57	52	0.39854	0.04373	0.05175	0.00161	0.11	326	10	0.90	0.34	0.030	48
95215a1_110	50	34	7.29402	0.27887	0.39833	0.01177	0.59	2149	34	0.36	0.55	0.016	48
95215a1_111	34	33	0.76196	0.06528	0.09044	0.00277	0.13	560	16	0.75	0.39	0.028	47
95215a1_112	31	43	5.17004	0.23913	0.32935	0.01086	0.44	1844	37	0.25	0.62	0.020	48
95215a1_113	247	114	6.54448	0.12461	0.36438	0.00514	0.45	2042	16	18.80	0.00	0.008	47
95215a1_114	269.5913	442.8121	3.804332	0.576955	0.19426	0.02508338	0.7554694	1061	136	81.85	0.00	0.128	0
95215a1_115	179	140	0.89816	0.03896	0.09493	0.00267	0.45	599	15	43.33	0.00	0.025	25
95215a1_116	99	148	0.87751	0.06131	0.10164	0.00275	0.24	626	16	0.88	0.35	0.025	48
95215a1_117	332	7	0.70863	0.02844	0.08851	0.00221	0.40	546	12	0.11	0.74	0.022	48
95215a1_118	543.9253	882.8033	1.846524	0.2650355	0.1197842	0.01013114	0.4251601	734	58	43.98	0.00	0.079	0
95215a1_119	182	162	1.08813	0.08929	0.10359	0.00351	0.30	642	20	25.91	0.00	0.032	13
95215a1_120	382.7072	269.1941	2.980894	0.336651	0.1237691	0.0119017	0.6164562	613	67	187.31	0.00	0.109	0
DB07RIM54a		**1284-08**											
1284-08a1_1	221	102	6.82943	0.20114	0.37441	0.00875	0.63	2089	26	6.11	0.01	0.013	20
1284-08a1_2	1183.706	310.6487	0	0	0	0	0	#VALUE!	#VALUE!	#VALUE!	#VALUE!	#VALUE!	0
1284-08a1_3	103	47	7.64922	0.21522	0.40376	0.00862	0.50	2190	25	0.06	0.80	0.011	44
1284-08a1_4	196	71	6.83279	0.15512	0.38562	0.00698	0.60	2090	20	0.91	0.34	0.010	45
1284-08a1_5	80	19	6.87917	0.18818	0.38672	0.00925	0.70	2094	24	0.54	0.46	0.011	44
1284-08a1_6	101	71	7.44632	0.22642	0.39238	0.00960	0.54	2164	27	3.05	0.08	0.013	44
1284-08a1_7	96	58	6.77052	0.20940	0.36883	0.00899	0.53	2075	27	10.13	0.00	0.013	24
1284-08a1_8	103	107	0.00807	0.00654	0.00083	0.00013	0.00	5	1	0.73	0.39	0.151	41
1284-08a1_9	1917.72	491.6219	0	0	0	0	0	#VALUE!	#VALUE!	#VALUE!	#VALUE!	#VALUE!	0
1284-08a1_10	193	71	7.06274	0.46793	0.38696	0.02434	0.90	2126	44	0.11	0.74	0.021	18
1284-08a1_11	270.7143	319.3793	0	0	0	0	0	#VALUE!	#VALUE!	#VALUE!	#VALUE!	#VALUE!	0
1284-08a1_12	32	24	9.33976	0.34660	0.44364	0.01266	0.63	2372	34	0.05	0.82	0.014	45
1284-08a1_13	127	82	7.09482	0.18414	0.39529	0.00743	0.55	2126	23	2.68	0.10	0.011	41
1284-08a1_14	104	125	0.85467	0.04182	0.10053	0.00227	0.29	619	13	0.71	0.40	0.021	39

Numéro d'analyse	[U] (ppm)	[Th] (ppm)	207Pb/ 235Uc	2 sigma	206Pb/ 238U	2 sigma	Corré-lation d'erreur	Age Concordia (Ma)	A priori erreur de 2σ	MSWD	Probabilité-de-concordance (rej <.15)	Erreur/ âge (rej >0.40)	Nombres de balayages concordants (rej <5)
1284-08a1_15	298	93	2.14010	0.05799	0.19556	0.00343	0.45	1156	16	1.13	0.29	0.014	42
~~1284-08a1_16~~	~~104.6826~~	~~36.82289~~	~~6.541817~~	~~1.124839~~	~~0.3684801~~	~~0.0472366~~	~~0.6153809~~	~~2049~~	~~151~~	~~0.11~~	~~0.74~~	~~0.074~~	~~2~~
1284-08a1_17	88	38	7.61477	0.22688	0.40858	0.00900	0.57	2188	27	1.62	0.20	0.012	44
~~1284-08a1_18~~	~~687.4109~~	~~1156.339~~	~~0~~	~~0~~	~~0~~	~~0~~	~~0~~	~~#VALUE!~~	~~#VALUE!~~	~~#VALUE!~~	~~#VALUE!~~	~~#VALUE!~~	~~0~~
1284-08a1_19	57	27	7.07216	0.23987	0.38956	0.00929	0.49	2121	29	0.00	0.99	0.014	42
~~1284-08a1_20~~	~~96~~	~~35~~	~~1.01050~~	~~0.08982~~	~~0.10746~~	~~0.00451~~	~~0.33~~	~~665~~	~~26~~	~~5.15~~	~~0.02~~	~~0.038~~	~~17~~
~~1284-08a1_21~~	~~409.7784~~	~~279.3221~~	~~0~~	~~0~~	~~0~~	~~0~~	~~0~~	~~#VALUE!~~	~~#VALUE!~~	~~#VALUE!~~	~~#VALUE!~~	~~#VALUE!~~	~~0~~
~~1284-08a1_22~~	~~1702.563~~	~~654.0624~~	~~0~~	~~0~~	~~0~~	~~0~~	~~0~~	~~#VALUE!~~	~~#VALUE!~~	~~#VALUE!~~	~~#VALUE!~~	~~#VALUE!~~	~~0~~
1284-08a1_23	136	71	3.38662	0.09935	0.26396	0.00556	0.50	1504	22	0.45	0.50	0.014	45
1284-08a1_24	82	30	6.96868	0.21781	0.38506	0.00832	0.46	2106	27	0.18	0.67	0.013	46
1284-08a1_25	46	34	7.21764	0.26576	0.38999	0.01027	0.54	2136	32	0.61	0.44	0.015	45
~~1284-08a1_26~~	~~1270.579~~	~~138.9471~~	~~0~~	~~0~~	~~0~~	~~0~~	~~0~~	~~#VALUE!~~	~~#VALUE!~~	~~#VALUE!~~	~~#VALUE!~~	~~#VALUE!~~	~~0~~
1284-08a1_27	104	51	7.70159	0.32781	0.41342	0.01603	0.69	2192	38	1.53	0.22	0.017	15
1284-08a1_28	97	37	7.06523	0.20566	0.39112	0.00852	0.60	2120	26	0.27	0.60	0.012	43
1284-08a1_29	80	62	7.31466	0.24067	0.39637	0.00984	0.62	2151	30	0.01	0.93	0.014	45
~~1284-08a1_30~~	~~880.0809~~	~~286.5059~~	~~0~~	~~0~~	~~0~~	~~0~~	~~0~~	~~#VALUE!~~	~~#VALUE!~~	~~#VALUE!~~	~~#VALUE!~~	~~#VALUE!~~	~~0~~
1284-08a1_31	52	30	7.32744	0.26846	0.40305	0.01127	0.55	2154	33	2.00	0.16	0.015	41
~~1284-08a1_32~~	~~313~~	~~101~~	~~5.14642~~	~~0.14014~~	~~0.31930~~	~~0.00776~~	~~0.58~~	~~1841~~	~~23~~	~~13.78~~	~~0.00~~	~~0.013~~	~~31~~
1284-08a1_33	137	52	7.15279	0.17118	0.39173	0.00749	0.49	2131	21	0.00	0.99	0.010	46
1284-08a1_34	157	87	7.05086	0.17239	0.38860	0.00718	0.46	2118	21	0.01	0.92	0.010	42
1284-08a1_35	151	25	6.91390	0.20504	0.38499	0.00827	0.49	2100	26	0.00	0.96	0.012	41
~~1284-08a1_36~~	~~148.3406~~	~~84.09193~~	~~5.427231~~	~~0.6303711~~	~~0.3175654~~	~~0.03266154~~	~~0.7695006~~	~~1913~~	~~95~~	~~4.61~~	~~0.03~~	~~0.050~~	~~4~~
1284-08a1_37	79	37	7.11691	0.29578	0.38506	0.01334	0.70	2129	37	1.38	0.24	0.017	16
~~1284-08a1_38~~	~~495.3765~~	~~262.8034~~	~~0~~	~~0~~	~~0~~	~~0~~	~~0~~	~~#VALUE!~~	~~#VALUE!~~	~~#VALUE!~~	~~#VALUE!~~	~~#VALUE!~~	~~0~~
1284-08a1_39	127	51	6.98060	0.25681	0.38153	0.01020	0.56	2106	32	1.64	0.20	0.015	18
1284-08a1_40	161	76	7.31554	0.19005	0.39240	0.00863	0.60	2151	23	1.08	0.30	0.011	44
~~1284-08a1_41~~	~~53~~	~~38~~	~~6.43082~~	~~0.32620~~	~~0.35764~~	~~0.01392~~	~~0.56~~	~~2029~~	~~45~~	~~5.67~~	~~0.02~~	~~0.022~~	~~33~~
1284-08a1_42	195	48	6.86170	0.16183	0.38507	0.00766	0.61	2094	21	0.19	0.66	0.010	45
1284-08a1_43	132	54	6.87334	0.19214	0.38386	0.00848	0.55	2095	25	0.00	0.96	0.012	45
1284-08a1_44	77	63	0.79070	0.03894	0.09489	0.00204	0.22	586	11	0.40	0.53	0.019	41
1284-08a1_45	125	62	6.64662	0.56318	0.36709	0.02747	0.80	2081	69	1.45	0.23	0.033	9
~~1284-08a1_46~~	~~49~~	~~10~~	~~7.56523~~	~~0.30347~~	~~0.39405~~	~~0.01530~~	~~0.72~~	~~2188~~	~~34~~	~~2.32~~	~~0.13~~	~~0.016~~	~~44~~
~~1284-08a1_47~~	~~497.9619~~	~~196.8073~~	~~0~~	~~0~~	~~0~~	~~0~~	~~0~~	~~#VALUE!~~	~~#VALUE!~~	~~#VALUE!~~	~~#VALUE!~~	~~#VALUE!~~	~~0~~
~~1284-08a1_48~~	~~153.3197~~	~~106.5778~~	~~0~~	~~0~~	~~0~~	~~0~~	~~0~~	~~#VALUE!~~	~~#VALUE!~~	~~#VALUE!~~	~~#VALUE!~~	~~#VALUE!~~	~~0~~
1284-08a1_49	112	40	7.43709	0.31487	0.39927	0.01480	0.71	2165	37	0.00	0.99	0.017	22
~~1284-08a1_50~~	~~279~~	~~88~~	~~6.95281~~	~~0.32997~~	~~0.37131~~	~~0.01526~~	~~0.75~~	~~2119~~	~~41~~	~~8.15~~	~~0.00~~	~~0.019~~	~~10~~
1284-08a1_51	47	17	7.06050	0.21986	0.38550	0.00952	0.65	2119	28	1.04	0.31	0.013	44
~~1284-08a1_52~~	~~122~~	~~64~~	~~7.09861~~	~~0.37955~~	~~0.38047~~	~~0.01626~~	~~0.66~~	~~2125~~	~~48~~	~~2.56~~	~~0.11~~	~~0.022~~	~~14~~
~~1284-08a1_53~~	~~432.4532~~	~~207.6103~~	~~0~~	~~0~~	~~0~~	~~0~~	~~0~~	~~#VALUE!~~	~~#VALUE!~~	~~#VALUE!~~	~~#VALUE!~~	~~#VALUE!~~	~~0~~
~~1284-08a1_54~~	~~98~~	~~46~~	~~6.49090~~	~~0.25293~~	~~0.36220~~	~~0.01157~~	~~0.60~~	~~2043~~	~~34~~	~~5.62~~	~~0.02~~	~~0.017~~	~~26~~
~~1284-08a1_55~~	~~177~~	~~57~~	~~6.36961~~	~~0.18420~~	~~0.35677~~	~~0.00933~~	~~0.59~~	~~2028~~	~~26~~	~~11.66~~	~~0.00~~	~~0.013~~	~~39~~
1284-08a1_56	143	93	6.89663	0.25757	0.39152	0.01405	0.72	2092	32	1.78	0.18	0.015	37
1284-08a1_57	322	255	0.85745	0.03048	0.10195	0.00258	0.56	627	14	0.15	0.70	0.022	44
~~1284-08a1_58~~	~~612.015~~	~~100.1994~~	~~0~~	~~0~~	~~0~~	~~0~~	~~0~~	~~#VALUE!~~	~~#VALUE!~~	~~#VALUE!~~	~~#VALUE!~~	~~#VALUE!~~	~~0~~
~~1284-08a1_59~~	~~537.5431~~	~~160.5603~~	~~0~~	~~0~~	~~0~~	~~0~~	~~0~~	~~#VALUE!~~	~~#VALUE!~~	~~#VALUE!~~	~~#VALUE!~~	~~#VALUE!~~	~~0~~
~~1284-08a1_60~~	~~194~~	~~76~~	~~7.21118~~	~~0.17440~~	~~0.38387~~	~~0.00788~~	~~0.66~~	~~2140~~	~~22~~	~~9.71~~	~~0.00~~	~~0.010~~	~~36~~
1284-08a1_61	82	44	7.13885	0.21700	0.39179	0.00832	0.47	2129	26	0.02	0.90	0.012	47
~~1284-08a1_62~~	~~93~~	~~81~~	~~9.78162~~	~~0.28199~~	~~0.44352~~	~~0.01095~~	~~0.57~~	~~2415~~	~~27~~	~~5.73~~	~~0.02~~	~~0.011~~	~~32~~
~~1284-08a1_63~~	~~384.113~~	~~167.5598~~	~~0~~	~~0~~	~~0~~	~~0~~	~~0~~	~~#VALUE!~~	~~#VALUE!~~	~~#VALUE!~~	~~#VALUE!~~	~~#VALUE!~~	~~0~~

Numéro d'analyse	[U] (ppm)	[Th] (ppm)	207Pb/ 235Uc	2 sigma	206Pb/ 238U	2 sigma	Corré-lation d'erreur	Age Concordia (Ma)	A priori erreur de 2σ	MSWD	Probabilité-de-concordance (rej <.15)	Erreur/ âge (rej >0.40)	Nombres de balayages concordants (rej <5)
1284-08a1_64	166.1597	63.98401	0	0	0	0	0	#VALUE!	#VALUE!	#VALUE!	#VALUE!	#VALUE!	0
1284-08a1_65	294.8715	116.3764	0	0	0	0	0	#VALUE!	#VALUE!	#VALUE!	#VALUE!	#VALUE!	0
1284-08a1_66	557.8782	354.784	0	0	0	0	0	#VALUE!	#VALUE!	#VALUE!	#VALUE!	#VALUE!	0
1284-08a1_67	741	52	0.82418	0.01988	0.09854	0.00195	0.57	608	10	0.73	0.39	0.016	45
1284-08a1_68	108	48	7.74382	0.57306	0.41438	0.02531	0.65	2199	66	0.56	0.45	0.030	9
1284-08a1_69	140.377	63.33726	0	0	0	0	0	#VALUE!	#VALUE!	#VALUE!	#VALUE!	#VALUE!	0
1284-08a1_70	36	10	7.31291	0.27460	0.38935	0.01023	0.56	2146	33	2.31	0.13	0.015	43
1284-08a1_71	74	35	6.81553	0.21479	0.37652	0.00907	0.50	2084	28	2.19	0.14	0.013	38
1284-08a1_72	105	36	7.15762	0.31482	0.38399	0.01510	0.77	2141	37	2.37	0.12	0.017	20
1284-08a1_73	110	49	7.71920	0.27508	0.40021	0.01376	0.73	2205	30	1.59	0.21	0.014	29
1284-08a1_74	405.2341	251.7502	0	0	0	0	0	#VALUE!	#VALUE!	#VALUE!	#VALUE!	#VALUE!	0
1284-08a1_75	738.1409	283.8203	0	0	0	0	0	#VALUE!	#VALUE!	#VALUE!	#VALUE!	#VALUE!	0
1284-08a1_76	122	52	7.31986	0.22726	0.39558	0.01032	0.63	2151	28	0.02	0.89	0.013	45
1284-08a1_77	88	34	7.63775	0.18193	0.40578	0.00848	0.56	2189	22	0.15	0.70	0.010	45
1284-08a1_78	380.0527	630.4518	0	0	0	0	0	#VALUE!	#VALUE!	#VALUE!	#VALUE!	#VALUE!	0
1284-08a1_79	114	60	7.05295	0.18987	0.38189	0.01013	0.64	2122	24	3.20	0.07	0.011	44
1284-08a1_80	276	381	5.80850	0.14499	0.34504	0.00749	0.63	1948	22	6.85	0.01	0.011	42
1284-08a1_81	268	189	0.88992	0.02992	0.10429	0.00235	0.46	642	13	0.75	0.38	0.020	42
1284-08a1_82	117	60	7.26882	0.20767	0.38762	0.00934	0.67	2148	25	4.18	0.04	0.012	34
1284-08a1_83	136	47	6.70081	0.18319	0.37734	0.00934	0.70	2074	24	0.31	0.58	0.012	47
1284-08a1_84	509.8441	177.2647	0	0	0	0	0	#VALUE!	#VALUE!	#VALUE!	#VALUE!	#VALUE!	0
1284-08a1_85	286.354	164.2326	6.430402	0.7881685	0.3596416	0.04117921	0.710163	2046	104	0.64	0.42	0.051	1
1284-08a1_86	119	52	7.30371	0.18541	0.39530	0.00816	0.59	2149	23	0.02	0.90	0.011	46
1284-08a1_87	778.4814	125.6845	0	0	0	0	0	#VALUE!	#VALUE!	#VALUE!	#VALUE!	#VALUE!	0
1284-08a1_88	193	72	7.22922	0.19764	0.38690	0.00922	0.66	2143	24	3.80	0.05	0.011	29
1284-08a1_89	724.4172	487.4681	0	0	0	0	0	#VALUE!	#VALUE!	#VALUE!	#VALUE!	#VALUE!	0
1284-08a1_90	162	104	6.98782	0.19850	0.38058	0.00946	0.62	2111	25	3.13	0.08	0.012	44
1284-08a1_91	177	99	6.72900	0.24789	0.36895	0.01194	0.76	2089	31	7.60	0.01	0.015	27
1284-08a1_92	470.3561	484.5338	0	0	0	0	0	#VALUE!	#VALUE!	#VALUE!	#VALUE!	#VALUE!	0
1284-08a1_93	152	132	7.17746	0.31035	0.38393	0.01511	0.77	2144	36	2.70	0.10	0.017	16
1284-08a1_94	831.7107	357.5041	0	0	0	0	0	#VALUE!	#VALUE!	#VALUE!	#VALUE!	#VALUE!	0
1284-08a1_95	96	45	4.26686	1.98484	0.23133	0.10385	0.92	1894	253	7.94	0.00	0.133	20
1284-08a1_96	187	108	0.75760	0.02936	0.09166	0.00210	0.42	567	12	0.79	0.37	0.021	38
1284-08a1_97	150	100	7.22567	0.17014	0.38993	0.00861	0.68	2142	21	1.32	0.25	0.010	42
1284-08a1_98	171	72	6.63317	0.60036	0.35002	0.02511	0.56	2048	80	6.73	0.01	0.039	5
1284-08a1_99	328.7122	189.3867	5.906704	1.89537	0.3214439	0.1015741	0.9674512	2116	116	1.86	0.17	0.055	2
1284-08a1_100	674.139	443.3085	0	0	0	0	0	#VALUE!	#VALUE!	#VALUE!	#VALUE!	#VALUE!	0
1284-08a1_101	181	79	7.36535	0.17841	0.39188	0.00856	0.61	2158	22	2.53	0.11	0.010	44
1284-08a1_102	98	32	7.88842	0.25343	0.41427	0.01091	0.66	2217	29	0.73	0.39	0.013	43
1284-08a1_103	102	72	7.41487	0.23948	0.40290	0.01155	0.72	2159	28	1.06	0.30	0.013	47
1284-08a1_104	376.5518	150.1303	0	0	0	0	0	#VALUE!	#VALUE!	#VALUE!	#VALUE!	#VALUE!	0
1284-08a1_105	94	39	5.95572	0.21453	0.34685	0.01117	0.67	1973	31	6.22	0.01	0.016	30
1284-08a1_106	144	55	7.44987	0.20744	0.40038	0.01051	0.74	2166	24	0.05	0.82	0.011	42
1284-08a1_107	71	30	7.77162	0.26560	0.40753	0.01314	0.65	2205	30	0.00	0.96	0.014	39
1284-08a1_108	430.4243	186.7079	0	0	0	0	0	#VALUE!	#VALUE!	#VALUE!	#VALUE!	#VALUE!	0
1284-08a1_109	59	41	0.86651	0.05364	0.10151	0.00306	0.26	625	17	0.48	0.49	0.027	45
1284-08a1_110	126	51	2.11595	0.08076	0.19194	0.00496	0.46	1143	23	2.56	0.11	0.020	45
1284-08a1_111	304.7783	116.4647	0	0	0	0	0	#VALUE!	#VALUE!	#VALUE!	#VALUE!	#VALUE!	0
1284-08a1_112	46	22	6.68616	0.26744	0.37339	0.01317	0.65	2073	35	1.17	0.28	0.017	43

Numéro d'analyse	[U] (ppm)	[Th] (ppm)	207Pb/ 235Uc	2 sigma	206Pb/ 238U	2 sigma	Corré-lation d'erreur	Age Concordia (Ma)	A priori erreur de 2σ	MSWD	Probabilité-de-concordance (rej <.15)	Erreur/ âge (rej >0.40)	Nombres de balayages concordants (rej <5)
1284-08a1_113	168	64	6.65314	0.33791	0.37208	0.01767	0.82	2077	40	1.06	0.30	0.019	43
1284-08a1_114	127.6276	49.04064	6.71459	0.7451119	0.3756469	0.03600984	0.6522971	2076	98	0.08	0.77	0.047	3
1284-08a1_115	69	25	7.30311	0.58493	0.37634	0.02791	0.81	2181	63	4.64	0.03	0.029	19
1284-08a1_116	111	53	7.33492	0.46027	0.39564	0.02201	0.83	2155	50	0.02	0.90	0.023	43
1284-08a1_117	106	40	1.31649	0.10743	0.14106	0.01043	0.77	853	47	0.02	0.90	0.055	47
1284-08a1_118	92	57	6.94860	0.37169	0.38748	0.01756	0.64	2105	47	0.04	0.84	0.023	47
1284-08a1_119	142	55	7.15591	0.31853	0.39625	0.01732	0.74	2126	38	0.52	0.47	0.018	44
1284-08a1_120	180	148	0.82379	0.04524	0.09850	0.00410	0.64	608	22	0.19	0.67	0.037	40
GB07RIM80A	**952-16**												
95216a1_1	2	0	19.68253	1.52761	0.54081	0.03743	0.58	3094	73	21.22	0.00	0.024	47
95216a1_2	436	306	0.63261	0.05937	0.07034	0.00483	0.64	446	29	16.23	0.00	0.064	9
95216a1_3	55	42	0.84895	0.04756	0.10075	0.00303	0.28	620	16	0.15	0.70	0.026	48
95216a1_4	370	189	6.44665	0.29678	0.34647	0.01377	0.69	2049	40	26.05	0.00	0.020	24
95216a1_5	63	34	0.75464	0.05508	0.09570	0.00240	0.23	587	14	1.34	0.25	0.023	48
95216a1_6	245	322	0.80111	0.03172	0.09778	0.00199	0.34	601	11	0.20	0.66	0.018	47
95216a1_7	20	8	0.88593	0.11169	0.11075	0.00389	0.14	674	22	1.19	0.28	0.032	45
95216a1_8	57	40	1.17996	0.05941	0.13156	0.00333	0.35	795	18	0.16	0.69	0.022	46
95216a1_9	289	192	13.79267	0.33872	0.52946	0.01034	0.66	2735	23	0.05	0.83	0.009	46
95216a1_10	353	50	4.46868	0.10847	0.29694	0.00532	0.57	1714	20	18.97	0.00	0.012	48
95216a1_11	450.1824	561.5614	1.786124	0.2526423	0.1036095	0.01083457	0.5617347	598	63	75.58	0.00	0.106	0
95216a1_12	165	102	4.69619	0.15822	0.31657	0.00835	0.64	1767	28	0.16	0.69	0.016	48
95216a1_13	137	60	6.38216	0.24469	0.36327	0.01310	0.73	2036	32	2.16	0.14	0.016	48
95216a1_14	38	26	7.10833	0.26063	0.39226	0.01227	0.64	2125	33	0.14	0.71	0.015	48
95216a1_15	29	6	7.10786	0.33276	0.35862	0.01300	0.67	2119	42	42.79	0.00	0.020	48
95216a1_16	2	3	5.43067	0.86461	0.31388	0.03391	0.50	1844	132	2.87	0.09	0.071	48
95216a1_17	3	1	36.41806	3.33503	0.66721	0.05718	0.77	3784	71	23.90	0.00	0.019	44
95216a1_18	424	158	0.75322	0.02418	0.09450	0.00198	0.45	578	11	3.09	0.08	0.019	48
95216a1_19	202	119	0.82244	0.03687	0.10138	0.00237	0.42	620	13	1.82	0.18	0.022	47
95216a1_20	0	0	0	0	0	0	0	#VALUE!	#VALUE!	#VALUE!	#VALUE!	#VALUE!	0
95216a1_21	203	305	1.60838	0.04755	0.16541	0.00357	0.59	979	17	2.35	0.13	0.017	47
95216a1_22	246	160	1.76135	0.05363	0.17184	0.00323	0.41	1026	16	0.79	0.38	0.015	48
95216a1_23	48	45	0.76105	0.06292	0.08703	0.00297	0.15	543	17	3.63	0.06	0.031	48
95216a1_24	112	75	0.88054	0.04403	0.10380	0.00301	0.41	638	17	0.16	0.69	0.026	48
95216a1_25	223	91	0.86649	0.02987	0.10311	0.00234	0.43	633	12	0.02	0.90	0.020	46
95216a1_26	2	2	8.69086	1.45201	0.34779	0.04103	0.50	2149	159	18.08	0.00	0.074	47
95216a1_27	225	106	3.73506	0.86148	0.24801	0.03058	0.47	1468	149	2.71	0.10	0.102	5
95216a1_28	407	58	4.17969	0.11601	0.27944	0.00668	0.56	1660	23	33.66	0.00	0.014	46
95216a1_29	1081.941	486.6626	0.6420671	0.09551034	0.05669825	0.006671247	0.5833057	357	41	32.98	0.00	0.114	0
95216a1_30	107	43	1.66810	0.06957	0.15999	0.00374	0.38	968	19	8.60	0.00	0.020	48
95216a1_31	5	4	5.49030	0.79393	0.27987	0.02290	0.43	1673	108	20.67	0.00	0.065	39
95216a1_32	171	87	2.24393	0.07529	0.20050	0.00537	0.46	1189	22	1.49	0.22	0.018	48
95216a1_33	1	0	26.45996	5.22651	0.60416	0.11307	0.85	3487	131	4.45	0.03	0.038	46
95216a1_34	208	137	12.73345	0.32748	0.49655	0.01010	0.68	2667	24	14.16	0.00	0.009	47
95216a1_35	31	24	0.95639	0.08149	0.10723	0.00347	0.20	660	20	1.30	0.25	0.030	48
95216a1_36	19	16	2.97419	0.22641	0.21630	0.00858	0.29	1301	41	18.65	0.00	0.032	48
95216a1_37	83	52	0.85979	0.05142	0.10266	0.00404	0.47	630	22	0.00	1.00	0.035	48
95216a1_38	73	40	3.58980	0.17848	0.23885	0.01003	0.73	1530	40	87.20	0.00	0.026	38
95216a1_39	295.9324	106.4061	4.692355	0.9130355	0.3084556	0.04829533	0.6594977	1765	163	0.13	0.71	0.092	2
95216a1_40	83	44	0.83315	0.04146	0.10125	0.00276	0.37	620	15	0.32	0.57	0.024	47

Numéro d'analyse	[U] (ppm)	[Th] (ppm)	207Pb/ 235Uc	2 sigma	206Pb/ 238U	2 sigma	Corré-lation d'erreur	Age Concordia (Ma)	A priori erreur de 2σ	MSWD	Probabilité-de-concordance (rej <.15)	Erreur/ âge (rej >0.40)	Nombres de balayages concordants (rej <5)
95216a1_41	464	186	0.82696	0.02370	0.10041	0.00219	0.56	614	11	0.64	0.42	0.019	47
95216a1_42	209	115	4.10810	0.13333	0.28917	0.00690	0.61	1652	26	1.77	0.18	0.016	48
95216a1_43	205	71	2.35727	0.07291	0.20157	0.00401	0.48	1205	19	16.85	0.00	0.016	47
95216a1_44	105	39	19.05402	0.55237	0.61454	0.01456	0.68	3038	28	3.79	0.05	0.009	47
95216a1_45	162	115	6.14395	0.18971	0.36184	0.00886	0.57	1996	27	0.10	0.75	0.014	48
95216a1_46	110	19	13.44748	0.40978	0.48598	0.01209	0.56	2710	29	53.40	0.00	0.011	43
95216a1_47	62	45	0.96283	0.05998	0.09943	0.00253	0.27	617	15	21.88	0.00	0.024	46
95216a1_48	117	36	0.84918	0.05331	0.10242	0.00350	0.46	628	20	0.11	0.75	0.031	48
95216a1_49	209	183	0.76279	0.03593	0.09147	0.00270	0.50	567	15	1.45	0.23	0.027	48
95216a1_50	223	163	6.93720	0.20566	0.36696	0.00897	0.62	2102	26	28.41	0.00	0.013	43
95216a1_51	348	282	6.67571	0.18237	0.35298	0.00708	0.63	2053	24	83.38	0.00	0.012	42
95216a1_52	36	21	9.87493	0.38224	0.43973	0.01349	0.65	2427	36	10.35	0.00	0.015	48
95216a1_53	33	31	1.10210	0.09146	0.11897	0.00445	0.28	730	25	1.74	0.19	0.034	48
95216a1_54	68	66	0.82285	0.06505	0.09394	0.00283	0.28	581	16	2.97	0.08	0.028	47
95216a1_55	149	46	0.79326	0.04119	0.09377	0.00222	0.31	580	13	1.74	0.19	0.022	48
95216a1_56	421	134	4.68458	0.12753	0.30062	0.00681	0.72	1767	23	35.20	0.00	0.013	47
95216a1_57	34	27	0.05616	0.02837	0.00643	0.00067	0.02	42	4	1.05	0.31	0.102	47
95216a1_58	60	50	2.70433	0.10590	0.22300	0.00610	0.55	1317	27	4.78	0.03	0.020	48
95216a1_59	114	69	0.76666	0.04325	0.09448	0.00242	0.34	581	14	0.12	0.73	0.024	48
95216a1_60	283	229	0.78674	0.02980	0.09162	0.00193	0.42	570	11	9.03	0.00	0.019	46
95216a1_61	144	61	0.77239	0.03096	0.09307	0.00219	0.38	576	12	0.72	0.40	0.021	47
95216a1_62	460.0308	105.5812	12.28393	1.099911	0.4104879	0.04465495	0.2422417	2588	85	17.43	0.00	0.033	4
95216a1_63	67	53	6.56117	0.21887	0.37140	0.00886	0.61	2052	29	1.18	0.28	0.014	46
95216a1_64	7	1	16.67584	0.95685	0.53271	0.02047	0.57	2902	56	21.75	0.00	0.019	47
95216a1_65	94	37	19.56956	0.55041	0.58239	0.01445	0.74	3096	25	27.26	0.00	0.008	47
95216a1_66	104	52	6.62794	0.19764	0.37509	0.00917	0.57	2063	26	0.30	0.58	0.013	47
95216a1_67	109	52	0.85430	0.05722	0.10052	0.00294	0.30	619	17	0.38	0.54	0.027	48
95216a1_68	54	61	0.90101	0.06484	0.10516	0.00309	0.19	646	17	0.18	0.67	0.026	46
95216a1_69	44	80	7.04963	0.25756	0.40136	0.01060	0.47	2127	32	6.75	0.01	0.015	47
95216a1_70	163	57	0.77538	0.04291	0.09139	0.00273	0.38	567	16	2.55	0.11	0.027	48
95216a1_71	83	39	0.96311	0.06138	0.10806	0.00502	0.56	671	27	2.66	0.10	0.040	48
95216a1_72	217	49	14.38410	1.96419	0.47711	0.06445	0.92	2920	71	9.54	0.00	0.024	8
95216a1_73	23	2	8.02633	0.45837	0.36005	0.01709	0.71	2254	50	80.73	0.00	0.022	45
95216a1_74	158	73	5.71524	0.18773	0.33362	0.00854	0.63	1927	29	23.33	0.00	0.015	35
95216a1_75	24	3	15.67387	0.68255	0.52028	0.01962	0.78	2903	37	30.68	0.00	0.013	45
95216a1_76	441	156	7.08029	0.18561	0.38015	0.00890	0.58	2122	23	6.85	0.01	0.011	48
95216a1_77	166	183	0.76440	0.05603	0.08795	0.00265	0.23	547	15	4.05	0.04	0.028	18
95216a1_78	111	50	0.79200	0.03707	0.09374	0.00211	0.28	580	12	1.89	0.17	0.020	47
95216a1_79	400	110	1.66248	0.05310	0.16384	0.00367	0.40	986	17	2.09	0.15	0.017	48
95216a1_80	230	163	0.59436	0.02118	0.07477	0.00168	0.45	467	10	1.90	0.17	0.021	47
95216a1_81	153	41	0.92222	0.04825	0.10389	0.00277	0.30	642	15	4.15	0.04	0.024	48
95216a1_82	137	18	16.34262	0.37938	0.56024	0.01065	0.64	2900	22	2.91	0.09	0.008	47
95216a1_83	180	85	11.38951	0.24698	0.47915	0.00851	0.61	2557	20	4.61	0.03	0.008	48
95216a1_84	91	45	0.82032	0.05558	0.09240	0.00262	0.30	573	15	6.31	0.01	0.027	47
95216a1_85	1029	713	0.00972	0.00179	0.00135	0.00006	0.06	9	0	1.62	0.20	0.045	40
95216a1_86	223	75	0.82951	0.03315	0.09957	0.00283	0.50	612	15	0.03	0.87	0.025	47
95216a1_87	0	0	0	0	0	0	0	#VALUE!	#VALUE!	#VALUE!	#VALUE!	#VALUE!	0
95216a1_88	127	86	0.74187	0.04071	0.09306	0.00319	0.51	571	18	0.89	0.34	0.031	48
95216a1_89	131	28	0.86299	0.05008	0.09857	0.00281	0.35	610	16	3.70	0.05	0.026	48

Numéro d'analyse	[U] (ppm)	[Th] (ppm)	207Pb/ 235Uc	2 sigma	206Pb/ 238U	2 sigma	Corré-lation d'erreur	Age Concordia (Ma)	A priori erreur de 2σ	MSWD	Probabilité-de-concordance (rej <.15)	Erreur/ âge (rej >0.40)	Nombres de balayages concordants (rej <5)
95216a1_90	120	78	5.38323	0.15447	0.33347	0.00800	0.57	1880	25	2.87	0.09	0.013	48
95216a1_91	66	81	0.87746	0.05848	0.10415	0.00308	0.25	639	17	0.00	0.95	0.027	48
95216a1_92	122	90	6.39650	0.21135	0.36182	0.01024	0.48	2028	29	3.65	0.06	0.014	47
95216a1_93	55	27	7.17446	0.25307	0.39505	0.00843	0.47	2137	29	0.48	0.49	0.014	47
95216a1_94	35	32	0.92054	0.07235	0.09419	0.00296	0.25	587	17	17.76	0.00	0.029	47
95216a1_95	63	32	1.62344	0.07470	0.15768	0.00409	0.31	955	20	5.18	0.02	0.021	48
95216a1_96	417	72	0.77284	0.02428	0.09393	0.00236	0.60	580	12	0.18	0.67	0.022	47
95216a1_97	109	45	1.49950	0.07466	0.15158	0.00464	0.48	917	24	1.94	0.16	0.026	48
95216a1_98	525	62	4.21581	0.13597	0.27893	0.00816	0.78	1697	25	48.79	0.00	0.015	47
95216a1_99	64	92	10.35622	0.37370	0.46215	0.01455	0.65	2469	33	0.53	0.47	0.013	48
95216a1_100	167	139	0.80389	0.03614	0.09771	0.00290	0.53	600	16	0.05	0.83	0.027	47
95216a1_101	215	164	0.92300	0.05094	0.09651	0.00334	0.43	608	19	28.87	0.00	0.031	22
95216a1_102	91	113	1.66926	0.07614	0.16209	0.00424	0.36	978	21	3.56	0.06	0.022	47
95216a1_103	273	20	0.81039	0.03016	0.09483	0.00215	0.40	589	12	5.00	0.03	0.020	44
95216a1_104	39	29	0.85093	0.08056	0.10415	0.00343	0.22	637	19	0.38	0.54	0.031	48
95216a1_105	106	62	1.19180	0.06158	0.12959	0.00409	0.43	789	22	0.65	0.42	0.027	48
95216a1_106	746.4095	12.18299	4.281787	0.5042468	0.1652569	0.01674417	0.5825216	963	92	164.64	0.00	0.096	0
95216a1_107	50	182	0.98664	0.07916	0.09139	0.00281	0.26	569	17	40.54	0.00	0.029	48
95216a1_108	7	0	20.42703	1.26051	0.54459	0.03187	0.83	3228	44	49.61	0.00	0.013	45
95216a1_109	178	75	2.69359	0.10159	0.21691	0.00640	0.53	1307	27	16.14	0.00	0.020	39
95216a1_110	276	190	0.28672	0.01318	0.03664	0.00094	0.39	234	6	23.78	0.00	0.025	43
95216a1_111	62	60	15.39284	1.32047	0.47026	0.03816	0.64	2881	77	31.40	0.00	0.027	25
95216a1_112	323	75	0.76343	0.02606	0.09193	0.00204	0.46	570	11	1.59	0.21	0.020	46
95216a1_113	126	103	5.97470	0.16581	0.35653	0.00764	0.59	1972	24	0.19	0.66	0.012	48
95216a1_114	100	25	3.57857	0.11472	0.26976	0.00712	0.58	1544	25	0.12	0.73	0.016	48
95216a1_115	77	57	1.02678	0.05726	0.10993	0.00275	0.24	679	15	9.08	0.00	0.022	37
95216a1_116	47	45	0.81824	0.04675	0.09316	0.00263	0.23	580	15	5.74	0.02	0.025	47
95216a1_117	224	85	0.79054	0.03451	0.09187	0.00254	0.45	573	14	7.07	0.01	0.025	46
95216a1_118	5	5	8.16840	2.03605	0.29974	0.05352	0.53	1852	248	19.11	0.00	0.134	8
95216a1_119	2	1	40.53487	5.41383	0.62947	0.07712	0.83	4015	84	41.05	0.00	0.021	45
95216a1_120	9	2	19.16855	0.85904	0.57379	0.01903	0.48	3042	44	13.94	0.00	0.014	45
DB07RIM25c		**952-17**											
95217a1_1	0	0	0	0	0	0	0	#VALUE!	#VALUE!	#VALUE!	#VALUE!	#VALUE!	0
95217a1_2	940.1063	214.5705	2.462587	1.121266	0.07645843	0.03477125	0.8369872	142	146	17.39	0.00	1.026	0
95217a1_3	386	100	2.77316	0.09731	0.23749	0.00713	0.54	1352	26	2.50	0.11	0.019	46
95217a1_4	1739.435	859.0258	0.9655185	0.1893353	0.03555808	0.006093997	0.3154646	214	38	63.38	0.00	0.177	0
95217a1_5	934	656	1.06574	0.04547	0.12051	0.00476	0.42	736	21	0.05	0.82	0.028	12
95217a1_6	553	445	0.99239	0.08513	0.10891	0.00714	0.51	681	37	2.53	0.11	0.055	5
95217a1_7	48	40	6.00884	0.22562	0.35548	0.00998	0.53	1975	32	0.64	0.42	0.016	40
95217a1_8	195	111	4.03635	0.11101	0.29410	0.00717	0.57	1643	22	1.89	0.17	0.014	39
95217a1_9	40	27	4.96435	0.27921	0.33225	0.01293	0.59	1820	46	1.93	0.16	0.025	47
95217a1_10	171.9367	55.20694	6.074821	4.051194	0.336556	0.2118415	0.9208053	2071	383	0.19	0.66	0.185	1
95217a1_11	269	233	2.07395	0.09081	0.18474	0.00591	0.65	1120	28	12.96	0.00	0.025	30
95217a1_12	0	0	0	0	0	0	0	#VALUE!	#VALUE!	#VALUE!	#VALUE!	#VALUE!	0
95217a1_13	135	249	2.86245	0.23066	0.22304	0.01517	0.70	1365	61	6.84	0.01	0.045	22
95217a1_14	1724.628	484.9037	3.99224	0.9424223	0.1429929	0.03079658	0.8010482	638	144	65.16	0.00	0.226	0
95217a1_15	213	74	3.16385	0.15623	0.24403	0.00895	0.46	1435	36	3.32	0.07	0.025	31
95217a1_16	2431.011	3585.196	0.3646283	0.06775949	0.02589606	0.003892364	0.6398587	140	24	48.19	0.00	0.168	0
95217a1_17	165	106	5.43068	0.30909	0.32777	0.01508	0.51	1881	48	3.79	0.05	0.026	25

Numéro d'analyse	[U] (ppm)	[Th] (ppm)	207Pb/ 235Uc	2 sigma	206Pb/ 238U	2 sigma	Corré-lation d'erreur	Age Concordia (Ma)	A priori erreur de 2σ	MSWD	Probabilité-de-concordance (rej <.15)	Erreur/ âge (rej >0.40)	Nombres de balayages concordants (rej <5)
95217a1_18	4028.879	919.6079	0.9157104	0.1347776	0.01766263	0.002482003	0.6576155	54	13	164.86	0.00	0.239	0
95217a1_19	132	64	0.80229	0.04142	0.09895	0.00230	0.28	606	13	0.74	0.39	0.021	45
95217a1_20	1180.029	242.7133	1.429878	0.2550709	0.06238605	0.008998503	0.4735394	345	54	70.64	0.00	0.156	0
95217a1_21	885.1611	90.28738	2.420341	0.4542249	0.1268852	0.01862388	0.630595	688	105	51.19	0.00	0.153	0
95217a1_22	666	723	14.95466	0.46745	0.55416	0.01548	0.63	2809	29	1.38	0.24	0.010	43
95217a1_23	668	30	11.45577	0.64978	0.50580	0.02633	0.35	2566	52	2.10	0.15	0.020	29
95217a1_24	242	115	13.23831	0.38695	0.51391	0.01286	0.61	2698	28	1.13	0.29	0.010	45
95217a1_25	194.5438	166.2704	8.435409	1.098118	0.3517918	0.03660287	0.7149222	2280	118	31.88	0.00	0.052	0
95217a1_26	390	309	16.40521	0.71134	0.57230	0.02366	0.83	2895	34	0.24	0.62	0.012	17
95217a1_27	125	44	2.24234	0.09837	0.20572	0.00694	0.64	1197	30	0.62	0.43	0.025	40
95217a1_28	118	152	1.30615	0.16390	0.12814	0.01041	0.49	797	56	4.31	0.04	0.071	7
95217a1_29	268	140	2.08880	0.05859	0.18961	0.00371	0.49	1133	17	6.71	0.01	0.015	46
95217a1_30	908.9144	373.735	2.781206	0.6615836	0.09944344	0.02303554	0.7316638	331	118	55.76	0.00	0.357	0
95217a1_31	199	206	0.84225	0.03610	0.10077	0.00253	0.31	619	14	0.02	0.89	0.022	43
95217a1_32	911.072	690.332	1.148715	0.2861466	0.09635621	0.01967966	0.5826604	625	113	9.07	0.00	0.181	0
95217a1_33	482	195	4.16790	0.10396	0.29894	0.00563	0.55	1671	20	2.34	0.13	0.012	48
95217a1_34	1565.337	711.6725	1.722674	0.2782608	0.0646901	0.007876403	0.668774	277	42	106.61	0.00	0.151	0
95217a1_35	154	63	3.25955	0.11776	0.25770	0.00603	0.52	1474	26	0.21	0.65	0.017	47
95217a1_36	104	113	0.73360	0.05873	0.08926	0.00270	0.21	552	15	0.19	0.67	0.028	41
95217a1_37	851	707	11.59602	0.50208	0.47874	0.01488	0.46	2566	40	2.99	0.08	0.016	41
95217a1_38	229	146	2.67385	0.34136	0.20513	0.01751	0.56	1252	85	6.92	0.01	0.068	20
95217a1_39	209	191	3.40468	0.10329	0.26434	0.00558	0.52	1508	22	0.25	0.61	0.015	46
95217a1_40	0	0	0	0	0	0	0	#VALUE!	#VALUE!	#VALUE!	#VALUE!	#VALUE!	0
95217a1_41	1183	150	0.72963	0.02369	0.09112	0.00222	0.60	560	12	0.93	0.34	0.022	46
95217a1_42	213	316	16.79200	0.48905	0.57833	0.01481	0.67	2920	27	0.65	0.42	0.009	36
95217a1_43	757	30	0.77575	0.02376	0.09465	0.00221	0.49	583	11	0.00	0.99	0.020	42
95217a1_44	658	116	10.76207	0.46373	0.45353	0.02159	0.59	2512	39	5.47	0.02	0.016	17
95217a1_45	789.7673	90.31129	4.235363	1.796058	0.1477311	0.06092418	0.966264	707	143	102.03	0.00	0.202	0
95217a1_46	239	82	2.30366	0.08110	0.21005	0.00486	0.47	1221	22	1.43	0.23	0.018	47
95217a1_47	72	21	6.51899	0.26329	0.36267	0.01147	0.61	2046	36	6.27	0.01	0.017	27
95217a1_48	1053.603	378.7584	2.381661	0.2992687	0.06228303	0.006864305	0.6868529	213	35	210.39	0.00	0.164	0
95217a1_49	289	54	2.26822	0.08502	0.20822	0.00483	0.48	1211	22	1.60	0.21	0.018	45
95217a1_50	278	130	15.47406	0.54090	0.56505	0.01728	0.49	2844	34	1.87	0.17	0.012	38
95217a1_51	740.4346	165.7954	6.475154	1.728721	0.2000453	0.0506655	0.9117305	716	170	76.51	0.00	0.237	0
95217a1_52	176	82	2.96851	0.10613	0.24432	0.00609	0.57	1403	26	0.48	0.49	0.018	44
95217a1_53	298.5761	153.0188	5.188626	1.125842	0.1618205	0.03350542	0.3852032	1000	185	47.85	0.00	0.185	0
95217a1_54	260	174	6.45329	0.24973	0.35983	0.01222	0.70	2047	33	7.82	0.01	0.016	39
95217a1_55	428.3723	226.267	2.788668	0.2560537	0.2206992	0.01641453	0.5737511	1335	67	3.32	0.07	0.050	3
95217a1_56	118	105	6.44939	0.22582	0.37151	0.01084	0.57	2039	31	0.01	0.91	0.015	47
95217a1_57	171	45	2.31961	0.09104	0.21007	0.00580	0.54	1222	26	0.59	0.44	0.021	48
95217a1_58	2531.714	795.6301	0.6251557	0.1294047	0.02581672	0.00568186	0.4958409	135	35	61.36	0.00	0.259	0
95217a1_59	105	38	3.53218	0.11830	0.27202	0.00543	0.48	1542	23	1.44	0.23	0.015	46
95217a1_60	1042.369	166.186	2.618383	0.4023052	0.08289883	0.01033721	0.6528327	338	55	126.59	0.00	0.162	0
95217a1_61	0	0	0	0	0	0	0	#VALUE!	#VALUE!	#VALUE!	#VALUE!	#VALUE!	0
95217a1_62	0	0	0	0	0	0	0	#VALUE!	#VALUE!	#VALUE!	#VALUE!	#VALUE!	0
95217a1_63	281	247	13.42669	0.58678	0.50609	0.02185	0.62	2718	40	3.51	0.06	0.015	37
95217a1_64	312	94	2.17884	0.06087	0.19780	0.00386	0.56	1170	18	1.30	0.25	0.015	39
95217a1_65	525.8503	499.0204	3.043263	0.7990271	0.2521473	0.05801646	0.826603	1409	195	0.13	0.72	0.139	1
95217a1_66	120	28	2.39959	0.09083	0.20961	0.00481	0.50	1234	23	1.41	0.24	0.019	44

Numéro d'analyse	[U] (ppm)	[Th] (ppm)	207Pb/ 235Uc	2 sigma	206Pb/ 238U	2 sigma	Corré-lation d'erreur	Age Concordia (Ma)	A priori erreur de 2σ	MSWD	Probabilité-de-concordance (rej <.15)	Erreur/ âge (rej >0.40)	Nombres de balayages concordants (rej <5)
95217a1_67	0	0	0	0	0	0	0	#VALUE!	#VALUE!	#VALUE!	#VALUE!	#VALUE!	0
95217a1_68	1202.974	720.6922	2.59993	0.6170503	0.09119308	0.02056507	0.8520259	191	84	61.77	0.00	0.441	0
95217a1_69	374.655	191.5467	4.925357	0.5095236	0.3122314	0.0267955	0.6042281	1803	87	1.10	0.29	0.048	3
95217a1_70	124	117	1.83706	0.13202	0.16460	0.00934	0.58	1026	45	11.31	0.00	0.043	34
95217a1_71	166	112	11.93925	1.41916	0.44128	0.05164	0.79	2678	91	9.84	0.00	0.034	8
95217a1_72	155	92	6.72758	0.24262	0.37559	0.01170	0.69	2079	32	1.05	0.31	0.015	45
95217a1_73	151	92	4.60511	0.14195	0.30886	0.00600	0.53	1745	24	1.22	0.27	0.014	44
95217a1_74	182	50	2.23154	0.08067	0.20493	0.00478	0.46	1196	22	0.66	0.42	0.018	46
95217a1_75	262	146	2.25991	0.08761	0.20034	0.00615	0.66	1194	27	3.21	0.07	0.022	35
95217a1_76	305	200	12.84108	0.84246	0.48987	0.03160	0.89	2715	43	5.15	0.02	0.016	9
95217a1_77	995.3855	519.9713	1.445462	0.2663397	0.1466936	0.01762292	0.4214398	892	88	0.20	0.65	0.099	1
95217a1_78	1650.089	840.0583	1.723423	0.3735618	0.06513049	0.01336963	0.8179936	165	60	71.10	0.00	0.366	0
95217a1_79	161	97	0.83749	0.04559	0.09926	0.00250	0.34	611	14	0.39	0.53	0.023	46
95217a1_80	143	48	0.75946	0.03618	0.09178	0.00223	0.36	567	13	0.56	0.45	0.022	36
95217a1_81	630.2186	176.3273	2.236402	0.6844223	0.08242391	0.02232502	0.5693973	394	128	28.63	0.00	0.325	0
95217a1_82	507.1882	161.9031	4.285235	1.087563	0.1257239	0.03149538	0.7344482	381	156	52.02	0.00	0.410	0
95217a1_83	17.78189	14.87602	19.40055	21.63021	0.4335763	0.4366351	0.7498584	3244	854	1.36	0.24	0.263	2
95217a1_84	261	180	4.29784	0.12980	0.29715	0.00700	0.59	1691	25	1.24	0.27	0.015	37
95217a1_85	131	74	16.44442	0.92574	0.54502	0.02680	0.75	2928	49	6.20	0.01	0.017	13
95217a1_86	47	29	5.11621	0.26037	0.32400	0.01027	0.48	1828	40	1.52	0.22	0.022	45
95217a1_87	193	165	3.36803	0.10700	0.25766	0.00555	0.57	1490	23	2.33	0.13	0.016	45
95217a1_88	221	104	5.74406	0.16265	0.34728	0.00755	0.64	1937	25	1.38	0.24	0.013	46
95217a1_89	235	77	15.81674	1.65012	0.52030	0.05021	0.78	2916	84	5.11	0.02	0.029	7
95217a1_90	82	28	2.21589	0.09947	0.20207	0.00617	0.49	1186	28	0.00	0.98	0.023	47
95217a1_91	576.2501	101.102	2.231747	0.7159617	0.08063894	0.02138961	0.5605894	389	122	25.88	0.00	0.314	0
95217a1_92	214	249	1.86084	0.11238	0.16935	0.00743	0.52	1022	36	9.34	0.00	0.035	10
95217a1_93	178	89	3.46826	0.11313	0.26117	0.00594	0.47	1511	24	2.72	0.10	0.016	40
95217a1_94	71	44	6.53324	0.24205	0.37150	0.01027	0.61	2049	33	0.53	0.47	0.016	46
95217a1_95	339.6749	279.1457	6.26899	0.920135	0.2507311	0.03198418	0.5906032	1665	150	66.97	0.00	0.090	0
95217a1_96	269	234	13.83699	0.54847	0.50935	0.01760	0.77	2762	34	10.65	0.00	0.012	19
95217a1_97	155	61	2.17860	0.08225	0.19931	0.00505	0.52	1173	23	0.04	0.84	0.020	43
95217a1_98	579.8892	476.3092	3.143739	0.552966	0.1682586	0.02242846	0.6455601	996	124	47.69	0.00	0.124	0
95217a1_99	236	129	11.89442	0.38078	0.48227	0.01289	0.74	2608	29	8.86	0.00	0.011	40
95217a1_100	171	197	14.88659	0.46899	0.53248	0.01495	0.75	2822	28	6.25	0.01	0.010	45
95217a1_101	238	216	2.12504	0.10574	0.18508	0.00659	0.48	1127	31	12.01	0.00	0.027	15
95217a1_102	185	274	2.41217	0.08579	0.20694	0.00515	0.55	1232	23	7.07	0.01	0.019	41
95217a1_103	135	47	6.40723	0.18192	0.37276	0.00813	0.63	2034	25	0.37	0.54	0.012	46
95217a1_104	183.1045	53.71997	3.548786	0.4232682	0.1203999	0.01093172	0.629348	543	58	190.66	0.00	0.108	0
95217a1_105	2955.005	1047.944	1.095309	0.2271316	0.04168205	0.007958663	0.4684104	221	48	60.48	0.00	0.219	0
95217a1_106	375	268	7.04125	0.18485	0.37961	0.00745	0.54	2111	23	8.04	0.00	0.011	31
95217a1_107	174	109	4.60928	0.19361	0.31004	0.01184	0.77	1753	34	0.27	0.60	0.019	48
95217a1_108	306	220	0.74581	0.13030	0.09456	0.00379	0.15	582	22	0.20	0.66	0.038	7
95217a1_109	290	205	4.88736	0.14937	0.32645	0.00790	0.61	1801	26	1.88	0.17	0.014	42
95217a1_110	172	120	13.51129	0.34995	0.52054	0.01140	0.69	2718	24	0.64	0.42	0.009	46
95217a1_111	305	240	5.10568	0.25839	0.32061	0.01422	0.73	1843	42	3.41	0.06	0.023	15
95217a1_112	359	186	0.78135	0.03363	0.09455	0.00263	0.43	584	14	0.17	0.68	0.025	38
95217a1_113	3	0	14.67468	1.56559	0.57049	0.04535	0.62	2787	102	2.42	0.12	0.037	39
95217a1_114	284	193	16.25352	0.58817	0.54817	0.01834	0.81	2916	29	8.03	0.00	0.010	38
95217a1_115	491	143	2.72092	0.09778	0.22204	0.00675	0.65	1328	27	9.18	0.00	0.020	38

Numéro d'analyse	[U] (ppm)	[Th] (ppm)	207Pb/ 235Uc	2 sigma	206Pb/ 238U	2 sigma	Corré-lation d'erreur	Age Concordia (Ma)	A priori erreur de 2σ	MSWD	Probabilité-de-concordance (rej <.15)	Erreur/ âge (rej >0.40)	Nombres de balayages concordants (rej <5)
95217a1_116	1	1	38.99153	19.39977	0.70954	0.30480	0.27	3721	496	0.28	0.60	0.133	41
95217a1_117	249	311	6.41508	0.51837	0.35265	0.02357	0.72	2044	70	5.03	0.02	0.034	5
95217a1_118	213	242	16.13455	0.52214	0.55348	0.01543	0.79	2899	28	4.22	0.04	0.010	40
95217a1_119	2	2	32.76942	4.00221	0.77556	0.08714	0.80	3537	104	1.17	0.28	0.029	47
DB07RIM74a		**952-18**											
95218a1_1	294	191	5.94270	0.17049	0.35217	0.00834	0.64	1968	25	2.15	0.14	0.013	48
95218a1_2	388	168	1.78364	0.04740	0.17720	0.00360	0.52	1044	16	1.78	0.18	0.015	48
95218a1_3	146	35	2.42695	0.08087	0.21257	0.00510	0.56	1248	22	0.45	0.50	0.018	46
95218a1_4	252	100	5.12285	0.15362	0.33123	0.00828	0.62	1840	26	0.08	0.78	0.014	48
95218a1_5	181	49	2.77865	0.07862	0.23487	0.00508	0.57	1352	20	0.79	0.37	0.015	47
95218a1_6	327	311	1.77074	0.07229	0.15246	0.00551	0.56	988	26	78.10	0.00	0.026	40
95218a1_7	95	131	4.93387	0.21109	0.32692	0.01054	0.57	1810	36	0.52	0.47	0.020	48
95218a1_8	482	174	2.57507	0.08008	0.20839	0.00549	0.61	1277	23	37.76	0.00	0.018	41
95218a1_9	362	175	4.94350	0.10969	0.32051	0.00588	0.58	1808	19	2.18	0.14	0.010	47
95218a1_10	64	38	1.75573	0.09226	0.17534	0.00474	0.33	1038	24	0.48	0.49	0.023	47
95218a1_11	19	15	3.16850	0.21833	0.24782	0.00978	0.40	1437	44	0.61	0.43	0.030	48
95218a1_12	153	99	1.47083	0.05602	0.14406	0.00356	0.48	885	19	20.83	0.00	0.021	48
95218a1_13	141	47	3.66238	0.11065	0.27294	0.00653	0.64	1562	24	0.34	0.56	0.015	47
95218a1_14	14	11	1.84591	0.19882	0.17980	0.00780	0.24	1065	40	0.01	0.92	0.038	48
95218a1_15	538	250	2.14312	0.07087	0.17636	0.00461	0.61	1112	22	115.68	0.00	0.020	40
95218a1_16	173	108	2.33331	0.08139	0.21037	0.00483	0.51	1226	22	0.44	0.51	0.018	48
95218a1_17	282	115	3.61277	0.10438	0.26280	0.00612	0.54	1542	23	12.63	0.00	0.015	47
95218a1_18	66	85	2.18938	0.08544	0.20116	0.00480	0.45	1180	22	0.08	0.78	0.019	47
95218a1_19	131	83	2.97291	0.09825	0.24388	0.00524	0.46	1403	22	0.20	0.65	0.016	47
95218a1_20	47	99	1.45606	0.08582	0.14691	0.00465	0.39	891	25	2.65	0.10	0.028	48
95218a1_21	217	57	3.46476	0.08918	0.26906	0.00509	0.55	1523	20	2.22	0.14	0.013	47
95218a1_22	98	56	3.54532	0.13087	0.26545	0.00762	0.62	1534	29	1.62	0.20	0.019	37
95218a1_23	114	69	2.66837	0.10318	0.22503	0.00487	0.37	1313	22	0.55	0.46	0.017	47
95218a1_24	76	89	7.74273	0.20417	0.41601	0.00854	0.56	2203	24	6.29	0.01	0.011	47
95218a1_25	91	18	2.92814	0.10152	0.24231	0.00591	0.52	1392	24	0.45	0.50	0.018	48
95218a1_26	200	65	2.28705	0.08751	0.20408	0.00541	0.53	1203	25	0.67	0.41	0.020	47
95218a1_27	109	80	2.66516	0.09745	0.22951	0.00566	0.42	1324	24	0.73	0.39	0.018	48
95218a1_28	174	53	3.42223	0.10056	0.26309	0.00656	0.58	1509	23	0.08	0.78	0.015	47
95218a1_29	49	13	2.31024	0.10836	0.20607	0.00552	0.31	1211	25	0.17	0.68	0.021	47
95218a1_30	82	23	3.36569	0.10554	0.25863	0.00586	0.55	1492	24	1.07	0.30	0.016	48
95218a1_31	205	88	5.88866	0.18113	0.36019	0.00979	0.60	1959	27	1.59	0.21	0.014	48
95218a1_32	110	26	2.36205	0.08707	0.21148	0.00546	0.48	1233	24	0.15	0.70	0.019	47
95218a1_33	317.8537	155.6677	1.227156	0.3492834	0.1066019	0.02448629	0.6414783	684	140	5.70	0.02	0.204	2
95218a1_34	352	112	2.31677	0.05654	0.20742	0.00419	0.58	1217	17	0.06	0.80	0.014	47
95218a1_35	168	92	2.74942	0.09333	0.23013	0.00517	0.46	1339	22	0.24	0.62	0.017	47
95218a1_36	206	146	11.34563	0.31670	0.47272	0.01170	0.67	2559	26	8.38	0.00	0.010	45
95218a1_37	274	66	3.48755	0.10004	0.26903	0.00680	0.74	1523	23	0.94	0.33	0.015	47
95218a1_38	288	176	2.27968	0.07204	0.20297	0.00542	0.58	1203	22	1.48	0.22	0.018	48
95218a1_39	37	20	11.22250	0.45153	0.45586	0.01425	0.62	2543	38	23.84	0.00	0.015	47
95218a1_40	78	9	3.47516	0.12791	0.26611	0.00726	0.53	1521	28	0.00	0.97	0.018	47
95218a1_41	206	56	3.13146	0.11087	0.25230	0.00743	0.70	1441	27	0.52	0.47	0.019	44
95218a1_42	226	28	12.57769	0.30444	0.50947	0.01076	0.62	2648	23	0.10	0.75	0.009	47
95218a1_43	153	46	5.53604	0.17607	0.34492	0.00938	0.70	1906	27	0.06	0.80	0.014	47
95218a1_44	86	41	3.59643	0.12062	0.27126	0.00672	0.58	1548	26	0.01	0.92	0.017	47

Numéro d'analyse	[U] (ppm)	[Th] (ppm)	207Pb/ 235Uc	2 sigma	206Pb/ 238U	2 sigma	Corré-lation d'erreur	Age Concordia (Ma)	A priori erreur de 2σ	MSWD	Probabilité-de-concordance (rej <.15)	Erreur/ âge (rej >0.40)	Nombres de balayages concordants (rej <5)
95218a1_45	54	24	3.02682	0.11437	0.24472	0.00549	0.40	1413	24	0.04	0.84	0.017	47
95218a1_46	82	20	1.84723	0.08233	0.17779	0.00539	0.50	1059	26	0.27	0.61	0.024	48
95218a1_47	507	138	2.23376	0.05767	0.20398	0.00399	0.57	1193	17	0.28	0.59	0.014	47
95218a1_48	79	83	5.45418	0.18750	0.33839	0.00881	0.56	1891	29	0.66	0.42	0.015	47
95218a1_49	95	67	2.92629	0.10724	0.23132	0.00576	0.50	1368	25	10.47	0.00	0.018	47
95218a1_50	136	11	1.63588	0.06919	0.16185	0.00474	0.54	975	23	1.78	0.18	0.024	48
95218a1_51	59	78	1.44529	0.08538	0.14957	0.00515	0.43	902	27	0.29	0.59	0.030	48
95218a1_52	128	122	4.81367	0.14275	0.31767	0.00736	0.59	1786	25	0.37	0.55	0.014	47
95218a1_53	524	359	2.74852	0.09736	0.21159	0.00620	0.66	1318	26	69.02	0.00	0.020	36
95218a1_54	159	43	3.55200	0.11807	0.26706	0.00663	0.51	1535	25	0.72	0.40	0.016	48
95218a1_55	81	47	4.76947	0.18812	0.32045	0.00947	0.58	1781	33	0.42	0.52	0.018	48
95218a1_56	55	13	2.33550	0.12646	0.20966	0.00600	0.35	1226	28	0.04	0.85	0.023	47
95218a1_57	143	83	4.39498	0.13368	0.29482	0.00708	0.57	1704	25	9.60	0.00	0.015	48
95218a1_58	86	32	2.06827	0.09866	0.18901	0.00629	0.55	1128	29	1.97	0.16	0.026	48
95218a1_59	32	12	3.54821	0.17402	0.27193	0.00875	0.50	1543	36	0.36	0.55	0.023	48
95218a1_60	298	227	2.35746	0.08846	0.19494	0.00566	0.60	1199	26	39.59	0.00	0.021	46
95218a1_61	549.4351	361.2998	2.074348	0.367137	0.1654587	0.02247657	0.5572304	1021	114	7.08	0.01	0.112	1
95218a1_62	52	18	1.73296	0.11098	0.16701	0.00621	0.45	1004	32	1.57	0.21	0.032	48
95218a1_63	44	19	2.30775	0.11536	0.20674	0.00641	0.46	1213	30	0.03	0.86	0.025	47
95218a1_64	170	25	1.98147	0.07652	0.18501	0.00485	0.45	1102	22	1.17	0.28	0.020	48
95218a1_65	69	23	2.39521	0.12845	0.20871	0.00596	0.36	1229	29	0.92	0.34	0.023	48
95218a1_66	116	41	3.51102	0.17311	0.27007	0.01012	0.62	1532	38	0.32	0.57	0.025	47
95218a1_67	68	18	1.95530	0.09024	0.18887	0.00620	0.42	1107	27	0.74	0.39	0.025	47
95218a1_68	50	31	7.73547	0.31259	0.41267	0.01408	0.71	2197	36	1.30	0.25	0.016	47
95218a1_69	131	24	2.40058	0.09852	0.21034	0.00532	0.44	1236	25	0.62	0.43	0.020	48
95218a1_70	123	93	6.07221	0.21050	0.35349	0.01073	0.71	1991	30	3.71	0.05	0.015	47
95218a1_71	303	10	2.28709	0.08102	0.20731	0.00598	0.65	1209	25	0.25	0.62	0.020	48
95218a1_72	54	20	2.11021	0.11357	0.19619	0.00772	0.61	1153	35	0.02	0.88	0.030	47
95218a1_73	98	42	2.25243	0.10168	0.20549	0.00778	0.64	1199	31	0.19	0.66	0.026	48
95218a1_74	220	126	8.69328	0.84557	0.39540	0.03729	0.92	2406	55	10.53	0.00	0.023	20
95218a1_75	247	55	2.78049	0.09562	0.23346	0.00668	0.67	1351	26	0.03	0.86	0.019	48
95218a1_76	45	27	3.91067	0.24914	0.25323	0.00953	0.50	1513	45	38.49	0.00	0.030	37
95218a1_77	79	54	5.65939	0.21202	0.34921	0.01078	0.71	1925	32	0.10	0.76	0.017	46
95218a1_78	133	46	3.47293	0.13622	0.26357	0.00868	0.71	1521	31	0.69	0.40	0.020	48
95218a1_79	326	174	2.04226	0.06852	0.18036	0.00534	0.68	1119	23	31.17	0.00	0.020	46
95218a1_80	90	42	2.21592	0.08716	0.20337	0.00659	0.71	1187	27	0.33	0.56	0.023	47
95218a1_81	92	34	4.91139	0.17766	0.33253	0.00888	0.61	1809	30	7.27	0.01	0.017	47
95218a1_82	92	157	6.22800	0.19785	0.35216	0.00914	0.54	2002	28	11.78	0.00	0.014	47
95218a1_83	46	15	2.82388	0.12919	0.23047	0.00671	0.49	1350	30	2.01	0.16	0.022	46
95218a1_84	234	125	5.19305	0.16554	0.33168	0.00874	0.59	1851	27	0.08	0.77	0.015	48
95218a1_85	110	69	2.25871	0.07191	0.20726	0.00558	0.47	1203	21	1.12	0.29	0.018	47
95218a1_86	242	112	3.70311	0.12772	0.27883	0.00750	0.54	1575	27	0.67	0.41	0.017	47
95218a1_87	67	25	5.75860	0.24798	0.34729	0.01315	0.73	1943	36	0.72	0.40	0.019	48
95218a1_88	725	487	1.38339	0.08132	0.12826	0.00689	0.71	845	34	52.45	0.00	0.041	41
95218a1_89	68	21	2.34585	0.09978	0.20685	0.00583	0.45	1219	26	0.79	0.37	0.022	47
95218a1_90	116	66	4.54004	0.16328	0.30990	0.00922	0.52	1739	30	0.01	0.92	0.017	48
95218a1_91	116	87	4.74551	0.16472	0.32033	0.00937	0.57	1776	29	0.72	0.39	0.016	47
95218a1_92	58	56	1.92879	0.13589	0.15331	0.00637	0.38	955	34	48.21	0.00	0.035	44
95218a1_93	58	38	3.02805	0.14988	0.24308	0.00871	0.57	1411	36	0.38	0.54	0.026	48

Numéro d'analyse	[U] (ppm)	[Th] (ppm)	207Pb/ 235Uc	2 sigma	206Pb/ 238U	2 sigma	Corré-lation d'erreur	Age Concordia (Ma)	A priori erreur de 2σ	MSWD	Probabilité-de-concordance (rej <.15)	Erreur/ âge (rej >0.40)	Nombres de balayages concordants (rej <5)
95218a1_94	139	36	3.58205	0.13822	0.27825	0.00912	0.63	1547	31	4.23	0.04	0.020	48
95218a1_95	54	28	2.14098	0.10722	0.19975	0.00724	0.54	1167	32	0.45	0.50	0.027	48
95218a1_96	250	65	2.08698	0.06844	0.19405	0.00475	0.46	1144	20	0.01	0.92	0.018	48
95218a1_97	187	46	3.37520	0.12606	0.26203	0.00796	0.56	1499	29	0.01	0.93	0.019	48
95218a1_98	262	50	4.99415	0.13614	0.32412	0.00775	0.64	1819	23	0.34	0.56	0.013	48
95218a1_99	196	115	4.58761	0.14104	0.31163	0.00839	0.63	1747	26	0.01	0.92	0.015	48
95218a1_100	454.952	502.2948	3.224269	0.463194	0.199643	0.02508307	0.6983885	1347	118	34.88	0.00	0.087	3
95218a1_101	0	0	0	0	0	0	0	#VALUE!	#VALUE!	#VALUE!	#VALUE!	#VALUE!	0
95218a1_102	174	44	4.46902	0.14640	0.30682	0.00737	0.55	1725	26	0.00	0.99	0.015	46
95218a1_103	36	15	1.77724	0.14179	0.17167	0.00513	0.24	1024	27	0.36	0.55	0.026	48
95218a1_104	406	177	6.11766	0.15963	0.35573	0.00773	0.54	1990	23	3.91	0.05	0.011	45
95218a1_105	108	120	5.70669	0.17643	0.35380	0.00887	0.60	1933	27	1.45	0.23	0.014	46
95218a1_106	369	312	1.38628	0.04233	0.13627	0.00324	0.57	853	16	49.22	0.00	0.019	46
95218a1_107	37	2	1.82282	0.12143	0.17193	0.00530	0.26	1030	27	1.79	0.18	0.026	48
95218a1_108	728.6756	285.9086	1.68351	0.3076638	0.1292122	0.02013935	0.7723282	800	115	28.31	0.00	0.143	0
95218a1_109	38	22	2.81872	0.13265	0.23649	0.00693	0.38	1364	30	0.16	0.69	0.022	47
95218a1_110	68	72	5.68180	0.19531	0.34721	0.00957	0.55	1928	30	0.14	0.70	0.015	48
95218a1_111	110	45	1.97667	0.07789	0.18986	0.00445	0.40	1115	21	0.88	0.35	0.019	46
95218a1_112	24	17	4.48897	0.20949	0.30859	0.00925	0.42	1731	35	0.04	0.83	0.020	47
95218a1_113	67	29	1.54828	0.32950	0.15030	0.00614	0.12	904	34	0.49	0.48	0.038	25
95218a1_114	106	106	3.50991	0.11059	0.27500	0.00607	0.46	1541	23	6.27	0.01	0.015	46
95218a1_115	233	66	2.06554	0.06131	0.19309	0.00411	0.53	1138	19	0.00	0.95	0.016	48
95218a1_116	60	66	5.65923	0.20274	0.34751	0.00897	0.57	1925	30	0.02	0.89	0.016	46
95218a1_117	223	139	3.83737	0.10621	0.28158	0.00629	0.61	1600	22	0.01	0.92	0.014	47
95218a1_118	63	39	1.63253	0.07796	0.16363	0.00465	0.41	979	23	0.15	0.70	0.024	47
95218a1_119	144	87	1.88490	0.07063	0.18109	0.00510	0.63	1075	24	0.06	0.81	0.022	46
95218a1_120	76	51	3.13581	0.11888	0.24397	0.00797	0.60	1437	29	4.20	0.04	0.020	47
CT07RIM55_1		**952-19**											
95219a1_1	494	383	0.89689	0.04782	0.09926	0.00257	0.36	615	15	10.23	0.00	0.024	37
95219a1_2	49	60	0.75418	0.11799	0.09195	0.00542	0.28	567	31	0.01	0.91	0.055	45
95219a1_3	214	145	5.19568	0.35100	0.28123	0.01447	0.63	1771	59	78.16	0.00	0.034	22
95219a1_4	404	317	11.47942	0.43917	0.45998	0.01522	0.74	2589	34	27.37	0.00	0.013	46
95219a1_5	1158	964	0.82241	0.03780	0.09853	0.00333	0.59	607	18	0.15	0.70	0.030	46
95219a1_6	728	913	0.81475	0.03461	0.09789	0.00286	0.57	603	16	0.13	0.72	0.026	44
95219a1_7	762	735	0.85203	0.03614	0.09912	0.00305	0.53	616	16	3.22	0.07	0.027	45
95219a1_8	901	868	0.84977	0.03539	0.09904	0.00309	0.51	615	16	2.86	0.09	0.027	46
95219a1_9	32	49	5.66036	0.43414	0.32872	0.01574	0.43	1887	61	5.88	0.02	0.032	46
95219a1_10	947	977	1.26297	0.22971	0.10723	0.00772	0.32	660	45	10.56	0.00	0.068	9
95219a1_11	432	411	0.78051	0.04385	0.09265	0.00296	0.45	574	17	1.57	0.21	0.029	45
95219a1_12	314	142	2.77495	0.12803	0.22938	0.00795	0.63	1344	33	1.09	0.30	0.025	46
95219a1_13	212	391	0.77464	0.05709	0.09261	0.00328	0.36	573	19	0.53	0.47	0.033	45
95219a1_14	889	950	0.82683	0.04189	0.09957	0.00387	0.59	612	20	0.00	1.00	0.033	46
95219a1_15	406	345	0.82469	0.03365	0.09628	0.00281	0.50	599	15	4.15	0.04	0.025	45
95219a1_16	108	183	0.86052	0.08964	0.09763	0.00432	0.30	604	25	1.52	0.22	0.041	46
95219a1_17	733	566	0.83851	0.03277	0.09786	0.00249	0.44	607	14	3.47	0.06	0.022	46
95219a1_18	951	914	0.86144	0.03888	0.09993	0.00355	0.57	622	19	3.02	0.08	0.030	45
95219a1_19	843	590	0.82666	0.03664	0.09829	0.00273	0.48	606	15	0.60	0.44	0.025	45
95219a1_20	1222	804	0.84051	0.03506	0.09786	0.00251	0.53	606	14	4.24	0.04	0.024	45
95219a1_21	304	446	0.99696	0.06997	0.09888	0.00450	0.49	624	26	32.38	0.00	0.041	46

Numéro d'analyse	[U] (ppm)	[Th] (ppm)	207Pb/ 235Uc	2 sigma	206Pb/ 238U	2 sigma	Corré-lation d'erreur	Age Concordia (Ma)	A priori erreur de 2σ	MSWD	Probabilité-de-concordance (rej <.15)	Erreur/ âge (rej >0.40)	Nombres de balayages concordants (rej <5)
95219a1_22	362	748	0.84707	0.04234	0.09851	0.00361	0.62	612	20	3.12	0.08	0.033	46
95219a1_23	342	489	0.88491	0.06203	0.10430	0.00356	0.28	640	20	0.06	0.81	0.031	46
95219a1_24	225	150	0.84172	0.06082	0.09982	0.00416	0.42	615	23	0.18	0.67	0.038	46
95219a1_25	362	443	0.84991	0.04322	0.10140	0.00304	0.39	623	17	0.03	0.87	0.027	45
95219a1_26	493	817	0.77136	0.03589	0.08792	0.00269	0.44	553	15	14.05	0.00	0.027	43
95219a1_27	1066	42	0.78856	0.02846	0.09521	0.00272	0.62	588	14	0.33	0.57	0.025	46
95219a1_28	789	669	0.85662	0.03371	0.09732	0.00298	0.46	612	15	9.88	0.00	0.025	46
95219a1_29	234	141	1.12585	0.05726	0.12290	0.00389	0.38	753	20	1.75	0.19	0.027	45
95219a1_30	245	261	1.85080	0.08835	0.17569	0.00591	0.53	1054	28	1.70	0.19	0.027	45
95219a1_31	639	757	0.95681	0.05497	0.09754	0.00321	0.41	612	18	34.88	0.00	0.030	21
95219a1_32	229	223	0.83916	0.05325	0.10400	0.00299	0.29	634	17	1.70	0.19	0.026	45
95219a1_33	383	552	1.01934	0.07570	0.10606	0.00389	0.36	658	22	11.60	0.00	0.034	37
95219a1_34	474	932	0.86239	0.03948	0.10021	0.00222	0.30	618	12	2.13	0.14	0.020	45
95219a1_35	326	186	0.83123	0.04956	0.10058	0.00308	0.36	617	17	0.07	0.79	0.028	46
95219a1_36	995	816	0.81002	0.03125	0.09633	0.00262	0.48	596	14	1.28	0.26	0.024	39
95219a1_37	1099	975	0.79600	0.03754	0.09791	0.00293	0.43	600	16	0.53	0.47	0.026	46
95219a1_38	718.941	983.0747	1.638689	0.3442539	0.0891891	0.01656682	0.7758335	365	88	56.37	0.00	0.240	0
95219a1_39	334	362	0.88613	0.04081	0.09832	0.00318	0.56	616	18	16.78	0.00	0.029	43
95219a1_40	446	495	0.83156	0.04115	0.09483	0.00263	0.38	590	15	7.35	0.01	0.025	45
95219a1_41	273	511	1.12525	0.09993	0.10264	0.00445	0.42	635	26	34.16	0.00	0.041	22
95219a1_42	171	165	0.82620	0.07767	0.09663	0.00316	0.19	596	18	0.59	0.44	0.030	46
95219a1_43	1162	1240	0.94227	0.07564	0.09595	0.00525	0.44	611	29	18.48	0.00	0.048	10
95219a1_44	643	782	0.91049	0.06094	0.09860	0.00357	0.31	616	20	9.51	0.00	0.032	16
95219a1_45	467	317	0.88892	0.04712	0.10369	0.00278	0.40	638	16	0.66	0.42	0.025	46
95219a1_46	777	1101	0.80866	0.03213	0.09745	0.00243	0.46	600	13	0.07	0.79	0.022	46
95219a1_47	1322	1246	0.86009	0.03370	0.09991	0.00310	0.70	621	17	5.20	0.02	0.027	45
95219a1_48	1093	1023	0.86113	0.03576	0.09684	0.00306	0.51	610	16	13.97	0.00	0.027	46
95219a1_49	741	744	0.87654	0.03277	0.10447	0.00254	0.46	640	14	0.03	0.87	0.021	45
95219a1_50	369	789	0.97791	0.06350	0.10283	0.00318	0.32	639	18	14.23	0.00	0.028	41
95219a1_51	1181.771	2341.885	0.8866308	0.1801595	0.07081869	0.0110274	0.6411809	422	66	24.26	0.00	0.157	0
95219a1_52	401	510	0.84663	0.04386	0.09903	0.00253	0.35	611	14	1.42	0.23	0.023	46
95219a1_53	70	56	1.72516	0.16014	0.13930	0.00701	0.44	857	39	36.07	0.00	0.046	40
95219a1_54	170	234	1.46679	0.10955	0.12596	0.00522	0.41	783	29	45.81	0.00	0.037	40
95219a1_55	1083	642	0.81810	0.03548	0.09991	0.00270	0.52	612	15	0.60	0.44	0.025	45
95219a1_56	88	37	2.87385	0.17448	0.23824	0.00896	0.52	1376	40	0.01	0.91	0.029	46
95219a1_57	93	157	5.62542	0.57928	0.30949	0.02896	0.84	1993	76	19.26	0.00	0.038	19
95219a1_58	76	33	0.14978	0.06068	0.01516	0.00139	0.04	98	9	2.63	0.10	0.090	46
95219a1_59	1126	1345	0.83064	0.03475	0.09698	0.00271	0.51	602	15	3.76	0.05	0.025	46
95219a1_60	132	114	7.25633	0.31157	0.35617	0.01187	0.49	2107	38	50.88	0.00	0.018	45
95219a1_61	556.3608	655.1548	2.944704	0.5287302	0.1325118	0.02097544	0.5365065	769	120	60.68	0.00	0.156	0
95219a1_62	606.5121	589.1116	1.266588	0.3183049	0.1098166	0.01765681	0.4589024	693	100	5.24	0.02	0.145	2
95219a1_63	268	362	0.80550	0.05375	0.09407	0.00311	0.28	583	17	1.74	0.19	0.030	46
95219a1_64	1953.369	1693.839	1.030649	0.1884765	0.09544417	0.00891118	0.2281714	606	50	6.74	0.01	0.083	2
95219a1_65	509	506	0.87588	0.04597	0.10273	0.00362	0.47	633	19	0.48	0.49	0.031	45
95219a1_66	184	147	5.67709	0.25535	0.31303	0.01200	0.61	1914	39	55.37	0.00	0.021	36
95219a1_67	266	197	6.43267	0.25525	0.37509	0.01138	0.53	2039	35	0.52	0.47	0.017	46
95219a1_68	89	42	0.91015	0.09612	0.09243	0.00445	0.36	576	26	12.09	0.00	0.045	45
95219a1_69	969	249	1.96523	0.13812	0.17213	0.01149	0.84	1062	49	27.16	0.00	0.046	9
95219a1_70	665	589	0.83987	0.02850	0.09883	0.00259	0.48	613	13	2.10	0.15	0.022	45

Numéro d'analyse	[U] (ppm)	[Th] (ppm)	207Pb/ 235Uc	2 sigma	206Pb/ 238U	2 sigma	Corré-lation d'erreur	Age Concordia (Ma)	A priori erreur de 2σ	MSWD	Probabilité-de-concordance (rej <.15)	Erreur/ âge (rej >0.40)	Nombres de balayages concordants (rej <5)
95219a1_71	127	160	0.78569	0.06480	0.09622	0.00386	0.31	592	22	0.04	0.85	0.037	45
95219a1_72	136	69	6.46364	0.34625	0.36093	0.01686	0.82	2060	43	4.89	0.03	0.021	46
95219a1_73	1739	1861	0.94927	0.04904	0.09724	0.00339	0.56	612	19	50.28	0.00	0.032	28
95219a1_74	200	127	6.62923	0.26495	0.36942	0.01352	0.75	2071	34	2.77	0.10	0.016	46
95219a1_75	235	215	15.53724	1.18647	0.52684	0.04030	0.83	2892	57	4.31	0.04	0.020	31
95219a1_76	424.4999	2329.783	4.242777	0.8344552	0.125149	0.02408736	0.6035655	529	133	78.20	0.00	0.251	0
95219a1_77	229	54	1.19074	0.06596	0.12758	0.00497	0.56	783	26	2.56	0.11	0.033	46
95219a1_78	917	574	0.80412	0.03580	0.09683	0.00286	0.47	597	16	0.12	0.73	0.026	46
95219a1_79	1124	648	0.80715	0.03429	0.09639	0.00288	0.55	596	16	0.77	0.38	0.026	46
95219a1_80	86	85	2.29368	0.14023	0.20578	0.00809	0.44	1208	37	0.03	0.86	0.030	46
95219a1_81	535	485	0.92459	0.03593	0.10814	0.00325	0.59	663	17	0.11	0.74	0.025	45
95219a1_82	502	217	0.86128	0.05670	0.10185	0.00354	0.38	626	20	0.14	0.71	0.032	45
95219a1_83	87	121	0.80937	0.07693	0.09749	0.00374	0.28	600	21	0.01	0.91	0.036	46
95219a1_84	57	86	0.80623	0.08531	0.09961	0.00500	0.31	610	28	0.25	0.62	0.046	46
95219a1_85	228	181	0.75106	0.05027	0.09110	0.00343	0.39	564	19	0.23	0.63	0.034	46
95219a1_86	463	461	0.82136	0.04325	0.09531	0.00333	0.42	594	18	3.37	0.07	0.030	45
95219a1_87	644	1018	0.95846	0.07190	0.09801	0.00505	0.53	620	29	22.21	0.00	0.046	25
95219a1_88	181	87	5.29887	0.74492	0.28662	0.03831	0.87	2001	91	21.81	0.00	0.046	29
95219a1_89	193	101	5.34979	0.20396	0.32192	0.00887	0.56	1859	32	17.92	0.00	0.017	45
95219a1_90	1041	815	0.81939	0.03951	0.09803	0.00359	0.69	605	20	0.32	0.57	0.033	45
95219a1_91	1011	1035	0.86179	0.04072	0.09851	0.00336	0.59	614	19	6.94	0.01	0.030	42
95219a1_92	685	642	0.81482	0.03656	0.09870	0.00286	0.43	606	15	0.03	0.87	0.025	46
95219a1_93	251	153	0.74440	0.05733	0.09359	0.00314	0.27	575	18	0.50	0.48	0.031	46
95219a1_94	133	133	5.23660	0.23356	0.32790	0.01135	0.66	1857	38	2.17	0.14	0.021	45
95219a1_95	428	486	0.84680	0.04108	0.09656	0.00356	0.59	605	19	8.28	0.00	0.032	46
95219a1_96	5	11	113.79190	16.22776	1.04773	0.14496	0.89	4881	83	1.41	0.23	0.017	38
95219a1_97	67	70	3.75531	0.21729	0.26246	0.00767	0.30	1531	35	9.81	0.00	0.023	45
95219a1_98	664	1386	0.83201	0.03388	0.09818	0.00259	0.43	607	14	1.43	0.23	0.023	45
95219a1_99	1066	763	0.80193	0.02952	0.09604	0.00270	0.58	594	14	0.81	0.37	0.024	46
95219a1_100	414	868	0.78722	0.03602	0.09546	0.00289	0.41	588	15	0.03	0.86	0.026	46
95219a1_101	1164	1064	0.87367	0.04100	0.09780	0.00286	0.46	610	16	11.81	0.00	0.026	27
95219a1_102	336	348	0.83726	0.05597	0.09800	0.00272	0.26	605	15	0.93	0.34	0.026	42
95219a1_103	1324	1013	0.95241	0.12991	0.10112	0.00323	0.13	623	19	2.82	0.09	0.030	19
95219a1_104	493	586	0.83071	0.03834	0.09833	0.00236	0.39	606	13	0.84	0.36	0.022	45
95219a1_105	392	493	13.57224	0.39454	0.51276	0.01364	0.63	2726	27	5.05	0.02	0.010	45
95219a1_106	469	720	0.79491	0.03802	0.09786	0.00393	0.50	597	19	0.50	0.48	0.032	46
95219a1_107	1075	1126	0.90135	0.04474	0.09295	0.00325	0.51	592	18	50.91	0.00	0.031	28
95219a1_108	913	853	0.77686	0.03524	0.09540	0.00325	0.52	586	17	0.15	0.70	0.029	46
95219a1_109	452	576	0.88050	0.04808	0.10220	0.00318	0.46	630	18	1.34	0.25	0.028	46
95219a1_110	60	21	0.71286	0.10232	0.08871	0.00419	0.19	548	24	0.00	0.96	0.044	46
95219a1_111	253	428	0.80894	0.05879	0.10083	0.00374	0.36	615	21	1.16	0.28	0.034	46
95219a1_112	361	280	0.84965	0.03472	0.09731	0.00240	0.37	605	13	7.22	0.01	0.022	45
95219a1_113	377	179	0.85260	0.04997	0.09878	0.00318	0.40	611	18	2.02	0.16	0.029	44
95219a1_114	1162	1252	0.92249	0.03367	0.09995	0.00275	0.59	631	15	40.79	0.00	0.024	45
95219a1_115	182	175	1.79705	0.13150	0.17387	0.00667	0.39	1037	34	0.21	0.65	0.033	45
95219a1_116	204	203	0.80046	0.05903	0.09800	0.00348	0.39	602	20	0.13	0.72	0.033	46
95219a1_117	430	444	0.81840	0.04018	0.09869	0.00267	0.39	607	15	0.00	0.97	0.024	45
95219a1_118	373	193	0.76613	0.04622	0.09077	0.00256	0.29	563	15	1.72	0.19	0.026	46
95219a1_119	1058	1072	0.84112	0.02977	0.09993	0.00265	0.56	616	14	0.59	0.44	0.023	45

Numéro d'analyse	[U] (ppm)	[Th] (ppm)	207Pb/ 235Uc	2 sigma	206Pb/ 238U	2 sigma	Corré-lation d'erreur	Age Concordia (Ma)	A priori erreur de 2σ	MSWD	Probabilité-de-concordance (rej <.15)	Erreur/ âge (rej >0.40)	Nombres de balayages concordants (rej <5)
95219a1_120	1053	1652	0.80480	0.05659	0.08499	0.00342	0.35	538	20	21.37	0.00	0.036	15
DB07RIM62a		**952-20**											
95220a1_1	111	64	0.79174	0.05263	0.09295	0.00272	0.34	575	16	1.76	0.18	0.027	45
95220a1_2	230	358	0.82218	0.03122	0.09824	0.00218	0.47	605	12	0.41	0.52	0.020	47
95220a1_3	67	24	0.38311	0.04175	0.04154	0.00121	0.11	264	7	17.81	0.00	0.028	45
95220a1_4	145	59	1.76279	0.07027	0.17271	0.00463	0.56	1029	23	0.16	0.69	0.022	47
95220a1_5	101	84	0.81477	0.05599	0.09897	0.00342	0.38	608	19	0.05	0.83	0.032	46
95220a1_6	158	106	6.55607	0.18036	0.37022	0.00771	0.61	2052	24	2.52	0.11	0.012	48
95220a1_7	206	152	0.77993	0.03301	0.09578	0.00222	0.42	589	12	0.22	0.64	0.021	44
95220a1_8	135	65	1.10254	0.04863	0.12291	0.00223	0.26	748	12	0.38	0.54	0.016	45
95220a1_9	64	31	6.95719	0.18774	0.38463	0.00708	0.56	2105	24	0.33	0.57	0.011	47
95220a1_10	127	99	5.04790	0.16616	0.30167	0.00758	0.61	1802	28	70.97	0.00	0.016	33
95220a1_11	184	105	3.61142	0.08885	0.26950	0.00462	0.56	1548	19	1.79	0.18	0.012	47
95220a1_12	65	24	17.29989	0.44500	0.57767	0.01165	0.62	2952	25	0.42	0.51	0.008	48
95220a1_13	106	95	0.80051	0.03980	0.09712	0.00154	0.23	597	9	0.00	0.97	0.015	47
95220a1_14	345	288	11.91535	0.27209	0.47480	0.00825	0.57	2594	22	39.32	0.00	0.008	46
95220a1_15	734	164	2.53065	0.06668	0.22010	0.00460	0.70	1281	19	0.03	0.87	0.015	48
95220a1_16	793	511	2.34995	0.05922	0.21200	0.00427	0.66	1230	18	1.86	0.17	0.014	48
95220a1_17	303	219	0.94884	0.03401	0.10865	0.00213	0.33	668	12	1.93	0.16	0.017	47
95220a1_18	189	101	0.78547	0.03574	0.09500	0.00215	0.38	586	12	0.13	0.72	0.021	46
95220a1_19	190	101	5.96784	0.15871	0.35720	0.00740	0.56	1971	23	0.02	0.88	0.012	47
95220a1_20	334	102	2.26664	0.05986	0.20603	0.00419	0.62	1203	18	0.38	0.54	0.015	46
95220a1_21	351	182	0.84364	0.03130	0.09296	0.00218	0.47	583	12	35.22	0.00	0.021	40
95220a1_22	20	8	1.10182	0.13417	0.11686	0.00362	0.12	715	21	1.56	0.21	0.029	48
95220a1_23	150	71	3.00930	0.09020	0.24405	0.00547	0.52	1409	22	0.03	0.86	0.015	47
95220a1_24	177	232	0.90774	0.04798	0.10137	0.00332	0.45	631	18	7.53	0.01	0.029	35
95220a1_25	87	102	3.11817	0.09611	0.24794	0.00529	0.52	1434	22	0.55	0.46	0.015	47
95220a1_26	557	377	2.27621	0.05054	0.20485	0.00337	0.57	1204	15	0.21	0.65	0.012	48
95220a1_27	377	253	6.79664	0.14019	0.38102	0.00538	0.50	2084	18	0.14	0.71	0.009	47
95220a1_28	34	38	6.15838	0.25750	0.38240	0.01017	0.48	2020	34	16.31	0.00	0.017	47
95220a1_29	248	120	0.82783	0.02707	0.10034	0.00180	0.42	615	10	0.31	0.58	0.016	47
95220a1_30	108	71	0.81876	0.04166	0.09502	0.00218	0.31	588	12	3.73	0.05	0.021	45
95220a1_31	435	291	0.86709	0.03338	0.09791	0.00338	0.43	620	16	9.70	0.00	0.026	47
95220a1_32	302	288	4.77504	0.11051	0.31778	0.00492	0.51	1780	18	0.02	0.88	0.010	48
95220a1_33	290	207	1.11180	0.03866	0.12363	0.00258	0.44	754	14	0.72	0.40	0.018	47
95220a1_34	673	616	3.53046	0.14694	0.24745	0.00961	0.72	1542	33	40.53	0.00	0.021	24
95220a1_35	300	137	2.34517	0.08930	0.20834	0.00667	0.70	1225	27	0.22	0.64	0.022	48
95220a1_36	336	219	0.88446	0.02931	0.10227	0.00234	0.49	633	13	4.33	0.04	0.020	38
95220a1_37	202	71	0.79819	0.03720	0.09572	0.00267	0.48	591	15	0.45	0.50	0.025	47
95220a1_38	36	34	6.27986	0.30678	0.36216	0.01414	0.69	2017	43	0.92	0.34	0.021	48
95220a1_39	195	153	5.74603	0.18733	0.34585	0.00948	0.73	1941	28	2.22	0.14	0.014	47
95220a1_40	718.0008	869.1121	4.314596	0.7200524	0.1675577	0.02508189	0.8499355	996	116	193.18	0.00	0.116	0
95220a1_41	181	86	5.78969	0.17494	0.34698	0.00881	0.75	1949	26	3.02	0.08	0.013	47
95220a1_42	146	50	6.67375	0.24006	0.36379	0.01083	0.72	2077	31	14.89	0.00	0.015	47
95220a1_43	95	104	1.04317	0.06010	0.11651	0.00380	0.43	714	21	1.11	0.29	0.029	47
95220a1_44	315	224	11.04569	0.35687	0.45555	0.01321	0.80	2561	27	30.28	0.00	0.010	44
95220a1_45	309	130	6.76609	0.21248	0.37277	0.01048	0.70	2087	27	4.73	0.03	0.013	47
95220a1_46	323	43	6.11375	0.15942	0.35689	0.00789	0.64	1993	23	2.95	0.09	0.011	47
95220a1_47	305	229	0.74532	0.02737	0.09326	0.00249	0.59	571	14	1.79	0.18	0.024	48

Numéro d'analyse	[U] (ppm)	[Th] (ppm)	207Pb/ 235Uc	2 sigma	206Pb/ 238U	2 sigma	Corré-lation d'erreur	Age Concordia (Ma)	A priori erreur de 2σ	MSWD	Probabilité-de-concordance (rej <.15)	Erreur/ âge (rej >0.40)	Nombres de balayages concordants (rej <5)
95220a1_48	107	67	0.85347	0.03646	0.10213	0.00234	0.32	627	13	0.00	0.98	0.020	47
95220a1_49	290	273	4.39365	0.10972	0.29475	0.00571	0.58	1703	21	15.06	0.00	0.012	48
95220a1_50	150	135	0.77916	0.03641	0.08824	0.00220	0.40	551	13	15.94	0.00	0.023	33
95220a1_51	1647	867	2.24502	0.05714	0.19629	0.00400	0.49	1182	17	15.47	0.00	0.014	48
95220a1_52	140	78	6.35202	0.19189	0.36111	0.00801	0.56	2020	26	5.72	0.02	0.013	43
95220a1_53	23	22	0.92160	0.10806	0.10548	0.00418	0.21	648	24	0.34	0.56	0.037	48
95220a1_54	214	91	3.26818	0.09170	0.25296	0.00557	0.49	1468	21	2.26	0.13	0.014	47
95220a1_55	111	78	0.77691	0.05057	0.09725	0.00327	0.29	595	18	0.96	0.33	0.030	46
95220a1_56	306	71	2.27970	0.06287	0.20570	0.00365	0.40	1206	16	0.00	0.99	0.014	47
95220a1_57	123	61	0.74165	0.03740	0.09162	0.00215	0.27	565	12	0.02	0.87	0.021	47
95220a1_58	88	144	0.90077	0.04846	0.10025	0.00238	0.32	620	14	8.03	0.00	0.022	47
95220a1_59	298	209	19.69847	0.45816	0.58663	0.01137	0.63	3086	22	30.52	0.00	0.007	37
95220a1_60	108	86	4.93010	0.13662	0.30527	0.00566	0.49	1774	22	46.00	0.00	0.012	44
95220a1_61	90	96	0.77825	0.04570	0.09262	0.00212	0.23	573	12	1.05	0.31	0.021	47
95220a1_62	459	36	4.37591	0.18885	0.28462	0.01014	0.62	1697	36	21.70	0.00	0.021	9
95220a1_63	415	172	1.83709	0.04718	0.17427	0.00332	0.51	1049	15	6.96	0.01	0.015	48
95220a1_64	233	149	0.87600	0.02894	0.10384	0.00220	0.43	638	12	0.06	0.80	0.019	46
95220a1_65	80	46	1.47427	0.06931	0.15199	0.00391	0.32	915	20	0.27	0.60	0.022	48
95220a1_66	43	50	1.74890	0.10788	0.17585	0.00478	0.32	1040	25	0.77	0.38	0.024	48
95220a1_67	162	131	0.86979	0.03700	0.10594	0.00274	0.35	645	14	1.74	0.19	0.022	48
95220a1_68	178	224	0.81364	0.03824	0.10086	0.00250	0.27	616	13	1.78	0.18	0.022	48
95220a1_69	389	96	3.66228	0.09970	0.26990	0.00541	0.55	1557	21	3.66	0.06	0.013	48
95220a1_70	447	467	6.21592	0.14959	0.36035	0.00692	0.63	2006	21	3.18	0.07	0.011	47
95220a1_71	235	98	0.84908	0.02631	0.10002	0.00199	0.41	618	11	1.76	0.18	0.017	46
95220a1_72	401	222	0.97183	0.02941	0.11168	0.00222	0.46	685	12	0.88	0.35	0.017	46
95220a1_73	75	14	1.17026	0.50861	0.09001	0.00487	0.04	557	29	3.01	0.08	0.052	22
95220a1_74	85	78	0.69655	0.04144	0.08823	0.00256	0.32	544	14	0.46	0.50	0.027	48
95220a1_75	172	114	0.91008	0.04075	0.10514	0.00273	0.41	648	15	1.44	0.23	0.023	46
95220a1_76	163	52	2.87657	0.12809	0.23183	0.00727	0.61	1364	32	3.93	0.05	0.023	46
95220a1_77	522	626	0.73457	0.02283	0.08993	0.00210	0.60	557	12	0.50	0.48	0.021	46
95220a1_78	115	52	6.91369	0.26859	0.37239	0.01276	0.80	2119	32	9.76	0.00	0.015	47
95220a1_79	292	318	0.80732	0.03786	0.09284	0.00335	0.69	582	19	12.39	0.00	0.032	47
95220a1_80	123	107	1.61822	0.07955	0.16389	0.00511	0.42	978	25	0.00	0.95	0.025	48
95220a1_81	33	54	2.16186	0.43410	0.12743	0.01801	0.40	807	102	25.84	0.00	0.126	11
95220a1_82	81	20	2.25038	0.15183	0.20343	0.00856	0.54	1195	41	0.02	0.89	0.034	26
95220a1_83	134	107	0.90342	0.04692	0.11168	0.00307	0.39	675	17	5.67	0.02	0.025	47
95220a1_84	219	70	1.94048	0.07220	0.18116	0.00531	0.56	1088	24	2.93	0.09	0.022	47
95220a1_85	143	80	1.01322	0.06326	0.10441	0.00386	0.44	653	22	21.06	0.00	0.033	34
95220a1_86	90	60	0.94569	0.05722	0.11176	0.00296	0.32	682	17	0.24	0.63	0.024	48
95220a1_87	68	45	6.79267	0.21359	0.37946	0.00981	0.69	2086	28	0.43	0.51	0.013	48
95220a1_88	75	60	0.89650	0.04546	0.10595	0.00231	0.30	649	13	0.00	0.96	0.020	46
95220a1_89	147	147	0.73717	0.03269	0.09017	0.00188	0.30	557	11	0.20	0.66	0.019	47
95220a1_90	126	122	0.76941	0.04335	0.09500	0.00205	0.19	584	12	0.19	0.66	0.020	46
95220a1_91	54	25	0.81755	0.06224	0.09559	0.00318	0.29	591	18	1.10	0.30	0.031	48
95220a1_92	186	102	5.22425	0.12605	0.32775	0.00601	0.51	1851	20	5.04	0.02	0.011	47
95220a1_93	115	6	0.94980	0.07397	0.10340	0.00292	0.25	638	17	5.11	0.02	0.026	21
95220a1_94	138	65	8.74890	0.19834	0.42863	0.00763	0.54	2311	21	0.75	0.39	0.009	47
95220a1_95	505	259	6.22820	0.14096	0.34537	0.00598	0.58	1995	20	66.09	0.00	0.010	47
95220a1_96	133	109	1.60024	0.05189	0.15809	0.00355	0.50	957	17	5.74	0.02	0.018	46

Numéro d'analyse	[U] (ppm)	[Th] (ppm)	207Pb/ 235Uc	2 sigma	206Pb/ 238U	2 sigma	Corré-lation d'erreur	Age Concordia (Ma)	A priori erreur de 2σ	MSWD	Probabilité-de-concordance (rej <.15)	Erreur/ âge (rej >0.40)	Nombres de balayages concordants (rej <5)
95220a1_97	276	96	1.65454	0.04171	0.16498	0.00307	0.48	988	14	0.67	0.41	0.014	46
95220a1_98	183	272	0.81249	0.03267	0.09456	0.00182	0.27	586	10	5.26	0.02	0.017	46
95220a1_99	515	123	3.41166	0.08438	0.26458	0.00504	0.43	1509	18	0.25	0.62	0.012	46
95220a1_100	338	287	0.75089	0.02061	0.09220	0.00161	0.40	569	9	0.00	0.98	0.015	47
95220a1_101	245	91	0.98586	0.03172	0.11666	0.00200	0.31	707	11	3.09	0.08	0.015	46
95220a1_102	340	153	5.81072	0.13462	0.34903	0.00664	0.57	1947	20	1.89	0.17	0.010	48
95220a1_103	272	217	2.27645	0.05572	0.20587	0.00384	0.57	1206	16	0.04	0.84	0.014	48
95220a1_104	58.35442	53.81839	3.02106	0.4459902	0.1028143	0.009378088	0.4860725	543	53	112.21	0.00	0.098	0
95220a1_105	467	4	6.36924	0.13749	0.36809	0.00605	0.56	2027	19	0.40	0.53	0.009	48
95220a1_106	909	73	7.75856	0.19027	0.40442	0.00882	0.62	2204	22	0.77	0.38	0.010	48
95220a1_107	206	74	1.14234	0.03365	0.12512	0.00285	0.42	767	14	2.45	0.12	0.018	47
95220a1_108	58	22	0.81269	0.06289	0.09610	0.00262	0.22	593	15	0.49	0.48	0.025	47
95220a1_109	638	223	5.85194	0.13212	0.33225	0.00624	0.65	1952	20	83.13	0.00	0.010	32
95220a1_110	122	84	2.95813	0.07886	0.23002	0.00387	0.36	1364	17	29.04	0.00	0.012	48
95220a1_111	158	53	0.76460	0.04322	0.09344	0.00180	0.23	576	10	0.00	0.95	0.018	48
95220a1_112	579	178	5.25412	0.12541	0.31610	0.00619	0.65	1857	21	61.11	0.00	0.011	47
95220a1_113	37	13	5.95575	0.21732	0.34243	0.00879	0.57	1954	31	16.01	0.00	0.016	47
95220a1_114	735	422	6.05866	0.13544	0.35776	0.00601	0.52	1982	19	1.04	0.31	0.010	47
95220a1_115	148	65	3.21487	0.09922	0.25600	0.00534	0.49	1464	22	0.43	0.51	0.015	47
95220a1_116	257	127	0.84218	0.02654	0.10057	0.00186	0.39	618	10	0.13	0.72	0.016	47
95220a1_117	141	83	4.21292	0.12120	0.29021	0.00592	0.50	1666	23	6.22	0.01	0.014	48
95220a1_118	138	62	0.76970	0.03077	0.09249	0.00220	0.35	573	12	1.09	0.30	0.021	48
95220a1_119	75	22	0.96392	0.05947	0.11817	0.00321	0.29	713	18	5.17	0.02	0.025	48
95220a1_120	375	150	6.37939	0.18013	0.35470	0.00917	0.60	2030	25	17.13	0.00	0.012	48
DB07RIM65a Gadel		**952-21**											
95221a1_1	164	77	6.8344	0.1826	0.3788	0.0082	0.5943	2090	24	1.63	0.20	0.011	46
95221a1_2	162	106	2.1407	0.0627	0.1945	0.0036	0.4581	1153	17	2.47	0.12	0.015	47
95221a1_3	168	60	2.4011	0.0737	0.2111	0.0042	0.4521	1239	19	0.51	0.48	0.015	47
95221a1_4	102	14	3.2059	0.0958	0.2579	0.0054	0.4811	1466	21	2.53	0.11	0.015	46
95221a1_5	246	95	1.5480	0.0517	0.1605	0.0034	0.4167	955	16	0.88	0.35	0.017	48
95221a1_6	116	37	1.9756	0.0980	0.1956	0.0070	0.4120	1124	29	5.22	0.02	0.026	46
95221a1_7	69	34	2.6394	0.0993	0.2224	0.0055	0.4363	1304	24	1.28	0.26	0.018	47
95221a1_8	220	98	2.1898	0.0563	0.1992	0.0034	0.4718	1174	16	0.55	0.46	0.013	47
95221a1_9	131	132	6.8639	0.1835	0.3886	0.0076	0.5544	2097	24	2.22	0.14	0.011	47
95221a1_10	117	90	7.2781	0.1906	0.3972	0.0075	0.5243	2148	23	0.45	0.50	0.011	48
95221a1_11	354	88	2.4111	0.0630	0.2140	0.0039	0.5382	1247	17	0.17	0.68	0.014	48
95221a1_12	54	30	6.7548	0.2504	0.3816	0.0118	0.5000	2080	33	0.03	0.87	0.016	47
95221a1_13	185	81	2.3983	0.0795	0.2122	0.0052	0.4971	1241	22	0.02	0.89	0.018	47
95221a1_14	1549	469	6.5050	0.1441	0.3761	0.0065	0.6280	2047	20	0.94	0.33	0.010	47
95221a1_15	116	47	7.2057	0.2160	0.3946	0.0098	0.5704	2137	27	0.13	0.72	0.013	46
95221a1_16	596	36	1.6324	0.0383	0.1643	0.0030	0.5846	982	14	0.09	0.76	0.014	47
95221a1_17	73	21	2.2850	0.1059	0.1997	0.0044	0.3715	1182	22	4.28	0.04	0.019	47
95221a1_18	121	122	11.6754	0.2867	0.4852	0.0088	0.5881	2578	23	3.38	0.07	0.009	47
95221a1_19	851	741	1.4526	0.0369	0.1531	0.0028	0.5607	914	14	0.99	0.32	0.015	47
95221a1_20	69	13	2.8567	0.1172	0.2371	0.0058	0.5058	1371	27	0.01	0.94	0.019	47
95221a1_21	111	37	2.1387	0.0659	0.1975	0.0041	0.5167	1162	19	0.00	0.95	0.016	48
95221a1_22	299	143	4.1995	0.0988	0.2914	0.0049	0.5430	1667	19	5.61	0.02	0.011	47
95221a1_23	658	160	2.2865	0.0574	0.2031	0.0037	0.5121	1202	16	3.04	0.08	0.014	48
95221a1_24	22	12	1.6966	0.1554	0.1667	0.0060	0.2782	996	32	0.21	0.64	0.032	44

Numéro d'analyse	[U] (ppm)	[Th] (ppm)	207Pb/ 235Uc	2 sigma	206Pb/ 238U	2 sigma	Corré-lation d'erreur	Age Concordia (Ma)	A priori erreur de 2σ	MSWD	Probabilité-de-concordance (rej <.15)	Erreur/ âge (rej >0.40)	Nombres de balayages concordants (rej <5)
95221a1_25	186	63	2.2127	0.0603	0.2002	0.0043	0.5568	1183	18	0.69	0.41	0.015	47
95221a1_26	115	88	5.7737	0.1676	0.3516	0.0082	0.5486	1942	25	0.00	0.99	0.013	46
95221a1_27	18	7	2.5612	0.1903	0.2145	0.0082	0.3353	1265	39	1.64	0.20	0.031	46
95221a1_28	200	129	14.5522	0.4307	0.5360	0.0135	0.5903	2788	28	0.72	0.40	0.010	48
~~95221a1_29~~	~~93~~	~~62~~	~~2.6824~~	~~0.1146~~	~~0.2200~~	~~0.0067~~	~~0.4292~~	~~1306~~	~~28~~	~~5.27~~	~~0.02~~	~~0.022~~	~~48~~
95221a1_30	70	35	3.0973	0.1234	0.2486	0.0067	0.4567	1432	28	0.00	0.96	0.019	48
95221a1_31	96	81	4.7572	0.1527	0.3142	0.0072	0.4944	1773	26	1.01	0.32	0.015	48
95221a1_32	33	39	1.7679	0.1133	0.1767	0.0057	0.3414	1044	29	0.50	0.48	0.027	47
~~95221a1_33~~	~~183~~	~~81~~	~~3.3804~~	~~0.0987~~	~~0.2573~~	~~0.0059~~	~~0.5296~~	~~1494~~	~~22~~	~~3.18~~	~~0.07~~	~~0.015~~	~~48~~
~~95221a1_34~~	~~310~~	~~140~~	~~3.6138~~	~~0.0907~~	~~0.2648~~	~~0.0051~~	~~0.5932~~	~~1545~~	~~20~~	~~12.45~~	~~0.00~~	~~0.013~~	~~47~~
~~95221a1_35~~	~~165~~	~~91~~	~~3.1666~~	~~0.1009~~	~~0.2438~~	~~0.0063~~	~~0.6588~~	~~1443~~	~~25~~	~~11.90~~	~~0.00~~	~~0.017~~	~~45~~
95221a1_36	311	100	2.4659	0.0827	0.2192	0.0061	0.5616	1265	24	1.26	0.26	0.019	48
95221a1_37	108	100	6.9172	0.2723	0.3863	0.0138	0.6768	2100	35	0.04	0.84	0.016	48
95221a1_38	70	39	3.3048	0.1512	0.2544	0.0093	0.7137	1481	36	1.58	0.21	0.024	47
~~95221a1_39~~	~~177~~	~~67~~	~~1.7426~~	~~0.0610~~	~~0.1750~~	~~0.0052~~	~~0.7134~~	~~1026~~	~~22~~	~~2.22~~	~~0.14~~	~~0.022~~	~~48~~
95221a1_40	512	228	12.3563	0.4437	0.5052	0.0160	0.7858	2631	31	0.03	0.85	0.012	47
95221a1_41	301	202	3.5316	0.1187	0.2658	0.0080	0.7306	1536	26	1.11	0.29	0.017	45
95221a1_42	81	33	2.3032	0.0960	0.2040	0.0052	0.4151	1204	24	1.10	0.29	0.020	47
95221a1_43	60	47	3.0263	0.1433	0.2475	0.0063	0.3897	1421	28	0.36	0.55	0.020	47
~~95221a1_44~~	~~70~~	~~38~~	~~2.7743~~	~~0.1013~~	~~0.2283~~	~~0.0056~~	~~0.5292~~	~~1339~~	~~25~~	~~2.71~~	~~0.10~~	~~0.019~~	~~46~~
95221a1_45	346	128	3.4061	0.0961	0.2614	0.0064	0.5109	1504	22	0.39	0.53	0.015	48
95221a1_46	138	68	4.2764	0.1426	0.3007	0.0083	0.6856	1689	28	0.15	0.70	0.016	48
95221a1_47	342	306	14.5024	0.3930	0.5346	0.0126	0.6968	2787	25	1.27	0.26	0.009	48
~~95221a1_48~~	~~107~~	~~152~~	~~5.9081~~	~~0.2337~~	~~0.3627~~	~~0.0120~~	~~0.6596~~	~~1961~~	~~34~~	~~2.27~~	~~0.13~~	~~0.018~~	~~48~~
~~95221a1_49~~	~~268~~	~~64~~	~~12.5230~~	~~0.3339~~	~~0.5190~~	~~0.0119~~	~~0.6998~~	~~2636~~	~~25~~	~~7.01~~	~~0.01~~	~~0.009~~	~~47~~
95221a1_50	331	98	5.1629	0.1548	0.3284	0.0084	0.6662	1847	26	1.10	0.29	0.014	47
~~95221a1_51~~	~~65~~	~~41~~	~~7.5515~~	~~0.2702~~	~~0.4099~~	~~0.0124~~	~~0.6769~~	~~2175~~	~~32~~	~~2.77~~	~~0.10~~	~~0.015~~	~~47~~
95221a1_52	162	105	4.5862	0.1518	0.3103	0.0082	0.6277	1746	28	0.09	0.76	0.016	48
95221a1_53	93	103	19.7455	0.4957	0.6145	0.0125	0.5542	3079	25	0.19	0.67	0.008	47
95221a1_54	69	66	2.6226	0.1072	0.2235	0.0061	0.5751	1304	28	0.21	0.65	0.021	45
95221a1_55	35	16	6.9472	0.2517	0.3866	0.0111	0.6503	2105	32	0.01	0.91	0.015	48
95221a1_56	266	201	3.1831	0.0985	0.2524	0.0061	0.6595	1453	24	0.03	0.86	0.016	47
~~95221a1_57~~	~~530~~	~~265~~	~~4.6350~~	~~0.8218~~	~~0.2689~~	~~0.0070~~	~~0.0738~~	~~1541~~	~~35~~	~~7.09~~	~~0.01~~	~~0.023~~	~~39~~
95221a1_58	418	176	2.2171	0.0555	0.2002	0.0036	0.5233	1183	16	1.15	0.28	0.014	46
95221a1_59	95	96	1.6894	0.0570	0.1665	0.0035	0.3734	998	17	1.01	0.31	0.017	47
95221a1_60	78	36	24.4604	0.6826	0.6601	0.0149	0.6450	3289	27	0.73	0.39	0.008	46
~~95221a1_61~~	~~256~~	~~130~~	~~7.0209~~	~~0.1825~~	~~0.3738~~	~~0.0079~~	~~0.6326~~	~~2113~~	~~23~~	~~21.81~~	~~0.00~~	~~0.011~~	~~34~~
~~95221a1_62~~	~~661~~	~~14~~	~~2.3911~~	~~0.0571~~	~~0.2153~~	~~0.0041~~	~~0.5623~~	~~1244~~	~~17~~	~~3.22~~	~~0.07~~	~~0.013~~	~~48~~
95221a1_63	70	29	1.7955	0.0833	0.1763	0.0044	0.3851	1046	22	0.04	0.84	0.021	47
95221a1_64	1016	432	12.0698	0.3591	0.4956	0.0129	0.7616	2614	26	0.59	0.44	0.010	46
95221a1_65	203	54	2.5524	0.0775	0.2207	0.0053	0.5184	1287	21	0.02	0.89	0.016	48
95221a1_66	151	85	6.5264	0.1880	0.3719	0.0091	0.6765	2050	25	0.47	0.49	0.012	46
~~95221a1_67~~	~~43~~	~~12~~	~~1.4851~~	~~0.0991~~	~~0.1625~~	~~0.0047~~	~~0.2978~~	~~960~~	~~24~~	~~5.19~~	~~0.02~~	~~0.025~~	~~47~~
~~95221a1_68~~	~~289~~	~~105~~	~~3.2677~~	~~0.0949~~	~~0.2531~~	~~0.0055~~	~~0.5563~~	~~1468~~	~~22~~	~~2.32~~	~~0.13~~	~~0.015~~	~~48~~
~~95221a1_69~~	~~385~~	~~192~~	~~2.6984~~	~~0.0755~~	~~0.2241~~	~~0.0050~~	~~0.5261~~	~~1321~~	~~20~~	~~4.47~~	~~0.03~~	~~0.015~~	~~48~~
95221a1_70	254	97	2.6067	0.0740	0.2218	0.0048	0.6130	1300	20	1.09	0.30	0.016	47
95221a1_71	22	14	1.7273	0.1309	0.1657	0.0061	0.2956	996	31	1.42	0.23	0.031	48
~~95221a1_72~~	~~254~~	~~127~~	~~1.8041~~	~~0.0628~~	~~0.1809~~	~~0.0043~~	~~0.5125~~	~~1058~~	~~20~~	~~4.84~~	~~0.03~~	~~0.019~~	~~47~~
~~95221a1_73~~	~~143~~	~~123~~	~~6.1738~~	~~0.1811~~	~~0.3583~~	~~0.0084~~	~~0.5762~~	~~1999~~	~~26~~	~~2.62~~	~~0.11~~	~~0.013~~	~~47~~

Numéro d'analyse	[U] (ppm)	[Th] (ppm)	207Pb/ 235Uc	2 sigma	206Pb/ 238U	2 sigma	Corré-lation d'erreur	Age Concordia (Ma)	A priori erreur de 2σ	MSWD	Probabilité-de-concordance (rej <.15)	Erreur/ âge (rej >0.40)	Nombres de balayages concordants (rej <5)
95221a1_74	322	437	6.4277	0.1647	0.3716	0.0075	0.5137	2036	22	0.00	0.97	0.011	47
95221a1_75	268	69	2.3936	0.0717	0.2138	0.0044	0.4635	1244	19	0.49	0.49	0.015	46
95221a1_76	157	116	2.8836	0.0916	0.2367	0.0060	0.6258	1376	24	0.41	0.52	0.017	46
95221a1_77	279	45	1.5962	0.0463	0.1614	0.0037	0.4931	967	17	0.16	0.69	0.017	47
~~95221a1_78~~	~~926~~	~~361~~	~~5.3908~~	~~0.1343~~	~~0.3344~~	~~0.0082~~	~~0.5790~~	~~1884~~	~~21~~	~~2.16~~	~~0.14~~	~~0.011~~	~~48~~
95221a1_79	159	64	2.7112	0.0931	0.2306	0.0046	0.4297	1335	21	0.20	0.66	0.016	47
~~95221a1_80~~	~~162~~	~~96~~	~~2.0495~~	~~0.0729~~	~~0.1825~~	~~0.0044~~	~~0.5061~~	~~1104~~	~~21~~	~~18.18~~	~~0.00~~	~~0.019~~	~~47~~
95221a1_81	227	79	2.3622	0.0657	0.2101	0.0040	0.5253	1230	18	0.04	0.84	0.015	46
95221a1_82	157	63	3.4194	0.0911	0.2646	0.0056	0.6035	1510	21	0.14	0.71	0.014	47
95221a1_83	127	58	4.4206	0.1274	0.3049	0.0070	0.5070	1716	23	0.00	0.96	0.014	47
95221a1_84	272	79	1.9599	0.0566	0.1859	0.0038	0.4732	1101	17	0.07	0.79	0.016	48
95221a1_85	381	223	2.8998	0.0833	0.2375	0.0053	0.5409	1380	21	0.46	0.50	0.015	48
95221a1_86	178	95	3.1230	0.0945	0.2475	0.0052	0.4578	1434	21	0.93	0.34	0.015	47
~~95221a1_87~~	~~105~~	~~56~~	~~2.9361~~	~~0.0891~~	~~0.2344~~	~~0.0054~~	~~0.4996~~	~~1380~~	~~22~~	~~6.76~~	~~0.01~~	~~0.016~~	~~48~~
95221a1_88	405	123	2.2204	0.0532	0.2010	0.0033	0.4829	1184	15	0.61	0.44	0.013	48
95221a1_89	421	212	2.2284	0.0623	0.2031	0.0039	0.5308	1191	18	0.04	0.85	0.015	47
~~95221a1_90~~	~~183~~	~~204~~	~~7.1217~~	~~0.1909~~	~~0.3861~~	~~0.0078~~	~~0.5833~~	~~2125~~	~~24~~	~~2.17~~	~~0.14~~	~~0.011~~	~~48~~
~~95221a1_91~~	~~93~~	~~70~~	~~1.7844~~	~~0.0694~~	~~0.1792~~	~~0.0043~~	~~0.3865~~	~~1052~~	~~20~~	~~2.76~~	~~0.10~~	~~0.019~~	~~48~~
95221a1_92	746	318	3.4971	0.0871	0.2643	0.0052	0.5693	1524	19	1.68	0.19	0.013	45
95221a1_93	62	26	2.3442	0.1054	0.2122	0.0060	0.3337	1233	26	0.63	0.43	0.021	48
95221a1_94	197	82	3.3770	0.0956	0.2599	0.0066	0.5672	1498	22	0.49	0.48	0.015	48
95221a1_95	94	75	6.2783	0.1948	0.3684	0.0091	0.4311	2016	27	0.11	0.74	0.013	48
95221a1_96	51	24	6.8158	0.2984	0.3818	0.0140	0.5608	2088	39	0.01	0.91	0.019	48
95221a1_97	117	93	2.0562	0.0778	0.1943	0.0044	0.4970	1140	21	0.69	0.41	0.019	47
95221a1_98	102	112	2.7024	0.0835	0.2268	0.0048	0.4958	1324	21	0.88	0.35	0.016	48
95221a1_99	186	121	3.1158	0.0865	0.2514	0.0050	0.5193	1440	20	0.63	0.43	0.014	48
95221a1_100	209	91	3.3412	0.0833	0.2583	0.0051	0.5969	1489	19	0.82	0.36	0.013	45
95221a1_101	402	151	1.6722	0.0440	0.1666	0.0033	0.5151	996	15	0.27	0.60	0.015	47
95221a1_102	76	33	2.0811	0.1065	0.1908	0.0053	0.4040	1131	26	0.91	0.34	0.023	47
95221a1_103	197	60	2.3380	0.0721	0.2095	0.0048	0.5881	1225	21	0.04	0.84	0.017	48
95221a1_104	104	46	2.3675	0.0746	0.2091	0.0050	0.4584	1230	21	0.46	0.50	0.017	46
~~95221a1_105~~	~~124~~	~~98~~	~~1.8180~~	~~0.0673~~	~~0.1736~~	~~0.0033~~	~~0.3312~~	~~1038~~	~~17~~	~~2.57~~	~~0.11~~	~~0.016~~	~~47~~
95221a1_106	49	17	2.9518	0.1397	0.2463	0.0065	0.3485	1408	28	1.49	0.22	0.020	47
~~95221a1_107~~	~~160~~	~~106~~	~~4.3226~~	~~0.1262~~	~~0.2960~~	~~0.0084~~	~~0.5046~~	~~1696~~	~~24~~	~~2.12~~	~~0.15~~	~~0.014~~	~~48~~
~~95221a1_108~~	~~251~~	~~275~~	~~4.8910~~	~~0.1197~~	~~0.3165~~	~~0.0067~~	~~0.5267~~	~~1798~~	~~21~~	~~3.95~~	~~0.05~~	~~0.011~~	~~46~~
95221a1_109	241	61	2.3210	0.0729	0.2079	0.0052	0.4407	1218	21	0.01	0.93	0.017	46
~~95221a1_110~~	~~130~~	~~31~~	~~2.2491~~	~~0.0664~~	~~0.1990~~	~~0.0042~~	~~0.4982~~	~~1185~~	~~19~~	~~5.82~~	~~0.02~~	~~0.016~~	~~47~~
~~95221a1_111~~	~~83~~	~~35~~	~~5.2288~~	~~0.1646~~	~~0.3289~~	~~0.0082~~	~~0.5793~~	~~1855~~	~~27~~	~~2.16~~	~~0.14~~	~~0.014~~	~~48~~
~~95221a1_112~~	~~484~~	~~192~~	~~3.4227~~	~~0.0868~~	~~0.2599~~	~~0.0056~~	~~0.6131~~	~~1508~~	~~20~~	~~3.09~~	~~0.08~~	~~0.013~~	~~46~~
~~95221a1_113~~	~~670~~	~~266~~	~~3.0024~~	~~0.0633~~	~~0.2384~~	~~0.0043~~	~~0.5545~~	~~1403~~	~~16~~	~~9.83~~	~~0.00~~	~~0.011~~	~~47~~
~~95221a1_114~~	~~154~~	~~41~~	~~3.0784~~	~~0.2203~~	~~0.2298~~	~~0.0096~~	~~0.1925~~	~~1373~~	~~41~~	~~7.62~~	~~0.01~~	~~0.030~~	~~48~~
95221a1_115	783	142	4.1631	0.1040	0.2947	0.0063	0.6030	1667	21	0.02	0.88	0.012	48
95221a1_116	232	178	3.6099	0.1063	0.2718	0.0062	0.5248	1551	23	0.02	0.90	0.015	48
95221a1_117	63	28	2.2108	0.0911	0.1985	0.0060	0.5407	1178	27	1.37	0.24	0.023	47
~~95221a1_118~~	~~159~~	~~138~~	~~11.3006~~	~~0.3526~~	~~0.4544~~	~~0.0127~~	~~0.5994~~	~~2555~~	~~29~~	~~35.35~~	~~0.00~~	~~0.011~~	~~32~~
~~95221a1_119~~	~~290~~	~~73~~	~~4.4644~~	~~0.1292~~	~~0.2929~~	~~0.0081~~	~~0.6310~~	~~1726~~	~~24~~	~~19.23~~	~~0.00~~	~~0.014~~	~~47~~
95221a1_120	360	172	6.0551	0.1505	0.3561	0.0078	0.6104	1984	22	1.86	0.17	0.011	48
DB07RIM69a		**952-22**											
95222a1_1	522	428	6.28599	0.19329	0.36812	0.00890	0.69	2016	27	0.07	0.79	0.013	43

Numéro d'analyse	[U] (ppm)	[Th] (ppm)	207Pb/ 235Uc	2 sigma	206Pb/ 238U	2 sigma	Corré-lation d'erreur	Age Concordia (Ma)	A priori erreur de 2σ	MSWD	Probabilité-de-concordance (rej <.15)	Erreur/ âge (rej >0.40)	Nombres de balayages concordants (rej <5)
95222a1_2	717.6452	241.2901	0.8221511	0.1043994	0.09632626	0.009046766	0.6102902	599	50	0.44	0.51	0.083	3
95222a1_3	113	57	4.51627	0.14824	0.31364	0.00805	0.57	1737	27	2.24	0.13	0.016	46
95222a1_4	272	226	0.84366	0.03405	0.09933	0.00247	0.42	614	14	1.34	0.25	0.022	46
95222a1_5	122	153	0.79041	0.04226	0.09382	0.00262	0.29	581	15	1.17	0.28	0.025	48
95222a1_6	110	58	3.51791	0.21878	0.24673	0.01031	0.42	1479	44	15.47	0.00	0.030	28
95222a1_7	285.392	112.6478	5.287158	1.119097	0.3109151	0.05723487	0.6443399	1865	181	1.30	0.25	0.097	1
95222a1_8	110	67	0.77240	0.05616	0.08821	0.00342	0.28	552	19	4.75	0.03	0.035	35
95222a1_9	183	181	15.07853	0.60771	0.54633	0.02105	0.78	2823	34	0.11	0.74	0.012	29
95222a1_10	110	31	2.25626	0.09246	0.20333	0.00576	0.53	1196	26	0.15	0.70	0.022	48
95222a1_11	121	65	6.73954	0.24359	0.37739	0.01163	0.77	2081	31	0.58	0.45	0.015	47
95222a1_12	144	39	5.67600	0.19640	0.34127	0.01022	0.50	1924	30	2.66	0.10	0.015	46
95222a1_13	212	139	0.77843	0.03700	0.09426	0.00237	0.42	581	14	0.15	0.70	0.023	42
95222a1_14	283	229	4.65917	0.15924	0.30635	0.00856	0.57	1756	29	4.52	0.03	0.016	32
95222a1_15	252	61	1.61394	0.06576	0.15912	0.00527	0.50	967	24	2.97	0.08	0.024	39
95222a1_16	1233.19	1350.514	1.217419	0.1479124	0.03724131	0.003947669	0.5924216	157	22	208.03	0.00	0.142	0
95222a1_17	255	87	2.85204	0.09860	0.23572	0.00660	0.64	1369	26	0.14	0.71	0.019	48
95222a1_18	590	302	0.87346	0.03443	0.10526	0.00329	0.64	641	17	0.90	0.34	0.027	48
95222a1_19	352	301	0.87928	0.03567	0.10505	0.00256	0.47	643	14	0.13	0.71	0.022	38
95222a1_20	103	33	0.93532	0.05119	0.10811	0.00316	0.38	664	18	0.44	0.51	0.026	36
95222a1_21	218	186	0.79559	0.03556	0.09544	0.00207	0.31	589	12	0.45	0.50	0.020	45
95222a1_22	807	286	0.82947	0.03477	0.09682	0.00261	0.58	600	15	4.65	0.03	0.025	22
95222a1_23	294	187	2.59940	0.08130	0.22494	0.00445	0.42	1304	20	0.36	0.55	0.015	27
95222a1_24	157	67	0.89234	0.04101	0.10160	0.00221	0.31	628	12	4.68	0.03	0.020	43
95222a1_25	3	2	1.58777	0.94608	0.07116	0.01501	0.12	445	90	4.91	0.03	0.203	27
95222a1_26	183	97	1.85309	0.07710	0.17416	0.00560	0.65	1054	26	5.79	0.02	0.025	39
95222a1_27	180	159	5.28677	0.20115	0.33231	0.01065	0.68	1868	32	0.82	0.36	0.017	42
95222a1_28	102	42	4.81772	0.29416	0.30043	0.01459	0.67	1781	52	12.39	0.00	0.029	32
95222a1_29	1	1	122.57520	25.42120	0.99381	0.20432	0.97	293	335	92.52	0.00	1.140	33
95222a1_30	393	218	0.89080	0.03490	0.10074	0.00217	0.42	624	12	9.92	0.00	0.020	40
95222a1_31	0	0	0	0	0	0	0	#VALUE!	#VALUE!	#VALUE!	#VALUE!	#VALUE!	0
95222a1_32	1	4	61.70942	21.46614	0.67195	0.22502	0.91	631	597	32.22	0.00	0.946	24
95222a1_33	460	226	0.83790	0.02703	0.10113	0.00191	0.39	620	10	0.17	0.68	0.017	36
95222a1_34	108	43	0.93633	0.04851	0.10800	0.00305	0.36	663	17	0.61	0.43	0.025	43
95222a1_35	675	38	5.42081	0.23137	0.32892	0.01167	0.60	1885	37	5.86	0.02	0.019	6
95222a1_36	107	41	0.80155	0.06434	0.08975	0.00300	0.27	558	17	5.73	0.02	0.031	25
95222a1_37	196	54	5.84202	0.22244	0.34871	0.01089	0.69	1954	33	1.63	0.20	0.017	45
95222a1_38	400.314	2481.5	2.602083	0.3883413	0.1269178	0.01651049	0.5893542	716	95	86.39	0.00	0.132	0
95222b1_1	457	262	6.18946	0.18675	0.35353	0.00884	0.64	2003	27	10.07	0.00	0.013	39
95222b1_2	239	220	4.90161	0.16894	0.32198	0.00857	0.68	1802	29	0.04	0.84	0.016	45
95222b1_3	273	138	0.81564	0.03395	0.09785	0.00255	0.37	603	14	0.16	0.69	0.023	47
95222b1_4	182	91	0.85167	0.04650	0.10143	0.00314	0.47	623	18	0.06	0.81	0.028	42
95222b1_5	105	34	1.94621	0.11035	0.18281	0.00857	0.71	1095	38	0.80	0.37	0.034	48
95222b1_6	88	84	1.57721	0.09052	0.15298	0.00526	0.47	931	28	6.51	0.01	0.030	30
95222b1_7	50	70	0.77526	0.09751	0.08636	0.00292	0.17	536	17	2.96	0.09	0.032	43
95222b1_8	316	141	0.89534	0.03635	0.10538	0.00236	0.38	647	13	0.12	0.72	0.020	40
95222b1_9	664	593	0.90663	0.02860	0.10651	0.00243	0.58	654	13	0.18	0.68	0.020	46
95222b1_10	408	703	5.45889	0.18319	0.32876	0.00999	0.62	1895	29	10.61	0.00	0.015	43
95222b1_11	476.8184	147.6445	3.772666	0.7553366	0.2087725	0.03853037	0.7847667	1513	171	34.34	0.00	0.113	0
95222b1_12	238	97	0.78137	0.03430	0.09185	0.00236	0.43	571	13	4.48	0.03	0.023	40

Numéro d'analyse	[U] (ppm)	[Th] (ppm)	207Pb/ 235Uc	2 sigma	206Pb/ 238U	2 sigma	Corré-lation d'erreur	Age Concordia (Ma)	A priori erreur de 2σ	MSWD	Probabilité-de-concordance (rej <.15)	Erreur/ âge (rej >0.40)	Nombres de balayages concordants (rej <5)
95222b1_13	374	212	6.32539	0.22146	0.36289	0.01122	0.72	2026	30	1.95	0.16	0.015	29
95222b1_14	171	196	16.60379	0.67310	0.56581	0.02102	0.82	2920	33	0.53	0.46	0.011	26
95222b1_15	208	124	2.81959	0.14064	0.22603	0.01003	0.80	1369	37	8.80	0.00	0.027	26
95222b1_16	131	112	6.28394	0.41270	0.35509	0.02235	0.81	2036	51	2.79	0.09	0.025	40
95222b1_17	292	92	0.84421	0.04709	0.09963	0.00408	0.56	616	22	0.62	0.43	0.036	42
95222b1_18	512	291	0.66329	0.09989	0.07395	0.00963	0.73	479	56	6.64	0.01	0.116	12
95222b1_19	454	212	0.89746	0.03277	0.10695	0.00245	0.53	654	14	0.35	0.56	0.021	46
95222b1_20	102	73	1.83199	0.09187	0.17814	0.00528	0.49	1057	26	0.00	0.99	0.025	46
95222b1_21	298.5131	145.3689	1.579716	0.3527855	0.14602	0.02473122	0.541037	917	124	1.55	0.21	0.136	2
95222b1_22	179	177	0.83827	0.04212	0.09764	0.00227	0.33	603	13	2.38	0.12	0.021	43
95222b1_23	103	60	6.30167	0.20081	0.36496	0.00933	0.68	2019	28	0.64	0.42	0.014	46
95222b1_24	554	517	5.77076	0.19841	0.34168	0.01017	0.76	1951	29	8.40	0.00	0.015	44
95222b1_25	294	70	0.82092	0.03949	0.09617	0.00273	0.42	596	15	2.47	0.12	0.026	28
95222b1_26	100	61	6.30958	0.23780	0.35752	0.01178	0.74	2028	32	6.51	0.01	0.016	47
95222b1_27	210	95	5.53141	0.33153	0.33931	0.01962	0.88	1918	41	0.66	0.42	0.022	27
95222b1_28	139	125	10.34912	1.26087	0.41813	0.04903	0.91	2595	68	11.16	0.00	0.026	18
95222b1_29	269	145	0.79163	0.03968	0.09466	0.00299	0.52	585	17	0.81	0.37	0.029	47
95222b1_30	135	71	0.78360	0.04718	0.09394	0.00272	0.34	580	16	0.45	0.50	0.027	39
95222b1_31	22	9	7.50298	0.52912	0.42008	0.02589	0.64	2165	63	3.65	0.06	0.029	26
95222b1_32	0	0	0	0	0	0	0	#VALUE!	#VALUE!	#VALUE!	#VALUE!	#VALUE!	0
95222b1_33	512.4467	1026.978	1.287707	0.2452113	0.07334632	0.01109384	0.5739293	408	66	49.53	0.00	0.161	0
95222b1_34	542	314	0.90394	0.03343	0.10709	0.00258	0.45	655	14	0.05	0.82	0.021	46
95222b1_35	39	21	2.30937	0.14744	0.21313	0.00625	0.33	1237	30	1.71	0.19	0.025	48
95222b1_36	312	199	5.82689	0.15037	0.35208	0.00654	0.60	1950	22	0.22	0.64	0.011	42
95222b1_37	58	46	0.90336	0.07812	0.10182	0.00358	0.22	629	20	1.76	0.18	0.032	41
95222b1_38	314	287	0.82924	0.03296	0.09705	0.00247	0.43	602	13	3.23	0.07	0.022	43
95222b1_39	1235	1109	0.87378	0.03054	0.10130	0.00269	0.56	629	14	4.19	0.04	0.023	29
95222b1_40	139	153	6.65836	0.48596	0.36001	0.02583	0.61	2073	64	3.07	0.08	0.031	10
95222b1_41	88	51	5.37860	0.28857	0.32584	0.01235	0.54	1866	45	5.83	0.02	0.024	22
95222b1_42	226.4089	81.33044	3.468031	0.6643524	0.2268383	0.03376192	0.6535571	1440	153	8.41	0.00	0.106	0
95222b1_43	400	199	6.52483	0.32405	0.35763	0.01599	0.85	2085	37	12.15	0.00	0.018	22
95222b1_44	179	125	2.70900	0.10883	0.22818	0.00546	0.49	1328	25	0.16	0.69	0.019	43
95222b1_45	213	131	5.46265	0.19843	0.32886	0.01007	0.72	1901	31	13.25	0.00	0.016	40
95222b1_46	426	335	0.72507	0.03645	0.08629	0.00325	0.57	541	18	4.45	0.03	0.033	30
95222b1_47	1410	264	6.07989	0.17921	0.36305	0.00960	0.74	1986	25	0.34	0.56	0.013	46
95222b1_48	241	201	0.81621	0.03368	0.09777	0.00263	0.42	603	14	0.25	0.62	0.023	37
95222b1_49	68	38	9.12244	0.35383	0.44346	0.01311	0.59	2351	36	0.44	0.51	0.015	47
95222b1_50	120	47	6.35803	0.22091	0.35852	0.01098	0.64	2029	30	6.60	0.01	0.015	31
95222b1_51	192	123	0.86026	0.03626	0.10319	0.00247	0.41	632	14	0.09	0.77	0.022	40
95222b1_52	285.7936	179.1596	2.381038	0.3873554	0.2105189	0.02835113	0.5384157	1236	112	0.01	0.94	0.091	1
95222b1_53	139	89	6.81751	0.36529	0.35735	0.01550	0.64	2086	48	17.80	0.00	0.023	28
95222b1_54	270	162	4.85831	0.24671	0.31884	0.01359	0.70	1796	43	0.21	0.64	0.024	32
95222b1_55	54	102	0.76753	0.08238	0.08986	0.00309	0.18	556	18	0.97	0.32	0.032	41
95222b1_56	161	86	8.21296	0.23532	0.41455	0.00898	0.50	2252	26	1.12	0.29	0.011	46
95222b1_57	167	63	0.93839	0.04467	0.10764	0.00255	0.30	662	14	1.20	0.27	0.021	47
95222b1_58	93	25	10.04245	0.50416	0.44141	0.02045	0.75	2459	43	6.54	0.01	0.017	27
95222b1_59	279	142	0.85870	0.03856	0.10076	0.00259	0.38	621	14	1.03	0.31	0.023	47
95222b1_60	55	61	0.94344	0.08721	0.10457	0.00319	0.21	644	18	2.12	0.15	0.028	45
95222b1_61	128	57	0.91346	0.05410	0.10752	0.00302	0.33	658	17	0.00	0.97	0.026	43

Numéro d'analyse	[U] (ppm)	[Th] (ppm)	207Pb/ 235Uc	2 sigma	206Pb/ 238U	2 sigma	Corré-lation d'erreur	Age Concordia (Ma)	A priori erreur de 2σ	MSWD	Probabilité-de-concordance (rej <.15)	Erreur/ âge (rej >0.40)	Nombres de balayages concordants (rej <5)
95222b1_62	210	51	0.84540	0.03234	0.10115	0.00246	0.44	621	13	0.01	0.91	0.021	44
95222b1_63	367.9835	234.89	4.128192	1.358082	0.1729625	0.0646529	0.4201792	1074	333	14.26	0.00	0.310	0
95222b1_64	434.7188	370.805	6.072903	0.9622661	0.230407	0.03008068	0.7110193	1115	156	93.15	0.00	0.140	0
95222b1_65	657.007	1055.072	2.506305	0.4779652	0.1231039	0.01993964	0.5304155	727	115	48.77	0.00	0.158	0
95222b1_66	260	129	0.90591	0.05403	0.10317	0.00325	0.21	638	17	1.98	0.16	0.027	20
95222b1_67	118	26	7.03473	0.21543	0.38605	0.00917	0.65	2116	27	0.49	0.49	0.013	43
95222b1_68	261	118	5.56976	0.52892	0.33546	0.02933	0.71	1918	80	0.86	0.36	0.042	7
95222b1_69	143	55	3.83519	0.12662	0.27689	0.00673	0.52	1594	26	2.55	0.11	0.016	48
95222b1_70	133	81	0.72451	0.04498	0.08838	0.00169	0.19	546	10	0.31	0.58	0.018	40
95222b1_71	1157	982	0.89496	0.02984	0.10507	0.00287	0.71	647	15	0.63	0.43	0.023	42
95222b1_72	102	48	0.78709	0.04657	0.09434	0.00335	0.41	583	19	0.42	0.52	0.032	33
95222b1_73	410	326	1.06278	0.03446	0.11889	0.00275	0.44	729	14	1.59	0.21	0.019	43
95222b1_74	183	108	2.13502	0.09045	0.19566	0.00617	0.59	1157	28	0.33	0.56	0.024	33
95222b1_75	0	0	0	0	0	0	0	#VALUE!	#VALUE!	#VALUE!	#VALUE!	#VALUE!	0
95222b1_76	102	50	0.96440	0.06812	0.11322	0.00406	0.22	690	21	0.10	0.76	0.031	42
95222b1_77	189	47	0.82124	0.04485	0.09941	0.00385	0.32	610	19	0.02	0.88	0.032	42
DB07RIM73a		**952-24**											
95224a1_1	354	264	5.83688	0.18009	0.34356	0.00753	0.50	1941	26	8.75	0.00	0.013	48
95224a1_2	296	110	3.71652	0.11595	0.27969	0.00593	0.39	1580	22	0.94	0.33	0.014	48
95224a1_3	244	139	2.19854	0.06752	0.19606	0.00393	0.45	1167	18	5.48	0.02	0.016	47
95224a1_4	297	129	0.82613	0.03167	0.09848	0.00211	0.44	607	12	0.51	0.47	0.020	47
95224a1_5	0	0	0	0	0	0	0	#VALUE!	#VALUE!	#VALUE!	#VALUE!	#VALUE!	0
95224a1_6	178	91	2.29629	0.07610	0.19667	0.00444	0.41	1184	20	17.07	0.00	0.017	47
95224a1_7	339	114	2.15155	0.07572	0.20000	0.00509	0.50	1169	22	0.56	0.45	0.019	46
95224a1_8	323	79	3.35329	0.11684	0.25649	0.00638	0.48	1486	25	1.94	0.16	0.017	46
95224a1_9	716	335	0.84200	0.02822	0.10182	0.00240	0.55	623	13	0.46	0.50	0.021	48
95224a1_10	623	64	2.51263	0.07542	0.21624	0.00506	0.51	1272	21	1.24	0.26	0.016	46
95224a1_11	569	177	2.79636	0.08229	0.23279	0.00440	0.47	1352	19	0.22	0.64	0.014	48
95224a1_12	632	378	0.84092	0.02832	0.09967	0.00221	0.49	615	12	0.95	0.33	0.020	46
95224a1_13	375	339	0.83872	0.04206	0.09761	0.00220	0.31	603	13	2.47	0.12	0.021	43
95224a1_14	690	434	0.84381	0.02482	0.09975	0.00187	0.40	616	10	1.46	0.23	0.016	47
95224a1_15	204	142	2.67598	0.08662	0.22586	0.00511	0.50	1318	22	0.50	0.48	0.017	48
95224a1_16	367	212	0.84943	0.02842	0.10051	0.00213	0.46	619	12	0.87	0.35	0.019	47
95224a1_17	260	299	4.51317	0.14430	0.29952	0.00634	0.54	1718	25	9.83	0.00	0.015	46
95224a1_18	235	214	0.93560	0.03578	0.10304	0.00244	0.44	642	14	18.00	0.00	0.021	33
95224a1_19	193	84	2.41133	0.06831	0.21390	0.00372	0.45	1248	17	0.11	0.74	0.014	47
95224a1_20	264	121	2.67425	0.07792	0.22663	0.00428	0.49	1319	19	0.17	0.68	0.014	47
95224a1_21	543	175	3.08129	0.08234	0.24590	0.00454	0.56	1424	19	1.05	0.31	0.014	43
95224a1_22	256	217	10.43335	0.29654	0.46057	0.00967	0.61	2473	27	3.50	0.06	0.011	47
95224a1_23	551	277	2.05498	0.06546	0.18680	0.00396	0.47	1118	19	7.09	0.01	0.017	48
95224a1_24	359	262	2.96437	0.08404	0.23685	0.00489	0.57	1389	21	6.38	0.01	0.015	48
95224a1_25	219	119	2.77071	0.08883	0.22967	0.00451	0.45	1340	20	1.40	0.24	0.015	48
95224a1_26	128	67	1.55154	0.05623	0.15836	0.00333	0.37	949	17	0.09	0.77	0.018	47
95224a1_27	0	0	0	0	0	0	0	#VALUE!	#VALUE!	#VALUE!	#VALUE!	#VALUE!	0
95224a1_28	217	162	5.42452	0.15512	0.34048	0.00693	0.48	1889	24	0.00	0.99	0.013	48
95224a1_29	133	77	3.20425	0.15257	0.24671	0.00864	0.54	1447	35	3.42	0.06	0.024	48
95224a1_30	246	325	0.83356	0.03465	0.09926	0.00275	0.51	612	15	0.39	0.53	0.025	48
95224a1_31	202	57	3.13170	0.09698	0.24568	0.00473	0.44	1429	21	3.60	0.06	0.014	48
95224a1_32	269	72	2.14737	0.06691	0.20148	0.00422	0.50	1173	19	2.96	0.09	0.016	48

Numéro d'analyse	[U] (ppm)	[Th] (ppm)	207Pb/ 235Uc	2 sigma	206Pb/ 238U	2 sigma	Corré-lation d'erreur	Age Concordia (Ma)	A priori erreur de 2σ	MSWD	Probabilité-de-concordance (rej <.15)	Erreur/ âge (rej >0.40)	Nombres de balayages concordants (rej <5)
95224a1_33	1354	548	2.52714	0.14172	0.19391	0.00963	0.65	1248	41	47.00	0.00	0.033	16
95224a1_34	257	124	3.10898	0.09357	0.24820	0.00514	0.55	1433	22	0.23	0.63	0.015	47
95224a1_35	69	33	1.71402	0.09176	0.16793	0.00377	0.27	1002	20	0.58	0.45	0.020	47
95224a1_36	823	318	5.36690	0.14344	0.32678	0.00649	0.47	1866	22	15.37	0.00	0.012	47
95224a1_37	344	258	5.14206	0.16378	0.31605	0.00792	0.62	1835	27	22.70	0.00	0.015	47
95224a1_38	281	182	5.09442	0.16839	0.32433	0.00863	0.59	1833	28	2.04	0.15	0.015	47
95224a1_39	165	156	4.64311	0.18105	0.32984	0.01072	0.59	1759	33	14.59	0.00	0.019	48
95224a1_40	359	270	0.84160	0.02860	0.10145	0.00266	0.42	622	13	0.12	0.73	0.021	48
95224a1_41	241	201	3.86843	0.12656	0.28104	0.00717	0.56	1605	26	0.47	0.49	0.016	47
95224a1_42	271	125	6.29727	0.23801	0.36155	0.01255	0.44	2016	33	1.13	0.29	0.016	48
95224a1_43	265	248	2.28657	0.08862	0.20822	0.00611	0.53	1212	26	0.57	0.45	0.021	47
95224a1_44	702	101	3.35978	0.12381	0.26109	0.00835	0.71	1495	29	0.00	0.98	0.019	48
95224a1_45	151	127	5.14101	0.19009	0.32385	0.00995	0.64	1842	32	3.41	0.06	0.017	48
95224a1_46	77	24	2.63855	0.11590	0.22081	0.00670	0.49	1301	29	2.16	0.14	0.022	48
95224a1_47	193	163	5.67825	0.69988	0.32584	0.01226	0.21	1835	57	3.68	0.06	0.031	42
95224a1_48	239	118	2.13858	0.07495	0.19868	0.00545	0.67	1163	24	0.38	0.54	0.020	47
95224a1_49	487	60	2.06822	0.06714	0.19051	0.00465	0.61	1133	21	1.79	0.18	0.019	48
95224a1_50	440	129	3.42988	0.09868	0.25806	0.00611	0.62	1507	23	6.37	0.01	0.015	47
95224a1_51	447	480	2.33388	0.07595	0.20797	0.00563	0.63	1222	23	0.15	0.69	0.019	48
95224a1_52	467	137	3.49958	0.10506	0.26998	0.00611	0.54	1530	23	1.00	0.32	0.015	48
95224a1_53	138	125	3.23405	0.12911	0.26190	0.00852	0.61	1469	31	3.85	0.05	0.021	48
95224a1_54	76	58	2.83955	0.12328	0.23641	0.00745	0.45	1367	30	0.01	0.92	0.022	48
95224a1_55	235	102	2.41468	0.08579	0.21679	0.00710	0.69	1247	26	1.72	0.19	0.021	47
95224a1_56	80	45	2.33668	0.10446	0.21051	0.00729	0.62	1225	31	0.26	0.61	0.025	48
95224a1_57	422	107	2.26291	0.06606	0.20227	0.00413	0.55	1195	19	1.70	0.19	0.016	47
95224a1_58	72	33	0.82118	0.06565	0.10031	0.00286	0.26	616	16	0.17	0.68	0.027	48
95224a1_59	649	353	4.04809	0.12366	0.26744	0.00701	0.69	1640	25	81.28	0.00	0.015	45
95224a1_60	871	410	2.29840	0.09233	0.18950	0.00656	0.72	1196	29	56.94	0.00	0.024	48
95224a1_61	218	104	4.09966	0.15318	0.29599	0.00906	0.72	1653	31	1.18	0.28	0.018	47
95224a1_62	349	287	3.57114	0.14661	0.26345	0.01012	0.77	1550	32	4.46	0.03	0.020	46
95224a1_63	134	90	2.75033	0.17193	0.21970	0.01100	0.67	1329	46	7.97	0.00	0.035	35
95224a1_64	212	65	2.76670	0.09740	0.23362	0.00684	0.66	1347	26	0.26	0.61	0.019	48
95224a1_65	200	68	2.20264	0.07375	0.20194	0.00459	0.46	1184	20	0.09	0.76	0.017	47
95224a1_66	194	96	3.15346	0.09264	0.25290	0.00472	0.45	1449	20	0.37	0.54	0.014	47
95224a1_67	771	1489	2.27707	0.05446	0.20445	0.00379	0.54	1203	16	0.44	0.51	0.013	48
95224a1_68	242	119	2.66675	0.08152	0.22735	0.00525	0.64	1320	22	0.01	0.91	0.017	48
95224a1_69	239	159	2.68252	0.07119	0.22767	0.00453	0.51	1323	19	0.02	0.90	0.014	46
95224a1_70	364	165	3.52273	0.09619	0.26647	0.00529	0.57	1530	21	0.67	0.41	0.014	48
95224a1_71	292	401	3.90223	0.11827	0.26398	0.00654	0.57	1593	24	55.23	0.00	0.015	48
95224a1_72	364	180	4.41285	0.13045	0.31109	0.00750	0.69	1714	25	5.39	0.02	0.014	48
95224a1_73	543	136	2.37242	0.06394	0.21397	0.00450	0.59	1238	19	2.42	0.12	0.015	48
95224a1_74	115	112	5.51320	0.16835	0.34051	0.00893	0.57	1902	26	0.58	0.45	0.014	47
95224a1_75	66	30	2.04924	0.08357	0.18904	0.00489	0.37	1123	23	1.08	0.30	0.020	47
95224a1_76	203	117	0.86201	0.04659	0.09906	0.00226	0.25	612	13	2.98	0.08	0.021	48
95224a1_77	421	258	2.18761	0.06561	0.20424	0.00408	0.51	1186	19	3.93	0.05	0.016	47
95224a1_78	638	281	11.75633	0.29115	0.48443	0.01005	0.57	2586	23	4.58	0.03	0.009	48
95224a1_79	406	71	2.01339	0.05581	0.18348	0.00367	0.50	1105	17	12.05	0.00	0.015	47
95224a1_80	479	178	3.23103	0.07990	0.25209	0.00448	0.45	1459	18	1.86	0.17	0.012	47
95224a1_81	217	221	3.62893	0.31954	0.24178	0.02041	0.71	1563	70	18.58	0.00	0.045	34

Numéro d'analyse	[U] (ppm)	[Th] (ppm)	207Pb/ 235Uc	2 sigma	206Pb/ 238U	2 sigma	Corré-lation d'erreur	Age Concordia (Ma)	A priori erreur de 2σ	MSWD	Probabilité-de-concordance (rej <.15)	Erreur/ âge (rej >0.40)	Nombres de balayages concordants (rej <5)
95224a1_82	73	67	2.71929	0.09670	0.22966	0.00521	0.47	1333	23	0.01	0.94	0.017	47
95224a1_83	294	80	2.45120	0.06033	0.21953	0.00362	0.48	1267	16	5.17	0.02	0.012	47
95224a1_84	401	128	2.60328	0.06614	0.22048	0.00422	0.49	1296	17	2.68	0.10	0.013	48
95224a1_85	76	61	6.49238	0.18609	0.36978	0.00687	0.49	2040	24	1.22	0.27	0.012	47
95224a1_86	122	51	2.15432	0.06598	0.20232	0.00404	0.45	1177	18	3.60	0.06	0.016	45
95224a1_87	200	55	2.40291	0.07739	0.21140	0.00471	0.51	1240	21	0.36	0.55	0.017	48
95224a1_88	343	372	2.17246	0.06339	0.20098	0.00444	0.61	1175	19	0.70	0.40	0.017	47
95224a1_89	328	191	4.59095	0.11232	0.31382	0.00577	0.60	1749	20	1.04	0.31	0.012	47
95224a1_90	518	152	2.24378	0.06358	0.20094	0.00451	0.65	1191	20	2.36	0.12	0.016	48
95224a1_91	283	159	6.12934	0.15627	0.35617	0.00739	0.61	1993	22	4.68	0.03	0.011	47
95224a1_92	152	65	7.30585	0.19856	0.38938	0.00827	0.63	2149	24	3.86	0.05	0.011	46
95224a1_93	187	158	0.82356	0.03585	0.10215	0.00293	0.45	621	16	2.98	0.08	0.025	47
95224a1_94	485	151	2.07573	0.07745	0.19158	0.00611	0.77	1141	26	1.07	0.30	0.022	48
95224a1_95	113	74	4.51559	0.13796	0.30224	0.00776	0.62	1732	25	4.29	0.04	0.015	45
95224a1_96	306	87	5.24001	0.13334	0.32368	0.00650	0.54	1851	22	14.27	0.00	0.012	44
95224a1_97	578	175	2.25525	0.05927	0.20253	0.00405	0.51	1195	17	0.90	0.34	0.014	48
95224a1_98	326	80	3.51811	0.09256	0.26946	0.00540	0.58	1533	20	0.35	0.56	0.013	46
95224a1_99	109	97	2.43894	0.11842	0.20150	0.00598	0.43	1211	29	15.05	0.00	0.024	42
95224a1_100	0	0	0	0	0	0	0	#VALUE!	#VALUE!	#VALUE!	#VALUE!	#VALUE!	0
95224a1_101	289	165	2.22018	0.06441	0.19840	0.00460	0.45	1181	19	3.00	0.08	0.016	47
95224a1_102	802	562	2.81525	0.06429	0.23692	0.00441	0.45	1362	16	1.05	0.31	0.012	48
95224a1_103	768	81	3.84185	0.09968	0.27732	0.00623	0.53	1598	21	3.06	0.08	0.013	47
95224a1_104	358	183	1.56501	0.05389	0.15756	0.00408	0.55	951	19	1.59	0.21	0.020	47
95224a1_105	733	284	1.83418	0.05517	0.16790	0.00432	0.59	1001	20	48.06	0.00	0.020	46
95224a1_106	425	140	2.07409	0.06095	0.19282	0.00412	0.47	1139	18	0.11	0.74	0.016	45
95224a1_107	384	43	2.20037	0.05911	0.19665	0.00381	0.48	1171	17	5.56	0.02	0.014	48
95224a1_108	431	498	2.18079	0.06349	0.19901	0.00486	0.52	1174	19	0.18	0.67	0.017	47
95224a1_109	110	133	2.58115	0.08966	0.22253	0.00464	0.32	1295	20	0.00	1.00	0.016	48
95224a1_110	347	148	2.12220	0.05371	0.19554	0.00388	0.45	1154	16	0.21	0.64	0.014	47
95224a1_111	533	414	0.90423	0.02680	0.10757	0.00212	0.49	657	11	0.47	0.49	0.017	47
95224a1_112	471	359	3.62811	0.09773	0.27782	0.00659	0.53	1558	21	2.97	0.09	0.014	48
95224a1_113	326	81	4.55623	0.11685	0.30895	0.00628	0.51	1740	21	0.18	0.67	0.012	47
95224a1_114	390	97	3.17928	0.08627	0.24612	0.00510	0.56	1443	20	8.77	0.00	0.014	47
95224a1_115	232	150	0.82509	0.03389	0.09925	0.00206	0.29	610	11	0.01	0.93	0.019	47
95224a1_116	263	133	2.14878	0.06745	0.19748	0.00426	0.48	1163	19	0.06	0.80	0.017	48
95224a1_117	0	0	0	0	0	0	0	#VALUE!	#VALUE!	#VALUE!	#VALUE!	#VALUE!	0
95224a1_118	148	97	2.14457	0.07333	0.19897	0.00419	0.35	1167	19	0.24	0.62	0.016	47
95224a1_119	255	145	1.65924	0.04673	0.16742	0.00354	0.52	995	16	0.27	0.60	0.016	48
95224a1_120	209	202	0.79964	0.03776	0.09790	0.00226	0.31	601	13	0.27	0.61	0.021	48
CT07RIM02_01		**952-26**											
95226a1_1	127	36	15.26195	0.39566	0.54947	0.01187	0.68	2833	24	0.22	0.64	0.009	47
95226a1_2	126	108	0.77666	0.03731	0.09344	0.00213	0.36	577	12	0.56	0.45	0.021	47
95226a1_3	201	87	0.69504	0.02663	0.08625	0.00181	0.41	534	10	0.11	0.74	0.019	46
95226a1_4	68	64	0.91483	0.05553	0.10567	0.00283	0.29	649	16	0.67	0.41	0.025	48
95226a1_5	208	150	0.88138	0.03863	0.10055	0.00200	0.34	621	11	5.61	0.02	0.018	46
95226a1_6	14	10	1.10938	0.12746	0.10560	0.00500	0.27	656	29	12.27	0.00	0.044	47
95226a1_7	259	279	1.05051	0.03606	0.12016	0.00211	0.31	731	11	0.07	0.80	0.015	47
95226a1_8	128	82	0.82295	0.04033	0.09613	0.00179	0.19	594	10	2.44	0.12	0.017	46
95226a1_9	69	163	5.47661	0.17361	0.34058	0.00741	0.49	1895	26	0.21	0.65	0.014	47

Numéro d'analyse	[U] (ppm)	[Th] (ppm)	207Pb/ 235Uc	2 sigma	206Pb/ 238U	2 sigma	Corré-lation d'erreur	Age Concordia (Ma)	A priori erreur de 2σ	MSWD	Probabilité-de-concordance (rej <.15)	Erreur/ âge (rej >0.40)	Nombres de balayages concordants (rej <5)
95226a1_10	133	147	6.21619	0.19107	0.35799	0.00789	0.47	1999	26	3.93	0.05	0.013	38
95226a1_11	253	671	0.75414	0.03164	0.09175	0.00209	0.39	567	12	0.29	0.59	0.021	48
95226a1_12	171	69	8.60099	0.41556	0.41096	0.01403	0.58	2287	44	8.66	0.00	0.019	42
95226a1_13	151	64	0.89430	0.04062	0.10152	0.00229	0.33	628	13	5.47	0.02	0.021	48
95226a1_14	56	48	7.10703	0.21748	0.37795	0.00975	0.67	2129	27	11.76	0.00	0.013	47
95226a1_15	248	77	6.44061	0.16829	0.36986	0.00828	0.71	2039	23	0.42	0.52	0.011	48
95226a1_16	68	32	0.84654	0.05260	0.10240	0.00313	0.35	627	18	0.17	0.68	0.028	46
95226a1_17	405	340	0.82006	0.02738	0.09907	0.00203	0.49	609	11	0.02	0.90	0.019	47
95226a1_18	95	73	0.78772	0.04187	0.09699	0.00250	0.33	595	14	0.34	0.56	0.024	48
95226a1_19	299	175	0.74642	0.02944	0.09125	0.00177	0.33	564	10	0.14	0.71	0.018	47
95226a1_20	103	102	0.90210	0.04150	0.10228	0.00246	0.38	632	14	5.42	0.02	0.022	48
95226a1_21	194	73	7.34959	0.16887	0.39347	0.00733	0.64	2155	21	1.46	0.23	0.010	47
95226a1_22	219	119	2.00603	0.05408	0.18941	0.00361	0.49	1118	16	0.00	0.95	0.015	48
95226a1_23	292	461	0.94729	0.02726	0.10891	0.00221	0.49	671	12	2.21	0.14	0.017	47
95226a1_24	152	93	7.59301	0.19275	0.39655	0.00836	0.66	2186	23	4.43	0.04	0.010	47
95226a1_25	51	151	16.61684	0.55167	0.56955	0.01458	0.58	2913	32	0.08	0.77	0.011	47
95226a1_26	19	24	1.10389	0.13825	0.12134	0.00407	0.21	739	23	0.26	0.61	0.031	46
95226a1_27	48	38	0.81847	0.07748	0.10314	0.00296	0.18	630	17	1.41	0.23	0.027	44
95226a1_28	153	68	0.80165	0.04077	0.09404	0.00225	0.28	582	13	2.51	0.11	0.022	47
95226a1_29	148	139	0.82262	0.04168	0.09876	0.00239	0.33	608	13	0.04	0.84	0.022	47
95226a1_30	361	67	0.79263	0.02928	0.09859	0.00200	0.40	603	11	2.85	0.09	0.018	46
95226a1_31	253	114	0.87472	0.03187	0.10296	0.00192	0.32	633	11	0.54	0.46	0.017	47
95226a1_32	275	77	9.11483	0.21402	0.43265	0.00818	0.58	2349	22	4.52	0.03	0.009	47
95226a1_33	180	144	0.84640	0.03568	0.10170	0.00197	0.26	624	11	0.03	0.86	0.017	47
95226a1_34	178	115	0.88777	0.03191	0.09851	0.00230	0.40	617	13	20.86	0.00	0.020	44
95226a1_35	148	70	10.92924	0.32242	0.45684	0.01064	0.58	2515	28	22.69	0.00	0.011	40
95226a1_36	81	72	0.81469	0.04002	0.09642	0.00244	0.27	596	13	1.01	0.32	0.022	48
95226a1_37	284	226	5.98340	0.14103	0.36088	0.00675	0.57	1974	21	0.94	0.33	0.010	46
95226a1_38	392	97	2.84400	0.07131	0.23477	0.00454	0.52	1365	18	0.53	0.47	0.013	48
95226a1_39	40	75	0.81851	0.06310	0.09732	0.00311	0.22	600	17	0.22	0.64	0.029	46
95226a1_40	318	156	0.77776	0.02972	0.09510	0.00195	0.37	585	11	0.03	0.87	0.019	48
95226a1_41	159	65	0.70781	0.02809	0.08967	0.00176	0.33	552	10	1.52	0.22	0.018	48
95226a1_42	114	115	0.89346	0.04244	0.10085	0.00224	0.28	624	13	6.22	0.01	0.020	48
95226a1_43	143	67	0.75079	0.03590	0.09584	0.00206	0.23	586	11	3.97	0.05	0.019	47
95226a1_44	415	135	3.44773	0.09538	0.26152	0.00533	0.59	1511	21	2.41	0.12	0.014	48
95226a1_45	324	111	0.84437	0.03124	0.09804	0.00190	0.35	607	11	4.78	0.03	0.018	39
95226a1_46	119	53	2.61588	0.07963	0.22663	0.00446	0.48	1310	20	0.99	0.32	0.015	48
95226a1_47	96	72	6.46575	0.20100	0.36267	0.00904	0.61	2039	27	7.41	0.01	0.013	48
95226a1_48	349	240	0.88926	0.03176	0.10386	0.00261	0.49	640	14	1.18	0.28	0.022	46
95226a1_49	4.019011	0.4832861	11.47084	11.8478	0.2701924	0.2151925	0.6432569	1170	1058	2.68	0.10	0.904	1
95226a1_50	341	139	0.87853	0.03284	0.10226	0.00221	0.36	631	12	1.98	0.16	0.019	47
95226a1_51	42	34	6.72193	0.23534	0.36630	0.00880	0.47	2059	30	10.93	0.00	0.015	46
95226a1_52	332	185	0.79396	0.02481	0.09574	0.00194	0.50	591	11	0.39	0.53	0.018	48
95226a1_53	969.8235	58.2842	8.111782	1.031387	0.2593375	0.02840578	0.7190726	1138	143	166.70	0.00	0.126	0
95226a1_54	158	109	0.82915	0.03376	0.10123	0.00195	0.32	620	11	0.83	0.36	0.018	46
95226a1_55	293	490	15.53657	0.36191	0.53179	0.00962	0.54	2846	23	34.07	0.00	0.008	44
95226a1_56	132	81	1.30985	0.13301	0.11993	0.00709	0.45	747	40	17.99	0.00	0.053	13
95226a1_57	147	62	2.12003	0.07284	0.19541	0.00435	0.49	1153	20	0.16	0.69	0.018	48
95226a1_58	423.5514	297.1725	0.8552312	0.1454301	0.08227134	0.01011849	0.460687	532	58	9.35	0.00	0.109	3

Numéro d'analyse	[U] (ppm)	[Th] (ppm)	207Pb/ 235Uc	2 sigma	206Pb/ 238U	2 sigma	Corré-lation d'erreur	Age Concordia (Ma)	A priori erreur de 2σ	MSWD	Probabilité-de-concordance (rej <.15)	Erreur/ âge (rej >0.40)	Nombres de balayages concordants (rej <5)
95226a1_59	16	14	0.67230	0.13735	0.09843	0.00390	0.10	601	22	4.19	0.04	0.037	47
95226a1_60	197	166	0.81735	0.03364	0.10021	0.00212	0.24	613	11	0.83	0.36	0.019	47
95226a1_61	187	103	0.75486	0.03217	0.09444	0.00206	0.33	579	11	1.34	0.25	0.020	48
95226a1_62	53	40	5.52540	0.22636	0.34055	0.00858	0.43	1899	32	0.55	0.46	0.017	48
95226a1_63	158	76	0.81992	0.04191	0.09672	0.00278	0.33	598	15	1.17	0.28	0.026	42
95226a1_64	395	256	0.77090	0.02739	0.09502	0.00204	0.40	584	11	0.39	0.53	0.019	48
95226a1_65	1973.397	827.0172	0.4698795	0.09256415	0.02223787	0.004124142	0.6640326	95	24	70.01	0.00	0.250	0
95226a1_66	153	85	3.96892	0.10112	0.28733	0.00543	0.52	1628	20	0.00	0.98	0.012	46
95226a1_67	96	77	5.63751	0.18512	0.34054	0.00797	0.54	1915	28	3.85	0.05	0.015	47
95226a1_68	463.7086	265.3307	4.141179	0.382394	0.2571188	0.01835818	0.5690327	1600	75	21.64	0.00	0.047	3
95226a1_69	333	288	0.93131	0.03408	0.10462	0.00198	0.37	646	11	9.36	0.00	0.017	47
95226a1_70	442	169	0.80135	0.02512	0.09555	0.00168	0.40	590	9	1.86	0.17	0.016	47
95226a1_71	71	38	5.85760	0.21122	0.37807	0.00910	0.47	1978	30	32.44	0.00	0.015	42
95226a1_72	141	118	0.72302	0.03612	0.08680	0.00220	0.30	540	12	2.17	0.14	0.023	46
95226a1_73	227	145	0.79732	0.03125	0.09591	0.00220	0.35	592	12	0.30	0.58	0.020	48
95226a1_74	194	124	6.34816	0.16657	0.36708	0.00722	0.48	2023	23	0.38	0.54	0.011	48
95226a1_75	59	24	7.22851	0.21309	0.39055	0.00977	0.53	2139	26	0.57	0.45	0.012	47
95226a1_76	314	186	0.71093	0.03302	0.08723	0.00270	0.49	541	15	0.46	0.50	0.028	48
95226a1_77	94	72	7.42628	0.21487	0.39261	0.00895	0.59	2163	26	3.00	0.08	0.012	46
95226a1_78	110	80	0.89946	0.04404	0.10354	0.00284	0.37	639	16	1.97	0.16	0.025	46
95226a1_79	360	144	11.66055	0.34202	0.48098	0.01147	0.57	2578	28	5.04	0.02	0.011	48
95226a1_80	275	154	0.85018	0.03533	0.09926	0.00294	0.44	616	15	2.24	0.13	0.025	48
95226a1_81	432	463	4.82452	0.23177	0.29122	0.01276	0.78	1820	38	48.64	0.00	0.021	19
95226a1_82	559	218	0.80845	0.02683	0.09756	0.00224	0.46	601	12	0.04	0.84	0.020	48
95226a1_83	202	125	0.79509	0.03370	0.09343	0.00199	0.35	579	11	3.82	0.05	0.020	48
95226a1_84	419	172	5.81888	0.15333	0.33303	0.00724	0.66	1948	23	53.01	0.00	0.012	48
95226a1_85	161	97	0.78404	0.03298	0.09465	0.00192	0.30	584	11	0.26	0.61	0.018	47
95226a1_86	133	194	0.83991	0.04059	0.09983	0.00223	0.34	614	13	0.27	0.60	0.021	47
95226a1_87	21	22	12.87496	0.53973	0.48906	0.01579	0.61	2672	40	14.77	0.00	0.015	46
95226a1_88	428	331	0.90350	0.02908	0.10357	0.00230	0.47	642	12	5.92	0.02	0.019	45
95226a1_89	218	155	0.80257	0.03091	0.09669	0.00208	0.36	596	12	0.15	0.70	0.019	47
95226a1_90	211	50	5.22094	0.13706	0.31048	0.00671	0.56	1840	23	67.27	0.00	0.012	47
95226a1_91	146	137	0.77315	0.03564	0.09400	0.00218	0.29	580	12	0.05	0.82	0.021	48
95226a1_92	39	31	3.97442	0.18001	0.26844	0.01000	0.64	1617	37	23.96	0.00	0.023	47
95226a1_93	422	22	5.17839	0.13918	0.30946	0.00591	0.51	1815	22	70.87	0.00	0.012	38
95226a1_94	140	103	0.84430	0.04333	0.10076	0.00228	0.24	619	13	0.05	0.83	0.020	47
95226a1_95	230	146	12.04998	0.27845	0.48746	0.00882	0.56	2607	22	9.29	0.00	0.008	47
95226a1_96	893	876	0.67887	0.24778	0.08559	0.00296	0.02	529	18	0.00	0.96	0.033	18
95226a1_97	513	282	5.09515	0.11493	0.31119	0.00554	0.53	1819	19	56.17	0.00	0.010	48
95226a1_98	176	50	2.05752	0.06613	0.19253	0.00415	0.46	1135	19	0.00	0.98	0.017	48
95226a1_99	275	331	0.81096	0.02722	0.09542	0.00194	0.40	592	11	4.24	0.04	0.018	45
95226a1_100	286	99	9.61121	0.22696	0.44020	0.00809	0.53	2395	22	9.01	0.00	0.009	48
95226a1_101	155	62	0.78739	0.03034	0.09890	0.00222	0.37	603	12	4.47	0.03	0.020	48
95226a1_102	84	31	1.63521	0.06743	0.16462	0.00369	0.39	983	19	0.01	0.91	0.019	48
95226a1_103	102	118	0.81057	0.03782	0.10066	0.00247	0.32	614	13	2.10	0.15	0.022	47
95226a1_104	129	35	2.32045	0.07379	0.20994	0.00459	0.51	1223	20	0.71	0.40	0.017	48
95226a1_105	722.8665	514.5773	4.629007	0.5752345	0.1766561	0.01959039	0.7603919	921	100	204.81	0.00	0.108	0
95226a1_106	294	174	0.79752	0.03201	0.09632	0.00265	0.53	594	15	0.10	0.75	0.024	47
95226a1_107	302	169	0.78671	0.02961	0.09791	0.00233	0.44	598	13	2.46	0.12	0.021	47

Numéro d'analyse	[U] (ppm)	[Th] (ppm)	207Pb/ 235Uc	2 sigma	206Pb/ 238U	2 sigma	Corré-lation d'erreur	Age Concordia (Ma)	A priori erreur de 2σ	MSWD	Probabilité-de-concordance (rej <.15)	Erreur/ âge (rej >0.40)	Nombres de balayages concordants (rej <5)
95226a1_108	210	183	5.67144	0.17463	0.34411	0.00851	0.61	1926	27	1.62	0.20	0.014	47
95226a1_109	64	25	16.08091	0.53752	0.53466	0.01645	0.73	2908	29	22.86	0.00	0.010	46
95226a1_110	83	44	0.85407	0.04114	0.09915	0.00271	0.36	614	15	2.41	0.12	0.024	48
95226a1_111	377	141	1.72265	0.05196	0.16913	0.00423	0.63	1014	19	1.08	0.30	0.019	47
95226a1_112	676	434	0.83905	0.02552	0.09617	0.00230	0.59	604	12	17.98	0.00	0.021	44
95226a1_113	735	264	10.15116	0.33991	0.42784	0.01191	0.61	2451	31	52.28	0.00	0.013	25
95226a1_114	196	72	3.24481	0.09784	0.25866	0.00596	0.53	1471	23	1.25	0.26	0.015	47
95226a1_115	138	68	1.13117	0.04742	0.12236	0.00292	0.42	750	16	4.84	0.03	0.021	47
95226a1_116	166	153	0.81278	0.03758	0.09937	0.00229	0.28	609	13	0.38	0.53	0.021	47
95226a1_117	259	55	0.98313	0.06093	0.10459	0.00384	0.33	655	21	11.20	0.00	0.032	28
95226a1_118	51	23	1.06816	0.10416	0.10573	0.00436	0.24	657	25	11.43	0.00	0.038	27
95226a1_119	182	151	0.85250	0.03138	0.10072	0.00233	0.35	621	12	0.68	0.41	0.020	48
95226a1_120	316	301	0.81209	0.02932	0.09556	0.00224	0.42	593	12	3.54	0.06	0.021	48
DB07RIM80a		**952-27**											
95227a1_1	310	257	6.58730	0.18670	0.37680	0.00885	0.69	2057	25	0.06	0.81	0.012	38
95227a1_2	160	118	6.75673	0.17301	0.38510	0.00714	0.53	2083	22	1.92	0.17	0.011	47
95227a1_3	9	17	5.51310	9.55724	0.14330	0.25551	0.59	642	1399	1.05	0.31	2.179	15
95227a1_4	55	24	17.53223	0.61573	0.57676	0.01762	0.76	2972	31	1.26	0.26	0.010	48
95227a1_5	108	105	3.92212	0.58648	0.20762	0.02627	0.62	1366	130	45.38	0.00	0.095	15
95227a1_6	669.8562	216.2065	1.814879	0.236353	0.1215624	0.01221424	0.5882903	747	70	60.44	0.00	0.094	0
95227a1_7	78	53	6.26843	0.21297	0.36211	0.00883	0.57	2011	29	1.57	0.21	0.015	47
95227a1_8	149	108	7.01646	0.19001	0.38448	0.00839	0.65	2114	24	1.19	0.28	0.011	47
95227a1_9	174	210	6.56524	0.17481	0.36719	0.00732	0.54	2049	23	6.81	0.01	0.011	47
95227a1_10	64	41	4.36763	0.19435	0.30397	0.00844	0.43	1708	33	0.05	0.82	0.019	28
95227a1_11	242	227	4.71216	0.99850	0.27912	0.05904	0.93	1912	109	5.88	0.02	0.057	5
95227a1_12	92	108	11.13051	1.27288	0.39965	0.04454	0.95	2798	43	44.10	0.00	0.015	20
95227a1_13	47	62	14.95720	0.47677	0.53986	0.01366	0.64	2815	30	1.78	0.18	0.011	47
95227a1_14	246	365	5.83422	0.15250	0.32531	0.00664	0.51	1923	23	90.54	0.00	0.012	46
95227a1_15	186	276	14.45653	0.48381	0.52780	0.01386	0.56	2781	32	3.94	0.05	0.012	12
95227a1_16	613	323	3.27826	0.07701	0.25187	0.00503	0.50	1471	18	5.76	0.02	0.012	47
95227a1_17	497.9226	421.7135	2.468018	0.5022187	0.1389974	0.0239046	0.6121855	835	135	35.51	0.00	0.162	0
95227a1_18	373	93	4.58539	0.12521	0.30402	0.00632	0.49	1739	22	6.26	0.01	0.013	48
95227a1_19	87.48486	276.7188	3.131438	1.45759	0.1705369	0.08129074	0.6033497	1039	428	5.78	0.02	0.412	2
95227a1_20	170	199	5.94680	0.16529	0.33254	0.00758	0.64	1963	24	70.24	0.00	0.012	45
95227a1_21	656.4819	595.0786	2.614597	0.3423668	0.1421695	0.01624179	0.6786558	797	92	103.90	0.00	0.115	0
95227a1_22	52.31402	26.00385	3.262249	1.697688	0.1730824	0.04227161	0.3202693	1042	231	3.50	0.06	0.222	1
95227a1_23	214	123	7.19728	0.19607	0.38742	0.00847	0.63	2136	24	2.70	0.10	0.011	46
95227a1_24	254	218	4.67176	0.18589	0.27831	0.00885	0.52	1714	33	82.07	0.00	0.019	41
95227a1_25	125	198	13.19904	3.09048	0.46759	0.10961	0.98	2853	59	2.69	0.10	0.021	11
95227a1_26	125	105	15.06223	0.39066	0.54433	0.01158	0.61	2820	25	0.82	0.36	0.009	48
95227a1_27	143	59	6.84450	0.21013	0.38196	0.00906	0.61	2091	27	0.13	0.72	0.013	46
95227a1_28	106	45	7.18825	0.20433	0.38932	0.00709	0.45	2131	24	0.96	0.33	0.011	47
95227a1_29	97	57	16.14140	0.41447	0.54461	0.01136	0.63	2892	25	19.49	0.00	0.008	46
95227a1_30	591	277	0.92422	0.02464	0.10829	0.00183	0.40	663	10	0.07	0.78	0.015	47
95227a1_31	165	249	11.55574	0.32995	0.46493	0.01130	0.64	2577	27	31.26	0.00	0.010	44
95227a1_32	138	97	6.66090	0.19416	0.38067	0.00931	0.65	2067	26	0.51	0.48	0.013	47
95227a1_33	35	13	6.28242	0.25089	0.36079	0.01155	0.64	2016	35	2.02	0.15	0.017	47
95227a1_34	257	122	12.60869	0.37591	0.50876	0.01278	0.56	2651	28	0.00	0.98	0.011	47
95227a1_35	8	3	16.17726	0.86371	0.60794	0.02600	0.57	2876	51	16.01	0.00	0.018	45

Numéro d'analyse	[U] (ppm)	[Th] (ppm)	207Pb/ 235Uc	2 sigma	206Pb/ 238U	2 sigma	Corré-lation d'erreur	Age Concordia (Ma)	A priori erreur de 2σ	MSWD	Probabilité-de-concordance (rej <.15)	Erreur/ âge (rej >0.40)	Nombres de balayages concordants (rej <5)
95227a1_36	47	59	11.28335	0.72457	0.42062	0.02456	0.86	2681	44	72.43	0.00	0.016	29
95227a1_37	189	162	7.38338	0.23005	0.39366	0.01072	0.65	2160	28	1.02	0.31	0.013	47
95227a1_38	307	156	17.43548	0.84569	0.54511	0.02450	0.83	3017	37	20.53	0.00	0.012	15
95227a1_39	1350.092	1400.184	2.148124	0.2691678	0.08806834	0.009286528	0.6169528	415	52	162.53	0.00	0.126	0
95227a1_40	120	84	6.73753	0.19975	0.37785	0.00917	0.59	2077	26	0.42	0.52	0.013	28
95227a1_41	187	151	5.03742	0.20153	0.28988	0.00867	0.53	1767	34	91.96	0.00	0.019	23
95227a1_42	48	16	7.44526	0.23904	0.39082	0.00956	0.57	2163	29	4.69	0.03	0.013	47
95227a1_43	652.9995	1107.309	7.436442	1.263129	0.2147041	0.03486071	0.7910469	589	158	116.89	0.00	0.268	0
95227a1_44	106.2683	86.16422	11.34887	5.180501	0.362239	0.1574979	0.8467802	2816	275	6.74	0.01	0.098	1
95227a1_45	372	256	5.46841	0.14000	0.33508	0.00666	0.61	1892	22	6.39	0.01	0.012	48
95227a1_46	499	463	5.67236	0.14197	0.32591	0.00627	0.60	1911	22	77.71	0.00	0.011	44
95227a1_47	280	235	5.06380	0.23946	0.29728	0.01290	0.82	1882	36	62.72	0.00	0.019	18
95227a1_48	27	39	14.87650	0.62495	0.53620	0.01976	0.78	2819	36	1.91	0.17	0.013	47
95227a1_49	526.5765	311.9825	4.38762	0.4970054	0.1168908	0.01153897	0.5073296	559	65	227.46	0.00	0.116	0
95227a1_50	83	65	6.70830	0.20586	0.37087	0.00860	0.62	2071	27	6.33	0.01	0.013	46
95227a1_51	477.2806	170.1485	3.096182	0.3596833	0.1155824	0.01042432	0.5589296	582	59	181.35	0.00	0.101	0
95227a1_52	82	175	11.40446	0.46055	0.50735	0.01794	0.72	2539	37	9.68	0.00	0.014	20
95227a1_53	67	57	20.09695	0.54802	0.59240	0.01288	0.61	3103	26	21.67	0.00	0.009	41
95227a1_54	424.2022	395.1433	2.863631	0.3859149	0.1755178	0.01797762	0.6405941	1081	97	51.86	0.00	0.090	0
95227a1_55	108	217	5.61813	0.62111	0.30477	0.03215	0.94	2089	53	26.97	0.00	0.026	22
95227a1_56	542	261	0.73610	0.02412	0.09134	0.00192	0.50	562	11	0.26	0.61	0.019	47
95227a1_57	247	208	8.13438	0.22758	0.41285	0.00927	0.57	2245	25	1.07	0.30	0.011	48
95227a1_58	307	339	13.50539	0.55426	0.48172	0.01878	0.79	2771	33	41.99	0.00	0.012	23
95227a1_59	277	195	5.44891	0.23989	0.30817	0.01221	0.78	1929	36	70.28	0.00	0.018	35
95227a1_60	288	357	14.82499	0.38015	0.53399	0.01180	0.63	2809	24	5.48	0.02	0.009	41
95227a1_61	114	107	6.97694	0.23946	0.38370	0.01114	0.69	2110	30	0.61	0.43	0.014	48
95227a1_62	369	198	2.74463	0.08402	0.22844	0.00600	0.72	1340	23	1.69	0.19	0.017	46
95227a1_63	46	45	18.68212	0.71909	0.57542	0.02010	0.77	3051	33	10.60	0.00	0.011	48
95227a1_64	156	88	2.90539	0.09076	0.23988	0.00526	0.48	1384	22	0.04	0.83	0.016	46
95227a1_65	1561.461	2509.232	2.038895	0.4015896	0.09028025	0.01673717	0.8699022	206	69	85.33	0.00	0.337	0
95227a1_66	32	61	15.00918	0.61477	0.53516	0.01680	0.55	2815	39	3.20	0.07	0.014	42
95227a1_67	103	68	6.53555	0.21540	0.37350	0.00977	0.61	2051	29	0.07	0.79	0.014	48
95227a1_68	91.6981	38.5967	4.88857	1.412861	0.2753448	0.06201485	0.6263212	1735	250	3.52	0.06	0.144	1
95227a1_69	178	166	5.37985	0.14483	0.33120	0.00702	0.57	1877	23	6.96	0.01	0.012	47
95227a1_70	354	195	7.01682	0.18926	0.38227	0.00743	0.54	2109	24	3.20	0.07	0.011	45
95227a1_71	407	136	5.16189	0.54631	0.29584	0.02727	0.81	1894	83	18.75	0.00	0.044	5
95227a1_72	250	168	4.84278	0.13668	0.32002	0.00751	0.60	1792	24	0.03	0.86	0.013	48
95227a1_73	71	40	1.51580	0.08201	0.14792	0.00436	0.41	901	23	8.53	0.00	0.026	48
95227a1_74	153	53	14.22473	0.38006	0.52460	0.01170	0.62	2769	25	5.56	0.02	0.009	48
95227a1_75	112	29	3.27983	0.10732	0.25540	0.00594	0.45	1473	23	0.45	0.50	0.016	48
95227a1_76	132	65	6.60575	0.17564	0.37897	0.00757	0.54	2061	23	0.56	0.45	0.011	47
95227a1_77	345	298	13.84669	0.33013	0.53617	0.01040	0.61	2737	23	2.57	0.11	0.008	47
95227a1_78	619.2918	1146.412	3.634654	0.6992236	0.1981402	0.0329084	0.71858	1268	171	36.55	0.00	0.135	0
95227a1_79	878	1079	1.53550	0.09562	0.14956	0.00584	0.44	914	30	5.83	0.02	0.033	5
95227a1_80	190	177	19.70424	0.68426	0.57306	0.01671	0.70	3105	32	38.37	0.00	0.010	34
95227a1_81	71	44	7.21893	0.22102	0.38967	0.00954	0.56	2138	27	0.91	0.34	0.013	48
95227a1_82	208	98	6.86463	0.40848	0.33194	0.01826	0.77	2151	48	73.02	0.00	0.022	18
95227a1_83	450.7806	739.6024	2.619287	0.3602171	0.1450651	0.01564305	0.5432897	887	88	68.92	0.00	0.099	0
95227a1_84	140.882	97.52229	16.87037	6.328324	0.457518	0.1643762	0.7684227	3072	284	4.25	0.04	0.092	1

Numéro d'analyse	[U] (ppm)	[Th] (ppm)	207Pb/ 235Uc	2 sigma	206Pb/ 238U	2 sigma	Corré-lation d'erreur	Age Concordia (Ma)	A priori erreur de 2σ	MSWD	Probabilité-de-concordance (rej <.15)	Erreur/ âge (rej >0.40)	Nombres de balayages concordants (rej <5)
95227a1_85	267	86	0.89200	0.02919	0.10404	0.00203	0.41	641	11	1.49	0.22	0.017	47
95227a1_86	88	42	5.35711	0.19199	0.33258	0.00866	0.53	1873	30	2.21	0.14	0.016	47
95227a1_87	21	26	6.39432	0.31810	0.36835	0.01292	0.53	2030	43	0.14	0.71	0.021	48
95227a1_88	72	131	6.21720	0.66155	0.33238	0.01482	0.19	1896	64	8.16	0.00	0.034	8
95227a1_89	242	251	12.88602	0.40869	0.48040	0.01317	0.72	2697	28	47.54	0.00	0.011	40
95227a1_90	192	153	5.81846	0.23832	0.33056	0.01153	0.61	1944	36	23.89	0.00	0.018	17
95227a1_91	152	68	0.78523	0.02948	0.09715	0.00203	0.34	595	11	1.19	0.28	0.019	46
95227a1_92	213	65	7.52886	0.19696	0.39469	0.00778	0.60	2174	24	4.80	0.03	0.011	48
95227a1_93	0	0	0	0	0	0	0	#VALUE!	#VALUE!	#VALUE!	#VALUE!	#VALUE!	0
95227a1_94	156	127	14.05304	0.41075	0.51657	0.01261	0.71	2765	27	12.23	0.00	0.010	48
95227a1_95	402	58	4.59150	0.21854	0.28463	0.01222	0.84	1798	36	56.88	0.00	0.020	20
95227a1_96	202	306	1.51441	0.06236	0.15260	0.00357	0.44	922	19	2.88	0.09	0.020	48
95227a1_97	213	440	3.52362	0.67443	0.22044	0.03951	0.89	1679	119	23.97	0.00	0.071	5
95227a1_98	92	61	15.81027	0.48688	0.56554	0.01342	0.62	2864	30	1.20	0.27	0.010	47
95227a1_99	96	68	1.30953	0.14664	0.11577	0.00546	0.26	718	31	17.92	0.00	0.043	9
95227a1_100	59	51	11.01015	0.35145	0.46857	0.01155	0.59	2524	30	5.21	0.02	0.012	47
95227a1_101	145	182	6.15175	0.34663	0.32482	0.01626	0.76	2033	47	50.67	0.00	0.023	21
95227a1_102	297	130	5.94975	0.15849	0.36090	0.00773	0.59	1969	23	1.46	0.23	0.012	47
95227a1_103	204	168	0.87775	0.03165	0.10473	0.00253	0.48	641	14	0.08	0.78	0.021	48
95227a1_104	326	200	2.34252	0.06354	0.20763	0.00393	0.54	1222	18	0.88	0.35	0.014	47
95227a1_105	95	65	5.16784	0.17339	0.32665	0.00793	0.55	1842	28	2.32	0.13	0.015	48
95227a1_106	160	60	7.24255	0.20125	0.39847	0.00859	0.63	2142	25	1.70	0.19	0.012	47
95227a1_107	36	10	16.60017	0.56107	0.57105	0.01555	0.66	2912	32	0.00	1.00	0.011	47
95227a1_108	650	315	0.80298	0.02348	0.09016	0.00175	0.48	567	10	45.19	0.00	0.017	34
95227a1_109	207	298	14.05602	0.69451	0.50043	0.02249	0.75	2787	42	16.24	0.00	0.015	23
95227a1_110	143	43	2.31740	0.07795	0.20847	0.00472	0.47	1219	21	0.06	0.81	0.017	48
95227a1_111	95	33	13.52712	0.40489	0.52042	0.01232	0.66	2719	28	0.66	0.42	0.010	47
95227a1_112	139	58	3.36022	0.10221	0.26046	0.00632	0.63	1495	24	0.05	0.82	0.016	48
95227a1_113	195	91	7.64336	0.20545	0.40807	0.00851	0.61	2190	24	1.08	0.30	0.011	48
95227a1_114	112	110	6.79971	0.20164	0.37840	0.00949	0.65	2087	26	0.99	0.32	0.013	47
95227a1_115	75	33	6.59133	0.22427	0.38111	0.00978	0.63	2059	30	1.69	0.19	0.015	46
95227a1_116	74	122	6.90041	0.22234	0.38944	0.00844	0.55	2103	28	1.63	0.20	0.013	48
95227a1_117	274	201	6.06705	0.15288	0.35616	0.00652	0.55	1982	22	2.63	0.10	0.011	48
95227a1_118	99	91	6.32998	0.21619	0.35951	0.00946	0.60	2019	30	5.59	0.02	0.015	47
95227a1_119	151.1203	149.1695	3.75603	1.53062	0.2082486	0.06606267	0.4930218	1351	321	4.13	0.04	0.237	1
95227a1_120	188	139	6.68117	0.18566	0.37685	0.00759	0.58	2069	24	0.34	0.56	0.012	47
DB07RIM76a	**952-28**												
95228a1_1	152	99	6.49372	0.16078	0.39588	0.00760	0.57	2050	22	51.01	0.00	0.011	47
95228a1_2	51	25	3.43307	0.15160	0.25866	0.00670	0.39	1497	29	2.28	0.13	0.019	48
95228a1_3	420	115	5.55492	0.13013	0.34071	0.00605	0.58	1907	20	2.52	0.11	0.011	48
95228a1_4	164	50	10.10778	0.24040	0.46255	0.00852	0.64	2444	22	0.18	0.68	0.009	46
95228a1_5	512	205	3.41689	0.08028	0.26531	0.00462	0.57	1510	18	0.74	0.39	0.012	48
95228a1_6	256	120	3.48397	0.07896	0.26614	0.00464	0.58	1523	18	0.06	0.81	0.012	48
95228a1_7	531	408	2.34906	0.05492	0.20963	0.00374	0.57	1227	16	0.00	0.96	0.013	48
95228a1_8	255	79	2.34554	0.06918	0.20658	0.00363	0.43	1217	17	2.04	0.15	0.014	48
95228a1_9	250	218	4.93753	0.12519	0.31912	0.00599	0.55	1804	21	3.37	0.07	0.012	47
95228a1_10	306	65	2.89263	0.06580	0.23369	0.00395	0.55	1372	16	8.07	0.00	0.012	47
95228a1_11	1543	1011	2.46574	0.05468	0.21200	0.00367	0.60	1256	16	7.55	0.01	0.012	47
95228a1_12	350	59	3.38575	0.07414	0.26364	0.00423	0.56	1503	17	0.61	0.44	0.011	47

Numéro d'analyse	[U] (ppm)	[Th] (ppm)	207Pb/ 235Uc	2 sigma	206Pb/ 238U	2 sigma	Corré-lation d'erreur	Age Concordia (Ma)	A priori erreur de 2σ	MSWD	Probabilité-de-concordance (rej <.15)	Erreur/ âge (rej >0.40)	Nombres de balayages concordants (rej <5)
95228a1_13	50	71	3.35893	0.13533	0.23933	0.00564	0.44	1426	26	46.08	0.00	0.019	39
95228a1_14	976	424	2.66179	0.06022	0.22127	0.00397	0.55	1310	16	10.19	0.00	0.012	46
95228a1_15	537	187	2.30792	0.05714	0.20871	0.00393	0.56	1217	17	0.62	0.43	0.014	47
95228a1_16	225	326	5.93029	0.14841	0.34447	0.00703	0.61	1963	22	18.41	0.00	0.011	46
95228a1_17	41	15	1.50951	0.08302	0.16718	0.00509	0.36	991	25	15.14	0.00	0.025	47
95228a1_18	128	75	6.03104	0.22063	0.37008	0.01111	0.62	1980	32	5.75	0.02	0.016	48
95228a1_19	387	131	3.52220	0.11369	0.26679	0.00701	0.48	1531	25	0.23	0.63	0.016	48
95228a1_20	520	175	5.70535	0.16467	0.34599	0.00938	0.59	1933	25	0.84	0.36	0.013	48
95228a1_21	362	117	3.60943	0.12067	0.25941	0.00854	0.54	1547	27	12.28	0.00	0.017	43
95228a1_22	245	133	4.48358	0.15229	0.30534	0.00930	0.54	1727	28	0.27	0.60	0.016	48
95228a1_23	130	51	2.47039	0.09222	0.21648	0.00685	0.60	1263	27	0.00	0.99	0.021	47
95228a1_24	825	457	3.06810	0.09530	0.24421	0.00741	0.53	1423	24	0.97	0.32	0.017	48
95228a1_25	242	113	3.28442	0.12162	0.25801	0.00784	0.55	1478	28	0.02	0.89	0.019	44
95228a1_26	172	43	3.32764	0.14840	0.26179	0.00961	0.54	1489	34	0.30	0.59	0.023	48
95228a1_27	468	129	2.56540	0.08221	0.21866	0.00578	0.49	1287	22	1.30	0.25	0.017	48
95228a1_28	697	347	5.24542	0.18930	0.31941	0.00933	0.55	1850	31	14.43	0.00	0.017	48
95228a1_29	223	41	1.79960	0.06894	0.17727	0.00543	0.56	1047	24	0.27	0.61	0.023	48
95228a1_30	60	36	1.91624	0.11112	0.18927	0.00656	0.28	1104	29	1.91	0.17	0.027	48
95228a1_31	507	96	1.90342	0.06147	0.18403	0.00504	0.67	1083	21	0.41	0.52	0.020	48
95228a1_32	171	76	3.22763	0.13053	0.24174	0.00763	0.51	1444	30	14.47	0.00	0.021	48
95228a1_33	409	191	6.57471	0.16293	0.37790	0.00751	0.55	2057	22	0.50	0.48	0.011	46
95228a1_34	404	91	4.38711	0.12286	0.29876	0.00742	0.69	1711	23	3.38	0.07	0.014	47
95228a1_35	157	54	1.94192	0.06719	0.18518	0.00421	0.46	1095	20	0.00	0.97	0.018	48
95228a1_36	263	70	2.35137	0.06412	0.21126	0.00457	0.62	1230	19	0.58	0.44	0.015	47
95228a1_37	163	42	3.01426	0.08010	0.24685	0.00439	0.46	1416	18	0.94	0.33	0.013	47
95228a1_38	214	127	1.59758	0.05007	0.16518	0.00314	0.41	979	15	2.59	0.11	0.016	48
95228a1_39	258	308	4.58593	0.11568	0.30318	0.00664	0.60	1745	21	9.06	0.00	0.012	45
95228a1_40	127	139	2.37680	0.05846	0.21056	0.00365	0.45	1234	16	0.16	0.69	0.013	46
95228a1_41	134	35	6.85685	0.21884	0.39274	0.01033	0.66	2090	28	5.44	0.02	0.014	47
95228a1_42	292	323	5.79877	0.14912	0.35155	0.00718	0.61	1946	22	0.10	0.76	0.012	47
95228a1_43	134	28	2.16825	0.06996	0.20311	0.00419	0.53	1181	20	3.75	0.05	0.017	47
95228a1_44	242	60	2.21859	0.06259	0.20379	0.00393	0.49	1191	18	0.71	0.40	0.015	48
95228a1_45	299	325	2.44805	0.07416	0.21540	0.00467	0.56	1257	20	0.00	0.95	0.016	48
95228a1_46	537	913	4.69306	0.12629	0.31361	0.00697	0.66	1766	23	0.34	0.56	0.013	47
95228a1_47	739	205	2.31930	0.05617	0.21108	0.00378	0.53	1224	16	3.15	0.08	0.013	48
95228a1_48	106	86	5.10577	0.13944	0.35003	0.00747	0.57	1844	23	43.20	0.00	0.013	47
95228a1_49	105	92	4.89772	0.13499	0.32367	0.00656	0.51	1803	23	0.16	0.69	0.013	47
95228a1_50	216	165	4.40226	0.14065	0.30061	0.00805	0.55	1711	26	1.20	0.27	0.015	47
95228a1_51	45	19	3.09190	0.14773	0.25485	0.00826	0.47	1442	33	2.53	0.11	0.023	48
95228a1_52	80	55	4.81764	0.15801	0.31802	0.00856	0.63	1788	28	0.23	0.63	0.015	47
95228a1_53	214	95	2.24226	0.06882	0.20165	0.00401	0.44	1189	18	0.79	0.37	0.015	48
95228a1_54	288	84	3.35236	0.09991	0.25993	0.00612	0.68	1493	23	0.11	0.74	0.016	47
95228a1_55	130	42	2.39168	0.07008	0.21632	0.00518	0.37	1247	19	2.56	0.11	0.015	47
95228a1_56	722	89	2.16464	0.06700	0.19784	0.00507	0.47	1168	20	0.22	0.64	0.017	47
95228a1_57	76	54	7.82585	0.34023	0.41809	0.01488	0.56	2212	39	2.06	0.15	0.018	47
95228a1_58	806	142	4.56519	0.14150	0.31112	0.00961	0.48	1743	26	0.02	0.88	0.015	47
95228a1_59	46	15	2.59269	0.16690	0.22397	0.00933	0.48	1301	41	0.03	0.86	0.032	48
95228a1_60	192	73	2.37645	0.07502	0.20826	0.00558	0.54	1232	22	1.52	0.22	0.018	47
95228a1_61	155	11	2.56722	0.10142	0.21517	0.00685	0.37	1280	26	3.55	0.06	0.021	47

Numéro d'analyse	[U] (ppm)	[Th] (ppm)	207Pb/ 235Uc	2 sigma	206Pb/ 238U	2 sigma	Corré-lation d'erreur	Age Concordia (Ma)	A priori erreur de 2σ	MSWD	Probabilité-de-concordance (rej <.15)	Erreur/ âge (rej >0.40)	Nombres de balayages concordants (rej <5)
95228a1_62	260	126	11.83717	0.33584	0.49012	0.01345	0.70	2595	25	0.85	0.36	0.010	47
95228a1_63	212	101	2.29878	0.11098	0.19487	0.00852	0.70	1207	34	15.52	0.00	0.028	31
95228a1_64	914	564	2.77078	0.06172	0.23008	0.00381	0.50	1344	16	1.89	0.17	0.012	48
95228a1_65	283	79	2.24620	0.11313	0.20674	0.01102	0.51	1197	35	0.39	0.53	0.029	48
95228a1_66	120	106	4.96311	0.17274	0.32460	0.00743	0.36	1813	27	0.00	0.96	0.015	47
95228a1_67	228	128	2.54988	0.06615	0.21907	0.00410	0.46	1283	17	0.79	0.37	0.013	48
95228a1_68	90	69	4.89057	0.22376	0.32381	0.01263	0.55	1801	38	0.09	0.77	0.021	48
95228a1_69	198	103	1.66689	0.06999	0.16731	0.00542	0.38	997	23	0.01	0.94	0.023	48
95228a1_70	163	158	1.81696	0.05647	0.17361	0.00392	0.49	1043	18	3.42	0.06	0.017	48
95228a1_71	124	174	4.91876	0.13881	0.31711	0.00665	0.48	1798	23	3.99	0.05	0.013	47
95228a1_72	206	85	1.62857	0.05687	0.16200	0.00423	0.54	975	20	1.51	0.22	0.020	48
95228a1_73	441	281	6.02102	0.13607	0.36227	0.00746	0.54	1979	20	0.88	0.35	0.010	47
95228a1_74	137	48	2.82875	0.08494	0.23509	0.00441	0.43	1362	19	0.03	0.87	0.014	48
95228a1_75	537	21	2.38250	0.05965	0.19905	0.00425	0.60	1221	18	51.05	0.00	0.014	47
95228a1_76	227	33	7.03497	0.17353	0.39160	0.00754	0.61	2116	22	1.07	0.30	0.010	47
95228a1_77	303	110	3.46576	0.08646	0.26479	0.00538	0.59	1519	20	0.21	0.65	0.013	48
95228a1_78	41	65	2.82797	0.11858	0.23257	0.00614	0.36	1356	26	0.69	0.41	0.019	48
95228a1_79	211	150	3.36820	0.12242	0.25677	0.00912	0.43	1494	28	1.22	0.27	0.019	48
95228a1_80	228	171	4.06088	0.14044	0.29150	0.00844	0.54	1647	28	0.02	0.89	0.017	47
95228a1_81	43	13	2.93685	0.16123	0.24333	0.00885	0.52	1396	38	0.34	0.56	0.027	48
95228a1_82	417	470	1.63909	0.05178	0.16398	0.00425	0.57	983	19	0.41	0.52	0.019	48
95228a1_83	543	125	2.41258	0.06160	0.21494	0.00469	0.59	1248	18	0.73	0.39	0.014	48
95228a1_84	760	827	4.12615	0.13190	0.26578	0.00809	0.67	1663	26	85.52	0.00	0.016	45
95228a1_85	220	64	3.51247	0.11856	0.26158	0.00771	0.77	1534	26	6.29	0.01	0.017	47
95228a1_86	642	524	3.11613	0.08345	0.23437	0.00520	0.65	1423	21	56.98	0.00	0.014	45
95228a1_87	44	100	6.48139	0.21727	0.37373	0.00846	0.55	2044	29	0.04	0.83	0.014	47
95228a1_88	166	47	2.61811	0.09874	0.23218	0.00666	0.57	1315	27	7.34	0.01	0.020	47
95228a1_89	1251	16	2.34946	0.08009	0.20890	0.00653	0.62	1227	24	0.10	0.75	0.020	48
95228a1_90	261	28	2.60122	0.10279	0.22019	0.00835	0.55	1299	29	0.95	0.33	0.022	48
95228a1_91	53	82	1.90286	0.09701	0.18556	0.00584	0.31	1090	26	0.62	0.43	0.024	48
95228a1_92	161	49	2.62555	0.09656	0.22303	0.00696	0.47	1305	26	0.34	0.56	0.020	48
95228a1_93	160	58	2.30272	0.07544	0.20731	0.00576	0.52	1213	22	0.01	0.92	0.018	48
95228a1_94	523	244	7.91802	0.20539	0.38344	0.00893	0.58	2222	24	59.12	0.00	0.011	48
95228a1_95	422	131	3.50652	0.10197	0.26761	0.00632	0.60	1529	23	0.00	1.00	0.015	48
95228a1_96	464	81	2.73377	0.10219	0.22647	0.00847	0.65	1338	28	1.63	0.20	0.021	48
95228a1_97	334	130	4.41638	0.13763	0.29668	0.00789	0.52	1710	26	5.71	0.02	0.015	48
95228a1_98	323	316	4.73515	0.14648	0.31311	0.00830	0.59	1772	26	1.11	0.29	0.015	48
95228a1_99	273	57	2.44764	0.08460	0.21601	0.00515	0.42	1258	22	0.08	0.78	0.017	48
95228a1_100	316	129	3.69112	0.11379	0.27488	0.00794	0.52	1569	25	0.05	0.82	0.016	47
95228a1_101	657	346	7.68205	0.19323	0.40679	0.00897	0.71	2194	22	0.14	0.70	0.010	47
95228a1_102	293	104	4.51491	0.12998	0.30601	0.00738	0.59	1733	24	0.73	0.39	0.014	48
95228a1_103	607	307	9.71828	0.25482	0.44815	0.01120	0.44	2408	24	0.91	0.34	0.010	48
95228a1_104	339	320	4.50429	0.11893	0.30302	0.00656	0.54	1728	22	3.34	0.07	0.013	48
95228a1_105	175	85	2.10631	0.06416	0.19170	0.00459	0.39	1143	19	2.53	0.11	0.017	48
95228a1_106	88	86	2.51237	0.08341	0.22305	0.00665	0.50	1279	24	2.06	0.15	0.018	47
95228a1_107	406	184	3.78824	0.10020	0.28507	0.00621	0.51	1594	21	3.75	0.05	0.013	47
95228a1_108	422	218	2.78352	0.06885	0.22852	0.00413	0.43	1342	17	5.01	0.03	0.013	35
95228a1_109	240	132	4.65590	0.11927	0.30728	0.00733	0.60	1759	22	4.91	0.03	0.012	47
95228a1_110	343	137	1.64395	0.04844	0.16232	0.00333	0.40	978	16	2.96	0.09	0.016	46

Numéro d'analyse	[U] (ppm)	[Th] (ppm)	207Pb/ 235Uc	2 sigma	206Pb/ 238U	2 sigma	Corré-lation d'erreur	Age Concordia (Ma)	A priori erreur de 2σ	MSWD	Probabilité-de-concordance (rej <.15)	Erreur/ âge (rej >0.40)	Nombres de balayages concordants (rej <5)
95228a1_111	255	201	2.34752	0.10904	0.19859	0.00602	0.44	1195	28	11.46	0.00	0.024	41
95228a1_112	71	90	1.53521	0.07253	0.15479	0.00487	0.38	935	23	1.14	0.29	0.025	48
95228a1_113	989	243	2.63076	0.07420	0.22090	0.00512	0.53	1304	20	3.62	0.06	0.015	46
95228a1_114	122	96	6.49875	0.18187	0.37331	0.00907	0.56	2046	25	0.00	0.97	0.012	47
95228a1_115	45	32	4.63369	0.16020	0.30962	0.00822	0.38	1751	27	0.69	0.41	0.016	48
95228a1_116	124	54	2.17322	0.06853	0.19511	0.00396	0.38	1160	18	3.79	0.05	0.016	46
95228a1_117	326	75	6.22703	0.14546	0.36223	0.00704	0.50	2007	20	1.13	0.29	0.010	47
95228a1_118	712	563	4.05387	0.08990	0.28798	0.00489	0.46	1642	17	1.42	0.23	0.011	46
95228a1_119	95	67	2.17686	0.06540	0.19475	0.00395	0.40	1160	18	5.21	0.02	0.015	48
95228a1_120	342	159	7.44381	0.20102	0.38959	0.00901	0.62	2168	24	7.60	0.01	0.011	47
DB07RIM26a		**952-29**											
95229a1_1	207	64	7.41377	0.25255	0.40109	0.01227	0.76	2160	29	0.35	0.56	0.013	47
95229a1_2	64	32	0.87528	0.11473	0.10378	0.00486	0.21	637	28	0.00	0.95	0.043	48
95229a1_3	63	38	5.77289	0.29696	0.34923	0.01590	0.72	1944	44	0.18	0.67	0.022	48
95229a1_4	223	112	0.76671	0.03529	0.09218	0.00274	0.39	571	15	0.85	0.36	0.026	48
95229a1_5	160	64	6.45140	0.24169	0.37178	0.01097	0.66	2039	33	0.01	0.94	0.016	47
95229a1_6	195	151	5.69147	0.20713	0.32274	0.00928	0.62	1916	32	51.04	0.00	0.017	47
95229a1_7	504	219	0.78568	0.03763	0.09268	0.00335	0.62	578	19	3.69	0.05	0.032	45
95229a1_8	303	225	0.66311	0.03314	0.08455	0.00241	0.42	522	14	0.48	0.49	0.026	47
95229a1_9	520	265	1.65657	0.05645	0.14865	0.00389	0.59	938	20	97.76	0.00	0.021	45
95229a1_10	328	145	0.78401	0.03915	0.09394	0.00274	0.44	581	15	0.73	0.39	0.027	47
95229a1_11	224	67	0.74609	0.04300	0.09335	0.00250	0.28	574	14	0.56	0.45	0.025	48
95229a1_12	127	94	12.29593	0.40926	0.49191	0.01401	0.62	2631	31	4.09	0.04	0.012	47
95229a1_13	48	33	2.68281	0.18287	0.22719	0.00948	0.40	1322	42	0.02	0.88	0.032	47
95229a1_14	67	52	6.60198	0.28238	0.37888	0.01166	0.52	2061	37	0.23	0.63	0.018	47
95229a1_15	616	467	0.69370	0.02177	0.08171	0.00188	0.49	516	10	21.34	0.00	0.020	43
95229a1_16	315	159	2.35274	0.08635	0.20846	0.00592	0.57	1226	25	0.33	0.57	0.020	47
95229a1_17	156	64	2.83907	0.10499	0.22608	0.00578	0.46	1343	25	11.60	0.00	0.019	47
95229a1_18	287	132	0.71768	0.03676	0.08803	0.00254	0.39	545	14	0.26	0.61	0.026	48
95229a1_19	427	221	0.72233	0.02601	0.08881	0.00212	0.47	550	12	0.23	0.63	0.021	48
95229a1_20	372	226	0.85171	0.04140	0.10195	0.00266	0.41	626	15	0.00	0.98	0.024	48
95229a1_21	505	83	0.76469	0.02529	0.09142	0.00177	0.41	567	10	3.29	0.07	0.018	47
95229a1_22	474	292	5.55869	0.19344	0.33215	0.01002	0.57	1906	30	9.31	0.00	0.016	48
95229a1_23	328	192	0.77483	0.04122	0.09331	0.00246	0.26	577	14	0.37	0.54	0.024	48
95229a1_24	335	140	0.77010	0.04032	0.09019	0.00270	0.45	561	15	4.62	0.03	0.028	47
95229a1_25	251	949	0.71637	0.03698	0.08784	0.00273	0.43	544	15	0.30	0.58	0.028	47
95229a1_26	121	68	1.77593	0.08313	0.17419	0.00509	0.37	1036	24	0.01	0.93	0.023	47
95229a1_27	163	43	0.83892	0.05005	0.09600	0.00312	0.38	596	18	4.16	0.04	0.030	48
95229a1_28	57	92	4.72279	0.25139	0.29764	0.00983	0.52	1730	41	15.53	0.00	0.024	47
95229a1_29	33	16	2.38151	0.19443	0.20225	0.00988	0.32	1208	45	2.29	0.13	0.038	48
95229a1_30	635	782	1.50081	0.07509	0.15188	0.00690	0.59	926	30	1.43	0.23	0.032	48
95229a1_31	145	74	1.01689	0.07506	0.11062	0.00438	0.33	684	24	3.52	0.06	0.035	47
95229a1_32	211	156	5.72743	0.17694	0.35183	0.00987	0.69	1935	27	0.20	0.65	0.014	47
95229a1_33	159	43	0.76591	0.05400	0.09336	0.00386	0.45	576	22	0.02	0.89	0.038	47
95229a1_34	276	114	9.47219	0.30806	0.43143	0.01236	0.70	2396	29	12.78	0.00	0.012	46
95229a1_35	0	0	0	0	0	0	0	#VALUE!	#VALUE!	#VALUE!	#VALUE!	#VALUE!	0
95229a1_36	438	192	5.27625	0.29828	0.30143	0.01675	0.88	1961	36	52.47	0.00	0.018	22
95229a1_37	227	107	3.32741	0.11232	0.25759	0.00749	0.55	1486	26	0.38	0.54	0.018	46
95229a1_38	636	168	0.74275	0.02912	0.09309	0.00290	0.42	569	14	1.14	0.29	0.025	47

Numéro d'analyse	[U] (ppm)	[Th] (ppm)	207Pb/ 235Uc	2 sigma	206Pb/ 238U	2 sigma	Corré-lation d'erreur	Age Concordia (Ma)	A priori erreur de 2σ	MSWD	Probabilité-de-concordance (rej <.15)	Erreur/ âge (rej >0.40)	Nombres de balayages concordants (rej <5)
95229a1_39	246	303	4.50577	0.14645	0.28386	0.00800	0.67	1729	27	66.99	0.00	0.016	45
95229a1_40	383	286	0.29012	0.01766	0.04122	0.00135	0.37	260	8	0.07	0.80	0.031	47
95229a1_41	88	37	2.43134	0.12918	0.21674	0.00651	0.38	1259	30	0.39	0.53	0.024	47
95229a1_42	198	133	0.89033	0.06061	0.10453	0.00415	0.43	642	23	0.13	0.72	0.036	48
95229a1_43	124	77	5.52964	0.24397	0.32556	0.01310	0.78	1928	36	18.17	0.00	0.019	47
95229a1_44	587	282	0.74582	0.02765	0.09077	0.00234	0.50	562	13	0.56	0.45	0.023	47
95229a1_45	65	51	0.78267	0.06376	0.08474	0.00322	0.23	533	18	10.99	0.00	0.035	48
95229a1_46	477	394	0.70396	0.03458	0.08436	0.00299	0.49	529	16	3.76	0.05	0.031	48
95229a1_47	289	104	2.20382	0.07587	0.19795	0.00569	0.66	1179	24	2.34	0.13	0.020	47
95229a1_48	160	40	2.22052	0.07890	0.20142	0.00552	0.47	1186	23	0.10	0.75	0.019	48
95229a1_49	455.4186	213.3915	2.154747	1.121484	0.1432165	0.07140724	0.8215688	876	402	6.51	0.01	0.459	1
95229a1_50	551	242	2.23650	0.26607	0.18453	0.00603	0.17	1099	32	5.26	0.02	0.029	41
95229a1_51	412	228	0.82110	0.03571	0.09821	0.00283	0.40	606	15	0.22	0.64	0.025	48
95229a1_52	234	351	1.13495	0.04242	0.12342	0.00350	0.42	760	17	3.33	0.07	0.022	47
95229a1_53	27	32	4.88210	0.33401	0.31320	0.01283	0.49	1781	52	1.92	0.17	0.029	47
95229a1_54	258	177	5.25240	0.18683	0.30451	0.00820	0.46	1818	30	60.39	0.00	0.016	25
95229a1_55	116	121	0.79460	0.04943	0.09484	0.00298	0.22	586	16	0.42	0.52	0.028	48
95229a1_56	235	132	2.27886	0.09261	0.20424	0.00637	0.50	1203	27	0.24	0.63	0.022	48
95229a1_57	216	203	0.99075	0.05773	0.09751	0.00297	0.28	615	17	41.80	0.00	0.027	32
95229a1_58	343	65	3.53815	0.12729	0.26773	0.00842	0.76	1537	28	0.21	0.65	0.018	47
95229a1_59	51	20	6.63824	0.31902	0.37606	0.01220	0.54	2063	41	0.07	0.79	0.020	47
95229a1_60	145	75	13.18600	0.37698	0.50885	0.01182	0.60	2695	27	4.11	0.04	0.010	47
95229a1_61	458	410	0.72377	0.03007	0.08329	0.00233	0.53	524	13	21.87	0.00	0.026	48
95229a1_62	264	271	0.73182	0.03948	0.09139	0.00250	0.41	563	14	0.32	0.57	0.025	48
95229a1_63	754	513	0.68720	0.02503	0.07831	0.00196	0.50	497	11	42.25	0.00	0.023	47
95229a1_64	56	63	4.35159	0.20953	0.29644	0.00950	0.51	1693	37	1.84	0.18	0.022	46
95229a1_65	255	239	1.81786	0.05717	0.17207	0.00443	0.60	1043	20	7.67	0.01	0.019	48
95229a1_66	278	151	0.78370	0.03477	0.09397	0.00233	0.34	581	13	0.75	0.39	0.022	48
95229a1_67	278	96	2.34759	0.08553	0.21055	0.00454	0.44	1230	21	0.13	0.71	0.017	48
95229a1_68	493	54	5.81070	0.14460	0.33800	0.00720	0.67	1950	22	29.81	0.00	0.011	48
95229a1_69	190	137	0.92984	0.04984	0.10446	0.00249	0.23	645	14	3.94	0.05	0.021	48
95229a1_70	367	141	5.51755	0.21857	0.32583	0.00987	0.45	1883	33	14.54	0.00	0.018	29
95229a1_71	284	256	0.83512	0.04686	0.09984	0.00399	0.52	615	21	0.06	0.81	0.035	48
95229a1_72	259	70	3.62194	0.27258	0.22852	0.01736	0.77	1591	57	61.01	0.00	0.036	40
95229a1_73	458	262	0.71118	0.03291	0.08271	0.00270	0.38	523	15	10.85	0.00	0.028	48
95229a1_74	1085	80	2.25498	0.09205	0.17959	0.00724	0.70	1169	29	92.46	0.00	0.025	39
95229a1_75	235	132	0.79713	0.05392	0.09351	0.00259	0.28	578	15	1.56	0.21	0.026	48
95229a1_76	193	192	0.78529	0.04827	0.08867	0.00259	0.30	553	15	8.80	0.00	0.027	48
95229a1_77	194	113	0.77908	0.04339	0.09555	0.00301	0.36	587	17	0.07	0.79	0.028	48
95229a1_78	214	104	2.32389	0.17465	0.17550	0.00930	0.38	1110	45	35.36	0.00	0.041	18
95229a1_79	213	232	0.81426	0.04708	0.09669	0.00352	0.51	597	20	0.69	0.41	0.033	48
95229a1_80	389	493	0.82782	0.04254	0.09377	0.00345	0.47	590	19	9.15	0.00	0.032	48
95229a1_81	324	201	0.89984	0.04623	0.10341	0.00370	0.40	641	19	1.82	0.18	0.030	48
95229a1_82	60	55	6.66751	0.30534	0.37742	0.01318	0.62	2068	40	0.03	0.87	0.020	47
95229a1_83	0	0	0	0	0	0	0	#VALUE!	#VALUE!	#VALUE!	#VALUE!	#VALUE!	0
95229a1_84	507	208	1.21801	0.05711	0.12821	0.00461	0.55	793	23	6.30	0.01	0.029	47
95229a1_85	194	211	0.79248	0.06154	0.08520	0.00522	0.69	543	30	24.02	0.00	0.056	45
95229a1_86	709	235	2.30167	0.10635	0.18331	0.00796	0.64	1190	33	58.10	0.00	0.028	37
95229a1_87	46	13	0.93677	0.11648	0.10610	0.00510	0.28	652	29	0.49	0.48	0.045	47

Numéro d'analyse	[U] (ppm)	[Th] (ppm)	207Pb/ 235Uc	2 sigma	206Pb/ 238U	2 sigma	Corré-lation d'erreur	Age Concordia (Ma)	A priori erreur de 2σ	MSWD	Probabilité-de-concordance (rej <.15)	Erreur/ âge (rej >0.40)	Nombres de balayages concordants (rej <5)
95229a1_88	383	262	0.70813	0.03946	0.08532	0.00298	0.55	531	17	2.44	0.12	0.032	46
95229a1_89	123	82	0.80560	0.07040	0.09479	0.00345	0.31	585	20	0.70	0.40	0.034	48
95229a1_90	123	47	2.73429	0.13544	0.23053	0.00777	0.50	1338	33	0.00	0.98	0.025	46
95229a1_91	68	52	6.28598	0.38721	0.36450	0.01963	0.77	2020	52	0.18	0.67	0.026	48
95229a1_92	182	111	0.82434	0.04830	0.09827	0.00340	0.40	606	19	0.22	0.64	0.031	45
95229a1_93	377	308	4.49309	0.43661	0.23725	0.02253	0.81	1816	72	108.64	0.00	0.040	23
95229a1_94	346	266	0.87437	0.04402	0.10455	0.00348	0.49	640	19	0.07	0.78	0.029	48
95229a1_95	161	134	5.33931	0.19133	0.30063	0.00946	0.64	1867	31	102.50	0.00	0.017	40
95229a1_96	118	67	6.49881	0.22875	0.37528	0.01125	0.67	2045	31	0.18	0.67	0.015	48
95229a1_97	548	239	1.59755	0.05836	0.15961	0.00422	0.60	962	21	1.99	0.16	0.022	48
95229a1_98	68	27	1.87805	0.11421	0.17999	0.00633	0.45	1069	32	0.11	0.74	0.029	47
95229a1_99	560	428	0.73482	0.03083	0.09150	0.00223	0.32	563	12	0.29	0.59	0.021	48
95229a1_100	404	166	4.99680	0.21728	0.28397	0.01111	0.70	1823	37	110.30	0.00	0.020	26
95229a1_101	27	61	15.82849	1.42546	0.56110	0.04356	0.65	2866	84	0.00	0.95	0.029	20
95229a1_102	188	58	6.17715	0.22256	0.35793	0.01032	0.63	2001	32	2.32	0.13	0.016	48
95229a1_103	321	126	0.68573	0.03701	0.08478	0.00226	0.35	525	13	0.27	0.60	0.025	47
95229a1_104	834	232	0.76250	0.02282	0.09374	0.00191	0.48	577	10	0.12	0.73	0.018	47
95229a1_105	472	208	1.25451	0.04051	0.12843	0.00291	0.54	796	15	29.71	0.00	0.019	44
95229a1_106	1007	357	0.71256	0.03131	0.07826	0.00281	0.70	502	16	74.02	0.00	0.032	37
95229a1_107	221	399	4.07041	0.12987	0.27587	0.00652	0.49	1625	25	25.90	0.00	0.015	47
95229a1_108	316	116	0.75963	0.03115	0.09243	0.00293	0.41	572	15	0.16	0.69	0.026	46
95229a1_109	924.2867	877.5679	1.370943	0.2087514	0.09097546	0.01118245	0.6510226	518	66	62.28	0.00	0.127	0
95229a1_110	420	342	0.68611	0.03269	0.08048	0.00173	0.32	502	10	10.60	0.00	0.020	44
95229a1_111	196	86	0.81114	0.05253	0.09854	0.00341	0.31	605	19	0.03	0.85	0.031	47
95229a1_112	458	431	0.84225	0.02974	0.09804	0.00280	0.49	612	14	4.42	0.04	0.023	47
95229a1_113	701	108	5.76911	0.18519	0.33575	0.00924	0.56	1936	28	16.67	0.00	0.014	47
95229a1_114	271	161	8.54021	0.24654	0.40955	0.00974	0.66	2295	26	21.24	0.00	0.011	47
95229a1_115	299	250	4.76902	0.15777	0.31193	0.00735	0.60	1773	27	3.92	0.05	0.015	47
95229a1_116	217	121	3.74216	0.77585	0.21773	0.04053	0.77	1535	173	21.41	0.00	0.112	5
95229a1_117	719	318	5.56923	0.16040	0.32318	0.00833	0.48	1899	25	34.99	0.00	0.013	47
95229a1_118	80	72	1.00886	0.08426	0.10624	0.00268	0.22	654	15	7.08	0.01	0.024	47
95229a1_119	239	43	0.73634	0.04197	0.09171	0.00205	0.30	565	12	0.20	0.65	0.021	47
95229a1_120	153	127	0.77505	0.05070	0.09394	0.00288	0.26	580	16	0.07	0.80	0.028	46
CT07RIM59_1		**952-30**											
95230a1_1	292	176	4.64384	0.23180	0.28465	0.01318	0.76	1782	40	42.67	0.00	0.022	45
95230a1_2	478	197	1.20526	0.10891	0.11258	0.00751	0.38	726	39	18.39	0.00	0.054	26
95230a1_3	806.9775	625.9633	1.138876	0.3311857	0.09465003	0.02444809	0.62416	623	140	7.61	0.01	0.225	2
95230a1_4	349	79	1.11607	0.13950	0.09657	0.00638	0.40	602	37	24.97	0.00	0.062	17
95230a1_5	158	58	10.23382	0.44314	0.45085	0.01603	0.54	2455	40	3.61	0.06	0.016	46
95230a1_6	107	41	1.19367	0.09474	0.12444	0.00524	0.33	765	28	3.44	0.06	0.037	46
95230a1_7	74	41	0.83415	0.11441	0.09866	0.00461	0.24	607	27	0.09	0.77	0.044	46
95230a1_8	63	43	0.77970	0.10135	0.08837	0.00382	0.20	549	22	1.81	0.18	0.041	46
95230a1_9	226	81	0.81543	0.05791	0.09702	0.00355	0.37	599	20	0.30	0.59	0.033	46
95230a1_10	1576.024	488.5746	0.4518554	0.0940948	0.03824461	0.006626865	0.6281244	231	41	24.64	0.00	0.178	0
95230a1_11	223	183	0.75078	0.04683	0.09175	0.00250	0.19	566	14	0.04	0.84	0.025	45
95230a1_12	281	173	0.97172	0.10976	0.09833	0.00706	0.46	621	40	9.82	0.00	0.065	19
95230a1_13	232.2615	324.0329	2.714031	0.5546043	0.1787309	0.02635019	0.6685773	1092	143	17.80	0.00	0.131	4
95230a1_14	756	318	0.85169	0.03848	0.09393	0.00250	0.36	589	14	19.55	0.00	0.024	41
95230a1_15	96	94	0.86059	0.11432	0.09934	0.00375	0.14	612	22	0.39	0.53	0.035	46

Numéro d'analyse	[U] (ppm)	[Th] (ppm)	207Pb/ 235Uc	2 sigma	206Pb/ 238U	2 sigma	Corré-lation d'erreur	Age Concordia (Ma)	A priori erreur de 2σ	MSWD	Probabilité-de-concordance (rej <.15)	Erreur/ âge (rej >0.40)	Nombres de balayages concordants (rej <5)
95230a1_16	301	28	2.15342	0.11234	0.18896	0.00756	0.61	1148	35	8.65	0.00	0.030	46
95230a1_17	215	303	0.81403	0.04478	0.09708	0.00354	0.44	600	19	0.37	0.54	0.032	45
95230a1_18	569	611	0.88574	0.09947	0.08399	0.00519	0.40	529	31	22.25	0.00	0.058	9
95230a1_19	412	79	0.99049	0.04397	0.11064	0.00291	0.33	683	15	3.72	0.05	0.023	46
95230a1_20	403	26	0.94019	0.03606	0.10348	0.00289	0.53	649	16	18.92	0.00	0.024	42
95230a1_21	162	119	2.54788	0.13563	0.19063	0.00775	0.47	1205	36	57.58	0.00	0.030	46
95230a1_22	539	177	10.17104	0.49018	0.39717	0.01803	0.70	2497	42	97.98	0.00	0.017	34
95230a1_23	1633.003	983.4395	0.7096611	0.1392482	0.05212523	0.007831014	0.5158808	320	48	30.32	0.00	0.150	0
95230a1_24	308	138	4.54377	0.21911	0.26358	0.00912	0.54	1633	40	116.89	0.00	0.024	32
95230a1_25	113	97	0.69875	0.07072	0.08419	0.00369	0.22	524	21	0.61	0.43	0.040	46
95230a1_26	364	183	3.07791	0.12352	0.23328	0.00765	0.45	1405	29	15.87	0.00	0.021	45
95230a1_27	88	46	6.21613	0.33432	0.34891	0.01239	0.52	1984	45	8.46	0.00	0.023	46
95230a1_28	149	85	0.86029	0.07888	0.10227	0.00452	0.37	628	26	0.02	0.90	0.041	46
95230a1_29	25	23	0.83217	0.20209	0.09452	0.00716	0.20	584	42	0.33	0.56	0.071	46
95230a1_30	703.0042	622.3469	3.418025	0.8285657	0.170058	0.03870223	0.8066603	980	209	47.81	0.00	0.213	0
95230a1_31	378	194	1.35757	0.70365	0.10249	0.00566	0.06	630	33	2.02	0.16	0.053	21
95230a1_32	170	130	1.01570	0.07336	0.11111	0.00357	0.27	684	20	2.99	0.08	0.029	46
95230a1_33	226	73	0.78443	0.05298	0.09640	0.00361	0.42	592	20	0.14	0.71	0.034	46
95230a1_34	230	110	6.56457	0.25786	0.35992	0.01187	0.58	2052	35	10.17	0.00	0.017	46
95230a1_35	59	101	0.89104	0.10339	0.10090	0.00572	0.28	625	32	0.93	0.34	0.051	46
95230a1_36	64	56	0.75722	0.12181	0.08920	0.00459	0.16	553	27	0.36	0.55	0.048	46
95230a1_37	157	108	0.85518	0.08616	0.09801	0.00539	0.42	607	31	1.21	0.27	0.050	46
95230a1_38	197	102	5.45205	0.32703	0.31287	0.01484	0.67	1882	52	26.42	0.00	0.028	33
95230a1_39	317	26	1.07350	0.06833	0.10946	0.00460	0.53	686	26	21.74	0.00	0.038	45
95230a1_40	179	139	0.94990	0.08973	0.10694	0.00514	0.40	659	29	1.08	0.30	0.044	45
95230a1_41	183	255	0.88930	0.07669	0.10270	0.00412	0.33	633	23	0.61	0.44	0.037	46
95230a1_42	740	102	1.80293	0.11928	0.16684	0.01009	0.77	1009	45	11.05	0.00	0.044	46
95230a1_43	287	79	6.76114	0.40839	0.37293	0.02076	0.81	2093	48	1.43	0.23	0.023	46
95230a1_44	69	116	0.73260	0.09084	0.08776	0.00595	0.40	545	34	0.39	0.53	0.062	45
95230a1_45	76	50	2.11145	0.16542	0.18927	0.00728	0.33	1127	37	1.59	0.21	0.032	45
95230a1_46	98	87	4.10395	0.24538	0.24187	0.01053	0.58	1518	49	114.28	0.00	0.032	43
95230a1_47	220	102	1.71943	0.09369	0.14464	0.00529	0.56	902	29	82.53	0.00	0.032	41
95230a1_48	458	161	0.78796	0.03914	0.08980	0.00272	0.40	563	15	10.60	0.00	0.027	45
95230a1_49	71	52	0.73261	0.09342	0.08627	0.00454	0.31	536	27	0.85	0.36	0.049	46
95230a1_50	125	70	1.26126	0.09243	0.12813	0.00570	0.29	793	29	5.16	0.02	0.037	46
95230a1_51	170	180	1.74423	0.11273	0.16473	0.00789	0.51	1005	37	3.94	0.05	0.037	45
95230a1_52	424	57	0.70378	0.04537	0.08415	0.00292	0.41	524	17	2.50	0.11	0.032	46
95230a1_53	3022.348	136.8364	0.5683904	0.106716	0.03350299	0.005409828	0.6576716	165	32	61.22	0.00	0.192	0
95230a1_54	132	117	6.00489	0.34297	0.30847	0.01529	0.70	1982	50	84.63	0.00	0.025	41
95230a1_55	38	22	0.78399	0.12906	0.09490	0.00807	0.33	585	45	0.01	0.93	0.077	42
95230a1_56	507	604	5.60882	0.33149	0.29354	0.01538	0.70	1920	51	91.96	0.00	0.027	36
95230a1_57	0	0	0	0	0	0	0	#VALUE!	#VALUE!	#VALUE!	#VALUE!	#VALUE!	0
95230a1_58	374	190	6.45242	0.25295	0.34964	0.01306	0.78	2069	32	26.53	0.00	0.015	45
95230a1_59	220	67	2.22193	0.10046	0.19991	0.00637	0.51	1182	29	0.65	0.42	0.024	46
95230a1_60	494	314	13.68215	0.57130	0.51210	0.02012	0.84	2752	32	4.82	0.03	0.012	46
95230a1_61	359	502	0.80228	0.07598	0.08512	0.00380	0.30	534	22	10.98	0.00	0.041	27
95230a1_62	284	195	0.55520	0.03731	0.06875	0.00248	0.34	432	14	2.70	0.10	0.033	46
95230a1_63	79	39	0.78082	0.11277	0.09612	0.00617	0.38	591	36	0.04	0.85	0.060	46
95230a1_64	214	116	0.82587	0.06026	0.10334	0.00460	0.49	627	25	2.13	0.14	0.040	45

Numéro d'analyse	[U] (ppm)	[Th] (ppm)	207Pb/ 235Uc	2 sigma	206Pb/ 238U	2 sigma	Corré-lation d'erreur	Age Concordia (Ma)	A priori erreur de 2σ	MSWD	Probabilité-de-concordance (rej <.15)	Erreur/ âge (rej >0.40)	Nombres de balayages concordants (rej <5)
95230a1_65	325	47	1.73071	0.16403	0.11839	0.01010	0.79	637	58	188.99	0.00	0.091	37
95230a1_66	201	25	6.49614	0.29524	0.35841	0.01452	0.58	2045	40	6.41	0.01	0.020	46
95230a1_67	69	44	14.85921	0.82691	0.52703	0.02700	0.81	2833	44	4.04	0.04	0.016	45
95230a1_68	271	65	7.70737	0.64131	0.34453	0.02699	0.85	2331	57	58.39	0.00	0.024	19
95230a1_69	695	148	5.12893	0.21815	0.29835	0.00877	0.49	1780	35	58.97	0.00	0.020	45
95230a1_70	429	348	0.84706	0.05884	0.09395	0.00513	0.70	594	29	12.90	0.00	0.049	37
95230a1_71	300	49	0.70307	0.03534	0.08347	0.00369	0.50	529	19	4.88	0.03	0.035	44
95230a1_72	382	468	6.34917	0.30428	0.35778	0.01774	0.69	2034	40	2.93	0.09	0.020	46
95230a1_73	35	26	0.82571	0.15673	0.09199	0.00526	0.21	569	31	1.00	0.32	0.054	46
95230a1_74	408	483	0.91952	0.04332	0.10547	0.00392	0.55	654	20	2.08	0.15	0.031	40
95230a1_75	376	145	6.57860	0.22875	0.35892	0.01184	0.67	2066	30	14.36	0.00	0.015	45
95230a1_76	164	101	0.70542	0.04993	0.08955	0.00349	0.35	550	19	0.54	0.46	0.035	46
95230a1_77	290	37	4.30398	0.16862	0.26205	0.00817	0.54	1635	32	111.91	0.00	0.020	44
95230a1_78	674	409	0.90317	0.08454	0.08501	0.00620	0.60	546	36	42.89	0.00	0.066	21
95230a1_79	149	165	0.77292	0.07702	0.09712	0.00381	0.22	595	21	0.52	0.47	0.036	46
95230a1_80	65	27	0.76192	0.10115	0.08604	0.00432	0.24	536	25	2.15	0.14	0.047	45
95230a1_81	276	264	6.39708	0.20831	0.36235	0.01034	0.64	2034	29	4.19	0.04	0.014	45
95230a1_82	62	38	20.48536	0.78990	0.60444	0.01940	0.66	3124	36	4.98	0.03	0.012	45
95230a1_83	98	148	0.76775	0.05755	0.08769	0.00382	0.32	550	21	4.66	0.03	0.039	46
95230a1_84	102	119	14.51685	0.64401	0.51090	0.01707	0.58	2782	42	17.50	0.00	0.015	46
95230a1_85	20	413	0.94397	0.26854	0.10428	0.00816	0.13	642	47	0.24	0.62	0.073	46
95230a1_86	483	158	14.36028	0.74250	0.42595	0.02148	0.91	3046	26	301.30	0.00	0.009	23
95230a1_87	123	67	6.87461	0.24260	0.37366	0.01073	0.55	2092	31	5.30	0.02	0.015	45
95230a1_88	322	120	0.70790	0.04710	0.08902	0.00289	0.32	549	16	0.20	0.65	0.030	46
95230a1_89	159	45	5.28563	0.25670	0.29657	0.01092	0.48	1806	41	58.48	0.00	0.023	42
95230a1_90	108	72	0.85199	0.09258	0.09819	0.00486	0.24	607	27	0.71	0.40	0.045	45
95230a1_91	50	30	5.67307	0.37236	0.33875	0.01629	0.44	1916	55	1.60	0.21	0.028	45
95230a1_92	284	198	0.73320	0.04799	0.08762	0.00339	0.28	546	18	1.31	0.25	0.034	46
95230a1_93	63	72	0.91437	0.11142	0.09982	0.00521	0.19	620	29	2.20	0.14	0.047	46
95230a1_94	355	188	3.15959	0.26631	0.19402	0.01214	0.56	1230	62	88.94	0.00	0.050	29
95230a1_95	791	153	1.99791	0.08482	0.16965	0.00599	0.46	1027	27	52.17	0.00	0.027	45
95230a1_96	69	25	3.31487	0.18523	0.25606	0.00981	0.39	1479	39	0.33	0.57	0.026	46
95230a1_97	75	70	1.11109	0.13379	0.10927	0.01042	0.33	706	52	6.05	0.01	0.073	43
95230a1_98	161	65	0.85556	0.07463	0.10502	0.00446	0.36	641	25	0.66	0.42	0.039	45
95230a1_99	251	190	0.80557	0.05072	0.09346	0.00368	0.39	583	20	2.86	0.09	0.035	46
95230a1_100	57	47	4.44874	0.28859	0.29975	0.01525	0.59	1717	53	1.03	0.31	0.031	46
95230a1_101	119	47	0.67078	0.05366	0.08334	0.00312	0.28	517	18	0.10	0.75	0.034	46
95230a1_102	384	130	0.69436	0.03109	0.08499	0.00268	0.41	529	14	1.01	0.31	0.027	46
95230a1_103	139	83	1.11795	0.08273	0.12260	0.00412	0.34	748	23	0.72	0.40	0.031	45
95230a1_104	418	101	4.70430	0.19804	0.28514	0.00965	0.63	1744	36	63.35	0.00	0.020	40
95230a1_105	160	165	6.56651	0.30914	0.35851	0.01297	0.64	2050	42	11.33	0.00	0.020	46
95230a1_106	141	52	4.39098	0.25953	0.26108	0.01308	0.70	1688	50	83.19	0.00	0.029	39
95230a1_107	242	277	1.34735	0.07253	0.14352	0.00498	0.50	865	26	0.02	0.90	0.030	45
95230a1_108	739.1493	690.0927	2.625576	0.5794022	0.1409217	0.03004872	0.7737902	669	166	48.76	0.00	0.249	0
95230a1_109	344	256	5.23540	0.21708	0.30696	0.01119	0.66	1860	35	41.94	0.00	0.019	46
95230a1_110	817.7448	583.884	1.869617	0.4053749	0.106199	0.01889089	0.6386247	582	109	37.49	0.00	0.187	0
95230a1_111	416	276	15.66411	0.61330	0.50280	0.01671	0.70	2896	35	79.71	0.00	0.012	33
95230a1_112	482	153	5.74559	0.41948	0.28632	0.02059	0.80	2036	54	99.44	0.00	0.027	26
95230a1_113	107	99	0.79926	0.09315	0.10106	0.00413	0.19	618	23	0.83	0.36	0.038	45

Numéro d'analyse	[U] (ppm)	[Th] (ppm)	207Pb/ 235Uc	2 sigma	206Pb/ 238U	2 sigma	Corré-lation d'erreur	Age Concordia (Ma)	A priori erreur de 2σ	MSWD	Probabilité-de-concordance (rej <.15)	Erreur/ âge (rej >0.40)	Nombres de balayages concordants (rej <5)
95230a1_114	465	149	2.00517	0.09796	0.17791	0.00664	0.63	1092	32	16.64	0.00	0.029	45
95230a1_115	361	121	5.66176	0.22888	0.34805	0.01172	0.74	1926	35	0.00	0.99	0.018	46
95230a1_116	83	30	0.73470	0.08582	0.08888	0.00453	0.32	550	26	0.18	0.67	0.048	41
95230a1_117	433	226	0.83716	0.04375	0.09785	0.00372	0.60	608	20	2.28	0.13	0.034	46
95230a1_118	277	146	0.76720	0.04837	0.09189	0.00387	0.55	570	22	0.87	0.35	0.038	41
95230a1_119	121	50	1.07832	0.09281	0.12241	0.00493	0.37	744	27	0.01	0.94	0.037	45
95230a1_120	61	22	1.88440	0.72584	0.10351	0.01105	0.18	634	65	8.08	0.00	0.102	28
DB07RIM03a		**952-31**											
95231a1_1	44	74	2.18361	0.10312	0.19160	0.00491	0.34	1145	24	6.87	0.01	0.021	45
95231a1_2	281	117	1.04471	0.04523	0.10623	0.00271	0.33	668	15	41.74	0.00	0.022	27
95231a1_3	53	25	2.38973	0.11073	0.20864	0.00560	0.40	1229	26	1.06	0.30	0.021	48
95231a1_4	239	70	2.15761	0.06889	0.19983	0.00422	0.51	1171	19	0.38	0.54	0.017	47
95231a1_5	129	49	3.41281	0.09096	0.26380	0.00499	0.49	1508	20	0.03	0.87	0.013	46
95231a1_6	118	43	2.65851	0.10268	0.22828	0.00576	0.49	1321	25	0.32	0.57	0.019	47
95231a1_7	62	65	6.34159	0.20059	0.36815	0.00842	0.55	2024	27	0.04	0.83	0.014	46
95231a1_8	18	11	1.84192	0.21537	0.16029	0.01002	0.43	978	54	7.30	0.01	0.055	39
95231a1_9	46	39	5.93028	0.22145	0.35082	0.00872	0.50	1958	31	2.05	0.15	0.016	46
95231a1_10	22	17	4.01118	0.44078	0.24356	0.00977	0.15	1439	48	20.02	0.00	0.033	37
95231a1_11	75	34	2.38933	0.09419	0.21326	0.00524	0.46	1243	24	0.21	0.64	0.019	47
95231a1_12	114.1371	62.38445	1.1244	0.1960962	0.06444773	0.008383934	0.5539864	360	50	58.27	0.00	0.139	0
95231a1_13	88	48	2.35496	0.09609	0.21604	0.00580	0.48	1243	26	4.32	0.04	0.021	48
95231a1_14	98	32	1.76767	0.07608	0.16515	0.00396	0.34	1000	20	10.80	0.00	0.020	38
95231a1_15	100	61	5.88656	0.18439	0.32852	0.00756	0.47	1925	27	57.26	0.00	0.014	45
95231a1_16	30	52	1.60288	0.09060	0.15738	0.00485	0.34	951	25	2.52	0.11	0.026	47
95231a1_17	8	7	2.08254	0.28180	0.17753	0.00940	0.23	1067	49	3.33	0.07	0.046	40
95231a1_18	36	12	2.32317	0.14562	0.20474	0.00732	0.31	1208	34	0.57	0.45	0.028	47
95231a1_19	382	82	2.26814	0.10877	0.20698	0.00815	0.53	1205	32	0.29	0.59	0.027	48
95231a1_20	209	108	13.18660	0.63398	0.51416	0.02196	0.71	2697	43	0.29	0.59	0.016	48
95231a1_21	18	23	11.40478	0.52087	0.45875	0.01740	0.62	2563	42	16.68	0.00	0.017	47
95231a1_22	196	115	2.71888	0.10407	0.21302	0.00811	0.53	1322	28	23.11	0.00	0.021	43
95231a1_23	180	69	3.15629	0.09888	0.24743	0.00618	0.60	1443	24	2.69	0.10	0.017	45
95231a1_24	167	182	1.89478	0.09968	0.18125	0.00812	0.54	1078	34	0.08	0.78	0.031	48
95231a1_25	178.5674	589.8855	1.326341	0.2938251	0.08614378	0.01819842	0.5573282	555	107	27.09	0.00	0.193	0
95231a1_26	143	58	3.37800	0.15395	0.23235	0.00798	0.59	1440	35	73.38	0.00	0.024	27
95231a1_27	150	114	5.22198	0.15548	0.32711	0.00750	0.45	1850	25	3.54	0.06	0.013	47
95231a1_28	137	55	2.13981	0.07048	0.19622	0.00441	0.42	1159	20	0.29	0.59	0.017	47
95231a1_29	128	41	1.65753	0.07246	0.14931	0.00395	0.36	925	20	42.45	0.00	0.022	47
95231a1_30	7	2	18.38770	16.16890	0.30960	0.28741	0.91	133	832	5.11	0.02	6.245	8
95231a1_31	184	116	5.81354	0.16416	0.34968	0.00752	0.57	1947	24	1.06	0.30	0.013	46
95231a1_32	106	71	2.85146	0.09711	0.22928	0.00545	0.48	1353	23	7.65	0.01	0.017	46
95231a1_33	358	119	2.14472	0.05402	0.18654	0.00318	0.44	1131	15	42.31	0.00	0.013	46
95231a1_34	83	38	2.93826	0.09934	0.23874	0.00598	0.60	1389	25	0.80	0.37	0.018	45
95231a1_35	87	18	1.81021	0.07501	0.17217	0.00480	0.46	1036	23	3.22	0.07	0.022	44
95231a1_36	60	49	1.64376	0.09617	0.16456	0.00432	0.29	983	22	0.07	0.79	0.023	48
95231a1_37	143	57	4.17128	0.15748	0.28641	0.00865	0.56	1661	31	6.06	0.01	0.018	47
95231a1_38	85	38	1.72400	0.08501	0.15028	0.00545	0.50	948	28	52.86	0.00	0.029	38
95231a1_39	103	35	2.27159	0.09057	0.20492	0.00631	0.47	1203	26	0.01	0.91	0.022	46
95231a1_40	114	52	2.14088	0.12228	0.16799	0.00753	0.61	1003	39	89.03	0.00	0.039	28
95231a1_41	221	72	5.13927	0.24479	0.29885	0.01291	0.76	1873	39	56.73	0.00	0.021	39

Numéro d'analyse	[U] (ppm)	[Th] (ppm)	207Pb/ 235Uc	2 sigma	206Pb/ 238U	2 sigma	Corré-lation d'erreur	Age Concordia (Ma)	A priori erreur de 2σ	MSWD	Probabilité-de-concordance (rej <.15)	Erreur/ âge (rej >0.40)	Nombres de balayages concordants (rej <5)
95231a1_42	88	26	1.75212	0.10092	0.16782	0.00566	0.39	1000	28	2.55	0.11	0.028	46
95231a1_43	97	48	2.89289	0.09931	0.23665	0.00672	0.42	1377	25	0.41	0.52	0.018	46
95231a1_44	124	74	3.28292	0.13677	0.25057	0.00882	0.53	1471	32	3.28	0.07	0.022	47
95231a1_45	242	25	0.80416	0.03548	0.09248	0.00237	0.20	578	13	6.85	0.01	0.022	47
95231a1_46	111	45	3.36460	0.12288	0.25614	0.00721	0.39	1488	27	2.00	0.16	0.018	47
95231a1_47	200.8877	78.90804	3.962023	0.3491257	0.275705	0.02111531	0.4726031	1617	70	1.39	0.24	0.043	3
95231a1_48	355	171	1.61258	0.05617	0.14774	0.00340	0.41	918	17	58.61	0.00	0.019	47
95231a1_49	135	50	2.01101	0.08146	0.18197	0.00572	0.59	1104	26	9.54	0.00	0.024	48
95231a1_50	448	436	1.36440	0.05080	0.13801	0.00428	0.61	858	21	15.55	0.00	0.024	40
95231a1_51	46	13	2.93552	0.22544	0.21572	0.00738	0.32	1283	37	18.54	0.00	0.029	25
95231a1_52	16	4	7.16741	0.50957	0.31203	0.01826	0.48	2016	66	88.43	0.00	0.033	38
95231a1_53	109	38	2.29651	0.13296	0.19072	0.00677	0.49	1155	34	18.52	0.00	0.029	25
95231a1_54	125	42	1.75474	0.06259	0.16820	0.00364	0.43	1006	18	5.70	0.02	0.018	47
95231a1_55	128	71	2.01569	0.09731	0.17780	0.00476	0.32	1075	24	13.98	0.00	0.022	48
95231a1_56	88	56	5.56551	0.19870	0.33354	0.00993	0.69	1913	31	10.02	0.00	0.016	48
95231a1_57	161	41	3.25826	0.11618	0.25327	0.00747	0.64	1469	28	1.12	0.29	0.019	47
95231a1_58	18.09847	12.70515	22.23229	11.98026	0.4076986	0.2098988	0.890802	543	666	13.03	0.00	1.228	1
95231a1_59	114.2408	50.96347	2.376902	0.7637308	0.1348442	0.03335385	0.3156523	893	180	9.34	0.00	0.202	2
95231a1_60	135	33	1.76347	0.06750	0.17049	0.00414	0.43	1022	20	1.84	0.17	0.020	47
95231a1_61	24	13	2.75845	0.23606	0.19319	0.00834	0.39	1169	44	38.43	0.00	0.037	29
95231a1_62	193	41	3.33720	0.09736	0.25642	0.00578	0.56	1486	22	2.06	0.15	0.015	47
95231a1_63	101	74	2.15084	0.09723	0.18576	0.00584	0.48	1131	28	17.07	0.00	0.024	46
95231a1_64	57	47	2.35126	0.11324	0.19892	0.00552	0.44	1190	27	11.54	0.00	0.023	45
95231a1_65	0	0	0	0	0	0	0	#VALUE!	#VALUE!	#VALUE!	#VALUE!	#VALUE!	0
95231a1_66	66	35	1.34112	0.52860	0.13514	0.00825	0.09	818	47	0.16	0.69	0.057	10
95231a1_67	3.985243	3.789021	37.43397	9.230774	0.5802357	0.123958	0.6612163	3807	216	17.24	0.00	0.057	4
95231a1_68	321	91	2.58692	0.08103	0.21975	0.00543	0.52	1292	22	1.61	0.20	0.017	46
95231a1_69	163.3805	63.26748	1.651891	0.3530045	0.1074673	0.01558596	0.3556037	688	89	19.72	0.00	0.130	1
95231a1_70	195	92	4.95833	0.13992	0.31952	0.00761	0.61	1811	24	2.85	0.09	0.013	46
95231a1_71	196	84	0.78365	0.03360	0.09663	0.00204	0.34	593	11	0.56	0.45	0.019	47
95231a1_72	43	32	3.25536	0.16236	0.24801	0.00675	0.42	1445	31	4.40	0.04	0.021	47
95231a1_73	137	52	1.86097	0.05743	0.17805	0.00359	0.47	1061	17	1.13	0.29	0.016	46
95231a1_74	86	47	2.92848	0.09241	0.23761	0.00511	0.52	1383	22	1.46	0.23	0.016	47
95231a1_75	96	57	2.61729	0.11320	0.20844	0.00534	0.39	1252	25	25.18	0.00	0.020	39
95231a1_76	169	61	1.51849	0.07099	0.14920	0.00459	0.50	912	24	9.08	0.00	0.026	21
95231a1_77	146	33	3.30446	0.24648	0.21941	0.01362	0.63	1417	59	50.39	0.00	0.042	16
95231a1_78	91	25	1.76285	0.07927	0.17221	0.00527	0.51	1028	25	0.28	0.60	0.025	47
95231a1_79	170	62	1.79180	0.06149	0.16408	0.00273	0.35	992	14	30.84	0.00	0.015	40
95231a1_80	105	31	3.53379	0.13158	0.26577	0.00782	0.57	1532	29	0.85	0.36	0.019	46
95231a1_81	42	59	2.36793	0.10723	0.19979	0.00562	0.45	1198	27	12.50	0.00	0.022	48
95231a1_82	50	25	10.68612	1.66247	0.32065	0.05141	0.64	2496	144	59.68	0.00	0.058	11
95231a1_83	39	16	1.85720	0.16588	0.15309	0.00692	0.22	948	36	20.21	0.00	0.038	13
95231a1_84	138	71	6.05419	0.19817	0.34823	0.00903	0.67	1984	29	13.00	0.00	0.014	46
95231a1_85	81	145	1.82813	0.10673	0.15219	0.00538	0.47	942	29	58.33	0.00	0.031	29
95231a1_86	61	41	2.75440	0.11941	0.22535	0.00725	0.55	1332	31	3.85	0.05	0.023	48
95231a1_87	157	27	1.79358	0.06787	0.16446	0.00334	0.38	997	17	24.40	0.00	0.017	45
95231a1_88	35	26	2.21643	0.24779	0.15211	0.01126	0.42	962	61	43.18	0.00	0.063	20
95231a1_89	26	11	4.17932	0.50038	0.22640	0.02013	0.56	1435	98	50.00	0.00	0.069	15
95231a1_90	145	40	1.82260	0.06929	0.16050	0.00380	0.45	988	20	57.13	0.00	0.020	25

Numéro d'analyse	[U] (ppm)	[Th] (ppm)	207Pb/ 235Uc	2 sigma	206Pb/ 238U	2 sigma	Corré-lation d'erreur	Age Concordia (Ma)	A priori erreur de 2σ	MSWD	Probabilité-de-concordance (rej <.15)	Erreur/ âge (rej >0.40)	Nombres de balayages concordants (rej <5)
95231a1_91	44.97654	66.87959	2.777358	1.467238	0.2252615	0.07625733	0.5435912	1329	352	0.04	0.83	0.265	1
95231a1_92	48	42	2.13226	0.33423	0.15997	0.00879	0.24	968	48	11.96	0.00	0.050	8
95231a1_93	32	9	1.77906	0.11996	0.16609	0.00562	0.40	1001	30	4.82	0.03	0.030	48
95231a1_94	28	9	2.50128	0.14134	0.21243	0.00767	0.45	1257	35	2.03	0.15	0.028	47
95231a1_95	84.71458	70.88919	4.364408	1.084072	0.2456602	0.05051159	0.7438769	1642	215	11.26	0.00	0.131	2
95231a1_96	327	113	2.48725	0.11681	0.20093	0.00416	0.30	1197	21	24.35	0.00	0.018	22
95231a1_97	65	25	2.18934	0.08358	0.19294	0.00426	0.28	1153	20	7.13	0.01	0.017	46
95231a1_98	29	17	2.62558	0.37839	0.14644	0.02001	0.37	1031	100	43.35	0.00	0.097	25
95231a1_99	65	51	2.17079	0.10501	0.19425	0.00414	0.28	1151	21	2.44	0.12	0.018	48
95231a1_100	76	34	2.72435	0.09840	0.22640	0.00522	0.52	1326	24	2.15	0.14	0.018	48
95231a1_101	40	35	4.25138	0.34117	0.25365	0.01477	0.55	1579	65	43.60	0.00	0.041	12
95231a1_102	80	47	2.36365	0.09436	0.18725	0.00533	0.44	1164	25	66.27	0.00	0.022	37
95231a1_103	127	80	2.57927	0.07813	0.21679	0.00454	0.53	1282	20	6.97	0.01	0.016	45
95231a1_104	69	31	2.31136	0.10085	0.20767	0.00528	0.39	1216	25	0.00	0.97	0.020	48
95231a1_105	119	73	1.94617	0.06743	0.18571	0.00362	0.41	1098	18	0.01	0.93	0.016	48
95231a1_106	37	23	2.24151	0.11610	0.19836	0.00649	0.51	1179	31	2.43	0.12	0.026	48
95231a1_107	60	158	0.79529	0.06378	0.08605	0.00237	0.25	535	14	11.71	0.00	0.026	46
95231a1_108	68	21	2.74454	0.10242	0.22591	0.00556	0.49	1328	25	3.60	0.06	0.019	48
95231a1_109	161	60	1.74582	0.05849	0.16027	0.00342	0.48	981	18	40.41	0.00	0.018	43
95231a1_110	230	47	1.70479	0.06201	0.16371	0.00386	0.53	990	20	9.06	0.00	0.020	44
95231a1_111	27	42	3.34724	0.20647	0.25530	0.00981	0.45	1480	42	1.04	0.31	0.029	48
95231a1_112	353	107	0.05611	0.00611	0.00727	0.00020	0.11	47	1	8.77	0.00	0.028	39
95231a1_113	38	23	1.67602	0.10589	0.16463	0.00406	0.26	985	22	0.69	0.40	0.022	47
95231a1_114	212	65	2.15360	0.08229	0.19459	0.00621	0.70	1163	26	2.78	0.10	0.023	46
95231a1_115	64	50	2.12087	0.44394	0.15212	0.02089	0.56	936	116	12.82	0.00	0.124	8
95231a1_116	32	44	1.54867	0.08210	0.15379	0.00526	0.43	933	26	2.77	0.10	0.028	44
95231a1_117	124	42	2.12763	0.08246	0.19773	0.00620	0.56	1159	26	0.13	0.71	0.022	47
95231a1_118	108	51	2.24984	0.10907	0.19864	0.00645	0.52	1182	30	2.87	0.09	0.026	47
95231a1_119	240	51	2.64235	0.09720	0.22551	0.00694	0.69	1312	27	0.01	0.91	0.021	46
95231a1_120	84	37	4.89258	0.23255	0.31045	0.01256	0.76	1811	39	8.20	0.00	0.022	46
CT07RIM73_1		**952-34**											
95234a1_1	0	0	0	0	0	0	0	#VALUE!	#VALUE!	#VALUE!	#VALUE!	#VALUE!	0
95234a1_2	358	136	0.95206	0.15170	0.08609	0.01134	0.77	522	67	29.09	0.00	0.129	12
95234a1_3	68	27	2.40548	0.17028	0.21933	0.00985	0.48	1260	44	1.71	0.19	0.035	46
95234a1_4	75	27	3.18307	0.21522	0.25524	0.01067	0.47	1459	46	0.20	0.65	0.031	46
95234a1_5	79	84	6.67188	0.32993	0.37690	0.01328	0.55	2068	43	0.07	0.79	0.021	45
95234a1_6	69	47	2.59143	0.19630	0.22512	0.00731	0.30	1306	36	0.14	0.71	0.027	45
95234a1_7	280	216	2.62870	0.10688	0.20703	0.00606	0.53	1264	28	39.55	0.00	0.022	44
95234a1_8	73	160	2.02371	0.15695	0.18479	0.00611	0.19	1100	31	1.13	0.29	0.028	46
95234a1_9	13	4	2.32846	0.43972	0.21375	0.01666	0.28	1242	82	0.16	0.69	0.066	46
95234a1_10	247	236	4.73043	0.15351	0.31881	0.00838	0.66	1773	27	0.53	0.47	0.015	45
95234a1_11	106	68	6.22082	0.30683	0.36081	0.01382	0.59	2006	43	0.64	0.42	0.021	45
95234a1_12	167	62	2.29522	0.12759	0.20822	0.00752	0.50	1215	34	0.19	0.67	0.028	46
95234a1_13	355	205	3.05322	0.12091	0.24389	0.00631	0.41	1415	27	0.68	0.41	0.019	46
95234a1_14	176	114	3.47119	0.15127	0.26148	0.00789	0.38	1512	31	1.22	0.27	0.020	46
95234a1_15	53	55	3.89373	0.21879	0.28162	0.01026	0.40	1607	40	0.23	0.63	0.025	45
95234a1_16	378	276	1.29139	0.06686	0.12808	0.00419	0.49	794	23	21.68	0.00	0.029	36
95234a1_17	528	98	1.41128	0.07221	0.13551	0.00564	0.60	858	28	28.11	0.00	0.033	45
95234a1_18	279	174	5.14088	0.21552	0.32447	0.01039	0.58	1838	35	2.25	0.13	0.019	46

Numéro d'analyse	[U] (ppm)	[Th] (ppm)	207Pb/ 235Uc	2 sigma	206Pb/ 238U	2 sigma	Corré-lation d'erreur	Age Concordia (Ma)	A priori erreur de 2σ	MSWD	Probabilité-de-concordance (rej <.15)	Erreur/ âge (rej >0.40)	Nombres de balayages concordants (rej <5)
95234a1_19	116	18	2.17251	0.10831	0.20097	0.00628	0.35	1177	28	0.18	0.67	0.024	45
95234a1_20	149	45	3.67820	0.17170	0.27364	0.00870	0.58	1564	36	0.15	0.69	0.023	45
95234a1_21	1104.463	1342.481	0.6790115	0.1349292	0.05521329	0.008591926	0.6077787	334	52	25.64	0.00	0.157	0
95234a1_22	171	177	2.26693	0.27506	0.17184	0.01498	0.59	1058	78	21.15	0.00	0.074	31
95234a1_23	163	56	3.12233	0.14148	0.25119	0.00859	0.57	1440	34	0.11	0.74	0.023	46
95234a1_24	36	28	1.70240	0.20261	0.17036	0.00896	0.35	1013	47	0.02	0.90	0.046	46
95234a1_25	72	73	5.82980	0.27052	0.35513	0.01037	0.36	1954	36	0.10	0.75	0.018	46
95234a1_26	58	31	1.68229	0.34750	0.16624	0.00727	0.12	992	40	0.02	0.87	0.040	30
95234a1_27	112	41	2.34666	0.13780	0.20929	0.00726	0.43	1226	34	0.00	0.95	0.028	46
95234a1_28	58	26	1.74151	0.20194	0.16827	0.00767	0.28	1006	41	0.32	0.57	0.040	46
95234a1_29	145	40	3.64864	0.21524	0.27014	0.01169	0.66	1557	46	0.69	0.41	0.030	45
95234a1_30	63	55	1.82215	0.10011	0.17926	0.00724	0.60	1057	34	0.31	0.58	0.032	45
95234a1_31	73	46	1.65631	0.13405	0.16834	0.00673	0.30	1000	34	0.17	0.68	0.034	45
95234a1_32	238	167	1.35089	0.07118	0.14318	0.00447	0.46	864	23	0.13	0.72	0.027	45
95234a1_33	116	32	2.36642	0.15371	0.20812	0.00866	0.46	1226	40	0.33	0.57	0.032	46
95234a1_34	279	437	1.60485	0.09215	0.13618	0.00699	0.64	903	35	83.58	0.00	0.039	37
95234a1_35	338	94	2.29107	0.08924	0.20845	0.00543	0.51	1214	24	0.62	0.43	0.020	46
95234a1_36	377	209	2.90812	0.13306	0.22959	0.00919	0.69	1381	35	8.81	0.00	0.025	46
95234a1_37	187	60	2.30726	0.12691	0.20777	0.00678	0.46	1216	32	0.01	0.90	0.026	46
95234a1_38	287	129	3.40776	0.16533	0.25273	0.00858	0.53	1486	36	7.09	0.01	0.024	45
95234a1_39	92	36	4.15839	0.21973	0.25849	0.01164	0.63	1636	44	62.96	0.00	0.027	42
95234a1_40	169	42	2.14296	0.12376	0.19785	0.00612	0.36	1163	29	0.00	0.96	0.025	46
95234a1_41	502	110	2.23230	0.09742	0.20160	0.00663	0.61	1189	29	0.24	0.62	0.025	46
95234a1_42	44	15	3.03326	0.26714	0.24617	0.01200	0.45	1418	55	0.01	0.94	0.039	45
95234a1_43	141	57	2.33060	0.12723	0.20623	0.00694	0.41	1215	32	0.39	0.53	0.026	46
95234a1_44	237	90	3.22125	0.20889	0.24742	0.01453	0.86	1478	46	3.26	0.07	0.031	46
95234a1_45	264.9474	155.9976	2.945269	0.7254519	0.1937162	0.04292489	0.837858	1370	191	16.54	0.00	0.139	3
95234a1_46	91	32	3.14742	0.19641	0.24630	0.01318	0.74	1445	48	1.17	0.28	0.033	46
95234a1_47	207	171	4.58314	0.28906	0.29752	0.01586	0.70	1749	52	5.80	0.02	0.030	46
95234a1_48	226	120	2.10963	0.13932	0.18526	0.01025	0.71	1141	45	8.00	0.00	0.040	45
95234a1_49	179	81	4.18102	0.23071	0.28667	0.01216	0.66	1665	45	3.91	0.05	0.027	46
95234a1_50	16	15	1.59767	0.29716	0.15808	0.01133	0.29	949	61	0.16	0.69	0.064	45
95234a1_51	98	18	3.20619	0.23521	0.25075	0.01322	0.53	1453	54	0.28	0.59	0.037	46
95234a1_52	94	36	3.01929	0.29428	0.24283	0.01683	0.65	1409	72	0.10	0.75	0.051	45
95234a1_53	148	97	5.45852	0.26594	0.34292	0.01461	0.74	1893	41	0.07	0.79	0.022	45
95234a1_54	317	166	2.32093	0.15753	0.18874	0.01168	0.82	1232	47	33.02	0.00	0.038	46
95234a1_55	268	81	3.51626	0.15743	0.26621	0.01114	0.75	1532	35	0.24	0.63	0.023	46
95234a1_56	13	3	3.07379	0.45813	0.21070	0.02028	0.53	1293	101	12.02	0.00	0.078	46
95234a1_57	531.838	463.5052	1.247264	0.706275	0.1004244	0.04490483	0.7373324	591	262	2.94	0.09	0.444	1
95234a1_58	136	26	3.25934	0.24561	0.24810	0.01649	0.78	1479	57	2.58	0.11	0.039	45
95234a1_59	244	132	2.15800	0.13398	0.19654	0.01079	0.76	1168	43	0.33	0.57	0.037	46
95234a1_60	125	103	2.56566	0.18845	0.22034	0.01327	0.68	1290	53	0.08	0.78	0.041	45
95234a1_61	261	98	3.34475	0.16705	0.24738	0.01123	0.81	1509	37	14.77	0.00	0.025	46
95234a1_62	263	206	4.45220	0.22280	0.29664	0.01105	0.61	1713	41	4.58	0.03	0.024	45
95234a1_63	43	41	2.26901	0.26682	0.20265	0.01460	0.47	1195	69	0.10	0.75	0.058	46
95234a1_64	83	22	2.10014	0.21101	0.19467	0.01456	0.59	1148	65	0.00	0.95	0.057	46
95234a1_65	49	33	2.72366	0.26382	0.23133	0.01615	0.65	1337	70	0.04	0.84	0.052	46
95234a1_66	129	42	3.14240	0.20774	0.24602	0.01244	0.68	1439	51	1.12	0.29	0.035	46
95234a1_67	601	213	5.38141	0.54522	0.31096	0.03089	0.91	1973	60	11.18	0.00	0.030	6

Numéro d'analyse	[U] (ppm)	[Th] (ppm)	207Pb/ 235Uc	2 sigma	206Pb/ 238U	2 sigma	Corré-lation d'erreur	Age Concordia (Ma)	A priori erreur de 2σ	MSWD	Probabilité-de-concordance (rej <.15)	Erreur/ âge (rej >0.40)	Nombres de balayages concordants (rej <5)
95234a1_68	77	40	1.63874	0.13819	0.16337	0.00696	0.30	978	35	0.12	0.73	0.036	45
95234a1_69	200	76	6.03659	0.24950	0.36126	0.01269	0.62	1981	36	0.09	0.77	0.018	43
95234a1_70	283	75	2.53643	0.14833	0.21802	0.01089	0.58	1281	42	0.22	0.64	0.033	46
95234a1_71	251	199	1.40347	0.10761	0.13278	0.00789	0.69	838	42	22.86	0.00	0.050	43
95234a1_72	313	95	3.46652	0.18051	0.25875	0.01089	0.68	1517	41	3.13	0.08	0.027	45
95234a1_73	31	18	7.43799	0.52739	0.38883	0.02098	0.61	2163	64	1.56	0.21	0.029	45
95234a1_74	184	134	5.25729	0.31490	0.31535	0.01768	0.79	1889	47	11.76	0.00	0.025	42
95234a1_75	114	54	2.11931	0.12805	0.18705	0.00833	0.65	1134	40	7.27	0.01	0.035	45
95234a1_76	192	133	2.46729	0.11001	0.20649	0.00752	0.62	1250	32	10.46	0.00	0.025	45
95234a1_77	95	47	12.40108	0.65870	0.49996	0.02405	0.82	2643	43	0.40	0.53	0.016	46
95234a1_78	433	244	1.47949	0.07517	0.13252	0.00523	0.68	842	28	92.60	0.00	0.034	36
95234a1_79	138	58	2.58949	0.15009	0.21786	0.00950	0.65	1290	41	1.90	0.17	0.032	46
95234a1_80	147	81	1.95315	0.10958	0.18475	0.00700	0.57	1096	34	0.14	0.70	0.031	45
95234a1_81	21	24	1.76730	0.30583	0.16866	0.01125	0.24	1009	59	0.25	0.62	0.059	46
95234a1_82	238	118	6.97320	0.26835	0.37225	0.01316	0.71	2119	33	9.42	0.00	0.016	45
95234a1_83	158	74	2.64459	0.12111	0.22683	0.00865	0.67	1314	34	0.08	0.78	0.026	46
95234a1_84	94	69	4.85935	0.22746	0.30873	0.00956	0.50	1774	37	7.70	0.01	0.021	45
95234a1_85	49	23	2.86222	0.24610	0.22822	0.01379	0.59	1354	61	2.25	0.13	0.045	45
95234a1_86	112	96	4.97624	0.26017	0.30961	0.01035	0.54	1786	42	10.83	0.00	0.023	46
95234a1_87	84	215	1.80771	0.13531	0.17479	0.00745	0.50	1042	38	0.19	0.67	0.037	46
95234a1_88	205	36	8.71613	0.39575	0.39743	0.01529	0.75	2340	39	40.89	0.00	0.017	46
95234a1_89	364	125	3.30869	0.12431	0.24934	0.00705	0.56	1469	28	9.30	0.00	0.019	46
95234a1_90	15	6	1.65368	0.31387	0.16665	0.01416	0.33	993	74	0.00	0.96	0.075	46
95234a1_91	265	136	1.52516	0.09228	0.14798	0.00601	0.57	908	32	9.36	0.00	0.035	46
95234a1_92	128	79	1.63424	0.09581	0.15837	0.00435	0.29	955	23	3.50	0.06	0.024	46
95234a1_93	234	177	1.92553	0.12958	0.16206	0.00688	0.45	1004	36	28.80	0.00	0.036	35
95234a1_94	71	66	2.32474	0.18247	0.20053	0.00824	0.45	1190	42	2.37	0.12	0.035	46
95234a1_95	221	243	1.68204	0.10109	0.14784	0.00541	0.51	912	29	39.81	0.00	0.032	43
95234a1_96	184	47	2.32936	0.14590	0.20604	0.00666	0.39	1212	33	0.37	0.55	0.027	45
95234a1_97	79	52	3.18509	0.23945	0.24785	0.01071	0.52	1439	50	0.88	0.35	0.034	45
95234a1_98	404.1906	373.6115	0.5490173	0.1528224	0.05453471	0.01234257	0.6313453	349	75	6.22	0.01	0.216	2
95234a1_99	192	218	4.54339	0.36910	0.26233	0.01865	0.80	1775	65	69.11	0.00	0.036	14
95234a1_100	59	21	2.21111	0.18558	0.19700	0.00808	0.29	1167	40	0.66	0.42	0.034	46
95234a1_101	54	38	11.86877	0.61698	0.48029	0.01848	0.62	2595	49	4.35	0.04	0.019	46
95234a1_102	65	39	2.29237	0.19192	0.19631	0.00771	0.27	1169	38	2.95	0.09	0.033	46
95234a1_103	131	55	1.67441	0.09419	0.16623	0.00469	0.38	993	24	0.18	0.67	0.025	46
95234a1_104	198	72	2.20092	0.10188	0.19786	0.00593	0.47	1172	28	1.11	0.29	0.024	46
95234a1_105	262	346	1.73537	0.17010	0.14566	0.01003	0.57	915	54	25.43	0.00	0.059	11
95234a1_106	187	78	1.52000	0.10962	0.15311	0.00515	0.39	922	28	0.89	0.34	0.030	46
95234a1_107	214.3331	384.0497	1.720504	0.3154965	0.1085445	0.01575838	0.6996979	585	90	47.42	0.00	0.154	0
95234a1_108	107	86	4.48523	0.24118	0.30818	0.01053	0.53	1729	42	0.02	0.88	0.024	45
95234a1_109	105	67	4.84338	0.24942	0.31693	0.01080	0.54	1787	41	0.57	0.45	0.023	46
95234a1_110	71	100	5.20894	0.30230	0.32669	0.01419	0.59	1849	49	1.27	0.26	0.027	46
95234a1_111	124	28	2.38354	0.13600	0.21448	0.00863	0.56	1243	38	0.53	0.47	0.030	46
95234a1_112	258	303	2.51591	0.13988	0.20358	0.00563	0.30	1217	28	14.30	0.00	0.023	46
95234a1_113	140	120	2.28289	0.16016	0.20394	0.00821	0.41	1201	39	0.17	0.68	0.033	45
95234a1_114	81	47	3.00510	0.16668	0.24813	0.00860	0.34	1418	35	0.64	0.42	0.025	45
95234a1_115	60	29	1.56660	0.16015	0.15935	0.00880	0.44	954	46	0.02	0.90	0.048	46
95234a1_116	215	95	2.33595	0.11953	0.20800	0.00626	0.44	1220	30	0.08	0.78	0.024	46

Numéro d'analyse	[U] (ppm)	[Th] (ppm)	207Pb/ 235Uc	2 sigma	206Pb/ 238U	2 sigma	Corré-lation d'erreur	Age Concordia (Ma)	A priori erreur de 2σ	MSWD	Probabilité-de-concordance (rej <.15)	Erreur/ âge (rej >0.40)	Nombres de balayages concordants (rej <5)
95234a1_117	35	56	5.58739	0.35670	0.34649	0.01923	0.59	1914	55	0.01	0.92	0.029	45
95234a1_118	216	134	3.00248	0.14254	0.24462	0.00743	0.43	1409	32	0.01	0.90	0.022	46
95234a1_119	48	28	3.00821	0.27281	0.22643	0.01095	0.33	1347	52	6.18	0.01	0.038	46
95234a1_120	278	159	3.29400	0.13961	0.25165	0.00643	0.43	1463	28	3.37	0.07	0.019	45
DB07RIM61a		**952-35**											
95235a1_1	5	0	2.54571	0.78268	0.14869	0.02620	0.26	939	143	8.63	0.00	0.152	25
95235a1_2	705.5356	453.2453	1.688432	0.280796	0.1043023	0.01468564	0.5819232	632	86	50.43	0.00	0.136	0
95235a1_3	118	67	21.00420	0.55831	0.63540	0.01359	0.54	3138	26	1.99	0.16	0.008	47
95235a1_4	262	101	0.82625	0.04136	0.09984	0.00287	0.39	613	16	0.03	0.86	0.026	48
95235a1_5	37	23	0.96389	0.11666	0.11160	0.00456	0.17	682	26	0.01	0.92	0.037	48
95235a1_6	186	44	0.84356	0.05741	0.09827	0.00273	0.24	606	16	1.11	0.29	0.026	42
95235a1_7	169	127	6.06676	0.18943	0.36611	0.00956	0.52	1987	27	1.73	0.19	0.014	48
95235a1_8	127	85	3.35929	0.16058	0.25839	0.00895	0.55	1491	36	0.44	0.51	0.024	47
95235a1_9	199	71	5.73198	0.22225	0.32877	0.01066	0.56	1925	34	23.27	0.00	0.017	47
95235a1_10	102	97	1.08866	0.06770	0.12253	0.00462	0.41	746	24	0.03	0.87	0.033	48
95235a1_11	214	53	0.81301	0.05146	0.09984	0.00313	0.35	612	17	0.44	0.51	0.029	47
95235a1_12	26	10	6.71031	0.41639	0.37319	0.01373	0.35	2063	49	0.74	0.39	0.024	47
95235a1_13	609	471	0.75601	0.02890	0.09400	0.00224	0.32	577	12	0.72	0.40	0.020	46
95235a1_14	47	27	8.26874	0.34087	0.42753	0.01408	0.65	2259	37	1.91	0.17	0.017	47
95235a1_15	170	39	1.74229	0.10078	0.17788	0.00494	0.29	1046	24	2.53	0.11	0.023	47
95235a1_16	39	45	0.92368	0.11787	0.10493	0.00427	0.22	645	25	0.46	0.50	0.038	47
95235a1_17	180	128	0.76381	0.05678	0.09387	0.00268	0.18	578	15	0.02	0.90	0.026	48
95235a1_18	93	63	2.85647	0.13800	0.24124	0.00745	0.40	1380	31	1.21	0.27	0.023	48
95235a1_19	37	33	6.99286	0.40214	0.39859	0.01690	0.62	2112	51	2.86	0.09	0.024	47
95235a1_20	240	83	0.79721	0.03990	0.09549	0.00275	0.40	590	15	0.45	0.50	0.026	48
95235a1_21	305	117	7.53366	0.21679	0.41123	0.01033	0.65	2173	26	5.73	0.02	0.012	48
95235a1_22	233	62	2.48581	0.09885	0.22027	0.00703	0.65	1270	28	1.14	0.28	0.022	48
95235a1_23	429	70	0.78274	0.03703	0.09340	0.00263	0.45	578	15	1.33	0.25	0.026	47
95235a1_24	148	69	7.74041	0.20117	0.41053	0.00781	0.52	2203	23	1.06	0.30	0.011	46
95235a1_25	125	92	0.93217	0.05863	0.10894	0.00252	0.18	667	14	0.02	0.89	0.021	48
95235a1_26	117	39	0.78040	0.06558	0.09676	0.00304	0.22	594	17	0.27	0.61	0.029	48
95235a1_27	344	92	4.40183	0.12429	0.30794	0.00643	0.53	1716	23	1.64	0.20	0.013	46
95235a1_28	345	108	0.79537	0.04412	0.09614	0.00244	0.27	592	14	0.04	0.85	0.023	48
95235a1_29	651	57	0.81609	0.03166	0.09708	0.00252	0.46	600	14	1.00	0.32	0.023	48
95235a1_30	101	73	7.03798	0.27060	0.39993	0.01084	0.46	2125	33	5.24	0.02	0.016	47
95235a1_31	116	54	3.44306	0.14685	0.26766	0.00698	0.37	1521	28	0.57	0.45	0.019	47
95235a1_32	78	65	1.76854	0.10259	0.17380	0.00565	0.30	1033	27	0.00	0.96	0.026	47
95235a1_33	362	161	0.78433	0.03096	0.09528	0.00217	0.41	587	12	0.02	0.88	0.021	46
95235a1_34	51	44	10.29063	0.44406	0.47631	0.01387	0.50	2468	39	3.44	0.06	0.016	47
95235a1_35	332	70	0.77295	0.04102	0.09413	0.00412	0.48	581	21	0.02	0.90	0.035	48
95235a1_36	194	111	0.74988	0.03764	0.09306	0.00257	0.37	572	14	0.26	0.61	0.025	46
95235a1_37	88	80	4.99810	0.21559	0.32634	0.01008	0.55	1819	36	0.01	0.94	0.020	46
95235a1_38	123	43	3.16287	0.12375	0.25692	0.00665	0.40	1458	27	2.15	0.14	0.018	46
95235a1_39	77	68	0.85635	0.05949	0.10368	0.00306	0.30	635	17	0.24	0.63	0.027	46
95235a1_40	63	45	4.71099	0.25723	0.31939	0.01146	0.53	1774	43	0.49	0.48	0.024	47
95235a1_41	92	62	0.79262	0.06950	0.09749	0.00395	0.21	598	22	0.12	0.73	0.036	48
95235a1_42	69	51	5.83974	0.31588	0.36386	0.01255	0.54	1964	45	3.41	0.06	0.023	48
95235a1_43	169	41	6.83935	0.21072	0.39216	0.00979	0.57	2092	27	4.97	0.03	0.013	48
95235a1_44	271	283	0.82876	0.04842	0.10118	0.00303	0.33	619	17	0.39	0.53	0.027	48

Numéro d'analyse	[U] (ppm)	[Th] (ppm)	207Pb/ 235Uc	2 sigma	206Pb/ 238U	2 sigma	Corré-lation d'erreur	Age Concordia (Ma)	A priori erreur de 2σ	MSWD	Probabilité-de-concordance (rej <.15)	Erreur/ âge (rej >0.40)	Nombres de balayages concordants (rej <5)
95235a1_45	121	58	0.86042	0.05567	0.10035	0.00261	0.27	618	15	0.84	0.36	0.024	47
95235a1_46	279	82	5.91190	0.19894	0.34555	0.00854	0.54	1954	29	7.97	0.00	0.015	47
95235a1_47	71	18	0.76874	0.08885	0.09296	0.00353	0.21	574	20	0.06	0.81	0.036	47
95235a1_48	145	65	6.95764	0.21819	0.39802	0.01067	0.66	2102	28	8.14	0.00	0.013	47
95235a1_49	436	103	0.76957	0.02463	0.09676	0.00220	0.50	589	12	5.47	0.02	0.020	47
95235a1_50	229	88	0.76442	0.04036	0.09583	0.00243	0.25	587	13	1.24	0.26	0.023	46
95235a1_51	203	81	6.99540	0.21271	0.38926	0.00929	0.59	2111	27	0.24	0.62	0.013	47
95235a1_52	121	59	2.08337	0.10513	0.19867	0.00578	0.42	1158	27	1.96	0.16	0.024	48
95235a1_53	524	274	0.75252	0.02715	0.09068	0.00229	0.40	563	12	1.56	0.21	0.022	48
95235a1_54	57	34	0.90041	0.08848	0.10607	0.00447	0.25	650	25	0.01	0.93	0.038	48
95235a1_55	92	99	0.73072	0.05111	0.09181	0.00316	0.29	564	18	0.37	0.54	0.031	47
95235a1_56	194	369	6.59123	0.20143	0.38481	0.00951	0.52	2061	27	4.45	0.03	0.013	45
95235a1_57	197	38	6.53984	0.24550	0.37824	0.01433	0.68	2049	32	0.44	0.51	0.016	47
95235a1_58	56	22	1.59596	0.11457	0.16082	0.00693	0.38	964	34	0.10	0.75	0.036	47
95235a1_59	0	0	0	0	0	0	0	#VALUE!	#VALUE!	#VALUE!	#VALUE!	#VALUE!	0
95235a1_60	35	18	7.53164	0.35902	0.40489	0.01464	0.55	2178	43	0.27	0.60	0.020	47
95235a1_61	180	135	1.02912	0.06322	0.11762	0.00392	0.37	717	21	0.01	0.92	0.030	48
95235a1_62	94	33	9.49676	0.37249	0.45412	0.01531	0.60	2386	36	0.93	0.34	0.015	48
95235a1_63	166	96	0.88685	0.05466	0.10249	0.00342	0.33	633	19	1.11	0.29	0.030	47
95235a1_64	187	71	0.79159	0.05180	0.09588	0.00293	0.27	591	16	0.02	0.90	0.028	47
95235a1_65	219	38	6.39846	0.22068	0.36010	0.01165	0.66	2037	30	5.58	0.02	0.015	47
95235a1_66	341	78	0.76069	0.03631	0.09318	0.00298	0.40	574	16	0.00	0.99	0.028	48
95235a1_67	114	49	0.78329	0.04301	0.09383	0.00303	0.34	581	17	0.54	0.46	0.028	47
95235a1_68	184	92	2.38372	0.12263	0.21413	0.00903	0.40	1241	34	0.30	0.58	0.027	48
95235a1_69	66	48	0.92200	0.08901	0.10996	0.00491	0.25	671	27	0.14	0.71	0.040	47
95235a1_70	249	120	0.76510	0.04620	0.09571	0.00374	0.40	585	20	0.84	0.36	0.034	48
95235a1_71	144	96	7.08283	0.34286	0.38846	0.01636	0.49	2122	43	0.03	0.85	0.020	47
95235a1_72	445	214	0.84000	0.05275	0.09900	0.00535	0.52	615	26	0.51	0.48	0.043	48
95235a1_73	362	160	0.75882	0.03187	0.09356	0.00292	0.50	575	15	0.13	0.72	0.027	47
95235a1_74	232	79	0.77467	0.04445	0.09320	0.00304	0.44	576	17	0.45	0.50	0.030	47
95235a1_75	92	61	6.38342	0.27222	0.36555	0.01457	0.72	2034	36	0.77	0.38	0.018	48
95235a1_76	234	200	2.01366	0.08132	0.18529	0.00593	0.59	1112	26	3.11	0.08	0.024	47
95235a1_77	246	191	0.80076	0.04954	0.09599	0.00399	0.48	593	22	0.23	0.63	0.037	48
95235a1_78	150	40	6.64339	0.26762	0.37161	0.01475	0.54	2066	36	0.94	0.33	0.017	48
95235a1_79	435	216	2.54073	0.16920	0.17004	0.01133	0.53	1032	54	126.78	0.00	0.053	31
95235a1_80	550	61	2.95377	0.13626	0.20636	0.00962	0.59	1371	35	80.46	0.00	0.026	36
95235a1_81	181	197	2.18786	0.09944	0.20183	0.00846	0.53	1178	31	0.16	0.69	0.026	47
95235a1_82	377	298	12.74902	0.56145	0.47763	0.01891	0.59	2670	41	19.00	0.00	0.015	47
95235a1_83	29	26	5.23288	0.36975	0.32870	0.01442	0.46	1848	55	0.58	0.45	0.030	48
95235a1_84	29	13	0.92347	0.15227	0.10000	0.00546	0.17	618	31	1.44	0.23	0.051	48
95235a1_85	632	279	0.77562	0.02969	0.09480	0.00286	0.52	583	15	0.01	0.92	0.025	47
95235a1_86	112	83	0.89856	0.04953	0.10515	0.00274	0.17	646	15	0.20	0.65	0.023	47
95235a1_87	346	116	0.73946	0.03914	0.09084	0.00266	0.39	561	15	0.02	0.89	0.027	47
95235a1_88	57	41	0.85712	0.08009	0.10388	0.00357	0.13	636	20	0.14	0.71	0.031	48
95235a1_89	147	72	4.83714	0.19175	0.31977	0.00905	0.45	1791	32	0.02	0.89	0.018	48
95235a1_90	78	31	0.76540	0.06776	0.09481	0.00337	0.25	583	19	0.12	0.73	0.033	47
95235a1_91	153	91	2.24937	0.09490	0.20428	0.00550	0.37	1197	24	0.01	0.92	0.020	47
95235a1_92	97	231	5.75073	0.24370	0.35081	0.01194	0.57	1939	37	0.00	0.98	0.019	48
95235a1_93	149	40	0.75920	0.06046	0.09244	0.00259	0.17	570	15	0.04	0.84	0.026	48

Numéro d'analyse	[U] (ppm)	[Th] (ppm)	207Pb/ 235Uc	2 sigma	206Pb/ 238U	2 sigma	Corré-lation d'erreur	Age Concordia (Ma)	A priori erreur de 2σ	MSWD	Probabilité-de-concordance (rej <.15)	Erreur/ âge (rej >0.40)	Nombres de balayages concordants (rej <5)
95235a1_94	153	61	0.74732	0.04707	0.09278	0.00278	0.32	571	16	0.15	0.69	0.028	47
~~95235a1_95~~	~~64~~	~~58~~	~~1.01897~~	~~0.09957~~	~~0.10106~~	~~0.00358~~	~~0.16~~	~~629~~	~~20~~	~~12.20~~	~~0.00~~	~~0.032~~	~~42~~
95235a1_96	134	51	0.76062	0.04519	0.09358	0.00245	0.18	576	14	0.03	0.87	0.023	47
~~95235a1_97~~	~~612~~	~~349~~	~~0.74381~~	~~0.02524~~	~~0.08835~~	~~0.00258~~	~~0.36~~	~~556~~	~~12~~	~~4.89~~	~~0.03~~	~~0.022~~	~~47~~
~~95235a1_98~~	~~308~~	~~65~~	~~2.76314~~	~~0.10378~~	~~0.21951~~	~~0.00638~~	~~0.46~~	~~1322~~	~~26~~	~~16.55~~	~~0.00~~	~~0.020~~	~~48~~
95235a1_99	200	63	5.83318	0.17426	0.34928	0.00881	0.59	1951	26	1.40	0.24	0.013	46
95235a1_100	530	43	6.32620	0.16660	0.36680	0.00816	0.50	2021	23	0.21	0.65	0.011	46
95235a1_101	96	61	1.68116	0.08652	0.16695	0.00498	0.40	997	25	0.14	0.71	0.025	48
95235a1_102	55	80	0.87491	0.07565	0.10602	0.00390	0.24	648	22	0.30	0.59	0.033	46
95235a1_103	238	142	0.73150	0.04584	0.08761	0.00235	0.20	544	13	1.32	0.25	0.024	46
95235a1_104	167	90	0.75543	0.04491	0.08986	0.00314	0.29	559	17	1.48	0.22	0.030	45
95235a1_105	124	117	0.85031	0.06512	0.10130	0.00349	0.28	622	20	0.02	0.88	0.031	48
95235a1_106	327	121	2.25946	0.08359	0.20213	0.00557	0.52	1195	24	0.88	0.35	0.020	47
95235a1_107	158	42	0.75441	0.05076	0.09316	0.00269	0.25	574	15	0.05	0.82	0.026	47
95235a1_108	90	106	2.33824	0.15112	0.20725	0.00709	0.34	1218	34	0.16	0.69	0.028	48
95235a1_109	315	155	0.75896	0.03929	0.09298	0.00246	0.34	573	14	0.00	0.98	0.024	46
95235a1_110	120	58	0.81973	0.06191	0.09630	0.00357	0.29	595	20	0.76	0.38	0.034	48
95235a1_111	140	40	0.76795	0.05314	0.09029	0.00301	0.30	561	17	1.95	0.16	0.031	46
95235a1_112	73	54	6.48624	0.25906	0.36837	0.01114	0.50	2041	35	0.92	0.34	0.017	48
95235a1_113	369	238	0.76415	0.03374	0.09226	0.00219	0.31	571	12	0.58	0.45	0.021	47
95235a1_114	262	126	0.77009	0.04186	0.09277	0.00265	0.32	574	15	0.43	0.51	0.026	48
95235a1_115	323	236	0.81466	0.04270	0.09604	0.00308	0.19	596	16	1.04	0.31	0.026	48
~~95235a1_116~~	~~302~~	~~104~~	~~2.32971~~	~~0.06947~~	~~0.20381~~	~~0.00411~~	~~0.37~~	~~1209~~	~~18~~	~~4.38~~	~~0.04~~	~~0.015~~	~~48~~
~~95235a1_117~~	~~338.7816~~	~~187.0963~~	~~2.594187~~	~~0.4502611~~	~~0.126696~~	~~0.01705673~~	~~0.50442~~	~~744~~	~~98~~	~~56.31~~	~~0.00~~	~~0.131~~	~~0~~
~~95235a1_118~~	~~788~~	~~67~~	~~6.07760~~	~~0.16492~~	~~0.35532~~	~~0.00811~~	~~0.57~~	~~1986~~	~~24~~	~~2.88~~	~~0.09~~	~~0.012~~	~~25~~
95235a1_119	96	64	0.72798	0.05579	0.08935	0.00365	0.26	553	20	0.05	0.83	0.036	48
95235a1_120	51	31	0.88224	0.11378	0.10140	0.00377	0.14	624	22	0.39	0.53	0.035	48
CT07RIM60_1		**952-36**											
~~95236a1_1~~	~~19~~	~~7~~	~~0.77247~~	~~0.15798~~	~~0.09609~~	~~0.00567~~	~~0.17~~	~~591~~	~~33~~	~~0.05~~	~~0.82~~	~~0.055~~	~~47~~
~~95236a1_2~~	~~391~~	~~260~~	~~4.28839~~	~~0.20165~~	~~0.27122~~	~~0.01068~~	~~0.76~~	~~1698~~	~~39~~	~~67.22~~	~~0.00~~	~~0.023~~	~~48~~
95236a1_3	164	54	0.84053	0.06079	0.10172	0.00405	0.43	623	23	0.10	0.75	0.036	48
~~95236a1_4~~	~~128~~	~~58~~	~~1.21567~~	~~0.09715~~	~~0.13667~~	~~0.00630~~	~~0.50~~	~~820~~	~~34~~	~~0.78~~	~~0.38~~	~~0.041~~	~~48~~
~~95236a1_5~~	~~672~~	~~425~~	~~1.27578~~	~~0.05671~~	~~0.13189~~	~~0.00454~~	~~0.62~~	~~817~~	~~23~~	~~10.39~~	~~0.00~~	~~0.028~~	~~48~~
~~95236a1_6~~	~~143~~	~~94~~	~~0.84081~~	~~0.06164~~	~~0.10525~~	~~0.00420~~	~~0.44~~	~~639~~	~~23~~	~~2.59~~	~~0.11~~	~~0.036~~	~~47~~
95236a1_7	214	131	0.79598	0.04857	0.09668	0.00331	0.43	595	19	0.00	0.98	0.031	46
~~95236a1_8~~	~~22~~	~~3~~	~~5.12290~~	~~0.46103~~	~~0.34405~~	~~0.02068~~	~~0.58~~	~~1853~~	~~74~~	~~2.55~~	~~0.11~~	~~0.040~~	~~47~~
95236a1_9	337	158	6.52442	0.33075	0.37744	0.01662	0.81	2044	42	0.37	0.54	0.021	48
~~95236a1_10~~	~~242~~	~~43~~	~~0.75615~~	~~0.04563~~	~~0.09634~~	~~0.00377~~	~~0.54~~	~~586~~	~~21~~	~~3.21~~	~~0.07~~	~~0.035~~	~~48~~
~~95236a1_11~~	~~576~~	~~288~~	~~1.09632~~	~~0.04759~~	~~0.11397~~	~~0.00286~~	~~0.46~~	~~706~~	~~16~~	~~26.29~~	~~0.00~~	~~0.023~~	~~47~~
~~95236a1_12~~	~~6~~	~~4~~	~~1.05036~~	~~0.31097~~	~~0.09646~~	~~0.00849~~	~~0.21~~	~~597~~	~~50~~	~~2.81~~	~~0.09~~	~~0.083~~	~~48~~
95236a1_13	317	184	0.88673	0.05042	0.10541	0.00335	0.46	646	19	0.01	0.91	0.029	47
~~95236a1_14~~	~~75~~	~~17~~	~~0.80373~~	~~0.08128~~	~~0.10468~~	~~0.00431~~	~~0.22~~	~~634~~	~~24~~	~~3.42~~	~~0.06~~	~~0.037~~	~~46~~
95236a1_15	277	117	0.84523	0.04553	0.10260	0.00338	0.39	627	18	0.36	0.55	0.029	47
95236a1_16	101	95	1.17000	0.07721	0.12864	0.00397	0.30	781	21	0.13	0.72	0.027	47
~~95236a1_17~~	~~51~~	~~46~~	~~0.79581~~	~~0.07896~~	~~0.08971~~	~~0.00348~~	~~0.21~~	~~558~~	~~20~~	~~3.16~~	~~0.08~~	~~0.036~~	~~43~~
95236a1_18	111	92	0.81999	0.05283	0.09911	0.00333	0.36	609	19	0.01	0.94	0.031	48
95236a1_19	164	93	0.95249	0.05897	0.11318	0.00276	0.28	690	15	0.60	0.44	0.022	47
95236a1_20	465	118	0.84215	0.03748	0.09993	0.00277	0.49	616	15	0.44	0.51	0.025	47
~~95236a1_21~~	~~79~~	~~21~~	~~0.78169~~	~~0.07822~~	~~0.10153~~	~~0.00340~~	~~0.17~~	~~619~~	~~19~~	~~2.69~~	~~0.10~~	~~0.031~~	~~47~~

Numéro d'analyse	[U] (ppm)	[Th] (ppm)	207Pb/ 235Uc	2 sigma	206Pb/ 238U	2 sigma	Corré-lation d'erreur	Age Concordia (Ma)	A priori erreur de 2σ	MSWD	Probabilité-de-concordance (rej <.15)	Erreur/ âge (rej >0.40)	Nombres de balayages concordants (rej <5)
95236a1_22	310	395	5.72173	0.18769	0.34297	0.00793	0.56	1928	28	4.31	0.04	0.014	47
95236a1_23	126	172	4.53785	0.15989	0.30780	0.00843	0.62	1737	29	0.24	0.62	0.017	47
95236a1_24	357	242	11.12317	0.70457	0.39558	0.02347	0.82	2682	45	132.00	0.00	0.017	16
95236a1_25	4166.703	3535.011	1.045272	0.1734441	0.1003587	0.01044817	0.5049168	630	60	7.68	0.01	0.096	1
95236a1_26	201	309	5.64826	0.21791	0.33130	0.00872	0.52	1900	32	17.15	0.00	0.017	46
95236a1_27	107	95	7.26941	0.28769	0.39767	0.01188	0.64	2145	35	0.39	0.53	0.017	48
95236a1_28	53	64	4.86870	0.25597	0.32411	0.00916	0.34	1803	36	0.25	0.61	0.020	47
95236a1_29	308	212	6.34013	0.21150	0.35937	0.00905	0.54	2018	29	5.98	0.01	0.014	48
95236a1_30	285	185	0.82392	0.03962	0.10035	0.00282	0.39	615	15	0.32	0.57	0.025	47
95236a1_31	365	36	13.42261	0.45623	0.50139	0.01345	0.51	2705	32	13.12	0.00	0.012	46
95236a1_32	483	406	0.72400	0.02651	0.08729	0.00185	0.32	543	10	2.84	0.09	0.019	47
95236a1_33	936	203	1.07679	0.04219	0.11058	0.00287	0.44	695	16	41.71	0.00	0.022	33
95236a1_34	82	41	0.88853	0.06605	0.10642	0.00258	0.23	651	15	0.13	0.72	0.023	47
95236a1_35	663	70	0.86980	0.03087	0.10542	0.00223	0.45	643	12	1.79	0.18	0.019	47
95236a1_36	614.8784	82.25571	3.621222	0.6387684	0.2005299	0.0276395	0.5893765	1275	142	29.44	0.00	0.111	1
95236a1_37	175	255	0.93189	0.06431	0.09529	0.00309	0.33	595	18	23.56	0.00	0.030	48
95236a1_38	194	104	6.24412	0.21570	0.35187	0.00871	0.55	1997	30	14.17	0.00	0.015	48
95236a1_39	160	132	0.92859	0.05776	0.10558	0.00251	0.23	649	14	1.66	0.20	0.022	48
95236a1_40	1277.129	601.4871	0.9526222	0.1589457	0.06407897	0.007522123	0.4709112	391	46	44.63	0.00	0.117	0
95236a1_41	164	100	0.86894	0.05268	0.10166	0.00272	0.30	626	15	0.58	0.44	0.025	48
95236a1_42	202	320	6.21482	0.22655	0.35278	0.00973	0.62	2001	32	10.20	0.00	0.016	47
95236a1_43	341	231	6.74152	0.22373	0.37422	0.00929	0.54	2074	29	2.39	0.12	0.014	48
95236a1_44	37	55	0.72246	0.11078	0.08165	0.00436	0.21	509	26	1.94	0.16	0.050	48
95236a1_45	139	121	6.63146	0.23369	0.37665	0.00959	0.59	2063	31	0.02	0.87	0.015	48
95236a1_46	325	182	6.36364	0.19416	0.36372	0.00786	0.43	2021	26	2.43	0.12	0.013	47
95236a1_47	57	34	0.80868	0.07880	0.09792	0.00373	0.20	602	21	0.00	0.98	0.035	48
95236a1_48	416	364	4.91370	0.22872	0.29737	0.01185	0.73	1814	39	39.45	0.00	0.021	25
95236a1_49	260	100	1.23600	0.06745	0.12172	0.00562	0.67	780	29	35.00	0.00	0.037	44
95236a1_50	39	19	0.77165	0.11056	0.10219	0.00432	0.15	622	24	2.15	0.14	0.039	48
95236a1_51	152	67	7.08819	0.28562	0.38578	0.01189	0.57	2121	36	0.72	0.40	0.017	46
95236a1_52	46	27	0.70299	0.10753	0.08969	0.00479	0.28	553	28	0.18	0.67	0.051	48
95236a1_53	365	144	6.83865	0.23973	0.38301	0.01044	0.66	2091	31	0.00	0.98	0.015	48
95236a1_54	23	22	0.76976	0.10797	0.10154	0.00544	0.22	617	30	1.99	0.16	0.049	47
95236a1_55	476	279	6.44244	0.20307	0.35675	0.00818	0.53	2024	27	17.73	0.00	0.014	48
95236a1_56	47	34	0.83193	0.09724	0.09965	0.00393	0.25	613	23	0.01	0.93	0.037	46
95236a1_57	139	72	0.92662	0.06759	0.10680	0.00320	0.25	656	18	0.42	0.52	0.027	47
95236a1_58	262	246	0.89510	0.04513	0.10710	0.00323	0.48	654	18	0.37	0.54	0.027	47
95236a1_59	352	75	9.43376	0.33074	0.42959	0.01034	0.53	2368	32	14.61	0.00	0.014	48
95236a1_60	91	86	0.86283	0.07757	0.10578	0.00400	0.27	646	22	0.61	0.43	0.035	48
95236a1_61	87	84	0.70187	0.06109	0.09129	0.00374	0.28	559	21	1.61	0.20	0.037	47
95236a1_62	214	137	0.78495	0.04025	0.10015	0.00264	0.31	609	14	5.43	0.02	0.024	47
95236a1_63	34	20	12.45409	0.66158	0.49998	0.01986	0.51	2638	50	0.48	0.49	0.019	48
95236a1_64	59	32	0.80604	0.08687	0.09917	0.00281	0.16	609	16	0.15	0.70	0.027	47
95236a1_65	183	180	0.86542	0.04550	0.10322	0.00275	0.34	633	15	0.00	0.99	0.024	47
95236a1_66	73	108	0.86355	0.07176	0.10236	0.00308	0.16	629	17	0.04	0.85	0.027	46
95236a1_67	418	393	0.74792	0.03560	0.08694	0.00190	0.29	541	11	8.17	0.00	0.020	48
95236a1_68	434	258	0.83682	0.02888	0.10220	0.00196	0.43	625	11	1.69	0.19	0.017	46
95236a1_69	135	60	7.18418	0.28189	0.38025	0.01045	0.60	2126	35	8.39	0.00	0.016	48
95236a1_70	169	88	8.91448	0.46158	0.39234	0.01707	0.74	2362	45	52.86	0.00	0.019	36

Numéro d'analyse	[U] (ppm)	[Th] (ppm)	207Pb/ 235Uc	2 sigma	206Pb/ 238U	2 sigma	Corré-lation d'erreur	Age Concordia (Ma)	A priori erreur de 2σ	MSWD	Probabilité-de-concordance (rej <.15)	Erreur/ âge (rej >0.40)	Nombres de balayages concordants (rej <5)
95236a1_71	44	46	0.72111	0.08230	0.08726	0.00359	0.22	540	21	0.24	0.62	0.039	46
95236a1_72	162	97	0.90290	0.04623	0.10488	0.00235	0.28	644	13	0.70	0.40	0.020	45
95236a1_73	248	361	0.83516	0.04353	0.09817	0.00277	0.32	607	15	1.09	0.30	0.025	46
95236a1_74	53	60	0.69502	0.08121	0.08265	0.00364	0.23	514	21	0.96	0.33	0.041	47
95236a1_75	149	46	0.85906	0.06031	0.10170	0.00286	0.24	625	16	0.10	0.75	0.026	48
95236a1_76	126	178	0.78902	0.05670	0.09875	0.00265	0.26	605	15	1.08	0.30	0.025	48
95236a1_77	450	485	0.81535	0.03124	0.09881	0.00199	0.36	607	11	0.05	0.82	0.018	47
95236a1_78	113	74	6.65017	0.23213	0.35959	0.01004	0.60	2061	31	20.49	0.00	0.015	47
95236a1_79	1532.086	497.7272	1.618568	0.286819	0.0876395	0.01253126	0.6952531	422	70	68.21	0.00	0.165	0
95236a1_80	83	67	0.82830	0.07583	0.10098	0.00327	0.25	619	19	0.13	0.72	0.030	47
95236a1_81	238	190	10.87323	0.30283	0.44761	0.00920	0.61	2506	26	61.75	0.00	0.010	47
95236a1_82	154	147	1.05248	0.06718	0.10971	0.00369	0.45	678	21	14.42	0.00	0.031	48
95236a1_83	52	31	0.89116	0.07215	0.09792	0.00337	0.17	609	19	4.78	0.03	0.031	47
95236a1_84	349	184	5.79851	0.17225	0.33636	0.00753	0.62	1937	26	28.80	0.00	0.013	44
95236a1_85	34	13	0.81896	0.12091	0.10232	0.00656	0.35	625	37	0.41	0.52	0.060	45
95236a1_86	50	28	6.60919	0.37564	0.37374	0.01586	0.57	2059	50	0.20	0.66	0.024	48
95236a1_87	125	66	0.77480	0.05820	0.09846	0.00237	0.22	603	14	1.93	0.16	0.023	48
95236a1_88	45	34	17.51010	0.78742	0.57759	0.02115	0.70	2967	42	0.57	0.45	0.014	46
95236a1_89	375	235	0.85430	0.04181	0.10332	0.00293	0.46	632	16	0.41	0.52	0.026	47
95236a1_90	42	36	0.91204	0.09439	0.10106	0.00439	0.26	625	25	2.19	0.14	0.040	47
95236a1_91	124	67	0.75994	0.06054	0.09196	0.00349	0.36	568	20	0.17	0.68	0.035	47
95236a1_92	21	16	6.58550	0.52577	0.35626	0.02029	0.57	2039	70	5.30	0.02	0.034	48
95236a1_93	477	124	12.07768	0.36612	0.49104	0.01216	0.72	2617	28	3.48	0.06	0.011	47
95236a1_94	144	96	0.90482	0.05691	0.10512	0.00320	0.38	646	18	0.47	0.49	0.028	48
95236a1_95	189	91	1.00463	0.05993	0.10646	0.00286	0.30	659	16	12.54	0.00	0.025	33
95236a1_96	171	130	0.74557	0.04066	0.09065	0.00269	0.43	561	15	0.32	0.57	0.027	47
95236a1_97	296	228	2.17263	0.06733	0.19691	0.00409	0.49	1166	19	1.53	0.22	0.016	47
95236a1_98	80	67	0.80110	0.06532	0.10323	0.00318	0.20	628	18	3.69	0.05	0.028	47
95236a1_99	158	111	0.86808	0.04746	0.10270	0.00277	0.22	631	15	0.10	0.75	0.024	44
95236a1_100	936	60	0.81646	0.02916	0.09573	0.00204	0.43	593	11	4.60	0.03	0.019	48
95236a1_101	158	33	6.65675	0.22624	0.37211	0.00897	0.53	2062	30	2.25	0.13	0.014	48
95236a1_102	407	232	0.83574	0.03508	0.09748	0.00230	0.36	604	13	3.17	0.07	0.021	48
95236a1_103	175	95	0.82043	0.04666	0.10115	0.00259	0.30	619	14	0.99	0.32	0.023	47
95236a1_104	46	18	0.95473	0.11270	0.10546	0.00373	0.18	649	21	1.33	0.25	0.033	48
95236a1_105	462	217	0.78848	0.03024	0.09485	0.00211	0.39	586	12	0.53	0.47	0.020	48
95236a1_106	385	588	0.83669	0.03857	0.09260	0.00254	0.38	581	14	19.20	0.00	0.025	38
95236a1_107	117	223	0.84794	0.06063	0.09644	0.00314	0.26	598	18	3.14	0.08	0.030	48
95236a1_108	572	464	7.09258	0.18688	0.38836	0.00761	0.56	2122	23	0.29	0.59	0.011	47
95236a1_109	219	155	0.73644	0.03721	0.08283	0.00203	0.24	520	12	17.47	0.00	0.022	47
95236a1_110	373	347	15.91195	0.42763	0.55136	0.01140	0.56	2872	26	4.28	0.04	0.009	47
95236a1_111	0	0	0	0	0	0	0	#VALUE!	#VALUE!	#VALUE!	#VALUE!	#VALUE!	0
95236a1_112	110	166	0.84010	0.04966	0.10325	0.00287	0.28	631	16	1.06	0.30	0.025	48
95236a1_113	235	146	0.68681	0.04183	0.08553	0.00192	0.21	529	11	0.02	0.88	0.021	48
95236a1_114	451	487	0.88409	0.02910	0.10301	0.00214	0.41	635	12	2.05	0.15	0.018	47
95236a1_115	123	50	7.42657	0.32318	0.39607	0.01219	0.51	2162	38	0.29	0.59	0.018	48
95236a1_116	332	130	5.06077	0.17986	0.30772	0.00779	0.55	1801	30	35.54	0.00	0.016	48
95236a1_117	364	136	5.61911	0.21555	0.31943	0.01022	0.62	1910	33	46.06	0.00	0.017	48
95236a1_118	143	14	0.80522	0.05888	0.09867	0.00357	0.38	605	20	0.18	0.67	0.033	48
95236a1_119	46	20	1.07294	0.09287	0.12010	0.00504	0.23	733	27	0.14	0.71	0.037	46

Numéro d'analyse	[U] (ppm)	[Th] (ppm)	207Pb/ 235Uc	2 sigma	206Pb/ 238U	2 sigma	Corré-lation d'erreur	Age Concordia (Ma)	A priori erreur de 2σ	MSWD	Probabilité-de-concordance (rej <.15)	Erreur/ âge (rej >0.40)	Nombres de balayages concordants (rej <5)
95236a1_120	0	0	0	0	0	0	0	#VALUE!	#VALUE!	#VALUE!	#VALUE!	#VALUE!	0
CT07RIM62_1		**952-37**											
95237a1_1	136	68	6.35126	0.20690	0.35024	0.00965	0.63	2025	29	25.40	0.00	0.014	45
95237a1_2	639	598	0.71218	0.04134	0.07348	0.00413	0.55	498	22	56.29	0.00	0.044	44
95237a1_3	160	74	18.64567	0.62503	0.58381	0.01804	0.61	3030	32	4.01	0.05	0.010	48
95237a1_4	47	36	0.84708	0.06122	0.10298	0.00335	0.16	630	18	0.24	0.63	0.029	48
95237a1_5	225	36	0.93130	0.04580	0.09021	0.00391	0.37	604	20	68.82	0.00	0.033	33
95237a1_6	505.6221	458.111	4.351126	0.9934205	0.2141218	0.04822999	0.7153824	1598	205	26.85	0.00	0.128	1
95237a1_7	21	8	9.60541	0.83813	0.38383	0.02176	0.55	2281	82	46.75	0.00	0.036	36
95237a1_8	46	23	0.74978	0.06874	0.08946	0.00329	0.28	554	19	0.63	0.43	0.034	47
95237a1_9	84	30	0.73429	0.05555	0.08661	0.00292	0.21	539	16	1.96	0.16	0.031	46
95237a1_10	133	78	0.67786	0.04015	0.08121	0.00239	0.19	508	13	2.93	0.09	0.026	47
95237a1_11	49	29	0.87815	0.08116	0.10212	0.00348	0.21	628	20	0.35	0.55	0.031	47
95237a1_12	115	55	0.76812	0.03491	0.09156	0.00282	0.42	569	15	1.92	0.17	0.027	48
95237a1_13	51	13	7.16208	0.23862	0.39503	0.01019	0.59	2132	30	0.56	0.46	0.014	47
95237a1_14	110	13	0.74886	0.03657	0.08907	0.00266	0.49	554	15	3.27	0.07	0.027	47
95237a1_15	142	76	0.91810	0.06903	0.10176	0.00433	0.40	632	24	4.25	0.04	0.038	30
95237a1_16	33	14	7.46055	0.31167	0.38836	0.01112	0.56	2158	37	5.86	0.02	0.017	47
95237a1_17	9	3	2.00927	1.61723	0.11821	0.05091	0.02	777	273	1.30	0.25	0.352	41
95237a1_18	48	13	0.72987	0.07308	0.08904	0.00283	0.22	550	17	0.10	0.76	0.030	48
95237a1_19	129	132	0.78647	0.04095	0.08933	0.00257	0.36	558	15	10.68	0.00	0.026	38
95237a1_20	53	29	0.81911	0.04931	0.09959	0.00296	0.28	611	16	0.10	0.75	0.027	48
95237a1_21	130	66	0.76919	0.04738	0.09323	0.00216	0.20	575	12	0.11	0.74	0.021	47
95237a1_22	369.8265	178.3108	2.28889	0.4925036	0.08875401	0.0145658	0.6027719	423	81	55.15	0.00	0.192	0
95237a1_23	26	22	0.72373	0.05991	0.08468	0.00319	0.19	529	18	2.41	0.12	0.034	45
95237a1_24	131	32	0.76007	0.03478	0.08618	0.00210	0.36	539	12	17.37	0.00	0.022	43
95237a1_25	73	17	0.73036	0.04199	0.08879	0.00231	0.23	550	13	0.43	0.51	0.024	47
95237a1_26	0	0	0	0	0	0	0	#VALUE!	#VALUE!	#VALUE!	#VALUE!	#VALUE!	0
95237a1_27	40	13	0.73506	0.06499	0.08695	0.00235	0.16	539	14	1.29	0.26	0.025	45
95237a1_28	89	86	0.87589	0.05230	0.10053	0.00348	0.39	623	19	2.31	0.13	0.031	48
95237a1_29	296	450	0.89958	0.04186	0.10419	0.00364	0.62	644	20	1.75	0.19	0.031	31
95237a1_30	142	7	0.75119	0.04543	0.09035	0.00226	0.32	559	13	0.78	0.38	0.024	46
95237a1_31	128	65	0.72618	0.04257	0.09027	0.00228	0.22	557	13	0.05	0.83	0.023	47
95237a1_32	36	26	0.84137	0.07477	0.09728	0.00293	0.19	600	17	1.04	0.31	0.028	47
95237a1_33	120	91	7.30118	0.22802	0.38469	0.00951	0.59	2146	28	8.02	0.00	0.013	46
95237a1_34	104	101	0.80073	0.05245	0.09529	0.00233	0.22	588	13	0.49	0.48	0.023	46
95237a1_35	42	25	0.72392	0.07696	0.08666	0.00249	0.18	537	15	0.57	0.45	0.027	48
95237a1_36	42	43	0.71813	0.06588	0.08331	0.00310	0.20	520	18	2.82	0.09	0.034	44
95237a1_37	243	71	0.82962	0.03067	0.09810	0.00232	0.47	606	13	1.58	0.21	0.021	48
95237a1_38	138	187	0.70448	0.02589	0.08912	0.00200	0.39	548	11	1.34	0.25	0.020	47
95237a1_39	260	10	6.37023	0.21050	0.34371	0.01008	0.75	2050	28	56.78	0.00	0.014	43
95237a1_40	175	66	0.66633	0.03312	0.08527	0.00230	0.39	526	13	0.87	0.35	0.025	46
95237a1_41	120	19	5.45919	0.18831	0.33070	0.00896	0.63	1890	30	9.53	0.00	0.016	46
95237a1_42	118	135	0.71591	0.03899	0.08627	0.00244	0.31	536	14	1.62	0.20	0.026	46
95237a1_43	99	65	2.15905	0.26508	0.14279	0.01375	0.61	892	77	60.88	0.00	0.086	26
95237a1_44	40	96	0.81055	0.07689	0.09143	0.00340	0.25	568	20	3.18	0.07	0.035	47
95237a1_45	38	65	0.74716	0.07537	0.08650	0.00340	0.24	538	20	2.07	0.15	0.037	47
95237a1_46	153	41	7.07728	0.21003	0.38281	0.00957	0.66	2123	26	3.53	0.06	0.012	47
95237a1_47	105	19	5.58206	0.17695	0.33766	0.00799	0.60	1908	27	5.93	0.01	0.014	45

Numéro d'analyse	[U] (ppm)	[Th] (ppm)	207Pb/ 235Uc	2 sigma	206Pb/ 238U	2 sigma	Corré-lation d'erreur	Age Concordia (Ma)	A priori erreur de 2σ	MSWD	Probabilité-de-concordance (rej <.15)	Erreur/ âge (rej >0.40)	Nombres de balayages concordants (rej <5)
95237a1_48	69	21	0.71537	0.04632	0.08498	0.00278	0.33	529	16	2.65	0.10	0.030	46
95237a1_49	302	79	0.88568	0.12275	0.08524	0.00750	0.44	542	44	13.34	0.00	0.081	8
95237a1_50	27	16	0.74388	0.07239	0.09429	0.00329	0.21	579	19	0.59	0.44	0.032	45
95237a1_51	0	0	0	0	0	0	0	#VALUE!	#VALUE!	#VALUE!	#VALUE!	#VALUE!	0
95237a1_52	285.6187	202.4628	2.635236	1.81832	0.1388369	0.04420136	0.2396312	852	249	2.34	0.13	0.292	1
95237a1_53	111	57	0.72864	0.09048	0.07035	0.00334	0.13	447	20	16.95	0.00	0.044	17
95237a1_54	179	96	0.86312	0.04395	0.09760	0.00226	0.31	604	13	7.00	0.01	0.021	47
95237a1_55	347	52	12.10144	0.31288	0.48133	0.00985	0.67	2620	24	24.34	0.00	0.009	48
95237a1_56	192	93	0.71593	0.02977	0.08840	0.00195	0.38	546	11	0.07	0.80	0.020	46
95237a1_57	46	11	0.74450	0.06146	0.08779	0.00245	0.21	544	14	1.57	0.21	0.026	47
95237a1_58	379.3486	98.01657	16.90442	2.588806	0.4307356	0.06583405	0.7208964	3062	122	36.91	0.00	0.040	3
95237a1_59	681.3723	82.62214	0.3847797	0.06903827	0.03758052	0.004796028	0.4730781	242	30	15.71	0.00	0.123	3
95237a1_60	88	79	0.77031	0.05287	0.09260	0.00291	0.29	572	17	0.36	0.55	0.029	48
95237a1_61	220	95	27.60570	0.86745	0.68105	0.01978	0.65	3414	30	3.54	0.06	0.009	46
95237a1_62	44	34	4.41322	0.20500	0.30188	0.00960	0.36	1710	35	0.33	0.56	0.020	48
95237a1_63	175	69	0.89541	0.03726	0.10355	0.00335	0.48	642	17	1.93	0.16	0.027	47
95237a1_64	372	56	0.70303	0.04189	0.07564	0.00251	0.46	476	15	37.05	0.00	0.031	23
95237a1_65	82	14	0.69362	0.04568	0.08188	0.00224	0.22	511	13	3.87	0.05	0.025	48
95237a1_66	25	8	0.83236	0.09191	0.10011	0.00354	0.21	615	20	0.00	1.00	0.033	48
95237a1_67	43	17	0.70689	0.06661	0.08876	0.00258	0.18	548	15	0.07	0.79	0.027	48
95237a1_68	32	10	0.89907	0.07483	0.10046	0.00273	0.25	619	16	2.94	0.09	0.026	47
95237a1_69	125	85	6.12361	0.16833	0.34900	0.00671	0.53	1979	24	20.42	0.00	0.012	47
95237a1_70	213	103	0.82603	0.04458	0.09970	0.00302	0.38	612	17	0.01	0.92	0.027	48
95237a1_71	16	18	0.86401	0.10505	0.09228	0.00462	0.21	576	26	4.55	0.03	0.046	48
95237a1_72	28	19	0.85047	0.11009	0.09035	0.00347	0.18	561	20	4.73	0.03	0.036	47
95237a1_73	43	22	0.72896	0.07580	0.09031	0.00452	0.36	557	26	0.00	0.95	0.046	48
95237a1_74	31	16	0.76480	0.07664	0.08666	0.00387	0.25	541	22	3.33	0.07	0.041	48
95237a1_75	101	70	0.81706	0.05303	0.09924	0.00330	0.38	609	19	0.06	0.80	0.030	48
95237a1_76	219	176	0.82625	0.03436	0.09817	0.00265	0.45	606	14	0.73	0.39	0.024	48
95237a1_77	170	54	15.04416	0.43992	0.54760	0.01387	0.69	2819	27	0.02	0.90	0.010	47
95237a1_78	94	106	0.80306	0.04668	0.09691	0.00245	0.28	597	14	0.03	0.86	0.023	48
95237a1_79	36	20	0.88716	0.08005	0.09079	0.00432	0.19	576	24	13.01	0.00	0.041	37
95237a1_80	160	46	5.73995	0.19294	0.34825	0.01023	0.73	1939	29	0.42	0.52	0.015	46
95237a1_81	168	113	0.73355	0.03792	0.08901	0.00289	0.52	552	16	0.83	0.36	0.030	48
95237a1_82	292	135	6.63632	0.23810	0.36561	0.01087	0.56	2061	32	6.83	0.01	0.015	46
95237a1_83	94	151	0.76485	0.04038	0.09064	0.00269	0.36	563	15	2.30	0.13	0.027	47
95237a1_84	104	67	7.85929	0.30944	0.37906	0.01367	0.75	2247	33	43.03	0.00	0.015	40
95237a1_85	359	126	0.81881	0.03581	0.09872	0.00362	0.63	607	19	0.00	0.96	0.031	35
95237a1_86	41	15	0.85155	0.07115	0.09210	0.00330	0.28	574	19	8.56	0.00	0.033	48
95237a1_87	201	133	0.68635	0.02903	0.08695	0.00222	0.46	536	12	0.70	0.40	0.023	44
95237a1_88	198	140	12.49239	0.33457	0.48448	0.00933	0.57	2635	25	32.42	0.00	0.010	46
95237a1_89	35	10	6.96136	0.32241	0.37290	0.01183	0.58	2094	41	7.55	0.01	0.019	48
95237a1_90	81	36	6.40532	0.21221	0.36213	0.00891	0.56	2027	29	5.27	0.02	0.014	48
95237a1_91	61	35	0.78080	0.05065	0.09290	0.00275	0.27	575	16	0.82	0.36	0.027	47
95237a1_92	104	62	0.79739	0.04094	0.10138	0.00276	0.35	616	15	5.57	0.02	0.025	47
95237a1_93	87	108	0.78479	0.04890	0.09283	0.00218	0.23	574	13	1.30	0.25	0.022	47
95237a1_94	183	46	0.85655	0.03896	0.09842	0.00310	0.55	612	17	5.80	0.02	0.028	43
95237a1_95	83	34	0.90527	0.05409	0.10287	0.00304	0.28	636	17	2.48	0.12	0.026	48
95237a1_96	150.4025	38.32843	2.564308	1.661212	0.1357898	0.07579013	0.4113885	899	415	2.93	0.09	0.462	1

Numéro d'analyse	[U] (ppm)	[Th] (ppm)	207Pb/ 235Uc	2 sigma	206Pb/ 238U	2 sigma	Corré-lation d'erreur	Age Concordia (Ma)	A priori erreur de 2σ	MSWD	Probabilité-de-concordance (rej <.15)	Erreur/ âge (rej >0.40)	Nombres de balayages concordants (rej <5)
95237a1_97	71	4	0.69011	0.04271	0.08415	0.00319	0.40	524	18	0.91	0.34	0.034	48
95237a1_98	32	12	7.31084	0.50995	0.38555	0.02189	0.57	2148	62	1.32	0.25	0.029	41
95237a1_99	298	28	0.71778	0.02972	0.08508	0.00228	0.45	532	13	7.51	0.01	0.024	48
95237a1_100	21	16	0.74879	0.09024	0.08717	0.00364	0.17	541	21	1.15	0.28	0.039	46
95237a1_101	29	37	1.06681	0.10968	0.09930	0.00530	0.39	620	31	22.69	0.00	0.050	38
95237a1_102	224	80	6.78988	0.21187	0.37343	0.00956	0.57	2083	28	4.45	0.03	0.013	47
95237a1_103	66	40	0.72344	0.06239	0.08898	0.00306	0.26	550	18	0.03	0.86	0.032	48
95237a1_104	40	9	1.28802	0.10226	0.13551	0.00393	0.26	822	22	0.87	0.35	0.026	47
95237a1_105	51	18	0.71974	0.06439	0.08671	0.00268	0.22	537	16	0.58	0.45	0.029	47
95237a1_106	170	24	1.09052	0.04753	0.12000	0.00303	0.38	736	16	2.48	0.12	0.022	47
95237a1_107	102	35	0.74111	0.04553	0.08898	0.00277	0.30	552	16	1.02	0.31	0.028	46
95237a1_108	131	28	6.15313	0.20766	0.35627	0.00864	0.51	1991	29	3.36	0.07	0.015	47
95237a1_109	26	40	0.81813	0.08769	0.09525	0.00372	0.23	588	21	0.69	0.40	0.036	48
95237a1_110	94	32	5.04896	0.17984	0.31768	0.00922	0.63	1825	30	7.82	0.01	0.017	47
95237a1_111	22	6	7.16008	0.31732	0.38715	0.01361	0.65	2132	40	0.84	0.36	0.019	47
95237a1_112	235	39	6.48484	0.20204	0.36063	0.00957	0.62	2044	28	10.94	0.00	0.013	48
95237a1_113	66	37	0.68265	0.05489	0.08480	0.00292	0.33	525	17	0.05	0.82	0.032	47
95237a1_114	112	92	0.81245	0.04692	0.09635	0.00278	0.38	595	16	0.74	0.39	0.027	47
95237a1_115	62	26	0.83273	0.07027	0.09796	0.00300	0.23	604	17	0.42	0.51	0.028	47
95237a1_116	56	31	5.99066	0.26097	0.34910	0.01213	0.59	1971	38	3.52	0.06	0.019	48
95237a1_117	58	49	13.93647	0.44884	0.52256	0.01395	0.69	2751	30	2.60	0.11	0.011	47
95237a1_118	52	7	0.69029	0.05912	0.08477	0.00319	0.25	526	18	0.22	0.64	0.035	47
95237a1_119	200	155	0.77295	0.03637	0.09401	0.00227	0.35	580	13	0.05	0.82	0.022	47
95237a1_120	25	19	0.69115	0.07616	0.08856	0.00353	0.19	545	20	0.34	0.56	0.037	47
CT07RIM70_1		**952-38**											
95238a1_1	80	62	4.43619	0.20209	0.29593	0.00921	0.50	1703	36	5.09	0.02	0.021	48
95238a1_2	397	132	2.32604	0.07674	0.20730	0.00475	0.48	1218	21	0.22	0.64	0.017	47
95238a1_3	34	12	4.38316	0.29376	0.29209	0.01285	0.51	1688	52	3.63	0.06	0.031	47
95238a1_4	130	43	7.36037	0.33103	0.38692	0.01448	0.75	2165	39	4.32	0.04	0.018	46
95238a1_5	150	80	4.80250	0.19267	0.31559	0.01036	0.71	1786	34	0.93	0.34	0.019	46
95238a1_6	153	110	6.25210	0.26283	0.35999	0.01247	0.55	2010	37	1.43	0.23	0.018	45
95238a1_7	496	382	5.60141	0.23247	0.33366	0.01217	0.71	1924	35	8.39	0.00	0.018	36
95238a1_8	0	0	0	0	0	0	0	#VALUE!	#VALUE!	#VALUE!	#VALUE!	#VALUE!	0
95238a1_9	136	23	12.96004	0.60576	0.49875	0.02094	0.75	2694	40	4.63	0.03	0.015	48
95238a1_10	353	96	6.62444	0.27933	0.37353	0.01279	0.72	2065	37	0.62	0.43	0.018	48
95238a1_11	259	345	5.18410	0.22031	0.29573	0.01083	0.55	1822	37	62.99	0.00	0.020	38
95238a1_12	42	78	1.45454	0.16300	0.15154	0.00742	0.28	910	39	0.00	0.95	0.043	48
95238a1_13	397	103	3.02601	0.10294	0.24643	0.00646	0.66	1415	26	0.21	0.65	0.018	47
95238a1_14	30	23	6.40042	0.43185	0.36055	0.01473	0.44	2015	54	1.89	0.17	0.027	46
95238a1_15	515	502	5.66472	0.17959	0.34700	0.00825	0.59	1925	27	0.13	0.72	0.014	47
95238a1_16	18	8	1.89914	0.20434	0.18584	0.01098	0.37	1092	53	0.24	0.63	0.049	45
95238a1_17	67	26	2.25610	0.12211	0.20576	0.00675	0.45	1203	31	0.15	0.70	0.026	48
95238a1_18	97	60	6.99166	0.29283	0.38563	0.01102	0.50	2109	36	0.12	0.73	0.017	48
95238a1_19	86	78	4.62428	0.21402	0.30940	0.01120	0.62	1752	39	0.53	0.47	0.022	48
95238a1_20	125	51	1.72251	0.09040	0.17155	0.00524	0.39	1019	26	0.04	0.83	0.025	48
95238a1_21	181	78	12.23373	0.40316	0.50120	0.01270	0.60	2623	31	0.03	0.87	0.012	47
95238a1_22	548	711	1.35709	0.06147	0.13697	0.00450	0.59	846	23	13.25	0.00	0.028	39
95238a1_23	84	127	2.44461	0.14519	0.21223	0.00755	0.48	1247	36	0.50	0.48	0.029	48
95238a1_24	124	68	4.29746	0.17604	0.30167	0.00868	0.52	1695	32	0.12	0.73	0.019	48

Numéro d'analyse	[U] (ppm)	[Th] (ppm)	207Pb/ 235Uc	2 sigma	206Pb/ 238U	2 sigma	Corré-lation d'erreur	Age Concordia (Ma)	A priori erreur de 2σ	MSWD	Probabilité-de-concordance (rej <.15)	Erreur/ âge (rej >0.40)	Nombres de balayages concordants (rej <5)
95238a1_25	35	40	8.17920	0.45466	0.43104	0.01888	0.65	2247	50	3.30	0.07	0.022	46
95238a1_26	279	109	3.27298	0.12690	0.26092	0.00768	0.64	1478	30	1.68	0.19	0.020	47
95238a1_27	85	203	1.48027	0.08994	0.15391	0.00493	0.36	923	25	0.00	0.98	0.028	48
95238a1_28	63	27	3.63716	0.20068	0.27857	0.00949	0.46	1569	39	1.24	0.27	0.025	48
95238a1_29	60	38	6.98257	0.33648	0.39163	0.01326	0.57	2112	42	0.68	0.41	0.020	48
95238a1_30	344	113	3.48405	0.13561	0.26699	0.00796	0.62	1524	30	0.01	0.91	0.020	48
95238a1_31	29	32	6.41961	0.44072	0.36634	0.01530	0.44	2027	55	0.41	0.52	0.027	48
95238a1_32	109	58	2.32442	0.12202	0.20686	0.00647	0.44	1215	30	0.16	0.69	0.025	48
95238a1_33	320	168	6.72330	0.22926	0.37595	0.00986	0.63	2075	30	1.04	0.31	0.015	48
95238a1_34	238	201	4.63876	0.26976	0.29222	0.01466	0.74	1767	48	17.89	0.00	0.027	31
95238a1_35	0	0	0	0	0	0	0	#VALUE!	#VALUE!	#VALUE!	#VALUE!	#VALUE!	0
95238a1_36	391	294	4.50017	0.15911	0.27712	0.00680	0.61	1671	29	115.98	0.00	0.017	41
95238a1_37	189	92	12.26549	0.38658	0.50027	0.01223	0.68	2626	29	0.26	0.61	0.011	47
95238a1_38	32	16	1.99916	0.17296	0.18687	0.00689	0.24	1107	35	0.12	0.73	0.031	48
95238a1_39	19	31	3.49470	0.29464	0.24678	0.01211	0.46	1462	56	9.27	0.00	0.038	47
95238a1_40	83	51	14.13610	0.43804	0.51145	0.01217	0.52	2754	30	18.73	0.00	0.011	46
95238a1_41	374	257	1.35770	0.05217	0.14520	0.00306	0.40	873	16	0.08	0.78	0.018	47
95238a1_42	0	0	0	0	0	0	0	#VALUE!	#VALUE!	#VALUE!	#VALUE!	#VALUE!	0
95238a1_43	77	57	7.19709	0.27103	0.38944	0.01230	0.70	2138	33	0.59	0.44	0.016	47
95238a1_44	145	140	6.18852	0.22938	0.35816	0.01022	0.49	1998	32	1.86	0.17	0.016	47
95238a1_45	76	72	4.52831	0.26166	0.29659	0.01062	0.52	1709	44	6.17	0.01	0.026	48
95238a1_46	131	131	2.58292	0.13059	0.21121	0.00747	0.54	1268	34	10.63	0.00	0.027	47
95238a1_47	353	233	2.02153	0.09020	0.18526	0.00661	0.55	1114	29	2.86	0.09	0.026	38
95238a1_48	159	67	5.38041	0.22453	0.33363	0.00938	0.54	1875	34	1.68	0.19	0.018	48
95238a1_49	116	40	2.27330	0.10992	0.20186	0.00532	0.44	1192	26	1.24	0.27	0.022	45
95238a1_50	141	45	6.33213	0.26141	0.35449	0.01231	0.75	2034	35	11.40	0.00	0.017	46
95238a1_51	53	31	7.24926	0.26350	0.39015	0.01152	0.56	2142	33	0.74	0.39	0.015	48
95238a1_52	294	224	2.22193	0.07671	0.20017	0.00498	0.54	1183	22	0.92	0.34	0.019	47
95238a1_53	81	119	1.54403	0.10578	0.15363	0.00448	0.29	926	24	1.58	0.21	0.026	47
95238a1_54	84	36	2.20653	0.13130	0.19958	0.00621	0.35	1176	30	0.22	0.64	0.026	45
95238a1_55	257	150	6.50735	0.18943	0.35801	0.00802	0.55	2037	26	21.02	0.00	0.013	47
95238a1_56	253	231	7.02818	0.20467	0.37298	0.00862	0.56	2109	26	18.06	0.00	0.012	48
95238a1_57	181	76	12.45476	0.39609	0.49631	0.01270	0.59	2641	30	3.52	0.06	0.011	46
95238a1_58	59	25	1.66356	0.12065	0.16337	0.00463	0.20	979	24	0.63	0.43	0.025	48
95238a1_59	105	80	9.53959	0.34215	0.43380	0.01297	0.73	2403	32	11.09	0.00	0.013	48
95238a1_60	42	33	3.29523	0.21815	0.25792	0.01027	0.46	1480	45	0.00	0.98	0.030	47
95238a1_61	189	97	2.53344	0.08654	0.21648	0.00465	0.40	1272	21	1.82	0.18	0.016	47
95238a1_62	0	0	0	0	0	0	0	#VALUE!	#VALUE!	#VALUE!	#VALUE!	#VALUE!	0
95238a1_63	198	142	6.64847	0.22925	0.37250	0.01050	0.61	2066	31	1.60	0.21	0.015	48
95238a1_64	264	113	2.86647	0.10407	0.23555	0.00640	0.52	1370	26	0.41	0.52	0.019	47
95238a1_65	166	55	2.57208	0.11333	0.22338	0.00583	0.46	1297	27	0.18	0.67	0.021	48
95238a1_66	178	94	3.40657	0.12647	0.26282	0.00613	0.42	1505	25	0.01	0.92	0.017	47
95238a1_67	387	311	5.93274	0.17037	0.34260	0.00878	0.52	1962	25	13.79	0.00	0.013	44
95238a1_68	93	81	4.47352	0.19841	0.30138	0.01098	0.59	1723	37	1.60	0.21	0.021	48
95238a1_69	33	23	1.65458	0.20350	0.16311	0.00803	0.29	977	43	0.19	0.66	0.044	47
95238a1_70	155	48	2.26211	0.10965	0.20490	0.00809	0.55	1201	33	0.00	0.96	0.027	48
95238a1_71	77	34	1.61983	0.11285	0.16406	0.00578	0.33	979	29	0.00	0.95	0.030	47
95238a1_72	28	73	1.47945	0.14306	0.14645	0.00592	0.27	887	32	1.86	0.17	0.036	48
95238a1_73	135	60	6.39980	0.25134	0.36478	0.01210	0.43	2029	34	1.09	0.30	0.017	48

Numéro d'analyse	[U] (ppm)	[Th] (ppm)	207Pb/ 235Uc	2 sigma	206Pb/ 238U	2 sigma	Corré-lation d'erreur	Age Concordia (Ma)	A priori erreur de 2σ	MSWD	Probabilité-de-concordance (rej <.15)	Erreur/ âge (rej >0.40)	Nombres de balayages concordants (rej <5)
95238a1_74	19	2	7.10615	0.47478	0.39420	0.01707	0.47	2129	56	0.23	0.63	0.027	48
~~95238a1_75~~	~~151~~	~~212~~	~~1.97163~~	~~0.08393~~	~~0.16947~~	~~0.00453~~	~~0.36~~	~~1024~~	~~23~~	~~41.48~~	~~0.00~~	~~0.022~~	~~47~~
95238a1_76	307	84	2.25679	0.07230	0.20533	0.00534	0.47	1200	21	0.14	0.71	0.018	47
95238a1_77	137	47	1.51774	0.07577	0.15889	0.00472	0.36	946	23	0.66	0.42	0.024	47
~~95238a1_78~~	~~475~~	~~133~~	~~2.25787~~	~~0.07278~~	~~0.19997~~	~~0.00405~~	~~0.41~~	~~1186~~	~~19~~	~~3.92~~	~~0.05~~	~~0.016~~	~~47~~
95238a1_79	172	80	4.52764	0.15748	0.30741	0.00884	0.67	1736	29	0.25	0.62	0.017	47
95238a1_80	415	56	3.40399	0.13191	0.26046	0.00863	0.73	1506	30	0.75	0.39	0.020	47
95238a1_81	212	41	3.33932	0.13682	0.25990	0.00839	0.65	1490	32	0.00	0.95	0.021	48
~~95238a1_82~~	~~164~~	~~97~~	~~7.06544~~	~~0.26207~~	~~0.38229~~	~~0.01044~~	~~0.58~~	~~2116~~	~~33~~	~~2.69~~	~~0.10~~	~~0.016~~	~~47~~
95238a1_83	247	49	2.41572	0.08565	0.21525	0.00568	0.61	1250	24	0.57	0.45	0.020	47
95238a1_84	62	36	7.23361	0.28673	0.39087	0.01109	0.54	2139	35	0.39	0.53	0.016	47
~~95238a1_85~~	~~168~~	~~158~~	~~3.01456~~	~~0.11539~~	~~0.22892~~	~~0.00584~~	~~0.47~~	~~1371~~	~~26~~	~~28.28~~	~~0.00~~	~~0.019~~	~~42~~
95238a1_86	147	154	4.78738	0.17331	0.32292	0.00920	0.55	1785	30	1.24	0.26	0.017	47
95238a1_87	133	81	4.65437	0.17300	0.31190	0.00850	0.60	1758	31	0.28	0.60	0.017	47
~~95238a1_88~~	~~107~~	~~41~~	~~3.38128~~	~~0.15485~~	~~0.25590~~	~~0.00958~~	~~0.69~~	~~1498~~	~~36~~	~~3.05~~	~~0.08~~	~~0.024~~	~~47~~
95238a1_89	635	77	6.36489	0.17902	0.36588	0.00783	0.58	2026	25	1.31	0.25	0.012	47
95238a1_90	30	10	3.42827	0.23363	0.26264	0.01038	0.44	1507	45	0.07	0.79	0.030	47
95238a1_91	354	293	4.53488	0.14488	0.30663	0.00761	0.59	1736	26	0.74	0.39	0.015	48
95238a1_92	86	35	15.47876	0.59136	0.55737	0.01753	0.61	2844	36	0.13	0.72	0.013	48
~~95238a1_93~~	~~148~~	~~91~~	~~6.35895~~	~~0.21773~~	~~0.36172~~	~~0.00828~~	~~0.44~~	~~2016~~	~~29~~	~~3.74~~	~~0.05~~	~~0.014~~	~~47~~
~~95238a1_94~~	~~165~~	~~87~~	~~12.65752~~	~~0.37805~~	~~0.50234~~	~~0.01215~~	~~0.59~~	~~2655~~	~~28~~	~~2.10~~	~~0.15~~	~~0.011~~	~~46~~
95238a1_95	189	127	2.32283	0.10840	0.21068	0.00497	0.36	1228	24	0.60	0.44	0.019	47
95238a1_96	200	69	1.94891	0.07061	0.18555	0.00521	0.56	1098	23	0.00	0.94	0.021	48
95238a1_97	226	99	2.26920	0.08431	0.20321	0.00539	0.50	1199	24	0.54	0.46	0.020	48
95238a1_98	186	62	1.70232	0.07429	0.16987	0.00452	0.44	1011	22	0.02	0.89	0.022	47
~~95238a1_99~~	~~225~~	~~166~~	~~2.15058~~	~~0.08081~~	~~0.18738~~	~~0.00435~~	~~0.45~~	~~1129~~	~~21~~	~~19.16~~	~~0.00~~	~~0.019~~	~~48~~
~~95238a1_100~~	~~274~~	~~435~~	~~2.66972~~	~~0.10826~~	~~0.21926~~	~~0.00695~~	~~0.67~~	~~1310~~	~~30~~	~~9.15~~	~~0.00~~	~~0.023~~	~~46~~
~~95238a1_101~~	~~514~~	~~273~~	~~3.29637~~	~~0.12192~~	~~0.25063~~	~~0.00757~~	~~0.67~~	~~1476~~	~~29~~	~~6.93~~	~~0.01~~	~~0.020~~	~~46~~
95238a1_102	94	83	4.56335	0.19258	0.31257	0.00875	0.51	1746	33	0.30	0.59	0.019	47
95238a1_103	87	89	1.83344	0.09853	0.18061	0.00506	0.38	1066	25	0.52	0.47	0.024	48
95238a1_104	118	126	4.63459	0.20141	0.30780	0.00916	0.56	1749	35	1.72	0.19	0.020	47
~~95238a1_105~~	~~330~~	~~118~~	~~3.44011~~	~~0.12755~~	~~0.27016~~	~~0.00798~~	~~0.60~~	~~1517~~	~~29~~	~~2.88~~	~~0.09~~	~~0.019~~	~~48~~
95238a1_106	319	169	2.24914	0.08788	0.20332	0.00598	0.55	1195	26	0.06	0.81	0.022	48
~~95238a1_107~~	~~55~~	~~62~~	~~3.51015~~	~~0.25609~~	~~0.25453~~	~~0.01100~~	~~0.42~~	~~1492~~	~~49~~	~~4.75~~	~~0.03~~	~~0.033~~	~~48~~
95238a1_108	248	185	3.28486	0.12355	0.25592	0.00766	0.59	1476	29	0.28	0.60	0.020	48
95238a1_109	423	94	3.02104	0.09533	0.24334	0.00584	0.49	1410	23	0.40	0.53	0.016	48
95238a1_110	29	41	2.55592	0.18498	0.21694	0.00835	0.39	1273	40	0.69	0.41	0.031	47
95238a1_111	44	60	2.40432	0.19011	0.20909	0.00829	0.36	1230	40	0.47	0.49	0.033	48
95238a1_112	325	205	3.54725	0.11226	0.26917	0.00590	0.49	1537	23	0.01	0.93	0.015	48
95238a1_113	38	30	3.84196	0.26888	0.28092	0.01179	0.44	1599	49	0.03	0.86	0.031	48
95238a1_114	153	102	5.92303	0.21767	0.36159	0.01043	0.42	1969	31	1.17	0.28	0.016	48
95238a1_115	177	53	2.29671	0.09309	0.20816	0.00464	0.34	1216	22	0.25	0.62	0.018	47
95238a1_116	113	109	1.69612	0.10278	0.17040	0.00564	0.34	1012	28	0.13	0.72	0.027	48
95238a1_117	142	121	7.64975	0.24270	0.40458	0.00953	0.53	2191	28	0.00	0.97	0.013	47
~~95238a1_118~~	~~268~~	~~305~~	~~1.94331~~	~~0.07438~~	~~0.17340~~	~~0.00412~~	~~0.39~~	~~1055~~	~~20~~	~~23.09~~	~~0.00~~	~~0.019~~	~~48~~
95238a1_119	50	62	6.27469	0.31844	0.36942	0.01251	0.53	2018	43	0.20	0.65	0.021	48
~~95238a1_120~~	~~1115.812~~	~~2020.24~~	~~1.186639~~	~~0.2247684~~	~~0.07405612~~	~~0.01082681~~	~~0.6326097~~	~~403~~	~~63~~	~~46.61~~	~~0.00~~	~~0.157~~	~~0~~
CT07RIM71_1		**952-39**											
95239a1_1	197	148	11.29544	0.34275	0.47988	0.01055	0.52	2546	28	1.13	0.29	0.011	48

Numéro d'analyse	[U] (ppm)	[Th] (ppm)	207Pb/ 235Uc	2 sigma	206Pb/ 238U	2 sigma	Corré-lation d'erreur	Age Concordia (Ma)	A priori erreur de 2σ	MSWD	Probabilité-de-concordance (rej <.15)	Erreur/ âge (rej >0.40)	Nombres de balayages concordants (rej <5)
95239a1_2	571	144	3.59758	0.11450	0.26736	0.00604	0.51	1542	24	2.32	0.13	0.015	35
95239a1_3	451	191	3.67847	0.11854	0.25975	0.00614	0.53	1541	25	30.33	0.00	0.016	47
95239a1_4	173	145	2.31785	0.07811	0.20275	0.00468	0.44	1205	21	4.53	0.03	0.017	48
95239a1_5	101	45	1.52089	0.08403	0.15379	0.00454	0.34	927	23	0.92	0.34	0.025	48
95239a1_6	81	52	5.39356	0.21732	0.34547	0.00875	0.35	1894	31	1.74	0.19	0.016	47
95239a1_7	396	39	2.38091	0.08930	0.21842	0.00582	0.52	1250	25	6.61	0.01	0.020	47
95239a1_8	276	488	4.50021	0.15876	0.29816	0.00783	0.53	1720	29	8.18	0.00	0.017	48
95239a1_9	183	51	7.57535	0.25336	0.40082	0.01035	0.47	2181	30	0.18	0.67	0.014	48
95239a1_10	90	78	7.36566	0.30732	0.40644	0.01097	0.47	2166	36	3.23	0.07	0.016	48
95239a1_11	258	221	6.01273	0.16702	0.37196	0.00749	0.47	1988	23	14.33	0.00	0.012	48
95239a1_12	52	36	3.09559	0.17210	0.24823	0.00822	0.44	1430	36	0.01	0.92	0.025	47
95239a1_13	153	86	7.70953	0.25150	0.41167	0.00983	0.50	2201	29	1.56	0.21	0.013	48
95239a1_14	58	36	1.88233	0.16040	0.17624	0.00515	0.23	1050	27	0.98	0.32	0.026	47
95239a1_15	179	113	5.31008	0.16933	0.33349	0.00782	0.50	1867	27	0.81	0.37	0.014	48
95239a1_16	394	168	3.60693	0.11229	0.27090	0.00624	0.51	1550	24	0.16	0.69	0.015	48
95239a1_17	91	80	1.71341	0.09721	0.16693	0.00493	0.34	1000	25	0.95	0.33	0.025	48
95239a1_18	51	31	1.81315	0.14395	0.18278	0.00712	0.29	1072	35	1.37	0.24	0.033	48
95239a1_19	403	202	2.35950	0.09794	0.19816	0.00604	0.50	1202	27	17.36	0.00	0.023	36
95239a1_20	53	35	6.16565	0.29564	0.36463	0.01202	0.52	2001	41	0.03	0.86	0.020	47
95239a1_21	220	108	6.93507	0.23777	0.38653	0.01028	0.55	2103	30	0.03	0.86	0.014	47
95239a1_22	75	174	6.51705	0.23665	0.37468	0.01025	0.51	2049	32	0.02	0.88	0.015	48
95239a1_23	277	255	2.37413	0.09249	0.20012	0.00475	0.39	1200	22	15.58	0.00	0.019	48
95239a1_24	249	123	2.45813	0.09656	0.22087	0.00506	0.36	1274	23	2.91	0.09	0.018	48
95239a1_25	103	60	5.28566	0.21781	0.34015	0.01029	0.53	1870	34	0.94	0.33	0.018	48
95239a1_26	335	73	2.44272	0.08403	0.21691	0.00482	0.44	1260	21	0.59	0.44	0.017	48
95239a1_27	179	94	1.85732	0.07501	0.17292	0.00415	0.39	1042	21	7.47	0.01	0.020	45
95239a1_28	753	294	2.92228	0.14517	0.21463	0.00706	0.39	1313	32	40.70	0.00	0.025	11
95239a1_29	135	403	5.16880	0.19580	0.33134	0.00911	0.52	1847	31	0.02	0.89	0.017	48
95239a1_30	96	122	13.30075	0.49902	0.53494	0.01562	0.59	2699	36	5.16	0.02	0.013	47
95239a1_31	71	45	5.19749	0.24391	0.33268	0.01096	0.52	1852	39	0.00	0.97	0.021	47
95239a1_32	220	56	3.56259	0.13128	0.26450	0.00676	0.47	1531	27	2.91	0.09	0.018	48
95239a1_33	301	103	3.60489	0.12159	0.27617	0.00598	0.40	1559	24	1.87	0.17	0.015	48
95239a1_34	48	41	2.83376	0.15171	0.23797	0.00884	0.39	1369	36	0.23	0.63	0.026	48
95239a1_35	82	54	5.96703	0.25503	0.36408	0.01149	0.51	1976	36	1.63	0.20	0.018	47
95239a1_36	251	205	4.77366	0.18282	0.32370	0.00924	0.62	1783	32	2.34	0.13	0.018	46
95239a1_37	44	21	3.03227	0.19981	0.22986	0.00863	0.40	1364	40	9.47	0.00	0.030	48
95239a1_38	318	218	6.51437	0.22449	0.37556	0.01021	0.62	2048	30	0.16	0.69	0.015	48
95239a1_39	668	442	5.33055	0.38432	0.29811	0.01809	0.70	1872	62	36.98	0.00	0.033	6
95239a1_40	256	116	1.74774	0.06814	0.17603	0.00386	0.37	1038	19	2.08	0.15	0.018	47
95239a1_41	278	152	2.05371	0.15345	0.18231	0.00566	0.28	1089	29	4.22	0.04	0.027	34
95239a1_42	326	295	2.13819	0.06943	0.19210	0.00427	0.47	1147	20	5.82	0.02	0.017	47
95239a1_43	152	62	2.29670	0.08718	0.21020	0.00610	0.57	1217	26	1.77	0.18	0.021	45
95239a1_44	401	222	4.66183	0.16897	0.29143	0.00772	0.56	1729	30	45.14	0.00	0.017	46
95239a1_45	1089.914	1014.891	1.658346	0.3509263	0.09923525	0.01678867	0.7169621	499	94	41.85	0.00	0.188	0
95239a1_46	274	122	4.65727	0.16122	0.31456	0.00818	0.58	1760	29	0.04	0.83	0.016	48
95239a1_47	90	47	3.61293	0.19679	0.27806	0.00898	0.41	1566	37	1.48	0.22	0.024	47
95239a1_48	174	75	6.19393	0.23741	0.37173	0.01142	0.63	2004	34	2.61	0.11	0.017	47
95239a1_49	141	104	7.27254	0.29049	0.39932	0.01272	0.63	2145	36	0.80	0.37	0.017	47
95239a1_50	173	115	6.31446	0.25847	0.36787	0.01215	0.60	2020	36	0.00	0.96	0.018	48

Numéro d'analyse	[U] (ppm)	[Th] (ppm)	207Pb/ 235Uc	2 sigma	206Pb/ 238U	2 sigma	Corré-lation d'erreur	Age Concordia (Ma)	A priori erreur de 2σ	MSWD	Probabilité-de-concordance (rej <.15)	Erreur/ âge (rej >0.40)	Nombres de balayages concordants (rej <5)
95239a1_51	44	80	6.43177	0.40239	0.36479	0.01704	0.55	2032	55	0.88	0.35	0.027	47
95239a1_52	102	73	4.59349	0.29085	0.30322	0.01616	0.75	1753	52	2.33	0.13	0.030	48
95239a1_53	227	67	3.57563	0.16876	0.27135	0.01067	0.73	1544	37	0.04	0.85	0.024	47
95239a1_54	129	145	10.21326	0.47777	0.45566	0.01797	0.68	2459	42	1.31	0.25	0.017	46
95239a1_55	137	96	4.56507	0.21872	0.30935	0.01144	0.68	1743	40	0.07	0.79	0.023	47
95239a1_56	36	22	3.00237	0.19863	0.24678	0.00947	0.38	1415	41	0.24	0.62	0.029	47
95239a1_57	165	51	2.39240	0.10816	0.21272	0.00745	0.53	1241	31	0.03	0.87	0.025	48
95239a1_58	118	136	6.63127	0.28718	0.38380	0.01337	0.65	2062	38	1.64	0.20	0.019	47
95239a1_59	629.6974	684.7702	2.102145	0.5207219	0.07536633	0.01615307	0.7745723	240	77	51.40	0.00	0.319	0
95239a1_60	16	7	1.77996	0.22361	0.17647	0.00968	0.31	1046	50	0.05	0.82	0.048	47
95239a1_61	68	55	5.42816	0.24518	0.34172	0.01217	0.66	1889	39	0.07	0.80	0.021	46
95239a1_62	293	305	2.28948	0.10735	0.19275	0.00672	0.60	1178	31	21.37	0.00	0.027	48
95239a1_63	213	130	2.33240	0.10594	0.20098	0.00629	0.51	1202	29	6.43	0.01	0.024	48
95239a1_64	79	71	6.25112	0.31294	0.35877	0.01398	0.64	2010	44	1.91	0.17	0.022	48
95239a1_65	56	40	2.50831	0.17637	0.21293	0.00878	0.48	1256	42	1.43	0.23	0.034	47
95239a1_66	115	40	2.89197	0.15851	0.23096	0.00762	0.46	1358	35	3.60	0.06	0.026	48
95239a1_67	65	57	2.64603	0.17364	0.21896	0.00936	0.53	1295	43	2.46	0.12	0.033	48
95239a1_68	193	164	5.43386	0.23749	0.32638	0.01144	0.70	1892	37	12.34	0.00	0.020	47
95239a1_69	137	47	3.32926	0.15117	0.25357	0.00815	0.55	1478	34	2.79	0.09	0.023	47
95239a1_70	171	190	2.77196	0.11965	0.23208	0.00736	0.61	1347	31	0.03	0.87	0.023	47
95239a1_71	174	139	1.46157	0.06901	0.15021	0.00422	0.46	906	22	0.83	0.36	0.024	47
95239a1_72	242	228	2.79762	0.10754	0.22734	0.00633	0.57	1343	27	5.60	0.02	0.020	47
95239a1_73	48	64	4.79822	0.26389	0.32465	0.01174	0.54	1792	44	1.21	0.27	0.024	48
95239a1_74	118	129	5.22745	0.23583	0.32325	0.01170	0.68	1857	39	6.06	0.01	0.021	48
95239a1_75	210	154	7.06669	0.26424	0.39069	0.01140	0.63	2120	33	0.09	0.76	0.016	48
95239a1_76	596.6467	523.5433	2.110007	0.8837867	0.1266457	0.03986515	0.6235662	728	228	7.91	0.00	0.313	1
95239a1_77	52	59	2.25119	0.16654	0.18972	0.00900	0.51	1150	44	9.42	0.00	0.039	47
95239a1_78	201	141	2.17613	0.11281	0.20154	0.00678	0.53	1178	32	0.33	0.56	0.027	48
95239a1_79	108	68	3.40047	0.17319	0.25373	0.00956	0.60	1492	39	5.29	0.02	0.026	48
95239a1_80	156	114	11.25890	0.44885	0.46799	0.01572	0.74	2559	35	8.30	0.00	0.014	47
95239a1_81	93	33	3.30618	0.18379	0.25779	0.00882	0.51	1481	39	0.03	0.86	0.026	48
95239a1_82	290	131	2.16022	0.10941	0.19453	0.00750	0.64	1161	34	1.93	0.17	0.029	48
95239a1_83	51	68	2.92688	0.17251	0.24289	0.00974	0.49	1394	41	0.28	0.60	0.029	46
95239a1_84	38	56	5.54139	0.31330	0.34924	0.01475	0.63	1909	48	0.75	0.39	0.025	47
95239a1_85	21	11	1.82206	0.23260	0.17355	0.00795	0.20	1035	42	0.25	0.62	0.040	48
95239a1_86	178	61	12.78184	0.45868	0.50116	0.01462	0.67	2669	33	3.59	0.06	0.013	48
95239a1_87	220	96	4.50147	0.17770	0.30532	0.00946	0.63	1730	33	0.56	0.45	0.019	48
95239a1_88	35	18	2.19319	0.19450	0.19755	0.01121	0.56	1170	54	0.34	0.56	0.046	48
95239a1_89	167	125	1.98000	0.10118	0.18510	0.00559	0.44	1100	27	0.65	0.42	0.025	47
95239a1_90	47	168	1.41036	0.14082	0.15206	0.00669	0.32	909	35	0.43	0.51	0.039	47
95239a1_91	349	92	2.26029	0.09553	0.19409	0.00596	0.58	1175	28	15.68	0.00	0.024	46
95239a1_92	144	51	2.96157	0.16751	0.24097	0.00839	0.49	1395	37	0.08	0.78	0.027	48
95239a1_93	81	56	2.27446	0.17844	0.20008	0.00782	0.38	1184	39	1.07	0.30	0.033	48
95239a1_94	211	119	2.18973	0.09674	0.20322	0.00631	0.55	1184	28	0.92	0.34	0.024	47
95239a1_95	368	108	2.38712	0.10539	0.20600	0.00733	0.66	1232	31	4.37	0.04	0.025	48
95239a1_96	83	25	2.54441	0.16691	0.22198	0.00735	0.39	1290	35	0.10	0.76	0.027	47
95239a1_97	172	114	6.01127	0.23898	0.35987	0.01203	0.68	1977	35	0.04	0.85	0.017	47
95239a1_98	190	117	2.18554	0.11512	0.19433	0.00734	0.53	1163	33	2.87	0.09	0.029	48
95239a1_99	3	1	2.04985	0.80245	0.14979	0.01998	0.15	916	110	2.38	0.12	0.120	47

Numéro d'analyse	[U] (ppm)	[Th] (ppm)	207Pb/ 235Uc	2 sigma	206Pb/ 238U	2 sigma	Corré-lation d'erreur	Age Concordia (Ma)	A priori erreur de 2σ	MSWD	Probabilité-de-concordance (rej <.15)	Erreur/ âge (rej >0.40)	Nombres de balayages concordants (rej <5)
95239a1_100	45	17	2.71868	0.21289	0.23501	0.01109	0.47	1347	50	0.84	0.36	0.037	48
95239a1_101	147	140	4.43251	0.21589	0.29698	0.01166	0.70	1718	40	4.16	0.04	0.024	47
95239a1_102	101	93	2.16242	0.14803	0.19841	0.00814	0.51	1168	39	0.01	0.92	0.034	47
95239a1_103	65	11	15.41833	0.94918	0.55262	0.03190	0.86	2844	46	0.02	0.90	0.016	47
95239a1_104	126	33	2.36535	0.17164	0.21090	0.01237	0.70	1232	51	0.00	0.95	0.042	48
95239a1_105	185	49	3.74741	0.23030	0.28045	0.01386	0.74	1581	49	0.26	0.61	0.031	48
95239a1_106	98	48	4.57169	0.20596	0.31513	0.01146	0.67	1744	38	1.08	0.30	0.022	47
95239a1_107	80	61	4.97819	0.27873	0.32325	0.01501	0.72	1817	47	0.15	0.69	0.026	48
95239a1_108	185	68	4.96498	0.25052	0.32216	0.01464	0.79	1817	41	0.32	0.57	0.022	48
95239a1_109	57	46	2.73481	0.21841	0.22804	0.01171	0.54	1332	53	0.23	0.63	0.040	48
95239a1_110	281	122	3.41367	0.16086	0.25846	0.01083	0.78	1512	36	2.07	0.15	0.024	47
95239a1_111	44	12	3.48494	0.23584	0.26934	0.01261	0.52	1528	50	0.22	0.64	0.033	47
95239a1_112	187	192	6.34633	0.28451	0.36371	0.01455	0.77	2031	37	1.20	0.27	0.018	48
95239a1_113	18	13	1.61613	0.23307	0.16098	0.00938	0.30	964	50	0.10	0.75	0.052	48
95239a1_114	58	44	6.58766	0.36240	0.37198	0.01493	0.56	2055	48	0.42	0.52	0.023	47
95239a1_115	377	513	2.08981	0.11040	0.16577	0.00751	0.67	1018	38	104.00	0.00	0.037	34
95239a1_116	176	183	5.97456	0.23727	0.35644	0.01229	0.69	1973	34	0.10	0.75	0.017	48
95239a1_117	16	13	2.44061	0.29224	0.21862	0.01257	0.35	1268	61	0.21	0.65	0.048	48
95239a1_118	99	31	2.16642	0.11887	0.19536	0.00608	0.40	1158	29	1.04	0.31	0.025	47
95239a1_119	132	68	2.32605	0.11433	0.20120	0.00646	0.50	1200	30	4.81	0.03	0.025	47
95239a1_120	132	143	2.55613	0.12502	0.22033	0.00691	0.51	1286	31	0.06	0.80	0.024	47
CT07RIM72_1		**952-40**											
95240a1_1	52	20	2.39395	0.12626	0.20923	0.00704	0.47	1233	32	0.68	0.41	0.026	47
95240a1_2	207	113	1.96714	0.07799	0.17777	0.00597	0.64	1092	26	14.80	0.00	0.024	48
95240a1_3	175	135	11.74535	0.39902	0.48306	0.01557	0.74	2595	30	3.18	0.07	0.011	47
95240a1_4	127	54	7.13479	0.42595	0.39347	0.02272	0.87	2123	43	0.11	0.74	0.020	48
95240a1_5	428	339	2.14260	0.10582	0.17273	0.00786	0.62	1071	36	71.15	0.00	0.033	32
95240a1_6	370	407	1.80968	0.14456	0.14915	0.01263	0.64	1024	53	31.21	0.00	0.052	22
95240a1_7	166	380	1.96875	0.13426	0.16315	0.01019	0.81	1042	49	69.18	0.00	0.047	44
95240a1_8	115	45	2.89517	0.14084	0.24543	0.01028	0.72	1379	37	3.37	0.07	0.027	48
95240a1_9	69	45	2.02141	0.13608	0.18988	0.00958	0.66	1122	44	0.01	0.92	0.039	48
95240a1_10	131	88	2.95900	0.14859	0.24599	0.00897	0.57	1403	36	1.05	0.30	0.026	46
95240a1_11	298	106	31.32528	1.26529	0.67503	0.02602	0.83	3598	30	34.10	0.00	0.008	45
95240a1_12	55	44	2.29743	0.14093	0.20055	0.00838	0.54	1196	39	2.42	0.12	0.033	48
95240a1_13	341	160	2.20522	0.08937	0.19214	0.00669	0.65	1173	28	12.56	0.00	0.024	48
95240a1_14	352	112	2.19317	0.06985	0.19936	0.00576	0.66	1178	22	0.36	0.55	0.019	48
95240a1_15	465	138	2.25625	0.07717	0.20383	0.00596	0.66	1198	24	0.06	0.81	0.020	47
95240a1_16	350	624	4.55831	0.51342	0.26297	0.02658	0.63	1713	96	20.74	0.00	0.056	5
95240a1_17	57	24	1.62878	0.08488	0.15904	0.00517	0.43	963	26	3.22	0.07	0.027	48
95240a1_18	423	174	2.27669	0.06569	0.20610	0.00533	0.59	1205	20	0.06	0.80	0.017	47
95240a1_19	28	21	6.48634	0.28338	0.37128	0.01175	0.52	2043	38	0.13	0.72	0.018	48
95240a1_20	279.7065	316.554	2.25874	0.3791964	0.1247862	0.01713487	0.6700265	670	97	64.03	0.00	0.145	0
95240a1_21	137	79	3.02614	0.10632	0.24237	0.00649	0.53	1410	26	1.03	0.31	0.018	48
95240a1_22	181	93	3.18585	0.11015	0.24787	0.00679	0.54	1448	26	2.93	0.09	0.018	48
95240a1_23	446.2668	853.9872	2.525448	0.3930035	0.1272966	0.01714331	0.7114887	612	95	91.93	0.00	0.155	0
95240a1_24	67	22	2.29483	0.10122	0.20302	0.00508	0.40	1199	24	1.40	0.24	0.020	48
95240a1_25	112	120	1.90445	0.10003	0.17183	0.00573	0.40	1046	28	10.71	0.00	0.027	48
95240a1_26	42	20	2.37619	0.13206	0.21168	0.00692	0.44	1237	32	0.01	0.91	0.026	48
95240a1_27	367	181	2.16635	0.07338	0.19706	0.00611	0.70	1170	24	0.84	0.36	0.020	48

Numéro d'analyse	[U] (ppm)	[Th] (ppm)	207Pb/ 235Uc	2 sigma	206Pb/ 238U	2 sigma	Corré-lation d'erreur	Age Concordia (Ma)	A priori erreur de 2σ	MSWD	Probabilité-de-concordance (rej <.15)	Erreur/ âge (rej >0.40)	Nombres de balayages concordants (rej <5)
95240a1_28	177	106	2.33929	0.07575	0.20436	0.00558	0.62	1219	23	4.52	0.03	0.019	48
95240a1_29	119	47	3.27165	0.11499	0.25294	0.00739	0.64	1472	27	1.96	0.16	0.019	48
95240a1_30	63	21	2.33416	0.12239	0.20880	0.00658	0.45	1223	31	0.00	0.99	0.025	48
95240a1_31	71	96	20.90712	0.69362	0.61077	0.01749	0.66	3143	31	5.03	0.02	0.010	47
95240a1_32	497	639	2.92336	0.23788	0.20325	0.01579	0.80	1414	60	60.57	0.00	0.042	30
95240a1_33	128	76	7.02177	0.24027	0.38779	0.01144	0.61	2114	31	0.01	0.94	0.014	46
95240a1_34	264	128	3.20958	0.16057	0.24434	0.01129	0.83	1476	37	8.67	0.00	0.025	48
95240a1_35	642.4958	792.387	2.713396	0.481955	0.1426436	0.02373907	0.6131806	882	133	52.61	0.00	0.151	0
95240a1_36	83	47	2.78049	0.11661	0.22918	0.00726	0.51	1344	30	1.34	0.25	0.022	48
95240a1_37	132	142	5.80127	0.75272	0.34285	0.02190	0.42	1920	92	0.61	0.43	0.048	25
95240a1_38	80	25	2.18925	0.11097	0.20401	0.00653	0.48	1187	30	1.16	0.28	0.025	48
95240a1_39	29	10	1.69636	0.13762	0.16751	0.00864	0.45	1002	42	0.11	0.74	0.042	47
95240a1_40	155	43	2.16924	0.09201	0.19949	0.00750	0.59	1171	29	0.01	0.94	0.025	48
95240a1_41	106	48	2.25961	0.12833	0.20676	0.00795	0.50	1205	36	0.32	0.57	0.030	48
95240a1_42	337	152	2.63672	0.10243	0.22224	0.00791	0.74	1312	29	1.50	0.22	0.022	48
95240a1_43	55	14	2.26322	0.14648	0.20374	0.00753	0.44	1198	36	0.06	0.81	0.030	48
95240a1_44	596.8856	697.1512	1.746694	0.3420986	0.143613	0.02571497	0.5998212	958	124	6.81	0.01	0.129	1
95240a1_45	181	87	2.58723	0.11502	0.22601	0.00798	0.64	1300	32	1.01	0.32	0.025	47
95240a1_46	355	86	3.45186	0.13821	0.26018	0.00877	0.70	1516	32	2.51	0.11	0.021	45
95240a1_47	351	198	2.16246	0.07446	0.19472	0.00566	0.67	1165	24	3.72	0.05	0.020	47
95240a1_48	169	140	19.16318	0.64219	0.56717	0.01669	0.73	3085	30	38.48	0.00	0.010	46
95240a1_49	157	114	4.67437	0.16191	0.31233	0.00851	0.62	1762	29	0.40	0.53	0.016	47
95240a1_50	211	131	0.95160	0.04568	0.11256	0.00318	0.41	685	17	0.55	0.46	0.025	48
95240a1_51	12	5	3.01355	0.29871	0.23904	0.01102	0.29	1391	52	0.52	0.47	0.037	47
95240a1_52	356	322	2.57400	0.10126	0.20024	0.00702	0.61	1267	29	58.36	0.00	0.023	44
95240a1_53	148	49	2.31354	0.08912	0.20409	0.00645	0.65	1213	27	2.06	0.15	0.022	48
95240a1_54	148	160	6.11430	0.21746	0.33801	0.01085	0.72	2009	30	39.52	0.00	0.015	41
95240a1_55	440	567	3.19362	0.15854	0.23288	0.01041	0.75	1463	38	35.50	0.00	0.026	14
95240a1_56	118	47	1.42979	0.06160	0.15214	0.00455	0.54	907	22	0.88	0.35	0.025	46
95240a1_57	83	29	3.74860	0.15942	0.27643	0.00906	0.56	1580	33	0.19	0.66	0.021	36
95240a1_58	42	16	2.82155	0.16139	0.22977	0.00881	0.49	1349	39	1.54	0.21	0.029	48
95240a1_59	35	12	1.70700	0.13386	0.17304	0.00931	0.53	1019	44	0.52	0.47	0.043	48
95240a1_60	123	41	2.34542	0.10455	0.21098	0.00641	0.48	1230	28	0.22	0.64	0.023	47
95240a1_61	178	191	1.59797	0.07768	0.15843	0.00654	0.64	964	30	2.19	0.14	0.031	48
95240a1_62	264	430	4.54388	0.22173	0.27063	0.01172	0.68	1731	41	81.52	0.00	0.024	28
95240a1_63	311	186	2.19173	0.09055	0.19503	0.00758	0.74	1180	29	4.65	0.03	0.024	47
95240a1_64	325	98	2.31969	0.09993	0.20975	0.00750	0.66	1220	30	0.37	0.54	0.025	46
95240a1_65	318	525	2.10212	0.17406	0.16128	0.01287	0.77	1058	61	72.04	0.00	0.058	18
95240a1_66	158	76	2.49792	0.12319	0.21793	0.00974	0.78	1272	35	0.00	0.97	0.028	48
95240a1_67	824.7108	654.0632	1.665389	0.6090138	0.2010021	0.04638544	0.4899049	1062	200	2.36	0.12	0.188	1
95240a1_68	79	25	1.97568	0.10909	0.18872	0.00750	0.57	1110	34	0.16	0.69	0.031	47
95240a1_69	435	280	3.94811	0.23500	0.24677	0.01408	0.72	1634	48	65.03	0.00	0.029	10
95240a1_70	283	242	4.44084	0.39035	0.29665	0.02570	0.94	1756	48	1.94	0.16	0.027	41
95240a1_71	397	153	1.78430	0.06967	0.17383	0.00617	0.65	1039	25	0.26	0.61	0.024	48
95240a1_72	56	16	7.41000	0.36859	0.40369	0.01789	0.77	2156	42	0.73	0.39	0.020	46
95240a1_73	125	53	3.35404	0.16150	0.26711	0.01139	0.74	1490	38	2.68	0.10	0.025	47
95240a1_74	235	112	2.33072	0.11377	0.20958	0.00925	0.76	1221	35	0.09	0.76	0.028	47
95240a1_75	282	51	2.05860	0.08788	0.19405	0.00736	0.68	1136	29	0.31	0.58	0.026	48
95240a1_76	71	78	2.55546	0.12400	0.21073	0.00700	0.51	1262	32	9.26	0.00	0.025	47

Numéro d'analyse	[U] (ppm)	[Th] (ppm)	207Pb/ 235Uc	2 sigma	206Pb/ 238U	2 sigma	Corré-lation d'erreur	Age Concordia (Ma)	A priori erreur de 2σ	MSWD	Probabilité-de-concordance (rej <.15)	Erreur/ âge (rej >0.40)	Nombres de balayages concordants (rej <5)
95240a1_77	373	171	3.36443	0.13109	0.25703	0.00903	0.65	1496	31	1.48	0.22	0.020	48
95240a1_78	259	137	3.37360	0.13709	0.24789	0.00973	0.67	1501	32	14.51	0.00	0.021	45
95240a1_79	154	157	16.54329	0.62782	0.58868	0.02043	0.66	2897	36	5.24	0.02	0.012	47
95240a1_80	52	35	23.92417	1.01614	0.68521	0.02712	0.59	3254	41	5.20	0.02	0.013	48
95240a1_81	97	34	2.06012	0.09393	0.19927	0.00770	0.64	1140	31	4.93	0.03	0.027	46
95240a1_82	266	274	2.83320	0.19515	0.21142	0.01278	0.67	1343	52	25.63	0.00	0.039	34
95240a1_83	95	78	2.23392	0.16897	0.18668	0.00914	0.43	1139	44	10.11	0.00	0.039	18
95240a1_84	58	51	6.57487	0.29196	0.38048	0.01466	0.61	2055	39	0.69	0.41	0.019	48
95240a1_85	143	135	4.66612	0.19541	0.31639	0.01147	0.53	1762	35	0.21	0.65	0.020	48
95240a1_86	378	130	2.18964	0.09438	0.20192	0.00726	0.68	1179	30	0.30	0.59	0.025	48
95240a1_87	936.3918	1089.094	1.808942	0.2872917	0.1423315	0.02090175	0.3888114	959	96	9.36	0.00	0.100	1
95240a1_88	285	153	2.53292	0.09035	0.22172	0.00670	0.63	1283	26	0.46	0.50	0.020	48
95240a1_89	50	17	1.73860	0.08948	0.17042	0.00535	0.39	1018	26	0.24	0.62	0.025	48
95240a1_90	113	58	2.58835	0.10080	0.22863	0.00659	0.56	1306	27	3.93	0.05	0.021	48
95240a1_91	156	85	2.66169	0.10493	0.21794	0.00686	0.61	1306	29	10.06	0.00	0.022	47
95240a1_92	107	93	2.23622	0.08520	0.19726	0.00675	0.58	1187	26	4.48	0.03	0.022	48
95240a1_93	150	152	1.93189	0.08124	0.17536	0.00583	0.56	1073	26	12.50	0.00	0.025	41
95240a1_94	99	178	2.06712	0.09722	0.18153	0.00617	0.56	1108	29	16.11	0.00	0.027	41
95240a1_95	142	149	13.90678	0.50016	0.52652	0.01664	0.65	2746	33	0.37	0.54	0.012	48
95240a1_96	197	79	2.30474	0.08869	0.20966	0.00686	0.61	1216	27	0.82	0.37	0.022	47
95240a1_97	59	55	2.19825	0.12098	0.20298	0.00756	0.48	1185	34	0.29	0.59	0.029	47
95240a1_98	27	15	18.27162	0.79177	0.59198	0.02368	0.69	3005	40	0.03	0.86	0.013	48
95240a1_99	161	116	2.20641	0.09559	0.19297	0.00640	0.57	1166	29	8.92	0.00	0.025	48
95240a1_100	53	73	5.07394	0.21325	0.32571	0.01009	0.52	1829	35	0.43	0.51	0.019	48
95240a1_101	331	416	3.39174	0.12535	0.23307	0.00727	0.67	1475	29	115.16	0.00	0.020	40
95240a1_102	414	95	1.91187	0.06995	0.18719	0.00580	0.68	1088	24	3.20	0.07	0.022	48
95240a1_103	548.8831	1676.262	1.079765	0.1894703	0.08113706	0.01177688	0.6024299	502	70	33.67	0.00	0.140	0
95240a1_104	121	64	6.58460	0.28431	0.37191	0.01475	0.72	2061	37	0.58	0.44	0.018	47
95240a1_105	88	52	16.86871	0.72238	0.56904	0.02342	0.71	2932	38	0.42	0.52	0.013	48
95240a1_106	278	144	3.07678	0.14377	0.24338	0.01049	0.67	1427	36	1.27	0.26	0.025	48
95240a1_107	269	159	15.17736	0.65744	0.54882	0.02236	0.72	2828	39	0.03	0.86	0.014	48
95240a1_108	128	37	2.31720	0.09938	0.21195	0.00795	0.59	1221	30	1.56	0.21	0.025	47
95240a1_109	222	320	4.95183	0.20808	0.30787	0.01138	0.64	1811	36	14.29	0.00	0.020	48
95240a1_110	59	34	3.43458	0.18820	0.26899	0.01057	0.52	1519	41	0.93	0.33	0.027	48
95240a1_111	98	30	7.19331	0.30106	0.39086	0.01569	0.72	2137	36	0.11	0.74	0.017	47
95240a1_112	65	29	3.16135	0.15057	0.26064	0.01000	0.56	1455	36	4.36	0.04	0.025	48
95240a1_113	27	15	2.53310	0.17723	0.22871	0.01078	0.48	1299	45	2.80	0.09	0.035	46
95240a1_114	439	173	2.23092	0.09319	0.20465	0.00768	0.67	1191	29	0.38	0.54	0.025	48
95240a1_115	286	510	2.62574	0.16465	0.18225	0.01076	0.59	1208	48	89.88	0.00	0.040	31
95240a1_116	277	146	3.29628	0.15445	0.25786	0.01096	0.70	1480	36	0.00	0.95	0.025	47
95240a1_117	165.7528	322.8969	4.929729	1.689405	0.2558091	0.07673131	0.7223075	1764	300	6.47	0.01	0.170	2
95240a1_118	55	42	6.47536	0.33309	0.37684	0.01687	0.66	2041	45	0.40	0.53	0.022	48
95240a1_119	278	97	2.23898	0.09042	0.19590	0.00754	0.69	1193	28	7.44	0.01	0.024	46
95240a1_120	516	228	3.34103	0.13668	0.25077	0.00945	0.73	1495	32	8.25	0.00	0.021	47
DB07RIM17a		**952-41**											
95241a1_1	714	479	0.81764	0.03754	0.09570	0.00267	0.47	593	15	3.22	0.07	0.025	38
95241a1_2	855	752	0.74925	0.02579	0.09199	0.00232	0.51	567	12	0.01	0.94	0.022	48
95241a1_3	868	671	0.75259	0.03632	0.09206	0.00381	0.73	569	20	0.06	0.80	0.035	48
95241a1_4	436	258	0.74204	0.03331	0.09080	0.00251	0.52	561	14	0.15	0.70	0.025	47

Numéro d'analyse	[U] (ppm)	[Th] (ppm)	207Pb/ 235Uc	2 sigma	206Pb/ 238U	2 sigma	Corré-lation d'erreur	Age Concordia (Ma)	A priori erreur de 2σ	MSWD	Probabilité-de-concordance (rej <.15)	Erreur/ âge (rej >0.40)	Nombres de balayages concordants (rej <5)
95241a1_5	734	443	0.73630	0.02848	0.09072	0.00243	0.56	560	14	0.00	0.95	0.024	48
95241a1_6	68	23	2.07364	0.12131	0.19465	0.00723	0.41	1143	33	0.09	0.77	0.029	47
95241a1_7	829	592	0.75146	0.02912	0.09164	0.00288	0.71	567	16	0.35	0.55	0.028	48
~~95241a1_8~~	~~505~~	~~304~~	~~0.76866~~	~~0.03179~~	~~0.09167~~	~~0.00271~~	~~0.46~~	~~570~~	~~15~~	~~2.28~~	~~0.13~~	~~0.025~~	~~46~~
95241a1_9	653	416	0.74976	0.03213	0.09186	0.00262	0.51	567	14	0.03	0.86	0.026	47
95241a1_10	670	473	0.73851	0.03374	0.09084	0.00322	0.65	561	18	0.02	0.90	0.031	47
95241a1_11	853	755	0.71476	0.02990	0.08678	0.00333	0.35	543	15	1.06	0.30	0.028	48
95241a1_12	470	299	0.76175	0.03464	0.09156	0.00204	0.35	566	12	1.11	0.29	0.021	47
95241a1_13	627	382	0.77454	0.03116	0.09303	0.00260	0.55	576	14	1.25	0.26	0.025	48
95241a1_14	550	282	0.73836	0.03254	0.09143	0.00290	0.49	563	16	0.08	0.78	0.028	48
~~95241a1_15~~	~~755~~	~~523~~	~~0.78172~~	~~0.03045~~	~~0.09324~~	~~0.00248~~	~~0.54~~	~~578~~	~~14~~	~~2.30~~	~~0.13~~	~~0.024~~	~~47~~
95241a1_16	688	511	0.77547	0.03152	0.09461	0.00273	0.44	583	14	0.00	0.99	0.025	48
~~95241a1_17~~	~~164~~	~~64~~	~~6.56226~~	~~0.20507~~	~~0.36227~~	~~0.00932~~	~~0.69~~	~~2059~~	~~27~~	~~14.72~~	~~0.00~~	~~0.013~~	~~47~~
95241a1_18	479	225	0.75633	0.03941	0.09234	0.00292	0.50	570	17	0.06	0.81	0.029	48
95241a1_19	530	327	0.75656	0.03379	0.09244	0.00291	0.47	571	16	0.05	0.83	0.027	47
95241a1_20	651	562	0.76720	0.03480	0.09407	0.00303	0.56	579	17	0.02	0.88	0.029	47
95241a1_21	847	617	0.75003	0.02777	0.09268	0.00217	0.46	570	12	0.17	0.68	0.021	47
95241a1_22	742	431	0.72274	0.03229	0.08911	0.00251	0.53	551	14	0.06	0.81	0.026	48
~~95241a1_23~~	~~365~~	~~220~~	~~7.60246~~	~~0.28624~~	~~0.39632~~	~~0.01397~~	~~0.81~~	~~2197~~	~~30~~	~~2.46~~	~~0.12~~	~~0.014~~	~~48~~
95241a1_24	593	427	0.77306	0.03254	0.09256	0.00317	0.64	576	17	1.87	0.17	0.029	48
95241a1_25	62	78	0.89526	0.10324	0.10011	0.00351	0.20	617	20	1.50	0.22	0.033	47
95241a1_26	621	434	0.74459	0.02791	0.09084	0.00254	0.45	562	13	0.31	0.57	0.024	47
95241a1_27	662	461	0.74422	0.02857	0.09211	0.00254	0.49	567	14	0.15	0.70	0.024	47
95241a1_28	1096	1130	0.74880	0.02756	0.09152	0.00233	0.55	566	13	0.18	0.68	0.023	47
95241a1_29	584	355	0.73219	0.02719	0.08990	0.00196	0.44	556	11	0.14	0.70	0.020	47
95241a1_30	718	464	0.75465	0.02644	0.09133	0.00209	0.49	566	12	1.10	0.29	0.021	47
95241a1_31	751	560	0.72458	0.02750	0.09002	0.00221	0.44	555	12	0.09	0.77	0.022	47
~~95241a1_32~~	~~586~~	~~382~~	~~0.74448~~	~~0.02767~~	~~0.08914~~	~~0.00187~~	~~0.33~~	~~554~~	~~10~~	~~3.18~~	~~0.07~~	~~0.019~~	~~36~~
95241a1_33	707	445	0.75286	0.03080	0.09264	0.00254	0.42	571	14	0.02	0.89	0.024	47
95241a1_34	543	362	0.74462	0.03184	0.09250	0.00259	0.47	569	14	0.35	0.55	0.025	47
95241a1_35	526	336	0.73656	0.03742	0.08891	0.00242	0.37	551	14	1.12	0.29	0.025	48
95241a1_36	600	435	0.74319	0.03335	0.09213	0.00292	0.53	567	16	0.19	0.67	0.028	48
95241a1_37	692	557	0.72589	0.03251	0.08968	0.00227	0.40	554	13	0.00	0.96	0.023	48
95241a1_38	743	473	0.73442	0.02980	0.08972	0.00210	0.40	555	12	0.39	0.53	0.021	48
95241a1_39	866	599	0.74292	0.02481	0.09032	0.00194	0.50	559	11	1.02	0.31	0.019	48
95241a1_40	535	328	0.75767	0.02296	0.09297	0.00192	0.42	573	10	0.00	0.95	0.018	47
95241a1_41	647	434	0.72019	0.02803	0.08875	0.00199	0.45	549	11	0.12	0.73	0.021	48
95241a1_42	471	271	0.74483	0.03741	0.08961	0.00231	0.42	555	13	1.39	0.24	0.024	48
95241a1_43	547	354	0.74477	0.02687	0.09161	0.00237	0.51	565	13	0.00	0.99	0.023	48
95241a1_44	770	517	0.72501	0.02657	0.09015	0.00251	0.54	555	13	0.15	0.70	0.024	48
~~95241a1_45~~	~~430~~	~~247~~	~~0.74358~~	~~0.02838~~	~~0.08895~~	~~0.00200~~	~~0.37~~	~~553~~	~~11~~	~~3.39~~	~~0.07~~	~~0.020~~	~~46~~
95241a1_46	577	347	0.74702	0.03436	0.09167	0.00299	0.56	566	16	0.02	0.90	0.029	48
95241a1_47	421	254	0.78182	0.03727	0.09560	0.00296	0.53	588	16	0.05	0.83	0.028	47
95241a1_48	393	112	0.80637	0.03949	0.09723	0.00278	0.43	599	16	0.05	0.83	0.026	47
95241a1_49	576	364	0.75262	0.02903	0.09127	0.00237	0.54	565	13	0.79	0.37	0.023	47
95241a1_50	803	620	0.76458	0.02748	0.09422	0.00261	0.67	579	14	0.35	0.55	0.025	47
95241a1_51	653	449	0.73958	0.02903	0.09081	0.00238	0.52	561	13	0.06	0.81	0.024	47
95241a1_52	589	390	0.73023	0.02407	0.09010	0.00175	0.42	556	10	0.01	0.93	0.018	48
95241a1_53	326	223	0.80698	0.11965	0.09255	0.00278	0.08	572	16	0.77	0.38	0.028	15

Numéro d'analyse	[U] (ppm)	[Th] (ppm)	207Pb/ 235Uc	2 sigma	206Pb/ 238U	2 sigma	Corré-lation d'erreur	Age Concordia (Ma)	A priori erreur de 2σ	MSWD	Probabilité-de-concordance (rej <.15)	Erreur/ âge (rej >0.40)	Nombres de balayages concordants (rej <5)
95241a1_54	512	321	0.76099	0.03511	0.09241	0.00294	0.54	571	16	0.28	0.60	0.028	48
95241a1_55	46	67	5.63302	0.34873	0.34346	0.01189	0.46	1913	47	0.38	0.54	0.025	47
95241a1_56	595	343	0.76634	0.02920	0.09275	0.00223	0.36	574	12	0.46	0.50	0.021	46
95241a1_57	517	327	0.75867	0.03240	0.09208	0.00202	0.30	569	11	0.32	0.57	0.020	48
95241a1_58	401	337	5.32642	0.18217	0.34157	0.00987	0.47	1875	29	0.98	0.32	0.015	47
95241a1_59	616	380	0.70816	0.02885	0.08798	0.00317	0.37	544	15	0.00	1.00	0.027	48
95241a1_60	111	71	0.86303	0.05731	0.09906	0.00276	0.23	612	16	2.06	0.15	0.025	47
95241a1_61	655	402	0.72444	0.02778	0.08918	0.00189	0.42	551	11	0.11	0.74	0.020	48
95241a1_62	559	305	0.75879	0.03377	0.09152	0.00231	0.41	566	13	0.87	0.35	0.023	48
~~95241a1_63~~	~~605~~	~~504~~	~~0.71309~~	~~0.02707~~	~~0.08630~~	~~0.00187~~	~~0.40~~	~~536~~	~~11~~	~~2.81~~	~~0.09~~	~~0.020~~	~~48~~
95241a1_64	724	485	0.71587	0.02901	0.08918	0.00199	0.41	550	11	0.09	0.76	0.020	47
95241a1_65	751	578	0.72252	0.02734	0.08964	0.00210	0.51	553	12	0.03	0.86	0.022	47
95241a1_66	226	134	0.78104	0.03968	0.09683	0.00318	0.42	592	17	0.76	0.38	0.029	46
95241a1_67	623	470	0.74291	0.03507	0.09162	0.00299	0.47	565	16	0.01	0.92	0.029	46
~~95241a1_68~~	~~841~~	~~507~~	~~0.78243~~	~~0.03161~~	~~0.09327~~	~~0.00296~~	~~0.61~~	~~580~~	~~16~~	~~2.33~~	~~0.13~~	~~0.027~~	~~42~~
95241a1_69	91	70	5.27157	0.21656	0.33023	0.01058	0.64	1863	35	1.59	0.21	0.019	47
95241a1_70	693	461	0.75620	0.03269	0.09268	0.00293	0.52	572	16	0.00	0.96	0.027	48
95241a1_71	632	398	0.76421	0.02824	0.09348	0.00208	0.40	576	11	0.00	0.97	0.020	47
95241a1_72	643	503	0.74091	0.03302	0.09064	0.00285	0.60	561	16	0.20	0.66	0.028	47
95241a1_73	532	264	0.75159	0.03102	0.09220	0.00233	0.43	569	13	0.01	0.94	0.023	46
95241a1_74	768	536	0.73626	0.02698	0.08912	0.00297	0.60	557	15	1.75	0.19	0.027	47
95241a1_75	652	417	0.74198	0.02205	0.09124	0.00203	0.57	563	11	0.01	0.90	0.020	47
95241a1_76	713	490	0.76046	0.03383	0.09247	0.00248	0.46	571	14	0.20	0.65	0.024	47
~~95241a1_77~~	~~0~~	~~0~~	~~0~~	~~0~~	~~0~~	~~0~~	~~0~~	~~#VALUE!~~	~~#VALUE!~~	~~#VALUE!~~	~~#VALUE!~~	~~#VALUE!~~	~~0~~
95241a1_78	642	408	0.71659	0.02901	0.08976	0.00210	0.38	553	12	0.41	0.52	0.021	47
~~95241a1_79~~	~~553~~	~~341~~	~~0.74748~~	~~0.02933~~	~~0.08986~~	~~0.00167~~	~~0.36~~	~~556~~	~~10~~	~~2.16~~	~~0.14~~	~~0.017~~	~~47~~
95241a1_80	853	553	0.74411	0.02480	0.09281	0.00193	0.38	570	10	1.01	0.32	0.018	47
95241a1_81	442	290	0.74887	0.03274	0.09171	0.00274	0.43	566	15	0.04	0.84	0.026	47
95241a1_82	515	313	0.77482	0.03019	0.09296	0.00260	0.54	577	14	1.44	0.23	0.025	47
95241a1_83	677	406	0.74136	0.02992	0.09209	0.00253	0.52	566	14	0.34	0.56	0.025	48
95241a1_84	533	405	0.75938	0.02928	0.09377	0.00223	0.36	576	12	0.23	0.63	0.021	48
95241a1_85	749	450	0.74598	0.02761	0.09210	0.00250	0.46	567	13	0.07	0.80	0.023	48
~~95241a1_86~~	~~585~~	~~1535~~	~~0.82068~~	~~0.03814~~	~~0.09307~~	~~0.00236~~	~~0.42~~	~~579~~	~~14~~	~~11.76~~	~~0.00~~	~~0.023~~	~~36~~
~~95241a1_87~~	~~266~~	~~161~~	~~1.02705~~	~~0.10585~~	~~0.09504~~	~~0.00604~~	~~0.39~~	~~605~~	~~35~~	~~24.55~~	~~0.00~~	~~0.057~~	~~25~~
95241a1_88	494	299	0.74650	0.03363	0.09214	0.00260	0.53	568	15	0.05	0.82	0.026	48
95241a1_89	761	524	0.74125	0.03068	0.09138	0.00289	0.49	563	15	0.00	0.95	0.027	48
~~95241a1_90~~	~~403~~	~~240~~	~~0.87567~~	~~0.04397~~	~~0.09753~~	~~0.00294~~	~~0.48~~	~~607~~	~~17~~	~~12.41~~	~~0.00~~	~~0.028~~	~~35~~
95241a1_91	666	482	0.74839	0.03173	0.09237	0.00214	0.33	569	12	0.06	0.81	0.021	48
95241a1_92	617	436	0.74355	0.03275	0.09263	0.00266	0.48	569	15	0.54	0.46	0.026	47
95241a1_93	604	415	0.75582	0.02590	0.09294	0.00228	0.53	572	12	0.04	0.85	0.022	47
95241a1_94	724	507	0.73874	0.02582	0.09119	0.00190	0.48	562	11	0.02	0.89	0.019	47
95241a1_95	1208	1203	0.77703	0.02544	0.09527	0.00217	0.57	586	12	0.20	0.66	0.020	47
95241a1_96	613	434	0.73919	0.02357	0.09095	0.00180	0.42	561	10	0.01	0.91	0.018	48
95241a1_97	1072	910	0.73004	0.02166	0.08958	0.00204	0.63	555	11	0.44	0.51	0.020	47
95241a1_98	445	257	0.73850	0.03531	0.09220	0.00228	0.32	567	13	0.46	0.50	0.022	47
95241a1_99	621	353	0.74792	0.03361	0.09149	0.00292	0.48	565	16	0.08	0.78	0.028	47
95241a1_100	712	489	0.77749	0.02933	0.09467	0.00288	0.61	584	15	0.02	0.90	0.026	48
95241a1_101	709	459	0.71875	0.03564	0.09034	0.00367	0.67	553	20	0.77	0.38	0.035	47
95241a1_102	801	530	0.74665	0.03399	0.09192	0.00321	0.62	567	17	0.01	0.94	0.031	47

Numéro d'analyse	[U] (ppm)	[Th] (ppm)	207Pb/ 235Uc	2 sigma	206Pb/ 238U	2 sigma	Corré-lation d'erreur	Age Concordia (Ma)	A priori erreur de 2σ	MSWD	Probabilité-de-concordance (rej <.15)	Erreur/ âge (rej >0.40)	Nombres de balayages concordants (rej <5)
~~95241a1_103~~	~~777~~	~~628~~	~~0.75095~~	~~0.04097~~	~~0.09638~~	~~0.00498~~	~~0.51~~	~~576~~	~~22~~	~~3.35~~	~~0.07~~	~~0.039~~	~~48~~
95241a1_104	571	356	0.75203	0.03179	0.09358	0.00269	0.39	574	14	0.58	0.45	0.025	48
~~95241a1_105~~	~~94~~	~~57~~	~~17.65542~~	~~0.76433~~	~~0.56986~~	~~0.02325~~	~~0.79~~	~~2991~~	~~36~~	~~3.60~~	~~0.06~~	~~0.012~~	~~47~~
95241a1_106	630	403	0.72614	0.02229	0.08857	0.00162	0.44	549	9	1.35	0.25	0.017	47
95241a1_107	730	479	0.73967	0.03065	0.09177	0.00218	0.32	565	12	0.17	0.68	0.021	48
95241a1_108	655	406	0.71991	0.02772	0.08872	0.00208	0.47	549	12	0.12	0.73	0.021	47
95241a1_109	500	317	0.70135	0.04095	0.08501	0.00242	0.33	528	14	1.28	0.26	0.026	48
95241a1_110	683	476	0.74659	0.03089	0.09280	0.00210	0.41	571	12	0.46	0.50	0.021	47
95241a1_111	627	316	0.73464	0.02938	0.09126	0.00251	0.47	562	14	0.20	0.66	0.024	48
~~95241a1_112~~	~~80~~	~~37~~	~~7.26507~~	~~0.27356~~	~~0.38783~~	~~0.01206~~	~~0.66~~	~~2146~~	~~34~~	~~2.25~~	~~0.13~~	~~0.016~~	~~47~~
95241a1_113	674	398	0.73760	0.02624	0.09060	0.00206	0.47	560	11	0.07	0.79	0.020	46
95241a1_114	618	407	0.73963	0.03044	0.09110	0.00196	0.40	562	11	0.00	0.98	0.020	46
95241a1_115	647	466	0.74813	0.03008	0.09198	0.00208	0.33	567	11	0.00	0.99	0.020	48
95241a1_116	633	400	0.75809	0.02854	0.09280	0.00172	0.34	572	10	0.01	0.92	0.017	47
~~95241a1_117~~	~~759~~	~~464~~	~~0.73973~~	~~0.02665~~	~~0.08909~~	~~0.00210~~	~~0.54~~	~~553~~	~~12~~	~~3.08~~	~~0.08~~	~~0.022~~	~~47~~
95241a1_118	89	103	0.87383	0.06628	0.10392	0.00366	0.27	637	20	0.00	0.99	0.032	47
95241a1_119	488	309	0.74813	0.03649	0.09046	0.00231	0.38	560	13	0.76	0.38	0.023	47
95241a1_120	664	434	0.74156	0.02662	0.09253	0.00195	0.40	569	11	0.90	0.34	0.019	48
DB07RIM28a		**952-42**											
~~95242a1_1~~	~~147~~	~~133~~	~~0.96286~~	~~0.05896~~	~~0.10807~~	~~0.00298~~	~~0.25~~	~~665~~	~~16~~	~~2.19~~	~~0.14~~	~~0.025~~	~~46~~
~~95242a1_2~~	~~545~~	~~103~~	~~0.89668~~	~~0.03487~~	~~0.10163~~	~~0.00271~~	~~0.35~~	~~633~~	~~14~~	~~6.77~~	~~0.01~~	~~0.022~~	~~48~~
95242a1_3	606	39	0.83574	0.03438	0.10170	0.00283	0.49	622	15	0.70	0.40	0.024	48
95242a1_4	383	150	0.78516	0.03512	0.09377	0.00234	0.31	580	13	1.07	0.30	0.022	47
95242a1_5	256	113	0.82196	0.04136	0.09864	0.00219	0.23	607	12	0.05	0.82	0.020	47
95242a1_6	108	83	0.81475	0.07460	0.09955	0.00308	0.16	611	17	0.10	0.76	0.029	48
~~95242a1_7~~	~~215~~	~~192~~	~~0.92260~~	~~0.04757~~	~~0.10502~~	~~0.00326~~	~~0.31~~	~~650~~	~~17~~	~~2.27~~	~~0.13~~	~~0.027~~	~~47~~
95242a1_8	260	166	0.85042	0.04520	0.10133	0.00299	0.32	623	16	0.04	0.83	0.026	48
95242a1_9	106	44	2.48248	0.11483	0.21704	0.00784	0.49	1267	32	0.00	0.97	0.025	47
95242a1_10	168	209	4.85705	0.19919	0.32010	0.00985	0.56	1794	34	0.05	0.82	0.019	48
~~95242a1_11~~	~~269~~	~~104~~	~~3.20624~~	~~0.10955~~	~~0.23620~~	~~0.00629~~	~~0.44~~	~~1427~~	~~25~~	~~32.82~~	~~0.00~~	~~0.017~~	~~48~~
95242a1_12	322	92	2.20714	0.08494	0.20001	0.00587	0.43	1180	24	0.26	0.61	0.021	48
95242a1_13	79	67	0.94952	0.11873	0.10686	0.00413	0.14	657	23	0.54	0.46	0.036	47
~~95242a1_14~~	~~592~~	~~246~~	~~0.81998~~	~~0.03870~~	~~0.09609~~	~~0.00294~~	~~0.32~~	~~597~~	~~15~~	~~2.08~~	~~0.15~~	~~0.026~~	~~48~~
~~95242a1_15~~	~~166~~	~~256~~	~~8.47446~~	~~0.31317~~	~~0.40335~~	~~0.01273~~	~~0.35~~	~~2268~~	~~33~~	~~12.38~~	~~0.00~~	~~0.015~~	~~47~~
95242a1_16	280	73	2.44685	0.08936	0.21681	0.00591	0.34	1260	23	0.26	0.61	0.018	48
95242a1_17	370	211	0.84266	0.04895	0.10134	0.00316	0.34	622	17	0.02	0.90	0.028	48
95242a1_18	482	125	2.23970	0.08827	0.20615	0.00629	0.52	1198	26	0.93	0.33	0.022	48
95242a1_19	260	259	0.81773	0.04720	0.10060	0.00318	0.31	615	17	0.68	0.41	0.028	48
~~95242a1_20~~	~~124~~	~~26~~	~~0.99056~~	~~0.06280~~	~~0.10839~~	~~0.00506~~	~~0.49~~	~~678~~	~~27~~	~~5.18~~	~~0.02~~	~~0.039~~	~~47~~
~~95242a1_21~~	~~365~~	~~157~~	~~1.71497~~	~~0.09845~~	~~0.15500~~	~~0.00788~~	~~0.74~~	~~995~~	~~37~~	~~32.50~~	~~0.00~~	~~0.037~~	~~48~~
95242a1_22	393	235	0.86567	0.04221	0.10252	0.00360	0.56	631	19	0.16	0.69	0.031	48
95242a1_23	153	120	1.77192	0.08608	0.17300	0.00520	0.38	1031	25	0.16	0.69	0.024	48
95242a1_24	120	39	2.34462	0.13250	0.21008	0.00741	0.45	1228	34	0.03	0.87	0.028	48
95242a1_25	458	195	0.78178	0.03550	0.09356	0.00339	0.58	581	18	1.17	0.28	0.031	47
~~95242a1_26~~	~~248~~	~~158~~	~~0.86672~~	~~0.04250~~	~~0.10633~~	~~0.00378~~	~~0.49~~	~~643~~	~~19~~	~~2.41~~	~~0.12~~	~~0.030~~	~~48~~
~~95242a1_27~~	~~313~~	~~148~~	~~2.21268~~	~~0.09821~~	~~0.19166~~	~~0.00637~~	~~0.56~~	~~1163~~	~~29~~	~~12.38~~	~~0.00~~	~~0.025~~	~~48~~
95242a1_28	262	80	6.33158	0.21962	0.36837	0.01109	0.66	2023	30	0.00	0.96	0.015	47
95242a1_29	74	26	7.70131	0.32096	0.39948	0.01277	0.60	2195	38	1.63	0.20	0.017	48
95242a1_30	190	64	0.76624	0.04243	0.09578	0.00330	0.47	586	18	1.10	0.29	0.031	47

Numéro d'analyse	[U] (ppm)	[Th] (ppm)	207Pb/ 235Uc	2 sigma	206Pb/ 238U	2 sigma	Corré-lation d'erreur	Age Concordia (Ma)	A priori erreur de 2σ	MSWD	Probabilité-de-concordance (rej <.15)	Erreur/ âge (rej >0.40)	Nombres de balayages concordants (rej <5)
95242a1_31	52	45	7.52968	0.31724	0.41194	0.01500	0.70	2169	37	3.55	0.06	0.017	47
95242a1_32	203	235	1.94537	0.10747	0.18355	0.00775	0.62	1093	35	0.36	0.55	0.032	48
95242a1_33	121	114	0.84864	0.05043	0.10308	0.00387	0.40	630	21	0.37	0.54	0.033	48
95242a1_34	37	22	0.92234	0.14544	0.10560	0.00510	0.17	648	29	0.18	0.67	0.045	48
95242a1_35	159	186	17.79871	0.58675	0.59233	0.01740	0.73	2975	30	0.58	0.45	0.010	47
95242a1_36	384	132	0.76418	0.03814	0.09126	0.00296	0.48	567	17	1.73	0.19	0.029	48
95242a1_37	236	174	0.94528	0.04956	0.10838	0.00338	0.44	667	19	0.99	0.32	0.028	48
95242a1_38	55	17	7.05915	0.31976	0.38638	0.01288	0.52	2117	40	0.24	0.62	0.019	46
95242a1_39	87	74	6.14596	0.21922	0.36871	0.01075	0.59	1997	31	1.68	0.20	0.016	46
95242a1_40	106	100	10.66822	0.51825	0.42827	0.01830	0.75	2540	41	48.83	0.00	0.016	45
95242a1_41	138	28	3.21251	0.14021	0.25789	0.00833	0.58	1465	33	1.09	0.30	0.022	48
95242a1_42	112	79	4.37539	0.21133	0.29837	0.01045	0.58	1702	39	1.27	0.26	0.023	48
95242a1_43	157	106	0.83873	0.06219	0.09833	0.00416	0.35	608	23	0.63	0.43	0.038	48
95242a1_44	350	369	3.31428	0.18649	0.21936	0.01110	0.67	1449	45	90.20	0.00	0.031	26
95242a1_45	117	48	1.76007	0.11219	0.17827	0.00817	0.64	1041	38	2.09	0.15	0.037	48
95242a1_46	216	76	6.51044	0.24726	0.38050	0.01239	0.64	2046	34	1.94	0.16	0.016	48
95242a1_47	91	128	4.39456	0.74418	0.21726	0.00873	0.13	1277	46	26.64	0.00	0.036	43
95242a1_48	0	0	0	0	0	0	0	#VALUE!	#VALUE!	#VALUE!	#VALUE!	#VALUE!	0
95242a1_49	17	10	1.04124	0.24502	0.10807	0.00904	0.26	666	52	1.05	0.30	0.078	48
95242a1_50	71	106	0.86509	0.08509	0.10257	0.00416	0.32	630	24	0.02	0.88	0.038	47
95242a1_51	117	88	3.24948	0.18625	0.25612	0.01352	0.74	1469	44	0.00	0.97	0.030	48
95242a1_52	278	263	1.97615	0.08439	0.17806	0.00552	0.44	1083	25	10.52	0.00	0.023	47
95242a1_53	62	63	0.61188	0.07483	0.07472	0.00305	0.14	466	18	0.70	0.40	0.038	47
95242a1_54	148	273	0.93695	0.06774	0.10957	0.00379	0.33	670	21	0.00	0.95	0.031	47
95242a1_55	275	85	0.75045	0.04324	0.09387	0.00271	0.35	576	15	0.66	0.42	0.027	48
95242a1_56	99	64	0.87002	0.07035	0.10167	0.00300	0.22	625	17	0.35	0.55	0.027	48
95242a1_57	466	544	0.84992	0.03233	0.09609	0.00224	0.47	599	13	15.89	0.00	0.021	47
95242a1_58	260	173	0.76516	0.03678	0.09277	0.00211	0.31	573	12	0.23	0.63	0.021	45
95242a1_59	243	114	4.60339	0.72788	0.24176	0.02847	0.68	1507	141	36.34	0.00	0.093	20
95242a1_60	270	144	6.39600	0.20292	0.37070	0.00890	0.57	2032	28	0.00	0.95	0.014	47
95242a1_61	143	104	0.83141	0.04910	0.09815	0.00270	0.25	606	15	0.60	0.44	0.025	48
95242a1_62	424	264	0.79765	0.03094	0.09568	0.00210	0.39	591	12	0.58	0.45	0.020	47
95242a1_63	252	51	6.05397	0.18639	0.34613	0.00833	0.60	1978	27	17.82	0.00	0.014	47
95242a1_64	24	14	1.04076	0.15188	0.11790	0.00571	0.15	719	32	0.02	0.88	0.044	48
95242a1_65	152	163	0.87074	0.04357	0.10184	0.00267	0.31	628	15	0.81	0.37	0.023	47
95242a1_66	64	40	0.87350	0.07247	0.09924	0.00382	0.30	614	22	1.96	0.16	0.035	48
95242a1_67	267	339	3.62491	0.13778	0.26966	0.00697	0.56	1550	29	1.04	0.31	0.018	47
95242a1_68	97	63	0.87452	0.06928	0.10476	0.00376	0.21	641	20	0.05	0.83	0.032	48
95242a1_69	65	61	0.99962	0.10390	0.10851	0.00499	0.24	670	28	2.10	0.15	0.041	47
95242a1_70	316	130	2.41420	0.08358	0.20823	0.00523	0.52	1236	23	4.39	0.04	0.019	47
95242a1_71	323	136	6.24250	0.22518	0.35378	0.01025	0.55	2004	32	7.87	0.01	0.016	48
95242a1_72	164	35	6.45028	0.22312	0.37029	0.01004	0.59	2039	30	0.19	0.66	0.015	48
95242a1_73	217	93	0.82013	0.04340	0.09806	0.00268	0.34	604	15	0.18	0.67	0.025	48
95242a1_74	293	107	5.67093	0.15702	0.34554	0.00788	0.61	1926	24	0.82	0.36	0.012	47
95242a1_75	173	94	0.76467	0.05007	0.09247	0.00225	0.22	571	13	0.20	0.65	0.023	48
95242a1_76	160	173	9.16109	0.50428	0.41275	0.02038	0.83	2406	42	19.28	0.00	0.018	35
95242a1_77	459	193	3.22277	0.11076	0.24311	0.00685	0.65	1454	27	19.09	0.00	0.018	33
95242a1_78	373	236	0.74176	0.03478	0.08762	0.00235	0.29	547	13	4.33	0.04	0.024	48
95242a1_79	147	86	6.48249	0.26694	0.36909	0.01164	0.62	2043	36	0.74	0.39	0.018	48

Numéro d'analyse	[U] (ppm)	[Th] (ppm)	207Pb/ 235Uc	2 sigma	206Pb/ 238U	2 sigma	Corré-lation d'erreur	Age Concordia (Ma)	A priori erreur de 2σ	MSWD	Probabilité-de-concordance (rej <.15)	Erreur/ âge (rej >0.40)	Nombres de balayages concordants (rej <5)
95242a1_80	228	74	0.77852	0.04232	0.09319	0.00278	0.36	577	16	0.73	0.39	0.027	48
95242a1_81	527	198	6.79226	0.17996	0.37494	0.00839	0.59	2084	24	4.09	0.04	0.011	48
95242a1_82	439	242	0.81651	0.03958	0.09003	0.00206	0.33	561	12	21.31	0.00	0.021	47
95242a1_83	322	281	0.86808	0.03727	0.10264	0.00222	0.33	631	12	0.21	0.64	0.020	47
95242a1_84	195	72	2.33839	0.09661	0.20757	0.00562	0.44	1220	25	0.27	0.60	0.021	47
95242a1_85	168	120	0.86817	0.04674	0.10231	0.00290	0.37	629	16	0.28	0.59	0.026	47
95242a1_86	435	591	1.66651	0.05697	0.16564	0.00400	0.43	992	19	0.44	0.51	0.019	48
95242a1_87	300	195	5.75060	0.19955	0.33054	0.00950	0.60	1932	30	28.60	0.00	0.016	48
95242a1_88	164	104	7.77940	0.25782	0.40831	0.01110	0.57	2206	30	0.00	0.95	0.014	48
95242a1_89	1476.554	697.0561	0.7451962	0.1165444	0.06430123	0.007831722	0.6106299	399	47	31.69	0.00	0.119	0
95242a1_90	154	143	0.87667	0.06323	0.10201	0.00275	0.25	628	16	0.58	0.45	0.025	47
95242a1_91	320	283	0.80382	0.03884	0.09564	0.00309	0.43	592	17	0.88	0.35	0.028	48
95242a1_92	122	45	7.29861	0.29315	0.39122	0.01293	0.60	2148	36	0.70	0.40	0.017	47
95242a1_93	81	47	0.72440	0.06218	0.08753	0.00281	0.21	542	16	0.44	0.51	0.030	48
95242a1_94	600.2405	756.6698	2.567508	0.4370549	0.1709889	0.02603077	0.557899	1046	132	20.33	0.00	0.126	4
95242a1_95	294	94	4.77559	0.17903	0.31844	0.00930	0.65	1781	32	0.01	0.93	0.018	44
95242a1_96	241	161	6.54772	0.23320	0.37416	0.01031	0.57	2052	31	0.03	0.87	0.015	48
95242a1_97	137	92	0.73481	0.04922	0.08739	0.00292	0.23	544	16	1.63	0.20	0.030	48
95242a1_98	117	27	2.98634	0.14897	0.23786	0.00935	0.57	1397	37	1.91	0.17	0.026	48
95242a1_99	72	32	0.80459	0.06433	0.10103	0.00383	0.26	616	21	1.28	0.26	0.034	47
95242a1_100	153	111	11.63070	0.37880	0.48479	0.01251	0.64	2577	30	1.65	0.20	0.012	46
95242a1_101	117	199	6.45894	0.32114	0.35833	0.00974	0.39	2009	38	6.95	0.01	0.019	45
95242a1_102	116	48	3.15345	0.12859	0.24694	0.00640	0.46	1435	28	1.89	0.17	0.019	47
95242a1_103	126	44	2.28886	0.09918	0.20302	0.00567	0.42	1200	26	1.11	0.29	0.022	47
95242a1_104	91	60	1.77538	0.10590	0.17333	0.00557	0.40	1032	28	0.10	0.75	0.027	47
95242a1_105	248	146	6.39855	0.23311	0.35718	0.01095	0.70	2038	32	11.59	0.00	0.016	46
95242a1_106	124	48	0.79535	0.06258	0.09306	0.00298	0.26	576	17	1.35	0.25	0.030	48
95242a1_107	228	72	5.90799	0.22593	0.31795	0.00962	0.64	1941	34	103.94	0.00	0.017	34
95242a1_108	98	35	1.62614	0.10747	0.16075	0.00547	0.33	966	28	0.82	0.37	0.029	48
95242a1_109	273	99	0.76427	0.03464	0.09301	0.00259	0.42	574	14	0.10	0.75	0.025	47
95242a1_110	189	171	6.46426	0.22636	0.36676	0.00868	0.50	2035	30	2.11	0.15	0.015	47
95242a1_111	244	164	5.67307	0.32814	0.30504	0.01707	0.84	2016	41	71.54	0.00	0.020	43
95242a1_112	180	216	6.27219	0.22788	0.36942	0.01156	0.68	2013	32	0.36	0.55	0.016	47
95242a1_113	81	34	0.78732	0.07621	0.08925	0.00421	0.31	557	24	3.15	0.08	0.043	47
95242a1_114	95	49	5.84274	0.27073	0.34791	0.01330	0.64	1953	40	1.33	0.25	0.021	48
95242a1_115	540	177	3.15725	0.10236	0.23649	0.00616	0.59	1428	25	34.31	0.00	0.017	48
95242a1_116	539	36	5.35624	0.20804	0.31976	0.01082	0.76	1894	32	26.05	0.00	0.017	45
95242a1_117	113	48	0.73346	0.06378	0.09105	0.00384	0.39	561	22	0.03	0.86	0.039	48
95242a1_118	143	106	0.88748	0.05454	0.10030	0.00376	0.42	623	21	4.10	0.04	0.033	48
95242a1_119	43	33	4.26274	0.19584	0.29202	0.00982	0.52	1677	36	2.48	0.11	0.022	48
95242a1_120	456	218	3.59479	0.14948	0.25830	0.00985	0.79	1563	32	17.98	0.00	0.020	43
DB07RIM31		**952-43**											
95243a1_1	190	159	1.97372	0.07708	0.17435	0.00450	0.47	1065	22	27.97	0.00	0.021	48
95243a1_2	67	31	3.01510	0.14814	0.23967	0.00818	0.50	1401	34	1.71	0.19	0.025	46
95243a1_3	365	135	2.72454	0.09109	0.21450	0.00596	0.62	1316	25	41.99	0.00	0.019	47
95243a1_4	130	57	3.36472	0.14927	0.25969	0.00614	0.41	1492	28	0.19	0.66	0.019	47
95243a1_5	322	142	2.04430	0.06956	0.18498	0.00426	0.51	1111	20	9.87	0.00	0.018	46
95243a1_6	35	9	1.73591	0.18702	0.16719	0.00718	0.29	1000	38	0.53	0.47	0.038	48
95243a1_7	97	58	3.44396	0.16339	0.26325	0.00891	0.60	1512	36	0.18	0.67	0.024	48

Numéro d'analyse	[U] (ppm)	[Th] (ppm)	207Pb/ 235Uc	2 sigma	206Pb/ 238U	2 sigma	Corré-lation d'erreur	Age Concordia (Ma)	A priori erreur de 2σ	MSWD	Probabilité-de-concordance (rej <.15)	Erreur/ âge (rej >0.40)	Nombres de balayages concordants (rej <5)
95243a1_8	85	35	2.20443	0.13486	0.20194	0.00846	0.41	1184	37	0.02	0.89	0.031	48
95243a1_9	155	172	5.84623	0.27059	0.35046	0.01506	0.53	1953	40	0.29	0.59	0.021	48
95243a1_10	446	260	2.79612	0.10655	0.22955	0.00799	0.50	1351	28	1.44	0.23	0.021	48
95243a1_11	133	31	2.24979	0.12013	0.20779	0.00734	0.47	1206	33	1.06	0.30	0.027	47
95243a1_12	411	102	2.31713	0.08287	0.20834	0.00552	0.55	1218	24	0.03	0.85	0.020	48
95243a1_13	260	46	3.46845	0.13904	0.26431	0.00880	0.62	1519	31	0.21	0.65	0.021	47
~~95243a1_14~~	~~58~~	~~87~~	~~4.51449~~	~~0.23310~~	~~0.29763~~	~~0.01159~~	~~0.52~~	~~1721~~	~~42~~	~~4.48~~	~~0.03~~	~~0.024~~	~~48~~
95243a1_15	140	55	5.72371	0.21369	0.34606	0.01019	0.62	1934	32	0.99	0.32	0.017	47
~~95243a1_16~~	~~17~~	~~186~~	~~3.62034~~	~~0.40245~~	~~0.23772~~	~~0.01108~~	~~0.28~~	~~1405~~	~~55~~	~~13.77~~	~~0.00~~	~~0.039~~	~~47~~
~~95243a1_17~~	~~57~~	~~54~~	~~2.68146~~	~~0.13567~~	~~0.21708~~	~~0.00684~~	~~0.38~~	~~1292~~	~~31~~	~~7.63~~	~~0.01~~	~~0.024~~	~~47~~
95243a1_18	73	70	2.64270	0.14993	0.22614	0.00830	0.47	1313	37	0.01	0.94	0.028	47
95243a1_19	145	77	12.23012	0.41840	0.49481	0.01437	0.59	2624	32	1.50	0.22	0.012	48
95243a1_20	134	91	0.88005	0.06417	0.10497	0.00426	0.32	643	23	0.02	0.89	0.036	47
95243a1_21	153	42	2.28260	0.10301	0.20358	0.00785	0.42	1204	30	0.37	0.54	0.025	47
95243a1_22	66	23	2.25850	0.13480	0.20596	0.00833	0.40	1203	36	0.11	0.74	0.030	47
95243a1_23	69	40	2.25796	0.15893	0.20375	0.00686	0.33	1197	34	0.02	0.88	0.028	48
95243a1_24	103	78	5.65900	0.23043	0.34421	0.01098	0.59	1924	35	0.73	0.39	0.018	48
~~95243a1_25~~	~~26~~	~~18~~	~~1.64279~~	~~0.19652~~	~~0.16649~~	~~0.00803~~	~~0.28~~	~~992~~	~~42~~	~~0.02~~	~~0.87~~	~~0.043~~	~~47~~
~~95243a1_26~~	~~97~~	~~32~~	~~2.21634~~	~~0.11863~~	~~0.19457~~	~~0.00705~~	~~0.50~~	~~1166~~	~~33~~	~~4.48~~	~~0.03~~	~~0.028~~	~~48~~
95243a1_27	40	82	3.13923	0.27940	0.24936	0.01204	0.40	1438	54	0.04	0.84	0.038	47
95243a1_28	108	56	2.22741	0.14058	0.20262	0.00708	0.43	1189	34	0.00	0.99	0.029	48
95243a1_29	134	60	2.28665	0.14104	0.20846	0.00675	0.39	1216	32	0.32	0.57	0.027	46
95243a1_30	135	107	12.97169	0.52882	0.50847	0.01797	0.68	2682	37	0.90	0.34	0.014	46
95243a1_31	42	61	5.87397	0.32627	0.35097	0.01589	0.57	1956	48	0.34	0.56	0.025	47
~~95243a1_32~~	~~45~~	~~21~~	~~1.63254~~	~~0.16054~~	~~0.16880~~	~~0.00845~~	~~0.35~~	~~999~~	~~43~~	~~0.52~~	~~0.47~~	~~0.043~~	~~48~~
95243a1_33	104	37	2.34889	0.10604	0.20757	0.00631	0.48	1222	28	0.45	0.50	0.023	47
95243a1_34	304	90	2.30386	0.10527	0.20500	0.00670	0.58	1209	30	0.52	0.47	0.025	48
~~95243a1_35~~	~~60~~	~~25~~	~~2.24758~~	~~0.13295~~	~~0.19358~~	~~0.00938~~	~~0.55~~	~~1179~~	~~40~~	~~6.11~~	~~0.01~~	~~0.034~~	~~48~~
~~95243a1_36~~	~~114~~	~~92~~	~~4.95798~~	~~0.25341~~	~~0.31670~~	~~0.01213~~	~~0.65~~	~~1808~~	~~43~~	~~2.89~~	~~0.09~~	~~0.024~~	~~47~~
95243a1_37	45	24	3.21152	0.18803	0.25313	0.00962	0.45	1458	40	0.05	0.83	0.028	47
95243a1_38	83	53	1.63316	0.11976	0.16543	0.00572	0.30	986	29	0.03	0.87	0.030	47
95243a1_39	40	10	2.18813	0.18658	0.20430	0.00997	0.41	1190	47	0.48	0.49	0.039	48
95243a1_40	113	29	3.15736	0.18870	0.24927	0.01036	0.60	1443	44	0.28	0.59	0.030	48
~~95243a1_41~~	~~259~~	~~225~~	~~2.66892~~	~~0.11305~~	~~0.22181~~	~~0.00735~~	~~0.61~~	~~1313~~	~~31~~	~~3.21~~	~~0.07~~	~~0.023~~	~~48~~
95243a1_42	14	11	5.48822	0.48963	0.35424	0.02149	0.51	1911	73	1.49	0.22	0.038	47
95243a1_43	121	38	2.31092	0.13333	0.20562	0.00717	0.37	1210	33	0.21	0.65	0.027	47
~~95243a1_44~~	~~8~~	~~18~~	~~1.84839~~	~~0.35635~~	~~0.17090~~	~~0.01484~~	~~0.34~~	~~1026~~	~~78~~	~~0.51~~	~~0.47~~	~~0.076~~	~~46~~
95243a1_45	42	22	2.26699	0.18537	0.20316	0.00791	0.38	1195	40	0.12	0.73	0.033	47
95243a1_46	191	122	2.00604	0.09628	0.18835	0.00530	0.44	1114	26	0.10	0.75	0.023	47
~~95243a1_47~~	~~50~~	~~13~~	~~2.28257~~	~~0.15499~~	~~0.19916~~	~~0.00784~~	~~0.44~~	~~1184~~	~~38~~	~~2.23~~	~~0.14~~	~~0.032~~	~~47~~
95243a1_48	315	186	4.68610	0.14773	0.31233	0.00759	0.53	1763	26	0.61	0.44	0.015	47
95243a1_49	68	16	2.26874	0.14069	0.20232	0.00625	0.37	1192	31	0.45	0.50	0.026	47
~~95243a1_50~~	~~190~~	~~85~~	~~15.56335~~	~~0.58611~~	~~0.54661~~	~~0.01769~~	~~0.77~~	~~2861~~	~~33~~	~~2.31~~	~~0.13~~	~~0.012~~	~~48~~
95243a1_51	403	168	2.82565	0.10079	0.23385	0.00652	0.59	1361	26	0.30	0.59	0.019	48
95243a1_52	284	304	1.74245	0.08592	0.17110	0.00580	0.57	1021	28	0.18	0.67	0.028	47
95243a1_53	285	81	2.25052	0.08021	0.20240	0.00557	0.57	1194	24	0.46	0.50	0.020	46
95243a1_54	288	112	2.24489	0.09640	0.20067	0.00569	0.56	1187	27	1.30	0.25	0.023	47
95243a1_55	83	44	1.59948	0.10329	0.16124	0.00564	0.41	965	29	0.10	0.75	0.030	47
95243a1_56	85	40	2.11683	0.10544	0.19339	0.00675	0.47	1148	30	0.63	0.43	0.026	47

Numéro d'analyse	[U] (ppm)	[Th] (ppm)	207Pb/ 235Uc	2 sigma	206Pb/ 238U	2 sigma	Corré-lation d'erreur	Age Concordia (Ma)	A priori erreur de 2σ	MSWD	Probabilité-de-concordance (rej <.15)	Erreur/ âge (rej >0.40)	Nombres de balayages concordants (rej <5)
95243a1_57	117	81	5.82743	0.27084	0.34895	0.01155	0.60	1947	40	0.87	0.35	0.020	48
95243a1_58	346	129	3.40736	0.12683	0.25869	0.00662	0.51	1498	27	2.11	0.15	0.018	47
95243a1_59	147	38	2.31518	0.10442	0.20272	0.00697	0.65	1209	31	3.38	0.07	0.026	47
95243a1_60	123	115	1.56005	0.08121	0.16303	0.00388	0.32	969	20	1.40	0.24	0.021	47
95243a1_61	182	139	4.84994	0.18957	0.31195	0.00962	0.64	1790	33	5.72	0.02	0.018	48
95243a1_62	166	77	2.63029	0.14543	0.22579	0.00923	0.66	1310	40	0.03	0.86	0.030	47
95243a1_63	241	142	4.43694	0.16986	0.28571	0.00952	0.57	1708	32	25.42	0.00	0.019	46
95243a1_64	520	216	3.00192	0.11104	0.22581	0.00625	0.63	1375	28	50.74	0.00	0.020	46
95243a1_65	50	37	1.75463	0.13864	0.16616	0.00703	0.37	1001	36	2.13	0.14	0.036	48
95243a1_66	194	234	2.34168	0.10672	0.20694	0.00634	0.58	1219	29	0.67	0.41	0.024	47
95243a1_67	261	61	2.32361	0.09738	0.20550	0.00625	0.49	1214	27	0.85	0.36	0.022	48
95243a1_68	242	80	2.56826	0.11558	0.21368	0.00665	0.52	1272	30	6.67	0.01	0.024	46
95243a1_69	448	73	2.13510	0.07688	0.19538	0.00587	0.70	1159	25	0.74	0.39	0.021	47
95243a1_70	206	75	3.44151	0.13762	0.26141	0.00842	0.65	1512	31	1.05	0.31	0.021	47
95243a1_71	215	138	2.71328	0.12956	0.23019	0.00984	0.69	1332	35	0.03	0.86	0.027	47
95243a1_72	346	123	2.32362	0.09179	0.20477	0.00612	0.58	1213	27	1.74	0.19	0.022	47
95243a1_73	261	194	5.17282	0.19439	0.32556	0.00980	0.65	1847	32	2.97	0.08	0.017	47
95243a1_74	340	89	3.14989	0.10892	0.24375	0.00721	0.75	1447	27	9.72	0.00	0.018	47
95243a1_75	162	112	2.20592	0.11637	0.19725	0.00756	0.65	1175	35	1.87	0.17	0.030	47
95243a1_76	125	106	4.50045	0.21296	0.29678	0.01241	0.71	1736	39	6.62	0.01	0.022	48
95243a1_77	332	26	5.37661	0.25357	0.32614	0.01279	0.67	1882	40	7.05	0.01	0.021	48
95243a1_78	108	31	3.52045	0.16860	0.26563	0.00881	0.54	1528	36	0.44	0.51	0.023	47
95243a1_79	172	195	5.14638	0.21456	0.32793	0.01249	0.67	1845	35	0.46	0.50	0.019	48
95243a1_80	169	110	3.26305	0.15953	0.23950	0.00990	0.70	1465	38	22.82	0.00	0.026	45
95243a1_81	26	55	1.63182	0.20276	0.16650	0.00844	0.33	991	45	0.07	0.79	0.045	48
95243a1_82	1695.016	1139.929	0.6440127	0.1229989	0.04080246	0.006527195	0.5384228	237	40	45.91	0.00	0.169	0
95243a1_83	310	213	7.05091	0.28769	0.38599	0.01445	0.74	2121	35	0.33	0.56	0.016	46
95243a1_84	61	12	1.67965	0.15283	0.16854	0.00946	0.49	1003	47	0.01	0.91	0.047	47
95243a1_85	169	43	2.29975	0.10585	0.20681	0.00757	0.58	1212	31	0.00	0.98	0.026	48
95243a1_86	320	196	12.86335	0.67037	0.50680	0.02543	0.77	2677	44	0.47	0.49	0.016	48
95243a1_87	134	56	2.07457	0.12748	0.19187	0.00937	0.65	1138	41	0.20	0.65	0.036	48
95243a1_88	106	61	1.45327	0.09971	0.14406	0.00707	0.58	886	36	5.38	0.02	0.041	48
95243a1_89	426	116	2.22442	0.11650	0.19686	0.00922	0.74	1189	37	3.31	0.07	0.031	47
95243a1_90	284	65	2.33063	0.12302	0.20460	0.00950	0.74	1222	38	1.62	0.20	0.031	48
95243a1_91	135	40	2.46458	0.15339	0.20454	0.01155	0.65	1255	45	6.96	0.01	0.036	48
95243a1_92	84	24	1.82715	0.11669	0.18343	0.00843	0.42	1068	37	1.64	0.20	0.034	48
95243a1_93	204	91	2.49396	0.12182	0.21488	0.00890	0.62	1268	35	0.68	0.41	0.028	48
95243a1_94	220	58	2.72481	0.13960	0.22532	0.01069	0.77	1339	38	1.96	0.16	0.028	48
95243a1_95	180	156	2.51041	0.16183	0.19351	0.00919	0.63	1206	45	41.26	0.00	0.037	43
95243a1_96	320	59	2.95432	0.11788	0.24077	0.00755	0.57	1395	29	0.10	0.75	0.021	48
95243a1_97	154	187	2.44961	0.13145	0.20832	0.00755	0.52	1239	35	3.67	0.06	0.028	47
95243a1_98	217	42	3.10134	0.13766	0.25093	0.00959	0.65	1434	34	0.30	0.59	0.024	48
95243a1_99	714	400	1.58521	0.09675	0.13783	0.00790	0.79	936	39	93.17	0.00	0.041	24
95243a1_100	196	44	2.61209	0.11537	0.22301	0.00857	0.45	1303	31	0.09	0.77	0.024	48
95243a1_101	302	246	1.94139	0.08205	0.17451	0.00488	0.44	1062	24	15.85	0.00	0.022	48
95243a1_102	340	199	5.40964	0.22481	0.32713	0.01196	0.65	1888	36	7.81	0.01	0.019	46
95243a1_103	327	292	1.83381	0.08186	0.17085	0.00695	0.81	1044	30	14.60	0.00	0.028	46
95243a1_104	74	39	2.32659	0.20157	0.20476	0.00938	0.29	1208	44	0.34	0.56	0.037	48
95243a1_105	689	304	1.34605	0.16923	0.10775	0.01221	0.60	721	68	37.62	0.00	0.094	11

Numéro d'analyse	[U] (ppm)	[Th] (ppm)	207Pb/ 235Uc	2 sigma	206Pb/ 238U	2 sigma	Corré-lation d'erreur	Age Concordia (Ma)	A priori erreur de 2σ	MSWD	Probabilité-de-concordance (rej <.15)	Erreur/ âge (rej >0.40)	Nombres de balayages concordants (rej <5)
95243a1_106	56	32	3.31876	0.20389	0.25362	0.01124	0.61	1477	46	1.41	0.24	0.031	47
~~95243a1_107~~	~~12~~	~~16~~	~~1.72409~~	~~0.22642~~	~~0.17029~~	~~0.01268~~	~~0.40~~	~~1015~~	~~63~~	~~0.01~~	~~0.93~~	~~0.062~~	~~48~~
95243a1_108	131	39	2.86232	0.17861	0.23099	0.01152	0.67	1367	47	2.02	0.15	0.034	47
~~95243a1_109~~	~~30~~	~~9~~	~~1.51798~~	~~0.17030~~	~~0.15465~~	~~0.00867~~	~~0.27~~	~~930~~	~~44~~	~~0.09~~	~~0.77~~	~~0.048~~	~~47~~
~~95243a1_110~~	~~164~~	~~69~~	~~1.94769~~	~~0.15293~~	~~0.18369~~	~~0.01201~~	~~0.77~~	~~1097~~	~~53~~	~~0.25~~	~~0.62~~	~~0.048~~	~~48~~
95243a1_111	110	70	2.32351	0.14122	0.20997	0.00936	0.62	1222	41	0.20	0.66	0.034	47
~~95243a1_112~~	~~321~~	~~136~~	~~1.36299~~	~~0.09910~~	~~0.13742~~	~~0.00860~~	~~0.71~~	~~860~~	~~42~~	~~5.92~~	~~0.02~~	~~0.049~~	~~48~~
~~95243a1_113~~	~~52~~	~~13~~	~~3.44269~~	~~0.26887~~	~~0.25991~~	~~0.01489~~	~~0.66~~	~~1509~~	~~60~~	~~0.72~~	~~0.40~~	~~0.040~~	~~47~~
95243a1_114	145	93	5.11352	0.25135	0.32920	0.01412	0.74	1839	41	0.03	0.87	0.022	46
95243a1_115	53	46	17.57989	0.70702	0.57902	0.01931	0.75	2972	36	0.63	0.43	0.012	47
~~95243a1_116~~	~~243~~	~~76~~	~~2.25948~~	~~0.09944~~	~~0.20029~~	~~0.00768~~	~~0.71~~	~~1198~~	~~31~~	~~2.46~~	~~0.12~~	~~0.026~~	~~47~~
95243a1_117	126	53	2.36739	0.09867	0.20885	0.00664	0.61	1230	29	0.48	0.49	0.023	47
95243a1_118	152	129	4.36763	0.18084	0.30110	0.01053	0.71	1707	34	0.26	0.61	0.020	46
95243a1_119	33	29	2.25873	0.18066	0.20139	0.00775	0.37	1187	39	0.35	0.55	0.033	47
95243a1_120	285	130	2.91115	0.12279	0.23869	0.00740	0.59	1383	31	0.09	0.76	0.022	48
DB07RIM55a		**952-44**											
95244a1_1	209	115	7.25793	0.29503	0.39929	0.01493	0.83	2135	32	1.02	0.31	0.015	47
~~95244a1_2~~	~~200~~	~~50~~	~~6.27262~~	~~1.16870~~	~~0.30169~~	~~0.04826~~	~~0.80~~	~~2084~~	~~149~~	~~19.61~~	~~0.00~~	~~0.072~~	~~38~~
95244a1_3	778	1099	6.65703	0.24491	0.37369	0.01371	0.69	2070	31	0.71	0.40	0.015	48
95244a1_4	395	210	6.79257	0.21405	0.38243	0.00992	0.71	2084	28	0.03	0.86	0.013	47
95244a1_5	158	81	6.50721	0.23872	0.36970	0.01074	0.63	2047	32	0.92	0.34	0.016	48
~~95244a1_6~~	~~125~~	~~657~~	~~6.61692~~	~~0.48461~~	~~0.35528~~	~~0.02255~~	~~0.57~~	~~2057~~	~~65~~	~~5.37~~	~~0.02~~	~~0.032~~	~~48~~
95244a1_7	159	140	6.66732	0.24331	0.38080	0.00924	0.41	2071	30	0.31	0.58	0.015	47
~~95244a1_8~~	~~372~~	~~51~~	~~6.76869~~	~~0.21751~~	~~0.37434~~	~~0.00929~~	~~0.53~~	~~2078~~	~~28~~	~~2.90~~	~~0.09~~	~~0.014~~	~~48~~
95244a1_9	371	117	6.83865	0.16871	0.38567	0.00759	0.61	2091	22	0.73	0.39	0.011	47
95244a1_10	322	172	6.79622	0.17795	0.38273	0.00776	0.52	2086	23	0.06	0.81	0.011	47
95244a1_11	114	79	6.71075	0.24491	0.38255	0.01012	0.49	2076	32	0.45	0.50	0.015	47
~~95244a1_12~~	~~332~~	~~159~~	~~6.92579~~	~~0.26873~~	~~0.36938~~	~~0.01398~~	~~0.72~~	~~2117~~	~~33~~	~~10.23~~	~~0.00~~	~~0.015~~	~~43~~
~~95244a1_13~~	~~0~~	~~0~~	~~0~~	~~0~~	~~0~~	~~0~~	~~0~~	~~#VALUE!~~	~~#VALUE!~~	~~#VALUE!~~	~~#VALUE!~~	~~#VALUE!~~	~~0~~
~~95244a1_14~~	~~1346~~	~~845~~	~~5.52305~~	~~0.41263~~	~~0.29524~~	~~0.02081~~	~~0.80~~	~~1977~~	~~57~~	~~56.06~~	~~0.00~~	~~0.029~~	~~29~~
~~95244a1_15~~	~~108~~	~~78~~	~~6.28302~~	~~0.29894~~	~~0.35250~~	~~0.01104~~	~~0.52~~	~~1996~~	~~40~~	~~8.62~~	~~0.00~~	~~0.020~~	~~48~~
~~95244a1_16~~	~~0~~	~~0~~	~~0~~	~~0~~	~~0~~	~~0~~	~~0~~	~~#VALUE!~~	~~#VALUE!~~	~~#VALUE!~~	~~#VALUE!~~	~~#VALUE!~~	~~0~~
~~95244a1_17~~	~~0~~	~~0~~	~~0~~	~~0~~	~~0~~	~~0~~	~~0~~	~~#VALUE!~~	~~#VALUE!~~	~~#VALUE!~~	~~#VALUE!~~	~~#VALUE!~~	~~0~~
~~95244a1_18~~	~~0~~	~~0~~	~~0~~	~~0~~	~~0~~	~~0~~	~~0~~	~~#VALUE!~~	~~#VALUE!~~	~~#VALUE!~~	~~#VALUE!~~	~~#VALUE!~~	~~0~~
~~95244a1_19~~	~~73~~	~~47~~	~~6.50937~~	~~0.27338~~	~~0.35952~~	~~0.01160~~	~~0.65~~	~~2044~~	~~37~~	~~10.27~~	~~0.00~~	~~0.018~~	~~47~~
95244a1_20	479	221	7.30794	0.22276	0.39749	0.01107	0.68	2149	27	0.16	0.69	0.013	48
95244a1_21	355	153	6.82130	0.21323	0.38570	0.01051	0.56	2089	28	0.50	0.48	0.013	48
95244a1_22	1295	948	7.65049	0.48372	0.39598	0.01726	0.37	2180	54	1.04	0.31	0.025	46
95244a1_23	178	74	6.91154	0.18712	0.38617	0.00912	0.57	2100	24	0.08	0.78	0.012	47
95244a1_24	214	87	7.02161	0.27463	0.38895	0.01391	0.65	2114	35	0.02	0.88	0.016	46
95244a1_25	153	127	6.88180	0.22712	0.37981	0.00921	0.56	2094	29	1.34	0.25	0.014	47
95244a1_26	228	64	6.71776	0.20884	0.37764	0.00963	0.67	2076	28	0.33	0.56	0.013	47
~~95244a1_27~~	~~70~~	~~44~~	~~7.57766~~	~~0.39566~~	~~0.38468~~	~~0.01522~~	~~0.57~~	~~2174~~	~~47~~	~~8.32~~	~~0.00~~	~~0.022~~	~~35~~
95244a1_28	171	156	6.74059	0.27936	0.37698	0.01333	0.76	2081	35	0.56	0.45	0.017	47
95244a1_29	168	114	6.72208	0.27873	0.38300	0.01315	0.60	2075	37	0.36	0.55	0.018	46
95244a1_30	175	110	7.25114	0.25517	0.39419	0.01172	0.49	2143	31	0.00	0.98	0.015	47
~~95244a1_31~~	~~204~~	~~176~~	~~6.39583~~	~~0.21588~~	~~0.36088~~	~~0.00921~~	~~0.52~~	~~2025~~	~~29~~	~~5.70~~	~~0.02~~	~~0.015~~	~~48~~
95244a1_32	181	100	6.93950	0.22114	0.39053	0.00907	0.59	2106	28	1.58	0.21	0.013	48
95244a1_33	608	426	6.86374	0.19411	0.38660	0.00871	0.64	2094	25	0.69	0.41	0.012	47

Numéro d'analyse	[U] (ppm)	[Th] (ppm)	207Pb/ 235Uc	2 sigma	206Pb/ 238U	2 sigma	Corré-lation d'erreur	Age Concordia (Ma)	A priori erreur de 2σ	MSWD	Probabilité-de-concordance (rej <.15)	Erreur/ âge (rej >0.40)	Nombres de balayages concordants (rej <5)
95244a1_34	577	107	7.04328	0.22325	0.39156	0.01100	0.69	2115	28	0.49	0.48	0.013	48
95244a1_35	351	267	6.77467	0.33832	0.38559	0.01697	0.76	2078	43	0.55	0.46	0.020	48
95244a1_36	219	101	7.28766	0.21836	0.39580	0.00932	0.47	2148	26	0.02	0.90	0.012	47
95244a1_37	209	161	6.46004	0.20173	0.36157	0.00938	0.63	2040	28	8.62	0.00	0.014	48
95244a1_38	0	0	0	0	0	0	0	#VALUE!	#VALUE!	#VALUE!	#VALUE!	#VALUE!	0
95244a1_39	250	144	7.01384	0.30745	0.39670	0.01446	0.69	2109	39	2.71	0.10	0.018	48
95244a1_40	1156	885	7.74625	0.29017	0.36673	0.01235	0.63	2209	34	71.11	0.00	0.015	42
95244a1_41	314	167	6.89421	0.18476	0.38165	0.00885	0.64	2099	24	0.76	0.38	0.011	46
95244a1_42	75	53	7.18924	0.34338	0.36836	0.01390	0.62	2130	43	19.83	0.00	0.020	47
95244a1_43	155	104	7.04703	0.21814	0.38987	0.00955	0.48	2118	27	0.06	0.81	0.013	48
95244a1_44	122	65	6.88391	0.23807	0.38907	0.01045	0.58	2098	31	1.22	0.27	0.015	48
95244a1_45	197	67	2.68151	0.09176	0.22849	0.00528	0.50	1325	23	0.06	0.81	0.017	47
95244a1_46	0	0	0	0	0	0	0	#VALUE!	#VALUE!	#VALUE!	#VALUE!	#VALUE!	0
95244a1_47	347	160	6.91434	0.20173	0.38081	0.00948	0.58	2100	26	1.28	0.26	0.012	46
95244a1_48	157	45	2.98260	0.10320	0.24324	0.00615	0.60	1403	25	0.00	0.98	0.018	48
95244a1_49	239	117	6.92429	0.20811	0.38780	0.00907	0.57	2102	27	0.39	0.53	0.013	47
95244a1_50	269	66	6.84775	0.18689	0.38488	0.00933	0.61	2092	24	0.17	0.68	0.012	48
95244a1_51	212	166	6.95732	0.25408	0.39419	0.01011	0.55	2111	32	3.29	0.07	0.015	47
95244a1_52	102	74	6.64868	0.25788	0.37477	0.01200	0.63	2066	34	0.41	0.52	0.017	48
95244a1_53	492	172	7.01454	0.20868	0.39705	0.01020	0.64	2111	27	5.26	0.02	0.013	46
95244a1_54	113	38	6.77007	0.21816	0.38117	0.00855	0.45	2082	27	0.00	1.00	0.013	48
95244a1_55	346	208	7.08641	0.22058	0.39715	0.01110	0.68	2118	28	3.02	0.08	0.013	47
95244a1_56	747	393	6.95256	0.26296	0.38849	0.01678	0.44	2105	34	0.09	0.77	0.016	47
95244a1_57	0	0	0	0	0	0	0	#VALUE!	#VALUE!	#VALUE!	#VALUE!	#VALUE!	0
95244a1_58	126	100	7.28245	0.23690	0.39778	0.00930	0.54	2148	29	0.44	0.51	0.013	47
95244a1_59	49	29	8.65586	0.43935	0.38624	0.01276	0.51	2238	46	53.59	0.00	0.020	46
95244a1_60	634	234	7.19797	0.19566	0.40235	0.00943	0.70	2130	24	7.41	0.01	0.011	47
95244a1_61	760	486	7.04014	0.19855	0.39063	0.00921	0.73	2115	25	0.38	0.54	0.012	47
95244a1_62	97	47	6.79986	0.28687	0.38082	0.01352	0.60	2086	37	0.05	0.83	0.018	47
95244a1_63	61	20	8.73345	0.40017	0.40460	0.01283	0.58	2291	42	24.82	0.00	0.018	48
95244a1_64	61	32	6.67725	0.32826	0.37836	0.01300	0.48	2069	42	0.00	0.97	0.020	48
95244a1_65	138	48	6.87863	0.24800	0.38581	0.01035	0.63	2096	32	0.16	0.69	0.015	47
95244a1_66	101	36	6.41744	0.24240	0.35847	0.00989	0.52	2023	33	8.48	0.00	0.016	47
95244a1_67	609	185	7.09442	0.21917	0.38466	0.00974	0.64	2124	28	2.09	0.15	0.013	45
95244a1_68	527	198	7.37643	0.43975	0.38165	0.02518	0.66	2169	51	2.66	0.10	0.023	47
95244a1_69	492	152	7.84562	0.24294	0.41363	0.01108	0.74	2210	27	1.03	0.31	0.012	46
95244a1_70	631	204	6.88628	0.33364	0.38047	0.01844	0.55	2097	43	0.26	0.61	0.020	48
95244a1_71	128	124	6.61907	0.22439	0.36978	0.00997	0.51	2058	30	2.68	0.10	0.014	46
95244a1_72	0	0	0	0	0	0	0	#VALUE!	#VALUE!	#VALUE!	#VALUE!	#VALUE!	0
95244a1_73	0	0	0	0	0	0	0	#VALUE!	#VALUE!	#VALUE!	#VALUE!	#VALUE!	0
95244a1_74	193	125	6.48653	0.21224	0.37059	0.00939	0.61	2043	29	0.45	0.50	0.014	47
95244a1_75	94	71	6.61780	0.31375	0.36797	0.01418	0.56	2059	42	2.30	0.13	0.020	48
95244a1_76	273	18	6.89156	0.50096	0.33627	0.02312	0.69	2123	62	32.67	0.00	0.029	27
95244a1_77	272	127	6.75851	0.23093	0.37349	0.01044	0.70	2083	30	3.80	0.05	0.014	47
95244a1_78	172	50	6.72750	0.24870	0.38041	0.01181	0.64	2076	33	0.01	0.93	0.016	46
95244a1_79	682	556	7.35536	0.31319	0.40523	0.01512	0.70	2150	38	2.17	0.14	0.017	46
95244a1_80	177	131	0.74128	0.05150	0.09203	0.00374	0.43	566	21	0.09	0.76	0.037	48
95244a1_81	233	102	6.94091	0.27463	0.39154	0.01383	0.56	2104	35	0.95	0.33	0.017	48
95244a1_82	441	469	6.86386	0.28322	0.38384	0.01475	0.84	2094	32	0.00	0.99	0.015	47

Numéro d'analyse	[U] (ppm)	[Th] (ppm)	207Pb/ 235Uc	2 sigma	206Pb/ 238U	2 sigma	Corré-lation d'erreur	Age Concordia (Ma)	A priori erreur de 2σ	MSWD	Probabilité-de-concordance (rej <.15)	Erreur/ âge (rej >0.40)	Nombres de balayages concordants (rej <5)
95244a1_83	365	29	7.28917	0.41694	0.40168	0.02951	0.63	2143	49	0.28	0.60	0.023	47
95244a1_84	211	74	6.92013	0.23505	0.38704	0.01136	0.71	2100	30	0.17	0.68	0.014	47
95244a1_85	144	77	6.44830	0.29621	0.37129	0.01358	0.73	2039	40	0.02	0.88	0.020	48
95244a1_86	116	72	9.31820	0.45348	0.41121	0.01310	0.54	2333	45	33.48	0.00	0.019	39
95244a1_87	148	41	6.79616	0.28640	0.38516	0.01252	0.64	2085	37	0.45	0.50	0.018	48
95244a1_88	33	21	6.96352	0.36324	0.38960	0.01742	0.67	2105	46	0.22	0.64	0.022	47
95244a1_89	403	164	6.85519	0.21433	0.38180	0.01048	0.74	2095	27	0.23	0.63	0.013	47
95244a1_90	182	92	6.54130	0.23727	0.37046	0.01129	0.66	2053	32	0.99	0.32	0.016	47
95244a1_91	318	188	6.95237	0.26035	0.39031	0.01300	0.76	2101	32	0.84	0.36	0.015	47
95244a1_92	616	373	6.95316	0.20828	0.38874	0.01067	0.73	2103	26	0.42	0.52	0.012	47
95244a1_93	487	337	7.38182	0.21948	0.39692	0.01072	0.59	2159	27	0.04	0.85	0.012	48
95244a1_94	229	275	0.94685	0.16698	0.11015	0.00535	0.18	674	31	0.00	0.95	0.045	14
95244a1_95	496	171	6.99139	0.28543	0.39140	0.01443	0.80	2104	34	0.75	0.39	0.016	48
95244a1_96	140	120	8.04154	0.41269	0.40095	0.01793	0.79	2255	43	5.42	0.02	0.019	46
95244a1_97	403	85	7.72445	0.29759	0.41271	0.01406	0.64	2197	35	1.25	0.26	0.016	48
95244a1_98	0	0	0	0	0	0	0	#VALUE!	#VALUE!	#VALUE!	#VALUE!	#VALUE!	0
95244a1_99	257	108	7.08816	0.26809	0.39284	0.01344	0.73	2120	33	0.37	0.54	0.015	48
95244a1_100	96	48	7.10825	0.27939	0.40127	0.01269	0.64	2123	35	4.87	0.03	0.017	48
95244a1_101	264	131	6.93992	0.20659	0.38112	0.01068	0.64	2106	26	1.31	0.25	0.012	47
95244a1_102	276	70	7.42674	0.24606	0.41492	0.01118	0.61	2162	30	12.85	0.00	0.014	48
95244a1_103	188	65	7.31256	0.25327	0.40387	0.01335	0.74	2142	30	2.73	0.10	0.014	48
95244a1_104	134	62	6.61222	0.27249	0.37192	0.01236	0.62	2061	36	0.98	0.32	0.018	48
95244a1_105	58	27	6.34444	0.35646	0.34239	0.01406	0.62	2004	50	22.34	0.00	0.025	48
95244a1_106	142	91	1.60125	0.07587	0.16022	0.00433	0.43	962	22	0.75	0.39	0.023	48
95244a1_107	0	0	0	0	0	0	0	#VALUE!	#VALUE!	#VALUE!	#VALUE!	#VALUE!	0
95244a1_108	0	0	0	0	0	0	0	#VALUE!	#VALUE!	#VALUE!	#VALUE!	#VALUE!	0
95244a1_109	462	300	7.12698	0.21563	0.40218	0.01100	0.72	2118	27	7.86	0.01	0.013	47
95244a1_110	1695	174	5.34731	0.29039	0.29444	0.01584	0.83	1959	39	80.02	0.00	0.020	41
95244a1_111	544	239	7.15688	0.21655	0.40501	0.00955	0.63	2130	27	12.62	0.00	0.013	46
95244a1_112	202	206	7.04498	0.22158	0.39069	0.01072	0.60	2117	28	0.20	0.66	0.013	48
95244a1_113	209	98	6.80023	0.21379	0.38476	0.00908	0.56	2087	28	0.52	0.47	0.013	47
95244a1_114	203	162	6.77331	0.19239	0.38046	0.00917	0.47	2082	25	0.04	0.84	0.012	47
95244a1_115	0	0	0	0	0	0	0	#VALUE!	#VALUE!	#VALUE!	#VALUE!	#VALUE!	0
95244a1_116	272	123	6.47434	0.21230	0.35740	0.01087	0.62	2046	29	12.87	0.00	0.014	48
95244a1_117	153	66	6.84284	0.25626	0.38636	0.01168	0.67	2090	33	0.52	0.47	0.016	48
95244a1_118	347	175	6.76468	0.23467	0.37752	0.01225	0.78	2086	29	0.73	0.39	0.014	48
95244a1_119	307	185	6.97745	0.24577	0.38505	0.01092	0.63	2109	31	0.19	0.66	0.015	47
95244a1_120	66	59	6.83553	0.27888	0.38624	0.01224	0.62	2091	36	0.44	0.50	0.017	47
CT07RIM54_5		**952-51**											
95251a1_1	0	1	7702.88000	9282.55200	67.39635	81.30179	0.95	6611	4845	2.61	0.11	0.733	8
95251a1_2	0	0	0	0	0	0	0	#VALUE!	#VALUE!	#VALUE!	#VALUE!	#VALUE!	0
95251a1_3	0	0	0	0	0	0	0	#VALUE!	#VALUE!	#VALUE!	#VALUE!	#VALUE!	0
95251a1_4	0	0	0	0	0	0	0	#VALUE!	#VALUE!	#VALUE!	#VALUE!	#VALUE!	0
95251a1_5	334	15744	1.14226	0.38451	0.07757	0.00684	0.15	482	41	7.94	0.00	0.085	5
95251a1_6	0	0	9482.58400	12146.96000	77.09605	98.73254	1.00	5141	3656	2.36	0.12	0.711	16
95251a1_7	284.8542	18430.3	2.675784	0.5705021	0.07479759	0.01167675	0.6589113	305	60	67.76	0.00	0.197	0
95251a1_8	0.5944002	1.420358	1015.991	817.9296	9.50969	7.527503	0.9720823	5133	1621	4.88	0.03	0.316	0
95251a1_9	1358.681	1180.558	1.659842	0.3818224	0.03123378	0.00583596	0.6178856	117	31	65.36	0.00	0.264	0
95251a1_10	0	0	0	0	0	0	0	#VALUE!	#VALUE!	#VALUE!	#VALUE!	#VALUE!	0

Numéro d'analyse	[U] (ppm)	[Th] (ppm)	207Pb/ 235Uc	2 sigma	206Pb/ 238U	2 sigma	Corré-lation d'erreur	Age Concordia (Ma)	A priori erreur de 2σ	MSWD	Probabilité-de-concordance (rej <.15)	Erreur/ âge (rej >0.40)	Nombres de balayages concordants (rej <5)
95251a1_11	187	100	6.33555	0.57461	0.14786	0.00757	0.27	852	43	314.52	0.00	0.050	21
95251a1_12	289.4591	13159.26	2.678407	0.5823999	0.07794552	0.01130953	0.6654363	332	57	63.08	0.00	0.173	0
95251a1_13	13.17262	1.91758	18.83365	4.682607	0.1983062	0.03278394	0.4595259	912	170	55.53	0.00	0.186	0
95251a1_14	0	0	0	0	0	0	0	#VALUE!	#VALUE!	#VALUE!	#VALUE!	#VALUE!	0
95251a1_15	49.83043	47.09049	10.99881	3.710054	0.3882125	0.1146065	0.7083825	2573	295	4.96	0.03	0.115	1
95251a1_16	187.3404	14570.14	1.230675	0.689693	0.04865937	0.01280834	0.2964956	291	78	6.96	0.01	0.269	0
95251a1_17	22	23	4.88611	3.08878	0.14702	0.07117	0.39	833	401	5.99	0.01	0.482	33
95251a1_18	46	17	5.88671	0.52618	0.26261	0.03725	0.28	1923	79	25.93	0.00	0.041	44
DB07RIM32_1a		**952-52**											
952-52c1_1	170	144	15.12305	0.81935	0.57336	0.03009	0.81	2791	45	5.05	0.02	0.016	13
952-52c1_2	161	2	16.58380	0.83449	0.60547	0.03094	0.72	2880	45	8.47	0.00	0.016	10
952-52c1_3	383.2544	484.2779	0	0	0	0	0	#VALUE!	#VALUE!	#VALUE!	#VALUE!	#VALUE!	0
952-52c1_4	215	134	12.78852	0.43066	0.49699	0.01513	0.72	2677	30	7.03	0.01	0.011	26
952-52c1_5	180.5458	2.371959	15.64674	1.242738	0.5852574	0.03975503	0.4460452	2857	76	2.47	0.12	0.027	2
952-52c1_6	629.4059	827.0912	0	0	0	0	0	#VALUE!	#VALUE!	#VALUE!	#VALUE!	#VALUE!	0
952-52c1_7	157	229	13.87863	0.99877	0.53613	0.03718	0.85	2731	54	0.24	0.62	0.020	9
952-52c1_8	166	155	14.15029	0.41716	0.53328	0.01400	0.73	2761	27	0.04	0.83	0.010	41
952-52c1_9	429	14	14.83473	0.49952	0.57172	0.01934	0.59	2793	32	10.97	0.00	0.011	30
952-52c1_10	278.5834	456.0974	0	0	0	0	0	#VALUE!	#VALUE!	#VALUE!	#VALUE!	#VALUE!	0
952-52c1_11	159	177	13.60567	0.34720	0.52551	0.01093	0.62	2723	24	0.00	0.99	0.009	39
952-52c1_12	0	0	0	0	0	0	0	#VALUE!	#VALUE!	#VALUE!	#VALUE!	#VALUE!	0
952-52c1_13	456.3593	1230.11	0	0	0	0	0	#VALUE!	#VALUE!	#VALUE!	#VALUE!	#VALUE!	0
952-52c1_14	106	124	12.52973	0.52544	0.48490	0.01686	0.66	2655	39	12.07	0.00	0.015	33
952-52c1_15	377.1893	410.4703	0	0	0	0	0	#VALUE!	#VALUE!	#VALUE!	#VALUE!	#VALUE!	0
952-52c1_16	216	240	13.31250	1.19428	0.51887	0.04668	0.89	2706	59	0.01	0.90	0.022	12
952-52c1_17	128	117	13.35387	0.40830	0.51125	0.01419	0.35	2702	29	2.27	0.13	0.011	39
952-52c1_18	369.6942	343.6953	0	0	0	0	0	#VALUE!	#VALUE!	#VALUE!	#VALUE!	#VALUE!	0
952-52c1_19	470.175	1126.4	0	0	0	0	0	#VALUE!	#VALUE!	#VALUE!	#VALUE!	#VALUE!	0
952-52c1_20	190	165	14.13242	0.45752	0.54631	0.01587	0.70	2749	30	4.17	0.04	0.011	26
952-52c1_21	0	0	0	0	0	0	0	#VALUE!	#VALUE!	#VALUE!	#VALUE!	#VALUE!	0
952-52c1_22	115	198	14.71939	0.49819	0.56436	0.01772	0.65	2784	32	9.06	0.00	0.011	24
952-52c1_23	256	157	13.99572	0.34485	0.53671	0.01219	0.66	2746	23	1.02	0.31	0.008	42
952-52c1_24	85.92928	248.9072	11.68974	2.769805	0.4729984	0.1064866	0.8363143	2613	178	0.30	0.58	0.068	3
952-52c1_25	210.6947	177.1292	12.28244	0.9766642	0.4912433	0.03602823	0.5984975	2630	74	0.64	0.42	0.028	2
952-52c1_26	160	245	0.79196	0.04155	0.09410	0.00260	0.28	583	14	1.05	0.31	0.025	45
952-52c1_27	234	359	13.33953	0.41164	0.52210	0.01429	0.74	2703	28	0.03	0.85	0.010	28
952-52c1_28	164	288	13.02102	0.82454	0.50196	0.02796	0.51	2681	60	1.32	0.25	0.022	9
952-52c1_29	859	78	0.76772	0.02092	0.09315	0.00207	0.62	576	11	0.66	0.42	0.019	43
952-52c1_30	177	193	13.55986	0.36386	0.51904	0.01235	0.65	2722	25	1.42	0.23	0.009	47
952-52c1_31	211	160	13.42248	0.47671	0.51791	0.01826	0.80	2716	29	0.51	0.48	0.011	23
952-52c1_32	154	221	12.84286	0.32347	0.49966	0.01136	0.62	2674	24	8.29	0.00	0.009	22
952-52c1_33	170	201	13.10355	0.39453	0.50433	0.01345	0.77	2702	26	7.43	0.01	0.010	27
952-52c1_34	131	154	14.45915	0.76184	0.56060	0.02830	0.86	2743	40	5.13	0.02	0.015	16
952-52c1_35	524.8699	555.5551	0	0	0	0	0	#VALUE!	#VALUE!	#VALUE!	#VALUE!	#VALUE!	0
952-52c1_36	0	0	0	0	0	0	0	#VALUE!	#VALUE!	#VALUE!	#VALUE!	#VALUE!	0
952-52c1_37	560.1687	784.8604	0	0	0	0	0	#VALUE!	#VALUE!	#VALUE!	#VALUE!	#VALUE!	0
952-52c1_38	509.6596	936.3613	0	0	0	0	0	#VALUE!	#VALUE!	#VALUE!	#VALUE!	#VALUE!	0
952-52c1_39	212	149	14.38721	0.42251	0.55653	0.01500	0.67	2763	27	9.99	0.00	0.010	33
952-52c1_40	196	202	13.89858	0.39258	0.54192	0.01393	0.79	2728	24	5.60	0.02	0.009	35

Numéro d'analyse	[U] (ppm)	[Th] (ppm)	207Pb/ 235Uc	2 sigma	206Pb/ 238U	2 sigma	Corré-lation d'erreur	Age Concordia (Ma)	A priori erreur de 2σ	MSWD	Probabilité-de-concordance (rej <.15)	Erreur/ âge (rej >0.40)	Nombres de balayages concordants (rej <5)
952-52c1_41	374.8589	691.9946	0	0	0	0	0	#VALUE!	#VALUE!	#VALUE!	#VALUE!	#VALUE!	0
952-52c1_42	313	209	13.25706	0.35267	0.51399	0.01233	0.71	2703	24	1.56	0.21	0.009	38
952-52c1_43	214	147	13.88645	0.68328	0.53779	0.02513	0.87	2728	37	0.86	0.35	0.013	16
952-52c1_44	311	267	12.90590	0.35175	0.50001	0.01182	0.72	2684	25	10.19	0.00	0.009	17
952-52c1_45	260	235	12.73038	0.33585	0.49542	0.01166	0.78	2679	23	14.41	0.00	0.008	22
952-52c1_46	334	313	12.92518	0.31220	0.50409	0.01061	0.71	2682	22	6.52	0.01	0.008	33
952-52c1_47	0	0	0	0	0	0	0	#VALUE!	#VALUE!	#VALUE!	#VALUE!	#VALUE!	0
952-52c1_48	428.7561	287.0124	0	0	0	0	0	#VALUE!	#VALUE!	#VALUE!	#VALUE!	#VALUE!	0
952-52c1_49	321	210	13.15268	0.44321	0.51062	0.01541	0.79	2700	29	1.92	0.17	0.011	13
952-52c1_50	753.2942	918.1166	0	0	0	0	0	#VALUE!	#VALUE!	#VALUE!	#VALUE!	#VALUE!	0
952-52c1_51	177	157	12.90054	0.91956	0.50295	0.03244	0.81	2689	58	0.97	0.32	0.021	5
952-52c1_52	251	201	14.05518	0.36738	0.54185	0.01186	0.69	2747	24	4.06	0.04	0.009	37
952-52c1_53	555.9738	1068.465	0	0	0	0	0	#VALUE!	#VALUE!	#VALUE!	#VALUE!	#VALUE!	0
952-52c1_54	188	99	32.63440	0.89780	0.71964	0.01894	0.75	3587	24	7.76	0.01	0.007	19
952-52c1_55	189	360	12.89132	0.40002	0.50319	0.01319	0.66	2677	29	4.21	0.04	0.011	30
952-52c1_56	300.6016	454.4047	0	0	0	0	0	#VALUE!	#VALUE!	#VALUE!	#VALUE!	#VALUE!	0
952-52c1_57	167	226	12.79100	0.43193	0.49589	0.01431	0.71	2676	31	9.15	0.00	0.011	15
952-52c1_58	337	313	13.36298	0.30884	0.51707	0.01068	0.66	2708	22	1.15	0.28	0.008	24
952-52c1_59	246	217	13.18439	0.29549	0.51362	0.00954	0.64	2695	21	1.73	0.19	0.008	42
952-52c1_60	421.377	532.9208	0	0	0	0	0	#VALUE!	#VALUE!	#VALUE!	#VALUE!	#VALUE!	0
952-52c1_61	612.1107	734.7835	0	0	0	0	0	#VALUE!	#VALUE!	#VALUE!	#VALUE!	#VALUE!	0
952-52c1_62	416.6247	248.6345	0	0	0	0	0	#VALUE!	#VALUE!	#VALUE!	#VALUE!	#VALUE!	0
952-52c1_63	385.0967	306.78	0	0	0	0	0	#VALUE!	#VALUE!	#VALUE!	#VALUE!	#VALUE!	0
952-52c1_64	372.868	845.5248	0	0	0	0	0	#VALUE!	#VALUE!	#VALUE!	#VALUE!	#VALUE!	0
952-52c1_65	230	248	13.28583	0.41512	0.51884	0.01424	0.73	2701	28	0.07	0.79	0.010	17
952-52c1_66	463.9947	523.969	0	0	0	0	0	#VALUE!	#VALUE!	#VALUE!	#VALUE!	#VALUE!	0
952-52c1_67	0	0	0	0	0	0	0	#VALUE!	#VALUE!	#VALUE!	#VALUE!	#VALUE!	0
952-52c1_68	405.9033	260.6094	0	0	0	0	0	#VALUE!	#VALUE!	#VALUE!	#VALUE!	#VALUE!	0
952-52c1_69	0	0	0	0	0	0	0	#VALUE!	#VALUE!	#VALUE!	#VALUE!	#VALUE!	0
952-52c1_70	244	233	13.52578	0.40424	0.52486	0.01432	0.80	2716	25	0.02	0.90	0.009	37
952-52c1_71	253	92	3.24546	0.10464	0.25320	0.00717	0.75	1469	25	1.12	0.29	0.017	44
952-52c1_72	156.1534	165.2345	10.97288	4.240549	0.4559302	0.1665591	0.9074389	2578	236	0.21	0.65	0.092	1
952-52c1_73	263.6157	434.661	0	0	0	0	0	#VALUE!	#VALUE!	#VALUE!	#VALUE!	#VALUE!	0
952-52c1_74	440.1817	372.6137	0	0	0	0	0	#VALUE!	#VALUE!	#VALUE!	#VALUE!	#VALUE!	0
952-52c1_75	521.5842	615.6494	0	0	0	0	0	#VALUE!	#VALUE!	#VALUE!	#VALUE!	#VALUE!	0
952-52c1_76	540.5585	418.5284	0	0	0	0	0	#VALUE!	#VALUE!	#VALUE!	#VALUE!	#VALUE!	0
952-52c1_77	475.006	617.4775	0	0	0	0	0	#VALUE!	#VALUE!	#VALUE!	#VALUE!	#VALUE!	0
952-52c1_78	88	162	13.78392	0.73386	0.54032	0.02683	0.67	2727	49	1.30	0.25	0.018	13
952-52c1_79	317.9601	264.6008	0	0	0	0	0	#VALUE!	#VALUE!	#VALUE!	#VALUE!	#VALUE!	0
952-52c1_80	241	305	13.78398	0.77585	0.53628	0.02887	0.88	2720	41	0.69	0.41	0.015	7
952-52c1_81	275	227	13.19577	0.29737	0.51034	0.00918	0.67	2697	21	5.70	0.02	0.008	46
952-52c1_82	412	125	0.78689	0.01802	0.09567	0.00153	0.54	589	8	0.01	0.93	0.014	43
952-52c1_83	549.0895	1164.71	0	0	0	0	0	#VALUE!	#VALUE!	#VALUE!	#VALUE!	#VALUE!	0
952-52c1_84	203	385	12.99508	0.33318	0.50562	0.01081	0.62	2682	24	5.06	0.02	0.009	45
952-52c1_85	0	0	0	0	0	0	0	#VALUE!	#VALUE!	#VALUE!	#VALUE!	#VALUE!	0
952-52c1_86	122	10	11.04173	0.26401	0.48431	0.00929	0.66	2525	22	1.55	0.21	0.009	47
952-52c1_87	166	367	13.25793	0.32216	0.51698	0.01015	0.68	2700	23	0.52	0.47	0.008	40
952-52c1_88	136	135	12.71789	0.80676	0.50145	0.03124	0.88	2677	43	0.82	0.36	0.016	10
952-52c1_89	193	219	13.24447	0.32997	0.51207	0.01064	0.71	2703	23	3.63	0.06	0.009	38

Numéro d'analyse	[U] (ppm)	[Th] (ppm)	207Pb/ 235Uc	2 sigma	206Pb/ 238U	2 sigma	Corré-lation d'erreur	Age Concordia (Ma)	A priori erreur de 2σ	MSWD	Probabilité-de-concordance (rej <.15)	Erreur/ âge (rej >0.40)	Nombres de balayages concordants (rej <5)
952-52c1_90	287	326	13.47243	0.31486	0.52106	0.01034	0.70	2715	22	0.35	0.55	0.008	42
952-52e1_91	384.9877	327.2572	0	0	0	0	0	#VALUE!	#VALUE!	#VALUE!	#VALUE!	#VALUE!	0
952-52e1_92	403.05	410.9473	0	0	0	0	0	#VALUE!	#VALUE!	#VALUE!	#VALUE!	#VALUE!	0
952-52e1_93	650.9573	602.1006	0	0	0	0	0	#VALUE!	#VALUE!	#VALUE!	#VALUE!	#VALUE!	0
952-52e1_94	484	288	12.53775	0.53938	0.48393	0.01994	0.89	2695	29	14.05	0.00	0.011	12
952-52e1_95	178	324	12.73546	0.33387	0.49781	0.01059	0.62	2664	25	9.68	0.00	0.009	44
952-52c1_96	287	520	12.95139	0.48970	0.50965	0.01783	0.79	2682	32	0.63	0.43	0.012	12
952-52e1_97	188.9327	250.551	11.99836	1.226606	0.4837003	0.04612118	0.8405423	2629	78	0.88	0.35	0.029	4
952-52c1_98	154	175	13.52691	1.45756	0.52776	0.05449	0.91	2709	69	0.04	0.84	0.026	6
952-52c1_99	235	136	1.66153	0.05187	0.16842	0.00440	0.72	995	20	1.21	0.27	0.020	38
952-52c1_100	280	361	13.42361	0.33350	0.52091	0.01146	0.75	2712	22	0.15	0.69	0.008	41
952-52e1_101	1347.523	2023.892	0	0	0	0	0	#VALUE!	#VALUE!	#VALUE!	#VALUE!	#VALUE!	0
952-52e1_102	369.016	274.6353	0	0	0	0	0	#VALUE!	#VALUE!	#VALUE!	#VALUE!	#VALUE!	0
952-52e1_103	202	156	13.02388	0.36149	0.50234	0.01228	0.77	2696	24	9.75	0.00	0.009	38
952-52e1_104	820.4339	1548.316	0	0	0	0	0	#VALUE!	#VALUE!	#VALUE!	#VALUE!	#VALUE!	0
952-52e1_105	434.5941	655.6667	0	0	0	0	0	#VALUE!	#VALUE!	#VALUE!	#VALUE!	#VALUE!	0
952-52e1_106	384.7965	532.1036	0	0	0	0	0	#VALUE!	#VALUE!	#VALUE!	#VALUE!	#VALUE!	0
952-52e1_107	605.6454	631.3317	0	0	0	0	0	#VALUE!	#VALUE!	#VALUE!	#VALUE!	#VALUE!	0
952-52e1_108	405	403	12.78500	0.37429	0.49125	0.01359	0.77	2688	25	18.16	0.00	0.009	15
952-52e1_109	156	4	17.01331	1.12204	0.63248	0.04256	0.67	2897	61	10.65	0.00	0.021	18
952-52e1_110	383.5311	759.7422	0	0	0	0	0	#VALUE!	#VALUE!	#VALUE!	#VALUE!	#VALUE!	0
952-52c1_111	189	182	13.42485	0.35204	0.52471	0.01194	0.71	2708	24	0.24	0.63	0.009	36
952-52e1_112	271	199	13.07458	0.42823	0.50720	0.01463	0.72	2693	29	3.12	0.08	0.011	42
952-52e1_113	88.34045	1.815464	15.64886	2.05616	0.591971	0.07266778	0.7120371	2826	120	1.57	0.21	0.042	3
952-52c1_114	266	137	13.61950	0.37323	0.52958	0.01297	0.72	2720	25	0.62	0.43	0.009	36
952-52e1_115	349.2214	440.1026	0	0	0	0	0	#VALUE!	#VALUE!	#VALUE!	#VALUE!	#VALUE!	0
952-52e1_116	400.5537	707.3688	0	0	0	0	0	#VALUE!	#VALUE!	#VALUE!	#VALUE!	#VALUE!	0
952-52e1_117	303.9677	447.5254	0	0	0	0	0	#VALUE!	#VALUE!	#VALUE!	#VALUE!	#VALUE!	0
952-52e1_118	735.6863	765.9967	0	0	0	0	0	#VALUE!	#VALUE!	#VALUE!	#VALUE!	#VALUE!	0
952-52e1_119	445.9099	310.3759	0	0	0	0	0	#VALUE!	#VALUE!	#VALUE!	#VALUE!	#VALUE!	0
952-52e1_120	0	0	0	0	0	0	0	#VALUE!	#VALUE!	#VALUE!	#VALUE!	#VALUE!	0
1284-05 anorthosite		**1284-05**											
1284-05a1_1	109	140	12.98021	0.80443	0.50222	0.02963	0.84	2700	47	1.70	0.19	0.017	24
1284-05a1_2	260	59	0.76764	0.02552	0.09344	0.00207	0.44	577	11	0.13	0.72	0.019	41
1284-05a1_3	341	205	13.56913	0.38458	0.52602	0.01279	0.72	2719	26	0.05	0.82	0.010	38
1284-05a1_4	349	170	13.70713	0.31824	0.52693	0.01025	0.64	2730	22	0.00	0.95	0.008	43
1284-05a1_5	589.7036	867.552	0	0	0	0	0	#VALUE!	#VALUE!	#VALUE!	#VALUE!	#VALUE!	0
1284-05a1_6	478.9614	244.2297	0	0	0	0	0	#VALUE!	#VALUE!	#VALUE!	#VALUE!	#VALUE!	0
1284-05a1_7	162	49	6.18965	0.19820	0.35404	0.00939	0.47	1997	28	6.02	0.01	0.014	28
1284-05a1_8	0	0	0	0	0	0	0	#VALUE!	#VALUE!	#VALUE!	#VALUE!	#VALUE!	0
1284-05a1_9	225	157	13.08125	0.54869	0.49621	0.01764	0.58	2689	40	8.15	0.00	0.015	32
1284-05a1_10	244	285	13.53967	0.45823	0.52021	0.01683	0.76	2723	29	0.49	0.48	0.011	43
1284-05a1_11	297.9814	204.4254	11.42719	2.12407	0.4674994	0.08237752	0.6274369	2568	169	0.37	0.55	0.066	1
1284-05a1_12	222	437	13.92164	0.37002	0.53146	0.01245	0.68	2744	25	0.03	0.87	0.009	42
1284-05a1_13	166	112	1.16394	0.12936	0.12042	0.00682	0.28	743	37	2.59	0.11	0.050	15
1284-05a1_14	163	285	12.30461	0.44494	0.48099	0.01607	0.67	2642	33	13.09	0.00	0.012	35
1284-05a1_15	123	240	14.22929	1.37771	0.54610	0.05182	0.90	2744	64	0.39	0.53	0.023	18
1284-05a1_16	349.1151	1277.894	0	0	0	0	0	#VALUE!	#VALUE!	#VALUE!	#VALUE!	#VALUE!	0
1284-05a1_17	434	543	12.68852	0.48333	0.49896	0.01706	0.66	2663	35	2.83	0.09	0.013	11

Numéro d'analyse	[U] (ppm)	[Th] (ppm)	207Pb/ 235Uc	2 sigma	206Pb/ 238U	2 sigma	Corré-lation d'erreur	Age Concordia (Ma)	A priori erreur de 2σ	MSWD	Probabilité-de-concordance (rej <.15)	Erreur/ âge (rej >0.40)	Nombres de balayages concordants (rej <5)
1284-05a1_18	468.527	857.9984	0	0	0	0	0	#VALUE!	#VALUE!	#VALUE!	#VALUE!	#VALUE!	0
1284-05a1_19	119	117	11.31158	0.72156	0.45095	0.03119	0.69	2577	55	8.10	0.00	0.021	39
1284-05a1_20	328	245	13.04414	0.57765	0.50905	0.02123	0.84	2695	34	1.03	0.31	0.013	20
1284-05a1_21	181	248	13.70949	0.57159	0.53219	0.02089	0.72	2725	37	0.40	0.53	0.014	29
1284-05a1_22	288	180	12.92094	0.37072	0.51047	0.01376	0.73	2677	26	0.49	0.48	0.010	41
1284-05a1_23	99	71	3.21650	0.16012	0.24720	0.00962	0.67	1455	38	3.98	0.05	0.026	31
1284-05a1_24	207	172	13.80860	0.34013	0.53550	0.01127	0.71	2732	23	2.50	0.11	0.008	40
1284-05a1_25	307	158	13.17940	0.35656	0.50801	0.01263	0.65	2698	25	4.42	0.04	0.009	37
1284-05a1_26	393.2767	880.0836	0	0	0	0	0	#VALUE!	#VALUE!	#VALUE!	#VALUE!	#VALUE!	0
1284-05a1_27	977	16	14.74075	0.66519	0.55414	0.02243	0.66	2792	42	1.45	0.23	0.015	8
1284-05a1_28	565.982	628.3203	0	0	0	0	0	#VALUE!	#VALUE!	#VALUE!	#VALUE!	#VALUE!	0
1284-05a1_29	405	194	13.47360	0.42827	0.52005	0.01569	0.81	2718	26	0.37	0.54	0.010	16
1284-05a1_30	226	487	12.65001	0.47156	0.49862	0.01699	0.69	2662	34	2.83	0.09	0.013	15
1284-05a1_31	228	208	13.05078	0.43459	0.50960	0.01515	0.73	2689	30	1.45	0.23	0.011	30
1284-05a1_32	197	188	13.40518	0.44714	0.52074	0.01526	0.65	2709	31	0.06	0.80	0.011	32
1284-05a1_33	220	5	14.57263	0.50394	0.56504	0.01903	0.63	2775	32	9.72	0.00	0.012	42
1284-05a1_34	240	231	14.19534	0.57657	0.54541	0.02066	0.81	2749	34	2.07	0.15	0.012	32
1284-05a1_35	0	0	0	0	0	0	0	#VALUE!	#VALUE!	#VALUE!	#VALUE!	#VALUE!	0
1284-05a1_36	346	231	12.31597	0.33928	0.49109	0.01183	0.74	2640	25	8.48	0.00	0.009	21
1284-05a1_37	851.7122	795.4851	0	0	0	0	0	#VALUE!	#VALUE!	#VALUE!	#VALUE!	#VALUE!	0
1284-05a1_38	201	207	14.51909	0.91794	0.56585	0.03688	0.70	2763	57	3.19	0.07	0.021	37
1284-05a1_39	307.7348	3.21338	12.97092	0.5856732	0.5209414	0.0215171	0.7034908	2673	41	0.56	0.46	0.015	4
1284-05a1_40	715.063	1025.228	0	0	0	0	0	#VALUE!	#VALUE!	#VALUE!	#VALUE!	#VALUE!	0
1284-05a1_41	226	446	13.80631	0.31814	0.53252	0.01091	0.73	2733	21	0.85	0.36	0.008	47
1284-05a1_42	193	336	14.55987	0.69608	0.56390	0.02565	0.89	2742	34	7.69	0.01	0.013	30
1284-05a1_43	299.1729	223.2931	12.43391	1.094842	0.4968444	0.03952923	0.7945494	2650	73	0.42	0.52	0.028	3
1284-05a1_44	258	3	13.90314	0.74544	0.54039	0.03072	0.38	2743	51	0.49	0.48	0.019	9
1284-05a1_45	236	241	14.28995	0.76206	0.54878	0.02733	0.83	2750	43	1.73	0.19	0.016	14
1284-05a1_46	207	347	12.76278	0.34631	0.50053	0.01154	0.71	2670	25	6.42	0.01	0.009	37
1284-05a1_47	232	314	12.80013	0.51186	0.50590	0.01841	0.70	2670	36	0.78	0.38	0.013	14
1284-05a1_48	0	0	0	0	0	0	0	#VALUE!	#VALUE!	#VALUE!	#VALUE!	#VALUE!	0
1284-05a1_49	204	193	14.24956	0.95370	0.55606	0.03674	0.87	2731	49	2.68	0.10	0.018	15
1284-05a1_50	311	634	13.83179	0.53072	0.52866	0.01914	0.67	2739	35	0.01	0.94	0.013	11
1284-05a1_51	322	225	13.14437	0.35205	0.51032	0.01336	0.72	2697	24	2.24	0.13	0.009	45
1284-05a1_52	458.724	521.7212	0	0	0	0	0	#VALUE!	#VALUE!	#VALUE!	#VALUE!	#VALUE!	0
1284-05a1_53	164	6	14.42592	0.76272	0.54253	0.02453	0.54	2778	50	0.13	0.71	0.018	21
1284-05a1_54	65	1	15.20424	0.68561	0.57666	0.02497	0.56	2819	43	6.10	0.01	0.015	30
1284-05a1_55	200	2	14.15639	0.66723	0.54485	0.02495	0.70	2752	42	1.18	0.28	0.015	9
1284-05a1_56	191	241	12.62551	0.64257	0.49028	0.02510	0.78	2675	41	4.34	0.04	0.016	25
1284-05a1_57	816	13	13.56127	0.74696	0.52539	0.02912	0.37	2720	52	0.00	0.97	0.019	8
1284-05a1_58	187	188	15.02197	0.47554	0.53261	0.01486	0.54	2819	30	5.93	0.01	0.011	36
1284-05a1_59	257	2	14.44815	1.10214	0.56674	0.04809	0.32	2782	72	1.47	0.23	0.026	14
1284-05a1_60	124	182	13.21598	0.39895	0.51242	0.01396	0.68	2700	28	1.56	0.21	0.010	44
1284-05a1_61	278	3	14.50533	0.66827	0.56419	0.02635	0.78	2755	39	6.28	0.01	0.014	16
1284-05a1_62	0	0	0	0	0	0	0	#VALUE!	#VALUE!	#VALUE!	#VALUE!	#VALUE!	0
1284-05a1_63	283	182	12.79306	0.48487	0.49766	0.01669	0.79	2684	32	6.25	0.01	0.012	43
1284-05a1_64	456.5957	370.2236	0	0	0	0	0	#VALUE!	#VALUE!	#VALUE!	#VALUE!	#VALUE!	0
1284-05a1_65	193	405	13.37847	0.44282	0.51554	0.01411	0.61	2708	31	1.21	0.27	0.012	28
1284-05a1_66	233	164	13.68242	0.76199	0.52985	0.02929	0.77	2724	47	0.08	0.77	0.017	16

Numéro d'analyse	[U] (ppm)	[Th] (ppm)	207Pb/ 235Uc	2 sigma	206Pb/ 238U	2 sigma	Corré-lation d'erreur	Age Concordia (Ma)	A priori erreur de 2σ	MSWD	Probabilité-de-concordance (rej <.15)	Erreur/ âge (rej >0.40)	Nombres de balayages concordants (rej <5)
1284-05a1_67	345	145	13.97530	0.51889	0.53830	0.01747	0.71	2742	34	1.08	0.30	0.012	28
1284-05a1_68	229	391	14.26730	0.67002	0.55758	0.02502	0.81	2739	39	5.90	0.02	0.014	22
1284-05a1_69	484.3015	765.4911	0	0	0	0	0	#VALUE!	#VALUE!	#VALUE!	#VALUE!	#VALUE!	0
1284-05a1_70	0	0	0	0	0	0	0	#VALUE!	#VALUE!	#VALUE!	#VALUE!	#VALUE!	0
1284-05a1_71	633.5872	528.4124	0	0	0	0	0	#VALUE!	#VALUE!	#VALUE!	#VALUE!	#VALUE!	0
1284-05a1_72	323	256	12.66318	0.48805	0.50028	0.01827	0.70	2663	34	1.84	0.18	0.013	24
1284-05a1_73	628.7863	815.804	0	0	0	0	0	#VALUE!	#VALUE!	#VALUE!	#VALUE!	#VALUE!	0
1284-05a1_74	348.4815	788.5466	0	0	0	0	0	#VALUE!	#VALUE!	#VALUE!	#VALUE!	#VALUE!	0
1284-05a1_75	74	23	0.92411	0.06275	0.10097	0.00381	0.43	628	22	7.95	0.00	0.035	42
1284-05a1_76	235	287	12.57032	0.38861	0.49102	0.01221	0.63	2652	29	12.43	0.00	0.011	22
1284-05a1_77	211	296	13.69125	0.34861	0.52840	0.01190	0.75	2727	23	0.11	0.74	0.008	44
1284-05a1_78	181	297	14.17268	1.71320	0.56063	0.06690	0.91	2707	78	1.45	0.23	0.029	5
1284-05a1_79	139	316	13.62488	0.37840	0.52437	0.01359	0.71	2725	25	0.09	0.77	0.009	34
1284-05a1_80	350.9777	636.1481	0	0	0	0	0	#VALUE!	#VALUE!	#VALUE!	#VALUE!	#VALUE!	0
1284-05a1_81	263	229	13.98099	0.38366	0.54404	0.01360	0.67	2741	26	5.46	0.02	0.009	34
1284-05a1_82	182	309	14.04658	0.66621	0.54968	0.02692	0.79	2732	39	3.00	0.08	0.014	29
1284-05a1_83	181	201	13.76622	0.38684	0.53250	0.01403	0.74	2729	25	0.71	0.40	0.009	46
1284-05a1_84	855.3798	1809.054	0	0	0	0	0	#VALUE!	#VALUE!	#VALUE!	#VALUE!	#VALUE!	0
1284-05a1_85	258	222	13.45723	0.53074	0.52607	0.01958	0.84	2707	31	0.21	0.65	0.011	36
1284-05a1_86	153	209	13.34850	0.41471	0.52279	0.01517	0.71	2703	28	0.07	0.79	0.010	37
1284-05a1_87	490.1142	252.707	13.52419	1.170721	0.5090044	0.04482083	0.7355424	2732	73	0.83	0.36	0.027	2
1284-05a1_88	302	9	13.89423	0.59565	0.53927	0.02041	0.64	2738	40	1.26	0.26	0.015	46
1284-05a1_89	431.925	801.2822	0	0	0	0	0	#VALUE!	#VALUE!	#VALUE!	#VALUE!	#VALUE!	0
1284-05a1_90	284	721	13.83139	0.34613	0.53368	0.01154	0.69	2735	23	1.03	0.31	0.009	45
1284-05a1_91	299	288	13.34825	0.40370	0.51913	0.01403	0.75	2707	27	0.18	0.67	0.010	43
1284-05a1_92	0	0	0	0	0	0	0	#VALUE!	#VALUE!	#VALUE!	#VALUE!	#VALUE!	0
1284-05a1_93	497.2438	735.7162	0	0	0	0	0	#VALUE!	#VALUE!	#VALUE!	#VALUE!	#VALUE!	0
1284-05a1_94	181	255	13.70611	0.37838	0.52506	0.01263	0.68	2731	26	0.20	0.66	0.009	43
1284-05a1_95	274	283	13.45994	0.31029	0.52198	0.01094	0.66	2713	22	0.07	0.79	0.008	45
1284-05a1_96	497	547	13.24045	0.48609	0.51754	0.01624	0.49	2697	35	0.07	0.79	0.013	42
1284-05a1_97	465.8506	685.1447	0	0	0	0	0	#VALUE!	#VALUE!	#VALUE!	#VALUE!	#VALUE!	0
1284-05a1_98	271.8155	282.8108	11.08922	1.003928	0.4454247	0.03623263	0.6827949	2554	81	6.82	0.01	0.032	4
1284-05a1_99	170	487	12.26641	0.55496	0.49045	0.02085	0.76	2639	38	2.70	0.10	0.015	22
1284-05a1_100	482.4239	578.0759	0	0	0	0	0	#VALUE!	#VALUE!	#VALUE!	#VALUE!	#VALUE!	0
1284-05a1_101	261	215	13.18148	0.43601	0.50933	0.01543	0.69	2700	30	2.46	0.12	0.011	43
1284-05a1_102	160	210	13.50834	0.57732	0.52449	0.02099	0.69	2715	39	0.00	0.95	0.014	21
1284-05a1_103	203	229	13.55537	0.31062	0.52044	0.01058	0.68	2722	21	1.10	0.29	0.008	42
1284-05a1_104	422	266	12.89251	0.94045	0.50239	0.03562	0.79	2687	59	0.80	0.37	0.022	5
1284-05a1_105	347	373	1.08081	0.04028	0.11990	0.00307	0.49	735	16	2.16	0.14	0.022	40
1284-05a1_106	376	130	0.25216	0.01367	0.03591	0.00093	0.30	228	6	0.03	0.87	0.025	42
1284-05a1_107	313	323	13.13420	0.32844	0.51037	0.01094	0.66	2693	23	3.00	0.08	0.009	21
1284-05a1_108	432.5953	883.7816	0	0	0	0	0	#VALUE!	#VALUE!	#VALUE!	#VALUE!	#VALUE!	0
1284-05a1_109	190	342	13.04014	0.37895	0.50748	0.01372	0.72	2690	26	2.87	0.09	0.010	33
1284-05a1_110	286	341	13.25413	0.38917	0.51598	0.01384	0.75	2702	26	0.55	0.46	0.010	36
1284-05a1_111	204.605	2.171468	14.0433	0.8315111	0.5430866	0.02946092	0.5660778	2749	56	0.72	0.40	0.020	4
1284-05a1_112	535.1985	1253.772	0	0	0	0	0	#VALUE!	#VALUE!	#VALUE!	#VALUE!	#VALUE!	0
1284-05a1_113	191	222	13.52145	0.38815	0.52266	0.01297	0.70	2718	26	0.09	0.76	0.010	41
1284-05a1_114	344	446	13.23094	0.34092	0.51472	0.01204	0.74	2701	23	1.09	0.30	0.009	28
1284-05a1_115	184	312	13.10264	0.36923	0.50967	0.01295	0.72	2693	25	2.43	0.12	0.009	36

Numéro d'analyse	[U] (ppm)	[Th] (ppm)	207Pb/ 235Uc	2 sigma	206Pb/ 238U	2 sigma	Corré-lation d'erreur	Age Concordia (Ma)	A priori erreur de 2σ	MSWD	Probabilité-de-concordance (rej <.15)	Erreur/ âge (rej >0.40)	Nombres de balayages concordants (rej <5)
1284-05a1_116	522.7491	992.8838	0	0	0	0	0	#VALUE!	#VALUE!	#VALUE!	#VALUE!	#VALUE!	0
1284-05a1_117	148	285	13.07553	0.34553	0.51787	0.01276	0.76	2684	23	0.07	0.80	0.009	38
1284-05a1_118	0	0	0	0	0	0	0	#VALUE!	#VALUE!	#VALUE!	#VALUE!	#VALUE!	0
1284-05a1_119	138.0062	1.954418	14.66219	1.182878	0.5426899	0.04674298	0.4875047	2794	76	0.00	0.99	0.027	3
1284-05a1_120	259	3	13.72407	0.84676	0.54376	0.03405	0.49	2728	58	1.18	0.28	0.021	5
CT07RIM10-1 St Barbe rhy		**1284-02**											
1284-02a1_1	233	154	13.82152	0.52895	0.51615	0.01821	0.58	2742	36	2.97	0.08	0.013	35
1284-02a1_2	443	381	15.09803	0.46821	0.53327	0.01492	0.71	2835	28	8.12	0.00	0.010	27
1284-02a1_3	266	573.5856	0	0	0	0	0	#VALUE!	#VALUE!	#VALUE!	#VALUE!	#VALUE!	0
1284-02a1_4	238	83	17.38610	0.51295	0.58291	0.01522	0.73	2955	27	0.03	0.85	0.009	43
1284-02a1_5	358	246	15.33088	0.47297	0.54873	0.01427	0.72	2839	28	0.55	0.46	0.010	44
1284-02a1_6	76	33	17.76409	0.58092	0.60015	0.01792	0.73	2965	30	3.91	0.05	0.010	42
1284-02a1_7	211	101	17.25499	0.50927	0.57205	0.01539	0.64	2953	28	1.73	0.19	0.009	38
1284-02a1_8	230	135	17.61294	0.51084	0.58813	0.01502	0.73	2966	26	0.33	0.57	0.009	42
1284-02a1_9	188	145	14.92407	0.47290	0.54879	0.01574	0.73	2808	29	0.16	0.69	0.010	43
1284-02a1_10	381	238	17.74785	0.67489	0.58020	0.02038	0.85	2987	29	0.92	0.34	0.010	39
1284-02a1_11	119	105	13.82875	0.46907	0.52365	0.01516	0.77	2744	30	1.10	0.29	0.011	47
1284-02a1_12	114	34	16.93499	0.55127	0.57502	0.01623	0.76	2932	29	0.01	0.91	0.010	41
1284-02a1_13	986	21	7.28727	0.31385	0.38173	0.01510	0.87	2179	31	9.19	0.00	0.014	39
1284-02a1_14	143	123	15.21862	0.53381	0.53747	0.01623	0.78	2846	30	5.75	0.02	0.011	42
1284-02a1_15	0	0	0	0	0	0	0	#VALUE!	#VALUE!	#VALUE!	#VALUE!	#VALUE!	0
1284-02a1_16	0	0	0	0	0	0	0	#VALUE!	#VALUE!	#VALUE!	#VALUE!	#VALUE!	0
1284-02a1_17	259	84	14.33386	0.51579	0.52260	0.01700	0.78	2790	31	6.06	0.01	0.011	38
1284-02a1_18	798	750	13.14844	0.39973	0.50570	0.01374	0.68	2698	28	5.42	0.02	0.010	27
1284-02a1_19	887.3392	804.3475	0	0	0	0	0	#VALUE!	#VALUE!	#VALUE!	#VALUE!	#VALUE!	0
1284-02a1_20	133	69	17.31211	0.69467	0.56350	0.02028	0.77	2972	34	5.78	0.02	0.012	34
1284-02a1_21	797	354	18.30605	0.72944	0.56810	0.02154	0.83	3044	30	12.40	0.00	0.010	21
1284-02a1_22	735.6592	858.6627	13.32323	1.028687	0.4984607	0.03408236	0.6875274	2719	70	3.07	0.08	0.026	3
1284-02a1_23	413	479	14.20267	0.66266	0.50518	0.02268	0.86	2819	33	16.52	0.00	0.012	22
1284-02a1_24	104	50	18.62267	0.62941	0.59025	0.01759	0.76	3031	30	1.56	0.21	0.010	43
1284-02a1_25	192	85	18.13016	0.76431	0.58633	0.02282	0.86	3006	31	0.52	0.47	0.010	43
1284-02a1_26	74	25	16.89474	0.61231	0.54836	0.01754	0.73	2953	32	17.41	0.00	0.011	38
1284-02a1_27	88	14	9.61359	0.41735	0.43170	0.01499	0.72	2411	39	12.85	0.00	0.016	29
1284-02a1_28	133	66	15.75254	0.56143	0.55137	0.01867	0.77	2871	30	1.24	0.26	0.011	42
1284-02a1_29	506	274	14.08283	0.64915	0.51303	0.02177	0.74	2775	40	6.56	0.01	0.014	19
1284-02a1_30	522.8825	402.1695	16.14594	4.181417	0.5868239	0.1520158	0.8483303	2851	197	0.18	0.67	0.069	3
1284-02a1_31	230	125	13.53014	0.42885	0.51266	0.01473	0.75	2730	28	4.84	0.03	0.010	37
1284-02a1_32	285	181	18.83018	0.57391	0.58213	0.01560	0.73	3049	27	10.48	0.00	0.009	42
1284-02a1_33	495	384	18.01572	0.80165	0.56698	0.02357	0.86	3031	32	8.94	0.00	0.011	27
1284-02a1_34	369	135	16.13087	0.54580	0.54301	0.01709	0.77	2909	29	12.14	0.00	0.010	40
1284-02a1_35	125	66	20.11628	0.71122	0.61587	0.02042	0.80	3098	29	0.01	0.90	0.009	44
1284-02a1_36	224	80	18.53607	0.58691	0.59273	0.01794	0.65	3021	30	0.37	0.55	0.010	39
1284-02a1_37	161	52	17.42215	0.61643	0.58750	0.01842	0.55	2957	34	0.44	0.51	0.012	34
1284-02a1_38	454	388	14.90814	0.69944	0.53524	0.02591	0.63	2815	43	1.09	0.30	0.015	36
1284-02a1_39	299	188	15.41524	0.56196	0.54711	0.01663	0.60	2843	35	1.02	0.31	0.012	44
1284-02a1_40	266	283	15.00138	0.66268	0.54597	0.02150	0.67	2816	41	0.04	0.84	0.015	39
1284-02a1_41	201	124	14.63859	0.46575	0.53803	0.01611	0.66	2795	29	0.41	0.52	0.010	47
1284-02a1_42	173	78	14.39289	0.72477	0.51087	0.02511	0.71	2800	44	8.43	0.00	0.016	41
1284-02a1_43	535	244	14.39995	0.46731	0.53265	0.01867	0.61	2779	30	0.54	0.46	0.011	43

Numéro d'analyse	[U] (ppm)	[Th] (ppm)	207Pb/ 235Uc	2 sigma	206Pb/ 238U	2 sigma	Corré-lation d'erreur	Age Concordia (Ma)	A priori erreur de 2σ	MSWD	Probabilité-de-concordance (rej <.15)	Erreur/ âge (rej >0.40)	Nombres de balayages concordants (rej <5)
1284-02a1_44	361	54	8.44011	0.24993	0.40838	0.01167	0.59	2284	27	11.11	0.00	0.012	41
1284-02a1_45	140	84	16.89511	0.99986	0.55997	0.03118	0.88	2957	41	2.25	0.13	0.014	33
1284-02a1_46	122	192	13.22123	1.19828	0.49253	0.03885	0.73	2720	80	3.62	0.06	0.029	5
1284-02a1_47	454	253	15.44135	0.70114	0.53821	0.02407	0.59	2849	42	2.61	0.11	0.015	25
1284-02a1_48	214	200	15.06400	0.52802	0.54049	0.01660	0.77	2828	31	1.91	0.17	0.011	42
1284-02a1_49	236	156	14.76105	0.55419	0.52314	0.01715	0.72	2818	34	11.08	0.00	0.012	10
1284-02a1_50	893	506	15.77024	0.98348	0.53826	0.03562	0.66	2877	56	2.17	0.14	0.019	6
1284-02a1_51	420	322	17.44147	0.54099	0.57972	0.01637	0.76	2963	27	0.24	0.62	0.009	45
1284-02a1_52	282	160	19.28722	0.53500	0.60080	0.01356	0.75	3062	25	1.40	0.24	0.008	44
1284-02a1_53	289	226	14.48700	0.37479	0.53474	0.01111	0.71	2786	24	1.46	0.23	0.009	42
1284-02a1_54	522	149	17.29656	0.46272	0.58655	0.01346	0.74	2946	24	1.44	0.23	0.008	40
1284-02a1_55	1178.239	1052	12.08185	2.272975	0.4762236	0.08656531	0.7587234	2638	157	0.56	0.45	0.059	1
1284-02a1_56	217	53	14.80561	0.40334	0.52694	0.01208	0.65	2811	26	14.16	0.00	0.009	45
1284-02a1_57	0	0	0	0	0	0	0	#VALUE!	#VALUE!	#VALUE!	#VALUE!	#VALUE!	0
1284-02a1_58	734	42	7.49733	0.20086	0.39714	0.00913	0.66	2174	24	1.10	0.30	0.011	29
1284-02a1_59	285	54	15.37708	0.38672	0.54752	0.01090	0.65	2841	24	1.86	0.17	0.008	46
1284-02a1_60	218	50	15.99403	0.48674	0.56031	0.01471	0.69	2878	28	0.14	0.71	0.010	40
1284-02a1_61	87	40	17.64562	0.64537	0.58355	0.01871	0.74	2972	33	0.07	0.79	0.011	24
1284-02a1_62	124	211	12.98246	0.40018	0.50400	0.01175	0.61	2679	29	5.61	0.02	0.011	37
1284-02a1_63	0	0	0	0	0	0	0	#VALUE!	#VALUE!	#VALUE!	#VALUE!	#VALUE!	0
1284-02a1_64	111	82	14.82810	0.49658	0.53551	0.01441	0.57	2805	32	2.54	0.11	0.011	29
1284-02a1_65	353	107	16.64098	0.42309	0.57286	0.01241	0.66	2914	24	0.07	0.79	0.008	44
1284-02a1_66	160	116	15.16557	0.42437	0.53749	0.01349	0.73	2837	25	6.43	0.01	0.009	43
1284-02a1_67	0	0	0	0	0	0	0	#VALUE!	#VALUE!	#VALUE!	#VALUE!	#VALUE!	0
1284-02a1_68	333	12	6.47590	0.16687	0.36677	0.00775	0.67	2044	23	4.35	0.04	0.011	45
1284-02a1_69	1618	2161	13.42270	3.09638	0.49212	0.10063	0.45	2705	219	0.46	0.50	0.081	40
1284-02a1_70	245	156	14.59781	0.39819	0.52977	0.01171	0.69	2797	25	7.11	0.01	0.009	45
1284-02a1_71	357	237	16.43261	0.46024	0.55966	0.01340	0.66	2907	26	3.01	0.08	0.009	44
1284-02a1_72	174.0483	69.84489	20.10125	1.955366	0.6280512	0.0466488	0.4681877	3097	94	0.31	0.58	0.030	4
1284-02a1_73	314	122	17.41426	0.52038	0.58896	0.01376	0.67	2954	29	1.63	0.20	0.010	39
1284-02a1_74	175	100	18.19664	0.53852	0.58063	0.01434	0.60	3004	28	4.25	0.04	0.009	41
1284-02a1_75	199	152	14.84712	0.47976	0.53631	0.01611	0.75	2815	28	2.34	0.13	0.010	36
1284-02a1_76	450	104	16.30598	0.71874	0.53512	0.02174	0.73	2925	38	15.79	0.00	0.013	44
1284-02a1_77	56	39	18.01592	0.61107	0.58245	0.01646	0.64	2994	32	1.46	0.23	0.011	39
1284-02a1_78	98	46	15.88425	0.47894	0.55170	0.01285	0.62	2872	29	3.15	0.08	0.010	43
1284-02a1_79	136	127	19.18105	0.67405	0.59381	0.01701	0.69	3059	33	3.21	0.07	0.011	47
1284-02a1_80	1036.476	739.7726	0	0	0	0	0	#VALUE!	#VALUE!	#VALUE!	#VALUE!	#VALUE!	0
1284-02a1_81	807	413	14.59802	0.42978	0.53206	0.01412	0.75	2799	26	3.36	0.07	0.009	30
1284-02a1_82	126	132	15.38592	0.53438	0.53529	0.01588	0.70	2852	32	9.32	0.00	0.011	30
1284-02a1_83	453	216	15.55385	0.43038	0.56658	0.01343	0.72	2841	26	4.62	0.03	0.009	47
1284-02a1_84	664.0799	1448.162	14.63721	2.079306	0.538326	0.07361743	0.9082361	2800	89	0.03	0.87	0.032	3
1284-02a1_85	202	121	15.16477	0.47160	0.54492	0.01489	0.79	2832	27	1.02	0.31	0.009	39
1284-02a1_86	242	212	15.60852	0.53084	0.55094	0.01609	0.74	2859	31	1.00	0.32	0.011	45
1284-02a1_87	255	167	16.85387	0.54848	0.55755	0.01516	0.69	2938	30	8.83	0.00	0.010	38
1284-02a1_88	640	51	23.89776	1.82549	0.62262	0.04601	0.82	3312	58	5.08	0.02	0.017	15
1284-02a1_89	160	51	12.19175	1.29021	0.48273	0.05159	0.86	2653	74	1.18	0.28	0.028	35
1284-02a1_90	136	86	17.40781	0.48068	0.56943	0.01304	0.67	2964	26	6.42	0.01	0.009	44
1284-02a1_91	291	215	14.84729	0.53499	0.54402	0.01677	0.76	2807	32	0.05	0.83	0.011	39
1284-02a1_92	100	44	15.54900	0.52310	0.55476	0.01456	0.67	2850	32	0.04	0.84	0.011	45

Numéro d'analyse	[U] (ppm)	[Th] (ppm)	207Pb/ 235Uc	2 sigma	206Pb/ 238U	2 sigma	Corré-lation d'erreur	Age Concordia (Ma)	A priori erreur de 2σ	MSWD	Probabilité-de-concordance (rej <.15)	Erreur/ âge (rej >0.40)	Nombres de balayages concordants (rej <5)
1284-02a1_93	294	192	13.61016	0.41003	0.51751	0.01352	0.73	2730	27	2.74	0.10	0.010	44
1284-02a1_94	161	116	13.23505	0.42973	0.51206	0.01408	0.68	2701	30	1.90	0.17	0.011	43
1284-02a1_95	512	237	10.44892	0.41101	0.45479	0.01631	0.84	2499	31	6.49	0.01	0.012	32
1284-02a1_96	162	58	15.49165	0.53276	0.55371	0.01664	0.80	2848	29	0.05	0.82	0.010	41
1284-02a1_97	133	122	15.90934	0.59529	0.55917	0.01877	0.83	2874	30	0.10	0.75	0.011	43
1284-02a1_98	138	42	18.90663	0.88173	0.59143	0.02543	0.84	3053	36	1.44	0.23	0.012	33
1284-02a1_99	320	279	13.54093	0.42217	0.51914	0.01403	0.78	2725	27	1.22	0.27	0.010	40
1284-02a1_100	294	207	19.69558	0.56061	0.61321	0.01511	0.77	3075	25	0.08	0.77	0.008	33
1284-02a1_101	186	135	15.81335	0.48619	0.54921	0.01426	0.75	2876	27	4.33	0.04	0.010	41
1284-02a1_102	70.29996	65.67941	14.79979	2.005467	0.525723	0.06458703	0.7750397	2826	114	0.69	0.41	0.040	2
1284-02a1_103	108	110	16.20683	0.45100	0.56609	0.01362	0.69	2889	26	0.02	0.90	0.009	41
1284-02a1_104	435	235	12.94805	0.37933	0.49990	0.01241	0.76	2691	26	11.33	0.00	0.010	32
1284-02a1_105	439	171	23.03208	0.64696	0.64719	0.01547	0.73	3231	26	0.24	0.62	0.008	44
1284-02a1_106	291.5525	127.1059	9.57303	1.642256	0.4393588	0.06199748	0.5989545	2396	157	0.18	0.67	0.066	2
1284-02a1_107	40	16	15.07549	0.54313	0.53733	0.01515	0.61	2823	34	3.58	0.06	0.012	43
1284-02a1_108	110	49	15.33161	0.53870	0.55287	0.01656	0.77	2836	31	0.00	0.97	0.011	41
1284-02a1_109	460	119	15.90769	0.49251	0.55592	0.01507	0.72	2876	28	0.87	0.35	0.010	35
1284-02a1_110	180	80	18.34540	0.56400	0.57736	0.01458	0.74	3024	28	10.73	0.00	0.009	40
1284-02a1_111	237	241	14.29243	0.40415	0.54419	0.01300	0.69	2764	26	2.37	0.12	0.010	41
1284-02a1_112	458	196	15.82249	0.46544	0.55636	0.01367	0.73	2869	27	0.50	0.48	0.009	36
1284-02a1_113	289	328	14.78130	0.56086	0.53337	0.01860	0.79	2815	32	2.81	0.09	0.011	29
1284-02a1_114	186	47	17.61252	0.61380	0.58655	0.01839	0.81	2967	29	0.07	0.80	0.010	41
1284-02a1_115	318	289	15.33008	0.52865	0.54022	0.01603	0.76	2849	30	4.75	0.03	0.011	43
1284-02a1_116	105	67	17.67775	0.52440	0.57880	0.01470	0.73	2979	27	1.68	0.19	0.009	44
1284-02a1_117	507	347	15.63124	0.53908	0.54211	0.01700	0.74	2869	30	5.84	0.02	0.011	28
1284-02a1_118	175	80	16.71139	0.50042	0.56350	0.01507	0.74	2927	27	2.71	0.10	0.009	44
1284-02a1_119	820	804	17.63189	0.53113	0.59125	0.01497	0.75	2964	27	1.26	0.26	0.009	42
1284-02a1_120	485	175	14.78475	0.54927	0.52767	0.01798	0.79	2823	31	7.10	0.01	0.011	28
CT07RIM37-1		**1284-03**											
1284-03a1_1	183.4294	84.84958	0	0	0	0	0	#VALUE!	#VALUE!	#VALUE!	#VALUE!	#VALUE!	0
1284-03a1_2	1342.738	1313.974	0	0	0	0	0	#VALUE!	#VALUE!	#VALUE!	#VALUE!	#VALUE!	0
1284-03a1_3	108	76	0.86416	0.03713	0.10372	0.00228	0.32	635	13	0.14	0.71	0.020	36
1284-03a1_4	564.8757	277.5861	0	0	0	0	0	#VALUE!	#VALUE!	#VALUE!	#VALUE!	#VALUE!	0
1284-03a1_5	199.6981	96.24836	7.079718	0.5902998	0.3714916	0.02665103	0.5894547	2121	74	2.86	0.09	0.035	2
1284-03a1_6	119	35	0.75726	0.03843	0.09017	0.00200	0.29	559	11	2.08	0.15	0.021	41
1284-03a1_7	180	57	6.63680	0.18934	0.36866	0.00902	0.73	2071	25	7.73	0.01	0.012	24
1284-03a1_8	54	19	6.76196	0.24619	0.36721	0.01066	0.62	2079	32	10.69	0.00	0.016	38
1284-03a1_9	0	0	0	0	0	0	0	#VALUE!	#VALUE!	#VALUE!	#VALUE!	#VALUE!	0
1284-03a1_10	65.18685	26.13471	7.083759	0.815698	0.3828557	0.0400659	0.690031	2127	100	0.22	0.64	0.047	4
1284-03a1_11	318.7815	290.7744	0	0	0	0	0	#VALUE!	#VALUE!	#VALUE!	#VALUE!	#VALUE!	0
1284-03a1_12	147	39	6.78700	0.19894	0.37256	0.00954	0.63	2086	26	5.90	0.02	0.012	35
1284-03a1_13	121	58	6.81706	0.95100	0.36210	0.03090	0.40	2050	113	1.63	0.20	0.055	6
1284-03a1_14	415.2768	110.8578	0	0	0	0	0	#VALUE!	#VALUE!	#VALUE!	#VALUE!	#VALUE!	0
1284-03a1_15	457.692	227.0065	0	0	0	0	0	#VALUE!	#VALUE!	#VALUE!	#VALUE!	#VALUE!	0
1284-03a1_16	215.9912	136.1681	0	0	0	0	0	#VALUE!	#VALUE!	#VALUE!	#VALUE!	#VALUE!	0
1284-03a1_17	156	71	7.18807	0.21946	0.39153	0.01107	0.75	2136	26	0.08	0.78	0.012	36
1284-03a1_18	786.7122	460.1895	0	0	0	0	0	#VALUE!	#VALUE!	#VALUE!	#VALUE!	#VALUE!	0
1284-03a1_19	0	0	0	0	0	0	0	#VALUE!	#VALUE!	#VALUE!	#VALUE!	#VALUE!	0
1284-03a1_20	0	0	0	0	0	0	0	#VALUE!	#VALUE!	#VALUE!	#VALUE!	#VALUE!	0

Numéro d'analyse	[U] (ppm)	[Th] (ppm)	207Pb/ 235Uc	2 sigma	206Pb/ 238U	2 sigma	Corré-lation d'erreur	Age Concordia (Ma)	A priori erreur de 2σ	MSWD	Probabilité-de-concordance (rej <.15)	Erreur/ âge (rej >0.40)	Nombres de balayages concordants (rej <5)
1284-03a1_21	0	0	0	0	0	0	0	#VALUE!	#VALUE!	#VALUE!	#VALUE!	#VALUE!	0
1284-03a1_22	349.4852	243.0484	0	0	0	0	0	#VALUE!	#VALUE!	#VALUE!	#VALUE!	#VALUE!	0
1284-03a1_23	122	50	6.94023	0.22940	0.38255	0.01154	0.74	2107	28	0.68	0.41	0.013	18
1284-03a1_24	113	43	7.05832	0.35523	0.38154	0.01523	0.65	2119	45	1.73	0.19	0.021	13
1284-03a1_25	124	82	6.73809	0.18175	0.37589	0.00944	0.73	2082	23	1.70	0.19	0.011	35
1284-03a1_26	150	54	7.28423	0.24796	0.39320	0.01122	0.62	2147	31	0.20	0.65	0.014	32
1284-03a1_27	225.8619	94.74957	6.073475	0.85294	0.3431195	0.04310959	0.8150619	2016	111	1.77	0.18	0.055	1
1284-03a1_28	98	40	7.42208	0.38352	0.39616	0.01945	0.89	2170	36	0.21	0.65	0.017	24
1284-03a1_29	41	18	7.00466	0.27919	0.38379	0.01045	0.56	2109	35	0.76	0.38	0.017	45
1284-03a1_30	143	48	6.71481	0.21046	0.36873	0.01053	0.76	2087	26	9.15	0.00	0.013	40
1284-03a1_31	84	35	7.17424	0.27664	0.39385	0.01288	0.68	2133	34	0.11	0.74	0.016	27
1284-03a1_32	0	0	0	0	0	0	0	#VALUE!	#VALUE!	#VALUE!	#VALUE!	#VALUE!	0
1284-03a1_33	234.1505	255.1934	7.041574	0.6945198	0.3712659	0.03267561	0.6739534	2125	86	2.04	0.15	0.041	2
1284-03a1_34	0	0	0	0	0	0	0	#VALUE!	#VALUE!	#VALUE!	#VALUE!	#VALUE!	0
1284-03a1_35	125	81	6.53117	0.18687	0.36774	0.00926	0.59	2050	25	3.17	0.07	0.012	44
1284-03a1_36	319.0227	229.8799	0	0	0	0	0	#VALUE!	#VALUE!	#VALUE!	#VALUE!	#VALUE!	0
1284-03a1_37	108	49	6.78992	0.21791	0.37500	0.01006	0.66	2086	28	3.14	0.08	0.014	37
1284-03a1_38	0	0	0	0	0	0	0	#VALUE!	#VALUE!	#VALUE!	#VALUE!	#VALUE!	0
1284-03a1_39	0	0	0	0	0	0	0	#VALUE!	#VALUE!	#VALUE!	#VALUE!	#VALUE!	0
1284-03a1_40	0	0	0	0	0	0	0	#VALUE!	#VALUE!	#VALUE!	#VALUE!	#VALUE!	0
1284-03a1_41	162.4495	133.6693	0	0	0	0	0	#VALUE!	#VALUE!	#VALUE!	#VALUE!	#VALUE!	0
1284-03a1_42	0	0	0	0	0	0	0	#VALUE!	#VALUE!	#VALUE!	#VALUE!	#VALUE!	0
1284-03a1_43	95	53	6.79534	0.46884	0.36911	0.02202	0.71	2093	60	2.64	0.10	0.029	15
1284-03a1_44	42	17	6.79524	0.33611	0.36899	0.01301	0.63	2078	44	6.37	0.01	0.021	39
1284-03a1_45	73	25	6.72562	0.19946	0.37517	0.00909	0.61	2076	26	1.74	0.19	0.013	42
1284-03a1_46	93	40	6.81191	0.22344	0.37253	0.01104	0.65	2091	29	5.39	0.02	0.014	44
1284-03a1_47	0	0	0	0	0	0	0	#VALUE!	#VALUE!	#VALUE!	#VALUE!	#VALUE!	0
1284-03a1_48	104	73	10.06247	0.38745	0.45693	0.01546	0.75	2444	34	0.37	0.55	0.014	22
1284-03a1_49	224	98	0.80928	0.03129	0.09591	0.00219	0.47	593	12	2.05	0.15	0.021	34
1284-03a1_50	73	31	7.23282	0.23667	0.39189	0.01072	0.59	2141	29	0.20	0.65	0.014	44
1284-03a1_51	82.15672	142.2822	7.606263	0.7169643	0.3871602	0.0256561	0.6218983	2177	85	2.63	0.10	0.039	4
1284-03a1_52	103	69	6.12699	0.35831	0.35018	0.01722	0.64	1995	51	3.44	0.06	0.026	17
1284-03a1_53	472.6247	683.1696	0	0	0	0	0	#VALUE!	#VALUE!	#VALUE!	#VALUE!	#VALUE!	0
1284-03a1_54	113.2616	39.50628	8.347637	1.905773	0.4004376	0.08301598	0.7411596	2291	194	0.55	0.46	0.085	2
1284-03a1_55	0	0	0	0	0	0	0	#VALUE!	#VALUE!	#VALUE!	#VALUE!	#VALUE!	0
1284-03a1_56	57	48	6.92443	0.21990	0.37495	0.00932	0.53	2096	28	6.87	0.01	0.013	43
1284-03a1_57	286.4132	249.3514	0	0	0	0	0	#VALUE!	#VALUE!	#VALUE!	#VALUE!	#VALUE!	0
1284-03a1_58	0	0	0	0	0	0	0	#VALUE!	#VALUE!	#VALUE!	#VALUE!	#VALUE!	0
1284-03a1_59	112	67	6.26916	0.70557	0.34046	0.01717	0.32	1929	74	5.27	0.02	0.039	13
1284-03a1_60	78	30	6.81387	0.33032	0.37371	0.01645	0.79	2100	40	2.61	0.11	0.019	24
1284-03a1_61	0	0	0	0	0	0	0	#VALUE!	#VALUE!	#VALUE!	#VALUE!	#VALUE!	0
1284-03a1_62	53.59843	18.9171	7.924654	4.961908	0.4486023	0.251464	0.8410258	2154	520	0.21	0.64	0.241	2
1284-03a1_63	541.5814	651.77	0	0	0	0	0	#VALUE!	#VALUE!	#VALUE!	#VALUE!	#VALUE!	0
1284-03a1_64	316.4493	177.5806	0	0	0	0	0	#VALUE!	#VALUE!	#VALUE!	#VALUE!	#VALUE!	0
1284-03a1_65	30	13	6.46103	0.25014	0.36637	0.01115	0.64	2040	34	1.95	0.16	0.017	40
1284-03a1_66	275.0403	136.4292	0	0	0	0	0	#VALUE!	#VALUE!	#VALUE!	#VALUE!	#VALUE!	0
1284-03a1_67	102.8626	35.44349	6.583518	1.872988	0.334334	0.08721365	0.8884177	2177	180	3.00	0.08	0.083	2
1284-03a1_68	79	36	6.50335	0.29656	0.37103	0.01176	0.53	2044	39	0.25	0.62	0.019	23
1284-03a1_69	458.7883	379.5637	1.890434	0.5708067	0.1765105	0.03952563	0.6015632	1065	187	0.10	0.75	0.176	1

Numéro d'analyse	[U] (ppm)	[Th] (ppm)	207Pb/ 235Uc	2 sigma	206Pb/ 238U	2 sigma	Corré-lation d'erreur	Age Concordia (Ma)	A priori erreur de 2σ	MSWD	Probabilité-de-concordance (rej <.15)	Erreur/ âge (rej >0.40)	Nombres de balayages concordants (rej <5)
1284-03a1_70	139.8793	69.98442	6.808475	0.8717369	0.3763103	0.03912098	0.6740244	2088	113	0.17	0.68	0.054	2
1284-03a1_71	349.9134	269.1047	0	0	0	0	0	#VALUE!	#VALUE!	#VALUE!	#VALUE!	#VALUE!	0
1284-03a1_72	0	0	0	0	0	0	0	#VALUE!	#VALUE!	#VALUE!	#VALUE!	#VALUE!	0
1284-03a1_73	333.9023	200.0045	0	0	0	0	0	#VALUE!	#VALUE!	#VALUE!	#VALUE!	#VALUE!	0
1284-03a1_74	45	20	7.07648	0.24297	0.38323	0.00998	0.63	2120	31	2.68	0.10	0.014	42
1284-03a1_75	71	37	0.90378	0.05394	0.10228	0.00237	0.22	631	13	3.13	0.08	0.021	41
1284-03a1_76	146.5562	48.13676	5.422507	1.049875	0.340946	0.04324281	0.5687271	1889	160	0.00	0.97	0.085	1
1284-03a1_77	0	0	0	0	0	0	0	#VALUE!	#VALUE!	#VALUE!	#VALUE!	#VALUE!	0
1284-03a1_78	0	0	0	0	0	0	0	#VALUE!	#VALUE!	#VALUE!	#VALUE!	#VALUE!	0
1284-03a1_79	109	47	7.32648	0.39198	0.38735	0.01689	0.62	2152	48	1.83	0.18	0.022	8
1284-03a1_80	408.2605	209.4895	0	0	0	0	0	#VALUE!	#VALUE!	#VALUE!	#VALUE!	#VALUE!	0
1284-03a1_81	378.2415	316.3047	0	0	0	0	0	#VALUE!	#VALUE!	#VALUE!	#VALUE!	#VALUE!	0
1284-03a1_82	62.75848	35.1708	6.761685	1.536367	0.3399532	0.05967018	0.5548036	2044	203	2.61	0.11	0.099	2
1284-03a1_83	101	80	6.85468	0.36910	0.37785	0.01765	0.78	2100	45	0.95	0.33	0.022	25
1284-03a1_84	231	67	6.54484	0.37856	0.36303	0.01759	0.74	2061	50	3.81	0.05	0.024	5
1284-03a1_85	0	0	0	0	0	0	0	#VALUE!	#VALUE!	#VALUE!	#VALUE!	#VALUE!	0
1284-03a1_86	0	0	0	0	0	0	0	#VALUE!	#VALUE!	#VALUE!	#VALUE!	#VALUE!	0
1284-03a1_87	454	283	6.52621	0.52528	0.36820	0.02827	0.86	2063	59	0.50	0.48	0.029	5
1284-03a1_88	45	25	6.89808	0.52988	0.38623	0.02777	0.88	2095	55	0.03	0.86	0.026	24
1284-03a1_89	78.4929	43.71873	7.09707	1.716406	0.3454747	0.07351615	0.7081098	2146	209	2.93	0.09	0.097	2
1284-03a1_90	138	98	7.12303	0.46501	0.37742	0.02257	0.85	2156	49	3.89	0.05	0.023	12
1284-03a1_91	275.3154	203.1654	0	0	0	0	0	#VALUE!	#VALUE!	#VALUE!	#VALUE!	#VALUE!	0
1284-03a1_92	137	84	6.89129	0.34003	0.38161	0.01647	0.80	2102	41	0.31	0.58	0.019	20
1284-03a1_93	168.5415	162.5759	0	0	0	0	0	#VALUE!	#VALUE!	#VALUE!	#VALUE!	#VALUE!	0
1284-03a1_94	270	76	2.29450	0.08059	0.19827	0.00625	0.59	1203	25	10.50	0.00	0.020	32
1284-03a1_95	321.1293	125.487	0	0	0	0	0	#VALUE!	#VALUE!	#VALUE!	#VALUE!	#VALUE!	0
1284-03a1_96	108	45	7.60665	0.25157	0.40785	0.01194	0.67	2183	30	0.87	0.35	0.014	32
1284-03a1_97	0	0	0	0	0	0	0	#VALUE!	#VALUE!	#VALUE!	#VALUE!	#VALUE!	0
1284-03a1_98	454.5022	128.5596	0	0	0	0	0	#VALUE!	#VALUE!	#VALUE!	#VALUE!	#VALUE!	0
1284-03a1_99	82	34	6.58836	0.38723	0.36993	0.02047	0.75	2065	49	0.74	0.39	0.024	24
1284-03a1_100	0	0	0	0	0	0	0	#VALUE!	#VALUE!	#VALUE!	#VALUE!	#VALUE!	0
1284-03a1_101	388.4047	178.0303	0	0	0	0	0	#VALUE!	#VALUE!	#VALUE!	#VALUE!	#VALUE!	0
1284-03a1_102	117	118	9.56963	0.35679	0.43699	0.01402	0.48	2391	34	4.29	0.04	0.014	18
1284-03a1_103	341.7389	153.0045	0	0	0	0	0	#VALUE!	#VALUE!	#VALUE!	#VALUE!	#VALUE!	0
1284-03a1_104	171	63	6.96420	0.20022	0.37641	0.00913	0.67	2110	26	8.74	0.00	0.012	32
1284-03a1_105	506.9127	292.2267	0	0	0	0	0	#VALUE!	#VALUE!	#VALUE!	#VALUE!	#VALUE!	0
1284-03a1_106	73	45	9.12279	0.98237	0.41250	0.03750	0.74	2376	93	4.52	0.03	0.039	5
1284-03a1_107	117	47	6.08879	0.50489	0.34154	0.02397	0.74	2002	71	5.83	0.02	0.035	5
1284-03a1_108	90	44	7.01138	0.23193	0.37979	0.00959	0.57	2110	29	4.13	0.04	0.014	42
1284-03a1_109	99	46	6.42511	0.29103	0.35677	0.01238	0.67	2034	40	9.94	0.00	0.020	26
1284-03a1_110	0	0	0	0	0	0	0	#VALUE!	#VALUE!	#VALUE!	#VALUE!	#VALUE!	0
1284-03a1_111	474.5262	346.7681	0	0	0	0	0	#VALUE!	#VALUE!	#VALUE!	#VALUE!	#VALUE!	0
1284-03a1_112	37	17	6.61467	0.26043	0.36902	0.01063	0.64	2059	35	3.61	0.06	0.017	41
1284-03a1_113	81	27	7.51446	0.26745	0.40356	0.01024	0.58	2176	32	0.31	0.58	0.015	35
1284-03a1_114	100	50	6.91603	0.19299	0.38524	0.00825	0.61	2101	25	0.00	1.00	0.012	45
1284-03a1_115	125	96	6.88414	0.21876	0.38043	0.01111	0.74	2101	27	1.01	0.31	0.013	32
1284-03a1_116	380	172	0.54971	0.01820	0.07113	0.00172	0.62	444	10	0.14	0.71	0.022	34
1284-03a1_117	0	0	0	0	0	0	0	#VALUE!	#VALUE!	#VALUE!	#VALUE!	#VALUE!	0
1284-03a1_118	249	272	0.75818	0.03345	0.09097	0.00188	0.32	563	11	1.52	0.22	0.019	47

Numéro d'analyse	[U] (ppm)	[Th] (ppm)	207Pb/ 235Uc	2 sigma	206Pb/ 238U	2 sigma	Corré-lation d'erreur	Age Concordia (Ma)	A priori erreur de 2σ	MSWD	Probabilité-de-concordance (rej <.15)	Erreur/ âge (rej >0.40)	Nombres de balayages concordants (rej <5)
1284-03a1_119	52	45	7.17648	0.29593	0.40159	0.01168	0.56	2138	36	3.60	0.06	0.017	47
1284-03a1_120	95	48	6.44014	0.19790	0.36047	0.00873	0.53	2031	27	9.00	0.00	0.013	39
GB07RIM63a Ghabra		**1284-09**											
1284-09a1_1	0	0	0	0	0	0	0	#VALUE!	#VALUE!	#VALUE!	#VALUE!	#VALUE!	0
1284-09a1_2	101	121	6.34227	0.18071	0.36775	0.00761	0.52	2023	25	0.12	0.73	0.012	42
1284-09a1_3	150	48	12.57533	0.59893	0.50183	0.02251	0.76	2656	41	0.60	0.44	0.015	14
1284-09a1_4	213	102	3.90701	0.11989	0.27702	0.00723	0.51	1609	25	5.89	0.02	0.015	42
1284-09a1_5	51	47	0.74357	0.06459	0.08838	0.00272	0.18	548	16	0.93	0.34	0.029	47
1284-09a1_6	81	82	6.93892	0.22508	0.37579	0.00965	0.62	2102	29	6.96	0.01	0.014	42
1284-09a1_7	170	88	2.33615	0.06254	0.20801	0.00441	0.61	1222	19	0.28	0.59	0.015	43
1284-09a1_8	133	56	1.99421	0.06217	0.18844	0.00343	0.41	1113	17	0.00	0.95	0.015	45
1284-09a1_9	84	65	6.83168	0.19415	0.38129	0.00746	0.58	2089	25	0.27	0.60	0.012	41
1284-09a1_10	36	51	15.43575	0.54530	0.55276	0.01416	0.58	2843	34	0.06	0.81	0.012	44
1284-09a1_11	0	0	0	0	0	0	0	#VALUE!	#VALUE!	#VALUE!	#VALUE!	#VALUE!	0
1284-09a1_12	153	77	6.44771	0.17362	0.36579	0.00843	0.70	2042	24	4.08	0.04	0.012	41
1284-09a1_13	179	70	2.26312	0.07223	0.20291	0.00391	0.45	1195	18	0.76	0.38	0.015	45
1284-09a1_14	138	31	2.91597	0.07737	0.23825	0.00484	0.57	1384	19	0.62	0.43	0.014	47
1284-09a1_15	201	78	3.40456	0.08434	0.26019	0.00430	0.49	1500	18	1.90	0.17	0.012	44
1284-09a1_16	193	158	3.80266	0.15460	0.27419	0.00881	0.68	1591	33	3.63	0.06	0.021	12
1284-09a1_17	209	208	5.06866	0.12906	0.32455	0.00568	0.49	1826	21	2.20	0.14	0.011	45
1284-09a1_18	0	0	0	0	0	0	0	#VALUE!	#VALUE!	#VALUE!	#VALUE!	#VALUE!	0
1284-09a1_19	47	43	0.88420	0.05744	0.10744	0.00273	0.27	656	15	0.91	0.34	0.023	45
1284-09a1_20	143	87	4.59197	0.12202	0.31153	0.00618	0.58	1748	22	0.00	0.97	0.013	45
1284-09a1_21	195	132	0.80025	0.02910	0.09727	0.00178	0.35	598	10	0.03	0.86	0.017	41
1284-09a1_22	112	61	2.14462	0.07364	0.19729	0.00475	0.43	1162	21	0.04	0.85	0.018	38
1284-09a1_23	212	240	4.65763	0.13204	0.30680	0.00687	0.52	1754	23	5.48	0.02	0.013	40
1284-09a1_24	92	163	4.99619	0.16344	0.32038	0.00724	0.55	1812	27	3.07	0.08	0.015	43
1284-09a1_25	409	151	3.39417	0.08015	0.26096	0.00508	0.65	1502	19	0.70	0.40	0.012	42
1284-09a1_26	127	114	0.80354	0.06919	0.09592	0.00244	0.16	591	14	0.18	0.67	0.024	31
1284-09a1_27	97	46	1.42787	0.05808	0.14459	0.00315	0.36	878	17	5.99	0.01	0.019	45
1284-09a1_28	49	15	2.38278	0.10851	0.20729	0.00575	0.44	1224	27	1.89	0.17	0.022	47
1284-09a1_29	312	439	0.78729	0.02845	0.09425	0.00195	0.38	583	11	1.28	0.26	0.019	45
1284-09a1_30	87	28	2.26941	0.08326	0.20382	0.00438	0.46	1199	21	0.29	0.59	0.017	47
1284-09a1_31	0	0	0	0	0	0	0	#VALUE!	#VALUE!	#VALUE!	#VALUE!	#VALUE!	0
1284-09a1_32	93	83	4.74537	0.15315	0.30952	0.00720	0.59	1768	27	6.38	0.01	0.015	41
1284-09a1_33	209	160	2.09694	0.07167	0.19597	0.00412	0.49	1151	20	0.26	0.61	0.017	45
1284-09a1_34	210	259	0.80720	0.04930	0.09303	0.00331	0.44	579	19	4.37	0.04	0.032	28
1284-09a1_35	179	78	1.77316	0.07103	0.16735	0.00392	0.46	1004	20	9.36	0.00	0.020	39
1284-09a1_36	133	33	3.07879	0.13608	0.23898	0.00839	0.57	1417	33	6.26	0.01	0.023	18
1284-09a1_37	69	32	2.41834	0.10248	0.21425	0.00488	0.40	1250	23	0.05	0.83	0.019	42
1284-09a1_38	60	32	1.42257	0.07855	0.14759	0.00422	0.41	890	23	0.48	0.49	0.025	44
1284-09a1_39	320	407	0.82347	0.02409	0.09927	0.00198	0.44	610	11	0.00	0.98	0.017	45
1284-09a1_40	182	75	3.37134	0.10032	0.26157	0.00557	0.47	1498	22	0.00	0.99	0.014	47
1284-09a1_41	198	183	6.35826	0.18342	0.36656	0.00924	0.73	2029	25	0.76	0.38	0.012	45
1284-09a1_42	35	16	2.25740	0.10115	0.20891	0.00580	0.35	1211	26	1.81	0.18	0.021	40
1284-09a1_43	87	50	7.61541	0.21248	0.40194	0.00870	0.63	2187	25	0.31	0.58	0.012	44
1284-09a1_44	77	26	2.30445	0.08518	0.20566	0.00578	0.60	1211	25	0.38	0.54	0.021	41
1284-09a1_45	59	28	5.02927	0.61013	0.30884	0.00999	0.22	1744	48	2.77	0.10	0.028	30
1284-09a1_46	523.4785	215.7257	0	0	0	0	0	#VALUE!	#VALUE!	#VALUE!	#VALUE!	#VALUE!	0

Numéro d'analyse	[U] (ppm)	[Th] (ppm)	207Pb/ 235Uc	2 sigma	206Pb/ 238U	2 sigma	Corré-lation d'erreur	Age Concordia (Ma)	A priori erreur de 2σ	MSWD	Probabilité-de-concordance (rej <.15)	Erreur/ âge (rej >0.40)	Nombres de balayages concordants (rej <5)
1284-09a1_47	59	23	2.16316	0.10562	0.19368	0.00488	0.25	1150	23	2.21	0.14	0.020	46
1284-09a1_48	64	47	0.82397	0.05252	0.10026	0.00230	0.20	615	13	0.15	0.70	0.021	45
1284-09a1_49	213	53	2.77392	0.06745	0.22794	0.00461	0.63	1345	18	6.72	0.01	0.013	36
1284-09a1_50	107	44	2.11607	0.07455	0.19127	0.00440	0.42	1140	20	3.93	0.05	0.018	45
1284-09a1_51	205	109	2.64132	0.07778	0.22257	0.00479	0.47	1306	20	1.86	0.17	0.015	43
1284-09a1_52	47	18	4.74436	0.18563	0.31471	0.00917	0.54	1773	32	0.34	0.56	0.018	46
1284-09a1_53	127	41	0.79019	0.04692	0.09465	0.00223	0.27	584	13	0.40	0.53	0.022	43
1284-09a1_54	966	359	2.23773	0.05082	0.20239	0.00355	0.58	1192	15	0.34	0.56	0.013	47
1284-09a1_55	218	100	3.40351	0.09634	0.26626	0.00602	0.66	1507	22	2.05	0.15	0.015	45
1284-09a1_56	460	204	3.53221	0.08530	0.26979	0.00526	0.64	1535	19	0.26	0.61	0.012	47
1284-09a1_57	719	276	6.28667	0.13560	0.36275	0.00635	0.60	2016	19	3.11	0.08	0.009	44
1284-09a1_58	90	93	2.36084	0.08178	0.20588	0.00504	0.56	1221	23	3.87	0.05	0.019	35
1284-09a1_59	662	141	5.56696	0.17901	0.33830	0.00841	0.58	1907	28	3.77	0.05	0.014	10
1284-09a1_60	135	126	2.24217	0.08103	0.20321	0.00430	0.41	1193	20	0.02	0.89	0.017	46
1284-09a1_61	553	128	1.76785	0.05087	0.17371	0.00423	0.71	1034	19	0.02	0.89	0.018	35
1284-09a1_62	276.9948	264.7136	0	0	0	0	0	#VALUE!	#VALUE!	#VALUE!	#VALUE!	#VALUE!	0
1284-09a1_63	379	148	2.24825	0.05624	0.20329	0.00385	0.53	1195	16	0.12	0.73	0.014	47
1284-09a1_64	916.899	539.5923	0	0	0	0	0	#VALUE!	#VALUE!	#VALUE!	#VALUE!	#VALUE!	0
1284-09a1_65	282	174	2.80826	0.07660	0.23473	0.00439	0.55	1358	19	0.02	0.89	0.014	45
1284-09a1_66	181	77	1.60948	0.05619	0.16080	0.00362	0.45	967	18	1.31	0.25	0.018	41
1284-09a1_67	109	46	1.64958	0.06838	0.16322	0.00389	0.45	979	20	1.34	0.25	0.020	42
1284-09a1_68	227	118	2.28566	0.07167	0.20433	0.00413	0.49	1203	19	0.69	0.41	0.016	46
1284-09a1_69	197	63	2.26435	0.07176	0.20356	0.00475	0.54	1199	21	0.35	0.55	0.017	42
1284-09a1_70	202	85	2.29984	0.07195	0.20530	0.00454	0.50	1209	20	0.53	0.47	0.017	44
1284-09a1_71	155	70	26.22830	0.78052	0.67029	0.01846	0.73	3366	27	3.18	0.07	0.008	26
1284-09a1_72	329	179	2.36868	0.06109	0.20858	0.00451	0.58	1231	18	1.40	0.24	0.015	44
1284-09a1_73	201	147	0.80138	0.03495	0.09672	0.00224	0.35	596	12	0.06	0.80	0.021	42
1284-09a1_74	738	87	1.21140	0.04781	0.12574	0.00439	0.48	789	20	12.19	0.00	0.026	46
1284-09a1_75	39	63	4.68668	0.22007	0.31509	0.00801	0.42	1765	33	0.00	0.97	0.019	45
1284-09a1_76	380	361	2.31474	0.09507	0.20502	0.00712	0.53	1213	28	0.75	0.39	0.023	20
1284-09a1_77	176	90	2.99909	0.07653	0.24454	0.00495	0.55	1408	19	0.07	0.80	0.013	44
1284-09a1_78	159	99	5.14990	0.20156	0.32922	0.01211	0.73	1846	32	0.22	0.64	0.018	26
1284-09a1_79	109	146	14.87738	0.52748	0.53011	0.01502	0.69	2817	33	7.79	0.01	0.012	30
1284-09a1_80	87	50	0.77863	0.04709	0.09826	0.00323	0.29	599	17	1.97	0.16	0.029	44
1284-09a1_81	103	50	1.71802	0.05938	0.16980	0.00402	0.45	1013	19	0.13	0.71	0.019	40
1284-09a1_82	179	97	2.20022	0.08206	0.19970	0.00515	0.36	1178	22	0.24	0.63	0.019	44
1284-09a1_83	189	46	2.81920	0.10256	0.23222	0.00654	0.57	1357	26	1.00	0.32	0.019	38
1284-09a1_84	135	156	13.32741	0.38772	0.51933	0.01262	0.65	2704	27	0.11	0.74	0.010	45
1284-09a1_85	117	60	0.80647	0.04386	0.09902	0.00241	0.30	607	14	0.45	0.50	0.022	43
1284-09a1_86	678	225	14.54433	0.52023	0.53212	0.01955	0.63	2791	33	1.14	0.29	0.012	13
1284-09a1_87	137	41	2.86927	0.11815	0.23173	0.00620	0.41	1360	27	3.08	0.08	0.020	37
1284-09a1_88	165	109	3.34907	0.10390	0.25682	0.00701	0.59	1491	24	1.69	0.19	0.016	44
1284-09a1_89	990	219	1.96738	0.06582	0.18024	0.00515	0.65	1096	22	10.80	0.00	0.020	31
1284-09a1_90	208	64	2.52837	0.07477	0.22045	0.00481	0.57	1281	20	0.13	0.72	0.016	45
1284-09a1_91	411	249	6.25213	0.18492	0.36625	0.00922	0.70	2012	26	0.00	1.00	0.013	46
1284-09a1_92	201	56	2.27992	0.07137	0.20315	0.00485	0.56	1202	21	1.47	0.22	0.017	47
1284-09a1_93	209	85	2.20532	0.07581	0.20074	0.00516	0.56	1182	23	0.08	0.78	0.019	47
1284-09a1_94	239.9157	85.74683	14.21567	2.603285	0.4957631	0.0819279	0.616299	2780	169	1.48	0.22	0.061	1
1284-09a1_95	183	47	15.68769	0.52767	0.53646	0.01553	0.66	2870	31	12.83	0.00	0.011	43

Numéro d'analyse	[U] (ppm)	[Th] (ppm)	207Pb/ 235Uc	2 sigma	206Pb/ 238U	2 sigma	Corré-lation d'erreur	Age Concordia (Ma)	A priori erreur de 2σ	MSWD	Probabilité-de-concordance (rej <.15)	Erreur/ âge (rej >0.40)	Nombres de balayages concordants (rej <5)
1284-09a1_96	333	111	1.88778	0.05958	0.18018	0.00408	0.50	1073	19	0.66	0.42	0.017	42
1284-09a1_97	88	82	1.91922	0.08640	0.18240	0.00578	0.53	1084	27	0.26	0.61	0.025	46
1284-09a1_98	436	447	0.97194	0.05584	0.11270	0.00443	0.55	689	24	0.01	0.94	0.034	16
1284-09a1_99	345	99	1.90007	0.06713	0.18003	0.00486	0.50	1076	22	1.21	0.27	0.020	44
1284-09a1_100	36	40	0.81371	0.08389	0.09963	0.00558	0.36	610	31	0.11	0.74	0.050	43
1284-09a1_101	77	16	2.75606	0.12478	0.22769	0.00695	0.50	1335	30	1.48	0.22	0.023	41
1284-09a1_102	1602.508	1276.741	0	0	0	0	0	#VALUE!	#VALUE!	#VALUE!	#VALUE!	#VALUE!	0
1284-09a1_103	89	16	2.30761	0.09469	0.20647	0.00686	0.63	1214	29	0.10	0.75	0.023	44
1284-09a1_104	112	33	2.14318	0.11147	0.19927	0.00796	0.65	1165	35	0.26	0.61	0.030	46
1284-09a1_105	285	67	2.42643	0.15988	0.21175	0.01345	0.82	1254	46	0.33	0.56	0.036	46
1284-09a1_106	714	285	2.08037	0.15353	0.18585	0.01380	0.80	1152	49	3.57	0.06	0.043	22
1284-09a1_107	113	50	3.48413	0.20252	0.26847	0.01357	0.73	1523	46	0.16	0.69	0.030	47
1284-09a1_108	198	96	3.35294	0.13159	0.25877	0.00916	0.70	1494	31	0.35	0.55	0.021	42
1284-09a1_109	322	313	4.46348	0.21611	0.30277	0.01363	0.72	1727	39	0.65	0.42	0.023	46
1284-09a1_110	87	63	7.00029	0.39689	0.37456	0.01210	0.47	2086	46	4.70	0.03	0.022	25
1284-09a1_111	352	116	2.23239	0.09961	0.20113	0.00820	0.79	1193	31	0.53	0.47	0.026	44
1284-09a1_112	166	125	4.94742	0.27521	0.31056	0.01600	0.77	1827	45	6.76	0.01	0.024	27
1284-09a1_113	209	56	2.01715	0.09132	0.19009	0.00665	0.61	1121	29	0.00	0.97	0.026	46
1284-09a1_114	142	128	3.01127	0.22009	0.22927	0.01405	0.70	1402	56	9.20	0.00	0.040	32
1284-09a1_115	122	58	2.15204	0.10242	0.19393	0.00687	0.55	1157	31	1.91	0.17	0.027	41
1284-09a1_116	39	19	23.08153	0.90553	0.64131	0.02330	0.74	3239	35	1.12	0.29	0.011	45
1284-09a1_117	0	0	0	0	0	0	0	#VALUE!	#VALUE!	#VALUE!	#VALUE!	#VALUE!	0
1284-09a1_118	173	41	7.29268	0.24726	0.38894	0.01139	0.65	2150	30	2.20	0.14	0.014	43
1284-09a1_119	199	129	1.42444	0.05955	0.14843	0.00422	0.52	895	21	0.35	0.55	0.024	47
1284-09a1_120	100	53	2.46688	0.11112	0.21906	0.00692	0.51	1268	30	0.71	0.40	0.023	47
DB07RIM64a		**1284-10**											
1284-10a1_1	0	0	0	0	0	0	0	#VALUE!	#VALUE!	#VALUE!	#VALUE!	#VALUE!	0
1284-10a1_2	1855.545	737.8596	0	0	0	0	0	#VALUE!	#VALUE!	#VALUE!	#VALUE!	#VALUE!	0
1284-10a1_3	507.0872	66.98664	1.63676	0.6950291	0.1882084	0.06946442	0.7688518	970	270	1.08	0.30	0.278	1
1284-10a1_4	440.9879	133.6083	3.85601	0.9545898	0.2796042	0.06558653	0.8449001	1611	181	0.02	0.88	0.112	2
1284-10a1_5	1591.988	433.7123	0	0	0	0	0	#VALUE!	#VALUE!	#VALUE!	#VALUE!	#VALUE!	0
1284-10a1_6	1291.526	125.3036	0	0	0	0	0	#VALUE!	#VALUE!	#VALUE!	#VALUE!	#VALUE!	0
1284-10a1_7	276.7507	56.99037	2.210077	2.037395	0.1637204	0.1411265	0.7487282	1037	709	0.69	0.41	0.684	1
1284-10a1_8	1986.924	803.1707	0	0	0	0	0	#VALUE!	#VALUE!	#VALUE!	#VALUE!	#VALUE!	0
1284-10a1_9	1097.034	401.5789	0	0	0	0	0	#VALUE!	#VALUE!	#VALUE!	#VALUE!	#VALUE!	0
1284-10a1_10	708.6779	136.6788	0	0	0	0	0	#VALUE!	#VALUE!	#VALUE!	#VALUE!	#VALUE!	0
1284-10a1_11	0	0	0	0	0	0	0	#VALUE!	#VALUE!	#VALUE!	#VALUE!	#VALUE!	0
1284-10a1_12	1742.937	248.326	0	0	0	0	0	#VALUE!	#VALUE!	#VALUE!	#VALUE!	#VALUE!	0
1284-10a1_13	1218.156	634.7136	0	0	0	0	0	#VALUE!	#VALUE!	#VALUE!	#VALUE!	#VALUE!	0
1284-10a1_14	506.6726	95.45986	1.685582	1.026321	0.1475404	0.08869479	0.7704509	997	390	0.54	0.46	0.391	1
1284-10a1_15	1701.125	429.961	0	0	0	0	0	#VALUE!	#VALUE!	#VALUE!	#VALUE!	#VALUE!	0
1284-10a1_16	516.804	119.0084	5.460817	1.242446	0.3215898	0.06925591	0.8884114	1952	150	1.08	0.30	0.077	1
1284-10a1_17	2405.105	142.4808	0	0	0	0	0	#VALUE!	#VALUE!	#VALUE!	#VALUE!	#VALUE!	0
1284-10a1_18	1374.598	418.6508	0	0	0	0	0	#VALUE!	#VALUE!	#VALUE!	#VALUE!	#VALUE!	0
1284-10a1_19	0	0	0	0	0	0	0	#VALUE!	#VALUE!	#VALUE!	#VALUE!	#VALUE!	0
1284-10a1_20	0	0	0	0	0	0	0	#VALUE!	#VALUE!	#VALUE!	#VALUE!	#VALUE!	0
1284-10a1_21	1384.073	411.667	3.84348	0.2737185	0.268284	0.01716137	0.7935076	1618	55	6.66	0.01	0.034	2
1284-10a1_22	522	132	5.84643	0.17389	0.34950	0.00955	0.77	1959	25	1.90	0.17	0.013	41
1284-10a1_23	1364.101	555.228	0	0	0	0	0	#VALUE!	#VALUE!	#VALUE!	#VALUE!	#VALUE!	0

Numéro d'analyse	[U] (ppm)	[Th] (ppm)	207Pb/ 235Uc	2 sigma	206Pb/ 238U	2 sigma	Corré-lation d'erreur	Age Concordia (Ma)	A priori erreur de 2σ	MSWD	Probabilité-de-concordance (rej <.15)	Erreur/ âge (rej >0.40)	Nombres de balayages concordants (rej <5)
1284-10a1_24	1732.172	591.8259	0	0	0	0	0	#VALUE!	#VALUE!	#VALUE!	#VALUE!	#VALUE!	0
1284-10a1_25	1814.039	945.6919	0	0	0	0	0	#VALUE!	#VALUE!	#VALUE!	#VALUE!	#VALUE!	0
1284-10a1_26	570	175	5.61289	0.25471	0.34162	0.01503	0.83	1927	35	1.08	0.30	0.018	20
1284-10a1_27	980	319	4.13678	0.29308	0.27668	0.01882	0.60	1660	58	5.25	0.02	0.035	8
1284-10a1_28	486	234	4.87377	0.60138	0.30775	0.03732	0.93	1851	68	2.05	0.15	0.037	6
1284-10a1_29	89	29	3.69398	2.27320	0.21814	0.13066	0.85	1691	414	2.64	0.10	0.245	8
1284-10a1_30	0	0	0	0	0	0	0	#VALUE!	#VALUE!	#VALUE!	#VALUE!	#VALUE!	0
1284-10a1_31	1880.355	155.5418	0	0	0	0	0	#VALUE!	#VALUE!	#VALUE!	#VALUE!	#VALUE!	0
1284-10a1_32	1047.434	270.4113	4.789008	0.6043708	0.301423	0.0333489	0.600781	1779	106	1.66	0.20	0.060	1
1284-10a1_33	488	152	5.52153	0.26369	0.34166	0.01642	0.79	1907	37	0.12	0.72	0.020	23
1284-10a1_34	231	17	1.96337	0.76417	0.15132	0.04981	0.66	992	258	2.94	0.09	0.260	5
1284-10a1_35	1710.2	890.6357	0	0	0	0	0	#VALUE!	#VALUE!	#VALUE!	#VALUE!	#VALUE!	0
1284-10a1_36	1640.329	618.8243	0	0	0	0	0	#VALUE!	#VALUE!	#VALUE!	#VALUE!	#VALUE!	0
1284-10a1_37	571	202	5.56467	0.14838	0.33338	0.00736	0.68	1912	23	18.37	0.00	0.012	24
1284-10a1_38	665	197	6.01882	0.18039	0.35976	0.01027	0.79	1978	24	0.02	0.88	0.012	20
1284-10a1_39	0	0	0	0	0	0	0	#VALUE!	#VALUE!	#VALUE!	#VALUE!	#VALUE!	0
1284-10a1_40	331	95	5.81221	0.14024	0.34569	0.00710	0.63	1948	21	6.67	0.01	0.011	40
1284-10a1_41	0	0	0	0	0	0	0	#VALUE!	#VALUE!	#VALUE!	#VALUE!	#VALUE!	0
1284-10a1_42	823.1271	318.6046	0	0	0	0	0	#VALUE!	#VALUE!	#VALUE!	#VALUE!	#VALUE!	0
1284-10a1_43	1581.237	748.9296	0	0	0	0	0	#VALUE!	#VALUE!	#VALUE!	#VALUE!	#VALUE!	0
1284-10a1_44	1754.359	791.3486	0	0	0	0	0	#VALUE!	#VALUE!	#VALUE!	#VALUE!	#VALUE!	0
1284-10a1_45	1250.183	541.953	0	0	0	0	0	#VALUE!	#VALUE!	#VALUE!	#VALUE!	#VALUE!	0
1284-10a1_46	0	0	0	0	0	0	0	#VALUE!	#VALUE!	#VALUE!	#VALUE!	#VALUE!	0
1284-10a1_47	287	67	5.96035	0.22576	0.35359	0.01231	0.81	1976	30	0.97	0.33	0.015	20
1284-10a1_48	1646.155	322.0542	0	0	0	0	0	#VALUE!	#VALUE!	#VALUE!	#VALUE!	#VALUE!	0
1284-10a1_49	2346.3	365.4206	0	0	0	0	0	#VALUE!	#VALUE!	#VALUE!	#VALUE!	#VALUE!	0
1284-10a1_50	0	0	0	0	0	0	0	#VALUE!	#VALUE!	#VALUE!	#VALUE!	#VALUE!	0
1284-10a1_51	486.4441	189.1738	4.464183	0.5226234	0.2980629	0.03280549	0.6230351	1725	97	0.45	0.50	0.056	2
1284-10a1_52	1743.355	78.08625	2.734399	0.3479272	0.217243	0.0232773	0.5482894	1320	93	1.76	0.18	0.070	1
1284-10a1_53	670.4033	295.2095	0	0	0	0	0	#VALUE!	#VALUE!	#VALUE!	#VALUE!	#VALUE!	0
1284-10a1_54	1764.903	848.9783	2.279587	0.3646773	0.1931605	0.02839645	0.5559294	1192	111	1.08	0.30	0.093	1
1284-10a1_55	1021.195	355.5995	0	0	0	0	0	#VALUE!	#VALUE!	#VALUE!	#VALUE!	#VALUE!	0
1284-10a1_56	233	44	5.92322	0.18110	0.35271	0.01034	0.82	1971	24	1.19	0.28	0.012	41
1284-10a1_57	964.9591	505.5325	0	0	0	0	0	#VALUE!	#VALUE!	#VALUE!	#VALUE!	#VALUE!	0
1284-10a1_58	1025.498	319.7132	0	0	0	0	0	#VALUE!	#VALUE!	#VALUE!	#VALUE!	#VALUE!	0
1284-10a1_59	1804.411	77.67869	0	0	0	0	0	#VALUE!	#VALUE!	#VALUE!	#VALUE!	#VALUE!	0
1284-10a1_60	1830.537	287.6329	0	0	0	0	0	#VALUE!	#VALUE!	#VALUE!	#VALUE!	#VALUE!	0
1284-10a1_61	606	7	0.35583	0.01189	0.04865	0.00129	0.66	307	8	0.65	0.42	0.025	40
1284-10a1_62	1989.366	797.2844	0	0	0	0	0	#VALUE!	#VALUE!	#VALUE!	#VALUE!	#VALUE!	0
1284-10a1_63	0	0	0	0	0	0	0	#VALUE!	#VALUE!	#VALUE!	#VALUE!	#VALUE!	0
1284-10a1_64	1083.727	386.2971	0	0	0	0	0	#VALUE!	#VALUE!	#VALUE!	#VALUE!	#VALUE!	0
1284-10a1_65	1235.398	575.5167	0	0	0	0	0	#VALUE!	#VALUE!	#VALUE!	#VALUE!	#VALUE!	0
1284-10a1_66	1473.309	716.1989	0	0	0	0	0	#VALUE!	#VALUE!	#VALUE!	#VALUE!	#VALUE!	0
1284-10a1_67	1648.352	762.0764	0	0	0	0	0	#VALUE!	#VALUE!	#VALUE!	#VALUE!	#VALUE!	0
1284-10a1_68	1976	760	1.69423	0.23875	0.14603	0.00592	0.19	885	33	7.21	0.01	0.037	15
1284-10a1_69	519	190	5.38240	0.36612	0.32840	0.02163	0.89	1912	45	3.02	0.08	0.024	14
1284-10a1_70	2090.004	3696.008	0	0	0	0	0	#VALUE!	#VALUE!	#VALUE!	#VALUE!	#VALUE!	0
1284-10a1_71	1055.197	369.0564	0	0	0	0	0	#VALUE!	#VALUE!	#VALUE!	#VALUE!	#VALUE!	0
1284-10a1_72	238.9512	26.31522	2.146925	1.786295	0.1626643	0.09302265	0.4722957	1026	484	0.43	0.51	0.471	1

Numéro d'analyse	[U] (ppm)	[Th] (ppm)	207Pb/ 235Uc	2 sigma	206Pb/ 238U	2 sigma	Corré-lation d'erreur	Age Concordia (Ma)	A priori erreur de 2σ	MSWD	Probabilité-de-concordance (rej <.15)	Erreur/ âge (rej >0.40)	Nombres de balayages concordants (rej <5)
1284-10a1_73	1399.995	428.0293	0	0	0	0	0	#VALUE!	#VALUE!	#VALUE!	#VALUE!	#VALUE!	0
1284-10a1_74	1398.02	413.8849	0	0	0	0	0	#VALUE!	#VALUE!	#VALUE!	#VALUE!	#VALUE!	0
1284-10a1_75	595.0072	60.97664	2.088299	0.7122307	0.1646469	0.03383799	0.1846492	1028	164	1.34	0.25	0.160	4
1284-10a1_76	207	202	2.59617	2.77651	0.16956	0.18344	0.98	984	1007	8.86	0.00	1.023	15
1284-10a1_77	1878.143	113.087	0	0	0	0	0	#VALUE!	#VALUE!	#VALUE!	#VALUE!	#VALUE!	0
1284-10a1_78	2540.803	40.39362	0	0	0	0	0	#VALUE!	#VALUE!	#VALUE!	#VALUE!	#VALUE!	0
1284-10a1_79	661.4341	166.7655	3.935199	1.221102	0.2747609	0.08042625	0.8099431	1639	234	0.20	0.65	0.143	1
1284-10a1_80	2427.407	252.0767	0	0	0	0	0	#VALUE!	#VALUE!	#VALUE!	#VALUE!	#VALUE!	0
1284-10a1_81	1114.437	94.19101	0	0	0	0	0	#VALUE!	#VALUE!	#VALUE!	#VALUE!	#VALUE!	0
1284-10a1_82	2986.463	925.7173	0	0	0	0	0	#VALUE!	#VALUE!	#VALUE!	#VALUE!	#VALUE!	0
1284-10a1_83	1363.273	867.1861	8.848024	0.679253	0.4368794	0.03201085	0.842333	2317	59	0.09	0.76	0.026	3
1284-10a1_84	2667.941	127.633	0	0	0	0	0	#VALUE!	#VALUE!	#VALUE!	#VALUE!	#VALUE!	0
1284-10a1_85	1665.189	276.5959	0	0	0	0	0	#VALUE!	#VALUE!	#VALUE!	#VALUE!	#VALUE!	0
1284-10a1_86	2825.625	414.3369	0	0	0	0	0	#VALUE!	#VALUE!	#VALUE!	#VALUE!	#VALUE!	0
1284-10a1_87	1714.055	380.8898	0	0	0	0	0	#VALUE!	#VALUE!	#VALUE!	#VALUE!	#VALUE!	0
1284-10a1_88	1449.516	229.5805	0	0	0	0	0	#VALUE!	#VALUE!	#VALUE!	#VALUE!	#VALUE!	0
1284-10a1_89	3014.452	585.9555	0	0	0	0	0	#VALUE!	#VALUE!	#VALUE!	#VALUE!	#VALUE!	0
1284-10a1_90	1741.016	122.2076	0	0	0	0	0	#VALUE!	#VALUE!	#VALUE!	#VALUE!	#VALUE!	0
1284-10a1_91	3114.265	914.3177	0	0	0	0	0	#VALUE!	#VALUE!	#VALUE!	#VALUE!	#VALUE!	0
1284-10a1_92	931.3102	303.0335	4.406225	0.7598987	0.2869759	0.04946371	0.8740379	1760	115	1.53	0.22	0.065	1
1284-10a1_93	1861.48	99.1423	0	0	0	0	0	#VALUE!	#VALUE!	#VALUE!	#VALUE!	#VALUE!	0
1284-10a1_94	665	186	5.95482	0.14088	0.35658	0.00769	0.68	1970	21	0.06	0.81	0.010	40
1284-10a1_95	2117.743	203.5776	0	0	0	0	0	#VALUE!	#VALUE!	#VALUE!	#VALUE!	#VALUE!	0
1284-10a1_96	1113.356	395.7247	0	0	0	0	0	#VALUE!	#VALUE!	#VALUE!	#VALUE!	#VALUE!	0
1284-10a1_97	5082.831	302.1485	0	0	0	0	0	#VALUE!	#VALUE!	#VALUE!	#VALUE!	#VALUE!	0
1284-10a1_98	2341.681	1649.209	0	0	0	0	0	#VALUE!	#VALUE!	#VALUE!	#VALUE!	#VALUE!	0
1284-10a1_99	6011.128	982.3696	0	0	0	0	0	#VALUE!	#VALUE!	#VALUE!	#VALUE!	#VALUE!	0
1284-10a1_100	1481.588	105.5508	0	0	0	0	0	#VALUE!	#VALUE!	#VALUE!	#VALUE!	#VALUE!	0
1284-10a1_101	862.6563	303.4403	4.978256	0.3902269	0.3072211	0.02158118	0.7451609	1830	64	6.12	0.01	0.035	2
1284-10a1_102	2308.246	1048.738	0	0	0	0	0	#VALUE!	#VALUE!	#VALUE!	#VALUE!	#VALUE!	0
1284-10a1_103	291	62	5.64769	0.19794	0.34541	0.01158	0.87	1929	26	0.42	0.51	0.013	36
1284-10a1_104	0	0	0	0	0	0	0	#VALUE!	#VALUE!	#VALUE!	#VALUE!	#VALUE!	0
1284-10a1_105	315.2002	27.24349	1.860589	1.898438	0.13831	0.1241425	0.7649249	887	689	0.90	0.34	0.777	1
1284-10a1_106	2351.265	221.5432	0	0	0	0	0	#VALUE!	#VALUE!	#VALUE!	#VALUE!	#VALUE!	0
1284-10a1_107	1655.551	421.2495	0	0	0	0	0	#VALUE!	#VALUE!	#VALUE!	#VALUE!	#VALUE!	0
1284-10a1_108	1015	219	1.81685	0.45353	0.15062	0.03830	0.94	1155	125	12.35	0.00	0.108	27
1284-10a1_109	1878	1305	2.57948	0.17968	0.21361	0.01333	0.67	1291	51	3.15	0.08	0.040	8
1284-10a1_110	1093.762	502.8383	4.271202	0.4842507	0.2832573	0.03382132	0.7331466	1704	89	1.82	0.18	0.052	4
1284-10a1_111	569	158	5.97931	0.35035	0.36025	0.02023	0.89	1967	40	0.14	0.70	0.020	25
1284-10a1_112	1999.701	900.6891	0	0	0	0	0	#VALUE!	#VALUE!	#VALUE!	#VALUE!	#VALUE!	0
1284-10a1_113	1245.969	190.2673	2.916747	0.8098671	0.2223913	0.05242065	0.7061735	1376	211	0.88	0.35	0.153	1
1284-10a1_114	1405.91	387.3583	0	0	0	0	0	#VALUE!	#VALUE!	#VALUE!	#VALUE!	#VALUE!	0
1284-10a1_115	1823.325	338.2019	1.941758	0.3008911	0.1830173	0.02397652	0.6921976	1094	103	0.07	0.80	0.094	1
1284-10a1_116	1632.578	789.8005	3.465323	0.3256068	0.2556239	0.02004283	0.6773021	1516	74	1.89	0.17	0.049	1
1284-10a1_117	1408.575	451.9093	0	0	0	0	0	#VALUE!	#VALUE!	#VALUE!	#VALUE!	#VALUE!	0
1284-10a1_118	0	0	0	0	0	0	0	#VALUE!	#VALUE!	#VALUE!	#VALUE!	#VALUE!	0
1284-10a1_119	2204.771	74.84139	1.41951	0.4027479	0.1464531	0.03296078	0.4671772	890	151	0.03	0.86	0.170	1
1284-10a1_120	1966.205	1108.624	0	0	0	0	0	#VALUE!	#VALUE!	#VALUE!	#VALUE!	#VALUE!	0

Table 8. Données analytiques SIMS.

Numéro d'analyse	U ppm	Th ppm	207r/ 235	% err	206r / 238	% err	err corr	207corr 206Pb/ 238U Âge	1σ err	204corr 207Pb/ 206Pb Âge	1σ err	% Dis-cordant
CT21												
RIM21-44.1	445	394	0.49	8.2	.0608	1.1	.133	379	4	552	177	45
RIM21-33.1	176	110	0.64	12.4	.0863	1.6	.125	536	8	345	279	-35
RIM21-52.1	170	56	0.76	4.5	.0891	1.5	.326	548	8	657	92	19
RIM21-53.1	117	154	0.65	9.4	.0889	1.4	.154	552	7	344	209	-37
RIM21-15.1	428	362	0.74	2.6	.0900	0.7	.283	555	4	586	54	5
RIM21-35.1	210	116	0.74	5.2	.0905	1.3	.256	558	7	574	109	3
RIM21-19.1	324	109	0.75	3.4	.0923	0.9	.272	569	5	575	71	1
RIM21-48.1	117	70	0.80	6.2	.0929	1.7	.277	571	9	678	128	18
RIM21-17.1	76	27	0.65	15.0	.0917	1.9	.128	571	10	261	342	-54
RIM21-5.1	95	81	0.73	5.8	.0924	1.4	.238	571	8	489	125	-14
RIM21-3.1	113	55	0.81	4.0	.0946	1.4	.345	581	8	677	81	16
RIM21-6.1	93	82	0.75	5.1	.0941	1.4	.272	581	8	534	108	-8
RIM21-29.1	271	162	0.74	6.8	.0944	1.2	.174	583	6	476	148	-18
RIM21-55.1	260	102	0.81	3.7	.0954	1.1	.285	586	6	652	76	11
RIM21-14	236	272	0.82	2.4	.0975	0.9	.380	599	5	652	48	9
RIM21-20.1	300	114	0.77	4.5	.0974	1.1	.234	601	6	499	96	-17
RIM21-54.1	260	262	0.83	2.7	.0993	1.0	.366	610	6	635	54	4
RIM21-38.1	150	201	0.90	4.0	.1007	1.5	.371	616	9	757	79	22
RIM21-40.1	168	157	0.84	5.2	.1016	1.4	.273	625	9	597	109	-4
RIM21-30.1	125	84	0.80	8.6	.1016	1.6	.190	627	10	482	186	-23
RIM21-21.1	11	20	0.60	84.0	.1032	6.2	.074	647	32	-225	2110	-136
RIM21-32.1	167	136	0.88	4.8	.1068	1.4	.294	655	9	602	100	-8
RIM21-13.1	113	140	0.98	2.6	.1079	1.2	.480	657	8	813	48	23
RIM21-12.1	117	33	0.94	3.4	.1080	1.3	.379	660	8	720	67	9
RIM21-1	21	11	0.91	7.8	.1103	2.6	.334	676	17	606	158	-10
RIM21-45.1	88	124	1.75	3.8	.1662	1.7	.453	987	16	1104	67	11
RIM21-23.1	175	34	1.68	2.7	.1661	1.2	.441	989	11	1021	49	3
RIM21-22.1	86	44	1.70	6.4	.1708	1.7	.274	1018	17	994	124	-2

Numéro d'analyse	U ppm	Th ppm	207r/ 235	% err	206r / 238	% err	err corr	207corr 206Pb/ 238U Âge	1σ err	204corr 207Pb/ 206Pb Âge	1σ err	% Dis-cordant
RIM21-10.1	89	169	1.78	2.8	.1764	1.2	.431	1049	12	1015	51	-3
RIM21-27.1	551	12	2.47	1.3	.2086	0.7	.521	1215	8	1334	21	9
RIM21-8.1	157	65	2.30	2.4	.2079	0.9	.363	1218	11	1207	44	-1
RIM21-36.1	170	57	3.51	2.0	.2638	1.2	.567	1505	17	1557	32	3
RIM21-43.1	32	35	3.87	13.7	.2775	3.1	.224	1573	40	1646	248	4
RIM21-47.1	327	144	5.68	1.2	.2988	0.8	.652	1619	13	2201	16	31
RIM21-49.1	110	67	4.32	3.1	.2952	1.5	.469	1660	23	1736	50	4
RIM21-50.1	86	61	4.08	4.3	.3021	1.7	.398	1714	28	1585	75	-7
RIM21-42.1	105	60	4.74	2.7	.3171	1.4	.529	1776	25	1772	42	0
RIM21-11.1	335	162	6.19	1.0	.3294	0.6	.643	1785	11	2180	13	19
RIM21-2.1	21	22	5.13	3.2	.3323	2.3	.696	1852	41	1831	42	-1
RIM21-39.1	141	225	6.04	2.1	.3521	1.3	.592	1934	24	2019	30	4
RIM21-25.1	156	115	6.03	1.9	.3524	1.1	.589	1936	22	2017	28	4
RIM21-24.1	88	133	5.85	2.8	.3512	1.5	.539	1937	29	1967	43	1
RIM21-26.1	87	34	6.06	2.8	.3571	1.5	.541	1963	29	2001	42	2
RIM21-20.1	53	73	6.47	2.9	.3635	1.8	.603	1985	36	2086	41	4
RIM21-37.1	92	45	8.47	2.1	.3797	1.5	.733	1995	31	2474	24	19
RIM21-46.1	79	32	6.64	3.0	.3700	1.6	.542	2018	32	2101	44	4
RIM21-51.1	71	81	6.60	2.6	.3706	1.8	.686	2023	36	2088	33	3
RIM21-9.1	68	83	6.56	1.7	.3794	1.2	.721	2080	26	2034	21	-2
RIM21-16.1	209	52	6.69	1.3	.3813	0.8	.595	2086	16	2061	18	-1
RIM21-4.1	139	64	7.58	1.2	.4018	0.9	.728	2175	19	2187	14	0
RIM21-41.1	77	65	7.28	2.6	.4005	1.7	.644	2180	37	2123	35	-2
RIM21-31.1	181	181	9.16	1.4	.4155	1.0	.723	2191	23	2455	17	10
RIM21-18.1	275	332	9.47	1.0	.4209	0.7	.767	2212	17	2488	10	10
RIM21-28.1	446	231	11.11	0.9	.4452	0.7	.777	2294	16	2661	9	12
RIM21-56.1	197	167	13.42	1.3	.4712	1.0	.782	2358	26	2878	13	16
RIM21-7.1	607	210	9.33	0.6	.4447	0.4	.764	2372	11	2370	6	0
RIM21-34.1	152	79	21.77	1.4	.6158	1.1	.847	2997	45	3225	11	4
RIM21-81.1	60	36	0.81	4.6	.1074	2.0	.432	~~662~~	~~13~~	~~394~~	~~93~~	~~-40~~
RIM21-91.1	30	39	0.64	6.9	.0877	2.6	.381	~~545~~	~~14~~	~~335~~	~~145~~	~~-38~~

Numéro d'analyse	U ppm	Th ppm	207r/ 235	% err	206r / 238	% err	err corr	207corr 206Pb/ 238U Âge	1σ err	204corr 207Pb/ 206Pb Âge	1σ err	% Dis-cordant
RIM21-71.1	43	44	0.70	5.3	.0907	2.3	.432	~~561~~	~~13~~	~~457~~	~~107~~	~~-18~~
RIM21-84.1	778	1086	0.36	1.9	.0513	1.3	.661	~~323~~	~~4~~	~~265~~	~~33~~	~~-18~~
RIM21-96.1	94	44	0.98	3.0	.1180	1.8	.592	~~721~~	~~12~~	~~612~~	~~52~~	~~-15~~
~~RIM21-93.1~~	~~4~~	~~0~~	~~4.85~~	~~12.1~~	~~.3462~~	~~4.9~~	~~.405~~	~~1947~~	~~93~~	~~1653~~	~~205~~	~~-14~~
RIM21-79.1	100	129	0.87	3.0	.1068	1.7	.569	~~656~~	~~11~~	~~580~~	~~53~~	~~-11~~
RIM21-101.1	125	42	0.85	2.8	.1036	1.6	.586	636	10	579	49	-9
RIM21-92.1	113	62	1.01	2.7	.1183	1.6	.607	722	11	662	45	-8
RIM21-106.1	484	232	0.87	2.0	.1057	1.3	.658	648	8	599	32	-8
RIM21-83.1	257	87	3.48	1.5	.2739	1.3	.864	1569	20	1470	15	-6
RIM21-97.1	155	34	0.91	2.4	.1089	1.5	.647	667	10	633	39	-5
RIM21-77.1	83	61	11.92	2.8	.5131	1.5	.545	2715	49	2543	40	-5
RIM21-104.1	471	135	0.89	1.8	.1070	1.3	.735	656	8	624	26	-5
RIM21-78.1	285	602	0.96	1.9	.1133	1.4	.708	693	9	661	29	-4
RIM21-107.1	355	73	1.86	1.9	.1825	1.3	.684	1083	14	1037	28	-4
RIM21-75.1	91	77	0.87	3.6	.1046	1.7	.484	642	11	621	68	-3
RIM21-105.1	436	81	0.94	1.8	.1107	1.3	.716	677	9	655	28	-3
RIM21-86.1	40	9	0.93	4.3	.1103	2.3	.543	675	15	654	77	-3
RIM21-95.1	186	241	0.81	2.3	.0982	1.5	.634	604	9	590	39	-2
RIM21-89.1	160	160	0.79	2.6	.0967	1.5	.590	595	9	585	45	-2
RIM21-70.1	63	114	1.55	3.1	.1593	1.8	.597	953	17	938	50	-2
RIM21-72.1	123	99	4.97	1.7	.3277	1.5	.848	1831	26	1799	17	-2
RIM21-80.1	115	141	1.03	2.8	.1183	1.6	.576	721	11	713	48	-1
RIM21-117.1	122	74	0.83	2.7	.0997	1.6	.588	613	10	609	48	-1
RIM21-73.1	32	6	2.26	3.8	.2038	2.2	.596	1195	26	1208	60	1
RIM21-114.1	215	117	0.78	2.4	.0947	1.4	.600	583	8	596	42	2
RIM21-100.1	86	45	1.65	2.5	.1642	1.7	.677	979	16	1006	37	3
RIM21-110.1	451	420	0.89	1.8	.1048	1.3	.730	642	8	660	26	3
RIM21-76.1	265	65	0.84	2.1	.1004	1.4	.677	616	9	639	33	4
RIM21-98.1	206	95	0.81	2.2	.0976	1.5	.663	600	9	622	35	4
RIM21-113.1	92	49	7.21	1.8	.3846	1.5	.856	2084	32	2175	16	4
RIM21-87.1	87	41	3.32	2.2	.2538	1.6	.745	1452	23	1525	27	5

Numéro d'analyse	U ppm	Th ppm	207r/ 235	% err	206r / 238	% err	err corr	207corr 206Pb/ 238U Âge	1σ err	204corr 207Pb/ 206Pb Âge	1σ err	% Dis-cordant
~~RIM21-112.1~~	~~793~~	~~96~~	~~6.64~~	~~1.4~~	~~.3652~~	~~1.2~~	~~.868~~	~~1988~~	~~24~~	~~2123~~	~~12~~	~~6~~
RIM21-82.1	123	52	6.66	1.7	.3647	1.5	.852	1984	29	2129	16	6
RIM21-116.1	270	223	0.86	2.1	.1014	1.4	.677	622	9	667	33	7
RIM21-85.1	16	8	0.94	6.2	.1079	3.2	.522	659	21	708	112	7
RIM21-88.1	393	425	4.19	1.4	.2799	1.3	.898	~~1573~~	~~19~~	~~1774~~	~~11~~	~~11~~
RIM21-90.1	55	16	7.13	2.3	.3659	1.7	.755	~~1970~~	~~34~~	~~2243~~	~~26~~	~~12~~
RIM21-94.1	306	285	0.76	2.0	.0911	1.4	.695	~~561~~	~~8~~	~~632~~	~~31~~	~~12~~
RIM21-99.1	413	284	0.84	2.0	.0974	1.3	.647	~~597~~	~~8~~	~~683~~	~~33~~	~~14~~
RIM21-102.1	248	139	0.83	2.3	.0962	1.4	.611	~~591~~	~~8~~	~~681~~	~~39~~	~~15~~
RIM21-115.1	607	592	1.10	5.3	.1194	1.3	.242	~~722~~	~~9~~	~~841~~	~~107~~	~~16~~
RIM21-103.1	214	186	5.50	1.5	.3134	1.3	.883	~~1718~~	~~22~~	~~2060~~	~~13~~	~~17~~
RIM21-74.1	203	97	0.69	2.6	.0811	1.6	.604	~~500~~	~~8~~	~~672~~	~~44~~	~~34~~
RIM21-109.1	363	142	3.23	1.6	.2059	1.3	.810	~~1161~~	~~14~~	~~1860~~	~~17~~	~~54~~
~~RIM21-108.1~~	~~818~~	~~458~~	~~2.02~~	~~1.9~~	~~.1210~~	~~1.2~~	~~.642~~	~~682~~	~~8~~	~~1969~~	~~26~~	~~167~~
~~RIM21-111.1~~	~~967~~	~~293~~	~~1.34~~	~~3.5~~	~~.0709~~	~~1.3~~	~~.363~~	~~389~~	~~5~~	~~2185~~	~~57~~	~~395~~
CT22												
RIM22-16.1	313	287	3.02	1.3	.1835	0.6	.512	1031	7	1947	19	79
RIM22-41.1	440	320	1.57	2.0	.0954	0.7	.345	545	4	1947	33	231
RIM22-8.1	316	248	2.95	1.6	.1788	0.6	.397	1005	6	1949	27	84
RIM22-36.1	1903	1004	1.14	1.3	.0684	0.4	.319	392	2	1972	22	362
RIM22-27.1	104	53	4.32	2.2	.2588	1.1	.495	1436	15	1974	34	33
RIM22-30.1	109	129	3.01	2.9	.1796	1.2	.413	1007	11	1979	47	86
RIM22-40.1	66	34	3.46	2.7	.2030	1.4	.510	1131	15	2011	42	69
RIM22-42.1	97	57	5.94	1.6	.3456	1.1	.660	1897	20	2025	22	6
RIM22-9.1	204	141	3.60	1.5	.2094	0.8	.490	1164	9	2026	24	65
RIM22-32.1	131	107	5.48	1.5	.3156	0.9	.622	1733	16	2042	21	15
RIM22-20.1	126	119	5.48	1.3	.3147	0.9	.676	1727	15	2047	17	16
RIM22-3.1	114	56	5.14	1.4	.2938	0.9	.663	1614	15	2054	19	24
RIM22-13.1	87	37	6.70	1.6	.3830	1.1	.698	2096	24	2056	20	-2
RIM22-35.1	75	52	6.53	1.7	.3712	1.2	.666	2030	24	2066	23	1
RIM22-10.1	153	91	5.39	1.2	.3037	0.8	.663	1663	13	2082	16	22

Numéro d'analyse	U ppm	Th ppm	207r/ 235	% err	206r / 238	% err	err corr	207corr 206Pb/ 238U Âge	1σ err	204corr 207Pb/ 206Pb Âge	1σ err	% Dis-cordant
RIM22-12.1	103	60	6.80	1.3	.3826	1.0	.731	2090	20	2083	16	0
RIM22-2	156	113	5.94	1.2	.3329	0.8	.718	1819	15	2089	14	13
RIM22-38.1	1245	854	1.95	1.1	.1062	0.4	.390	594	3	2144	18	230
RIM22-5.1	1074	1160	2.18	1.3	.1183	0.4	.335	660	3	2145	22	198
RIM22-25.1	1114	1543	2.03	1.5	.1093	0.5	.334	611	3	2159	24	223
RIM22-31.1	353	20	4.65	6.5	.2491	0.6	.097	1361	16	2168	112	51
RIM22-11	633	755	3.39	1.1	.1661	0.5	.445	902	5	2326	17	135
RIM22-22.1	632	423	3.34	0.9	.1629	0.5	.514	885	4	2330	13	139
RIM22-37.1	284	374	4.98	1.2	.2410	0.7	.557	1295	9	2343	17	68
RIM22-1	346	215	5.95	0.9	.2775	0.6	.639	1475	8	2407	11	52
RIM22-34.1	121	166	9.72	1.3	.4395	1.0	.755	2320	23	2460	14	5
RIM22-7.1	126	193	9.15	1.2	.4091	0.9	.757	2150	19	2479	13	12
RIM22-6.1	254	564	3.14	1.6	.1401	0.8	.481	750	6	2484	23	194
RIM22-39.1	160	22	10.48	1.0	.4670	0.8	.772	2466	21	2484	11	1
RIM22-19.1	115	61	9.62	1.3	.4262	1.0	.764	2239	23	2494	14	9
RIM22-4.1	180	113	10.77	1.0	.4546	0.8	.785	2371	19	2575	10	7
RIM22-23.1	338	177	6.97	0.9	.2815	0.6	.666	1451	9	2648	11	66
RIM22-18.1	893	649	2.53	0.9	.1011	0.5	.500	530	3	2669	13	330
RIM22-14.1	71	56	13.19	1.5	.5205	1.2	.770	2707	37	2687	16	-1
RIM22-33.1	74	46	11.08	1.8	.4305	1.3	.739	2200	30	2713	20	18
RIM22-17.1	299	96	6.16	1.0	.2330	0.6	.670	1186	8	2756	12	104
RIM22-21.1	312	101	11.11	0.8	.4167	0.6	.725	2109	13	2771	9	23
RIM22-26.1	188	99	9.00	1.1	.3331	0.8	.678	1677	13	2792	14	51
RIM22-15.1	114	40	14.44	1.1	.5082	0.9	.820	2561	26	2875	10	9
RIM22-28.1	329	211	9.30	0.8	.3229	0.6	.708	1600	10	2897	10	61
RIM22-43.1	549	302	7.97	2.1	.2685	0.5	.255	1321	11	2946	33	92
RIM22-24.1	111	52	17.16	1.3	.5747	0.9	.749	2912	34	2956	13	1
RIM22-29.1	193	111	21.93	0.9	.5964	0.7	.847	2832	26	3287	7	9
CT07RIM10-1												
BARB10-11.1	52.16	42.6	12.605	1.366	0.45606	1.094	0.801	2296	26	2829.9064	13.34	16.83402
BARB10-8.1	78.58	35.2	15.21	1.093	0.54444	0.914	0.836	2781	30	2847.4332	9.777	1.62177

Numéro d'analyse	U ppm	Th ppm	207r/ 235	% err	206r / 238	% err	err corr	207corr 206Pb/ 238U Âge	1σ err	204corr 207Pb/ 206Pb Âge	1σ err	% Dis-cordant
BARB10-14.1	64.61	42.75	17.201	1.201	0.56008	1.022	0.851	2799	34	3000.6436	10.14	4.662544
BARB10-17.1	39.54	19.55	16.924	1.503	0.55835	1.265	0.842	2800	42	2979.4755	13.07	4.184951
BARB10-6.1	95.35	51.93	15.83	0.965	0.5512	0.803	0.832	2801	27	2892.3096	8.694	2.195394
BARB10-4.1	112.3	86.25	16.123	0.992	0.55456	0.861	0.868	2811	29	2912.1833	7.988	2.393316
BARB10-9.1	38.85	27.3	16.516	1.526	0.56234	1.272	0.834	2850	44	2928.62	13.63	1.819996
BARB10-15.1	39.67	16.59	18.936	1.461	0.58245	1.244	0.852	2881	44	3091.7852	12.21	4.496492
BARB10-12.1	69.83	29.25	18.619	1.203	0.58181	1.02	0.848	2892	36	3066.5298	10.19	3.734039
BARB10-10.1	44.96	19.7	16.706	1.379	0.57184	1.155	0.837	2913	42	2919.9527	12.21	0.156733
BARB10-16.1	47.5	19.18	16.962	1.369	0.57376	1.141	0.833	2915	41	2939.1901	12.22	0.545181
BARB10-5.1	119	81.04	18.801	0.883	0.58616	0.754	0.854	2917	27	3070.1919	7.335	3.239524
BARB10-7.1	143.6	312	19.58	0.744	0.59698	0.637	0.856	2962	24	3105.8011	6.117	2.92031
BARB10-13.1	122.4	38.79	18.852	0.843	0.60225	0.714	0.847	3044	29	3031.1911	7.18	-0.253944
BARB10-1.1	95.95	72.59	17.954	0.995	0.60216	0.827	0.831	3092	35	2952.9072	8.931	-2.817983
BARB10-3.1	28.29	15.16	17.011	1.787	0.60071	1.47	0.823	3132	65	2869.4324	16.52	-5.382949
BARB10-2.1	54.1	34.47	21.147	1.299	0.66193	1.106	0.851	3487	79	3063.8766	10.9	-6.436467
CT07RIM37-1												
BLK37-2.1	438.5	62.77	0.8532	1.725	0.10312	1.229	0.712	633	8	603.8465	26.21	-4.555115
BLK37-17.1	74.77	39.13	1.0986	2.787	0.11807	1.702	0.611	716	12	852.69507	45.87	18.52005
BLK37-14.1	240.8	121.6	3.3871	2.516	0.19451	1.279	0.508	1089	13	2047.0509	38.27	78.66559
BLK37-11.1	242.2	20.12	5.3253	1.444	0.29983	1.235	0.855	1645	20	2081.8366	13.18	23.15003
BLK5.1	65.91	35.14	6.6399	1.929	0.37341	1.552	0.804	2039	32	2083.9051	20.17	1.880327
BLK37-1.1	246.9	93.33	6.8839	1.335	0.38652	1.234	0.924	2110	26	2086.6879	8.97	-0.949319
BLK37-15.1	99.24	71.92	6.4754	1.75	0.35948	1.427	0.815	1960	28	2106.6342	17.78	6.411259
BLK37-4.1	93.27	35.61	7.2968	1.939	0.39786	1.409	0.727	2163	31	2138.1465	23.3	-0.974141
BLK37-3.1	85.12	42.04	7.9795	1.661	0.40093	1.447	0.871	2152	32	2279.9969	14.04	4.908232
CT07RIM22												
AN22-2.1	73.74	68.96	13.801	1.636	0.52971	1.478	0.903	2743	47	2733.0855	11.56	-0.260337
AN22-5.1	73.05	76	13.744	1.636	0.52712	1.475	0.902	2727	46	2734.3547	11.63	0.185096
AN22-6.1	127.8	158.4	13.953	1.438	0.53458	1.335	0.928	2771	43	2736.0591	8.795	-0.892703
AN22-8.1	79.44	82.34	13.832	1.593	0.5293	1.44	0.904	2739	45	2738.0469	11.18	-0.017095
AN22-13.1	171.2	198.2	13.467	1.366	0.5151	1.283	0.939	2656	38	2738.8977	7.725	2.260686

Numéro d'analyse	U ppm	Th ppm	207r/ 235	% err	206r / 238	% err	err corr	207corr 206Pb/ 238U Âge	1σ err	204corr 207Pb/ 206Pb Âge	1σ err	% Dis-cordant
AN22-14.1	111.1	123.3	13.692	1.475	0.52358	1.359	0.922	2705	42	2739.2013	9.401	0.915935
AN22-11.1	119.6	118	13.992	1.432	0.53396	1.331	0.929	2765	43	2742.6197	8.706	-0.562241
AN22-7.1	162	215.9	14.039	1.37	0.5355	1.285	0.938	2773	41	2743.3919	7.812	-0.766125
AN22-3.1	121.1	121	13.672	1.468	0.51986	1.354	0.922	2679	41	2748.5623	9.338	1.851485
AN22-4.1	155.2	181.7	13.91	1.378	0.52778	1.293	0.938	2724	40	2752.0139	7.831	0.728899
AN22-10.1	243.8	266.2	13.637	1.282	0.51612	1.225	0.956	2655	36	2756.2539	6.184	2.741165
AN22-9.1	150	173.6	13.982	1.397	0.52897	1.301	0.932	2729	41	2756.8223	8.326	0.719465
AN22-12.1	175.2	187.3	13.978	1.358	0.52749	1.276	0.939	2719	39	2761.0193	7.657	1.104161
AN22-1.1	76.83	59.95	14.073	1.631	0.52711	1.443	0.885	2712	45	2773.2987	12.48	1.614044
DB07RIM29a												
DB29-30	133	160	0.67	14.2	.1030	1.2	.083	642	6	63	337	-90
DB29-5	68	62	0.77	8.3	.1043	1.5	.187	645	9	353	184	-45
DB29-7	38	17	0.80	5.9	.1009	2.2	.371	622	13	499	121	-19
DB29-20	113	159	0.85	3.6	.1050	1.1	.296	645	7	559	75	-13
DB29-13	145	213	0.89	2.6	.1085	0.9	.344	666	6	583	53	-12
DB29-16	687	339	0.89	1.4	.1083	0.4	.307	665	3	585	29	-12
DB29-18	141	227	0.89	2.7	.1078	0.9	.346	662	6	591	54	-11
DB29-8	77	90	0.91	3.1	.1094	1.4	.440	671	9	614	60	-8
DB29-29	114	39	1.64	2.0	.1695	1.1	.538	1013	10	929	34	-8
DB29-26	225	74	3.89	1.0	.2935	0.6	.667	1670	11	1551	13	-7
DB29-24	200	117	6.64	0.9	.3924	0.7	.754	2158	15	1998	10	-6
DB29-11	126	207	0.89	5.1	.1071	1.0	.197	657	6	618	107	-6
DB29-17	201	131	0.92	1.7	.1094	0.8	.454	670	5	636	32	-5
DB29-15	74	80	6.43	1.5	.3818	1.1	.752	2101	24	1987	17	-5
DB29-23	189	379	0.89	2.5	.1067	0.8	.302	654	5	625	51	-4
DB29-25	666	173	2.40	0.8	.2163	0.4	.501	1266	5	1212	13	-4
DB29-27	25	10	3.31	3.1	.2613	2.1	.656	1499	30	1467	45	-2
DB29-21	78	37	0.84	2.7	.1013	1.2	.446	622	8	618	53	-1
DB29-19	422	174	0.81	1.2	.0985	0.5	.437	606	3	603	24	0
DB29-12	75	48	0.87	2.8	.1029	1.2	.451	631	8	640	53	1
DB29-28	95	53	0.90	2.7	.1054	1.2	.439	645	7	678	51	5

Numéro d'analyse	U ppm	Th ppm	207r/ 235	% err	206r / 238	% err	err corr	207corr 206Pb/ 238U Âge	1σ err	204corr 207Pb/ 206Pb Âge	1σ err	% Dis-cordant
DB29-22	781	198	4.38	0.7	.2956	0.4	.524	1660	6	1756	10	5
DB29-9	192	411	0.93	2.1	.1077	1.0	.460	658	6	695	39	5
DB29-10	113	143	0.89	2.6	.1036	1.1	.423	634	7	679	50	7
DB29-6	249	70	6.97	0.9	.3670	0.6	.717	1984	12	2198	10	9
DB29-14	163	343	0.85	3.8	.0982	1.1	.293	602	7	690	77	14
DB07RIM25a												
AMS25-12.1	1526	570.8	0.4951	3.771	0.03897	1.224	0.325	235	3	1470.0763	67.71	496.4561
AMS25-9.1	1575	448.3	0.5697	5.963	0.04206	1.234	0.207	252	3	1590.8798	109	499.0224
AMS25-3.1	1132	237.7	0.7882	6.281	0.05714	1.248	0.199	340	4	1624.9162	114.5	353.6019
AMS25-8.1	3886	2729	0.4612	3.434	0.03185	1.199	0.349	190	2	1714.7581	59.16	748.4899
AMS25-5.1	7132	4938	0.497	2.402	0.03218	1.155	0.481	191	2	1832.4717	38.17	797.5709
AMS25-10.1	834.6	19.17	1.4514	1.474	0.08883	1.204	0.817	514	6	1933.8406	15.23	252.5116
AMS25-4.1	3165	2736	0.4606	7.372	0.02917	1.353	0.183	173	2	1872.1064	130.7	909.9434
AMS25-2.1	9301	6290	0.494	5.797	0.02408	1.287	0.222	138	2	2332.2814	96.8	1420.795
AMS25-6.1	15693	14139	0.3859	4.554	0.01752	1.252	0.275	100	1	2453.3695	74.05	2091.559
AMS25-1.1	1233	1542	1.5841	5.546	0.06786	1.39	0.251	376	5	2550.7225	89.91	502.6189
AMS25-7.1	224.2	105.2	7.679	1.62	0.27323	1.278	0.789	1397	17	2857.1692	16.2	83.48674
AMS25-13.1	401.9	299.6	7.716	1.416	0.20612	1.197	0.846	999	12	3314.7007	11.84	174.367
AMS25-11.1	160.7	64.87	21.348	1.362	0.52498	1.291	0.948	2400	32	3443.7809	6.747	26.59808
GB07RIM63a												
GHAB-12.1	61.98	47.68	0.7296	3.489	0.09197	1.317	0.378	568	7	512.27418	71	-9.679233
GHAB-3.1	333.3	120.5	0.7709	1.521	0.09344	0.581	0.382	575	3	597.62473	30.44	3.780967
GHAB-1.1	95.47	64.7	0.7744	2.881	0.09402	1.061	0.368	579	6	593.91342	58.06	2.524372
GHAB-4.1	162.9	250.5	0.7583	2.08	0.09433	0.841	0.404	582	5	541.16825	41.6	-6.871137
GHAB-7.1	143.9	63.56	0.8385	2.261	0.10097	0.899	0.398	620	5	611.89941	44.81	-1.31971
GHAB-6.1	101	103.5	0.8695	2.585	0.10491	1.052	0.407	644	7	607.57811	51.05	-5.527335
GHAB-8.1	494.7	162.5	0.8788	1.083	0.10723	0.478	0.441	658	3	583.34645	21.11	-11.1609
GHAB-10.1	181.7	78.87	2.2369	1.161	0.20252	0.678	0.584	1188	8	1199.6728	18.57	0.909776
GHAB-2.1	65.89	75.34	2.3172	2.838	0.20895	1.105	0.389	1224	13	1207.5492	51.47	-1.282862
GHAB-11.1	66.84	39.93	2.2422	2.443	0.2088	1.126	0.461	1226	13	1143.9211	43.09	-6.42135
GHAB-9.1	27.4	4.65	3.6319	2.955	0.27241	1.667	0.564	1552	25	1561.2976	45.75	0.53156

Numéro d'analyse	U ppm	Th ppm	207r/ 235	% err	206r / 238	% err	err corr	207corr 206Pb/ 238U Âge	1σ err	204corr 207Pb/ 206Pb Âge	1σ err	% Dis-cordant
GHAB-5.1	48.63	34.01	13.928	1.487	0.51475	1.229	0.827	2631	36	2795.2352	13.7	4.422337
DB07RIM51a												
RIM51-2.1	614	145	~~2.27~~	~~5.0~~	~~.1502~~	~~0.7~~	~~.137~~	863.5	5.3	1792	90	99
RIM51-12.1	858	54	1.83	1.4	.1178	0.5	.349	681.0	3.3	1841	24	156
RIM51-4.1	483	28	3.37	1.1	.2017	0.5	.481	1132.8	5.5	1976	17	67
RIM51-3.1	531	279	4.33	1.1	.2563	0.5	.480	1423.4	7.4	1994	18	36
RIM51-7.1	676	415	3.70	1.0	.2179	0.4	.430	1217.5	5.0	2000	16	57
RIM51-9.1	314	61	4.46	1.8	.2619	0.6	.344	1451.6	8.1	2009	30	34
RIM51-10.1	542	99	4.44	6.9	.2594	0.8	.113	1437.8	12.8	2015	121	36
RIM51-11.1	250	72	4.91	1.4	.2845	0.7	.469	1570.0	9.9	2030	22	26
RIM51-6.1	287	118	4.21	1.8	.2408	0.7	.378	1334.6	8.3	2056	30	48
RIM51-1.1	589	216	5.95	0.6	.3396	0.4	.696	1860.1	7.5	2059	7	9
RIM51-5.1	330	112	4.96	2.3	.2816	0.7	.286	1550.1	8.8	2067	39	29
RIM51-8.1	206	24	6.72	1.0	.3821	0.7	.753	2089.7	15.4	2065	11	-1

Table 9. Compilation des âges isotopiques publiés concernant la Mauritanie.

Compilation des âges isotopiques les plus fiables publiés sur la Mauritanie.										
Numéro d'échantillon	**Numéro d'échantillon (PRISM)**	**Unité géologique (PRISM1)**	**Unité géologique (abréviation utilisée dans livrable 51)**	**Lithologie**	**Âge (Ma)**	**Erreur de 2-sigma**	**Latitude**	**Longitude**	**Carte géologique 1:200,000**	**Système isotopique**
22120262	22120262	Formation de Mirikli (TRmi)	()	metagranite à biotite	2487	8	22.62222	-12.70417	2212 Fderik	U-Pb
22120276	22120276	Formation de Mirikli (TRmi)	Trm	granite foliée à biotite	2654	8	22.36944	-12.61667	2212 Fderik	U-Pb
22120276	22120276	Formation de Mirikli (TRmi)	Trm	granite foliée à biotite	2482	7	22.36944	-12.61667	2212 Fderik	U-Pb
23120012	23120012	Formation de Mirikli (TRmi)	Trm	granite	2948	11	23.04694	-12.33917	2312 Oum Dfeirat	U-Pb
161201600	161201600	Cortège de Selibabi, Sous-cortège de Oued Djib (Plg)	Plg	métaleucogranite	637	5	16.54361	-12.54144	1612 Mbout	U-Pb
161201699	161201699	Cortège de Guidamaka (GDg)	GD	microgranodiorite-tonalite altéré	665	3	16.02084	-12.3136	1612 Mbout	U-Pb

(suite) Compilation des âges isotopiques les plus fiables publiés sur la Mauritanie				
Numéro de l'échantillon	**Minéral**	**Signification**	**Commentaires**	**Reference**
22120262	zircon	magmatisme	LAICPMS. Age Concordia (Ludwig, 2003) basé sur analyses de six zircons. Notez que la figure 7d de Schofield et al. (2012) montre les données pour cet échantillon mais est incorrectement étiquetés avec un autre numéro d'échantillon.	Schofield et al. (2012)
22120276	zircon	magmatisme	LAICPMS. Age Concordia (Ludwig, 2003) basé sur analyses de 15 zircons.	Schofield et al. (2012). Remplace les résultats de O'Connor et al. (2005), Section 2.6.9.
22120276	monazite	métamorphisme	LAICPMS. "Concordia age" (Ludwig, 2003) basé sur analyses de sept monazites.	Schofield et al. (2012). Remplace les résultats de O'Connor et al. (2005), Section 2.6.9.
23120012	zircon	magmatisme	LAICPMS. L'âge d'interception supérieure basé sur deux zircons.	Schofield et al. (2012). Remplace les résultats de O'Connor et al. (2005), Section 2.6.8.2
161201600	zircon	magmatisme	TIMS, l'âge d'interception inférieure basé sur six zircons; héritage à ca. 1730 Ma	Pitfield et al. (2004), Section 3.4.7.5
161201699	zircon	magmatisme	TIMS, l'âge par la méthode 206Pb/238Pb d'un zircon	Pitfield et al. (2004), Section 3.3.5.5

Compilation des âges isotopiques les plus fiables publiés sur la Mauritanie.

Numéro d'échantillon	Numéro d'échantillon (PRISM)	Unité géologique (PRISM1)	Unité géologique (abréviation utilisée dans livrable 51)	Lithologie	Âge (Ma)	Erreur de 2-sigma	Latitude	Longitude	Carte géologique 1:200,000	Système isotopique
171301017	171301017	Cortège de Kelbé, Sous-cortège d'Oudei ez Zemt (KBgd)	KB	métagranite	772	49	17.36605	-13.0172	1713 Aleg	U-Pb
171301091	171301091	Métagranite de Zemzem (ZZ)	Qd	méta-microgranodiorite protomylonitique	2683	22	17.84362	-13.15103	1713 Aleg	U-Pb
171301098	171301098	Cortège de Kelbé, Sous-cortège d'Oudei ez Zemt, granite de Khir Fih (KBk)	KB	syénogranite à biotite	685	18	17.66153	-13.0607	1713 Aleg	U-Pb
191401070	191401070	Late dike in Akjoujt area (Mgg)	Ocj	microgranite granophyrique à hornblende	199.1	3.6	19.8682	-14.14701	1914 Akjoujt	U-Pb
191404014	191404014	Métagranite de Hajar Dekhen (HDgr)	HDg	métagranite phénocristallin grossier	599	8	19.72733	-14.59907	1914 Akjoujt	U-Pb
201401584	201401584	Ndaouâs Suite, Tasiast–Tijirit Terrane (TSg)	TSt	granodiorite à biotite	2912	35	20.76705	-14.61118	2014 Ahmeyim	U-Pb
201401598	201401598	Bir Igueni Granite, Tasiast–Tijirit Terrane (TSb)	TSb	monzogranite å biotite	2933	16	20.99558	-14.94257	2014 Ahmeyim	U-Pb
201401619	201401619	Cortège d'Aoutitilt (AO)	AO	gneiss oeillé granitique	2954	11	20.04574	-14.42615	2014 Ahmeyim	U-Pb
201500738	201500738	Formation d'Aouéoua, Groupe de Lebzenia, Tasiast–Tijirit Terrane (LBav)	Lbf	métadacite	2968	2	20.5709	-15.513	2015 Chami	U-Pb

(suite) Compilation des âges isotopiques les plus fiables publiés sur la Mauritanie

Numéro de l'échantillon	Minéral	Signification	Commentaires	Reference
171301017	zircon	magmatisme	LAICPMS. Les données isotopiques sont complexes. Dans Pitield et al. (2004) les légendes des figures 3.26 et 3.27 sont transposées	Pitfield et al. (2004). Voir Annexe 5
171301091	zircon	magmatisme	LAICPMS. L'âge d'interception supérieure basé sur 15 zircons	Pitfield et al. (2004), Section 3.8.1.5
171301098	zircon	magmatisme	LAICPMS. Age Concordia (Ludwig, 2003) basé sur analyses de six concordant overlapping zircons	Pitfield et al. (2004), Section 3.4.7.5
191401070	zircon	magmatisme	TIMS, moyenne des trois âges par la méthode 206Pb/238U	Pitfield et al. (2004), Section 5.1.4
191404014	zircon	magmatisme	TIMS, l'âge d'interception inférieure basé sur six zircons; héritage à ca. 960 Ma	Pitfield et al. (2004), Section 3.5.6.6
201401584	zircon	magmatisme	TIMS, l'âge d'interception supérieure.	Key et al. (2008)
201401598	zircon	magmatisme	TIMS, l'âge d'interception supérieure.	Key et al. (2008)
201401619	zircon	magmatisme	TIMS, l'âge d'interception supérieure	Key et al. (2008)
201500738	zircon	magmatisme	TIMS, l'âge par la méthode 207Pb/206Pb d'un zircon.	Key et al. (2008)

Compilation des âges isotopiques les plus fiables publiés sur la Mauritanie.

Numéro d'échantillon	Numéro d'échantillon (PRISM)	Unité géologique (PRISM1)	Unité géologique (abréviation utilisée dans livrable 51)	Lithologie	Âge (Ma)	Erreur de 2-sigma	Latitude	Longitude	Carte géologique 1:200,000	Système isotopique
211200139	211200139	Cortège de Fderik (FDgp)	FD	granite phénocristallin grossier	2520	28	21.533531	-12.867851	2112 Char	U-Pb
211501053	211501053	Cortege de Soueïdiyat (SDmt)	SDm	métatonalite	642	6	21.228243	-15.997172	2015 Chami	U-Pb
A1		Complexe d'Amsaga, Touijenjert granite	TJg	granite	2726	7	20.907659	-13.199468	2013 Atar	U-Pb
A34		Guelb el Azib granulitic gabbro	AMgn	gabbro	2742	7	20.427712	-13.524511	2013 Atar	U-Pb
AB1443	250917628	Cortege d'Adam Anajim (AAgn)	AA	orthogneiss granodioritique	2063	4	25.493099	-9.68418	2509 Ain Ben Tili	U-Pb
AF41		Amsaga terrane	AMgn	orthogneiss migmatitique	3515	15	20.811732	-13.194261	2310 Zednes	U-Pb
AG128		Complexe d'Amsaga, charnockitic massif of Snine Kembo	AMc	charnockite	2986	8	20.845199	-13.328468	2013 Atar	U-Pb
BB0148	151201143	Cortège de Sélibabi (Sbb)	SB	granite à muscovite	639	7	15.4415	-12.2721	1512 - 1412 Selibabi Bakel	U-Pb
BB0183B		Groupe de Gadel (Gaam)	Ga	tonalite	637	4.4	15.6253	-12.2332	1512 - 1412 Selibabi Bakel	U-Pb
BB0435	151201421	Cortège du Guidimaka (GDg)	GD	diorite	669.8	6.3	15.9366	-12.545	1512 - 1412 Selibabi Bakel	U-Pb

(suite) Compilation des âges isotopiques les plus fiables publiés sur la Mauritanie

Numéro de l'échantillon	Minéral	Signification	Commentaires	Reference
211200139	zircon, titanite, & allanite	magmatisme	LA-PIMMS, l'âge d'interception supérieure basé sur zircon, titanite, et allanite.	O'Connor et al. (2005), Section 2.7.6
211501053	zircon	magmatisme	TIMS, moyenne des six âges par la méthode 206Pb/238U.	Pitfield et al. (2004), Section 3.7.4
A1	zircon	magmatisme	SIMS, moyenne des douze âges par la méthode 207Pb/206Pb.	Potrel et al. (1998); remplace le résultat de Auvray et al. (1992)
A34	zircon	magmatisme	Evaporation du Pb; la plus ancienne de plusieurs âges de zircons individuels.	Auvray et al. (1992)
AB1443	zircon	magmatisme	Évaporation du Pb, moyenne des quatre âges par la méthode 207Pb/206Pb. Interprété par Lahondere et al. (2003) comme un jeune surimpression.	Lahondere et al. (2003), Section 2.3.2.4.4
AF41	zircon	magmatisme	SIMS, plus vieil âge concordant par la méthode 207Pb/206Pb.	Potrel et al. (1996)
AG128	zircon	magmatisme	SIMS, moyenne des huit âges par la méthode 207Pb/206Pb des coeurs de zircons.	Potrel et al. (1998)
BB0148	monazite	magmatisme	Âge basé sur les donnés de microsonde électronique.	Lahondere et al. (2005), Section 3.4.4.4
BB0183B	zircon	magmatisme	Evaporation du Pb, moyenne des 17 âges par la méthode 207Pb/206Pb.	Lahondere et al. (2005), Section 3.4.2.4
BB0435	zircon	magmatisme	Evaporation du Pb, moyenne des 18 âges par la méthode	Lahondere et al. (2005), Section

Compilation des âges isotopiques les plus fiables publiés sur la Mauritanie.

Numéro d'échantillon	Numéro d'échantillon (PRISM)	Unité géologique (PRISM1)	Unité géologique (abréviation utilisée dans livrable 51)	Lithologie	Âge (Ma)	Erreur de 2-sigma	Latitude	Longitude	Carte géologique 1:200,000	Système isotopique
BB0438	151201424	Groupe d'Oua-Oua	Oo	grés quartzitique	0	0	15.9782	-12.6714	1512 - 1412 Selibabi Bakel	U-Pb
BB0566	151201551	Groupe d' El Mseigguem	Ms	métatuf	0	0	15.6127	-12.5758	1512 - 1412 Selibabi Bakel	U-Pb
BB0659	151201644	Groupe d'El Mseigguem, Formation de Niomel (MsNi)	Ms	tuf dacitique	620.2	6.2	15.4034	-12.3745	1512 - 1412 Selibabi Bakel	U-Pb
BB0767	151201748	Cortège du Guidimaka, granodiorite d'Oulombomé (GDg)	GD	granodiorite	671.1	7.7	15.6888	-12.321	1512 - 1412 Selibabi Bakel	U-Pb
BB2089	151202031	Groupe de Téniagouri (TeK)	Te	tuf	604	6	15.1377	-12.0719	1512 - 1412 Selibabi Bakel	U-Pb
BK0033	141203106	Groupe de Téniagouri (TeK)	Te	tuf	635.3	6.8	14.9387	-12.1148	1512 - 1412 Selibabi Bakel	U-Pb
BL0220	250720097	Cortège du Yetti (Yb)	Yg	granite porphyrique	1995	20	25.285699	-7.07032	2507 Bir Lemjed	U-Th-Pb
BL0386	250720263	Groupe de Blekhzaymat (BZam4)	BZm	andesite	2069	10	25.0535	-7.85867	2507 Bir Lemjed	U-Pb
BZ1668A		Cortège du Yetti, Granite rapakivi d'Archéouat (Ya)	Yg	granites de type rapakivi	2002	12	24.33927	-7.9405	2407 Blekhzaymat	U-Th-Pb
C91-1		Supergroup 2: autochthonous cover at Guelb el Hadej	ADu	siltite	351	0	19.907275	-14.193521	1914 Akjoujt	K/Ar

(suite) Compilation des âges isotopiques les plus fiables publiés sur la Mauritanie

Numéro de l'échantillon	Minéral	Signification	Commentaires	Reference
			207Pb/206Pb.	3.4.3.4
BB0438	zircon	zircons détritiques	Semblable aux code-barres de Groupe de Oujeft.	Lahondère et al. (2005), Section 3.5.6.4
BB0566	zircon	zircons détritiques	Semblable aux code-barres de Groupe de Téniagouri.	Lahondère et al. (2005), Section 3.5.3.4
BB0659	zircon	magmatisme	Evaporation du Pb, moyenne des douze âges par la méthode 207Pb/206Pb.	Lahondere et al. (2005), Section 3.5.3.5
BB0767	zircon	magmatisme	Evaporation du Pb, moyenne des 15 âges par la méthode 207Pb/206Pb.	Lahondere et al. (2005), Section 3.4.3.5
BB2089	zircon	magmatisme	SIMS, moyenne des neuf âges par la méthode 206Pb/238U.	Lahondere et al. (2005), Section 3.2.4.5
BK0033	zircon	magmatisme	Evaporation du Pb, moyenne des 14 âges par la méthode 207Pb/206Pb.	Lahondere et al. (2005), Section 3.2.4.4
BL0220	monazite	magmatisme	Âge basé sur les donnés de microsonde électronique.	Lahondere et al. (2003), Section 2.3.4.4.2
BL0386	zircon	magmatisme	SIMS, moyenne des neuf âges par la méthode 207Pb/206Pb.	Lahondere et al. (2003), Section 2.3.3.4.2
BZ1668A	monazite	magmatisme	Âge basé sur les donnés de microsonde électronique.	Lahondere et al. (2003), Section 2.3.4.4.2
C91-1	illite	refroidissement post-métamorphique	Echantillon de l'autochtone sous le chevauchement frontal des Mauritanides dans le	Clauer et al. (1991)

Compilation des âges isotopiques les plus fiables publiés sur la Mauritanie.										
Numéro d'échantillon	**Numéro d'échantillon (PRISM)**	**Unité géologique (PRISM1)**	**Unité géologique (abréviation utilisée dans livrable 51)**	**Lithologie**	**Âge (Ma)**	**Erreur de 2-sigma**	**Latitude**	**Longitude**	**Carte géologique 1:200,000**	**Système isotopique**
C91-2		Supergroup 2: autochthonous cover at Guelb el Hadej	ADu	siltite	341	8	19.907275	-14.193521	1914 Akjoujt	K/Ar
C91-3		Supergroup 2: autochthonous cover at Guelb el Hadej	ADu	siltite	346	8	19.907275	-14.193521	1914 Akjoujt	K/Ar
C91-5		Supergroup 2: autochthonous cover at Guelb el Hadej	ADu	siltite	337	8	19.907275	-14.193521	1914 Akjoujt	K/Ar
C91-6		Thrust zone below napped complex at Guelb el Hadej	ADu	siltite clivée	301	8	19.907275	-14.193521	1914 Akjoujt	K/Ar
C91-7		Thrust zone below napped complex at Guelb el Hadej	ADu	siltite clivée	312	7	19.907275	-14.193521	1914 Akjoujt	K/Ar
C91-8		Thrust zone below napped complex at Guelb el Hadej	ADu	siltite clivée	307	12	19.907275	-14.193521	1914 Akjoujt	K/Ar
C91-A		Autochthonous basement at Guelb el Hadej	ADu	amphibolite	2413	5	19.907275	-14.193521	1914 Akjoujt	40Ar/39Ar
C91-B		Autochthonous basement at Guelb el Hadej	ADu	gneiss felsique	1812	3	19.907275	-14.193521	1914 Akjoujt	40Ar/39Ar

(suite) Compilation des âges isotopiques les plus fiables publiés sur la Mauritanie				
Numéro de l'échantillon	**Minéral**	**Signification**	**Commentaires**	**Reference**
			district d'Akjoujt	
C91-2	illite	refroidissement post-métamorphique	Echantillon de l'autochtone sous le chevauchement frontal des Mauritanides dans le district d'Akjoujt	Clauer et al. (1991)
C91-3	illite	refroidissement post-métamorphique	Echantillon de l'autochtone sous le chevauchement frontal des Mauritanides dans le district d'Akjoujt	Clauer et al. (1991)
C91-5	illite	refroidissement post-métamorphique	Echantillon de l'autochtone sous le chevauchement frontal des Mauritanides dans le district d'Akjoujt	Clauer et al. (1991)
C91-6	illite	refroidissement post-métamorphique	Echantillon de la zone de chevauchement frontal des Mauritanides dans le District Akjoujt	Clauer et al. (1991)
C91-7	illite	refroidissement post-métamorphique	Echantillon de la zone de chevauchement frontal des Mauritanides dans le District Akjoujt	Clauer et al. (1991)
C91-8	illite	refroidissement post-métamorphique	Echantillon de la zone de chevauchement frontal des Mauritanides dans le District Akjoujt	Clauer et al. (1991)
C91-A	hornblende	refroidissement post-métamorphique	Plateau.	Clauer et al. (1991)
C91-B	biotite	refroidissement post-métamorphique	Âge total.	Clauer et al. (1991)

Compilation des âges isotopiques les plus fiables publiés sur la Mauritanie.

Numéro d'échantillon	Numéro d'échantillon (PRISM)	Unité géologique (PRISM1)	Unité géologique (abréviation utilisée dans livrable 51)	Lithologie	Âge (Ma)	Erreur de 2-sigma	Latitude	Longitude	Carte géologique 1:200,000	Système isotopique
D203		Rich Anajim Group	RAgn	gneiss migmatitique à grenats	2117	36	24.38472	-11.87528	2411 Tourassin	U-Pb
D4		Sfariat Belt	SF	granite à phénocristaux de feldspath potassique	2064	12	23.98639	-11.35667	2411 Tourassin	U-Pb
DL89-1		Fault zone in parautochthonous Djonaba Group	Cn	quartzite mylonitique	413.7	1.2	17.580036	-12.812963	1712 Moudjeria	40Ar/39Ar
DL89-10		Gâoua allochthon	Go	quartzite mylonitique	546.7	1.4	17.44039	-12.939449	1712 Moudjeria	40Ar/39Ar
DL89-11		Fault zone beneath Gâoua allochthon	Qf	schiste à chloritoid	512.7	1.2	17.43945	-12.934284	1712 Moudjeria	40Ar/39Ar
DL89-12a		Farkaka Association, Gaoua window, central Mauritanides	KB	amphibolite	734.4	7.6	17.428306	-12.94791	1712 Moudjeria	40Ar/39Ar
DL89-12b		Farkaka Association, Gaoua window, central Mauritanides	KB	amphibolite	848.6	6.3	17.428306	-12.94791	1712 Moudjeria	40Ar/39Ar
DL89-14		Farkaka association, Gaoua window, central Mauritanides	Go	quartzite mylonitique	587.7	0.7	17.433638	-12.988519	1712 Moudjeria	40Ar/39Ar
DL89-15		Farkaka association, Gaoua window, central Mauritanides	Go	amphibolite à mica	597.4	1.1	17.423354	-12.99425	1712 Moudjeria	40Ar/39Ar
DL89-16		El Hneikat sequence, central Mauritanides	KB	schiste	298.9	1.8	17.427222	-13.020735	1713 Aleg	40Ar/39Ar

(suite) Compilation des âges isotopiques les plus fiables publiés sur la Mauritanie

Numéro de l'échantillon	Minéral	Signification	Commentaires	Reference
D203	zircon	magmatisme	LAICPMS. L'Âge d'interception supérieure basé sur 18 zircons.	Schofield et al. (2006)
D4	zircon	magmatisme	LAICPMS. L'Âge d'interception supérieure basé sur dueze zircons.	Schofield et al. (2006)
DL89-1	mica blanc à grain fin	refroidissement post-métamorphique	Plateau.	Dallmeyer et Lécorché (1989)
DL89-10	muscovite	refroidissement post-métamorphique	Âge total.	Dallmeyer et Lécorché (1989)
DL89-11	muscovite	refroidissement post-métamorphique	Âge total.	Dallmeyer et Lécorché (1989)
DL89-12a	hornblende	refroidissement post-métamorphique	Plateau.	Dallmeyer et Lécorché (1989)
DL89-12b	hornblende	refroidissement post-métamorphique	Âge total.	Dallmeyer et Lécorché (1989)
DL89-14	muscovite	refroidissement post-métamorphique	Plateau.	Dallmeyer et Lécorché (1989)
DL89-15	muscovite	refroidissement post-métamorphique	Plateau.	Dallmeyer et Lécorché (1989)
DL89-16	muscovite	refroidissement post-métamorphique	Plateau.	Dallmeyer et Lécorché (1989)

Compilation des âges isotopiques les plus fiables publiés sur la Mauritanie.

Numéro d'échantillon	Numéro d'échantillon (PRISM)	Unité géologique (PRISM1)	Unité géologique (abréviation utilisée dans livrable 51)	Lithologie	Âge (Ma)	Erreur de 2-sigma	Latitude	Longitude	Carte géologique 1:200,000	Système isotopique
DL89-17		El Hneikat sequence, central Mauritanides	Fr	schiste	297.1	2.7	17.406893	-13.079893	1713 Aleg	40Ar/39Ar
DL89-18		Fault zone in parautochthonous Djonaba Group	Dj	quartzite mylonitique	501.1	1.5	17.399421	-12.780666	1712 Moudjeria	40Ar/39Ar
DL89-20		Farkaka association, Oued Amour, central Mauritanides	Ga	quartzite mylonitique	593.6	1.1	17.268163	-12.837034	1712 Moudjeria	40Ar/39Ar
DL89-22		Farkaka association, Oued Amour, central Mauritanides	Ga	amphibolite	646.3	3.7	17.245725	-12.837499	1712 Moudjeria	40Ar/39Ar
DL89-23		Farkaka association, Oued Amour, central Mauritanides	Ga	quartzite mylonitique	592.2	0.9	17.232747	-12.849729	1712 Moudjeria	40Ar/39Ar
DL89-24		Farkaka association, Oued Amour, central Mauritanides	Ga	quartzite mylonitique	597.2	1.2	17.220269	-12.843426	1712 Moudjeria	40Ar/39Ar
DL89-27		Farkaka association, Oued Amour, central Mauritanides	Ga	amphibolite	804.9	6.5	17.183347	-12.803935	1712 Moudjeria	40Ar/39Ar
DL89-28		Gâoua allochthon	Go	quartzite mylonitique	551.2	2.4	17.110753	-12.831937	1712 Moudjeria	40Ar/39Ar
DL89-29		Farkaka association, Oued Amour, central Mauritanides	Qf	quartzite mylonitique	583.9	1.3	17.164417	-12.817822	1712 Moudjeria	40Ar/39Ar

(suite) Compilation des âges isotopiques les plus fiables publiés sur la Mauritanie

Numéro de l'échantillon	Minéral	Signification	Commentaires	Reference
DL89-17	muscovite	refroidissement post-métamorphique	Plateau.	Dallmeyer et Lécorché (1989)
DL89-18	mica blanc à grain fin	refroidissement post-métamorphique	Plateau.	Dallmeyer et Lécorché (1989)
DL89-20	muscovite	refroidissement post-métamorphique	Plateau.	Dallmeyer et Lécorché (1989)
DL89-22	hornblende	refroidissement post-métamorphique	Plateau.	Dallmeyer et Lécorché (1989)
DL89-23	muscovite	refroidissement post-métamorphique	Plateau.	Dallmeyer et Lécorché (1989)
DL89-24	muscovite	refroidissement post-métamorphique	Âge total.	Dallmeyer et Lécorché (1989)
DL89-27	hornblende	refroidissement post-métamorphique	Âge total.	Dallmeyer et Lécorché (1989)
DL89-28	muscovite	refroidissement post-métamorphique	Âge total.	Dallmeyer et Lécorché (1989)
DL89-29	muscovite	refroidissement post-métamorphique	Plateau.	Dallmeyer et Lécorché (1989)

Compilation des âges isotopiques les plus fiables publiés sur la Mauritanie.

Numéro d'échantillon	Numéro d'échantillon (PRISM)	Unité géologique (PRISM1)	Unité géologique (abréviation utilisée dans livrable 51)	Lithologie	Âge (Ma)	Erreur de 2-sigma	Latitude	Longitude	Carte géologique 1:200,000	Système isotopique
DL89-30		Farkaka association, Oued Amour, central Mauritanides	Ga	quartzite mylonitique	594.5	1.3	17.149088	-12.798113	1712 Moudjeria	40Ar/39Ar
DL89-30		Farkaka association, Oued Amour, central Mauritanides	Ga	amphibolite	647.2	5.6	17.149088	-12.798113	1712 Moudjeria	40Ar/39Ar
DL89-31		Farkaka association, Oued Amour, central Mauritanides	Ga	quartzite mylonitique	592.9	1.2	17.157589	-12.769369	1712 Moudjeria	40Ar/39Ar
DL89-31		Farkaka association, Oued Amour, central Mauritanides	Ga	amphibolite	711.2	3.9	17.157589	-12.769369	1712 Moudjeria	40Ar/39Ar
DL89-32		Farkaka association, Oued Amour, central Mauritanides	Ga	quartzite mylonitique	581.9	0.7	17.145084	-12.765819	1712 Moudjeria	40Ar/39Ar
DL89-33		Oued Amour sequence, central Mauritanides	Gu	quartzite mylonitique	594.5	1.3	17.164276	-12.721043	1712 Moudjeria	40Ar/39Ar
DL89-34		Farkaka association, Oued Amour, central Mauritanides	Ga	quartzite mylonitique	582.9	1.1	17.13659	-12.717699	1712 Moudjeria	40Ar/39Ar
DL89-5		Fault zone in parautochthonous Djonaba Group	Gu	quartzite mylonitique	358.5	1.1	17.487707	-12.891042	1712 Moudjeria	40Ar/39Ar
DL89-7		Fault zone beneath Gâoua allochthon	Go	quartzite mylonitique	505.5	2.6	17.533488	-12.949755	1712 Moudjeria	40Ar/39Ar
DL90a-1		Basement in "Bou Naga window"	AMg	amphibolite	2064	5	19.258781	-13.842704	1913 El Gleitat	40Ar/39Ar

(suite) Compilation des âges isotopiques les plus fiables publiés sur la Mauritanie

Numéro de l'échantillon	Minéral	Signification	Commentaires	Reference
DL89-30	muscovite	refroidissement post-métamorphique	Plateau.	Dallmeyer et Lécorché (1989)
DL89-30	hornblende	refroidissement post-métamorphique	Plateau.	Dallmeyer et Lécorché (1989)
DL89-31	muscovite	refroidissement post-métamorphique	Plateau.	Dallmeyer et Lécorché (1989)
DL89-31	hornblende	magmatisme	Plateau.	Dallmeyer et Lécorché (1989)
DL89-32	muscovite	refroidissement post-métamorphique	Plateau.	Dallmeyer et Lécorché (1989)
DL89-33	muscovite	refroidissement post-métamorphique	Plateau.	Dallmeyer et Lécorché (1989)
DL89-34	muscovite	refroidissement post-métamorphique	Plateau.	Dallmeyer et Lécorché (1989)
DL89-5	mica blanc à grain fin	refroidissement post-métamorphique	Âge total.	Dallmeyer et Lécorché (1989)
DL89-7	muscovite	refroidissement post-métamorphique	Âge total.	Dallmeyer et Lécorché (1989)
DL90a-1	amphibole	refroidissement post-métamorphique	Âge total.	Dallmeyer et Lécorché (1990a)

Compilation des âges isotopiques les plus fiables publiés sur la Mauritanie.

Numéro d'échantillon	Numéro d'échantillon (PRISM)	Unité géologique (PRISM1)	Unité géologique (abréviation utilisée dans livrable 51)	Lithologie	Âge (Ma)	Erreur de 2-sigma	Latitude	Longitude	Carte géologique 1:200,000	Système isotopique
DL90a-11		Hajar Dekhen nappe, Akjoujt area	HDg	métagranite mylonitique	314	0.8	19.674349	-14.576482	1914 Akjoujt	40Ar/39Ar
DL90a-3		El Mbehteh nappe of Ijibiten nappe complex	JbTe	quartzite mylonitique	2419	5	19.42688	-13.533238	1913 El Gleitat	40Ar/39Ar
DL90a-5		Chouéma nappe of Akjoujt area	Oci	quartzite mylonitique	323	1.1	19.534781	-14.175454	1914 Akjoujt	40Ar/39Ar
DL90a-7b		Bou Kerch nappe, Akjoujt area	Agt	schiste a grenat et muscovite	336.5	1	19.288328	-14.174693	1914 Akjoujt	40Ar/39Ar
DL90a-8		Hajar Dekhen nappe, Akjoujt area	HDm	métagranite mylonitique	308	0.8	19.764431	-14.463489	1914 Akjoujt	40Ar/39Ar
DL90b-1		Oua-Oua Series, western metavolcanic-sedimentary terrane, southern Mauritanides	Gr	quartzite	312.7	1.6	16.005412	-12.70593	1612 Mbout	40Ar/39Ar
DL90b-10		Guidimakha igneous complex, Eastern calc-alkaline igneous complex, southern Mauritanides	SB	granite mylonitique	627.8	1.9	15.543406	-12.290629	1512-1412 Selibabi - Bakel	40Ar/39Ar
DL90b-11		Guidimakha igneous complex, Eastern calc-alkaline igneous complex, southern Mauritanides	SB	granite	602.3	2.3	15.560651	-12.286295	1512-1412 Selibabi - Bakel	40Ar/39Ar
DL90b-12		Western metavolcanic-sedimentary terrane, Tiagniaf Series, Senegal		quartzite	267	2	15.098494	-12.732441	1512-1412 Selibabi - Bakel (Senegal)	40Ar/39Ar

(suite) Compilation des âges isotopiques les plus fiables publiés sur la Mauritanie

Numéro de l'échantillon	Minéral	Signification	Commentaires	Reference
DL90a-11	muscovite	refroidissement post-métamorphique	Plateau.	Dallmeyer et Lécorché (1990a)
DL90a-3	amphibole	refroidissement post-métamorphique	Plateau.	Dallmeyer et Lécorché (1990a)
DL90a-5	muscovite	refroidissement post-métamorphique	Âge total.	Dallmeyer et Lécorché (1990a)
DL90a-7b	muscovite	refroidissement post-métamorphique	Âge total.	Dallmeyer et Lécorché (1990a)
DL90a-8	muscovite	refroidissement post-métamorphique	Plateau.	Dallmeyer et Lécorché (1990a)
DL90b-1	muscovite	refroidissement post-métamorphique	Plateau.	Dallmeyer et Lécorché (1990b)
DL90b-10	muscovite	refroidissement post-métamorphique	Plateau.	Dallmeyer et Lécorché (1990b)
DL90b-11	muscovite	refroidissement N55post-métamorphique	Plateau.	Dallmeyer et Lécorché (1990b). Au Sénégal, à la frontière avec la Mauritanie.
DL90b-12	muscovite	refroidissement post-métamorphique	Plateau.	Dallmeyer et Lécorché (1990b). Au Sénégal, à la frontière avec la Mauritanie.

Compilation des âges isotopiques les plus fiables publiés sur la Mauritanie.

Numéro d'échantillon	Numéro d'échantillon (PRISM)	Unité géologique (PRISM1)	Unité géologique (abréviation utilisée dans livrable 51)	Lithologie	Âge (Ma)	Erreur de 2-sigma	Latitude	Longitude	Carte géologique 1:200,000	Système isotopique
DL90b-13		Western metavolcanic-sedimentary terrane, Tiagniaf Series, Senegal		quartzite	270	2	15.078798	-12.6806	1512-1412 Selibabi - Bakel (Senegal)	40Ar/39Ar
DL90b-14		Western metavolcanic-sedimentary terrane, Tiagniaf Series, Senegal		schiste a grenat et muscovite	279	2	15.065864	-12.683452	1512-1412 Selibabi - Bakel (Senegal)	40Ar/39Ar
DL90b-15		Western metavolcanic-sedimentary terrane, Tiagniaf Series, Senegal		quartzite	280	2	15.061395	-12.705564	1512-1412 Selibabi - Bakel (Senegal)	40Ar/39Ar
DL90b-16		Western metavolcanic-sedimentary terrane, Tiagniaf Series, Senegal		schiste a grenat et muscovite	275	1	15.052908	-12.689256	1512-1412 Selibabi - Bakel (Senegal)	40Ar/39Ar
DL90b-17		Western metavolcanic-sedimentary terrane, Tiagniaf Series, Senegal		quartzite	299	2	15.044984	-12.594702	1512-1412 Selibabi - Bakel (Senegal)	40Ar/39Ar
DL90b-2		Oua-Oua Series, western metavolcanic-sedimentary terrane, southern Mauritanides	Oo	quartzite	292.2	1.8	15.998484	-12.674724	1512-1412 Selibabi - Bakel	40Ar/39Ar
DL90b-20		Bakel structural unit, southern Mauritanides, Senegal		ardoise / phyllithe	358.8	2.6	14.829768	-12.38915	1512-1412 Selibabi - Bakel (Senegal)	40Ar/39Ar

(suite) Compilation des âges isotopiques les plus fiables publiés sur la Mauritanie

Numéro de l'échantillon	Minéral	Signification	Commentaires	Reference
DL90b-13	muscovite	refroidissement post-métamorphique	Plateau.	Dallmeyer et Lécorché (1990b). Au Sénégal, à la frontière avec la Mauritanie.
DL90b-14	muscovite	refroidissement post-métamorphique	Plateau.	Dallmeyer et Lécorché (1990b). Au Sénégal, à la frontière avec la Mauritanie.
DL90b-15	muscovite	refroidissement post-métamorphique	Plateau.	Dallmeyer et Lécorché (1990b). Au Sénégal, à la frontière avec la Mauritanie.
DL90b-16	muscovite	refroidissement post-métamorphique	Plateau.	Dallmeyer et Lécorché (1990b). Au Sénégal, à la frontière avec la Mauritanie.
DL90b-17	muscovite	refroidissement post-métamorphique	Plateau.	Dallmeyer et Lécorché (1990b). Au Sénégal, à la frontière avec la Mauritanie.
DL90b-2	muscovite	refroidissement post-métamorphique	Plateau.	Dallmeyer et Lécorché (1990b)
DL90b-20	roche totale	refroidissement post-métamorphique	Âge total.	Dallmeyer et Lécorché (1990b). Au Sénégal, à la frontière avec la Mauritanie.

Compilation des âges isotopiques les plus fiables publiés sur la Mauritanie.

Numéro d'échantillon	Numéro d'échantillon (PRISM)	Unité géologique (PRISM1)	Unité géologique (abréviation utilisée dans livrable 51)	Lithologie	Âge (Ma)	Erreur de 2-sigma	Latitude	Longitude	Carte géologique 1:200,000	Système isotopique
DL90b-3		Western M'bout Unit, western metavolcanic-sedimentary terrane, southern Mauritanides	Qf	ardoise / phyllithe	313.6	3.4	16.004909	-12.584297	1612 Mbout	40Ar/39Ar
DL90b-4		Eastern calc-alkaline igneous complex, southern Mauritanides	Ms	métatuf	298.6	2.2	16.006794	-12.522011	1612 Mbout	40Ar/39Ar
DL90b-5		Eastern calc-alkaline igneous complex, southern Mauritanides	Ms	métavolcanites felsiques	307	2.1	16.005609	-12.486401	1612 Mbout	40Ar/39Ar
DL90b-7		Eastern calc-alkaline igneous complex, southern Mauritanides	GD	métatuf	320.6	2.3	15.845806	-12.350342	1512-1412 Selibabi - Bakel	40Ar/39Ar
DL90b-8		Guidimakha igneous complex, Eastern calc-alkaline igneous complex, southern Mauritanides	GD	granodiorite	668.3	2.4	15.643652	-12.323833	1512-1412 Selibabi - Bakel	40Ar/39Ar
DL90b-9		Diala-Bouanze series (continental margin rift facies association)	Ga	amphibolite	623.4	1.6	15.571139	-12.207902	1512-1412 Selibabi - Bakel	40Ar/39Ar
GH0063	230921170	Cortège de Gleïbat Tenebdar (GTrt)	GT	granodiorite	2073	3	23.5347	-9.88748	2309 Rhall Amane	U-Pb
GH0223	230921610	Complexe de Tmeïmichatt Ghallamane (TGga)	TGl	granite hyperalumineux	2078	5	23.657499	-9.18002	2309 Rhall Amane	U-Pb
GH0282	230924874	Cortège de Gleïbat Tenebdar (GTrt)	GT	granodiorite	2068	6	23.1734	-9.2352	2309 Rhall Amane	U-Pb

(suite) Compilation des âges isotopiques les plus fiables publiés sur la Mauritanie

Numéro de l'échantillon	Minéral	Signification	Commentaires	Reference
DL90b-3	whole-rock	refroidissement post-métamorphique	Âge total.	Dallmeyer et Lécorché (1990b)
DL90b-4	whole-rock	refroidissement post-métamorphique	Plateau.	Dallmeyer et Lécorché (1990b)
DL90b-5	muscovite	refroidissement post-métamorphique	Plateau.	Dallmeyer et Lécorché (1990b)
DL90b-7	whole-rock	refroidissement post-métamorphique	Plateau.	Dallmeyer et Lécorché (1990b)
DL90b-8	hornblende	refroidissement post-magmatique	Plateau / âge de corrélation isotopique.	Dallmeyer et Lécorché (1990b)
DL90b-9	muscovite	refroidissement post-métamorphique	Plateau.	Dallmeyer et Lécorché (1990b)
GH0063	zircon	magmatisme	Evaporation du Pb, moyenne des 15 âges par la méthode 207Pb/206Pb.	Lahondere et al. (2003), Section 2.3.3.4.4
GH0223	zircon	magmatisme	Evaporation du Pb, moyenne des onze âges par la méthode 207Pb/206Pb.	Lahondere et al. (2003), Section 2.3.2.4.3
GH0282	zircon	magmatisme	Evaporation du Pb, moyenne des douze âges par la méthode	Lahondere et al. (2003), Section

Compilation des âges isotopiques les plus fiables publiés sur la Mauritanie.

Numéro d'échantillon	Numéro d'échantillon (PRISM)	Unité géologique (PRISM1)	Unité géologique (abréviation utilisée dans livrable 51)	Lithologie	Âge (Ma)	Erreur de 2-sigma	Latitude	Longitude	Carte géologique 1:200,000	Système isotopique
GH0685	230922031	Cortège d'Adam Anajim (AAgn)	AA	gneiss tonalitique mylonitique	2129	6	23.8272	-9.84251	2309 Rhall Amane	U-Pb
GTD 8		Grand Dyke d'Ahmeyim	AY	gabbro	2733	2	20.7163	-14.52472	2014 Ahmeyim	U-Pb
M012		Western block of Bou Naga igneous complex	BNz	granite alcalin	685	5	19.006953	-13.258667	1913 El Gleitat	U-Pb
M07		Western block of Bou Naga igneous complex	BNz	syenite alcalin	678	8	18.990202	-13.312909	1813 Bir Allah	U-Pb
Mnz1		Guelb Moghrein deposit in Fm. de Sainte Barbe	ADu	—	2492	9	19.740912	-14.420784	1914 Akjoujt	U-Pb
Mnz2		Guelb Moghrein deposit in Fm. de Sainte Barbe	ADu	—	1742	12	19.740912	-14.420784	1914 Akjoujt	U-Pb
RH1		Eastern block of Bou Naga igneous complex	BNr	rhyolite	687	8	19.007155	-13.141577	1913 El Gleitat	U-Pb
S1		Groupe d'Atar, Fm. de Touirist	Em1	shale	1105	37	23.47	-7.87	2307 El Mreiti	Re/Os
S113		Sfariat Igneous Complex	SF	granodiorite	2093	37	24.45139	-11.68361	2411 Tourassin	U-Pb
S2A		Groupe d'Atar, Fm. de Touirist	GT	shale	1107	12	22.7667	-9.61667	2209 Aguelt El Mabha	Re/Os
S2B		Groupe d'Atar, Fm. de En Nesoar	GT	shale	1109	22	22.7667	-9.61667	2209 Aguelt El Mabha	Re/Os
S68		Tmeimichate group	RA	granodiorite foliée	2071	10	24.00472	-11.72389	2411 Tourassin	U-Pb

(suite) Compilation des âges isotopiques les plus fiables publiés sur la Mauritanie

Numéro de l'échantillon	Minéral	Signification	Commentaires	Reference
			207Pb/206Pb.	2.3.3.4.4
GH0685	zircon	magmatisme	Evaporation du Pb, moyenne des onze âges par la méthode 207Pb/206Pb.	Lahondere et al. (2003), Section 2.3.2.4.2
GTD 8	badelleyite	magmatisme	TIMS. Remplace l'âge de 554±3 Ma de Pitfield et al. (2004, Section 5.1.2.6).	Tait et al. (2013)
M012	zircon	magmatisme	TIMS, âge 207Pb/206Pb moyen.	Blanc et al. (1992)
M07	zircon	magmatisme	TIMS, d'intersection supérieure sur la courbe Concordia.	Blanc et al. (1992)
Mnz1	monazite	hydrothermal	LAICPMS. Stade prinicipal de minéralisation hydrothermale; l'âge du xenotime est similaire (2481±24 Ma).	Meyer et al. (2006)
Mnz2	monazite	hydrothermal	Minéralisation hydrothermale, stade tardif.	Meyer et al. (2006)
RH1	zircon	magmatisme	TIMS, âge 207Pb/206Pb moyen.	Blanc et al. (1992)
S1	shale	sédimentation	Isochron.	Rooney et al. (2010)
S113	zircon	magmatisme	LAICPMS. Âge d'intersection supérieure basé sur douze zircons.	Schofield et al. (2006)
S2A	shale	sédimentation	Isochron.	Rooney et al. (2010)
S2B	shale	sédimentation	Isochron.	Rooney et al. (2010)
S68	zircon	magmatisme	TIMS. Âge d'intersection supérieure basé sur cinq zircons.	Schofield et al. (2006)

Compilation des âges isotopiques les plus fiables publiés sur la Mauritanie.

Numéro d'échantillon	Numéro d'échantillon (PRISM)	Unité géologique (PRISM1)	Unité géologique (abréviation utilisée dans livrable 51)	Lithologie	Âge (Ma)	Erreur de 2-sigma	Latitude	Longitude	Carte géologique 1:200,000	Système isotopique
TB0301	230820907	Complexe de Tin Bessaïs (TBdi)	TBd	diorite	2145	6	23.40242	-8.34195	2308 Tin Bessais	U-Pb
TB0301	230820907	Complexe de Tin Bessaïs (TBgt)	TBd	granodiorite	2122	5	23.40242	-8.34195	2408 Tigsmat	U-Pb
TEN1007GD		Complexe d'Adam Esseder (AEgr)	AEm	granodiorite	2059	4	24.16288	-10.71417	2410 Gleibat Tenebdar	U-Pb
TEN4194	241019057	Groupe de Legleya (LG)	LG	granophyre	2072	6	24.69908	-10.888299	2410 Gleibat Tenebdar	U-Pb
TGH3111B		Complexe de Tmeïmichatt Ghallamane (TGgm)	TGm	granite à muscovite	2118	14	24.004899	-9.3734	2409 Tmeimichatt-Ghallamane	U-Th-Pb
TOUR0016	241116319	Cortège des Sfariat (SFgc)	SF	granite à cordiérite	2023	3	24.44031	-11.77693	2411 Tourassin	U-Th-Pb
TOUR0028	241116331	Cortège des Sfariat (SFgb)	SF	granite à biotite	2038	19	24.37604	-11.84496	2411 Tourassin	U-Th-Pb
TS1060	240815066	Groupe de Tsalabia el Khadra (KHep)	KHq	granophyre	467	7	24.169149	-8.99255	2408 Tigsmat	U-Pb
TS1110A	240815110	Le Groupe d'Imourène, Rhyodacite d'Alous Tmar (IMrh)	IM	rhyodacite	2067	9	24.26398	-8.47518	2408 Tigsmat	U-Pb
TS1570	240815469	Complexe de Tin Bessaïs, Granite du Karêt (TBk)	TB	granite	2141	5	24.01952	-8.98398	2408 Tigsmat	U-Pb
ZD0017	231021392	Cortège granitique de Zednes, Jenéyyène pluton (ZDto)	ZDt	monzodiorite quartzifére mylonitique	2832	4	23.39748	-10.19705	2310 Zednes	U-Pb

(suite) Compilation des âges isotopiques les plus fiables publiés sur la Mauritanie

Numéro de l'échantillon	Minéral	Signification	Commentaires	Reference
TB0301	zircon	magmatisme	Evaporation du Pb, moyenne de neuf âges par la méthode 207Pb/206Pb.	Lahondere et al. (2003), Section 2.3.2.4.1
TB0301	zircon	magmatisme	Evaporation du Pb, moyenne des onze âges par la méthode 207Pb/206Pb.	Lahondere et al. (2003), Section 2.3.2.4.1
TEN1007GD	zircon	magmatisme	Evaporation du Pb, moyenne des treize âges par la méthode 207Pb/206Pb.	Lahondere et al. (2003), Section 2.3.3.4.4
TEN4194	zircon	magmatisme	Evaporation du Pb, moyenne des neuf âges par la méthode 207Pb/206Pb.	Lahondere et al. (2003), Section 2.3.3.4.3
TGH3111B	monazite	magmatisme	Âge basé sur les donnés de microsonde électronique.	Lahondere et al. (2003), Section 2.3.2.4.3
TOUR0016	monazite	magmatisme	Âge basé sur les donnés de microsonde électronique.	Lahondere et al. (2003), Section 2.3.4.4.1
TOUR0028	monazite	magmatisme	Âge basé sur les donnés de microsonde électronique.	Lahondere et al. (2003), Section 2.3.4.4.1
TS1060	zircon	magmatisme?	SIMS. Détails non fournis.	Lahondere et al. (2003), Section 2.3.4.5.6
TS1110A	zircon	magmatisme	SIMS, moyenne des 16 âges par la méthode 207Pb/206Pb.	Lahondere et al. (2003), Section 2.3.3.4.1
TS1570	zircon	magmatisme	Evaporation du Pb, moyenne des dix âges par la méthode 207Pb/206Pb.	Lahondere et al. (2003), Section 2.3.2.4.1
ZD0017	zircon	magmatisme	LAICPMS. Âge d'intersection supérieure basé sur neuf zircons.	Lahondere et al. (2003), Section 2.2.4

Compilation des âges isotopiques les plus fiables publiés sur la Mauritanie.

Numéro d'échantillon	Numéro d'échantillon (PRISM)	Unité géologique (PRISM1)	Unité géologique (abréviation utilisée dans livrable 51)	Lithologie	Âge (Ma)	Erreur de 2-sigma	Latitude	Longitude	Carte géologique 1:200,000	Système isotopique
ZD0206	231022429	Cortège granitique de Zednes (ZDmy)	TT	orthogneiss charnockitique	2856	6	23.37083	-10.14422	2310 Zednes	U-Pb
ZD0237	231022460	Cortège granitique de Zednes, Monzogranite de Bir el Bardi (ZDbg)	ZDm	monzogranite	2902	11	23.54257	-10.43728	2310 Zednes	U-Th-Pb
ZD0593	231022655	Cortège granitique de Zednes, Tonalite rubanée de Jenéyyène (ZDbg)	ZDt	tonalite	3044	5	23.19322	-10.20776	2310 Zednes	U-Pb

(suite) Compilation des âges isotopiques les plus fiables publiés sur la Mauritanie

Numéro de l'échantillon	Minéral	Signification	Commentaires	Reference
ZD0206	zircon	magmatisme	SIMS, ca. 2856 Ma, basé sur la moyenne de neuf zircons par la méthode 207Pb/206Pb. L,äge correspond soit à une réinitialisation ou à une cristallisation magmatique. La monazite, datée avec une microsonde électronique, est plus ancien (2915±18 Ma).	Lahondere et al. (2003), Section 2.2.4
ZD0237	monazite	magmatisme	Âge basé sur les donnés de microsonde électronique.	Lahondere et al. (2003), Section 2.2.4
ZD0593	zircon	magmatisme	Evaporation du Pb, moyenne des sept âges par la méthode 207Pb/206Pb.	Lahondere et al. (2003), Section 2.2.4

ANNEXE

A1. Méthodes analytiques de datation $^{40}Ar/^{39}Ar$

Les analyses $^{40}Ar/^{39}Ar$ ont été réalisées par l'USGS à Denver, au Colorado. Des échantillons d'un grand niveau de pureté et des échantillons normalisés ont été irradiés à 50 mégawatt/heure dans la position centrale du réacteur TRIGA de l'USGS, avec l'utilisation d'un revêtement de Cadmium pour empêcher la production nucléogène d'^{40}Ar. Le flux de neutrons a été suivi par l'utilisation de sanidine des tufs de Fish Canyon, utilisant un âge de 28,20 Ma ± 0.08 Ma (Kuiper et al., 2008). Des rapports de production isotopique ont été déterminés à partir des sels irradiés de CaF_2 et KCl. Au cours de cette irradiation, les valeurs suivantes de production d'Argon ont été mesurées à partir du Calcium et Potassium : ^{36}Ar, dérivé de $^{37}Ca = 2{,}447 \times 10^{-4} \pm 0{,}47 \times 10^{-4}$; ^{39}Ar, dérivé de $^{37}Ca = 6{,}5 \times 10^{-4} \pm 0{,}53 \times 10^{-4}$; et ^{38}Ar, dérivé de $^{39}K = 1{,}29 \times 10^{-2} \pm 0{,}01 \times 10^{-2}$. Les échantillons à analyser, et normalisés, ont été chargés au sein de logements de 3 mm, au niveau d'une planchette en acier inoxydable, fixée sur une ligne d'extraction en acier inoxydable complètement automatisée, et dans des conditions d'ultravide. Les échantillons ont été progressivement dégazés et/ou fondus par l'utilisation d'un laser CO_2 20 W, équipé d'une lentille homogénéisant le faisceau. Le gaz a subi une expansion et une purification par une exposition à une barre froide en acier inoxydable maintenue à −140 ^{o}C et deux pièges à gaz chauds SAES GP50. À la suite de la purification, le gaz a subi une expansion au sein d'un spectromètre de masse *Mass Analyser Products 215-50,* et les isotopes de l'Argon ont été mesurés par des sauts de pics, en utilisant un multiplicateur d'électrons fonctionnant en mode analogique. Les données ont été recueillies au cours de dix cycles, et les coordonnées au temps zéro ont été déterminées par les régressions correspondant le mieux aux données. Les âges ont été calculés à partir des données, celles-ci ayant été corrigées pour distinguer les masses, pour les blancs, la fission radioactive à la suite de l'irradiation, et l'interférence des réactions nucléogènes.

A2. Méthodes analytiques de la datation U-Pb CA-TIMS effectuée à l'Institut de Technologie du Massachusetts

Pour minimiser les effets de la perte de Pb dans le zircon, les grains ont été pré-traités par l'utilisation de l'érosion chimique ou de la technique CA-TIMS de Mattinson (2005, 2010). Cette technique permet une dissolution préférentielle des domaines élevés en U, au sein des cristaux de zircon qui sont les plus sensibles aux dommages de radiation et à la perte de Plomb. Le recuit intervient à 900 °C pendant 60 heures. Les grains recuits ont ensuite été chargés au sein de microcapsules FEP Teflon® de 200µl FEP, et lessivés dans 29M HF au sein de récipients Parr® à 210 °C pendant 12-14 heures. L'échantillon partiellement dissous a ensuite été transféré dans des béchers FEP Savillex® de 3 ml, soumis successivement à 4N HNO_3 et 6N HCl au-dessus d'une plaque chaude et à l'intérieur d'un bain à ultrasons, et rincés dans l'intervalle avec plusieurs millilitres d'eau ultra-pure. Les grains de zircon ont été placés à nouveau dans leurs microcapsules, et traités avec une solution de traçage, combinant ^{205}Pb-^{233}U-^{235}U, puis complètement dissous dans 29M HF à 210 °C pendant 48 heures.

Le Pb et l'U dissous ont été séparés chimiquement par l'utilisation d'une procédure chimique d'échange d'ions à base d'HCl miniaturisé, modifiée d'après Krogh (1973), utilisant des colonnes de 50 µl

de résine d'échanges d'anions AG1x8. À la fois Pb et U ont été chargés avec un gel de silice – solution émettrice de H_3PO_4 (Gerstenberger et Haase, 1997) sur des filaments uniques de Re dégazé, et leurs compositions isotopiques ont été mesurées à MIT sur spectromètre de masse à ionisation thermique multi-collecteurs *VG Sector 54*. Les mesures d'isotopes du Plomb ont été effectuées sur un mode de sauts de pics par un comptage d'ions utilisant un détecteur photomultiplicateur Daly, avec une intensité de faisceau d'ion ^{206}Pb de 1,0 à 2,5 x 10-14 Amps, généralement maintenu au cours de l'acquisition des données. Les isotopes d'Uranium ont été mesurés comme ions d'oxydes au niveau de trois détecteurs Faraday dans un mode statique, avec une moyenne d'intensité de faisceau d'ions $^{235}U^{16}O_2$+ de 8,0 x 10-13 Amps.

Les rapports isotopiques mesurés ont été corrigés pour le fractionnement isotopique dépendant de la masse, de même que pour les contributions de l'U et du Pb en provenance du traçage et des témoins de laboratoire. Les rapports Pb/U ont également été corrigés pour le déséquilibre initial au sein du magma. La réduction des données et la propagation des erreurs a été conduite par l'utilisation des applications Tripoli et U-Pb_Redux, développées dans le cadre de l'initiative EARTHTIME (Bowring et al., 2011 ; McLean et al., 2011). En général, les datations $^{206}Pb/^{238}U$ sont considérées comme les plus précises et les plus justes. Nos datations $^{206}Pb/^{238}U$ moyennes pondérées proviennent d'ensembles cohérents de l'analyse des zircons les plus récents de chaque échantillon. Les datations U-Pb calculées sont données à un niveau de confiance de 95 % (Tableau 1 et Figure 5). Les incertitudes sur les datations U-Pb sont indiquées sous la forme ±X/Y/Z, où X est l'incertitude interne (analytique) en l'absence de toute erreur externe, Y comprend une erreur de calibration de traceur U-Pb, et Z comprend cette dernière, avec en plus les erreurs de constantes de décroissance de Jaffey et al. (1971). Les incertitudes externes doivent être prises en compte si les résultats doivent pouvoir être comparés avec les datations U-Pb obtenues dans d'autres laboratoires avec différents traceurs (Y), ou ceux dérivant d'autres chronomètres isotopiques (par exemple, Re-Os) (Z). Toutefois, pour établir une chronologie de haute résolution sur la seule base des résultats de la présente étude, seules les incertitudes analytiques (X) devraient être considérées.

A3. Techniques SHRIMP-RG de datation U-Pb des zircons (U.S. Geological Survey-Université de Stanford)

L'extraction des zircons était effectuée dans les locaux de l'U.S. Geological Survey, à Anchorage, par l'utilisation de techniques de séparation standards de densité, ainsi que magnétiques. Les zircons sont sélectionnés à la main pour la pureté finale, fixés par du ruban adhésif double face sur des plaques de verre en rangs de 1 x 6 mm, inclus dans de la résine époxy, qui est poncée et polie jusqu'à une finition de 1 micron sur un disque de diamètre 25 mm par 4 mm d'épaisseur. Tous les grains ont été photographiés en lumière traversante et réfléchie (ainsi que lumière incidente si nécessaire) sur un microscope pétrographique, ainsi qu'en cathodoluminescence et électrons rétro-diffusés comme nécessaire sur un SEM JEOL 5600, pour identifier la structure interne, les inclusions, et les défauts physiques. Les grains montés ont été lavés avec HCl 1N ou une solution d'EDTA (si soluble par l'acide) et de l'eau distillée, séchés dans un four sous vide, et enrobés d'Au. Les préparations restent typiquement dans une chambre de chargement à haute pression (10-7 torr) pendant plusieurs heures avant d'être transférés dans la chambre source du SHRIMP-RG. Des ions secondaires sont générés à partir du point cible avec un faisceau d'ions primaires O_2^- variant de 4 à 6 nA. Le faisceau d'ions primaires produit typiquement un point d'un diamètre de 20 à 40 microns et d'une profondeur de 1 à 2 microns, pour un temps d'analyse de 9 à 12 minutes. Neuf pics sont mesurés séquentiellement pour les zircons (le SHRIMP-RG est limité à un collecteur unique, généralement une multiplicateur d'électrons EDP) : $^{90}Zr_2{}^{16}O$, ^{204}Pb, Bgd (0,050 unités de masse au-dessus de ^{204}Pb), ^{206}Pb, ^{207}Pb, ^{208}Pb, ^{238}U, $^{248}Th^{16}O$, $^{254}U^{16}O$. L'auto-centrage sur des pics sélectionnés et des pics repères d'abondance faible et variable (c'est-à-dire $^{96}Zr^{216}O$, 0,165 unités de masse en dessous de ^{204}Pb) sont utilisés

pour améliorer la fiabilité de la localisation du centre des pics. Le nombre de balayage à travers la séquence de masses et le décompte des temps sur chaque pic sont variables selon l'âge de l'échantillon et les concentrations d'U et de Th, de manière à améliorer les statistiques de comptage et la précision sur l'âge. Les mesures sont réalisées au niveau de résolutions de masse de 6 000 à 8 000 (10 % de hauteur de pic), ce qui élimine l'ensemble des espèces atomiques interférentes. Le SHRIMP-RG a été conçu pour fournir une plus grande résolution de masse que la *forward geometry* standard de SHRIMP I et II (Clement et Compston, 1994). Cette conception, qui apporte également des arrières plans très propres, et est combinée avec la haute résolution de masse, le lavage à l'acide de la préparation, et le quadrillage du faisceau primaire pendant 90 à 120 secondes sur la surface destinée à être analysée, avant que la collecte des données ne soit réalisée, garantit que tous les comptages repérés à la masse de ^{204}Pb correspondent réellement au Pb du zircon, et non à une contamination de surface. En pratique, plus de 95 % des points analysés n'ont pas de Pb commun. Les données de concentration des zircons sont standardisées par rapport au zircon standard SL-13 (238 ppm d'U) ou CZ3 (550 ppm d'U), et les données d'âge par rapport aux zircons AS3 et AS57 (1 098 Ma) provenant du Gabbro de Duluth (Paces et Miller, 1993), RG-6 (1 440 Ma, granite du stocke d'Oak Creek, Bickford et al., 1989), ou R33 (419 Ma, diorite quartzique du complexe de Braintree, dans le Vermont, John Aleinikoff, communication personnelle), qui sont analysés de manière répétée pendant l'ensemble de la durée de la période d'analyse. La réduction des données suit les méthodes décrites par Williams (1997), ainsi qu'Ireland et Williams (2003), et utilise les programmes *Squid* et *Isoplot* de Ludwig (2001, 2003).

A4. Méthodes analytiques LAICPMS de datation U-Pb par la société *Apatite to Zircon, Inc.*, à l'Université de Washington State

Détails de l'analyse LA-ICP-MS **—**Les données ont été recueillies pour les masses isotopiques suivantes : ^{202}Hg, ^{204}Hg+^{204}Pb, ^{206}Pb, ^{207}Pb, ^{208}Pb, ^{232}Th, ^{235}U, et ^{238}U (250 balayages de données de plus de 30 s) suivies de ^{28}Si and ^{91}Zr (5 balayages des données de plus de 4 s). Les instruments utilisés ont été un système d'ablation laser (LA) New Wave YAG 213 nm, aligné sur le secteur magnétique d'un Finnigan Element2, et un plasma couplé par induction, un spectromètre de masse (ICP-MS), dans le laboratoire géoanalytique de l'Université de Washington State, à Pullman, État de Washington, États-Unis. L'ensemble des analyses a été réalisé en utilisant un point de 20 μm. À la suite du recueil d'environ 6 s de données d'arrière-plan, l'ablation laser débutait, et les données étaient recueillies concernant le matériau arraché. Le matériau érodé était transporté sur la ligne plasma par l'utilisation d'He. L'Ar était le gaz de plasma.

Les standards de zircon pour lesquels un enregistrement des âges, reconnus de façon indépendante, est publié, ont été désignés comme primaire, secondaire, et tertiaire, pour les besoins de la calibration de l'âge U-Pb (Tableau A7). Deux points standards primaires et deux points standards secondaires ont été analysés avant, et à la suite de chaque groupe d'environ 25-30 standards tertiaires et/ou points d'échantillon inconnu. Cinq points de chaque standard tertiaire ont été analysés peu après le début, puis encore vers la fin de l'analyse.

Modélisation des données**—**Des études LA-ICP-MS précédentes de datation U-Pb du zircon ont mis en œuvre la méthode dite de la sécante, qui fait l'hypothèse que le rapport isotopique varie linéairement avec le nombre de balayages, simplement en raison d'un fractionnement isotopique variant linéairement (Chang et al., 2006 ; Gehrels et al., 2008). Pour la méthode de la sécante, une droite est ajustée au rapport isotopique corrigé pour l'arrière-plan (par exemple, ^{206}Pb/^{238}U) par rapport au nombre des balayages de données, et la sécante de la droite ajustée (correspondant au nombre de balayages de données = 0) est utilisé comme rapport isotopique pour le calcul de l'âge, et l'erreur sur la sécante est utilisée pour le calcul de l'erreur sur l'âge. Dans la présente étude, les différents isotopes ont été modélisés en ajustant une somme de

dix équations gaussiennes aux données du signal brut (non corrigé pour l'arrière-plan) en utilisant une minimisation du carré de chi. Deux passages d'ajustement ont été réalisés après le premier passage. L'ensemble des valeurs de signal brut plus grandes que deux déviations standards de la somme des Gaussiennes ajustées a été désigné comme extérieur. Le second passage a ajusté la somme des gaussiennes aux données en excluant les valeurs extérieures. L'avantage de cette approche est qu'elle évite l'hypothèse d'un rapport isotopique variant linéairement avec le nombre de balayages, une hypothèse facilement transgressée pour des zircons pouvant contenir des informations utiles (par exemple un zircon pour lequel la cavité d'ablation pénètre de manière variable deux zones ayant des âges U-Pb différents).

Les valeurs mesurées d'arrière-plan pour chaque isotope au niveau de chaque point LA-ICP-MS ont été calculés comme suit : (1) le balayage final d'arrière-plan a été désigné comme le balayage le plus proche des valeurs minimales globales de ^{232}Th et ^{238}U. Si aucune valeur minimale globale de ce type n'était identifié, l'analyse était considérée comme un échec ; (2) une droite était ajustée aux valeurs d'arrière-plan, les valeurs extérieures identifiées, et une ligne à nouveau ajustée aux données, en excluant les valeurs extérieures ; (3) pour une droite ajustée présentant une pente négative (indicatrice d'un arrière-plan de décroissance radioactive), la valeur de la droite au niveau du dernier balayage d'arrière-plan a été choisie comme valeur d'arrière-plan. Pour une ligne ajustée présentant une pente nulle ou positive, la valeur moyenne des données excluant les valeurs extérieures a été choisie comme valeur d'arrière-plan ; et (4) l'erreur de valeur d'arrière-plan a été établie comme étant égale à la déviation standard de l'ensemble des valeurs d'arrière-plan (en excluant les valeurs extérieures) autour de leur droite ajustée (pente négative) ou de la moyenne (pente nulle ou positive).

Les valeurs d'arrière-plan ajustées pour la durée totale de l'analyse de chaque isotope ont été déterminées en utilisant l'ensemble des standards de zircon, et appliquées à l'ensemble des points de l'analyse. Ces étapes ont été répétées pour chaque isotope : a) la valeur d'arrière-plan mesuré par rapport au nombre de points dans l'analyse a été ajusté à un polynôme du 3ème degré, les valeurs extérieures identifiées, et l'ajustement répété en excluant les valeurs extérieures, et b) l'arrière-plan ajusté au niveau de chaque point a été calculé en utilisant le polynôme du 3ème degré. L'erreur d'arrière-plan ajustée pour l'ensemble de l'analyse a été établie comme étant égale à la déviation standard des valeurs mesurées d'arrière-plan (en excluant les valeurs extérieures) à partir de leurs polynômes du 3ème degré ajusté respectif. Pour un point quelconque (standard ou inconnu) où la valeur d'arrière-plan mesurée a dépassé la valeur ajustée pour l'ensemble de l'analyse de plus de 2σ, l'erreur d'arrière-plan a été établie comme égale à 1σ plus la moitié de montant par lequel la valeur d'arrière-plan mesurée a dépassé la valeur ajustée pour l'ensemble de l'analyse de 2σ.

La somme des gaussiennes ajustées a ici été utilisée principalement pour identifier les données extérieures et caractériser le bruit de signal. Après le second passage d'ajustement, la déviation standard des données non-extérieures par rapport à la somme respective de leurs gaussiennes ajustées a été prise comme l'erreur absolue de signal pour chaque balayage de données. Lorsque N balayages de données contribuent à une valeur de signal isotopique unique utilisé pour le calcul de l'âge (seuls les balayages concordants lorsque le nombre de balayages de données concordantes est positif. L'ensemble des balayages de données pour la correction Pb habituelle basée sur les sommes isotopiques), l'erreur de valeur de signal isotopique unique a été établi come égal au produit de $N^{1/2}$ et de l'erreur absolue de signal pour chaque balayage de données.

Facteur de fractionnement Pb/U—Les facteurs de fractionnement ont été déterminés pour chaque balayage de données de chaque point standard primaire. Pour un rapport isotopique donné (par exemple, ^{206}Pb/^{238}U), le facteur de fractionnement, comme utilisé ici, est égal au rapport isotopique reconnu divisé par le rapport mesuré. Un quadrillage à deux dimensions (nombre de points, nombre de balayages) des facteurs de fractionnement de chaque rapport isotopique a été construit pour l'analyse dans son entier, en ajustant

une série de polynômes du 4ème degré (excluant les valeurs extérieures). Dans les conditions de réalisation des analyses LA-ICP-MS de la présente étude, les facteurs de fractionnement sont apparus comme variant fortement avec le nombre de balayages, décroissant avec le nombre de balayages (vraisemblablement en raison de la profondeur croissante de la cavité d'ablation, et de son effet sur le fractionnement (se référer par exemple à Paton et al., 2010).

Les facteurs de fractionnement ont été calculés en utilisant des valeurs isotopiques basées sur la somme des gaussiennes ajustées. Les âges, y compris lorsque les standards étaient traités comme étant inconnus, ont été calculés en utilisant des valeurs brutes de signal isotopique (excluant les valeurs extérieures) pour éviter tout biais en raison d'artéfacts d'ajustement des sommes de gaussiennes.

Ajustement des facteurs de fractionnement pour un dommage α intégré—Le zircon est largement connu pour accumuler un dommage de radiation α (par exemple, Zhang et al., 2009 et références citées par eux). Il est fait ici l'hypothèse qu'un dommage α plus important dans un zircon conduit à une diminution de la dureté du zircon. Cela conduit à la suite à un taux plus important de pénétration du laser dans le zircon pendant l'ablation, conduisant à une modification du fractionnement isotopique. Les âges calculés pour les zircons primaires, secondaires, et tertiaires standards, lorsque ces standards ont été traités comme inconnus, ont été utilisés pour construire une courbe de facteur de correction du fractionnement (forme exponentielle). Une grande partie du travail précédent a essayé de comprendre la base chimique de la raison pour laquelle certains standards fonctionnent mieux avec certains zircons. La notion de zircons standards et inconnus correspondant à une matrice a été proposée largement sur la base de la chimie des éléments traces (par exemple, Black et al., 2004). Dans ce cas, le temps et les dommages cristallographiques, paramètres invisibles par les instruments utilisés pour caractériser la chimie des éléments traces, ont été introduits et appliqués conjointement avec la chimie d'U et de Th.

Correction du Pb commun—Le Pb commun a été soustrait par l'utilisation du modèle du Pb commun de Stacey et Kramer (1975) pour la Terre. Les âges et le rapport de Pb commun ont été déterminés de façon itérative par l'utilisation d'une valeur d'âge minimum, préétablie, du Pb commun pour l'ensemble de l'analyse (l'âge standard le plus élevé a été pris par défaut pour chaque analyse, lequel, à la fois pour Ap et Zrn, a été de 1 099 Ma FC-1 et/ou FC-5z).

Âge préféré—Les constantes de décroissance de l'Uranium et les rapports isotopiques $^{238}U/^{235}U$ indiqués par Steiger et Yäger (1977) ont été utilisés dans le cadre de la présente étude. Les âges $^{207}Pb/^{235}U_c$ ($^{235}U_c = 137.88^{238}U$), $^{206}Pb/^{238}U$, et $^{207}Pb/^{206}Pb$ ont été calculés pour chaque balayage de données et sa concordance vérifiée. La concordance a été ici définie comme le recouvrement des trois âges au niveau 1σ (l'utilisation du niveau 2σ s'est révélé fausser les résultats pour inclure des balayages avec un Pb commun significatif). Les sommes isotopiques corrigées de l'arrière-plan de chaque isotope ont été calculées pour l'ensemble des balayages concordants. La précision de chaque rapport isotopique a été calculée par l'utilisation de l'arrière-plan et des erreurs de signal pour les deux isotopes. Le facteur de fractionnement de chaque balayage de données, corrigé de l'effet du dommage α accumulé, a été pondéré selon la valeur du signal ^{238}U ou ^{232}Th de ce balayage de données. Une moyenne générale pondérée de facteur de fractionnement pour l'ensemble des balayages de données concordantes a été utilisée pour le calcul final de l'âge.

Si le nombre de balayage de données concordantes pour un point était positif, alors soit l'âge $^{206}Pb/^{238}U$ soit l'âge $^{207}Pb/^{206}Pb$ était choisi comme l'âge préférentiel, selon celui qui présentait la plus petite erreur relative. Si aucun balayage de données concordantes n'était observé, alors l'âge corrigé du Pb commun, basé sur la somme de l'ensemble des balayages acceptables, était choisi comme l'âge préférentiel. Le Pb commun était soustrait en utilisant le modèle du Pb commun pour la Terre de Stacey et Kramer (1975). Les âges et le rapport de Pb commun ont été déterminés de façon itérative par l'utilisation d'une valeur de l'âge du Pb commun, préétablie, pour l'ensemble de l'analyse. La valeur par défaut utilisée pour

chaque analyse était l'âge standard le plus ancien, lequel était à la fois pour Ap et Zrn de 1 099 Ma FC-1 et (ou) FC-5z.

A5. Méthodes analytiques de datation des traces de fission de l'Apatite par la société *Apatite to Zircon, Inc.*

Des concentrés minéraux d'apatite ont été produit, montés, gravés, et analysés (à la fois des déterminations d'âges AFT et des longueurs de traces confinées) suivant les procédures synthétisées dans Donelick et al. (2005). Si possible, chaque analyse comprend au moins les âges de 25 grains distincts, et la mesure de 125 longueurs de traces confinées. Les montages de grains d'apatite ont été irradiés utilisant des fragments de fission provenant d'une source ^{252}Cf au sein d'une chambre sous vide, de façon à développer le nombre de traces confinées mesurables (Donelick et al., 2005). La méthode de détection externe (EDM) et la méthode de calibration zeta, de Hurford et Green (1982) ont été utilisées pour l'ensemble des échantillons. La dispersion des âges de traces de fission observées est déterminée par l'utilisation du test χ^2, qui indique la probabilité que l'ensemble des grains comptabilisés appartiennent à une population unique d'âges. Une probabilité < 5 % est un indice de dispersion asymétrique des âges de grains distincts, et du fait que l'âge moyen pondéré doive être utilisé.

La variation de composition de l'apatite au sein, et entre, les différents échantillons peut fournir un moyen important pour contraindre l'histoire thermique d'un échantillon, en raison du fait que des espèces de composition différentes possèdent des températures totales de recuit différentes, en dessous desquelles les apatites commencent à accumuler des traces de fission. Par conséquent, différents grains au sein d'un échantillon peuvent enregistrer différentes parties de l'histoire thermique d'un échantillon. Afin de déterminer les variations de composition entre les grains, nous avons recueilli des mesures du paramètre Dpar en provenance de chaque grain d'apatite, analysé soit pour l'âge AFT, soit pour la détermination de la longueur de trace confinée. Le paramètre Dpar est le diamètre moyen de cavité gravée de trace de fission parallèle à l'axe-c cristallographique de chaque grain d'apatite. Une description complète du paramètre Dpar, de son utilité, et de sa relation avec la cinématique de recuit AFT, est présentée par Donelick et al. (2005).

Les données AFT ont été modélisées par l'utilisation du modèle de recuit-traces de fission multicinétique de Ketcham et al. (1999). Une valeur Dpar a été déterminée pour chaque grain d'apatite au cours de chaque analyse d'âge ou de longueur AFT. Pour une interprétation quantitative, les données couplées Dpar+traces de fission de l'apatite ont été importées au sein d'un modèle de simulation du recuit de traces de fissions multicinétiques (AFTSolve ; Ketcham et al., 2000), où les longueurs de traces et les âges des grains distincts sont tracés en regard du paramètre Dpar. AFTSolve permet alors à l'utilisateur de diviser à nouveau interactivement les données de traces de fission au sein de populations cinétiques ou chimiques, après quoi les âges AFT regroupés résultant, et la moyenne des longueurs de traces de chaque population sont calculées et affichées. Chaque population cinétique, au sein de chaque échantillon distinct, a ensuite été modélisée simultanément en utilisant la procédure d'inversion mise en avant par Ketcham et al. (2000). Pour l'ensemble des échantillons, l'inversion a été opérée par l'utilisation de 20 000 modèles Monte Carlo, avec une contrainte initiale de température de 250 °C à 60 Ma (âge de l'intrusion du batholithe), ainsi qu'une température actuelle moyenne annuelle de surface de 0 °C.